

GM 51508

RAPPORT DE FORAGE, PROGRAMME 1990, PROPRIETE LMC BOYVINET (PN 114)

Documents complémentaires

Additional Files



Licence



Licence

Cette première page a été ajoutée
au document et ne fait pas partie du
rapport tel que soumis par les auteurs.

Énergie et Ressources
naturelles

Québec 



MINISTÈRE DE L'ÉNERGIE ET DES RESSOURCES
SERVICE DE LA GESTION DES DOCUMENTS
DIVISION DU MICROFILM

CE MICROFILM EST PRODUIT POUR LE
SERVICE DE LA GÉOINFORMATION

GM

5 1 5 0 8

MICROFILMÉ PAR LA DIVISION DU MICROFILM

CAMÉRA:

MODÈLE

MRD-2-1

NUMÉRO DE SÉRIE

TAUX DE RÉDUCTION:

27 X

DATE:

6 JANVIER 1993

OPÉRATEUR(TRICE):

J.B.

MINNOVA INC
DIVISION EXPLORATION

92 JUL 24 15:43

MER - SYSTÈMES
MER - GESTION DES PROJETS
DE GESTION DES PROJETS
QUEBEC

RAPPORT DE FORAGE
PROGRAMME 1990
PROPRIETE LMC BOYVINET (PN 114)
CANTONS BOYVINET, GAND ET LESUEUR
P. QUEBEC

MER - S.I.S.E.M.	1992/12/08
GM 51508	

par

Friedrich Speidel, M.Sc.
Géologue de Projets



Chapais, P. Québec
20 mars 1992

1764
92209-001

SOMMAIRE

Le programme de forage au diamant sur la propriété Boyvinet fut débuté par Les Forages Béland le 6 mars 1990 et terminé le 19 août de la même année. Un total de 19 sondages totalisant 5992.14 mètres (19 659 pieds) furent forés.

Ce programme avait pour but de déterminer la continuité des 5 intersections potentiellement économiques obtenues lors des forages de 1989 ainsi que de sonder davantage certains secteurs d'anomalies géochimiques et géophysiques combinées.

La propriété est localisée à l'intérieur d'un bassin de roches supracrustales formant la partie ouest de la bande Desmaraisville-Caopatina, à l'intérieur de la Ceinture de Roches Vertes de l'Abitibi. La propriété chevauche le corridor de déformation Lac Shortt-Opawica, orienté ENE, à l'endroit où l'on retrouve le pluton Opawica, d'affinité géochimique alcaline. Le contexte géologique de la propriété Boyvinet ressemble fortement à celui de la mine Lac Shortt. La zone de déformation Lac Shortt, qui forme l'éponte supérieure à cette mine, se continue vers l'ouest sur la propriété Boyvinet.

Quatorze des 17 sondages atteignant le socle contenaient au moins une intersection de plus de 0.5 g/t sur plus de 1.0 mètre. Plusieurs de ces intersections furent obtenues sur de nouvelles zones minéralisées. Trois intersections de plus de 0.5 g/t Au sur plus de 10.0 mètres furent obtenues: BV-29, formant la continuité SO de la zone de fracturation ouest (0.50 g/t sur 29.26 mètres) et BV-33, dans le coin NE du même pluton, (0.76 g/t sur 20.06 mètres et 0.58 g/t sur 18.68 mètres). Plusieurs intervalles de minéralisation semi-continue sur près ou plus de 100 mètres furent également obtenus, particulièrement dans les secteurs ZDLS et pluton Opawica (BV-23: 0.30 g/t sur 138.29 mètres, BV-24: 0.25 g/t sur 96.01 mètres, BV-26: 0.17 g/t sur 183.03 mètres et BV-33: 0.35 g/t sur 113.85 mètres).

Les plus hautes teneurs furent obtenues dans BV-25, dans la syénite de l'éponte inférieure de la ZDLS (2.65 g/t sur 2.38 mètres), BV-28, dans la partie centrale du pluton (2.96 g/t sur 2.74 mètres incluant un intervalle de 1.80 mètre titrant 4.35 g/t) et BV-32, du côté SW près de l'intersection BV-04 obtenue en 1989 (1.08 g/t sur 9.02 mètres). Aucune zone continue potentiellement économique ne fut définie à ce jour.

Le type de minéralisation observé sur la propriété peut être interprété comme une coupe intermédiaire à profonde d'un système porphyre Au associé à un centre intrusif alcalin. Il est recommandé de synthétiser les données existantes en vue de définir les cibles de forage qui demeurent sur la propriété. Plus particulièrement, la distribution des faciès d'altération, la zonation métallique et la réinterprétation informatique des données magnétiques devraient permettre la définition d'excellentes cibles.

TABLE DES MATIERES

1.0	INTRODUCTION	P. 1
2.0	DESCRIPTION DE LA PROPRIETE	P. 1
	2.1 TITRES MINIERS	P. 1
	2.2 SITUATION ET ACCES	P. 1
	2.3 HISTORIQUE	P. 4
	2.4 TRAVAUX EFFECTUES	P. 4
	2.4.1 TRAVAUX ANTERIEURS	P. 4
	2.4.2 TRAVAUX MINNOVA	P. 8
3.0	GEOLOGIE	P. 8
	3.1 GEOLOGIE REGIONALE	P. 8
	3.2 GEOLOGIE DE LA PROPRIETE	P. 9
4.0	GEOLOGIE ECONOMIQUE	P. 12
	4.1 GENERAL	P. 12
	4.2 MINERALISATION SUR LA PROPRIETE	P. 13
5.0	RESULTATS DU PROGRAMME DE FORAGE	P. 14
	5.1 GENERAL	P. 14
	5.2 GEOLOGIE	P. 16
	5.2.1 SECTEUR ZONE DE DEFORMATION LAC SHORTT ...	P. 16
	5.2.2 LE PLUTON OPAWICA	P. 31
	5.2.3 ZONE DE CONTACT SUD	P. 42
	5.2.4 ZONE OUEST	P. 46
	5.3 MINERALISATION AURIFERE	P. 55
6.0	DISCUSSION	P. 59
	6.1 GEOLOGIE	P. 59
	6.1.1 CONTROLE LITHOLOGIQUE	P. 59
	6.1.2 CONTROLES STRUCTURAUX	P. 59
	6.1.3 GEOCHIMIE	P. 61
	6.1.4 ALTERATION ET MINERALISATION	P. 63
	6.2 MODELE GENETIQUE	P. 66
7.0	CONCLUSION	P. 68
8.0	RECOMMANDATIONS	P. 70
	8.1 GEOLOGIE	P. 70
	8.2 GEOPHYSIQUE	P. 71
	8.3 GEOCHIMIE	P. 71
	8.4 FORAGE	P. 72
9.0	REFERENCES	P. 74

LISTE DES FIGURES, TABLEAUX ET ANNEXES**FIGURES**

- Figure 1: Carte de claims
- Figure 2: Carte de localisation
- Figure 3: Géologie régionale
- Figure 4: Géologie de la propriété
- Figure 5: Distribution des forages 1990
- Figure 6: Comparaison Au Bourlamaque vs Au Opémiska

TABLEAUX

- Tableau 1: Liste des claims
- Tableau 2: Liste des travaux statutaires
- Tableau 3: Statistiques de forage
- Tableau 4: Journal sommaire (BV-22)
- Tableau 5: Journal sommaire (BV-23)
- Tableau 6: Journal sommaire (BV-24)
- Tableau 7: Journal sommaire (BV-25)
- Tableau 8: Journal sommaire (BV-34)
- Tableau 9: Journal sommaire (BV-33)
- Tableau 10: Journal sommaire (BV-26)
- Tableau 11: Journal sommaire (BV-27)
- Tableau 12: Journal sommaire (BV-28)
- Tableau 13: Journal sommaire (BV-29)
- Tableau 14: Journal sommaire (BV-30)
- Tableau 15: Journal sommaire (BV-31)
- Tableau 16: Journal sommaire (BV-32)
- Tableau 17: Journal sommaire (BV-18)
- Tableau 18: Journal sommaire (BV-19)
- Tableau 19: Journal sommaire (BV-20)
- Tableau 20: Journal sommaire (BV-35)
- Tableau 21: Anomalies aurifères du programme
- Tableau 22: Résultats d'analyse lithogéochimique
- Tableau 23: Comparaison Au Bourlamaque vs Au Opémiska
- Tableau 24: Cibles de forage recommandées

ANNEXES

- Annexe 1: Spécifications analytiques
- Annexe 2: Codes texturaux et mnémoniques utilisés (MERQ 1985)
- Annexe 3: Carte de claims et de forages
- Annexe 4: Journaux de sondage et analyses

1.0 INTRODUCTION

Le programme de forage au diamant effectué sur la propriété LMC Boyvinet en 1990 avait pour but de sonder la continuité latérale et en profondeur des cinq intersections potentiellement économiques définies dans 4 secteurs lors du programme de forage de 1989 (Speidel, 1991) de même qu'à tester davantage la syénite du pluton Opawica et d'autres cibles géophysiques et géochimiques.

Le programme de forage fut effectué par Les Forages Béland, du 6 mars au 19 août 1990 avec une foreuse en opération sur un horaire 11/3. La description des carottes et la rédaction des journaux de sondage fut effectuée par l'auteur avec l'assistance de P. Girard et H. Brisson. Les échantillons furent analysés pour Au, Cu et Zn au laboratoire de Minnova, Division Opémiska, Chapais.

Ce rapport présente les résultats du programme de forage de 1990 avec une mise à jour de l'interprétation géologique de la propriété. Les types d'altération et les principales zones de minéralisation sont décrites en détail et des travaux additionnels sont suggérés.

2.0 DESCRIPTION DE LA PROPRIETE

2.1 TITRES MINIERS

La propriété comprend 73 claims, détenus en vertu de 18 permis de mise en valeur, et couvre une superficie approximative de 1336 hectares (figure 1).

Une première série de claims ont été jalonnés du 01/07/79 au 06/07/79 et une deuxième série les 24 et 25/03/1979 (tableau 1).

2.2 SITUATION ET ACCES

La propriété Boyvinet entoure le point commun aux cantons Boyvinet, Lesueur et Gand. La propriété consiste en trois grilles (impériales) d'orientation différente: la grille B1 dans le coin SE du canton de Boyvinet et coin SO du canton de Gand (ligne de base @ 062), la grille B2 dans le coin NE du canton Lesueur (ligne de base @ 090) et la grille B3 dans le coin SO du canton de Gand (ligne de base @ 090). La grille B4, au nord de la grille B3 et à l'est de la grille B1, fut établie sur la glace du Lac Opawica en hiver 1984 (Potapoff, 1987) avec une ligne de base orientée @ 090. La déclinaison magnétique était de 15° ouest en 1989.



BOYVINET
L'ESUEUR

383 710-1	383 710-2	383 710-3	383 710-4	383 710-5
383 710-6	383 710-7	383 710-8	383 710-9	383 710-10
383 710-11	383 710-12	383 710-13	383 710-14	383 710-15
383 710-16	383 710-17	383 710-18	383 710-19	383 710-20
383 710-21	383 710-22	383 710-23	383 710-24	383 710-25
383 710-26	383 710-27	383 710-28	383 710-29	383 710-30
383 710-31	383 710-32	383 710-33	383 710-34	383 710-35

GAND
L'ESPERANCE

ILE
OPAWICA

113

383 713-1
383 713-2
383 714-1
383 714-2
383 715-1
383 715-2
383 716-1
383 716-2

LAC
OPAWICA

LAC BACHELOR

 **MINNOVA** Inc.
DIVISION EXPLORATION

LMC - BOYVINET

Figure 1
CARTE DE CLAIMS

Demandé par: <u>IB</u>
Révisé par: <u>M. BOISVERT</u>
Date: <u>JUIN 1988</u>

Echelle: 1 : 50 000

TABLEAU 1

LISTE DE CLAIMS

LICENCES	CLAIMS	SUPERFICIE (ha/claim)	JALONNEMENT (mm/jj/aa)	CANTON
382741	1 à 5	16	07/01/79	Boyvinet
382742	1 à 5	16	07/01/79	Boyvinet, Gand
382743	1 à 5	16	07/02/79	Boyvinet
382744	1 à 5	16	07/03/79	Boyvinet
383745	1 à 5	16	07/03/79	Boyvinet
382746	1 à 5	16	07/04/79	Boyvinet, Gand
382747	1 à 5	16	07/04/79	Gand
382748	1 à 5	16	07/05/79	Gand
382749	1 à 5	16	07/05/79	Boyvinet, Gand
383710	1, 3, 4, 5	16	07/05/79	Boyvinet, Gand
383711	1 à 5	16	07/06/79	Gand
383712	1 à 5	16	07/05/79	Gand
383713	1, 2	40	07/03/79	Lesueur
383714	1, 2	40	07/03/79	Lesueur
383715	1, 2	40	07/04/79	Lesueur
383716	1	40	07/04/79	Lesueur
383716	2	16	07/05/79	Gand
429070	1 à 5	16	03/25/84	Boyvinet
429071	1	16	03/26/84	Boyvinet

L'accès s'effectue directement par la route 113 qui passe dans la partie extrême ouest de la grille B-1, à environ 150 km au sud-ouest de Chibougamau (figure 2). Un chemin forestier de la Cie Kruger traverse la grille B-1, partant de la route 113 vers le nord-est, passant au nord-ouest du lac Opawica et rejoignant les chutes de l'Esturgeon.

L'accès à la grille B-2 se fait via une petite route forestière, orientée N-S, partant du chemin de la Compagnie Kruger vers le sud et passant à l'est du lac Billy. Cette route passe au centre de la grille B2.

L'accès à la grille B3, sur la partie nord de l'île Opawica, se fait en canot à partir de la rive du Lac Opawica.

2.3 HISTORIQUE

Le premier indice minéralisé aurifère dans la région fut découvert en 1932 sur le côté ouest de l'île Opawica sur des claims présentement détenus par Aur Ressources.

L'exploration continua à partir de 1945, résultant en la découverte et la mise en production des mines Coniagas (1958-1967), Lac Bachelor (1982-1989) et Lac Shortt (1984-1992). Plusieurs levés géophysiques tant aéroportés qu'au sol furent effectués, d'abord pour des sulfures massifs puis pour l'or. En 1983, Ressources Camchib Inc. optionne la présente propriété de Forbes (Potapoff, 1987).

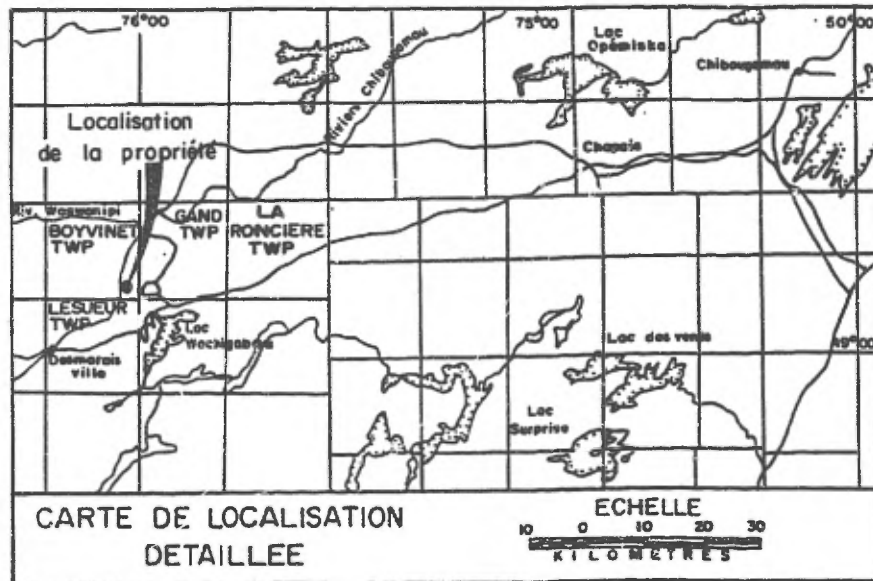
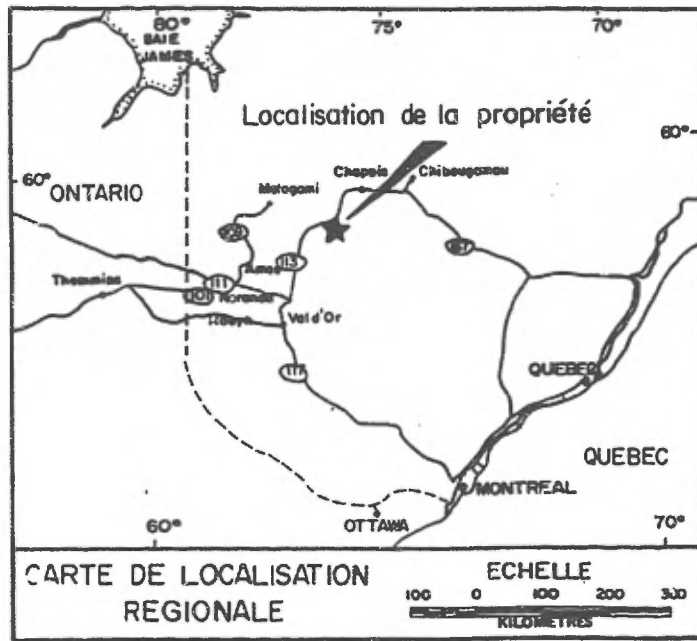
Suite à une compilation interne, en 1987, Minnova acquiert un intérêt dans cette propriété dans le cadre d'une entente conjointe avec Les Mines Camchib. Cette propriété semble favorable à la minéralisation aurifère étant donné sa similarité géologique avec la propriété de la mine Lac Shortt.

2.4 TRAVAUX EFFECTUES

2.4.1 TRAVAUX ANTERIEURS

De 1945 à ce jour, plusieurs compagnies ont effectué dans la région des travaux de reconnaissance et de géologie, des levés magnétiques et électromagnétiques de même que plusieurs campagnes de forage. Les résultats de ces travaux sont donnés dans les travaux statutaires, listés dans le tableau 2 ci-bas.

En 1965, Sullico forra quatre trous sur des conducteurs électromagnétiques définis dans un levé aéroporté sur la partie ouest de la grille B1, recoupant surtout des andésites et roches sédimentaires graphiteuses avec pyrite mineure. Les meilleures




 MINNOVA Inc. DIVISION EXPLORATION	
PROPRIETE BOYVINET	
Figure 2 CARTES DE LOCALISATION	
Dessiné par: I.B.	Echelle
Révisé par: F. SPEIDEL	
Date: JUILLET 1989	

TABLEAU 2

LISTE DES TRAVAUX STATUTAIRES

Date	#GM	Localisation	Compagnie	Travaux
1947	294	Centre-sud B1, NE B2, B3	Siscoe Gold Mines	Rapport géologique, 3p 4 cartes
1945	295	Centre-sud B1, NE B2	Siscoe Gold Mines	Rapport de propriété, 2p
1948	379	Grille B1	Lake Opawica Mines	Rapport géologique, 4p 1 carte 2 figures
1947	1713	Centre-sud B1, centre & est B2, B3	Siscoe Gold Mines	Rapport de propriété, 1p
1952	1763-A	Centre & ouest B1	Dominion Gulf Co	Rapport géologique, 5p, 1 carte
1952	1763-B	Centre & ouest B1	Dominion Gulf Co	Rapport levé mag au sol, 3p 1 carte
1954	2905	B3	Mines Noranda	Rapport géophysique, 10p, 3 cartes
1954	3237-A	Centre B2	Uranium King Corp	Rapport géophysique, 24p, 2 plans
1950	7095	Centre-sud B1, NW & centre B2	Forbes	Rapport géologique, 3p
1960	10172	Centre B2	Roxford Mining Corp	Rapport géologique, 14p, 2 plans
1947	10884-A	Sud B1	Siscoe Gold Mines	Rapport de propriété, 3p
1947	10884-B	NE B2	Siscoe Gold Mines	Journaux de sondages, 10p, 12 figures
1965	17235-A	Ouest B1, NW B2	Sullico Mines Ltd	Plans de levé EM et Mag, 2 plans
1965	17235-B	Ouest B1	Sullico Mines Ltd	Journaux de forage BS-1 à BS-4, 8p
1965	17779	Grille B4	Payette, Paul	Plan de propriété, 1p
1968	23581	NE B2	Nadeau, Raymond	Localisation des travaux, 1 figure
1970	25859	Grille B4	UMEX	Rapport des travaux, 3p, 3 plans, 1 figure
1970	25861	Grille B4	UMEX	Journaux de sondage, 4p 3 plans
1954	3237-A	Partie est B2	Uranium King Corp	Rapport géophysique, 24p 2 plans
1954	3237-B	Partie est B2	Uranium King Corp	5 journaux de sondage
1979	34769	B1 centre-nord	Falconbridge Ltée	Levés mag-EM, 28p, 43 cartes
1979	34851	B1 ouest	Exploration Noranda Ltée	Rapport géologique, 12p, 1 plan
1979	34852	B1 ouest	Exploration Noranda Ltée	Rapport Mag-EM, 4p, 2 plans

TABEAU 2 - SUITE
LISTE DES TRAVAUX STATUTAIRES

Date	#GM	Localisation	Compagnie	Travaux
1980	36369	Centre B1, centre-ouest B2	WR financial consultants	Rapport Mag-EM, 5p 2 plans
1980	36515	B1 centre-nord	Falconbridge Ltée	7 journaux de forage, 22p, 9 cartes
1981	37272	B1 centre-nord	Falconbridge Ltée	19 journaux de sondage, 72p 18 cartes
1981	37945	Centre B1, est B1	Duport Mining Co Ltd	Rapport de forage, 11p, 2 figs, 2 cartes
1982	39311	B1 est	Consolidated Professcr	Echantillonnage de tranchées, 9p, 1plan
1984	41365	B1 est	Mines Camchib Ltée	Journal de sondage, 10p, 1 plan
1984	41676	B1	Mines Camchib Ltée	Rapport Mag et MaxMin, 10p, 31 plans
1986	43710	B3	Mines Camchib Ltée	Rapport géologique 8p, 1 plan
1986	43711	B3	Mines Camchib Ltée	Rapport Mag et VLF, 14 p, 5 plans
1987	45456	B1	Mines Camchib Ltée	Echantillonnage de mort-terrain, 23p, 2 plans
1986	45457	B1	Minnova Inc (L.Plante)	Rapport Mag-VLF, 15p 18 plans
1988	48504	B1, B2	Minnova Inc	Rapport de forage de mort-terrain, phase I 176p, 24 plans

analyses obtenues furent de 0.34 g/t Au sur 0.15 mètre, 0.17% Cu sur 0.31 mètre et 12.0 ppm Ag sur 0.31 mètre (GM 17235).

Un forage fut effectué à l'intérieur de la syénite par Consolidated Professor en 1981; la meilleure intersection fut de 0.68 g/t Au sur 1.22 mètre (Potapoff, 1987).

Après l'acquisition de la propriété par Camchib, une coupe de lignes et des levés magnétique et électromagnétique y furent effectués. En 1984, Camchib fora un autre trou à l'intérieur de la syénite mais n'obtint pas plus de 0.48 g/t Au sur 3.96 mètres et 0.86 g/t Au sur 1.22 mètre (Potapoff, 1987). Une brève campagne de forage de mort-terrain eut lieu en 1986 (Potapoff, 1987).

2.4.2 TRAVAUX MINNOVA

Les travaux de Minnova débutèrent en 1988. Ces travaux inclurent un renouvellement de la coupe de lignes sur la majeure partie de la grille B1, l'agrandissement par décapage à la pelle mécanique de l'indice Boyvinet et la cartographie des grilles B1 et B2 (partie ouest de la propriété) à l'échelle 1"=400' avec échantillonnage simultané (LeBlanc, 1988).

De plus, un programme de forage de mort-terrain de 77 trous fut effectué sur les grilles B1 et B2 en 1988 (Graham et al, 1988). En 1989, un autre programme de 30 trous fut effectué sur les mêmes grilles (Averill et al, 1989). Les deux programmes furent effectués avec une foreuse à circulation renversée sous la supervision de Overburden Drilling Management, de Nepean, Ontario.

Un programme de forage au diamant de 17 trous fut effectué sur les grilles B1 et B2 en 1989 (Späidel, 1991). En 1990, un autre programme de forage de 19 trous fut effectué sur les mêmes grilles. Ce dernier programme est l'objet du présent rapport.

3.0 GEOLOGIE

3.1 GEOLOGIE REGIONALE

La propriété est localisée dans la partie ouest de la bande de Desmaraisville-Caopatina qui se trouve dans le secteur nord-est de la Ceinture des Roches Vertes de l'Abitibi.

La stratigraphie régionale consiste en d'épaisses séquences de roches supracrustales limitées par des complexes intrusifs granitiques dans les parties nord-est, nord-ouest et sud de la région. Toutes ces roches sont d'âge Archéen. Les roches supracrustales sont constituées surtout de roches métavolcaniques mafiques d'affinité tholéiitique (Formation d'Obatogamau?) et

leurs équivalents intrusifs avec quelques unités discontinues de roches volcaniques et pyroclastiques intermédiaires à felsiques et des roches sédimentaires (turbidites et conglomérats). Les roches supracrustales sont recoupées par plusieurs intrusions granitiques (granites, granodiorites, syénites) et anorthositiques (figure 3). On note également des intrusions mafiques à ultramafiques mineures incluant des amphibolites et/ou pyroxénites et des lamprophyres.

Un système de zones de déformation majeures, à caractère ductile ou ductile-fragile, d'orientation ENE, forme ce qui est appelé ici le corridor de déformation Opawica - Lac Shortt (CDOLS) d'après les deux zones de déformation qui en marqueraient la limite sud et nord, respectivement. Un autre système majeur ductile à cassant orienté nord-est (les zones de déformation Lamarck - ZDLK) et un système NNO moins développé sont également notés. Plusieurs indices minéralisés sont spatialement associés aux deux systèmes majeurs (Speidel, 1988).

3.2 GEOLOGIE DE LA PROPRIÉTÉ

L'interprétation de la géologie de la propriété, illustrée à la figure 4, est basée sur la cartographie (LeBlanc, 1988), les données lithogéochimiques obtenues à partir des éclats de socle prélevés lors des deux programmes de forage de mort-terrain de 1988 et 1989 (Graham et autres, 1988; Girard, 1989; Averill et autres, 1989) et sur les programmes de forage au diamant de 1989 (Speidel, 1991) et 1990.

L'extrême nord de la propriété, au nord de la zone de déformation Lac Shortt (ZDLS), consiste en des intrusions mafiques (gabbros) à granulométrie moyenne à grossière qui sont, en partie, fortement magnétiques.

Au sud de la ZDLS, on retrouve une diorite? ou volcanite intermédiaire porphyrique à feldspath et, plus localement, un gabbro mésocrate. La diorite forme la majeure partie de l'encaissant ouest du pluton Opawica. Immédiatement au sud et à l'ouest du pluton, on note des intrusions mafiques à ultramafiques magnétiques incluant surtout des gabbros avec diorite, pyroxénite et/ou amphibolite plus localement. Ces intrusions semblent grossièrement parallèles à la stratigraphie (orientée ESE) telle que définie par les unités volcaniques et sédimentaires de la partie sud de la propriété et sur les propriétés adjacentes.

La demie sud de la propriété consiste en des basaltes andésitiques contenant de minces unités de roches sédimentaires graphitiques et pyriteuses (GM 17235-B). Près du contact sud des basaltes andésitiques, une forte altération en carbonate est notée. L'extrême sud de la propriété consiste en des roches pyroclastiques de composition intermédiaire, des roches volcaniques mafiques, des



ROCHES SUPRACRUSTALES

Formation du Ruisseau Dallme

Roches pyroclastiques
Roches sédimentaires volcanogènes

Formation d'Obatogamau

Rhyodacite

Membre de Wachigabau
Roches pyroclastiques, Rhyolite

Basalte

ROCHES INTRUSIVES

+++ Granodiorite

■ Syénite

+ + Monzodiorite

●●●● Tonalite

Complexe de la rivière Opawica
Anorthosite

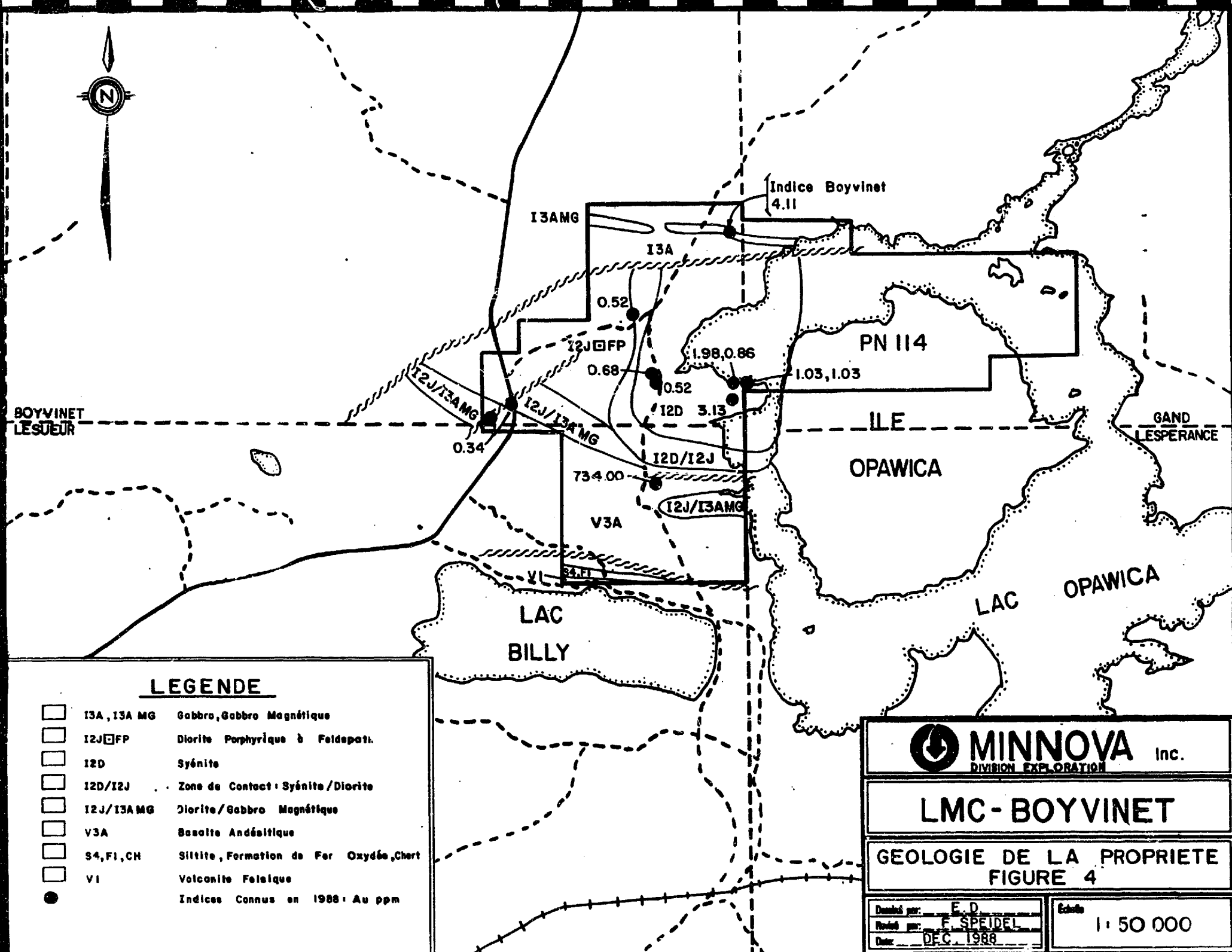
Complexe des Chûtes de l'Esturgeon
Gabbro, Pyroxénite

x x x Gneiss tonalitique

● Indice Minéralisé Connu
Avant 1988

0 5 10
kilomètres

Figure 3. Géologie de la région du lac Shortt. Modifiée d'après Brisson et Guha (1990).



LEGENDE

- I3A, I3A MG Gabbro, Gabbro Magnétique
- I2J □ FP Diorite Porphyrique à Feldspat.
- I2D Syénite
- I2D/I2J Zone de Contact: Syénite/Diorite
- I2J/I3A MG Diorite/Gabbro Magnétique
- V3A Basalte Andésitique
- S4, F1, CH Siltite, Formation de Fer Oxydé, Chert
- VI Volcanite Felsique
- Indices Connus en 1988: Au ppm

MINNOVA Inc.
 DIVISION EXPLORATION

LMC - BOYVINET

**GEOLOGIE DE LA PROPRIETE
FIGURE 4**

Dessiné par: E. D.
 Révisé par: F. SPEIDEL
 Date: DEC. 1988

Echelle
 1 : 50 000

turbidites avec formation de fer (faciès oxide) intercalées et des volcanites felsiques.

Une intrusion de syénite sodique occupe la partie centrale de la propriété. Un zone de transition forme la partie sud de cette intrusion. Cette zone de transition est constituée de syénite mafique et diorite alcaline-subalkaline. Une zone de contact de puissance décamétrique, montrant une texture recristallisée et fragmentée, est également observée dans l'encaissant du côté sud. Cet encaissant serait constitué d'intrusions intermédiaires à mafiques avec des intrusions ultramafiques mineures, possiblement avec des volcanites intermédiaires fragmentaires.

Une structure majeure auparavant inconnue fut identifiée par le forage de mort-terrain: la zone de déformation Lesueur (ZDL), de direction ESE, recoupe la partie sud de la propriété. De plus, une zone de fracturation et d'altération (carbonate) de direction NNE recoupant le centre du pluton Opawica fut également interprétée suite au premier programme de forage de mort-terrain (Graham et autres, 1988).

4.0 GEOLOGIE ECONOMIQUE

4.1 GENERAL

La propriété Boyvinet est localisée à quelques kilomètres des trois gisements de la région (figure 3): Lac Bachelor (Au), Lac Shortt (Au) et Coniagas (Zn, Ag, Pb). Le deuxième est le seul en exploitation au début de 1992 et devra fermer au courant de la même année.

La mine Lac Bachelor (1982-1989) est localisée dans les lots 18 et 19 du rang IV du canton Lesueur. Ses réserves géologiques diluées initiales étaient de 0.88 Mt @ 6.22 g/t Au (Buro, 1984). Le gisement occupe une zone de déformation silicifiée et hématisée orientée ESE qui recoupe des roches volcaniques et l'intrusion granitique O'Brien. Toutes les roches volcaniques contiennent des sulfures disséminés, surtout de la pyrite avec un peu de pyrrhotite et chalcopryrite.

La mine Lac Shortt (1984-1992) est située à environ 100 km à l'ouest de Chapais ou à 11 km à l'est de la propriété Boyvinet. L'inventaire "in-situ" initial était de 1.94 millions de tonnes @ 6 g/t Au (Cormier, 1984). A ce jour, le gisement a produit 1 882 845 tm de minerai à une teneur moyenne de 4.93 g/t Au et les réserves au 1er janvier 1990 étaient de 885 219 tm @ 4.82 g/t Au (Quirion, 1990).

Le minerai est constitué d'une mylonite pyriteuse dolomitique contenant des fragments de syénite. Cette mylonite est le résultat

de la déformation et du remplacement d'un gabbro injecté de syénite formant l'éponte inférieure de la zone de déformation Lac Shortt. Le gisement se distingue par une association spatiale avec un complexe alcalin à carbonatite et syénite qui est responsable de la fénitisation des roches encaissantes (Quirion, 1991). La zone de déformation Lac Shortt est caractérisée par un schiste à séricite et dolomie avec fuchsite mineure, généralement de 5 à 10 mètres de largeur.

La mine Coniagas (Zn, Ag, Pb), en opération de 1958-1967, est localisée à 2 km à l'ouest de la mine du Lac Bachelor. La minéralisation est du type sulfures massifs volcanogènes, constituée de sphalérite, de pyrite, d'argent natif, de chalcoppyrite et de galène dans des tufs et tufs à lapillis. Plus de 700 000 t de minerai @ 10.7% Zn, 1% Pb et 182 g/t Ag y furent extraits (Riverin, 1982).

4.2 MINÉRALISATION SUR LA PROPRIÉTÉ

Les indices minéralisés connus avant 1988 (figure 4) incluaient l'indice Boyvinet (<4.11 ppm Au - Potapoff 1987), les faibles valeurs (< 0.9ppm Au sur 1.22m) obtenues en forage et dans une série de tranchées sur la rive nord de la péninsule Opawica dans la syénite (Troop, 1982) et un échantillon choisi prélevé près du contact SW de la syénite (localisation mal définie) qui aurait titré 21.4 oz/t ou 733.7 g/t (GM 10172). Les forages Sullico dans le secteur ouest donnèrent un maximum de 0.34 g/t Au sur 0.5 mètre.

Lors de la cartographie de Minnova (1988), plusieurs secteurs minéralisés additionnels furent définis (LeBlanc, 1988). La minéralisation est associée à des zones d'altération en hématisilice-calcite avec ankérite mineure et pyrite fine disséminée dans la syénite du pluton Opawica et dans les roches intrusives intermédiaires à mafiques encaissantes (figure 4).

Les valeurs maximales obtenues lors de ce programme de cartographie furent 3.1 ppm Au, 2.1 ppm Ag, 772 ppm As, 2160 ppm Cu et 760 ppm Zn. En excluant les valeurs de l'indice Boyvinet, ces maxima tombent à 3.1 ppm Au, 0.5 ppm Ag, 50 ppm As, 113 ppm Cu et 163 ppm Zn. Le type de minéralisation aurifère associé aux veines de quartz sur l'indice Boyvinet possède donc apparemment une signature géochimique distincte de celle de la minéralisation dans la syénite ou dans son encaissant. Sur un total de 49 échantillons, 31 ont montré des valeurs supérieures à 100 ppb (LeBlanc, 1988).

La minéralisation aurifère est très répandue à l'intérieur de la syénite du pluton Opawica et à l'intérieur des intrusions mafiques encaissantes. Sur les 17 sondages effectués lors du programme de forage de 1989, 15 donnèrent des intersections de plus de 0.5 g/t Au sur plus de 0.3 mètre, 8 de ces forages recoupant des valeurs de plus de 1.0 g/t Au sur plus de 1.0 mètre. Les meilleures

valeurs furent de 2.66 g/t Au sur 10.67 mètres incluant 4.79 g/t sur 3.20 mètres (BV-09), 2.68 g/t Au sur 5.64 mètres, incluant 2.16 mètres à 5.47 g/t Au (BV-04), 4.14 g/t Au sur 6.10 mètres et 4.35 g/t sur 1.55 mètres (BV-10) et enfin 2.31 g/t Au sur 6.55 mètres, incluant 3.80 g/t sur 1.55 mètres. D'importantes anomalies en Pb et Cu et des anomalies de moindre importance en Zn et Sb furent également obtenues.

Les cinq intersections potentiellement économiques données ci-haut définissent 4 zones de minéralisation, soit i) le contact nord de la syénite, près du contact sud de la zone de déformation Lac Shortt (ZDLS), ii) la zone de fracturation ouest (ZFO), iii) la zone de fracturation est (ZFE) avec deux intersections et iv) la zone pyriteuse ouest. Seule la quatrième zone n'est pas à l'intérieur ou en bordure du pluton Opawica.

Les trois premières zones minéralisées sont caractérisées par une forte intensité de fracturation et d'altération en hématite, silice et calcite, avec généralement moins de 3% de pyrite fine disséminée. La zone minéralisée associée à la ZDLS est en fait une roche métasomatique où l'hématite est accompagnée par du feldspath (albite et/ou K-feldspath?) secondaire. La quatrième zone, visuellement distincte, est caractérisée par une forte fracturation et une altération en dolomie, silice et albite avec pyrite fine atteignant localement plus de 10%.

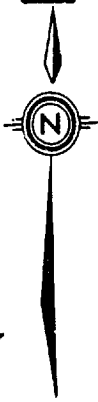
La texture porphyrique du pluton Opawica, les types et distribution des faciès d'altération et les caractéristiques de la minéralisation (Au, absence de Cu) suggèrent que la minéralisation est du type porphyre Au (Speidel, 1991).

5.0 RESULTATS DU PROGRAMME DE FORAGE

5.1 GENERAL

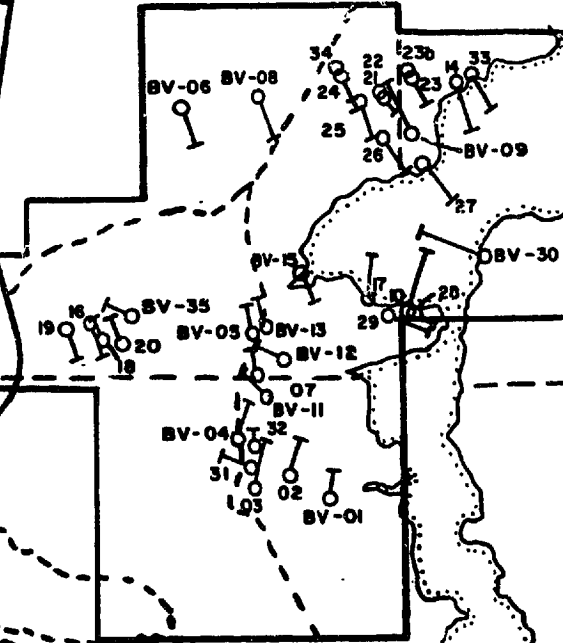
Un total de 5 992.14 mètres (19 659 pieds) répartis en 19 trous furent forés sur la propriété en 1990 (figure 5). Un total de 14 trous (4 033.47 mètres) servirent à sonder les extensions des zones potentiellement économiques définies en 1989 tandis que 5 trous (1 958.67 mètres) visaient des cibles géochimiques et/ou géophysiques supplémentaires.

Un total de 2 367 échantillons furent analysés. En moyenne, 37.6% de la longueur totale forée fut échantillonnée. Les échantillons furent analysés pour Au, Cu et Zn par le laboratoire de Minnova, division Opémiska, à Chapais. Un total de 63 rejets furent également réanalysés en double au laboratoire Bourlamaque de Val d'Or pour confirmer les teneurs en Au.



BOYVINET
LÉSUEUR

113



ILE
OPAWICA

GAND
LESPEFANCE

LAC
BILLY

LAC
OPAWICA

LAC
BACHELOR

 **MINNOVA** inc.
DIVISION EXPLORATION

LMC · BOYVINET

LOCALISATION DES FORAGES
Figure 5

Dessiné par: E.D.
Révisé par: F.R.
Date: MAI 1991

Echelle
1 : 50 000

Le **tableau 3** ci-bas présente les statistiques pour chaque forage. Les coordonnées de localisation sont les stations réelles de la grille impériale dans ce tableau, tandis que seules les localisations métriques théoriques sont données dans les tableaux de journaux sommaires plus bas. Dans les journaux de sondage en annexe, les deux coordonnées sont données.

Les résultats sont présentés par secteurs dans les pages suivantes. Ces secteurs incluent, du nord au sud: i) ZDLS, ii) le pluton Opawica, iii) la zone de contact sud et iv) la zone ouest. Le secteur de la ZDLS inclut tout l'intervalle depuis les gabbros du côté nord de cette structure jusqu'au pluton Opawica du côté sud. Le secteur du pluton Opawica inclut tous les sondages forés majoritairement ou entièrement dans la syénite, tandis que la zone de contact sud inclut la zone de transition du côté sud du pluton. La zone ouest inclut les gabbros et diorites formant l'encaissant sud et ouest et s'étendant à plus de 1 km à l'ouest du pluton.

5.2 GEOLOGIE

Les résultats obtenus sont donnés pour chacun des quatre secteurs forés, en incluant les journaux sommaires. Une description géologique détaillée pour le secteur (types de roche, structure, altération et minéralisation) est ensuite présentée.

5.2.1 SECTEUR ZONE DE DEFORMATION LAC SHORTT

SOMMAIRE DES FORAGES

Huit forages sondèrent les extensions latérales et en profondeur de la zone minéralisée BV-09, définie lors des forages de 1989 (Speidel, 1991). Cette zone minéralisée est localisée au contact nord du pluton Opawica, près du contact sud de la ZDLS. Dans les journaux sommaires ci-bas, les meilleures intersections pour chaque intervalle décrit sont données et ce seulement si on y trouvait des valeurs de plus de 0.25 g/t Au sur plus de 0.30 mètre. Ces résultats ne tiennent pas compte des réanalyses effectuées récemment.

Section 8 + 50 E (BV-21, BV-22)

Les sondages effectués sur cette section sondaient la continuité en profondeur de la zone potentiellement économique BV-09 définie en 1989. Cette zone avait donnée une intersection de 4.79 g/t Au sur 3.20 mètres dans un intervalle plus large de 10.67 mètres titrant 2.66 g/t Au.

TABEAU 3
STATISTIQUES DE FORAGE

TROU	STATISTIQUES						BUT DU FORAGE	
	Localisation \$		Orientation		Longueur(m)			
	Grille	Long.	Lat.	Azimut	Plongée	Totale		Analysée
BV-18	B1	5200W	1250N	332	-53	195.07	65.11	Continuité verticale de la zone BV-16
BV-19	B1	5600W	1950N	152	-45	331.32	137.13	Continuité ouest de la zone BV-16
BV-20	B1	4800W	900N	332	-45	254.82	88.97	Continuité est de la zone BV-16
BV-21	B1	2800E	3050N	152	-48	64.01*	0.00	Sondage abandonné; repris avec BV-22
BV-22	B1	2800E	3200N	152	-62	352.35	118.84	Continuité en profondeur de la zone BV-09
BV-23a	B1	3200E	2900N	152	-60	51.82*	0.00	Sondage abandonné; repris avec BV-23
BV-23	B1	3200E	3050N	152	-50	385.58	205.01	Continuité est de la zone BV-09
BV-24	B1	2400E	3500N	152	-48	331.02	86.90	Continuité ouest de la zone BV-09
BV-25	B1	2400E	2800N	152	-50	385.27	214.00	Diorite porphyrique et syénite à l'ouest de la zone BV-09
BV-26	B1	2400E	2000N	152	-45	385.88	260.36	Partie nord de la syénite Opawica
BV-27	B1	2800E	1300N	140	-45	432.82	184.41	Continuité nord de la zone BV-10 (ZFE)
BV-28	B1	850E	1450S	152	-45	199.95+	21.46	Discontinuité mag nette @ EW à l'intérieur de la syénite
BV-29	B1	000W	1150S	110	-45	395.03+	111.59	Extension sud de la zone BV-10 (ZFE)
BV-30	B3	400E	1450N	286	-45	554.74	214.80	Continuité nord de la zone BV-10
BV-31	B2	300E	1000N	287	-45	279.20	49.29	Continuité sud zone BV-04 et secteur anormalique en PAF
BV-32	B2	400E	1450N	360	-45	181.66	57.91	Discontinuité mag EW possiblement reliée à la zone BV-04
BV-33	B1	4400E	2400N	140	-60	590.10	279.29	Intersection de ZFE, ZDLS et contact NE de la syénite
BV-34	B1	2400E	3550N	152	-60	367.59	125.43	Contact métasomatisé entre syénite et ZDLS en profondeur
BV-35	B1	4400W	1350N	295	-45	253.90	32.55	Extension NNE possible de la zone BV-16
Total						5992.14	2253.05	

N.B.: + BV-28 et BV-29 forés en partie sur projet Ile Opawica. Métrage donné ici est la longueur totale des sondages. Longueur totale forée sur Boyvinet est de 47.55 et 180.75 mètres, respectivement, pour les deux sondages et 5625.46 mètres pour le programme complet.
\$ Grilles impériales coupées aux 400 pieds; coordonnées réelles données ici

Le forage BV-21 dut être abandonné à 64.01 mètres dans le mort-terrain dû au bris du tubage. Le sondage BV-22 fut débuté plus au nord et foré dans le même but (tableau 4).

Dans le sondage BV-22, l'éponte supérieure de la ZDLS est formée d'une unité de gabbro magnétique ou à leucoxène à texture phanéritique moyenne. Au contact nord de la ZDLS, on recoupe une brèche tectonique graphitique de puissance métrique et enfin la ZDLS, d'une largeur apparente d'environ 100 mètres. Une zone de dykes de lamprophyre et une zone métasomatique de faible puissance (métasomatite nord) marque la limite sud de la ZDLS. Le sondage recoupe ensuite une diorite à phénocristaux de feldspath, de puissance décamétrique, avant d'atteindre la syénite. Finalement, on recoupe une zone métasomatique au contact nord de la syénite. Le sondage termine dans la syénite.

Sur cette section le pendage de la ZDLS est de 77° vers le nord (identique à celui de cette structure à la mine Lac Shortt), et sa largeur réelle de 61 mètres. Le contact nord de la syénite montre un pendage de 47°N, subparallèle à la plongée du sondage BV-09. Les zones métasomatiques aurifères de BV-09 pourraient donc ne représenter qu'une seule, soit la métasomatite sud qu'on retrouve typiquement au contact nord de la syénite. Cette métasomatite n'est pas aurifère dans BV-22.

La continuité verticale de la roche métasomatique qui contient la zone BV-09 put donc être confirmée, mais pas celle de la minéralisation aurifère. Le forage "down-dip" de BV-09 explique la diminution de la largeur de la métasomatite dans BV-22 mais non l'absence de l'or. Ceci pourrait être dû à:

- i) Distribution erratique de l'or dans la zone BV-09
- ii) La zone BV-09 serait reliée à la ZFO, d'orientation NNE, plutôt qu'à une zone minéralisée EO de l'éponte inférieure de la ZDLS, et aurait été manquée dans BV-22.

Section 9 + 75 E (BV-23a, BV-23)

Le sondage BV-23a, foré à environ 123 mètres à l'est de BV-09, vérifiait la continuité est de cette zone, l'hypothèse de travail retenue étant celle d'une orientation EO de la zone minéralisée. Ce trou fut à nouveau abandonné dû au bris de tubage dans le mort-terrain. A ce stade des travaux, la position de la fosse de mort-terrain (plus de 45 mètres d'épaisseur réelle) associée à la ZDLS put être définie, et ainsi les collets des forages subséquents furent planifiés de façon à éviter cette fosse.

Ce forage fut donc repris dans BV-23 (tableau 5), à environ 50 mètres au nord. La même séquence stratigraphique que dans BV-22 fut recoupée. Toutefois, la puissante unité de schiste graphitique de

TABLEAU 4
FORAGE BV-22

Localisation: 8+53E, 9+75N		Plongée: -62°	Azimut: 152°
Intervalle (m)	Unité	Sulfures	Notes (g/t Au /m, etc)
0-28.04	Mort-terrain		
28.04-118.72	I3AMGLX+=+CL+CCEP (PY)vAK	Tr-0.5% PY	
28.04-34.60:	LX+=+DMAB(SiCL) (PY)vABQZ	Tr.-3% PY	-
88.79-97.99:	M18LX+=+CLAKvAK	Tr. PY	-
97.99-118.72:	LX+=+(#)CICCVAK		0.38/0.79
118.72-130.15:	M18=++GP++(DMSR) vQZCC	Tr. PY	-
130.15-224.03:	M4=++DMSR(CL)vCC	Tr. PY locale	ZDLS
215.74-224.03:	Zone I4N(MG)[.]PX		-
224.03-279.35:	I2?m[.]FP#CL (CCHM)(PY)vCC	Tr-1% PY	1.03/0.43
224.03-230.31:	M15(M18?)#HMCL (SRDMAB)(PY)vCC	Tr.-1% PY	M15 nord
279.35-352.35:	I2D-(MG)Si(HM)	Tr. PY	1.75/1.46
279.35-280.27:	M17=++HM+CLCC		M15 sud 0.34/1.22
280.27-288.56:	M15{#++HM+CLCC à #Si+(HM)}	Tr. PY	
282.25-282.77:	I4N(MG)BOCLCCvCC		
352.35	Fin du trou		

TABLEAU 5

FORAGE BV-23

Localisation: 9+75E, 9+30N		Plongée: -50°	Azimut: 152°
Intervalle (pieds)	Unité	Sulfures	Notes (g/t Au /m, etc)
0-46.94: Mort-terrain			
46.94-94.37:	I3AMGLX=+CL+	Tr. PY	-
94.37-177.30:	M4=+SR+DMCCCL(Si) vCC ± M18=++GP+PY VCCQZ	Tr. PY	ZDLS
174.2-177.3: Zone I4N(MG)[.]PX			
177.3-227.78:	I2Jm[.]FP#SiCL (HMCCEP)± I3A	-	0.69/1.40
177.3-182.94:	M15=+#HMDMSRSi	Tr. PY	M15 nord
204.7-211.59:	Zone I4NMG[.]PX BOCCvCC		
227.78-385.58:	I2D-(MG)[.]FP#Si (HM)vQZ	Tr. PY	0.30/138.29 1.11/8.69 dont 3.48/1.16
227.78-241.68:	M15#+HM(SRCC) vCLvQZ	Tr-0.5% PY	M15 sud 2.00/3.41 dont 4.03/1.22
385.58	Fin du trou		

l'éponte supérieure de la ZDLS notée dans BV-22 se réduit ici à quelques lambeaux à l'intérieur de la partie supérieure de la ZDLS.

La ZDLS possède ici une largeur apparente de 83 mètres, soit une largeur réelle de 71m avec un pendage de 77°. Le sondage recoupa encore une zone de dykes de lamprophyre et la métasomatite nord qui marquent le contact inférieur de la ZDLS, suivi d'un intervalle de diorite porphyrique puis la métasomatite sud, au contact nord de la syénite. Le trou se termina dans cette dernière roche.

De la minéralisation aurifère significative fut recoupée dans la métasomatite sud (2.00 g/t Au sur 3.41 m dont 4.03 g/t sur 1.22 mètres) et à l'intérieur de la syénite (1.11 g/t Au sur 8.69 mètres dont 3.48g/t sur 1.16 mètres) sur plusieurs intervalles métriques, sans toutefois atteindre une teneur potentiellement économique. Il demeure donc possible que la métasomatite sud constitue la continuité est de la zone BV-09. Les largeur et teneur supérieures dans BV-09 seraient dues au forage "down-dip" et à la présence de la ZFO dans ce dernier sondage, respectivement.

Section 7 + 25 E (BV-24, BV-25 et BV-34) (tableaux 6, 7 et 8)

Une clôture de 4 sondages ont recoupé l'ensemble des lithologies depuis l'éponte supérieure de la ZDLS jusqu'au coeur de la syénite pour nous donner un excellent aperçu général. Le dernier sondage de cette clôture (BV-26) fut foré entièrement à l'intérieur de la syénite et sera donc présenté dans la prochaine section (pluton Opawica).

Les trois forages mentionnés ci-haut vérifiaient l'extension ouest de la zone potentiellement économique définie dans BV-09. La séquence habituelle fut recoupée, avec l'unité de brèche tectonique graphitique formant l'éponte supérieure de la ZDLS, d'une puissance réelle de 75 mètres sur cette section. Une zone de lamprophyres marquait à nouveau le contact inférieur de la ZDLS, qui montre un pendage de 79°N dans cette section. Le contact nord de la syénite est penté à 24°N entre les sondages BV-24 et BV-25 mais se subverticalise en profondeur vers le nord (entre BV-24 et BV-34). Les métasomatites nord et sud furent recoupées ainsi que plusieurs zones métasomatiques additionnelles dans la diorite de l'éponte inférieure de la ZDLS et à l'intérieur de la syénite.

Etant donné les pendages différents pour le M15 nord (77°N) et le M15 sud (20-50°N), le sondage BV-34 devait tester l'hypothèse selon laquelle les deux zones convergent vers une seule zone plus puissante en profondeur, située au contact avec l'éponte inférieure de la ZDLS. La bifurcation de cette zone unique formerait une zone de dilatation favorable à la minéralisation aurifère.

TABEAU 6
FORAGE BV-24

Localisation: 7+32E, 10+67N		Plongée: -48°	Azimut: 152°
Intervalle (m)	Unité	Sulfures	Notes (g/t Au /m, etc)
0-28.04	Mort-terrain		
28.04-133.69	I3AMGLX+=CL(EPCC) (PY)vCC	Tr.-0.5% PY	0.72/0.34
60.50-70.44	LX+=+CLCCVQZCC	Tr. PY	
83.97-90.22	LX+=+CLCCvCC	Tr. PY	
121.46-133.69	=++DM+, M4=++CLvDM	-	
123.75-124.73	Zone I4NMG[.]PXBOCC		
133.69-145.7	M18=++GF+vAKvQZCC	<3% PY	-
145.7-211.29	M4=++DMSRCLCCvCCQZ	Tr. PY	ZDLS -
201.66-205.59	M15=++{CL+(HMSR) à HM(CL)}vCC	Tr. PY	
205.59-211.29	I4NMG+[.]PXBO+CC+vCC		
211.29-265.18	I2Jm[.]FP#CL(Si)	Tr. PY	1.50/1.68
211.29-218.24	M15=+#DM+HMCL	Tr-0.5% PY	M15 nord 0.96/3.32
255.24-259.08	Zone I4NPXBOCCMGvCC		
261.52-265.18	M15{=++HM++CC+CL à #HMSi(PY)}vQZ		0.25/96.01
265.18-331.02:	I2DMG#(HM)	Tr.-0.5% PY	-0.59/8.87
265.18-269.60	M15MG#+HMSRCC(PY)	Idem	M15 sud
296.97-309.53	M15#+HMSRSivDM	Tr-1% PY	0.79/ 4.45 et 1.99/2.87
299.45-299.71	I4P#+++CC++(PY)	>Tr. PY	0.24/ 0.24
331.02	Fin du trou		

TABLEAU 7
FORAGE BV-25

Localisation: 7+32E, 8+53N		Plongée: -50°	Azimut: 152°
Intervalle (m)	Unité	Sulfures	Notes (g/t Au /m, etc)
0.0-21.95	Mort-terrain		
21.95-151.24	I2Jm[.]Fp#+SiCL (EP)vCC	Abs.-Tr.PY	2.67/ 2.38
33.19-41.51	CL+(BORB?)vCC		-
46.27-47.67	Zone I4NMG+[.]PX BOCCVCC		-
63.34-66.57	M15#+HM+(PY) VCBHM	Tr.-2% PY	[1.51/ 3.23 0.58/28.65
117.18-127.04	M15#=CC(HM)	Tr. PY	0.27/ 0.79
146.61-151.24	M15#+Si+HMCC vQZvCC	Tr.-0.5% PY	M15 sud
151.24-385.27	I2D(MG)#	Tr.-1% PY	
151.24-216.93	I2D(MG)#HMCCSi (PY)vCL	Tr. PY	[0.62/ 0.58
167.82-170.66	M15#+HMSi(SRCC) vCCvQZ	Tr. PY	0.24/ 1.62
174.10-181.21	M15#+HM+SR(CC) (PY)CLvQZ	Tr. PY	0.45/ 1.16
216.93-385.27	I2D(MG)-[.]FP (HMCC)vQZ	Tr.-1% PY	0.70/ 2.74
233.91-241.25	M15#+Si+HM(SR) (PY)	Tr. PY	[1.99/ 0.55 0.17/46.88
338.09-343.94	M15#+SiHM(SR)		0.55/ 1.71
359.97-363.02	M15#+Si+DMvQZ	Tr.-1% PY	0.72/ 3.05
385.27	Fin du trou		

TABLEAU 8
FORAGE BV-34

Localisation: 7+32E, 10+82N		Plongée: -60°	Azimut: 152°
Intervalle (m)	Unité	Sulfures	Notes (g/t Au /m, etc)
0.00-16.15	Mort-terrain		
16.15-19.69	I3A1 (vQZvCC)		
19.69-149.78	I3AMG (vCC)		
28.01-42.12	=+CC+CBLX/5%VCCQZCB/(PY)		
37.37-37.49	I4NCCMG[.]OV		
70.01-74.22	=+CLCC+(SR)LX/5%VQZCC/PY-PY+		
77.12-77.39	I4NMGCC[.]OV		
85.74-85.77	I4NMGCC		
148.78-159.72	M4CLCCBSR(GP)	>Tr. PY	
150.69-151.64	I4NMGCC[.]OV		
159.72-193.09	M4GPCC, M4CCSR/\GP, M4SRCCCBGP		
193.09-267.77	M4SRCLCBCC		ZDLS
265.63-267.77	I4NBOCCMG[.]OV		
267.77-301.45	I2J[.]FP 50%CCHM		0.52/ 1.52
301.45-367.59	I2F[.]FP/CC(HM)		
301.45-346.56	M15FPHM(SRCCCB)/10%VQZ/PY		M15 sud? 1.61/ 2.99
335.62-337.42	I4NBOCCMG[.]OV		
343.79-343.94	I4NBOCCMG[.]OV		
367.59	FIN DU SONDAGE		

Dans le sondage BV-34, le contact nord de la syénite se subverticalise en profondeur et celle-ci n'est donc pas en contact direct avec la ZDLS. La zone métasomatique de BV-34 est très large (plus de 40 mètres dans BV-34, vs quelques mètres dans les autres sondages). Dans BV-34, cette large zone occupe la position de la métasomatite sud, au contact supérieur de la syénite. La métasomatite nord n'a pas été reconnue. Malheureusement, la minéralisation aurifère n'a pas augmenté sensiblement.

On observe d'importants intervalles minéralisés surtout dans la diorite et la syénite de l'éponte inférieure de la ZDLS. Les métasomatites nord et sud sont aurifères mais titrent généralement sous 1 g/t Au sur des intervalles métriques. Les meilleures valeurs furent de 1.99 g/t Au sur 2.87 mètres dans la syénite métasomatisée de BV-24, 1.61 g/t sur 2.99 mètres dans la métasomatite "sud" de BV-34 et 2.67 g/t Au sur 2.38 mètres dans la diorite porphyrique altérée de l'éponte inférieure de la ZDLS dans BV-25. Sur cette section, la corrélation entre la zone BV-09 et la métasomatite sud demeure possible.

Section 13 + 50 E (tableau 9)

Suite à la compilation des résultats des forages mentionnés ci-haut, des cibles prioritaires additionnelles furent définies. La première, l'intersection de la ZFE avec les zones métasomatiques de l'éponte inférieure de la ZDLS au contact NE de la syénite, semblait propice au développement d'un diatrème ou zone de brèche hydrothermale minéralisée. L'hypothèse était appuyée par une augmentation notable de l'étendue de la fracturation et de la minéralisation aurifère dans le sondage BV-14 environ 150 mètres à l'ouest de la zone d'intersection proposée de 1989.

Le sondage BV-33 visait donc l'intersection de la ZFE avec le contact nord-est de la syénite. Le sondage recoupa le gabbro habituel de l'éponte supérieure de la ZDLS, mais la ZDLS comme telle se limita à une zone d'une puissance métrique constituée de dykes de lamprophyre et de schiste à chlorite.

Dans l'éponte inférieure de cette zone, on retrouve l'unité de diorite porphyrique avec des intercalations (dykes, apophyses du pluton?) syénitiques. De la minéralisation semi-continue en Au fut intersectée de 235.2 à 350.1 mètres, contenant de nombreuses intersections dont quelques-unes sont données ci-bas. Ces intersections pourraient fort bien corrélérer avec les métasomatites nord et sud obtenues dans les sondages plus à l'ouest.

L'absence d'une unité bien définie de syénite à la fin du sondage suggère que le trou passa immédiatement à l'extérieur du contact NE de la syénite. La fracturation dans la diorite n'y est pas supérieure et aucune zone de brèche hydrothermale significative ne put être définie. La présence de la ZFE n'y est pas évidente.

TABLEAU 9

FORAGE BV-33

Localisation: 13+41E, 7+32N		Plongée: -60°	Azimut: 140°
Intervalle (m)	Unité	Sulfures	Notes (g/t Au /m,etc)
0.00-12.19	Mort-terrain		
12.19-164.93	I3A(#) (CL) (BO)?	Abs.	
87.97-94.85	=CLSR(CC) (LX) 15%vCC (I4P)?(PY)	Tr.-0.5% PY	-
108.21-117.65	#CL+(LX) 5%vCC	Abs.	-
117.65-123.08	=+#CL+LX10%vCC	Abs.	-
123.08-127.41	=(#) CL+CCLXSR? vQZ(CC)	Abs.	-
127.41-131.13	(#) CL+CCLX	Abs.	-
131.13-133.93	=+(#) CL+CCLXvCC	Tr. PY	-
148.59-164.93	(#) CL+LXvCC	Abs.	0.38/0.91
164.93-175.11	I4NMGCCBOvCC/ M4=++CL++	Abs.	ZDLS?
175.11-319.16	I2J[.]FP(#)	Abs.	2.02/ 1.52
180.14-190.11	(M15)#+AB+(EP) vCLCC	Tr. PY	-
190.11-208.88	#+AB(EP) (CL)	Abs.-Tr. PY	-
208.88-239.58	I2D?(M15)#+(MG) HM(CLCC) (Si)? /AB(EP)	Abs.-Tr. PY	0.62/20.06 1.91/ 2.65
239.58-302.21	(#) Si (CL) vCC/ HMvCC	Abs.-Tr. PY	1.85/ 2.62 0.35/113.85
302.21-319.16	#Si (CLHM) vCC	Abs.-Tr. PY	
319.16-336.5	I2D#HM(Si)?(CLCC) vCC	Abs.-1% PY	0.62/18.68
336.5-360.89	I2J[.]FP(#) (SiCLHM) vCC	Tr. PY	1.21/ 2.68
360.89-396.06	I2D(MG) (HM)	Abs.-Tr. PY	
360.89-373.63	(M15) (#) HM (CLCC)	Tr. PY	0.41/ 0.76
396.06-590.1	I2J[.]FP(MG) (#) CC (SiCLHM) vCC	Abs.-Tr. PY	1.75/ 0.43
494.45-509.75	CCHM	Tr. PY	1.03/ 3.05
590.10	FIN DU TROU		

Descriptions lithologiques

Bien que les corrélations lithologiques entre les forages soient difficiles en détail, la corrélation des unités principales est aisée. Ainsi, on retrouve 4 unités principales dans le secteur de la ZDLS qui sont, du nord au sud:

- i) Eponte supérieure: Gabbro magnétique déformé
- ii) ZDLS: Schiste à carbonate-séricite ± brèche tectonique graphitique, lamprophyres
- iii) Eponte inférieure: Mélano?-diorite porphyrique à feldspath, microgabbro
- iv) Syénite Opawica

Ces unités sont décrites ci-bas d'après les journaux de forage, selon le même format (unités, structure, altération et minéralisation. Les descriptions viennent compléter celles du rapport de forage précédent (Speidel, 1991).

Eponte supérieure

Tous les forages effectués dans le secteur de la ZDLS recoupèrent le gabbro de l'éponte supérieure de la ZDLS.

Le gabbro de l'éponte supérieure est de couleur vert foncé, avec une granulométrie généralement moyenne mais localement presque aphanitique à grossier. La texture intrusive primaire n'est nettement visible que sur certains intervalles métriques. On y note parfois une texture ophitique (BV-24, 33). La roche est constituée majoritairement de plagioclase et de minéraux mafiques chloritisés xénomorphes à hypidiomorphes millimétriques en proportions environ égales, avec jusqu'à 20% de leucoxène fin à moyen beige ou 7-15% de magnétite xénomorphe de granulométrie moyenne. La magnétite est retrouvée dans les gabbros peu déformés et plus faiblement altérés tandis que le leucoxène prédomine dans les intervalles intensément déformés et plus fortement altérés.

On retrouve également des dykes ou zones de dykes de lamprophyre dans l'éponte supérieure de la ZDLS (BV-24, 33). De nombreuses injections de calcite carbonatitique? sont également observées dans BV-33 au contact NE de la syénite.

Le gabbro montre typiquement un développement de foliation intense à extrême hétérogène, avec des intervalles à texture mylonitique ou encore formant des schistes à chlorite. La roche est compétente dans les intervalles fortement foliés mais se débite dans les intervalles extrêmement foliés. On note des crénulations d'échelle millimétrique et aussi des kinkbands dans ces derniers intervalles. La foliation est définie par l'alignement de grains et agrégats de leucoxène et, par endroits, de plans de chlorite anastomosés.

La fracturation est peu développée. On observe surtout des fractures irrégulières remplies de calcite et de quartz-calcite d'échelle millimétrique à espacement centimétrique. La fracturation succède à la déformation ductile puisque les fractures recoupent les plans mylonitiques. Ces fractures déplacent également les veinules d'ankérite.

L'altération est variable, généralement caractérisée par une chloritisation et carbonatation (calcite) diffuses d'intensité moyenne avec concentrations locales de carbonates de fer (BV-22), particulièrement abondantes, sous forme de veinules (> 10%), dans les intervalles extrêmement déformés. La séricite est plus importante dans les intervalles plus fortement altérés. Plusieurs intervalles métriques à décimétriques de schiste à chlorite furent recoupés. On observe de la saussuritisation et de l'hématitisation locales. La biotitisation est peu évidente sauf dans certains intervalles restreints (BV-22). La biotitisation est omniprésente dans BV-33, très fine et diffuse, donnant une teinte brune à la roche. Des traces de riebeckite? bleutée sont également observées dans ce même sondage.

La minéralisation est généralement limitée à des traces de pyrite disséminée avec concentrations locales (jusqu'à 10%) dans certains intervalles ankéritisés ou chloritisés. Cette unité contient quelques anomalies isolées en Au (maximum 720 ppb dans le BV-24), quelques anomalies isolées en Cu (maximum 13 360 ppm dans BV-33) et Zn (maximum 2190 ppm dans BV-33). Les teneurs plus élevées en Cu sont typiquement associées à des étroites zones de sulfures disséminés. Celles de Zn le sont avec des veines et veinules de quartz avec ou sans sulfures visibles, des zones d'altération en calcite et des injections de carbonatite. La valeur maximale de Zn provient d'une injection de calcite carbonatitique (texture et composition intermédiaires entre une injection de carbonatite et une veinule de calcite), qui est également anomalique en Ag (4.1 ppm).

Zone de déformation Lac Shortt

Le contact nord de la ZDLS est marqué par la présence d'une unité de brèche tectonique graphitique de puissance métrique à décimétrique notée dans les sondages BV-22, BV-23, BV-24, BV-34. Ces brèches graphitiques sont également rencontrées à l'intérieur de la ZDLS (BV-23). La limite nord de la ZDLS est arbitrairement définie par l'apparition de la première zone de déformation après l'unité de brèche graphitique où la séricite prédomine sur la chlorite. Cela exclut donc de la ZDLS l'unité de schiste graphitique et les zones de déformation dans le gabbro de l'éponte supérieure.

L'unité de brèche tectonique est de couleur noire, et montre une structure laminaire millimétrique avec alternance de lamines grises et noires. Ces lamines sont discontinues et font partie d'une structure de brèche tectonique. Le protolithe est incertain, il pourrait s'agir d'une unité sédimentaire graphitique ou encore d'une zone de déformation graphitique à lamination strictement tectonique.

L'intensité de déformation est extrême sur toute l'unité. La foliation varie en orientation de 0-45° AC, avec un développement d'une deuxième foliation à 5° par rapport à la première. On observe une faible dolomitisation et séricitisation locales. Une fracturation cassante succède à la foliation et recoupe les veinules de quartz-calcite.

La minéralisation est sous forme de pyrite très fine en fragments ou en bandes semi-massives.

La ZDLS comme telle est intensément à extrêmement déformée (mylonitique) et moyennement à intensément altérée. Le contact supérieur est abrupt, le contact inférieur progressif (BV-22). L'intensité de déformation devient plus faible et hétérogène en profondeur. La roche est de couleur gris à gris-beige. Quelques intervalles à granulométrie plus grossière (moins déformés?) sont constitués d'environ 40 % plagioclase calcitisé et environ 60% minéraux mafiques chloritisés. On y note à l'occasion des agrégats de leucoxène, ce qui pourrait suggérer un protolithe identique à l'éponte supérieure. De plus, le sondage BV-34 exhibe une brèche où les fragments déjà séricitisés possèdent une matrice graphitique. Cela indique donc une séricitisation précoce et un rejeu tardif de la ZDLS avec apport secondaire de graphite. L'hypothèse préférée est donc celui d'un protolithe gabbroïque semblable à celui de l'éponte supérieure. La granulométrie très fine à aphanitique suggère qu'il s'agit d'une ortho- à ultra-mylonite.

La ZDLS est spatialement associée avec des concentrations de dykes de lamprophyre ultramafique. Ces dykes marquent le contact inférieur de la ZDLS (BV-22, 23, 24, 34). Ils sont de puissance centimétrique à métrique, de couleur brun foncé, à texture phanéritique fine et constitués de ~ 10% phénocristaux mafiques (olivine serpentinisée?) et d'une matrice de biotite, calcite et magnétite avec peu ou pas de feldspath. Ces dykes sont généralement frais, localement faiblement chloritisés. Dans BV-33, la ZDLS se réduit à un intervalle métrique constitué seulement de dykes de lamprophyre et de schiste ou gouge à chlorite.

Le développement de la foliation est très homogène et généralement extrême, avec intervalles orthomylonitiques démontrant une lamination compositionnelle tectonique submillimétrique bien définie. Les septa (séricite) sont anastomosés à l'échelle submillimétrique, d'espacement millimétrique. La foliation est souvent plissotée (longueur d'onde et amplitude centimétriques) et

des kinkbands sont observés. L'intensité de déformation diminue vers le sud (BV-22, 24). On note également une fracturation irrégulière qui recoupe la foliation.

L'altération est caractérisée par la carbonatation (ankérite/dolomie et calcite) qui est responsable de la teinte grisâtre, la séricitisation qui donne une teinte vert pâle et la chloritisation qui donne une coloration plus foncée. Dans certains intervalles la séricite prédomine, dans d'autres c'est la chlorite. Ainsi, dans BV-22 et BV-24, la séricitisation diminue vers le sud, tandis que dans BV-23 de nombreux intervalles sont intensément séricitisés. Par endroits la séricite semble remplacer le graphite (BV-23).

La minéralisation est peu abondante, généralement limitée à des traces de pyrite, atteignant localement 1%. Géochimiquement, les anomalies sont limités à des teneurs plus élevées en Zn (maximum 444 ppm) associée soit avec des brèches tectoniques graphitiques ou encore avec des lamprophyres.

Éponte inférieure

L'éponte inférieure de la ZDLS, s'étendant depuis le contact sud de cette structure jusqu'au contact nord de la syénite, est constituée surtout de diorite, souvent porphyrique à feldspath, variablement déformée et altérée, avec des intercalations de microgabbro. Plusieurs zones métasomatiques rouges aurifères sont présentes. Certains forages contiennent aussi plusieurs dykes de lamprophyre à l'intérieur de la diorite. Les encaissants des lamprophyres exhibent une altération distincte avec une plus forte chloritisation avec riebeckite? ou biotite (BV-23).

Le pluton Opawica fut recoupé dans chacun des sondages (sauf BV-33) du secteur ZDLS; il sera décrit dans la section suivante. Dans BV-33, les intervalles de syénite étaient répétitifs et étroits (de puissance métrique à décamétrique). La localisation de ce dernier forage au coin NE du pluton suggère que le forage recoupa des apophyses ou dykes associés à la syénite du pluton Opawica. Ces dykes sont de composition et à texture très variable, certains étant plus felsiques et d'autres plus mafiques que le pluton. Des textures granophyriques y sont notées (BV-33).

Les intervalles plus faiblement altérés montrent une diorite constituée de 5-35% phénocristaux blancs millimétriques idiomorphes à xénomorphes de plagioclase dans une matrice fine à aphanitique vert foncé chloritisée et siliceuse. Ces phénocristaux sont tantôt trapus, tantôt en forme de lattes définissant parfois une texture trachytique.

La diorite est généralement non foliée, mais on observe parfois des intervalles mylonitiques centimétriques à décimétriques

fortement altérés (BV-23). L'intensité de fracturation de type stockwork varie de moyenne à intense. Ces fractures sont surtout remplies par la calcite ou la chlorite et progressent localement en intensité, passant à des des brèches hydrothermales de type "in-situ" (BV-23). La fracturation cassante est superposée à la foliation et succède donc à celle-ci. La fracturation tend à augmenter en s'approchant du contact nord de la syénite.

L'altération est notée surtout sous forme de chloritisation et silicification (ou recristallisation?) de la matrice avec des intervalles de puissance variable marqués par divers faciès incluant épidote-albite, dolomie-(hématite) et hématite. L'altération est tantôt contrôlée par la distribution des fractures, tantôt se retrouve sous forme pénétrative. Dans les intervalles intensément altérés (typiquement en hématite, silice? et/ou dolomie), les phénocristaux de feldspath deviennent de plus en plus flous pour finalement disparaître. De rares veinules de gypse furent notées (BV-33).

Comme lors du programme de forage de 1989, deux zones métasomatiques principales sont généralement présentes. Celle immédiatement au contact inférieur de la ZDLS (métasomatite nord) et celle au contact nord de la syénite (métasomatite sud). La zone métasomatique nord correspond vraisemblablement à la mylonite aurifère de la mine Lac Shortt avec la différence que l'intensité de déformation est moindre sur Boyvinet.

La pyritisation est limitée, atteignant rarement plus de 1% en pyrite disséminée. Les plus fortes concentrations en pyrite sont étroitement associées aux zones métasomatiques rouges mais n'y sont pas limitées.

Il y a de nombreuses anomalies géochimiques (Au) dans l'éponte inférieure, plus particulièrement dans les métasomatites nord et sud mentionnées ci-haut. La valeur maximum est de 5503 ppb dans BV-33. Les valeurs plus typiques varient de 300 à 2 000 ppb. Il y a peu d'anomalies en Cu (maximum 346 ppm dans BV-23) ou en Zn (maximum 363 ppm dans BV-23). Le maximum en Zn est associé avec l'encaissant fortement altéré d'un dyke de lamprophyre.

5.2.2 LE PLUTON OPAWICA

SOMMAIRE DES FORAGES

Un total de six forages furent effectués à l'intérieur du pluton Opawica; il s'agit des trous BV-25 à 29, forés entièrement dans le pluton, et le sondage BV-30 dont la majeure partie fut forée dans le pluton. Les résultats du sondage BV-25 furent déjà donnés dans la section précédente. Les sondages BV-27, BV-29, et BV-30 servaient à sonder la continuité de deux intersections

potentiellement économiques obtenues dans le programme de 1989, soit 4.14 g/t Au sur 6.10 mètres et 4.35 g/t sur 1.55 mètres dans le sondage BV-10.

Section 7+25 E

Deux sondages furent effectués sur cette section, un directement au sud de l'autre. Le sondage BV-25 sondait le contact nord de la syénite, le sondage BV-26 (tableau 10) vérifiait la source d'une large dépression magnétique orientée EO, associée à un faible conducteur VLF et une zone géochimiquement anormale en P_2O_5 , CO_2 , Zr, Na_2O et K_2O (Girard, 1989), plus au sud.

Au contact avec la syénite, une zone métasomatique de puissance métrique fut recoupée (la métasomatite sud mentionnée plus haut. Plusieurs zones métasomatiques de puissance métrique (BV-25) à hectométrique (BV-26) semblables furent également recoupées à l'intérieur de la syénite. L'intervalle métasomatique principal de BV-26, d'une largeur apparente de plus de 180 mètres, explique possiblement les anomalies géophysiques et géochimiques coincidentes. Cette zone exhibe une minéralisation aurifère répandue plus ou moins continue mais aucun intervalle potentiellement économique ne put être défini. La pyrite est restreinte et seules des valeurs erratiques furent obtenues, atteignant localement plus de 5 000 ppb Au. Les meilleurs résultats furent de 2 671 ppb Au sur 2.38 m (BV-25), 411 ppb Au sur 17.98 m de minéralisation continue (BV-26) et 1954 ppb sur 1.28 m (BV-26).

Section 8 + 50 E (BV-27)

Le sondage BV-27 (tableau 11) avait pour but premier de sonder la continuité nord de la zone BV-10, soit à plus de 500 mètres au NNE de l'intersection originale. De plus, le sondage devait recouper, en début de trou, la partie sud de la large zone métasomatique définie dans BV-26, mais sur une section adjacente (120 mètres plus à l'est).

Ce sondage ne recoupa que la syénite. Tel que prévu, un premier intervalle de roche métasomatique correspondait avec la zone de BV-26 qui aurait donc une orientation environ EW, et vers la fin du sondage, une zone métasomatique fut recoupée à l'endroit attendu pour la ZFE ou zone BV-10.

La zone métasomatique correspondant à la zone BV-26 montrait une faible minéralisation aurifère, la meilleure valeur étant de 514 ppb Au sur 5.03 m. L'extension nord de la ZFE fut reconnue par la présence de syénite métasomatisée et fracturée, mais ne montra pas de minéralisation significative en Au.

TABLEAU 10

FORAGE BV-26

Localisation: 7+32E, 6+10N		Plongée: -45°	Azimut: 152°
Intervalle (m)	Unité	Sulfures	Notes (g/t Au /m, etc)
0.0-31.70	Mort-terrain		
31.70-385.88	I2D-(#)	Abs.-Tr. PY	0.17/183.03
103.94-114.36	M15#+HMSi (DMCC)	Tr.PY	0.34/ 8.60
139.42-148.47	M15(#)HM+(SiCC) (SR?) (PY)	Tr.-1% PY	0.41/ 17.98
148.47-178.95	M15#+HMDMSi (CLSR)	Tr.-0.5% PY	0.27/ 7.16
178.95-190.81	M15#Si (HMDM) (CLSR)	Tr.PY	0.24/ 0.76
190.81-220.25	M15#+SiDM (HM) (CLSR)	Abs.-Tr. PY	1.20/ 1.22
220.25-235.58	M15#+HMSiDM (CLSR) (PY)	Tr.-1% PY	0.79/ 1.22
235.58-248.26	M15 (MG) #Si (HMDM) (CLSR) (PY)	Tr.-0.5% PY	0.34/ 3.05
248.26-253.81	M15#SiHM (DM) (CLSR) (PY)	Tr.-1% PY	1.95/ 1.28
253.81-274.75	M15 (MG) #HM+Si (CCSRCL) PY	Tr.-4% PY	1.54/ 1.22
274.75-324.80	M15#Si (HMDM) (CLSR) (PY)	Tr.-1% PY	1.13/ 3.96
324.80-328.27	M15 (MG) Si) (DM) vCLCC	Tr.PY	-
328.27-385.88	I2D-(#) (MG) (SiCCCL)	Tr.PY	0.51/ 0.98
385.88	Fin du trou		

TABLEAU 11

FORAGE BV-27

Localisation: 8+53E, 3+96N		Plongée: -45°		Azimut: 140°	
Intervalle (m)	Unité	Sulfures	Notes (g/t Au /m,etc)		
0.0-8.23	Mort-terrain				
8.23-432.82	I2D(MG) (-) (#) (SiHM CCCL)	Abs.-Tr. PY	2.23/ 1.37		
8.23-52.15	M15(MG) #+HMSiCC vCL(CC)	Tr.PY	0.34/ 1.31		
52.15-106.74	M15(MG) #+CC(HMSi DMVCLCC)	Abs.-Tr. PY	0.51/ 5.03		
106.74-139.60	M15(MG) #Si (CCHMDM)	Abs.-Tr. PY	0.79/ 1.16		
158.53-215.83	Quelques I4N	Absente	-		
311.20-340.16	M15#SiHM(DM?) (CLSR)	Tr. PY	<div style="border-left: 1px solid black; border-right: 1px solid black; padding: 0 5px;"> ZFE 0.31/ 2.50 </div>		
349.09-370.03	M15(MG) #HMSi (DM?CLSR)vCLSi	Tr.-2% PY			
432.82	Fin du trou				

Section 2 + 50 E (BV-28)

Le sondage BV-28 (tableau 12) avait pour but de sonder une discontinuité magnétique nette orientée EW à l'intérieur de la partie centrale de la syénite.

Une syénite peu altérée fut recoupée sur presque toute la longueur du sondage. Deux intervalles métriques de roche métasomatique furent recoupés, correspondant environ à la localisation de la discontinuité magnétique.

La deuxième zone métasomatique montrait 0.5-2% pyrite et une forte minéralisation aurifère, soit 3223 ppb Au sur 2.74m, incluant un intervalle de 1.80 m titrant 4526 ppb Au. Ceci pourrait représenter une nouvelle zone minéralisée.

Section 0 + 00 (BV-29)

Le sondage BV-29 (tableau 13) avait pour but de sonder l'extension SO de la zone BV-10 à environ 520 mètres au SO de l'intersection originale. Le sondage demeura entièrement à l'intérieur de la syénite et recoupa une large zone métasomatique minéralisée en pyrite à l'endroit attendu pour la zone BV-10 ou ZFE. Aucune valeur potentiellement économique ne fut obtenue mais la largeur de la minéralisation indique que la ZFE fut une importante zone de canalisation de fluides minéralisateurs. La meilleure zone, celle correspondant à la ZFE, titra 514 ppb Au sur 29.26 mètres.

Section 8 + 50 E (BV-30)

Le sondage BV-30 (tableau 14) fut foré à partir de la grille B3, soit sur la rive ouest de l'île Opawica, dans le but de sonder la continuité NNE de la zone BV-10 ou ZFE à environ 170 mètres de l'intersection originale.

Le sondage intersecta d'abord la diorite porphyrique habituelle altérée au faciès albite-épidote-chlorite-calcite, puis la syénite du pluton Opawica. Plusieurs intervalles métriques à décamétriques de syénite métasomatisée furent recoupés, dont l'une à l'endroit attendu pour la ZFE. A ce dernier endroit, la pyritisation est variable et des teneurs aurifères anormales sont présentes mais aucune intersection potentiellement économique ne fut obtenue. La meilleure valeur fut de 1886 ppb Au sur 1.52 mètres.

TABLEAU 12

FORAGE BV-28

Localisation: 2+59E, 4+42S		Plongée: -45°	Azimet: 152°
Intervalle (m)	Unité	Sulfures	Notes (g/t Au /m, etc)
0.0-9.14	Mort-terrain		
9.14-199.95	I2DMG-(CLCCSi)vSi	Abs.	0.65/ 0.52
20.88-22.95	M15#+HMAKSi(CC) vSiCL	Tr.-1% PY	
47.18-53.19	M15#+SiCCPYvCL	0.5-2% PY	3.22/ 2.74 dont 4.53/ 1.80
199.95	Fin du trou		

TABLEAU 13

FORAGE BV-29

Localisation: 0+00, 3+51S		Plongée: -45°	Azimut: 110°
Intervalle (m)	Unité	Sulfures	Notes (g/t Au /m, etc)
0.0-6.10	Mort-terrain		
6.10-395.03	I2D(MG)(-)#(SiCC) (CL)vSi(CL)vCC(CL)	Absents	
151.94-164.11	I2D(MG)(#)SiHM	Absents	
164.11-174.38	I2D(MG)#Si(CC) vCLCCvSi(CL)	Absents	
183.98-187.76	I2D(MG)(#)Si(CC)	Tr-0.5% PY	0.51/ 29.26 ZFE
187.76-210.10	M15#+Si(HMCL)(PY) vCLCC	0.5-2% PY	
210.10-236.86	I2DMG-(#)(Si), I2D(MG)#+SiHMvCLCC	Tr.-0.5% PY	1.23/ 1.25
268.38-346.38	I2D(MG)-(#)	Absents	
395.03	Fin du trou		

TABLEAU 14

FORAGE BV-30

Localisation: 8+50E, 3+75S		Plongée: -45°	Azimut: 286°
Intervalle (m)	Unité	Sulfures	Notes (g/t Au /m, etc)
0.0-4.27	Mort-terrain		
4.27-128.02	I2J[.]FP(#) (SiAB) vABSivCC	Aucun	
39.75-49.68	MG+CL+(CCHM) PYvCC	>1% PY±PO	
87.57-103.82	=EPAB(CL)vCC	Aucun	
126.55-554.74	I2D(CL)	Absente	0.36/ 2.38
208.97-214.25	M15(MG)#SiCL(CCHM)	Tr. PY	
216.17-220.89	M15(MG)#		
255.18-324.34	M15(#)HM+/HMSi	Tr. PY	1.89/ 1.52
342.60-350.55	M15#Si(HMCLCCSR)	Aucun	
378.29-384.57	M15#SiHM	Tr. PY	0.38/ 1.49
471.99-479.46	M15#+SiHM (CLCCSR)(PY)vSi	0.5-1% PY	0.22/ 7.62 ZFE
487.59-497.56	M15#HMSi(SR)	Tr. PY	
506.95-509.57	M15(#)Si(HM)vQZ	Aucun	0.38/ 2.62
554.74	Fin de trou		

Descriptions lithologiques

Les descriptions ci-bas intègrent celles de la partie nord de la syénite recoupée dans les sondages du secteur de la ZDLS.

Unités

La syénite compte trois faciès texturaux primaires. Ces trois faciès démontrent tous une texture phanéritique-aphanitique (phénocristaux moyennement grenus et matrice très fine à aphanitique). Ces faciès peuvent être gradationnels. Ces faciès sont:

- i) Syénite à hornblende intergranulaire moyenne
- ii) Syénite trachytique ou sériée-trachytique
- iii) Syénite porphyrique

Le faciès primaire le plus commun dans le présent programme est la syénite trachytique (fin de BV-25, BV-26 et début de BV-27, majeure partie de BV-28 et 29 au complet)

Strictement parlant, la texture phanéritique-aphanitique généralement observée dans la syénite pourrait être décrite comme une texture de porphyre. Dans le présent rapport, toutefois, le terme porphyrique est réservé pour un sous-faciès de la syénite trachytique où on observe une certaine bimodalité dans la granulométrie du feldspath.

La distribution de ces faciès primaires n'est pas claire. Du nord au sud, dans les sondages BV-25 à 30, on note une zone de contact nord à texture équigranulaire qui passe à trachytique et redevient équigranulaire. Les sondages BV-28 et 29 sont tous les deux constitués de syénite trachytique mais la fin de BV-28 devient équigranulaire. Ces textures primaires sont modifiées, voire oblitérées, par les divers faciès d'altération. La nature des contacts est variable. Dans BV-25, le premier contact entre la syénite équigranulaire et trachytique forme une zone de roche métasomatique de puissance métrique.

La syénite fraîche est gris-blanc à rose pâle. La roche est localement faiblement à moyennement (BV-29) magnétique. Elle possède une texture phanéritique moyenne-aphanitique définie par 60-85% de feldspath (alcalin?) 1-4mm xénomorphe à automorphe rose pâle, plus rarement (< 5%) vert pâle et plus grossier (3-8mm). Ce feldspath plus grossier exhibe parfois un zonage concentrique multiple indiquant qu'il s'agit de plagioclase. Localement, la proportion de plagioclase et de feldspath (alcalin?) est semblable, la roche peut donc être appelée une monzonite (BV-34). La roche contient également 10-20% de hornblende xénomorphe et 5-10% de matrice felsique fine à aphanitique interstitielle. Le feldspath définit des textures variant de sériée à trachytique (BV-22, 23),

parfois porphyrique (BV-23) à équigranulaire. Les intervalles sériés-trachytiques contiennent les minéraux mafiques dans la matrice. La syénite contient parfois des xénolithes mafiques de dimension millimétrique à décimétrique, même près du centre du pluton (BV-26, BV-28).

Quelques dykes de lamprophyre identiques à ceux associés avec la ZDLS sont également notés à l'intérieur de la syénite (BV-23, BV-27, BV-33). Dans BV-27, quelques dykes de puissance décimétrique furent décrits tant à l'intérieur de la ZFE que de part et d'autre. Ces dykes sont de composition habituelle mais exhibent des concentrations variables en magnétite. De plus, plusieurs injections de calcite carbonatitique ou de carbonatite furent reconnues (BV-24, BV-25).

Structure

La foliation est généralement absente dans le pluton. Il existe de rares intervalles centimétriques à décimétriques mylonitiques dans la syénite, au contact supérieur de celle-ci où la texture est orthomylonitique (BV-22) ou encore à l'intérieur du pluton (BV-26).

La fracturation de type stockwork est importante. On observe plusieurs intervalles métriques à décimétriques microfracturés à l'échelle cristalline (BV-26, BV-27). Ces microfractures sont remplies d'un minéral blanc de nature incertaine (séricite?, albite? calcite?). L'intensité de fracturation semble être proportionnelle à l'intensité d'altération.

L'importance relative du tectonisme et de la fracturation hydrothermale dans la formation de ces zones de stockwork est difficile à évaluer. La zone métasomatique sud (au contact nord de la syénite) montre une fracturation qui prédomine sur la foliation tandis que l'inverse peut être vrai pour la métasomatite nord (au contact sud de la ZDLS).

Altération

La syénite est de couleur gris à rose, beige-orangé ou rouge selon le faciès d'altération. Plusieurs faciès sont observés: la syénite grise à gris-mauve silicifiée, la syénite mafique chloritisée, la syénite beige-orangée dolomitisée et albitisée et la syénite rose à rouge brique hématisée.

Le contact nord de la syénite forme typiquement un intervalle de roche métasomatique de puissance métrique dont les faciès d'altération varient selon le contenu en hématite, séricite et silice. Cette zone métasomatique chevauche souvent le contact, c'est-à-dire qu'elle affecte la syénite et la diorite encaissante.

Les zones métasomatiques à l'intérieur de la syénite sont souvent intensément fracturées, formant des brèches hydrothermales de puissance décimétrique locales. Les dykes(?) de syénite notés dans BV-33 sont partout métasomatisés selon divers faciès.

Dans les intervalles les plus frais, la hornblende n'est que partiellement chloritisée. Dans les faciès faiblement altérés, la hornblende est remplacé par un agrégat fin de chlorite + calcite. Dans les faciès plus fortement altérés, notamment où la silicification est intense à extrême, un remplacement total de la hornblende par la séricite vert pâle est observé. Cette séricite est toujours accompagnée de silicification, mais l'inverse n'est pas nécessairement vrai.

Deux types de chloritisation sont observées. La chlorite remplaçant la hornblende de même que la chlorite en plaquages dans les fractures irrégulières est de couleur vert foncé tandis que la chlorite (ou chlorite-quartz) en veinules possède plutôt une teinte bleutée. Cette couleur bleutée pourrait indiquer l'association d'une amphibole sodique - la riebeckite?- avec la chlorite (BV-23, BV-29). Localement une teinte brunâtre suggère la présence de biotite fine diffuse (BV-22, BV-29).

On note la faible hématisation du feldspath et aussi l'hématisation pénétrative jusqu'à l'obtention d'une coloration rouge brique pour la roche entière avec oblitération de la texture intrusive originale. L'hématisation est particulièrement prononcée au contact nord de la syénite. Des traces de fluorite associée avec des veinules de quartz furent également observées (BV-23, BV-25, BV-26, BV-27).

Dans BV-26 et BV-27, une zone métasomatique d'une largeur apparente d'environ 200 mètres fut recoupée. On y note divers faciès incluant hématite-(silice-calcite-séricite), hématite-dolomie-silice-(chlorite-séricite), silice-(hématite-dolomie-chlorite-séricite), hématite-silice-(séricite-chlorite-calcite) etc.

Minéralisation

La minéralisation visible est sous forme de traces à 4% de pyrite, surtout disséminée dans les zones métasomatiques. Dans BV-29, la ZFE contient de 0.5 à 2% pyrite sur un intervalle décimétrique. Des traces de galène et de chalcopyrite associée à des veines et veinules de quartz sont notées localement (BV-23, BV-25).

Géochimiquement, la syénite est caractérisée par plusieurs zones aurifères métriques à décimétriques atteignant plus de 180 mètres. La valeur maximum est de 7440 ppb Au. Les valeurs plus typiques varient de 300 ppb à 2000 ppb. Les valeurs en Au sont généralement associées avec des zones pyritisées mais ni la

présence ni la concentration de pyrite n'implique nécessairement la présence de minéralisation aurifère. Les valeurs de Cu sont généralement sous 80 ppm mais quelques valeurs anomaliques furent obtenues (maximum de 283 ppm BV-25, 436 ppm dans BV-26). Ces valeurs sont typiquement associées avec des traces de chalcopryrite dans des veines et veinules de quartz. Dans BV-25 les valeurs maximales en Cu sont associées avec des injections carbonatitiques et leurs encaissants immédiats. Les valeurs de Zn sont assez uniformes, entre 50 et 80 ppm. Toutefois, plusieurs zones faiblement anomaliques en Zn sont notées (BV-25) avec une valeur maximale de 373 ppm. Ces zones sont associées avec des intervalles moyennement altérés en silice avec des veinules de quartz et une faible minéralisation en sulfures, ou encore avec des lamprophyres ou leurs encaissants.

Les dykes de carbonatite ou de calcite carbonatitique (BV-24) sont caractérisés par un contenu élevé en Ag, soit environ 6 ppm. Ces analyses devront toutefois être confirmées par un autre laboratoire, puisque les teneurs élevées en Ag dans les dykes de carbonatites à la mine Lac Shortt sont souvent non répétées (Quirion, comm. pers. 1991)

5.2.3 ZONE DE CONTACT SUD

Sommaire des forages

Une zone potentiellement économique avait été définie en 1989 dans le trou BV-04 dans ce secteur; on y avait obtenu 5.47 g/t Au sur 2.16 mètres dans un intervalle de 5.64 mètres titrant 2.68 g/t. La minéralisation se trouve dans une unité mixte de diorite et syénite formant un faciès de bordure du côté sud du pluton Opawica. Deux sondages furent forés en vue de déterminer l'orientation et la continuité latérale de cette zone minéralisée: les trous BV-31 et BV-32.

Le sondage BV-31 (tableau 15) avait pour but de tester l'hypothèse de la continuité SSO de la zone BV-04 le long de la Zone de Fracturation Ouest (ZFO). Le sondage recoupa un gabbro bréchique similaire à ce qu'on avait recoupé dans le secteur BV-01 à BV-03 en 1989. A l'endroit attendu pour la ZFO, on recoupa une brèche hydrothermale d'une épaisseur apparente de seulement 0.52 mètre. Aucune valeur supérieure à trace Au ne fut reçue dans les analyses.

Section 1 + 25 E (BV-32)

Le sondage BV-32 (tableau 16) avait pour but de tester l'hypothèse d'une orientation EO de la zone BV-04, coïncidant avec une discontinuité magnétique abrupte du même genre que celle sondée dans le centre du pluton Opawica par BV-28. Le sondage BV-32

TABLEAU 15

SONDAGE BV-31

Localisation: 0+91E, 3+05S		Pendage: -45°	Azimut: 287°
Intervalle (m)	Unité	Sulfures	Notes (g/t Au /m, etc)
0.0-36.58	Mort-terrain		
36.58-279.2	I3A?/\=CL(BO)	-	-
208.33-208.49	I4NMG+(#) BO(CC) vCC		-
212.63-213.73	M15DM/\ABQZCCPY	0.5-2% PY	
222.81-234.70	I3?/\=CL(ABEP), I2J[.]FP		- -
241.95-252.68	I3?CL, I2J=		-
259.17-266.58	I3?/\#=CL(ABEP), I2J[.]FPHM		
279.20	Fin du sondage		

TABLEAU 16

SONDAGE BV-32

Localisation: 1+22E, 4+42N		Pendage: -45°	Azimut: 360°	
Intervalle (m)	Unité	Sulfures	Notes (g/t Au /m, etc)	
0.0-3.05	Mort-terrain			
3.05-181.66	{I2Dm, I2D} (#) (CL)	-		-
3.05- 14.02	M15#+DM(SiSR)vQZ	-		-
14.02- 25.27	I2Dm(#) (CL)	-		
25.27- 38.16	M15#HM(Si)vCLCC	> Tr. PY	1.17/	9.02
179.53-181.66	I2J?(I3A) (MG) CL I2Dm? (PY)	Tr.-2% PY		-
181.66	Fin du sondage			

recoupa une syénite mésocrate à leucocrate variablement altérée. Un intervalle métasomatisé de 9.02 mètres titra 1.10 g/t Au, approximativement à l'endroit de la discontinuité magnétique. Une orientation EO demeure donc possible pour la zone BV-04.

Descriptions des lithologies

Chaque sondage recoupa un assemblage lithologique distinct. Les descriptions ci-bas sont donc données sondage par sondage. Le sondage BV-31 recoupa les gabbros fragmentaires du contact sud du pluton Opawica, tandis que le sondage BV-32 recoupa la zone de transition mixte (diorite-syénite) de la bordure sud du pluton.

Gabbro bréchifié (BV-31)

Le gabbro bréchifié est hétérogène, de couleur vert moyen à foncé, et montre des bandes centimétriques à métriques feldspathiques à granulométrie moyenne. Les fragments sont polygéniques (felsiques à gabbroïques), souvent flous, à matrice qui semble posséder une texture intrusive. Il pourrait s'agir d'une brèche d'intrusion reprise par la déformation et l'altération.

La majeure partie de l'unité montre un développement de la foliation moyen, localement intense. Celle-ci est définie par l'allongement des fragments, l'alignement des cristaux de feldspath et des plans de chlorite. Les zones plus intensément foliées peuvent montrer un accroissement de l'altération en chlorite-calcite. La fracturation est variable, localement intense, et est superposée à la foliation.

Le faciès d'altération prédominant est chlorite-(calcite-épidote), localement biotite (jusqu'à 5%). Les veinules de quartz sont communes, formant typiquement de 1-5% de la roche. Une zone métasomatique bréchique, de puissance métrique, du faciès dolomie-albite fut recoupé à l'endroit attendu pour la ZFO dans ce trou; cet intervalle et un seul dyke de lamprophyre sont les seules évidences appuyant la présence de cette structure.

On observe rarement plus que "traces" de pyrite. Les roches montrent des valeurs en Au inférieures au seuil de détection du laboratoire Opémiska (0.2 g/t). Les teneurs en Cu varient typiquement entre 40 et 200 ppm, la valeur maximale de 1300 ppm étant associée à une veine de quartz avec pyrite et chalcopryrite. La teneur en zinc dépasse rarement 50 ppm.

Zone de transition (BV-32)

La zone de transition comprend des unités passant plus ou moins graduellement depuis une syénite leucocrate à un gabbro. La syénite contient typiquement 70-85 % cristaux de feldspath

hypidiomorphe de 2-4mm et de 15-30% minéraux mafiques hypidiomorphes à xénomorphes interstitiels. La roche intrusive devient plus homogène en profondeur (vers le nord).

Cette roche est généralement non foliée mais la fracturation est moyenne à intense, définie par de nombreuses microfractures ainsi que par des veinules de quartz et de quartz-calcite. Les zones métasomatisées sont plus particulièrement fracturées.

Les minéraux mafiques sont variablement remplacés par un assemblage de chlorite-calcite. L'hématisation est très variable, localement atteignant une intensité extrême. Plusieurs intervalles de syénite métasomatisée beige à orangée ou rouge furent recoupés; ces intervalles sont caractérisés surtout par une forte altération en carbonates de fer (dolomie), avec hématisation et silicification variables (localement extrêmes). L'intervalle aurifère est caractérisé par le faciès hématite-silice, avec une coloration rouge caractéristique. Les minéraux mafiques y sont remplacés par la séricite.

La minéralisation dans les intervalles peu altérés est essentiellement absente; dans les roches métasomatiques, on observe de traces à environ 1% pyrite. Il n'y a que des traces de sulfures dans l'intervalle aurifère.

Géochimiquement, il n'y a pas de halo anomalique significatif autour de la zone aurifère. Les valeurs de Cu et Zn dépassent rarement 50 ppm. Les valeurs maximales en Cu (330 et 3230 ppm) sont associées à une zone fortement fracturée avec 5% de veinules de quartz sans sulfures visibles et une veinule de chalcopryrite dans un xénolithe ou dyke mélanocrate fortement magnétique. Les valeurs de Au dans l'intervalle cité (tableau 16) varient entre 0.38 g/t et 8.71 g/t, la valeur maximale ayant été obtenue dans une veine de quartz ou zone de silicification.

5.2.4 ZONE OUEST

Sommaires des forages

Un total de quatre forages furent effectués à l'intérieur ou près du gabbro qui forme l'encaissant ouest du pluton Opawica; il s'agit des trous BV-18, 19, 20 et 35 près de l'intersection obtenue dans BV-16 ayant titré 3.80 g/t sur 1.55 mètre dans un intervalle de 6.55 mètres titrant 2.31 g/t.

Section 15 + 75 (BV-18) (tableau 17)

Un seul trou fut foré sur cette section. Celui-ci avait pour cible l'extension en profondeur de la zone minéralisée de BV-16. De façon inattendue, le sondage recoupa une zone métasomatique

TABLEAU 17

SONDAGE BV-18

Localisation: 15+85W, 3+81N		Pendage: -53°	Azimet: 332°
Intervalle (m)	Unité	Sulfures	Notes (g/t Au /m, etc)
0.0-27.01	Mort-terrain		
27.01-32.31	M15#++DM+PY++vDM? I3AMG+#++(PY)vDM?	5-15% PY f	0.51/ 4.60
32.31-56.48	I3ACLBO	Tr.PY	-
56.48-195.07	I3A1#CL(RBBO)	-	-
81.87-85.89	I4B?MG++PO+	1-3% PO	
103.14-109.52	I2D#Si(HM)(PY)	0.5% PY	
123.29-149.42	I4FMG(HM)	Tr. PY	
173.10-195.07	I3A[.]PXBO(CC)	Tr.PY	
640	FDT		

(similaire à celle de BV-16) dès l'interface du mort-terrain avec le socle, montrant 5-15% pyrite fine. Le reste du trou consiste en une roche intrusive gabbroïque, incluant des passages intermédiaires et ultramafiques. La zone métasomatique titra 0.51 g/t Au sur 4.60 mètres.

Quelques-unes parmi les nombreuses hypothèses possibles pour expliquer la position inattendue de la zone métasomatique de BV-18 sont:

- 1- Cas de zones orientées EO
 - i) BV-16 et BV-18 seraient deux zones distinctes montrant peu de continuité verticale
 - ii) Deux zones distinctes; la continuité en profondeur de BV-16 n'aurait pas été atteint puisque contrairement à ce à quoi on s'attendait, la zone ne serait pas verticale mais aurait un pendage de 60° vers le nord.
 - iii) Deux zones distinctes: la zone BV-16 serait remplacée par un dyke monzonitique dans BV-18
 - v) Deux zones distinctes: la zone BV-16 aurait été déplacée par une faille
 - vi) Il s'agirait d'une seule zone subhorizontale

2- Cas d'une orientation NE pour la zone BV-16, selon un conducteur EM connu. Les zones BV-16 et BV-18 seraient deux zones distinctes et la zone BV-16 n'aurait pas été recoupée dans BV-18 puisqu'elle avait un pendage inférieur à 75°N et que BV-18 fut arrêté trop tôt.

3- Cas d'une orientation NW; les sondages BV-16 et BV-18 auraient été forés parallèles à la même zone minéralisée, ce qui expliquerait que l'on les ait intersecté à la même élévation dans les deux sondages.

Section 17 + 00 W

Un seul trou (BV-19) (tableau 18) fut foré sur cette section, située à 120 mètres à l'ouest de l'intersection obtenue dans BV-16. Ce sondage visait donc l'extension ouest de la zone.

Le sondage recoupa une séquence d'intrusions intermédiaires à ultramafiques peu minéralisées. Aucune zone métasomatique qui formerait l'extension de la zone aurifère de BV-16 ne put être reconnue. Ce sondage apporta toutefois des éléments nouveaux, soit l'intersection d'un dyke de carbonatite de puissance métrique, avec forte altération en biotite-riebeckite associée et un intervalle de sulfures massifs à l'intérieur d'un gabbro. Aucune minéralisation aurifère significative ne fut recoupée.

L'absence de la continuité ouest de la zone BV-16 indiquerait soit que ces zones sont de faible continuité ou que l'hypothèse d'une orientation NW de ces zones est à favoriser.

TABLEAU 18

SONDAGE BV-19

Localisation: 17+07W, 5+94N		Pendage: -45°	Azimet: 152°
Intervalle (m)	Unité	Sulfures	Notes (g/t Au /m, etc)
0.0-15.54	Mort-terrain		
15.54-64.53	I2Jm(MGLX)#CL(CC)	Tr.PY	-
64.53-80.77	I2F(HMCLCC) (PY)	Tr.PY	-
80.77-290.23	I3A#+CLvCCEP	Tr.PY	0.24/ 0.85 0.45/ 0.55
160.05-162.43	MG=++CC+CLPY	2-3% PY	-
225.98-227.81	MG#++=+BO+?CL	Tr. PY	-
245.85-246.46	M4=++CLBORB	Tr.PY	-
288.16-290.23	M18=, PY ₈ OPO ₆	≤80%PY, ≤30%PO	-
290.23-331.32	I2?Jm[.]PX(MG) (#) BO (CLRBHM) vCC	Tr.PY	
308.0-315.44	I4P=? (#) CC ₈ 5	Tr.-1% PY	0.24/ 1.46 6.9 ppm Ag
331.32	Fin du sondage		

Section 14 + 75 W (BV-20)

Un seul sondage fut effectué sur cette section, soit le BV-20 (tableau 19). Celui-ci avait pour but de sonder la continuité est des zones minéralisées définies sur la section adjacente à l'ouest (BV-16 et BV-18).

Le sondage recoupa un gabbro variablement altéré, et, à l'endroit attendu pour la continuité est de la zone BV-16, une zone de roche métasomatique aurifère. La minéralisation aurifère est d'une puissance décamétrique, soit 0.45 g/t sur 15.76 mètres. La puissance de la zone est du même ordre de grandeur que dans BV-16 mais la teneur est significativement inférieure.

Ce sondage suggère soit la présence de plusieurs zones métasomatiques semblables à la zone originale dans BV-16, ou encore une orientation EW, subverticale pour la zone sans continuité vers l'ouest.

Le trou BV-35 (tableau 20) fut foré presque perpendiculaire aux autres sections. Il avait pour but de tester la possibilité d'une orientation NE pour la zone minéralisée BV-16 puisqu'un conducteur EM de cette orientation passait également par la zone minéralisée.

Le sondage recoupa un gabbro faiblement magnétique avec altération moyenne en biotite mais à texture primaire relativement bien préservée. A l'endroit prévu selon l'hypothèse NE, une zone métasomatique caractérisée par le remplacement graduel du gabbro par un assemblage de carbonates de fer, albite, silice et des traces de fuchsite fut recoupée. Cette métasomatite contient trace-2³ pyrite associées avec des veinulels de quartz en stockwork. La métasomatite progresse, en profondeur, vers des intercalations métriques de gabbro et de métasomatite pour se terminer dans le même gabbro. Aucune minéralisation aurifère significative n'y fut recoupée. Une anomalie en Na (albitisation?) dans le socle dans le sondage de mort-terrain PLS-88-66 pourrait appuyer une orientation NE pour la minéralisation puisque cette anomalie s'aligne avec les zones métasomatiques de BV-16 et BV-20.

En plus des orientations EO et NE, une orientation NO demeure possible. En fait, retenant l'hypothèse d'une orientation NO tel qu'expliqué pour la section adjacente contenant les trous BV-16 et BV-18, la position des zones métasomatiques de BV-20 et 35 s'expliqueraient selon un pendage de 45° vers le NE pour une zone unique (F.Roy, comm. pers.).

TABLEAU 19

SONDAGE BV-20

Localisation: 14+63W, 2+74N		Pendage: -45°	Azimut: 332°	
Intervalle (m)	Unité	Sulfures	Notes (g/t Au /m, etc)	
0.0-26.82	Mort-terrain			
26.82-174.62	I3A(MG)BO(CLRB)vCC	Tr-10% PY	-	
36.88-39.69	=+Si?(CC)vCC	Tr.PY		
122.29-131.46	40% VQZ=	Tr.PY		
174.62-185.64	M15#++/H\DMAB SiPY++	5-15% PY f	0.45/15.76 0.19/47.0	
185.64-254.82	I3AMG#+	Tr.-12% PY		
185.64-210.56	30%M15/H\etc	3-12% PY f	0.69/ 3.69	
254.82	Fin du sondage			

TABLEAU 20

FORAGE BV-35

Localisation: 13+41W, 4+11 N				Pendage:-45	Azimut: 295	
Intervalle (m)	Unité	Sulfures	Notes			
0.00-52.43	Mort-terrain					
52.43-253.9	I3A(MG)BO/2%vCC					
218.79-224.18	CC 25%(HM)(PY)					
224.18-225.55	CBHM(PY) / \CLCC					
225.55-233.60	M15CB++[SiAB]++	Tr.-2%	0.41/ 1.52			
	(FC)(vQZ)PY					
233.60-243.17	15%CB+SiAB(HM)					
	(PY)					
253.90	FIN DU SONDAGE					

Description des lithologies

Unités

Les forages recoupèrent le gabbro formant l'encaissant du coté ouest du pluton Opawica, de granulométrie fine à moyenne, consistant en un microgabbro en contact avec un gabbro phanéritique au sud. Ce dernier forme l'unité à relief mag positif au sud du pluton Opawica. Dans l'hypothèse originale, ce contact coïnciderait avec la localisation de la zone minéralisée BV-16. Toutefois, les résultats de 1990 permettent de douter de cette hypothèse. Au travers de ce dernier gabbro, on retrouve également des dykes ultramafiques (pyroxénite - BV-18) et un dyke de carbonatite (BV-19).

Le gabbro du côté nord est vert foncé, phanéritique moyen et fin (25%) et à texture hypidiomorphe. Il est formé d'environ 55% de minéraux mafiques et de 45% de plagioclase. Le gabbro présente de rares passages centimétriques-décimétriques très magnétiques à grains fins et quelques enclaves de roches mafiques à grains fins.

Le microgabbro, de couleur vert pâle à vert foncé, possède une granulométrie fine à aphanitique. Là où l'altération est à son minimum, une texture intrusive fine est encore observable. Le gabbro phanéritique possède une texture équigranulaire fine à moyenne avec 50-80% pyroxène hypidiomorphe et feldspath interstitiel. La pyroxénite est de couleur noirâtre et fortement magnétique. Le dyke de carbonatite, visuellement identique à ceux de la mine Lac Shortt, est de puissance décamétrique, constitué de calcite rose et environ 5-10% de minéraux mafiques. La texture est phanéritique fine à grossière, localement des cristaux de calcite enchevêtrés sont subcentimétriques.

Structure

La déformation est variable. Dans l'ensemble, le gabbro du coté nord est massif, non-folié, mais localement il présente une faible foliation (BV-35). Le microgabbro est intensément fracturé. Ce sont des fractures irrégulières probablement d'origine hydrothermale plutôt que tectonique. Une partie de cette fracturation recoupe la foliation. La fracturation est également commune dans le gabbro phanéritique, particulièrement dans les trous BV-19 et BV-20.

Quelques zones moyennement à intensément foliées de puissance centimétrique à métrique furent observées, généralement altérées en chlorite-calcite ± biotite et hématite. Les faibles angles par rapport à l'axe des carottes (souvent 20-45°AC) indiquent qu'au moins une partie de ces structures pourraient être orientées NNE ou NW. Alternativement ces angles pourraient n'être qu'un effet de

pendage. Les zones intensément foliées sont fréquentes dans BV-19 et un peu moins dans BV-20.

Altération

Les altérations principales sont la chloritisation, la biotitisation partielle pénétrative (jusqu'à 15% de la roche) et l'altération en amphibole sodique (riebeckite) avec calcite variable, et hématisation locale faible. La biotite et la riebeckite sont particulièrement bien développées à proximité du dyke de carbonatite. On observe aussi une forte concentration de veinules de calcite, parfois avec des bordures hématisées et souvent avec enveloppes millimétriques pyriteuses.

Trois zones métasomatiques beiges (dolomie-albite-silice-pyrite) furent intersectées. Deux d'entre elles (BV-18 et BV-35) possèdent une altération hétérogène avec des intervalles de roche métasomatique submétriques alternant avec des intervalles de même puissance de microabbro altéré au faciès chlorite-calcite. L'autre zone (BV-20) montre une altération plus homogène et intense, une texture fragmentaire et des évidences d'activité hydrothermale répétées. Cette dernière zone est homogène sur un intervalle métrique avec un encaissant semblable à la zone de BV-18 sur un intervalle décamétrique.

Minéralisation

Les intrusions mafiques montrent des concentrations locales de sulfures atteignant jusqu'à 90% de la roche sur des intervalles centimétriques et un intervalle métrique (BV-19). La pyrite prédomine mais la pyrrhotite est importante localement. Lorsque disséminés, ces sulfures semblent former des agrégats subsphériques qui pourraient être interprétés comme des ségrégations magmatiques quoique la déformation superposée rend cette interprétation délicate. La pyroxénite contient des zones de sulfures (pyrite et pyrrhotite) possiblement d'origine primaire.

Les zones métasomatiques beiges décrites plus haut sont caractérisées par une forte concentration de pyrite très fine disséminée formant jusqu'à 15% de la roche. Les fragments et la matrice sont également pyritisés. Malgré l'intensité de l'altération et de la pyritisation, ces zones métasomatiques ne sont que faiblement aurifères, de l'ordre de 0.5 g/t Au sur des intervalles métriques. Le dyke de carbonatite est anomalique en Ag (environ 6 ppm) et en Au (environ 0.2 g/t Au localement). Aucune valeur significative ne fut obtenue dans l'intervalle de sulfures massifs qui n'est que faiblement anomalique en Cu et Ag.

5.3 MINÉRALISATION AURIFÈRE

La minéralisation aurifère est très répandue sur la propriété (tableau 21). Alors que le programme de 1989 montrait plusieurs intersections à teneurs et largeurs potentiellement économiques pour une exploitation souterraine, le programme de 1990 montra de plus faibles teneurs sur des intervalles dépassant 180 mètres, suggérant davantage un potentiel d'exploitation à ciel ouvert. On en conclut que les deux types de minéralisation existent sur la propriété: de la minéralisation "disséminée", à basse teneur (0.3 à 1.5 g/t) sur de larges intervalles et une minéralisation plus restreinte, contrôlée par des structures, caractérisée par de plus fortes teneurs (2.0-7.5 g/t) sur des intervalles de quelques mètres.

Sur un total de 17 forages qui pénétrèrent le socle, deux (BV-19 et BV-31) n'avaient aucune minéralisation aurifère de plus de 0.3 g/t Au. Quatorze sondages contenaient au moins une intersection de plus de 0.5 g/t sur plus de 1.0 mètre et parmi ceux-ci, 7 avaient au moins une intersection de plus de 1.0 g/t sur plus de 2.0 mètres. Les intersections de plus de 0.5 g/t sur plus de 10.0 mètres furent rencontrées dans BV-25 (0.575 g/t sur 28.65 mètres), BV-29 (0.500 g/t sur 29.26 mètres), BV-33 (0.763g/t sur 20.06 mètres et 0.577 g/t sur 18.68 mètres). Les plus hautes teneurs furent obtenues dans BV-25 (2.649 g/t sur 2.38 mètres), BV-28 (2.955 g/t sur 2.74 mètres incluant un intervalle de 1.80 mètre titrant 4.350 g/t), BV-32 (1.083 g/t sur 9.02 mètres). Les plus fortes largeurs de minéralisations furent obtenues dans le secteur ZDLS et le pluton Opawica, soit dans BV-23 (0.295 g/t sur 138.29 mètres), BV-24 (0.253 g/t sur 96.01 mètres), BV-26 (0.170 g/t sur 183.03 mètres) et BV-33 (0.353 g/t sur 113.85 mètres).

Si on examine les résultats en termes d'accumulation, les meilleurs résultats pour des zones de minéralisation continues (accumulation de plus de 10.0 (g x m)/t) furent obtenus dans BV-29, à l'intérieur de la ZFO (accumulation de 14.6 g x m/t), BV-32, près de l'intersection de BV-04 (accumulation de 9.8) et BV-33, dans le coin NE du pluton (accumulations de 15.3 et 10.8). Les larges intersections à basse teneur donnent des accumulations dépassant 40 (BV-23: 40.8 et BV-33, 40.2). A titre de référence, les intersections potentiellement économiques de 1989 avaient donné des accumulations variant entre 7.6 et 33.1 ou entre 14.7 et 33.1 en tenant compte de l'encaissant à plus faible teneur de ces intersections.

Le tableau 21 liste les intersections obtenues titrant plus de 0.3 g/t Au sur une épaisseur apparente de plus de 1.0 mètre. Des intervalles de plus de 10.0 mètres à teneur inférieure sont également donnés. Contrairement aux tableaux de journaux sommaires qui ne donnaient que les analyses initiales, ce tableau-ci donne les teneurs moyennes en Au, tenant compte des résultats des deux laboratoires utilisés. La distribution spatiale de ces anomalies montre qu'il y a trois types de zones minéralisées. Ce sont:

TABLEAU 21

INTERSECTIONS AURIFERES OBTENUES

NO TROU	LONG. (m)	BUT DU FORAGE	RESULTATS				REMARQUES
			DE (m)	A (m)	TENEUR (Au g/t)	LONG. (m)	
BV-18	195.07	Tester continuité verticale de la zone BV-16	27.71	32.31	0.514	4.60	M15#+DM+PY++vDM? ± I3AMG+#++(PY)vDM?(HM)
BV-19	331.32	Tester continuité ouest de la zone BV-16	288.34	290.23	t	1.89	MGPY80PO6 & M18MG++?CCFPRBPO30PY5vCC Sulfures massifs
BV-20	254.82	Tester extension est de la zone BV-16	178.52	225.61	0.187	47.0	Voir ci-bas
			178.52	194.28	0.434	15.76	Voir ci-dessous
			178.52	185.66	0.493	7.13	M15#+H\DM+ABSi(SR)PY++
			178.52	179.90	1.577	1.37	M15/\DMAB(SR)PY+
			185.66	194.28	0.385	8.63	~30% M15#+H\ etc
		192.66	194.01	1.257	1.35	M15#+DM+PY++VAB	
BV-22	352.35	Tester continuité verticale Z. BV-09	255.21	261.64	0.257	6.43	M15#+HMCCCL(PY)vCLLVCC
			335.65	337.11	0.906	1.46	I2D-#Si+(HM)(PY)vQZ
BV-23	385.58	Tester continuité est de la zone BV-09	223.33	224.73	0.685	1.40	I2J#+CCHM(PY)
			226.19	228.57	0.388	2.38	I2J#+CCHM(PY),
			226.19	364.48	0.295	138.29	I2D-#HM+CC(CL)vQZ:contact
							Voir ci-bas
			231.41	237.29	1.257	5.88	I2D-#HM(SRCC)(PY)
			231.41	234.82	1.744	3.41	I2D-#HM+(SRCC)(PY)vCLvQZ
			239.36	241.68	0.579	2.32	I2D-#++HM(SiCCSR)(PY)
			250.30	251.92	0.702	1.62	I2D-#Si+(HMSRPY), vQZCPGL
			260.30	263.81	1.172	3.51	I2D-(MG)#Si+(HMSRCC)(PY)
			266.92	275.60	0.831	8.69	I2D-#SiHMSR(PY)vQZ
293.04	296.15	0.935	3.11	I2D-#HM+SRSi(CC)(PY)			
312.24	313.83	1.491	1.58	I2D-[.]FP#+HMSi vQZPY			
360.22	364.48	1.319	4.27	I2D-#Si+(HMDM)PY			
BV-24	331.02	Tester continuité ouest de la zone BV-09	213.51	309.52	0.253	96.01	Voir ci-bas
			213.51	218.24	0.848	5.03	M15++DM++HM(PY)
			247.71	249.39	1.352	1.68	M15/I2Jm#+CLCC(BOHM)(PY)
			247.71	273.25	0.362	25.54	Voir ci-bas
			260.73	269.60	0.633	8.87	M15/I2JMG#+HMCCSRCLL(PY)
			264.51	265.82	1.318	1.31	Idem + vQZ, contact I2J/D
			271.43	273.26	0.660	1.83	I2D(MG)#HM(SRSiSRCL)vQZ
			297.98	302.43	0.710	4.45	M15/I2D#+SiSR(PY)vQZ, I4P?
304.62	309.53	1.052	4.91	M15/I2D#+HM(SiSR)(PY)vQZ			
BV-25	385.27	Tester diorite porphyrique et syénite à l'ouest de la zone BV-09	63.34	91.99	0.575	28.65	Voir ci-bas
			63.34	66.57	1.259	3.23	M15#+HM+(PY)vCBHM
			64.19	65.53	2.406	1.40	M15#+FK++HM++PY
			68.95	73.24	0.583	4.30	I2Jm[.]FP(MG)#+CCvCBHMvCC
			75.50	77.57	0.617	2.07	I2Jm[.]FP#+HMvCBHMvCC
			80.89	82.36	1.615	1.46	I2Jm[.]FP#+HM+CC(PY)vCL/CL

TABLEAU 21 - SUITE

INTERSECTIONS AURIFERES OBTENUES

NO TROU	LONG. (m)	BUT DU FORAGE	RESULTATS				REMARQUES
			DE (m)	A (m)	TENEUR (Au g/t)	LONG. (m)	
BV-25 (suite)			89.61	91.99	2.649	2.38	I2Jm[.]FP#SiCC(PY)vHM)/M15 M15#+SiCC(PY)vHMSi?
			89.61	90.13	5.863	0.52	
			179.99	181.14	0.446	1.16	M15#+HM(Si)vCLVQZ
			235.06	281.94	0.170	46.88	Voir ci-bas
			235.06	236.74	0.789	1.68	M15#+HM(SiSR?AB?)PY
			240.31	240.86	1.989	0.55	M15#+Si+(HM)(PY)vQZ
			252.38	254.21	0.617	1.83	I2D-Si(HM)
			262.04	263.96	0.549	1.92	I2D-(#)(SiHMSR)(PY)
			279.20	281.94	0.411	2.74	I2D-#HM(SiSR)(PY)
			339.67	341.38	0.549	1.71	M15#HMSi(SR)
			359.97	363.02	0.497	3.05	M15#+SI+DM?(PY)vQZ
			379.60	380.40	1.543	0.79	I2D-(#)HMSi(SR)(PY)
			BV-26	385.88	Tester la partie nord de la syénite Opawica et creux mag associé à des anomalies géochim.	35.24	36.27
89.61	90.83	0.651				1.22	
103.94	286.97	0.170				183.03	Voir ci-bas
103.94	112.53	0.334				8.60	M15#+HMSi(DMCC)
126.19	144.17	0.391				17.98	I2D-(#)SiDHM(SR)/M15(#HM+ (SiCCSR?)(PY)
161.39	168.56	0.274				7.16	M15#+HMSiDM(PY)
173.37	174.35	0.689				0.98	M15#+HMSi(DM)(PY)
198.12	199.34	0.400				1.22	M15#+SiDM(HM)(CLSR)
211.53	212.75	0.343				1.22	M15#+SiDM(HMCLSR)
236.53	239.88	0.309				3.35	M15(MG)#Si(HMDM)(CLSR)(PY)
250.49	251.77	1.751				1.28	M15(MG)#SiDMAB?(HM)PY
252.74	253.81	0.686				1.07	M15(MG)#HMSi(DM?)vCL
257.86	259.08	1.543				1.22	M15(MG)#HM+Si(CC)(SRCL)PY
273.89	286.97	0.495				13.08	M15#Si(HMDM)(PY)(CLSR)
283.01	286.97	0.923				3.96	M15#SiHMDMPY
283.89	284.75	1.490	0.85	M15#SiHMDMPY			
BV-27	432.82	Tester continuité nord de la zone BV-10	65.23	67.67	0.343	2.44	M15(MG)#+CC(HMSiDM)vCLCC M15(MG)#+HMCCSi(DM)vCLCC M15(MG)#HMSiDM(PY)vQZvCC I2DSiCC(HM)PYvCLCC M15#+Si+(HMDM)(PY)vSi(CL)
			80.10	85.13	0.387	5.03	
			115.37	116.53	0.789	1.16	
			277.83	279.20	1.943	1.37	
			362.11	363.33	0.377	1.22	
BV-28	199.95	Tester discont. mag nette @ EW dans syénite	48.16	50.90	2.955	2.74	M15#+SiCCPYvCL Idem. Idem.
			49.10	50.90	4.350	1.80	
			49.10	49.99	6.236	0.88	
BV-29	395.03 180.75	Tester extension sud de la ZFE (zone BV-10)	183.95	213.21	0.500	29.26	M15#+Si(HMCL)(PY)vCLCC-I2D M15#+Si+(HM)PYvCL - I2D I2D(MG)#Si(HMCC)vCCCLvQZAB Id. I2DMG(#)(SiCC) I2D(MG)#+Si+PY+vSiCCCL
			192.18	193.67	1.749	1.49	
			219.43	220.68	0.611	1.25	
			223.12	224.34	0.514	1.22	
			253.20	254.08	1.371	0.88	
			382.68	384.21	0.944	1.52	

TABLEAU 21 - SUITE

INTERSECTIONS AURIFERES OBTENUES

NO TROU	LONG. (m)	BUT DU FORATE	RESULTATS				REMARQUES
			DE (m)	A (m)	TENEUR (Au g/t)	LONG. (m)	
BV-30	556.57	Tester l'extension NE de la ZFE	163.92	164.90	0.377	2.38	M15#Si(CCHM)(SR) M15(#HMCB?(SR)vCLVCC M15(#H)+(SRCLCC)vCLVCC M15#HMSiAB?(CCCL)vCCvQZvCC M15#SiHM I2D(#)(Si)(CLCC)(PY) M15#SiHM(CLCCSR)(PY)vSi M15(#)(Si)(HM)vQZ
			255.18	256.34	0.411	1.16	
			286.82	288.34	1.886	1.52	
			317.30	318.61	0.583	1.31	
			378.29	379.79	0.377	1.49	
			415.75	416.82	0.411	1.07	
			475.80	477.32	0.377	1.52	
506.95	509.57	0.377	2.62				
BV-31	279.20	Tester continuité sud de la ZFW	Aucune	intersection aurifère			
BV-32	181.66	Tester continuité est? de la ZFO	25.27	34.29	1.083	9.02	I2D(M15)#HM(Si)vCLCC
BV-33	590.10	Tester l'inter- section de la ZFE avec la ZDLS	177.09	178.61	1.474	1.52	I2J#AB(CLCCHM) M15(MG)#+/\HM+Si(CC)vQZvCC
			208.88	211.66	0.549	2.77	
			235.22	349.06	0.353	113.85	Voir ci-bas
			235.22	255.27	0.763	20.06	M15#HM(CC)(PY)vCC(CL)- I2D
			235.22	237.87	3.061	2.65	M15#HM+(CC)(PY)vCC(CL)-I2D
			252.65	255.27	1.524	2.62	M15#HM+CCPY - I2J[.]FP
			260.00	261.25	0.549	1.25	I2J[.]FP#HM(CC)vCC (M15)
			274.02	275.73	1.184	1.71	I2J[.]FP(#)(Si)(CLHM)vCC
			283.25	285.30	1.330	2.04	M15#(HM+PY - Si)(CLHM)vCC
			288.59	289.29	0.965	0.70	M15#HM+PYvCC - I2J[.]FP
			296.88	298.25	0.377	1.37	I2J[.]FP(#)(Si)(CLHM)(PY)vCC
			300.96	302.21	0.852	1.25	M15#HM+(CC)vCLCC - I2J[.]FP
			316.93	335.62	0.577	18.68	Voir ci-bas
			316.93	327.97	0.640	11.03	I2J[.]FP#SiHM(PY)vCC I2D(MG)#HM+(Si)(CLSR)(PY)vCC I2D(MG)(#)HM(Si)(CLCC) I2J[.]FP(MG)#HMCL(Si?)PY I2J[.]FP#+(CLCCHM)
BV-34	367.59	Tester contact ZDLS-syénite en profondeur	267.77	270.05	0.459	2.28	I2JCCHM Voir ci-bas M15FPHM(SRCCCB)(PY)vQZPY M15FPHM(SRCCCB)vQZPY M15FPHM(SRCCB)vQZ
			301.45	307.48	0.986	6.03	
			301.45	304.44	1.465	2.99	
			325.77	327.29	0.686	1.52	
			337.41	338.94	0.411	1.53	
BV-35	253.90	Sonder extension NNE possible de la zone BV-16	225.55	227.08	0.411	1.52	M15CB++(SiAB)++(FC)(vQZ)PY

- I) Zones métasomatiques rouges pyritisées (éponte inférieure de la ZDLS), dans la syénite et les roches encaissantes
- II) a: Zones de fracturation pyritisées avec altération rouge (ZFO, ZFE)
b: Syénite métasomatisée (\pm pyritisée) de façon pénétrative
- III) Zones métasomatiques et brèches hydrothermales beiges pyritisées (faciès dolomie-albite-silice-séricite)

Ces zones furent décrites en détail dans Speidel (1991). Les descriptions ne seront donc pas reprises ici.

6.0 DISCUSSION

Les caractéristiques géologiques de la propriété, d'après les résultats de forage de 1990, furent présentés dans les sections précédentes. Dans le présent rapport seules les idées nouvelles par rapport au premier programme (1989), seront présentées. On peut retrouver une synthèse géologique de la propriété dans le rapport sur le programme de forage de 1989 (Speidel, 1991).

6.1 GEOLOGIE

6.1.1 CONTROLE LITHOLOGIQUE

La minéralisation aurifère est très répandue à l'intérieur du pluton Opawica mais est aussi commune à l'intérieur des roches encaissantes distantes de plus de 1 km du contact.

Les caractéristiques des lithologies de la propriété constituent un contrôle important sur la distribution de la minéralisation en Au. En effet, la syénite est l'unité la plus largement minéralisée, ensuite viennent les roches intrusives mafiques \pm magnétique en bordure du pluton Opawica.

Les travaux de 1990 confirmèrent à nouveau la similitude géologique de la propriété Boyvinet avec la propriété de la mine Lac Shortt. L'intersection, sur la propriété Boyvinet en 1990, d'un dyke de carbonatite et des altérations en riebeckite associées, montrent que le même type de système intrusif alcalin est présent sur les deux propriétés.

6.1.2 CONTROLES STRUCTURAUX

Les travaux précédents avaient déjà définis plusieurs importantes structures sur la propriété (ZDLS, ZFO, ZFE, ZDS, ZDL),

dont au moins les trois premières sont spatialement associées à la minéralisation (Speidel, 1991).

La minéralisation et l'altération sont concentrées dans des structures tabulaires EW ou NE (métasomatite nord du secteur ZDLS, ZFO, ZFE, etc) et dans les zones de contact lithologiques (métasomatite sud du secteur de la ZDLS, zone ouest ou BV-16). La ZDLS montre la même orientation (77°N) qu'à la mine Lac Shortt, mais est beaucoup plus puissante sur la propriété Boyvinet (61-75 mètres de puissance réelle vs 5-12 mètres, respectivement).

Une nouvelle structure majeure possible fut définie dans BV-26 et BV-27; il s'agit d'un zone hectométrique, qui serait d'orientation EW, localisée à l'intérieur de la syénite du pluton Opawica, du côté NE de ce pluton. Cette zone coïncide grossièrement avec une dépression magnétique et de faibles conducteurs VLF discontinus dans un secteur géochimiquement anormal (Girard, 1989) où des forages avaient été recommandés (Speidel, 1991). La syénite y est fortement altérée, la texture primaire est essentiellement oblitérée et on observe une forte fracturation sur des intervalles décamétriques. La fracturation est souvent d'échelle millimétrique et fait penser à une microbréchification hydrothermale. La minéralisation aurifère associée est significative (BV-26), les teneurs variant de 0.2 à 2.0 g/t sur des intervalles de quelques mètres jusqu'à plus de 100 mètres.

La zone métasomatique associée à la ZFE fut recoupée dans BV-27, 29 et 30; sa position dans BV-33 est incertaine. Les teneurs en Au semblent décroître vers le NE et offrir un meilleur potentiel vers le SW; toutefois, avec le large espacement actuel des forages il est trop tôt pour conclure. Dans BV-27, la position de la ZFE est telle qu'attendue et possède une largeur de plus de 50 mètres. Seules des valeurs erratiques subéconomiques en Au furent obtenues. Dans BV-29, la ZFE est formée d'une zone métasomatique de plus de 20 mètres de largeur apparente avec des minéralisations erratiques en bordure sud. De la minéralisation aurifère continue sur près de 30 mètres mais à des teneurs variant de 0.1 à 6.4 ppm illustrent le potentiel de cette structure. Le fait que la position de la ZFE soit prévisible sur de longues distances indique qu'il s'agit d'une structure majeure suvverticale dont l'orientation serait environ 025.

Les forages effectués dans le secteur de BV-04 ne permirent pas de déterminer avec certitude l'orientation de la zone minéralisée, les hypothèses NNE (la ZFO), WNW (zone de contact lithologique) et NW (discontinuité géophysique) demeurant possibles. L'existence même de la ZFO ne demeure qu'une hypothèse, mais pourrait expliquer les fortes teneurs en Au originellement reçues dans le sondage BV-09 de 1989 qui se trouverait à l'intersection de la ZDLS et la ZFO.

Il n'y eut pas suffisamment de sondages dans le secteur ouest (BV-16) pour déterminer avec certitude l'orientation de ou des zones métasomatiques aurifères qu'on y trouve, les orientations EW, NNE ou NW (nouvelle hypothèse) demeurant possibles. Les résultats de forage indiquent que la zone métasomatique aurifère BV-16 possède une meilleure continuité vers l'est, vers la syénite.

Cette zone métasomatique, formant localement une brèche hydrothermale, pourrait être en continuité avec une brèche semblable intersectée dans le forage BV-05. Ces trois zones (BV-16, BV-20 et BV-05 d'ouest en est) s'alignent selon une orientation ENE et définiraient une structure avec une continuité d'environ 3 000 pieds. La brèche hydrothermale dans BV-05 est à l'intérieur de la syénite Opawica au contact entre celle-ci et la zone de transition du pluton Opawica et possède un large halo d'altération forte en silice, hématite et séricite mais peu de pyrite et aucune intersection aurifère significative.

En somme, les structures EW, NNE et NW, de même que les contacts lithologiques semblent former des contrôles importants pour la minéralisation aurifère.

6.1.3 GEOCHIMIE

Les travaux géochimiques se limitèrent à quelques analyses d'oxides majeurs et éléments trace pour caractériser les faciès intrusifs peu altérés et la réanalyse d'une série de 63 échantillons. Ces résultats sont brièvement discutés ci-bas.

Le **tableau 22** montre la composition d'un échantillon de syénite trachytique fraîche et d'un échantillon de gabbro frais formant l'encaissant ouest du pluton Opawica. La syénite est comparée à la syénite Opawica fraîche typique (Speidel, 1991) basée sur les échantillons de socle de forage de mort-terrain, et à la syénite typique de LeMaître (1976). Le gabbro est comparé à un gabbro typique selon LeMaître (1976).

Comparée à la syénite moyenne du pluton Opawica, la syénite trachytique montre une augmentation en SiO_2 , Fe_2O_3 , K_2O , TiO_2 , P_2O_5 et Zr, une diminution en PAF, MgO, CaO et Na_2O et des valeurs identiques en Al_2O_3 et MnO. Les rapports TiO_2/Zr sont identiques.

Le gabbro de la zone ouest se compare bien avec un gabbro typique. Les analyses suggèrent un gabbro relativement mélanocrate, tel que décrit dans les sondages du secteur.

TABLEAU 22

RESULTATS D'ANALYSE LITHOGEOCHIMIQUE

Donnée	SiO ₂	Al ₂ O ₃	Fe ₂ O ₃	MgO	CaO	Na ₂ O	K ₂ O	TiO ₂	P ₂ O ₅	MnO	PAF	CO ₂	Zr	Y	Sc	Ba	Sr
	(ppm)																
Syénite type	58.58	16.64	6.17	1.87	3.53	5.24	4.95	0.84	0.29	0.13	1.50	0.28	-	-	-	-	-
Syénite *	63.60	17.04	4.15	1.65	2.84	6.94	3.04	0.45	0.20	0.07	0.36	-	123	11	4	1079	954
Syénite Opawica	61.71	17.08	3.77	1.81	3.48	7.49	1.91	0.39	0.09	0.06	1.15	0.69	107	-	-	-	-
Gabbro type	50.14	15.48	10.63	7.59	9.58	2.39	0.93	1.12	0.24	0.12	0.93	0.07	-	-	-	-	-
Gabbro +	46.53	13.62	11.25	9.48	11.43	2.67	1.20	1.08	0.28	0.17	1.47	-	83	19	26	314	916

*: Echantillon de carotte, BV-15, à 817':I2D-(Si); Au=nil, Ag=0.1 ppm, Cu=7 ppm et Zn=65 ppm

+: Echantillon de carotte, BV-20, à 255':I3A(BO); Au=12ppb, Ag=0.1 ppm, Cu=96 ppm et Zn= 82 ppm

N.B.: Données en % poids sauf indication contraire. Données de syénite type (n=102) et de gabbro type (n=173) tirées de LeMaître (1976).

Données de syénite Opawica (n=10) tirées de Graham et al (1988), Averill et al (1989).

Un total de 63 échantillons furent réanalysés en double pour Au au laboratoire Bourlamaque. Le tableau 23 montre que la précision interne du laboratoire Bourlamaque est bonne, puisque la variation des résultats pour le même échantillon varie relativement peu (-30% et +87% étant les variations extrêmes, $\pm 10\%$ étant plus typique. La déviation moyenne (arithmétique) est de 2.2%.

Toutefois, lorsqu'on compare les résultats des deux laboratoires (tableau 23 et figure 6) on note une précision beaucoup moindre et un biais marqué dans les valeurs. Comparant les résultats pour des échantillons individuels, les variations d'un laboratoire à un autre sont de +256% à -88%, une valeur de 1200 ppb de Opémiska ayant également donné < 10 ppb chez Bourlamaque. Le laboratoire Bourlamaque a tendance à être plus conservateur que le laboratoire Opémiska, ce qui se reflète aussi dans une déviation moyenne (arithmétique) de -17%.

Pour des valeurs entre 0 et 2 g/t Au, la précision est faible et le laboratoire Bourlamaque est plus conservateur d'environ 20%, résultant en un nuage de valeurs légèrement déplacé vers le bas par rapport à la droite $Y=X$ (figure 6). Pour des valeurs entre 2 et 10 g/t, les quelques données suggèrent une meilleure précision mais un biais significatif, soit une tendance marquée du laboratoire Bourlamaque de réduire les hautes valeurs d'environ 45%. Une réduction similaire des hautes valeurs avait été observée dans la comparaison des valeurs de Opémiska avec Chemex pour le programme de 1989, mais Chemex augmentait les basses valeurs (Speidel, 1991).

6.1.4 ALTERATION ET MINERALISATION

Les divers faciès d'altération présents s'apparentent à ceux typiquement observés dans les systèmes de type porphyre (Speidel, 1991).

Ces faciès d'altération ne forment pas des zones symétriques concentriques autour du pluton comme dans le modèle classique. En fait, on observe un contrôle lithologique et structural significatif sur la distribution des faciès.

Ainsi, le faciès propylitique (albite-épidote-calcite) forme l'enveloppe la plus distale et semble couvrir la majeure partie de la propriété et aussi la propriété adjacente (Speidel, 1990). Ce faciès est généralement en contact immédiat avec le pluton Opawica, sauf dans l'unité mafique plus ou moins magnétique qui forme l'encaissant sud et ouest du pluton.

Cette unité mafique est caractérisée par un développement précoce du faciès potassique (5-20% biotite) sur lequel est superposé le faciès propylitique. La biotite varie de très fine à moyennement grenue selon la granulométrie du protolithe. Il n'est pas clair s'il s'agit de biotite hydrothermale ou métamorphique.

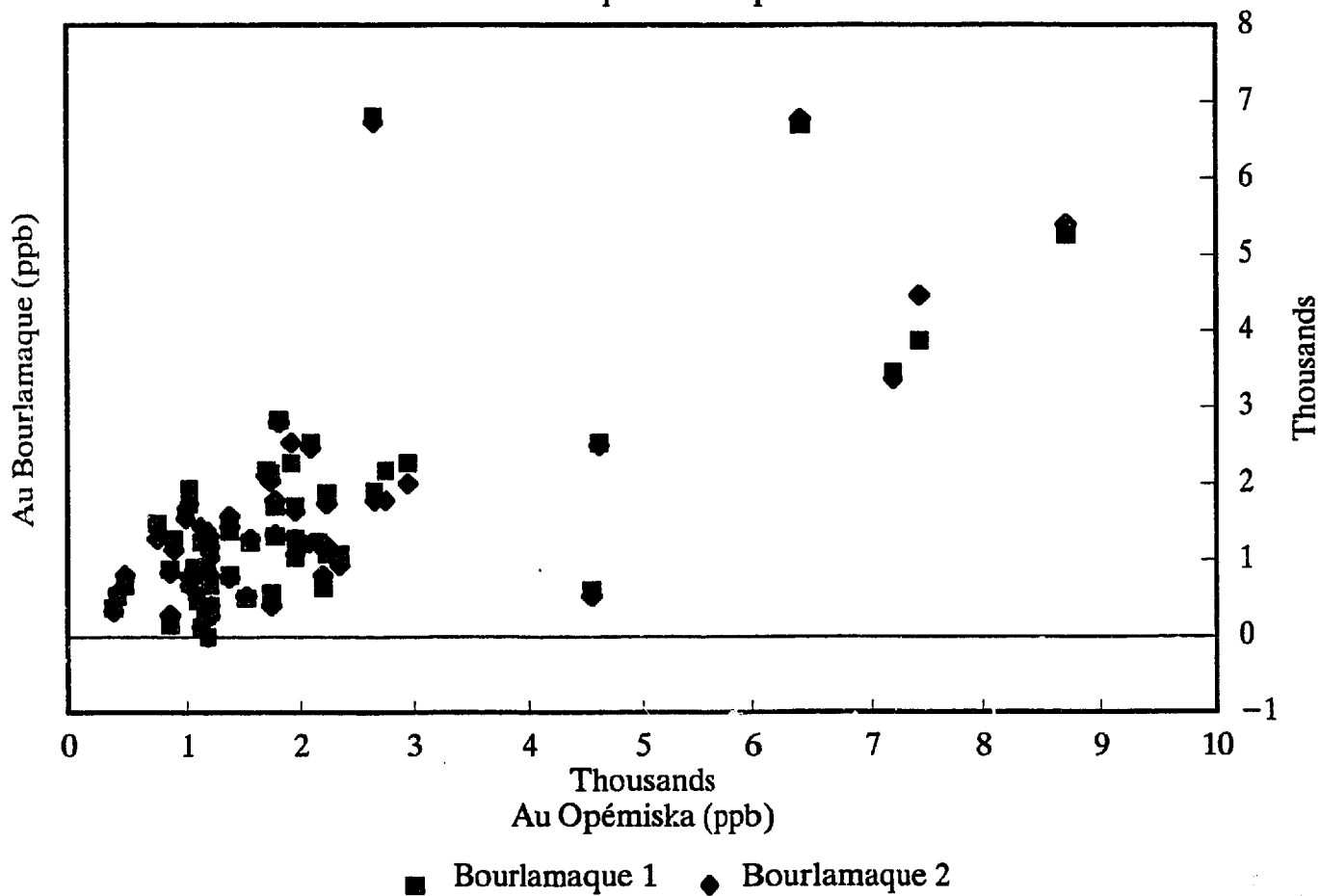
TABLEAU 23

COMPARAISON Au BOURLAMAQUE VS Au OPEMISKA
Programme de forage 1990 - Résultats d'analyses
PROPRIETE BOYVINET (PN 114)

# TROU	Echantillon	De	A	Au (OP1) (ppb)	Au(OP2) (ppb)	Au(OP2/OP1)	Au(R-1) (ppb)	Au(R-2) (ppb)	Au(Rmoy) (ppb)	Au(R2/R1)	Au(Rmoy/OP1)	Au (MOY) (ppb)
BV-20	90319	192.66	194.01	1200	0		1300	1270	1285	0.977	1.071	1257
BV-22	87913	258.23	258.53	1714	0		2170	2100	2135	0.968	1.246	1995
BV-22	90453	335.65	337.11	1749	0		570	400	485	0.702	0.277	906
BV-23	90552	231.4	233.26	1028	0		1730	1730	1730	1.000	1.683	1496
BV-23	90553	233.6	234.82	4628	3429	0.741	2530	2500	2515	0.988	0.543	2504
BV-23	90556	236.34	237.29	1131	0		1230	1430	1330	1.163	1.176	1264
BV-23	90581	262.01	262.34	7440	8914	1.198	3870	4470	4170	1.155	0.560	6174
BV-23	90586	266.91	267.86	1131	0		670	900	785	1.343	0.694	900
BV-23	90587	267.86	268.83	1405	0		800	770	785	0.963	0.559	992
BV-23	90593	274.44	275.6	4560	2400	0.526	600	530	565	0.883	0.124	2023
BV-23	90611	294.19	296.14	1234	0		1170	1170	1170	1.000	0.948	1191
BV-23	90672	361.16	362.25	2091	0		2530	2470	2500	0.976	1.196	2364
BV-23	90673	362.25	363.23	1028	0		1930	1730	1830	0.896	1.780	1563
BV-24	90713	214.18	215.13	1817	0		2830	2800	2815	0.989	1.549	2482
BV-24	90727	247.71	248.84	1028	0		730	670	700	0.918	0.681	809
BV-24	90731	261.52	262.19	994	0		1600	1530	1565	0.956	1.574	1375
BV-24	90761	300.05	301.17	1234	0		670	800	735	1.194	0.596	901
BV-24	90766	306.66	308	2742	0		2170	1770	1970	0.816	0.718	2227
BV-24	90767	308	308.98	1234	0		1100	1300	1200	1.182	0.972	1211
BV-25	90806	64.19	65.53	2948	0		2270	2000	2135	0.881	0.724	2406
BV-25	90819	80.89	82.05	1748	0		2130	2030	2080	0.953	1.190	1969
BV-25	90822	90.13	91.99	1782	0		1700	1770	1735	1.041	0.974	1751
BV-25	90946	279.2	280.17	1200	0		270	330	300	1.222	0.250	600
BV-25	90983	361.8	363.02	1234	0		400	400	400	1.000	0.324	678
BV-26	91069	143.26	144.17	377	0		370	330	350	0.892	0.925	359
BV-26	91102	173.37	174.35	1097	0		470	500	485	1.064	0.442	689
BV-26	91128	198.12	199.34	1200	0		-1	-1	-1	1.000	-0.001	400
BV-26	91177	250.48	251.76	1954	0		1030	1070	1050	1.039	0.537	1751
BV-26	91184	257.86	259.08	1543	0		500	530	515	1.060	0.334	858
BV-26	91211	283.89	284.74	2229	0		1070	1170	1120	1.093	0.502	1490
BV-26	91213	285.99	286.97	1200	0		830	870	850	1.048	0.708	967
BV-27	91330	83.12	84.12	1131	0		120	120	120	1.000	0.106	457
BV-27	91367	277.83	279.2	2229	0		1870	1730	1800	0.925	0.808	1943
BV-28	91435	49.1	49.99	7200	7173	0.996	3450	3370	3410	0.977	0.474	6236
BV-28	91436	49.99	50.9	1954	0		1700	1630	1665	0.959	0.852	1761
BV-28	91490	196.87	197.42	1577	0		1230	1270	1250	1.033	0.793	1359
BV-29	91509	219.43	220.68	1234	0		330	270	300	0.818	0.243	611
BV-29	91539	382.68	384.2	1063	0		900	870	885	0.967	0.833	944
BV-32	107439	27.92	29.57	754	0		1470	1270	1370	0.864	1.817	1165
BV-32	107440	29.57	30.14	480	0		670	800	735	1.194	1.531	650
BV-32	107441	30.14	30.42	8709	11361	1.305	5270	5400	5335	1.025	0.613	10025
BV-32	107442	30.42	31.73	2160	0		1230	1200	1215	0.976	0.563	1530
BV-32	107443	31.73	33.01	857	0		150	280	215	1.867	0.251	429
BV-33	107646	177.09	178.61	2023	0		1200	1200	1200	1.000	0.593	1474
BV-33	107702	235.95	236.95	2640	0		6800	6730	6765	0.990	2.563	5390
BV-33	107703	236.95	237.87	1920	0		2270	2530	2400	1.115	1.250	2243
BV-33	107705	241.1	242.01	411	0		530	570	550	1.075	1.338	504
BV-33	107711	252.65	253.32	2331	0		1070	930	1000	0.869	0.429	1444
BV-33	107712	253.32	254.2	2640	0		1900	1770	1835	0.932	0.695	2103
BV-33	107713	254.2	255.27	891	0		1270	1130	1260	0.890	1.347	1097
BV-33	107726	274.02	275.39	2194	0		630	800	715	1.270	0.326	1208
BV-33	107727	275.39	275.72	1234	0		1100	1030	1065	0.936	0.863	1121
BV-33	107734	283.25	283.52	6411	6343	0.989	6700	6770	6735	1.010	1.051	6449
BV-33	107739	288.58	289.29	1166	0		830	900	865	1.084	0.742	965
BV-33	107744	300.96	302.21	857	0		870	830	850	0.954	0.992	852
BV-33	107749	316.93	317.91	1406	0		1370	1430	1400	1.044	0.996	1402
BV-33	107755	324.7	326.44	1200	0		1170	1370	1270	1.171	1.058	1247
BV-33	107760	331.01	332.54	1954	0		1270	1270	1270	1.000	0.650	1498
BV-33	107767	344.3	345.64	1166	0		270	230	250	0.852	0.214	555
BV-33	107819	497.49	499.02	1029	0		700	770	735	1.100	0.714	833
BV-34	107880	301.45	302.91	1406	0		1430	1570	1500	1.098	1.067	1469
BV-34	107881	302.91	304.43	1783	0		1300	1330	1315	1.023	0.738	1471
MOY.=										1.022	0.829	

Figure 6: Tableau comparatif

Au Bourlamaque vs Au Opémiska



Le faciès phyllique (séricite ± albite?) est d'étendue très limitée et de distribution irrégulière. On la retrouve surtout sous forme pénétrative, mais sélective, dans les parties les plus fortement altérées de la syénite du pluton Opawica. Dans ces endroits, ce faciès remplace partiellement à complètement les minéraux mafiques et remplit les microfractures dont il a été question précédemment.

La syénite Opawica est anormalement sodique par rapport à une syénite typique (Speidel, 1991). Le métasomatisme sodique serait relié à une feldspathisation, mais il reste encore à faire des travaux pétrographiques pour déterminer s'il s'agit d'albite ou d'oligoclase, et donc le faciès sodique ou sodique-calcique qui est moins fréquemment observé dans les systèmes porphyre (Dilles et al, 1992). Ce métasomatisme serait précoce puisque l'hématisation y est superposée, et proximale, puisqu'en général restreint à la syénite.

6.2 MODELE GENETIQUE

Le modèle génétique proposé pour la minéralisation de la propriété Boyvinet fut présenté en détail dans Speidel (1991) et ne sera pas repris ici. Dans la présente section, les contributions du programme de 1990 et les problèmes existants avec le modèle sont discutés.

Suite au programme de 1989, les observations suivantes ne semblaient pas cadrer avec le modèle classique de porphyre:

- i) Absence de minéralisation cuprifère
- ii) Faciès potassique mal défini
- iii) Similarité géologique avec la mine Lac Shortt suggérerait une mise en place trop profonde pour développer un système de type porphyre
- iv) Prédominance de minéralisation contrôlée structuralement vs minéralisation disséminée plus typique des porphyres
- v) Association avec intrusions carbonatitiques

Toutes ces observations seraient interreliées et les explications requièrent une compréhension de la distribution des faciès d'altération et de minéralisation en trois dimensions dans les systèmes de type porphyre.

Les caractéristiques géologiques essentielles de la propriété Boyvinet (Speidel 1991) suggèrent une mise en place relativement peu profonde du système intrusif-hydrothermal, succédant au développement de la ZDLS, qui montre des caractéristiques de déformation plutôt ductiles. Une mise en place peu profonde (3-5 km?), dans un régime structural fragile, est compatible avec le modèle de porphyre proposé dans Speidel (1991).

Le contexte géologique de la mine lac Shortt est très semblable à celui de la propriété Boyvinet: les deux montrent une minéralisation aurifère importante dans l'éponte inférieure structurale de la ZDLS, une altération alcaline répandue (albite-hématite et K-feldspath-hématite) et la présence de roches intrusives carbonatitiques. Des structures mylonitiques sont mieux développées à Lac Shortt mais sont également observées sur la propriété Boyvinet. La minéralisation aurifère de la mine Lac Shortt, étant spatialement et probablement génétiquement associée à la formation d'une mylonite (régime ductile) fut interprétée par Quirion (1990 et 1991) comme ayant été formée à de grandes profondeurs (12-16 km?) incompatibles avec la formation d'un système porphyrique.

Pour résoudre ce dilemme, il avait été proposé par l'auteur, que les zones foliées ou mylonitisées qu'on retrouve à la mine Lac Shortt, et également (à échelle réduite) à l'intérieur du pluton Opawica, n'auraient pas été formées à ces grandes profondeurs. Sous certaines conditions physiques, les roches peuvent subir une déformation montrant des caractéristiques ductiles à de plus faibles profondeurs. Les conditions qui s'appliqueraient ici sont un affaiblissement de la roche ("strain softening" de White et al, 1980) par une forte pression fluide et/ou une altération précoce possiblement associés au système intrusif alcalin et plus particulièrement, carbonatitique. Ceci aurait pu se passer à des profondeurs intermédiaires (5-8 km?). La minéralisation sur la propriété Boyvinet montre d'ailleurs une association avec des éléments plus caractéristiques de gisements de type porphyre plus profond, soit le type plutonique de Sutherland Brown (1976). Ces caractéristiques incluent la présence d'une auréole de métamorphisme de contact foliée dans les roches encaissantes, forte densité de fracturation et contrôle structural des zones minéralisées, large auréole périphérique d'altération propylitique avec faciès potassique plus local et l'aspect pénétratif sélectif noté localement pour l'altération phyllique.

De plus, des travaux de cartographie effectués au cours de 1991 sur la propriété Lac Shortt appuyèrent cette hypothèse puisqu'on pouvait observer l'aspect très irrégulier et discontinu des mylonites et leur passage assez abrupte à des zones de fracturation à l'intérieur du même protolithe (F. Roy, comm. pers, 1991).

Les systèmes de type porphyre sont mis en place à des profondeurs variant typiquement de 0.5 à 5.0 km. L'extension verticale documentée de ces systèmes est de l'ordre de 5-6 km (eg. Dilles et al, 1992), des étendues jusqu'à 8 km ayant été proposées récemment dans la littérature. Les caractéristiques du système varieront donc selon la profondeur de mise en place de même que selon la nature des roches encaissantes.

Les systèmes épizonaux (< 1km de profondeur) tendent à montrer une minéralisation dans des roches encaissantes, le pluton associé n'étant pas toujours évident. La présence de brèches de types divers et de zones de dykes porphyriques est commune. L'or peut y être plus important que les métaux de base. Les faciès d'altération typiques peuvent inclure argilique avancé, phyllique ± sodique, propylitique avec le potassique en profondeur.

A des profondeurs accrues, la minéralisation a tendance à se retrouver surtout à l'intérieur du pluton et les faciès argilique et phyllique perdent de l'importance; le faciès sodique, si présent, est restreint à la partie centrale du pluton. Les faciès potassique et propylitiques prédominent. Dans ces régimes, le cuivre devient important en association avec le faciès potassique, et l'or devient subordonné au cuivre.

Finalement, pour les parties les plus profondes d'un système porphyre, le faciès potassique, avec sa minéralisation en Cu associée, diminue en importance. La minéralisation est alors concentrée surtout dans la partie centrale du pluton et certaines structures. On retrouve surtout les faciès sodique-calcique (oligoclase-actinote) et propylitique en périphérie. La minéralisation a tendance à être contrôlée davantage par des structures plutôt que d'être disséminée. La teneur en Au à ces niveaux profonds n'est pas bien documentée.

En somme, l'absence de minéralisation cuprifère, le faciès potassique restreint et le contrôle structural de la minéralisation sur la propriété Boyvinet suggère qu'on y voit une coupe intermédiaire à profonde par rapport à l'étendue verticale des systèmes de type porphyre. Toutefois, il faudrait définir la minéralogie de l'altération sodique pour déterminer s'il s'agit d'albite ou d'oligoclase, ce qui pourrait influencer l'estimé de la profondeur de mise en place.

L'association d'un système de type porphyre avec une carbonatite n'est pas une anomalie en soi; on peut considérer que la carbonatite fait partie du même système intrusif alcalin que les intrusions syénitiques qu'on retrouve plus communément ailleurs.

7.0 CONCLUSION

Le programme de forage au diamant effectué en 1990 confirma à nouveau l'excellent potentiel aurifère de la propriété LMC Boyvinet, particulièrement l'étendue spatiale de la minéralisation aurifère. La continuité de plusieurs zones métasomatiques aurifères contenant les intersections potentiellement économiques définies lors du programme de 1989, fut confirmée. Aucune des zones n'a été testée de façon suffisante. Plusieurs nouvelles zones minéralisées, certaines atteignant une puissance de plus de 100 mètres, purent également être définies.

Dans le secteur ZDLS (intersection BV-09 de 1989), les deux métasomatites principales sont au contact sud de la ZDLS et au contact nord de la syénite. Cette dernière semble être plus continue et offrir un meilleur potentiel pour la minéralisation aurifère. Ces zones métasomatiques sont de continuité latérale hectométrique et de puissance métrique à décamétrique. Elles sont présentes sur l'intervalle de profondeur foré (0 à -250 mètres). La métasomatite sud, au contact nord de la syénite, s'épaissit de façon significative en profondeur. De plus, étant donné les pendages différents des métasomatites nord et sud dans ce secteur, la possibilité de les combiner pour donner une large zone minéralisée (plus de 100 mètres) existe et devra être évaluée davantage.

Les teneurs dans ce secteur furent inférieures en 1990, possiblement dû à l'effet favorable de l'intersection de la ZFO et la ZDLS dans BV-09. Il demeure possible que l'intersection de BV-09 fasse partie d'une zone NNE, soit la ZFO. Cette éventualité n'a pas été testée en 1990 et on ne peut donc pas considérer que la continuité de cette intersection fut sondée à fond.

L'existence, l'orientation et la continuité latérale et verticale de la ZFO semblent être confirmées (zone BV-10). Il reste à déterminer quels sont les contrôles de la minéralisation aurifère à l'intérieur de cette structure, puisque la métasomatite qui s'y trouve varie de non aurifère, à faiblement aurifère sur des intervalles décamétriques à très riche sur quelques mètres.

La continuité de l'intersection BV-04 fut seulement sondée par 2 trous; la possibilité d'une orientation EO pour cette zone fut soulevée avec les résultats de 1990, et devra être vérifiée dans des travaux futurs. Les orientations NNE et NO demeurent possibles.

Des zones métasomatiques à dolomie-albite-silice avec un fort % de sulfures semblent fréquentes du côté ouest du pluton Opawica. La zone BV-16 de 1989 ne semble pas avoir de continuité vers l'ouest mais, pour le moment, l'orientation de cette zone est incertaine; les hypothèses EO, NE et NO demeurent possibles. Le potentiel de découverte d'une brèche minéralisée de ce genre dans l'encaissant ouest du pluton Opawica, incluant le gabbro magnétique qui forme une unité favorable, demeure excellent. Très peu de sondages furent effectués à ce jour dans ce secteur.

Plusieurs nouvelles zones minéralisées furent définies. A l'intérieur du pluton Opawica, une large zone métasomatique aurifère orientée EO coïncide avec une dépression magnétique, un conducteur TBF discontinu et des anomalies lithogéochimiques. Cette zone fut recoupée par BV-26 et BV-27 et offre un excellent potentiel.

Deux discontinuités magnétiques EO dans le pluton Opawica donnèrent des résultats positifs (BV-28 et BV-32), indiquant l'existence possible de deux structures aurifères additionnelles.

Dans le secteur BV-16, les résultats de 1990 soulèvent la possibilité de l'existence de plusieurs zones d'orientation NO qu'il faudra évaluer.

Le type de minéralisation obtenue sur la propriété est interprété dans un contexte de porphyre Au. Les caractéristiques géologiques du système minéralisé de la propriété Boyvinet et ses similitudes avec la minéralisation sur la propriété mine Lac Shortt, suggère que Boyvinet, et possiblement Lac Shortt, représenterait une coupe profonde dans un système de type porphyre. Les gisements de porphyre Cu-Au ou Au comportent typiquement un potentiel de plusieurs dizaines à centaines de millions de tonnes de minéralisation d'une teneur de l'ordre de 0.2 à 1.50 g/t Au, contrôlée par la fracturation et disséminée. On peut également y retrouver des minéralisations plus distales moins puissantes à plus fort contrôle structural ou encore des zones centrales qui peuvent montrer des teneurs significativement plus élevées. Il faudrait garder toutes ces perspectives en vue.

8.0 RECOMMANDATIONS

Les travaux de base sont terminés sur la propriété. Les travaux recommandés comportent donc surtout la compilation en vue de définir des cibles de forage spécifiques, de même que certains travaux détaillés en vue de mieux localiser les cibles de forage au sol. Les travaux proposés sont présentés ci-bas, regroupés en travaux géologiques, géochimiques et géophysiques.

8.1 GEOLOGIE

Une étude pétrographique est fortement recommandée en vue de déterminer les caractéristiques primaires (lithologies, minéralogie, textures etc) et secondaires (altérations, minéralisation, paragenèses) et pour aider la compréhension du contexte géologique de la minéralisation.

Le sondage BV-32 donna des résultats intéressants (1.083 g/t sur 9.02 mètres). L'épaisseur réelle de mort-terrain y est environ 2.2 mètres. De la prospection additionnelle et du décapage pourraient y être utiles.

8.2 GEOPHYSIQUE

Un essai de levé de polarisation provoquée (Lortie, 1990) en diagraphie et en surface donna des résultats négatifs. Toutefois, ces essais avaient été effectués en hiver et de nombreux problèmes techniques avaient surgi. On peut toutefois conclure que la minéralisation typique du pluton Opawica est difficile, sinon impossible à localiser étant donnée le faible % de sulfures et le faible contraste entre les zones aurifères et l'encaissant. Par contre, il n'y a pas de raison a priori pourquoi la minéralisation de type III (zone ouest) ne répondrait pas à la PP. Il est donc recommandé d'effectuer un levé PP de surface et/ou en diagraphie (forage-forage) dans ce secteur au printemps dans le but de définir la distribution de ces zones pyriteuses.

La zone de déformation Lesueur, qui passe sur la partie sud de la propriété, devra éventuellement être explorée, puisqu'elle montre des minéralisations As-Au-Sb sur notre propriété adjacente (Lesueur - PN 116). Ceci sera sans doute plus efficace après avoir mieux défini les caractéristiques géologiques, géophysiques et géochimiques de cette zone sur la propriété adjacente.

De plus, les données magnétiques de la propriété devront être digitalisées afin de permettre leur traitement par ordinateur (plans couleur et ombrage). Ce traitement devrait être particulièrement utile sur cette propriété étant donné l'étroite association entre la minéralisation aurifère et les anomalies magnétiques. Toutes les anomalies magnétiques significatives dans et en bordure de la syénite devraient être forées, particulièrement lorsque associées à des linéaments lithogéochimiques favorables et/ou des structures minéralisées connues. Les nouvelles structures EO, NNE et NO qu'on pourrait définir à l'aide de cette méthode devront être examinées en détail.

8.3 GEOCHIMIE

Un programme limité de lithogéochimie (roche entière et éléments mineurs associés) est proposé dans le but de caractériser les lithologies importantes et l'altération qui y est associée, de permettre une comparaison avec la géochimie à la mine Lac Shortt et de compléter le modèle génétique pour la minéralisation. Les zones métasomatiques ainsi que les principales zones minéralisées devront être analysées pour les éléments majeurs dans le but de définir la lithogéochimie de ces roches, et, plus particulièrement, la distribution des zones d'altération potassique et sodique et leur relation avec la minéralisation aurifère. Afin de cerner de façon plus rigoureuse la zonation métallique, une série représentative d'échantillons devraient être analysés pour une suite d'éléments trace (Ag, As, Sb, Mo, Pb).

8.4 FORAGE

Une fois tous les travaux ci-haut effectués, on devrait être en mesure d'effectuer la prochaine campagne de forage majeure sur la propriété. Un programme de forage totalisant au moins 5 000 mètres peut être envisagé.

L'emphase de ces forages devrait être surtout (~60%?) sur des cibles nouvelles. Le 40% restant servirait à mieux sonder la continuité de certaines zones minéralisées déjà connues qui ont été insuffisamment évaluées (partie NW et W du pluton Opawica, Secteur BV-04, zone ouest).

Quelques cibles spécifiques sont mentionnées dans le **tableau 24** ci-bas.



Friedrich Speidel
Géologue de Projets

TABLEAU 24

CIBLES DE FORAGE POUR 1990 ET 1991

Localisation	Cible	Priorité
Indice Boyvinet	-Structure NNE?	P2 - P3
ZFO	-Lien ZFO et zone BV-09?	P1 - P2
Nord	-Extension W de zone BV-26	P2
Nord-ouest	-Contact ouest, anomalie EM, pluton Opawica	P2
Centre	-Continuité zone BV-28	P1
Centre ouest	-Z.déf.ductile, anomalie PAF	P2
Centre est	-Anom. géoch. (Na), ext. sud zone BV-10	P1
Centre-sud	-Ext. ouest ZDS et anomalie PAF	P2
Centre sud	-Continuité zone BV-04, BV-32	P1
Extrême sud	-Z. déf. Lesueur, anom. PAF & géophys. associées	P2
Ouest	-Continuité des M15 secteur BV-16	P2

N.B.: ZDS = zone de déformation sud, localisée au et près du contact sud du pluton Opawica (secteur BV-04)

9.0 REFERENCES

- AVERILL, S.A. et al, 1989.** Reverse circulation overburden drilling and heavy mineral geochemical sampling - phase II. Rapport interne pour Minnova Inc, 100p
- BOSSE, J. 1990.** Les lamprophyres de la région du Lac Shortt. Projet de fin d'études non publié, 39p
- BRISSON, H et GUHA, J. 1989.** Reconnaissance d'indices aurifères dans la région du Lac Shortt. MB-89-47, 64p
 -----, 1990. Indices Aurifères près de la mine du Lac Shortt, Abitibi, Québec. Dans GSC OF #2158, pp 111-115
- BURO, Y. 1984.** The geology of the Bachelor Lake Gold Mine, Desmaraisville, Abitibi-East, Quebec. CIM Sp.Vol.34, pp 385-392
- CARTEN, R.B. 1986.** Sodium-Calcium Metasomatism: Chemical, Temporal and Spatial Relationships at the Yerington, Nevada, Porphyry Copper Deposit. Ec. Geol. 81, pp 1495-1519.
- CORMIER, M. et al. 1984.** Geology, geochemistry, and mineralisation at Falconbridge's Lac Shortt gold deposit, Gand Township, Quebec. CIM Sp.Vol.34, pp 393-411
- DILLES, J.H. et al., 1992.** Oxygen and Hydrogen Isotope Characteristics of Hydrothermal Alteration at the Ann-Mason Porphyry Copper Deposit, Yerington, Nevada. Ec. Geol. 87, 1, pp 44-65
- FOLEY, S.F. et al. 1987.** The Ultrapotassic Rocks: Characteristics, Classification and Constraints for Petrogenetic models. Earth Sci.Rev., 24, pp 81-134
- GIRARD, P. 1989.** Rapport lithogéochimique - propriétés Wetjack, Boyvinet et Lesueur. Rapport interne Minnova, 31p.
- GRAHAM, K.C. et al 1988.** Reverse Circulation Overburden Drilling and heavy Mineral geochemical Sampling. Rapport ODM pour Minnova Inc, 155p.
- LAVOIE, C. 1986.** Geophysical surveys, Grid B1, Boyvinet and Gand townships, P.Q. Rapport interne pour Camchib, 14p.
 -----, Geophysical surveys, Grid B2, Lesueur township, P.Q. Rapport interne pour Camchib, 11p.
- LEBLANC, E. 1988.** Rapport sur les travaux de terrain effectués en 1988. Rapport interne Minnova, 21p
- LE MAITRE, R.W. 1976.** The Chemical variability of some Common Igneous Rocks. J.of Petrology, 17, 4, pp 589-637

- LORTIE, P. 1990. Projet LMC Boyvinet; Levés de polarisation provoquée. Rapport d'interprétation, 13p
- LOWELL, J.D. and GUILBERT, J.M. 1970. Lateral and Vertical Alteration-Mineralization Zoning in Porphyry Ore Deposits. Ec.Geol., 65, 4, pp 373-408
- POTAPOFF, P. 1987. "Report - Opawica Project - Lac Opawica Area, Quebec". Rapport interne Campbell Resources, 47p.
- QUIRION, D. 1990. Géologie de la mine d'or Lac Shortt. GSC Open file 2158, Litho-tectonic framework and associated mineralization of the eastern extremity of the Abitibi Greenstone Belt. Field Trip guidebook #3, 8th IAGOD symposium, Guha et al eds, pp 116-129
-----, 1991. Géochimie du système alcalin en relation avec la minéralisation aurifère à la mine Lac Shortt. Rapport interne Minnova, 66p.
- RIVERIN, G. 1982. Exploration Work Done at the CONIAGAS OPTION, Lesueur township. Rapport interne Minnova, 45p.
- SPEIDEL, F. 1991. Rapport de forage et compilation, programme 1989. Propriété LMC Boyvinet. Rapport interne Minnova Inc, 117p
-----, 1990. Rapport de forage 1990. Propriété Ile Opawica, 74p
-----, 1988. Compilation régionale: Lac Relique - Lac Bachelor, District de Chibougamau. Rapport interne Minnova Inc, 36p
- SUTHERLAND BROWN, A. 1976. Morphology and classification. In "Porphyry Deposits of the Canadian Cordillera, Sutherland Brown, Ed, CIM Sp. Vol. 15, pp 44-51
- TROOP, A.J. 1982. Report on trenching and sampling for Group B. Rapport interne pour Consolidated Professor Mines Ltd, 5p.
- WHITE, S.W et al. 1980. On mylonites in ductile shear zones. Journal of Structural Geology, vol. 2, No 1/2, pp 175-187

ANNEXE 1
SPÉCIFICATIONS
ANALYTIQUES

ANNEXE 1**SPECIFICATIONS ANALYTIQUES****LABORATOIRE OPEMISKA (N.Pelletier, comm. pers. 1990)**

Element	Dissolution	Masse analysée (grammes)	Méthode d'analyse	Limite de détection
Au	Aqua Regia	3.0	Absorption atomique	0.005 oz/t
Ag	Aqua Regia	3.0	Absorption atomique	0.10 oz/t
Cu	Aqua Regia	3.0	Absorption atomique	1 ppm
Zn	Aqua Regia	3.0	Absorption atomique	1 ppm

LABORATOIRE BOURLAMAQUE

Element	Dissolution	Masse analysée (grammes)	Méthode d'analyse	Limite de détection
Au	Fusion	30.0	Absorption atomique	10 ppb

ANNEXE 2

**MODIFICATIONS DU CODE
GEOLOGIQUE DU MERQ**

ANNEXE 2

**MODIFICATIONS DU CODE GEOLOGIQUE DU MERQ
(Version 1985)**

La légende géologique utilisée dans le sommaire des journaux de forage, les journaux, les plans et sections est celle du MERQ (1985), dont une copie est incluse dans les deux pages suivantes. Certains symboles furent modifiés dans le but de permettre leur utilisation dans le logiciel utilisé pour les journaux, plans et sections de forage. Les modifications sont données ci-bas.

Code	Signification
<u>Symboles</u>	
o, O	Vésiculaire, amygdalaire
(), ()	Lave coussinée: mini-coussins, coussins normaux
/()\,/()\	Brèche de coussins (normaux, miniatures)
/\	Ophitique
[], []	Lave massive, lave massive grenue
[.]	Porphyrique
[o]	Gloméroporphyrique
[+]	Porphyre
\/, \a	Roche pyroclastique, tuf à cendre
/\	Bréchique
/-\	Brèche de coulée (sens large)
/Y\	Hyaloclastite
/H\	Brèche hydrothermale
(=), =, =+, =++	Foliation faible, moyenne, forte, extrême
(#), #, #+, #++	Fracturation faible, moyenne, forte, extrême
~	Structure laminaire
┌┐	Structure litée
-	Texture trachytique

Codes Mnémoniques

AX	Axinite
(HM), HM, HM+, HM++	Hématisation faible, moyenne, forte, extrême
vQZ, VQZ	Veinule, veine (> 2cm) de quartz
Si	Silicifié
SI	Spécularite
SR	Séricite
(PY), PY, PY+, PY++	<1%, 1-2%, 2-5%, 5-10% pyrite
PY ₂₅	25% pyrite
GY	Gypse
RK	Riebeckite

CODES MNÉMONIQUES DES MINÉRAUX

Actinote	AC	Fibrolite	FB	Oxyhornblende (hornblende
Albite	AB	Fluorite (Fluorine)	FL	brune)
Allanite	AL	Forstérite	FO	Pechblende
Amphibole	AM	Fuchsite	FC	Pantlandite
Andalousite	AD	Galène	GL	Parthite
Ankrérite	AK	Glaucophane	GC	Phlogopite
Anorthite	AN	Graphite	GP	Pistachite
Anthophyllite	AT	Grenat	GR	Plagioclase
Antigorite	AR	Grenat-pyrope	GY	Préhnite
Apatite	AP	Grenat-almandin	GA	Pumpellyite
Argent natif (visible)	Ag	Grenat-spessartite	GS	Pyrite
Aradoopyrite	AS	Grenat-uvarovite	GU	Pyroxène
Augite	AG	Grenat-grossulaire	GG	Pyrrhotite (Pyrrhotine)
Azurite	AZ	Grenat-andradite	GD	Quartz
Béryl	BL	Grünérite	GN	Riebeckite
Diotite	BO	Hématite	HM	Rutile
Bornite	BN	Hercynite	HC	Sanidine
Calcite	CC	Hornblende	HB	Scapolite
Carbonate	CB	Hypersthène	HP	Serpentine
Chalcopyrite	CP	Iddingsite	IG	Siderite (siderose)
Chalcoite (chalcocine)	CT	Ilménite	IH	Sillimanite
Chlorite	CL	Jaspe	JP	Sphalérite
Chloritoïde	CR	Lawsonite	LS	Sphène
Chromite	CM	Leucite	LC	Spinnelle
Chrysotile	CS	Leucoxène	LX	Staurotide
Clinopyroxène	CX	Limonite	LM	Stilpnomélane
Clinozoisite	CZ	Magnétite	MG	Sulfures
Cordiérite	CD	Malachite	MC	Talc
Cuivre natif (visible)	Cu	Mésoperthite	MP	Tourmaline
Cumingtonite	CG	Mica	MI	Trémolite
Diopside	DP	Microcline	ML	Uraninite
Dialthène (kyanite)	KN	Minéraux radioactifs	MR	Wollastonite
Dolomite	DM	Molybdénite	MO	Zéolite
Enstatite	ES	Muscovite	MV	Zincite
Epidote	EP	Néphéline	NP	Zircon
Fayalite	FA	Olivine	OV	Zoisite
Feldspath	FP	Or natif (visible)	Au	Sericite
Feldspath vert/brun	FV	Orthoclase (Orthose)	OR	Silice
Feldspath potassique	FK	Orthopyroxène	OX	Spécularite
Feldspathoïde	FD	Oxyde de fer	OF	Gypse
				Axinite

ÉLÉMENTS DU TABLEAU
PÉRIODIQUE

Tous les éléments du tableau périodique (métaux natifs ou autres) s'écrivent selon la forme conventionnelle.

ALTÉRATIONS

Les altérations seront notées en utilisant les codes mnémoniques des minéraux ou des éléments du Tableau Périodique.

OH
PB
PD
PR
PH
PC
PG
PN
PP
PY
PX
PO
QZ
RB
RL
SA
SC
ST
SD
SH
SP
SN
SL
SU
SE
SF
TC
TL
TH
UR
WL
ZL
ZN
ZC
ZS
SR
SI
SL
GY
AX

ROCHES INTRUSIVES FELSIQUES		ROCHES VOLCANIQUES FELSIQUES V1	
A Granite à feldspath alcalin	→	→ Rhyolite à feldspath alcalin	V1A
B Granite	→	→ Rhyolite	V1B
C Granodiorite	→	→ Rhyodacite	V1C
D Tonalite	→	→ Dacite	V1D
E Trondhjemite			
F Aplite			
G Pegmatite			
H Granophyre			

ROCHES INTRUSIVES ULTRAMAFIQUES / ULTRABASIQUES		ROCHES VOLCANIQUES ULTRAMAFIQUES / ULTRABASIQUES V4	
I4A Hornblendite		→ Komatiite (>18% MgO)	V4A
I4B Pyroxénite			
I4C Clinopyroxénite		→ (Komatiite pyroxénitique)	(V4B)
I4D Websterite			
I4E Orthopyroxénite		→ (Komatiite péridotitique)	(V4C)
I4F Clinopyroxénite à olivine			
I4G Websterite à olivine		→ (Komatiite dunitique)	(V4D)
I4H Orthopyroxénite à olivine			
I4I Péridotite			
I4J Wehrlite			
I4K Uherzolite			
I4L Harzburgite			
I4M Dunite			
I4N Lamprophyre ultramafique			
I4O Kimberlite			
(I4P) Carbonatite			

- M désigne une roche métamorphique ou tectonique
- Le code numérique suivant la lettre M indique une lithologie particulière
- M1 Gneiss
 - M2 Orthogneiss
 - M3 Paragneiss
 - M4 Schiste
 - M5 Phyllade
 - M6 Ardoise
 - M7 Cornéenne
 - M8 Amphibolite
 - M9 Migmatite (spécifier % du mobilisat)
 - M10 Granulite (roche dans le facies granulite)
 - M11 Eclogite (roche dans le facies eclogite)
 - M12 Quartzite
 - M13 Marbre
 - M14 Roche calco-silicatée
 - M15 Roche métasomatique
 - M16 Cataclasite
 - M17 Mylonite
 - M18 Brèche tectonique
 - M19 Roches hybrides

- ☐ Massive
- Coulées massives grenues et/ou parties basales grenues de coulées
- ⊞ Massive à surface coussinée
- Coulée coussinée (<10% hyaloclastites)
- à mini-coussins
- à coussins ordinaires
- à méga-coussins
- ⊙ Coulée coussinée à noyaux saussuritisés

ROCHES INTERMÉDIAIRES 2

ROCHES INTRUSIVES INTERMÉDIAIRES		ROCHES VOLCANIQUES INTERMÉDIAIRES V2	
→ Syénite quartzifère à feldspath alcalin	→	→ Trachyte quartzifère à feldspath alcalin	V2A
→ Syénite à feldspath alcalin	→	→ Trachyte à feldspath alcalin	V2B
→ Syénite quartzifère	→	→ Trachyte quartzifère	V2C
→ Syénite	→	→ Trachyte	V2D
→ Monzonite quartzifère	→	→ Latite quartzifère	V2E
→ Monzonite	→	→ Latite	V2F
→ Monzodiorite quartzifère	→	→ (Andésite)	(V2J)
→ Monzodiorite	→	→ (Andésite)	(V2J)
→ Diorite quartzifère	→	→ (Andésite)	(V2J)
→ Diorite	→	→ Andésite	V2J

- SÉDIMENTS CLASTIQUES
- S Roches sédimentaires indéterminées
 - S0 Grès (terme général comprenant les arénites et les wackes)

- S1 ARÉNITES
- S1A Arénite arkosique
 - S1B Arénite feldspathique
 - S1C Arénite lithique
 - S1D Arénite lithique subfeldspathique
 - S1E Arénite quartzifère
 - S1F Arkose

SÉDIMENTS CHIMIQUES

- F FORMATIONS DE FER
- F0 Formation de fer indéterminée
 - F1 Formation de fer oxydée
 - F2 Formation de fer sulfurée
 - F3 Formation de fer carbonatée
 - F4 Formation de fer silicatée

- CH CHERTS
- CH0 Chert non-spécifié
 - CH1 Chert graphiteux/carboné
 - CH2 Chert ferrugineux etc.

E EXHALITES

- E0 Exhalites non-spécifié
- E1
- E2

C CARBONATES

- C0 Carbonate non-spécifié
- C1 Calcaire
- C2 Dolomie
- C3 Ankérite
- C4 Sidérite
- C5 Magnésite

BRÈCHES DE LAVE

- Brèches hydroclastiques
- △ Hyaloclastites (le plus souvent sommitale)
 - △ Brèche à coussins isolés (coussins intacts) - (40-90% d'hyaloclastites), (a) à mini-coussins, (b) à coussins ordinaires, (c) à méga-coussins
 - △ Brèche à coussins peu serrés (coussins intacts) - (10-40% d'hyaloclastites)
 - △ Brèches de coulée (Flow Breccia) - au sens large
 - △ Coulée fragmentée
 - △ Lave en blocs
 - △ Brèche de coussins désagrégés (10-10% de fragments)/ Brèche de coussins brisés (50-80% de fragments)
 - △ Brèche de coussins fragmentés (>80% de fragments)
 - △ Microbrèche
 - △ Hyaloclastites remaniées

VOUCANITES EFFUSIVES

- ▼ Pyroclastites/tuf - indifférenciées
- ▼x Tuf à cristaux
- ▼r Tuf lithique
- ▼l Tuf à lapilli
- ▼ls Lapillistone
- ▼b Tuf à blocs
- ▼lb Tuf à lapilli et à blocs
- ▼bl Tuf à blocs et à lapilli
- ▼c Tuf cherteux
- ▼g Tuf graphiteux
- ▼s Tuf soudé
- ▼h Hyalotuf (Vitric tuff)
- ◆ Brèche pyroclastique
- ▼ Volcanoclastites etc.

- Fragments
- ☐ Polygénique
 - ☐ Monogénique

Exemples:

- V2▼xPG Tuf intermédiaire, à cristaux de PG
- V2▼lb Tuf intermédiaire, à lapilli et à blocs, monogénique
- V1D▼b Tuf dacitique, à blocs, monogénique
- V▼c Tuf cherteux
- V▼ Tuf indifférencié

ROCHES MAFIQUES 3

ROCHES INTRUSIVES MAFIQUES		ROCHES VOLCANIQUES MAFIQUES V3	
→ Gabbro	→	→ Basalte andésitique/Andésite basaltique	V3A
→ Diabase	→		
→ Monzogabbro	→		
→ Ferrogabbro	→	→ Basalte	V3B
→ Gabbro à quartz	→		
→ Diabase à quartz	→	→ Basalte à quartz	V3C
→ Anorthosite	→		
→ Anorthosite gabbroïque	→	→ Trachybasalte	V3D
→ Gabbro anorthositique	→		
→ Norite	→	→ Basalte à olivine	V3E
→ Gabbro à olivine	→		
→ Diabase à olivine	→	→ Basalte magnésien (>9% MgO)	V3F
→ Troctolite	→		
→ Lamprophyre mafique	→	→ Picrite (15-18% MgO)	V3G

- S2 WACKES
- S2A Wacke arkosique
 - S2B Wacke feldspathique
 - S2C Wacke lithique
 - S2D Wacke lithique subfeldspathique
 - S2E Wacke quartzifère
- S3 SÉDIMENTS RUDACÉS (Conglomérats et brèches)
- S3A Conglomérat à "contact fabric" - "pebble supported"/"framework supported" (extraformationnel, orthoconglomérat, généralement fluvial-tile)
 - S3B Conglomérat à "open fabric" - "matrix supported" (extraformationnel, paraconglomérat, généralement associé à des turbidites, tillites)
 - S3C Conglomérat intraformationnel
 - S3D Brèche sédimentaire

- Fragments
- ☐ Polymictes
 - ☐ Monomictes

S4 SÉDIMENTS LUTACÉS (FINS)

- S4A Siltstone/siltite
- S4B Mudstone/mudrock
- S4C Claystone/argillite
- S4D Shale
- S4E Ardoise
- S4F Phyllade

- ☐ Fluidale/pilotaxitique
- ☐ Trachytique/trachytoïde
- ☐ Shard
- ☐ Ponce
- △ Brèche d'intrusion

- ☐ Direction de l'écoulement de coulée
- ☐ Limite de coulée
- ☐ Faille syn-volcanique
- ☐ Cheminée d'alimentation (dyke nourricière)
- ☐ Ophitique
- ☐ Porphyrique
- ☐ Porphyre (>40% de phénocristaux)
- ☐ Glacéporphyrique

- ☐ Porphyroblastique
- ☐ Granoblastique
- ☐ Brèche
- ☐ Fragments polymictes/polygéniques
- ☐ Fragments monomictes/monogéniques
- ☐ Cyclicité
- ☐ Oeillée
- ☐ Filandré (flaser)
- ☐ Boudinage

- SÉRIES LITHOCHIMIQUES
- l = leuco
 - m = mélan
 - OX = orthopyroxène

- Série tholéiitique
- Série calco-alcaline
- Série alcaline
- Série komatiitique

TABLEAU 11. SYMBOLES STRUCTURAUX ET TEXTURAUX

- ☐ Massive
- # Fracturée
- //// Cisailée

- ☐ Amygdalaire
- * Variolitique
- ☐ Spherolitique
- ☐ Perlitique
- ☐ Spinifex

ANNEXE 3

**TOPOGRAPHIE, CLAIMS
ET FORAGES**

JOURNAUX DE SONDAGE

1990

PROPRIÉTÉ BOYVINET

92 JUL 24 15:40

MER - SYSTÈMES
DE GESTION DES LOIS
QUEBEC

MER - S.I.S.E.M.

1992/12/08

GM 51508

1764

92209-001

MINNOVA INC. DIVISION EXPLORATION

COMPAGNIE : MINNOVA INC. DIVISION EXPLORATION PROJET : BOYVINET SONDAGE : BV-18 IMPRIMÉ LE : 21 juillet 1992
 ANTON : BOYVINET RANG : LOT : CLAIM : 429070-2 SNRC : 32F/9 ZONE : B1 NO. RÉFÉRENCE :

COORDONNÉES AU COLLET
 GRILLE #1 LIGNE : 52+00W STATION : 12+50N ÉLÉVATION : 18.900
 GRILLE #2 LIGNE : STATION : ÉLÉVATION : 18.900
 GRILLE ARPENTÉE LATITUDE : 381.000 LONGITUDE : -1584.960 ÉLÉVATION : 18.900
 AZIMUT : 332° 0' PLONGÉE : -53° 0' PROFONDEUR DU COLLET : 0.00 LONGUEUR : 195.07m.

GÉOLOGUE : F.SPEIDEL REMARQUES : DATE DU JOURNAL : 07 mars 1990
 CONTRACTEUR : FORAGES BELAND DATE D'ARPENTAGE :
 DATE DE CIMENTAGE :
 FORAGE DÉBUTÉ LE : 06 mars 1990
 TERMINÉ LE : 09 mars 1990
 TUBAGE LAISSÉ : Oui
 BUT : Tester continuité verticale de la zone minéralisée BV-16

COORDONNÉES D'ORIENTATION

Longueur	Azimuth	Plongée
0.00	332 0'	-53 0'
60.96	*334 50'	-54 0'
121.97	**37 39'	-54 0'
182.84	*340 31'	-53 0'
193.55	341 0'	-51 0'

*) azimuth estimé par le programme

MINNOVA INC. DIVISION EXPLORATION

DE (m)	A (m)	TEXTURE ET STRUCTURE	ALTÉRATION	MINÉRALISATION
0.00	27.01	<p>MT</p> <p>De 78.50 à 83.00' (23.93-25.30m), les boulders intersectés incluent la même roche que le M15 ci-bas, soit la roche métasomatique fortement pyritisée et le microgabbro magnétique chloritisé.</p>	<p>25.30 - 25.85</p> <p>I3A#LX#CL(DMCC)(PY)VCDVQ2; Mort-terrain - probablement boulder proximal.</p> <p>Intervalle de microgabbro vert foncé à granulométrie fine, 1-2% leucoxène fin et roche faiblement à moyennement magnétique.</p> <p>Chloritisation moyenne pervasive, dolomie et calcite faibles diffuses mais variables, veinules de carbonate, veinules d'albite-quartz et une "veine" de quartz gris-blanc d'environ 1cm à = 25°AC.</p> <p>Pyrite fine en traces sur l'intervalle, plus de 0.5% en bordure de la "veine" de quartz.</p> <p>25.85 - 26.33</p> <p>I3A#+DMPY12VQ2AB; Mort-terrain - probablement boulder proximal.</p> <p>Microgabbro de couleur vert moyen à pâle rougeâtre dû à la forte densité (> 50%) de veinules de quartz-albite et albite-quartz avec leurs enveloppes d'altération. Veinules et enveloppes constituent = 90% de la roche. Les enveloppes sont millimétriques alors que les veinules sont en général submillimétriques. A noter que les veinules plus épaisses sont de quartz-albite, les veinules plus minces de albite-quartz puis albite seulement.</p> <p>Marquée par les veinules de quartz-albite, albite-quartz et albite et leurs enveloppes d'altération lessivées. Celles-ci sont constituées de M-DN7-AB.</p> <p>10-15% pyrite très fine disséminée, surtout dans les enveloppes d'altération mais aussi notée dans les blocs peu altérés du protolithe.</p> <p>26.33 - 27.01</p> <p>M15#DM#PY12VABVQ2; Mort-terrain - probablement boulder proximal.</p> <p>Même protolithe que ci-haut, les deux bouts de l'intervalle sont identiques à l'intervalle précédent. Par contre, le centre est une roche métasomatique vert-beige.</p> <p>L'altération est idem à l'intervalle précédent, centre vert-beige fortement dolomitisé avec veinules subcentimétriques de quartz gris irrégulières et multitude de veinules d'albite blanche submillimétriques irrégulières.</p> <p>10-12% pyrite très fine à fine disséminée, idem à</p>	

HINNOVA INC. DIVISION EXPLORATION

DE (m)	A (m)	TEXTURE ET STRUCTURE	ALTÉRATION	MINÉRALISATION
7.01	32.31	<p>M15#++DH+(HM)PY++VDM?, (13A)</p> <p>ROCHE METASOMATIQUE A DOLOMIE FORTEMENT PYRITISEE</p> <p>Roche métasomatique de couleur variable, soit gris-bleu foncé à vert foncé, vert-rougeâtre, vert-beige et beige selon le faciès d'altération. Le protolithe est reconnaissable à l'extérieur de la zone dont les limites sont progressives. Il s'agit d'un microgabbro fortement altéré. Il n'y a pas de foliation nette, par contre la fracturation hydrothermale est très dense. Ces fractures sont remplies de quartz (albite) multiple. Veinules de quartz ont les parois AB et enveloppes HM.</p> <p>Altération variable, intense en général. La roche passe de vert foncé (chloritisation ± épidote) à vert pâle rougeâtre (veinules QZ-AB avec HM) à beige (dolomitisation intense). Les intervalles de M15 comme telles incluent 86.40-88.60' (26.34-27.01m), 91.30-98.50' (27.83-30.02m), 102.90 à 103.80' (31.35-31.64m). Les contacts entre M15 et 13A sont progressifs.</p> <p>Pyrite très fine disséminée atteignant plus de 15% localement, probablement = 8% en moyenne sur l'intervalle. La pyritisation la plus intense est notée dans les intervalles à forte concentration de veinules de QZ-AB et les intervalles dolomitisés.</p>	<p>l'intervalle précédent mais légèrement plus grossière.</p> <p>27.01 - 27.71</p> <p>13ANG#+(CL)(PY)vAB Microgabbro fortement magnétique plus faiblement altéré semblable à 90001. Chloritisation faible, forte concentration de veinules d'albite. Magnétite possiblement secondaire. Traces de pyrite fine disséminée.</p> <p>27.71 - 27.98</p> <p>13A#++DHPY++vQZAB Idem à 90002. Altération idem à 90002. 8-10% pyrite très fine disséminée, diminuant vers la fin.</p> <p>27.98 - 28.53</p> <p>M15#++DH+PY12vABvQZ Idem à 90003. 10-15% pyrite très fine disséminée.</p> <p>28.53 - 29.57</p> <p>M15HG#DM(CL)PY11vCL M15 mais dont l'altération est moins pervasive et où il demeure donc des sections chloritisées semblables à 90004. Altération variable, combinaison de sections idem à</p>	

MINNOVA INC. DIVISION EXPLORATION

DE (m)	A (m)	TEXTURE ET STRUCTURE	ALTÉRATION	MINÉRALISATION
2.31	56.48	<p>13ACL</p> <p>MICROGABBRO CHLORITISE</p> <p>Roche mafique de couleur vert foncé à granulométrie généralement fine à aphanitique, constituée de 55-80% pyroxène? trapu 1-2mm parfois aggloméré, feldspath blanc interstitiel. Pyroxène progressivement chloritisé jusqu'à oblitération de la texture primaire. Souvent fortement magnétique. Généralement d'apparence non déformée mais une étroite zone (142.70 à 142.80' ou 43.50-43.53a) exhibe ce qui ressemble à une foliation minéralogique assez intense à 45°AC.</p> <p>Altération variable. Chloritisation faible à intense est caractéristique de l'unité, altérant d'abord préférentiellement les minéraux mafiques et ensuite toute la roche. Zones épidotisées, veinules de calcite. Zones à chlorite bleutée et biotite remplaçant une texture glomérophyrique primaire.</p>	<p>90004, 005 et 006. Veinules de chlorite vert foncé arborescentes millimétriques recoupent toutes les autres veinules. 10-12% pyrite très fine disséminée.</p> <p>29.57 - 30.02</p> <p>M15MG#DH(CL)PY++VQZHWQZAB Idem à 90007 mais avec veinules de quartz-hématite subcentimétriques subparallèles à AC précoce, recoupées par veines d'albite-quartz submillimétriques. ≤ 10% pyrite fine, diminuant sur l'intervalle.</p> <p>30.02 - 31.36</p> <p>I3AMG#DH(CL)PY++ Idem à 90008 mais sections I3ACL prédominant sur M15. Altération idem à 90008 mais diminuant en intensité. 5-8% de pyrite fine disséminée.</p> <p>31.36 - 31.64</p> <p>M15#DH+(S1HM)PY11 Roche métasomatique extrêmement altérée en DH (± S1) avec faible hématitisation. ≥ 10% pyrite fine disséminée et en veinules irrégulières millimétriques.</p> <p>31.64 - 32.31</p> <p>M15#DH+(S1HM)PY++ Idem à l'intervalle précédent mais l'altération diminue en intensité. Idem à 90010 mais diminuée. Altération demeure homogène, pas d'îlot I3AMGCL. > 5% pyrite très fine disséminée.</p>	

MINNOVA INC. DIVISION EXPLORATION

DE (m)	A (m)	TEXTURE ET STRUCTURE	ALTERATION	MINÉRALISATION
		<p>Traces de pyrite fine disséminée avec concentrations locales. Localement pyrite moyenne mineure dans des fractures.</p> <p>34.26 - 34.32 137N(.JAMGCCCCLVCC</p> <p>LAMPROPHYRE MAFIQUE? PORPHYRIQUE A AMPHIBOLE</p> <p>Mince dyke de lamprophyre constitué d'environ \geq 10% phénocristaux submillimétriques foncés d'amphibole? idiomorphe à hypidiomorphe. Minéral prismatique avec section d'amphibole. Matrice vert foncé (chloriteuse?) magnétique et riche en calcite. Contact à 60°AC.</p>	<p>32.31 - 43.53 132ANG/MG+(#)CL(PY)vCC</p> <p>MICROGABBRO PHANERITIQUE FIN</p> <p>Microgabbro variablement altéré. Là où le protolithe est reconnaissable on note 55-60% pyroxène? trapu 1-2mm parfois aggloméré avec feldspath blanc interstitiel. Le pyroxène est progressivement chloritisé puis enfin ce dernier minéral oblitère totalement la texture du gabbro.</p> <p>L'altération majeure est la chloritisation qui varie de faible à intense. Elle affecte d'abord les minéraux mafiques puis la roche entière. Localement on note des zones épidotisées. Les veinules de calcite millimétriques irrégulières sont communes mais généralement espacées à une échelle centimétrique ou plus.</p> <p>Traces de pyrite fine disséminée, associées avec les veinules de calcite.</p> <p>40.90 - 41.27 #Si+(CLCCHM)</p> <p>Intervalle moyennement fracturé, intensément altéré en silice pervasive avec altération faible en chlorite, calcite et hématite.</p> <p>Traces de pyrite.</p> <p>43.49 - 43.53 ⇄</p> <p>Etroit intervalle d'apparence fortement foliée, foliation définie par plans calcite. Foliation à \approx 45°AC.</p> <p>43.53 - 56.48 13A(MG)(o)PX?BO+(CL)vCC</p> <p>MICROGABBRO ET GABBRO GLOMEROPORPHYRIQUE BIOTITISE</p> <p>Microgabbro et gabbro gloméroporphyrique constitué d'environ 60-80% minéraux mafiques. Difficile à évaluer dû à l'altération mafique assez intense. On note des ilots localement où la texture gloméroporphyrique est encore visible.</p> <p>Remplacement des minéraux mafiques par la chlorite est</p>	

MINNOVA INC. DIVISION EXPLORATION

CODE (m)	A (m)	TEXTURE ET STRUCTURE	ALTERATION	MINERALISATION
6.48	195.07	<p>13A#CL</p> <p>GABBRO FIN FRACTURE ET CHLORITISE, MONZONITE PEU ALTEREE</p> <p>Gabbro ou melanodiorite de couleur gris foncé à vert très foncé souvent bleuté, localement vert pâle. Là où la texture ignée est préservée, la texture est équilibrée, généralement fine constituée de feldspath blanc et de hornblende ? verdâtre en proportions environ égales, avec une faible prépondérance de feldspath au début de l'unité. Texture porphyrique locale avec 10% phénocristaux mafiques millimétriques.</p> <p>Contient aussi des subunités de pyroxénite, syénite et monzonite. Il y a aussi des dykes finement porphyriques de couleur gris-brun, particulièrement à partir de 490.20' (149.41m). Ces dykes sont constitués d'environ 5% phénocristaux mafiques 1-2mm dans une matrice très fine à aphanitique brunâtre. Bordures de trempe millimétriques, contacts nets mais très irréguliers, apophyses détachées pour former des pseudo-fragments? Possiblement avec affinité lamprophyrique?</p> <p>La fracturation est faible à moyenne, irrégulière et multidirectionnelle. Ces fractures sont typiquement remplies d'épidote, calcite et albite.</p> <p>L'altération prédominante est une chloritisation pervasive faible à intense avec une teinte bleutée, particulièrement vers 490.00' (149.41m). Biotite phanérotique locale au début de l'unité, possiblement ailleurs dans l'unité mais plus fine. Veinules d'épidote, zones lessivées centimétriques à décimétriques (épidote, calcite, veinules de calcite).</p> <p>Minéralisation sous forme de concentrations locales de pyrite avec les veinules d'épidote. On note aussi des veinules de pyrite, de la pyrite disséminée et des agrégats de pyrrhotite avec pyrite associée avec un dyke ultramafique et un contact monzonite-melanodiorite. A environ 387.00' (117.96m), on note une lentille de melanodiorite à texture idiomorphe moyenne (fluides tardifs?) avec >5% pyrite fine à moyenne tandis que l'encaissant n'a que tr. à 0.5% PY. Sulfures en partie tardi-magmatiques?</p>	<p>suivie par un remplacement biotitique. Biotite fine, brune, constituant jusqu'à plus de 30% de la roche sur des intervalles métriques. Chlorite bleutée. Ces altérations donnent une texture "mottled" à la roche, avec zones de biotite et chlorite-calcite bleutée possédant un grossier alignement subparallèle à AC. Les intervalles extrêmement biotitisés incluent: 149.40-150.40' (45.54-45.84m), 156.30-159.30' (47.64-48.56m), 167.00-168.00' (50.90-51.21m).</p> <p>Traces de pyrite sur l'intervalle. Concentrations centimétriques à subcentimétriques locales de pyrite fine. Aussi localement pyrite moyenne dans fractures.</p> <p>52.30 - 52.52 Si+(EPCC)</p> <p>Intervalle fortement silicifié et faiblement altéré en épidote et calcite. Quartz saccharoïdal. Traces de pyrite.</p> <p>71.48 - 72.18 MG+#+CLVCC à MG+#+CL(PY),VCC</p>	

MINNOVA INC. DIVISION EXPLORATION

DE (m)	A (m)	TEXTURE ET STRUCTURE	ALTÉRATION	MINÉRALISATION
		<p>81.87 - 85.89 14B7MG++PO+</p> <p>PYROXENITE EXTREMEMENT MAGNETIQUE A PYRRHOTITE</p> <p>Subunité ultramafique de couleur noire extrêmement à localement fortement magnétique. Granulométrie fine en général mais hétérogène; on note localement des minéraux mafiques millimétriques. Feldspath en concentrations locales mais < 2% de la roche. Contact supérieur non défini (core cassé) contact inférieur cisailé à 85°AC. Retour à l'unité principale.</p> <p>Aucune altération évidente.</p> <p>La pyrrhotite se retrouve en agrégats subcentimétriques, veinules millimétriques et ségrégations centimétriques, formant = 3% de la roche sur toute la subunité mais jusqu'à 10-15% sur des intervalles centimétriques à subdécimétriques.</p>	<p>Intervalle moyennement à fortment magnétique et fortement déformé; fracturation en stockwork intense, foliation intense de 236.00 à 236.80' (71.93-72.18m) définie par l'alignement de chlorite. Forte densité de veinules de calcite.</p> <p>Traces à 0.5% pyrite</p> <p>80.16 - 80.86 MGCL+(PY)</p> <p>Intervalle moyennement magnétique intensément altéré en chlorite avec traces à 0.5% pyrite.</p> <p>85.89 - 86.35 M4+=CLCCPYVCC</p> <p>SCHISTE A CHLORITE-CALCITE</p> <p>Schiste à chlorite-calcite; couleur vert moyen avec teinte brunâtre, foliation à 90°AC.</p> <p>Moyenne à forte altération diffuse en chlorite et calcite, plans définis par alignement minéralogique grossier. Veinule de quartz (CCEP) à 45°AC à la fin de l'intervalle; noter épidote allongée perpendiculaire aux murs (fracture ouverte).</p> <p>1-2% pyrite très fine disséminée.</p> <p>93.27 - 101.93 #~CL+CC+(HMCLEP):PY)</p> <p>Intervalle caractérisé par un magnétisme faible à intense avec localement quelques % de leucoxène fin, une fracturation faible à plus généralement intense et une</p>	<p>81.23 - 81.56 MG++PO++</p> <p>Intervalle extrêmement magnétique avec < 10% pyrite + pyrrhotite fines</p>

HINNOVA INC. DIVISION EXPLORATION

DE (m)	A (m)	TEXTURE ET STRUCTURE	ALTÉRATION	MINÉRALISATION
		<p>103.14 - 109.51 I2D#Si(HH)(PY)</p> <p>SYENITE GRIS-ROSE</p> <p>Syénite gris-rose avec contacts nets mais très irréguliers avec l'encaissant. Constituée d'environ 15-20% hornblende millimétrique, = 70-80% feldspath submillimétrique à millimétrique rosé et > 10% matière intercrystalline felsique. Minéralogie floue. Quelques % de xénolithes de microgabbro? généralement arrondis, flous et subcentimétriques, quelques-uns centimétriques. Mag faible localement.</p> <p>Altération irrégulière; zones faiblement altérées, zones moyennement silicifiées et hématisées. Ces dernières ont généralement une texture intrusive z oblitérée.</p> <p>= 0.5% pyrite fine à moyenne sur l'intervalle. Minéralisation régulière, surtout pyrite fine disséminée mais aussi pyrite concentrée en veinules.</p>	<p>altération moyenne à intense en calcite ou chlorite avec épidote et hématite mineures. Là où la calcite est intense, la chlorite est moyenne et vice versa.</p> <p>Minéralisation variant de 0.5 à 2% pyrite fine à moyenne disséminée. De 312.70 à 314.40' (95.31-95.83m) on note 1-2% pyrite disséminée de même qu'en veinules millimétriques.</p> <p>110.28 - 111.74 #+CCCLQZPY, #+CL+PY</p> <p>Intervalle intensément fracturé avec altération moyenne à forte en chlorite, moyenne en calcite avec zones de quartz.</p> <p>1% pyrite fine à moyenne disséminée et en veinules millimétriques.</p>	
		<p>123.29 - 149.41 I2FMG(HH)</p> <p>MONZONITE MAGNETIQUE PEU ALTEREE</p> <p>Roche intrusive équi-granulaire fine à moyenne constituée d'environ 20-30% hornblende vert moyen interstitiel, = 60% feldspath blanc laiteux et = 10% quartz gris. Minéralogie floue; (plagioclase ou feldspath alcalin?). Xénolithes mafiques (microgabbro) sont abondants. Centimétriques, irréguliers mais non angulaires. Irrégularité à petite échelle indique possibilité d'assimilation. Localement xénolithes forment plus de 50% de la roche sur des intervalles d'environ 1m. Bordure figée d'environ 0.24m à 404.50' (123.29m), très net. A 490.20' (149.41m), id, 45°AC. I2F succède à I2J. Contact à 50°AC.</p> <p>Altération faible, surtout hématite locale. Hématite très faible affecte préférentiellement certains felspaths mais là où hématite plus forte celle-ci forme des bandes irrégulières affectant toute la roche.</p> <p>Traces à localement 0.5% pyrite fine disséminée localement.</p>		<p>149.47 - 150.78 MGCL+PO+PY</p>

MINNOVA INC. DIVISION EXPLORATION

DE (m)	A (m)	TEXTURE ET STRUCTURE	ALTÉRATION	MINÉRALISATION
		<p>173.10 - 195.07 13A?[-]PX80(CC)vCCvPY, (12Jm#CL)</p> <p>ZONE A PREDOMINANCE DE DYKES DE MICROGABBRO PORPHYRIQUES BIOTITISES</p> <p>Dyke mafique porphyrique à pyroxène? et matrice biotitique? très fine. Affinité lamprophyrique? Contacts avec diorite sont nets mais très irréguliers avec apophyses etc. On note aussi des "fragments" de ces "dykes" dans la diorite. L'irrégularité des contacts suggère que l'intrusion eut lieu lorsque la diorite n'était pas encore consolidée et que les "fragments" seraient des apophyses arrachées. Contacts 13/12 parfois transitionnels. Contact à 50"AC.</p> <p>Veinules de calcite blanche ≤ 1mm espacées centimétriques. Brèche locale (604.90-605.20' ou 184.38-184.47m) avec fragments angulaires cimentés pour EP-CC. Veinules = 1mm calcite rose à rouge parallèles à AC, coupent 13N? Biotite fine remplace calcite bleutée diffuse de 612.80' (186.78m) à la fin du trou.</p> <p>Pyrite très fine associée à quelques veinules de calcite; ces veinules deviennent vPY(CC). Traces à 0.5% pyrite sur l'intervalle. Minéralisation en pyrite fine à moyenne disséminée et en blebs surtout dans 12J, atteignant 1-2% sur des intervalles métriques.</p>	<p>159.87 - 160.26 MGCL+(PY)</p> <p>Intervalle moyennement magnétique, intensément chloritisé avec 0.5 à 1% pyrite fine en concentrations locales</p> <p>183.95 - 184.56 12JmCC+(CL)(PY)vCC, /LEPCC</p> <p>Méladiorite intensément carbonatisée (calcite) avec faible chloritisation et veinules de calcite. Zone de brèche centimétrique cimentée par épido-calcite. > 0.5% pyrite fine disséminée</p> <p>185.26 - 186.78 12Jm#-CL+CC+PY</p> <p>Méladiorite moyennement fracturée et foliée avec altération intense en chlorite et calcite. Chlorite vert-bleuté foncé. > 1% pyrite fine disséminée et en agrégats subcentimétriques</p> <p>188.24 - 189.74 13A(MG)#80+(CLCC)(PY)vCC</p> <p>Gabbro ou méladiorite faiblement à moyennement magnétique, moyennement à intensément fracturée et fortement biotitisée, avec altération mineure en chlorite et calcite. Veinules de calcite. Environ 20% biotite fine</p>	<p>Zone de contact moyennement magnétique et intensément chloritisée avec environ 5% pyrrhotite et pyrite.</p>

HINNOVA INC. DIVISION EXPLORATION

DE m)	A (m)	TEXTURE ET STRUCTURE	ALTÉRATION	MINÉRALISATION
	195.07	FIN DU TROU	brune remplaçant la chlorite bleutée, diminuant en profondeur. 0.5-1% pyrite fine à moyenne disséminée 195.07m (640.00'): FIN DU TROU	

MIRNOVA INC. DIVISION EXPLORATION

CHANTILLON	DE (m)	A (m)	LONGUEUR (m)	Au(OP1) ppb	Au(OP2) ppb	Au(R-1) ppb	Au(R-2) ppb	Au(MOY) ppb	Ag ppm	As(CH) ppm	Sb(CH) ppm	Mo(CH) ppm	Pb(CH) ppm	Cu(OP) ppm	Cu(CH) ppm	Cu(MOY) ppm	Zn(OP) ppm	Zn(CH) ppm	Zn(MOY) ppm
90001	25.57	25.85	0.28	tr.				tr.	tr.					107		107	68		68
90002	25.88	26.33	0.45	tr.				tr.						60		60	110		110
90003	26.33	27.01	0.68	tr.				tr.						183		183	120		120
90004	27.01	27.71	0.70	tr.				tr.						90		90	112		112
90005	27.71	27.98	0.27	343				343						190		190	120		120
90006	27.98	28.53	0.55	343				343						74		74	92		92
90007	28.53	29.57	1.04	686				686						396		396	134		134
90008	29.57	30.02	0.45	343				343						220		220	124		124
90009	30.02	31.36	1.34	343				343						680		680	157		157
90010	31.36	31.64	0.28	686				686						64		64	84		84
90011	31.64	32.31	0.67	857				857						59		59	100		100
90012	32.31	33.01	0.70	tr.				tr.						230		230	140		140
90013	34.63	34.75	0.12	tr.				tr.						77		77	56		56
95901	34.75	35.75	1.00	tr.				tr.						1		1	1		1
90014	35.75	36.21	0.46	343				343						164		164	76		76
90015	36.21	36.48	0.27	tr.				tr.						137		137	99		99
90016	38.40	38.86	0.46	tr.				tr.						164		164	100		100
90017	39.11	40.54	1.43	tr.				tr.						106		106	70		70
90018	40.54	40.90	0.36	tr.				tr.						166		166	110		110
90019	40.90	41.27	0.37	tr.				tr.						66		66	57		57
90020	41.27	41.94	0.67	tr.				tr.						76		76	84		84
90021	43.53	44.01	0.48	tr.				tr.						147		147	79		79
90022	46.24	46.48	0.24	tr.				tr.						127		127	66		66
90023	47.91	49.44	1.53	tr.				tr.						163		163	64		64
90024	52.30	52.52	0.22	tr.				tr.						51		51	60		60
90025	56.48	58.43	1.95	tr.				tr.						117		117	82		82
90026	63.03	63.73	0.70	tr.				tr.						102		102	53		53
90027	68.58	70.07	1.49	tr.				tr.						280		280	42		42
90028	70.07	70.23	0.16	tr.				tr.						199		199	56		56
90029	71.48	71.93	0.45	tr.				tr.						230		230	72		72
90030	71.93	72.18	0.25	tr.				tr.						260		260	92		92
90031	76.60	77.27	0.67	tr.				tr.						174		174	72		72
90032	78.85	79.52	0.67	tr.				tr.						174		174	49		49
90033	80.16	80.86	0.70	tr.				tr.						118		118	92		92
90034	80.86	81.23	0.37	tr.				tr.						112		112	81		81
90035	81.23	81.56	0.33	tr.				tr.						647		647	112		112
90036	81.87	83.03	1.16	tr.				tr.						230		230	80		80
90037	83.03	84.40	1.37	tr.				tr.						100		100	44		44
90038	84.40	85.89	1.49	tr.				tr.						106		106	62		62
90039	85.89	86.35	0.46	tr.				tr.						100		100	82		82
90040	86.35	87.17	0.82	tr.				tr.						72		72	37		37
90041	87.17	88.73	1.56	tr.				tr.						86		86	32		32
90042	89.55	90.10	0.55	tr.				tr.						100		100	44		44
90043	93.27	93.88	0.61	tr.				tr.						154		154	74		74
90044	94.34	95.31	0.97	tr.				tr.						87		87	47		47
90045	95.31	95.83	0.52	tr.				tr.						127		127	50		50
90046	95.83	97.20	1.37	tr.				tr.						160		160	57		57
90047	97.20	98.60	1.40	tr.				tr.						117		117	69		69
90048	98.60	100.00	1.40	tr.				tr.						132		132	55		55
90049	100.00	101.47	1.47	tr.				tr.						133		133	52		52
90050	101.47	101.93	0.46	tr.				tr.						81		81	76		76
90051	101.93	103.14	1.21	tr.				tr.						99		99	70		70

MINNOVA INC. DIVISION EXPLORATION

CHANTILLON	DE (m)	A (m)	LONGUEUR (m)	Au(OP1) ppb	Au(OP2) ppb	Au(R-1) ppb	Au(R-2) ppb	Au(MOY) ppb	Ag ppm	As(CH) ppm	Sb(CH) ppm	Mo(CH) ppm	Pb(CH) ppm	Cu(OP) ppm	Cu(CH) ppm	Cu(MOY) ppm	Zn(OP) ppm	Zn(CH) ppm	Zn(MOY) ppm
90052	103.14	104.21	1.07	tr.				tr.						69		69	43		43
90053	104.21	105.64	1.43	tr.				tr.						97		97	27		27
90054	105.64	107.05	1.41	tr.				tr.						92		92	12		12
90055	107.05	108.51	1.46	tr.				tr.						72		72	9		9
90056	108.51	109.51	1.00	tr.				tr.						115		115	10		10
90057	109.51	109.94	0.43	tr.				tr.						153		153	12		12
90058	109.94	110.28	0.34	tr.				tr.						230		230	27		27
90059	110.28	110.86	0.58	tr.				tr.						167		167	29		29
90060	110.86	111.74	0.88	tr.				tr.						154		154	12		12
90061	111.74	112.78	1.04	tr.				tr.						149		149	4		4
90062	112.78	114.27	1.49	tr.				tr.						167		167	10		10
90063	117.10	117.68	0.58	tr.				tr.						360		360	27		27
90064	123.32	123.75	0.43	tr.				tr.						94		94	22		22
90065	149.47	150.78	1.31	tr.				tr.						227		227	60		60
90066	159.87	160.26	0.39	tr.				tr.						230		230	30		30
90067	162.43	163.67	0.24	tr.				tr.						130		130	8		8
90068	164.87	165.38	0.51	tr.				tr.						87		87	7		7
90069	173.10	174.65	1.55	tr.				tr.						244		244	30		30
90070	174.65	175.29	0.64	tr.				tr.						87		87	26		26
90071	183.95	184.56	0.61	tr.				tr.						90		90	24		24
90072	185.26	186.78	1.52	tr.				tr.						129		129	41		41
90073	186.78	188.24	1.46	tr.				tr.						79		79	22		22
90074	188.24	189.10	0.86	tr.				tr.						107		107	22		22
90075	189.10	189.74	0.64	tr.				tr.						184		184	40		40
90076	190.80	192.51	1.71	tr.				tr.						92		92	74		74
90077	193.15	195.07	1.92	tr.				tr.						140		140	24		24

MINNOVA INC. DIVISION EXPLORATION

COMPAGNIE : MINNOVA INC. DIVISION EXPLORATION PROJET : BOYVINET SONDAGE : BV-19 IMPRIMÉ LE : 14 avril 1992
 CANTON : BOYVINET RANG : LOT : CLAIM : 429070-4 SHRC : 32F/9 ZONE : 81 NO. RÉFÉRENCE :

COORDONNÉES AU COLLET GRILLE #1 GRILLE #2 GRILLE ARPENTÉE AZIMUT : 152° 0'
 LIGNE : 56+00W LIGNE : STATION : 19+50N LATITUDE : 594.360 PLONGÉE : -45° 0'
 STATION : 19+50N STATION : ÉLEVATION : 18.900 LONGITUDE : -1706.880 PROFONDEUR DU COLLET : 0.00
 ÉLEVATION : 18.900 ÉLEVATION : 18.900 LONGUEUR : 331.32m

GÉOLOGUE : F.SPEIDEL REMARQUES : DATE DU JOURNAL : 11 mars 1990
 CONTRACTEUR : FORAGES BELAND DATE D'ARPENTAGE :
 DATE DE CIMENTAGE :
 FORAGE DÉBUTÉ LE : 09 mars 1990
 TERMINÉ LE : 20 mars 1991
 BUT : Tester continuité ouest de la zone minéralisée BV-16 TUBAGE LAISSÉ : Oui
 CIBLE :

DONNÉES D'ORIENTATION

Longueur	Azîmut	Plongée
0.00	152 0'	-45 0'
54.86	151 0'	-45 0'
121.92		-43 0'
180.14	159 0'	-43 0'
243.84		-44 0'
327.36	179 0'	-37 0'

MINNOVA INC. DIVISION EXPLORATION

DE (m)	A (m)	TEXTURE ET STRUCTURE	ALTÉRATION	MINÉRALISATION
0.00	15.54	MT		
15.54	64.53	<p>I2?Jm(HG)LX)#CL(CC)vCC</p> <p>DIORITE FINE EQUIGRANULAIRE Diorite? fine équi-granulaire constituée d'environ 50-60% minéraux mafiques et 40-50% feldspath parfois en lattes hypidiomorphes. Généralement l'altération oblitère la texture intrusive fine. 1-2% leucoxène très fin. Fracturation moyenne, localement intense et formation de brèches. Foliation moyenne à intense locale, généralement sur des intervalles submétriques, définie par l'alignement de chlorite ± biotite. Altération variable. Chloritisation pervasive faible à intense, calcite diffuse faible à moyenne. Veinules de calcite, CC-HM, CC-EP, etc. Hématitisation moyenne sur des intervalles centimétriques, typiquement associée à des zones de veinules de calcite. Biotitisation locale sur des intervalles métriques, particulièrement notable dans un porphyre mafique où les phénocristaux sont remplacés par chlorite vert moyen et biotite brune fraîche. Aussi biotite très fine diffuse. Minéralisation variable. Généralement traces de pyrite fine disséminée. Concentrations locales là où il y a des zones de veines de calcite. Aussi concentrations en blebs dans les intervalles plus fortement chloritisés.</p> <p>15.54 - 15.97 I2D?CLHMSiCC(PY)vCC</p> <p>SYENITE? MAFIQUE</p> <p>Syénite? mafique constituée d'environ 40-50% feldspaths rosés millimétriques allotriomorphes, = 20-30% hornblendes chloritisés et = 20% matière interstitielle aphanitique. Contact inférieur graduel flou. Altération faible et pervasive; hématite affecte feldspaths et matière interstitielle, chlorite affecte hornblende, calcite et silice diffuses. Traces de pyrite fine disséminée.</p>	<p>20.18 - 20.42</p> <p>90079: 60%vCCEPQZ(PY); ≥ 0.5% pyrite très fine disséminée.</p> <p>22.74 - 23.59</p> <p>90080: CL(BOCC)(PY)vCCPY; Transition vers # 90081.</p> <p>23.59 - 29.47 [.]CLB0, #+CC+BOCL,CL+BO</p> <p>Gabbro porphyrique, fracturé avec altération moyenne à forte en chlorite, biotite et calcite. Fracturation en stockwork faible à intense, foliation moyenne @ 50° AC de 88.50 à 93.90 (26.98-28.62m). Relations temporelles complexes parmi les divers faciès d'altération: des plages de chlorite vert moyen fins effacent la biotite et les veinules de calcite submillimétriques.</p>	

MINNOVA INC. DIVISION EXPLORATION

DE (m)	A (m)	TEXTURE ET STRUCTURE	ALTÉRATION	MINÉRALISATION
			<p>23.59 - 24.48</p> <p>90081: [.]BOCL#CC+(PY)vCCPY; couleur beigâtre.</p> <p>24.48 - 25.30</p> <p>90082: #+CC+BOCLPYVCC++PY. Relations temporelles complexes. Du récent à l'ancien: - Veinule subcentimétrique CC-DM-HM lessivée, CL tardive. - Plages CL fine effacent BO & VCC submillimétriques. CL vert moyen. - Relation BO-vCC pas claire.</p> <p>25.30 - 26.27</p> <p>90083: MG#CL+BO(CC)(PY);</p> <p>26.27 - 26.97</p> <p>90084: (MG)#CLCC(HM)(PY)vCC; > 0.5% pyrite.</p> <p>26.97 - 28.62</p> <p>90085: 12J[.]CLBO=CC+; Foliation à 50°AC, le [.] BO continue jusqu'à 96.70, diminue en profondeur.</p> <p>31.46 - 32.37</p> <p>90086: 12J#+CLSiLVCC; Enveloppes CLSi(EP) autour vCC oblitèrent totalement texture.</p> <p>32.37 - 33.10</p> <p>90087: (MG)CLCC(PY)VCCEP dense; > 0.5% pyrite fine disséminée.</p> <p>33.68 - 34.38</p> <p>90088: #+EP(CLHM)(PY)VCC dense; Concentrations de pyrite associées avec HM & vCC.</p> <p>41.15 - 41.79</p> <p>90089: #AB?(CL)(PY)vCCQZ; Si ou AB?</p> <p>42.40 - 43.01</p> <p>90090: CL+(BO?)vPY; Chlorite tardive de remplacement très fine. Couleur noir-verdâtre.</p> <p>43.83 - 44.50 /H\ (M?)#CL+(BO)(PY)vCCvQZCC</p>	

MINNOVA INC. DIVISION EXPLORATION

DE (m)	A (m)	TEXTURE ET STRUCTURE	ALTÉRATION	MINÉRALISATION
			<p>BRECHE HYDROTHERMALE A CHLORITE</p> <p>Roche bréchique faiblement magnétique avec chloritisation intense, faible biotitisation et veinules de calcite en stockwork très denses. Fragments angulaires altérés en BO(HM), matrice en CLEP. L'altération CLEP succède aux veinules de quartz-calcite qu'elle bréchifie.</p> <p>45.20 - 45.81</p> <p>90092: AB?(CL)(PY)VCC dense. AB? vert pâle lessive la roche de façon irrégulière.</p> <p>46.85 - 47.55</p> <p>90093: #*AB?vCLVCC tr PY; Roche lessivée avec forte densité de VCL & enveloppes CL tardives.</p> <p>48.25 - 48.43</p> <p>90094: (MG)(CLBOCC)(PY); Brun-vert bleuté, ≤ 1% pyrite.</p> <p>51.33 - 52.24</p> <p>90095: #*CLVCLVCCMH; ≥ traces pyrite fine disséminée.</p> <p>51.48 - 61.11 #*CLVCLVCCMH, MGCL+(HM)(PY),MG#+CLVCCDP</p> <p>Intervalle généralement caractérisé par une fracturation et une chloritisation moyennes à intenses. Plus de 1% pyrite de 196.00 à 200.50' (59.74-61.11m); pyrite surtout associée avec les veinules de calcite ou d'épidote. Les veinules de calcite et celles d'épidote semblent contemporaines mais les veinules de quartz gris succèdent aux deux premières.</p> <p>52.24 - 52.88</p> <p>90096: MGCL+(HM)(PY); (HM) très locale</p> <p>53.80 - 54.32</p> <p>90097: (MG)#CL+(HM); traces pyrite fine à moyenne.</p> <p>56.85 - 57.58</p> <p>90098: MG#+CLVCCVQZVEP; VCC & VEP semblent contemporaines, VQZ gris translucide succède aux deux. Pyrite fine à moyenne en concentrations locales, associées à VCCVEP? < 0.5% sur intervalle.</p> <p>57.58 - 58.22</p>	

MINNOVA I.N.C. DIVISION EXPLORATION

DE (m)	A (m)	TEXTURE ET STRUCTURE	ALTÉRATION	MINÉRALISATION
64.53	80.77	<p>12F(HMCLCC)(PY) MONZONITE?</p> <p>Intrusion intermédiaire phanéritique relativement fraîche, constituée d'environ 25% feldspath rosé allotriomorphes interstitiel, \approx \leq 50% hornblende vert moyen chloritisé hypidiomorphe, 5-10% quartz fin allotriomorphe, 5-8% biotite brun foncé hypidio- à idiomorphe avec chlorite associée. Certains cristaux de hornblende demeure frais (noir). Moyennement magnétique localement. La granulométrie passe de très fine aux contacts à moyenne au centre de l'unité. Nombreuses inclusions très irrégulières (assimilation?) centimétriques du début de l'unité, formant jusqu'à > 50% sur des intervalles métriques. Il s'agirait de la diorite microgrenue.</p> <p>Altération très faible. Nématisation du feldspath, chloritisation partielle du hornblende et biotisation. Feldspath séricitisé (vert pâle). Traces de pyrite fine à moyenne disséminés au travers de toute l'unité.</p>	<p>90099: (MG)(CL)(PY); \geq 0.5% pyrite fine disséminée.</p> <p>59.74 - 61.11</p> <p>90100: #+CLVQZCC dense avec > 1% pyrite sur ces 5.2cm.</p> <p>65.65 - 66.60</p> <p>90101: 15% xénos, (HM) à HM très localement. \geq traces pyrite fine disséminée.</p>	
80.77	290.23	<p>13A#+CLVCCP MICROGABBRO FRACTURE</p> <p>Intrusion mafique à granulométrie très fine, couleur gris-vert foncé. Localement on observe jusqu'à 10% grains de feldspath irréguliers dans une matrice altérée. Fracturation généralement très dense, intense à localement extrême. Veinules submillimétriques CC-EP à espacement centimétrique à subcentimétrique. Aussi quelques zones de veinules de pyrite submillimétriques, CC-HM, CL etc. Roche faiblement à localement extrêmement magnétique. 5-8% de hornblende aciculaire subcentimétrique noté localement. Foliation moyenne sur des intervalles submétriques, mal définie, texture fluidale ou vague alignement minéralogique.</p> <p>Chloritisation diffuse moyenne en général, + veinules diverses (surtout CCEP). Biotitisation faible à moyenne, riebeckite (amphibole fibreuse bleue) locale. Bien définie autour de 680.00' (207.27m). Semble succéder à la chlorite et biotite, particulièrement dans les intervalles plus faiblement altérés ou la texture intrusive du protolithe est encore visible. A # 769.00' (234.39m), veines EPCL millimétriques diffuses coupées par microdyke (subcentimétrique) de I2D, déplacées par VFK?HMEP recoupées par VCCDZ (FKHM au centre, EP en bordure). Le microdyke de I2D est à HM (Si), phanéritique fin mais avec > 25% matière interstitielle aphanitique. Altération croissante vers le contact avec l'unité suivante.</p>		

MINNOVA INC. DIVISION EXPLORATION

DE (m)	A (m)	TEXTURE ET STRUCTURE	ALTÉRATION	MINÉRALISATION
		<p>Traces pyrite fine disséminée concentrations locales en agrégats et veinules atteignant quelques %. Zone métrique de sulfures massifs à semi-massifs au contact avec l'unité suivante.</p>	<p>83.45 - 84.37</p> <p>90102: Typique, zones EP, ≤ 0.5% pyrite en concentrations locales.</p> <p>85.71 - 86.11</p> <p>90103: MG+(CLCC)PYCC; Pyrite = 2% sur l'intervalle.</p> <p>89.92 - 90.74</p> <p>90104: #+CL(PY)VCCEP millimétriques irrégulières.</p> <p>91.87 - 92.78</p> <p>90105: #+CLCC(PY)CC; = 0.5% pyrite fine à moyenne en concentrations locales.</p> <p>94.24 - 94.79</p> <p>90106: MG#+CL(PY)CC submillimétriques à espacement subcentimétrique. 0.5% pyrite fine disséminée.</p> <p>95.55 - 96.99</p> <p>90107: (MG)#+CLVCC dense; Pyrite en agrégats locaux et veinules = 1mm. Veinules de quartz-calcite centimétriques.</p> <p>101.38 - 102.11</p> <p>90108: #CLAB? lessivé irrégulier; Traces pyrite. A 327.20' (99.73m) on note des globules subcentimétriques vert moyen. Glomérôphénocristaux PG? A 333.00' (101.50m), les globules sont gris foncé.</p> <p>105.10 - 105.52</p> <p>90109: (MG)#+CC(PY)VCCEP ≥ 0.5%; Pyrite fine disséminée et concentrée en bordure des veines de calcite-quartz.</p> <p>110.00 - 110.67</p> <p>90110: #90?(CLAB?EP) VZEPVCC; Couleur gris-vert foncé brunâtre, zones irrégulières vert pâle (ABFP?). Traces-0.5% pyrite fine disséminé et en veinules millimétriques.</p> <p>112.47 - 112.93</p>	

MINNOVA INC. DIVISION EXPLORATION

DE (m)	A (m)	TEXTURE ET STRUCTURE	ALTÉRATION	MINÉRALISATION
			<p>90111: (MG)#+CC+(CLBOEP)(PY)vCC rose; intervalle moyennement folié à texture fluidale, foliation mal définie. Fracturation intense, foliation moyenne, altération intense en calcite et faible en chlorite, biotite et épidote. Veinules de calcite rose. Environ 0.5% pyrite fine disséminée et en agrégats millimétriques.</p> <p>112.93 - 115.46 #+BO(CLEPAB?)vCC</p> <p>Intervalle caractérisé par une fracturation forte et une altération moyenne en biotite. Forte densité de veinules de calcite à partir de 375.20. Traces de pyrite en général, 15-20% pyrite fine à moyenne sur 0.15m entre 372.60 et 375.20' (113.57-114.36m).</p> <p>112.93 - 113.69</p> <p>90112: #+BO?CL(EPAB?)(PY)vCCEP;</p> <p>114.36 - 115.46</p> <p>90114: #+BO(CL)VCC très denses; Enveloppes lessivées millimétriques autour des veines de calcite submillimétriques (CLEP?), efface la biotite. Traces de pyrite fine à moyenne disséminée locale.</p> <p>115.46 - 117.20</p> <p>90115: Idem;</p> <p>118.66 - 125.76 #+BO(CL)vCCOZ, #CLBOPY</p> <p>Intervalle variablement fracturé avec altération moyenne en biotite. Lessivage de la roche (vert pâle) dû à la concentration d'enveloppes d'altération (CLEPAB?) autour de veinules de calcite-quartz submillimétriques. Traces de pyrite en général, localement jusqu'à 15% sur des intervalles centimétriques.</p> <p>118.66 - 120.09</p> <p>90116: #+BO(CL)vCCOZ; Veines calcite à = 15°AC. = 60% de la roche est vert pâle dû à concentrations enveloppes</p>	<p>113.57 - 114.36</p> <p>90113: MG#+CC(BOCL)PY+; 15-20% pyrite fine à moyenne sur 0.5'.</p>

MINNOVA INC. DIVISION EXPLORATION

DE (m)	A (m)	TEXTURE ET STRUCTURE	ALTÉRATION	MINÉRALISATION
			<p>d'altération (CL-EP-AB?) autour des veines de calcite (quartz) submillimétriques. Traces de pyrite fine disséminée locale.</p> <p>121.62 - 121.92</p> <p>90117: (#)CLBOPY; Un agrégat centimétrique de pyrite très fine + traces pyrite disséminée.</p> <p>122.53 - 122.77</p> <p>90118: (BOCL)PY+; = 15% pyrite fine à moyenne disséminée sur = 0.2', traces sur le reste.</p> <p>124.48 - 125.76</p> <p>90119: #CLBOPY; Enveloppes CCzEP autour des veines de calcite. ≥ 1% pyrite fine à moyenne disséminée concentrée sur 3 intervalles centimétriques.</p> <p>126.64 - 126.89</p> <p>90120: 30% vQZCC(CLEP); On observe = 10% grains feldspath irréguliers dans matrice CLBO. Possiblement réduction tectonique de la granulométrie? Alignement minéralogique avec fracturation superposée. Foliation vague à = 45°AC vers 423.00' (128.93m). Traces de pyrite fine en bordure des veinules de quartz et associées avec veinules de calcite.</p> <p>129.08 - 129.54</p> <p>90121: #+(CLBDDM?)vCC vCCEP; Aspect (SiHM) ou (ABHM) ou (DM)? Coloration brun légèrement orangé localement. Traces de pyrite avec veinules CCEP.</p> <p>131.49 - 132.71</p> <p>90122: #+(CLBO?)(PY)vCC; Concentration pyrite fine en agrégats centimétriques ou avec vCCEPAB?</p> <p>132.71 - 133.32</p> <p>90123: #CCDM?BOPYvCC; Coloration beige foncé. 1-3% pyrite fine à moyenne disséminée, en agrégats locaux ou en veinules millimétriques.</p> <p>133.32 - 134.36</p> <p>90124: #+(CLBO)vCC; Traces de pyrite fine.</p> <p>135.70 - 136.15 #+==?(BOCL)(PY)vCC</p>	

MINNOVA INC. DIVISION EXPLORATION

DE (m)	A (m)	TEXTURE ET STRUCTURE	ALTÉRATION	MINÉRALISATION
			<p>90125: Zone de déformation de couleur brun-gris, altération faible à moyenne en biotite et chlorite. Foliation définie par un rubanement minéralogique (protomylonite?) centimétrique vers la fin de l'intervalle à ~45°AC. Traces de pyrite fine à moyenne localisée. 137.16 - 137.56</p> <p>90126: #+(BOCL)vCC; Traces de pyrite fine disséminée. 137.56 - 137.89</p> <p>90127: 20% VCCQZ rose (HM)PY; Possiblement rubanement minéralogique # parallèle à veines de calcite-quartz, veines à # 60°AC. Altération habituelle sauf pour (HM) avec VCCQZ. ≤ 1% pyrite sur l'intervalle; fine disséminée et fine à moyenne avec veines de calcite-quartz. 137.89 - 139.51 #+-(CLBO)(PY)vCLEP</p> <p>Intervalle intensément fracturé et folié. Indications de recristallisation et vague foliation mylonitique à 30°AC. Altération faible à moyenne en chlorite et biotite, zones lessivées vert pâle. Veinules de chlorite-épidote sont généralement subperpendiculaires à , et semblent recouper, la foliation. Environ 1% de pyrite fine en bordure des veinules de calcite, aussi des agrégats irréguliers de pyrite fine. 137.89 - 139.51</p> <p>90128: #+-(CLBO)(PY)vCLEP; Indications de recristallisation et vague foliation mylonitique à # 30°AC. (CLBO) habituelle, zones lessivées vert pâle. Veinules généralement subperpendiculaires à/et postdatent la foliation. ≤ 1% pyrite sur l'intervalle; pyrite fine disséminée en bordure des veines de calcite, zones d'agrégats irrégulières de pyrite fine. 140.09 - 141.12</p> <p>90129: (MG) #=?CL(BO) (EPCCAB)(PY); Foliation moyenne locale? Mal définie. Altération de couleur habituelle, zones centimétriques à décimétriques vert pâle rosé. Pyrite fine en 3 concentrations locales centimétriques.</p>	

MINNOVA INC. DIVISION EXPLORATION

DE (m)	A (m)	TEXTURE ET STRUCTURE	ALTÉRATION	MINÉRALISATION
			<p>142.74 - 143.80</p> <p>90130: #(CL)(PY)VCCEP; Texture intrusive reconnaissable? HB aciculaire millimétrique forme ≈ 5-8%, feldspaths très fins flous. HB primaire ou secondaire?? Chlorite faible, veines de calcite avec bordures chlorite. ≥ traces pyrite fine disséminée.</p> <p>145.54 - 147.04</p> <p>90131: #CL(PY)VCCEP; 1% pyrite fine à moyenne disséminée et concentrée avec VCCEP.</p> <p>147.04 - 148.65</p> <p>90132: #+CL(PY)VCC; ≤ 0.5% pyrite fine disséminée et en veinules.</p> <p>148.65 - 150.17 M15(MG)#+++ (HM)VCC++</p> <p>Intervalle extrêmement fracturé et intensément folié avec extrême densité de veinules de calcite en stockwork submillimétriques. Lamination tectonique à ~ 30°AC recoupée par la fracturation/vCC. Couleur gris-rosé avec > 60% veinules de calcite. Traces - 0.5% pyrite très fine disséminée.</p> <p>148.65 - 150.17</p> <p>90133: (MG)=++M15(HM)VCC++; Fracturation en stockwork extrême, remplie de calcite. Foliation intense? inférée localement, précède fracturation. Lamination tectonique à ≈ 30°AC. Couleur gris-rosé avec < 60% veines de calcite submillimétriques irrégulières. Traces à 0.5% pyrite très fine disséminée.</p> <p>150.17 - 151.18</p> <p>90134: (MG)#+(CLBO)(PY)VCC; Chlorite vert moyen diffuse tardive, efface les veines de calcite. Traces pyrite fine en agrégats associée à calcite.</p> <p>151.18 - 152.58</p> <p>90135: #+CLVQZPYVCC; Veines calcite submillimétriques, coupent veinules quartz-pyrite. Concentration MG en bordure veines quartz-pyrite. Traces pyrite fine à moyenne à l'intérieur de veines de quartz gris millimétriques.</p>	

MINNOVA INC. DIVISION EXPLORATION

DE (m)	A (m)	TEXTURE ET STRUCTURE	ALTÉRATION	MINÉRALISATION
			<p>154.29 - 154.63</p> <p>90136: #+CC(HMCL)(PY); Calcite moyenne à forte diffuse, chlorite faible, HM faible (légère teinte rosée), veinules calcite submillimétriques. ≥ traces pyrite fine disséminée.</p> <p>154.63 - 156.33 MG#+CC+CL(HM)PY+vCC, (MG)#++CC+CLQZHMSP</p> <p>Intervalle fortement carbonaté (calcite) avec foliation intense à partir de 511.90' (156.03m). Foliation définie par lamination minéralogique à 80°AC. Cette lamination est définie par une proportion variable de CL, CC, HM etc. 0.5-4% pyrite fine à moyenne disséminée et en veinules millimétriques. 2-4% pyrite jusqu'à 511.90' (156.03m).</p> <p>154.63 - 156.03</p> <p>90137: MG#+CC+CL(HM)PY+vCC; Calcite forte à moyenne, chlorite idem, HM très faible, forte densité de veinules de calcite. 2-4% pyrite très fine disséminée, diminue vers la fin.</p> <p>156.03 - 156.33</p> <p>90138: (MG)#++CC+CLQZHMSP(PY); Foliation définie par lamination minéralogique = AC 80°, variation en % de CL, CC, HM, etc. Zone de QZ-HM irrégulière avec spécularite granulaire. Encaissant fortement carbonaté (CC). 0.5-1% pyrite fine à moyenne disséminée et en veinules millimétriques, dans quartz et encaissant.</p> <p>156.33 - 156.85</p> <p>90139: MG#CL(CC)vCCEPPY; 0.5-1% pyrite fine à moyenne dans et en bordure de vCCEP.</p> <p>156.85 - 157.28</p> <p>90140: MG#+(BO?CL)(PY)vCC; Couleur brun-vert foncé, flots moins altérés avec aiguilles millimétriques de HB dans matrice feldspathique fine. ≤ 0.5% pyrite fine disséminée, surtout concentrée sur dernier 0.2'.</p> <p>157.28 - 158.07</p> <p>90141: (MG)#+#BO?HM(CCCL)PY; Noter à nouveau fractures</p>	

MINNOVA INC. DIVISION EXPLORATION

DE (m)	A (m)	TEXTURE ET STRUCTURE	ALTÉRATION	MINÉRALISATION
			<p>sub-perpendiculaires à foliation, déplaçant laminations tectoniques. Foliation mal définie à $\approx 60^\circ\text{AC}$. Surtout BO?(CCCL), $\approx 30\%$ intervalle M15HM(CC)PY. Pyrite moyenne disséminée dans intervalle HM, pyrite fine disséminée en concentrations irrégulière. Syn ou pré fracturation?</p> <p>158.07 - 159.50</p> <p>90142: MG#(CLBO)(PY) vCC; $\leq 0.5\%$ pyrite fine disséminée, en veinules millimétriques et agrégats locaux.</p> <p>159.50 - 160.05</p> <p>90143: Idem au précédent; Début d'une foliation un peu plus convaincante; (BOCL), faible HM donne légère teinte rosée.</p> <p>160.05 - 162.43 MG++CC+CLPYvCC (M17?)</p> <p>ZONE DE DEFORMATION</p> <p>Zone de déformation (plutôt coeur d'une zone anastomosée plus large) de couleur gris-vert avec foliation irrégulière définie par orientation minéralogique, particulièrement plans d'agrégats de chlorite vert moyen fin. Protolithe en filots subcentimétriques à granulométrie très fine. Foliation difficile à reconnaître avec veines calcite et enveloppes d'altération superposées. Fracturation > foliation aux 2 extrémités. Foliation à 60°AC. Calcite forte diffuse et en veinules surtout irrégulières, généralement $\approx 90^\circ\text{AC}$ ou subparallèle à la foliation. Protolithe gris-vert brun foncé: chlorite-biotite précoces? > 2-3% pyrite fine à moyenne disséminée, associée à veines de calcite, en veinules submillimétriques discontinues.</p> <p>162.43 - 163.59</p> <p>90147: MG#CC(CL)PYVCC; Veinules hydrothermales irrégulières remplissant fractures, très denses. < 0.5% pyrite très fine disséminée et associée à veinules de calcite.</p> <p>163.59 - 164.38</p> <p>90148: #CLvCCEP; Traces pyrite fine à moyenne en concentrations locales.</p>	

MINNOVA INC. DIVISION EXPLORATION

DE (m)	A (m)	TEXTURE ET STRUCTURE	ALTÉRATION	MINÉRALISATION
			<p>164.38 - 165.02</p> <p>90149: (MG)#CLPO+vCCEP; = 5% pyrrhotine ± pyrite associées à (remplaçant?) taches centimétriques lessivées.</p> <p>165.02 - 165.87</p> <p>90150: MG#CLPYvCCEP; = 1% pyrite très fine disséminée.</p> <p>166.45 - 167.00</p> <p>90151: MG#CC(HM)PY; Couleur gris-brun rosé, faible BO aussi? 1-2% pyrite très fine disséminée.</p> <p>169.74 - 170.14</p> <p>90152: MG#+CC+(CLB0?HM)(PY)vQZCC; Les intervalles non échantillonnés possèdent généralement encore la texture du protolithe. Granulométrie très fine, = 60% minéraux mafiques chloritisés, = 40% feldspath vert pâle saussuritisé. = 30% veinules de quartz-calcite rosés à = 60% AC, traces pyrite très fine en bordure. Faible coloration rose (HM) en plus du (CLB0?) habituel. Veines de calcite submillimétriques en grille.</p> <p>170.14 - 170.96</p> <p>90153: MC à MG#+(HM)(PY)vCC; Texture du protolithe reconnaissable sur = 20% de l'intervalle. Contient 5-8% aiguilles de HB millimétriques à subcentimétriques. Faible HM dans les enveloppes d'altération: veinules de calcite en grille. Traces à 0.5% pyrite très fine disséminée.</p> <p>170.96 - 171.94</p> <p>90154: MG#+(CC)(CL)PYvCC très denses; Surtout veinules de calcite submillimétriques avec enveloppes non coalescentes. 1-2% pyrite très fine disséminée avec veines de calcite et enveloppes de calcite.</p> <p>173.13 - 173.74</p>	<p>164.38 - 165.02</p> <p>(MG)#CLPO+vCCEP à MG#CLPYvCCEP; zone minéralisée avec altération moyenne en chlorite et 1-5% sulfures. Pyrrhotite domine au début de l'intervalle, pyrite à la fin. Pourcentage de sulfures maximum au début de l'intervalle.</p>

MINNOVA INC. DIVISION EXPLORATION

DE (m)	A (m)	TEXTURE ET STRUCTURE	ALTÉRATION	MINÉRALISATION
			<p>90155: Idem; intervalle immédiatement au-dessus est peu altéré ou minéralisé.</p> <p>173.74 - 176.45 M15MG#+(CC(PY)vCC à +=CLCCPYVCC)</p> <p>Roche métasomatique dont la texture primaire est oblitérée mais où l'intensité d'altération ne semble qu'être moyenne en chlorite et calcite. Dernière demie de l'intervalle est foliée, la foliation est mal définie par l'alignement de chlorite @ 85°AC. Fracturation en stockwork superposée à la foliation. Veines de quartz/calcite coupent veines pyrite-calcite.</p> <p>0.5-1% pyrite fine à moyenne disséminée et concentrée avec veines de calcite.</p> <p>176.45 - 177.67</p> <p>90158: (MG)(#)CL; Chlorite faible à moyenne; chlorite vert moyen fine en taches oblitére localement la texture de microgabbro. Taches très irrégulières centimétriques.</p> <p>Traces pyrite fine à moyenne disséminée, concentrées localement.</p> <p>178.80 - 179.44</p> <p>90159: MG(#)CL(PY)vCC; Couleur vert très foncé (chlorite).</p> <p>≤ 0.5% pyrite fine disséminée.</p> <p>179.44 - 180.65</p> <p>90160: MG à MG*#+CLVCC; Vert très foncé à noir. Possiblement faible silicification?</p> <p>Traces de pyrite fine disséminée.</p> <p>180.65 - 181.17</p> <p>(MG)#+Si++LX; Intervalle caractérisé par la présence de silicification extrême (ou veine de quartz de remplacement?), couleur gris foncé avec chloritisation de l'encaisant.</p> <p>182.30 - 183.31</p> <p>90162: Idem à 90160; ≥ traces pyrite fine disséminée surtout associée à veinules de calcite (HM).</p> <p>189.74 - 190.59</p> <p>90163: (MG)CLVCCvQZ; Texture intrusive fine reconnaissable.</p> <p>Enveloppes chlorite autour de veinules de calcite</p>	

MINNOVA INC. DIVISION EXPLORATION

DE (m)	A (m)	TEXTURE ET STRUCTURE	ALTÉRATION	MINÉRALISATION
			<p>veinules de quartz de 6.1 cm à ≈ 40°AC au centre de l'intervalle. Traces de pyrite surtout en bordure de veinules de quartz.</p> <p>191.17 - 192.45 (MG)#+CLBO(PY)</p> <p>Intervalle moyennement altéré en chlorite et biotite. Chloritisation irrégulière, très fine à millimétrique. Biotite moyenne à grossière locale remplace la chlorite. Plages de chlorite fine déplacées par vCCEP mais cette chlorite efface aussi les mêmes veinules: contemporains? <1% pyrite fine disséminée.</p> <p>192.45 - 193.43</p> <p>90165: (MG)#CL(BO)(PY)vCC; Chloritisation moyenne diffuse, concentrée en enveloppes autour de veinules de calcite, vCCHM. Traces de BO en grains fins isolés. ≤ 1% pyrite fine disséminée et avec veinules de calcite submillimétriques.</p> <p>193.43 - 194.55</p> <p>90166: Idem + 1 vQZ con.</p> <p>198.24 - 200.38 MG+Si+CL(BO?)vQZ, /\?MGCLvCC</p> <p>MICROGABBRO ALTERE</p> <p>Microgabbro altéré avec fracturation faible à moyenne. Microfracturation intense de 908.10 à 912.10' (276.79-278.01m). Foliation moyenne locale. Altération variable, surtout marquée par coloration pâle de la roche (DM, Si et/ou FP?). Chlorite, riebeckite, biotite et albite variable. Riebeckite et biotite associées à chlorite dans intervalles foncés, albite dans intervalles pâles. Zones intensément chloritisées vert foncé, particulièrement de 923.90 à 924.80' (281.61-281.88m) où il y a biotitisation moyenne associée à la magnétite où CLPO en flots semble remplacé par BONG périphérique. Texture intrusive primaire généralement oblitérée.</p> <p>198.24 - 198.85</p> <p>90167: MG à MG+Si+CL(BO?)vQZ; = 20% veinules quartz + Si+, CL(BO?) habituelles. Traces à 0.5% pyrite très fine disséminée.</p> <p>198.85 - 200.38</p> <p>90168: /\? MGCLvCC; Altération chaotique: brèche?</p>	

MINNOVA INC. DIVISION EXPLORATION

DE (m)	A (m)	TEXTURE ET STRUCTURE	ALTÉRATION	MINÉRALISATION
			<p>Fragments non définis. ≥ traces pyrite fine disséminée.</p> <p>200.38 - 202.02</p> <p>90169: MG#+CL(RB)?(PY)vCC; Chlorite moyenne. Minéral bleu moyen fibreux tardif associé à calcite (riebeckite?). ≥ traces pyrite fine disséminée.</p> <p>202.02 - 202.63</p> <p>90170: MG#+CL (Si)(PY)vCC; ≥ traces pyrite fine disséminée.</p> <p>206.04 - 206.50</p> <p>90171: #CL(PY)vCC; ≈ 0.5% pyrite fine disséminée, en agrégats et veinules, associée avec veinules de calcite.</p> <p>206.50 - 207.54</p> <p>90172: (MG)#+CLCC; Intervalle intensément folié limité à 677.50-678.60' (206.5-206.84m); foliation d'aspect bréchique (cataclase?) à ≈ 30°AC. Chlorite moyenne en général; CC+ dans intervalle =++, ailleurs CC à (CC). Traces pyrite fine locale.</p> <p>207.84 - 208.24</p> <p>90173: (MG) à MG#+CLvCC; Chlorite moyenne, veinules et veines bréchiques irrégulières de calcite formant ≈ ≥ 15% de la roche. Traces de pyrite avec veinules de calcite.</p> <p>208.76 - 210.31</p> <p>90174: (MG)#+CL(RB)vCCHM; Altération variable. Chlorite moyenne, RB? bleutée localisée, bien définie. Echantillon pour lame mince de 684.70-684.90' (208.7-208.76m). Possiblement CL-B0-RB? Traces de pyrite fine, traces de pyrrhotine fine en agrégats millimétriques.</p> <p>210.31 - 211.44</p> <p>90175: #CL(RB?); Riebeckite très fine par coloration bleutée de la chlorite. Traces pyrite fine disséminée.</p> <p>211.90 - 212.51</p>	

MINNOVA INC. DIVISION EXPLORATION

DE (m)	A (m)	TEXTURE ET STRUCTURE	ALTÉRATION	MINÉRALISATION
			<p>90176: MG#CL(Si?)vCC; Traces de pyrite fine avec veinules de calcite. 212.51 - 214.03</p> <p>90177: MG#CLvCC; Chlorite moyenne irrégulière, texture intrusive préservée localement. Veinules de calcite submillimétriques déplacent veines AB? rosées laiteuses. Traces de pyrite, surtout dans enveloppes CL-Si? autour de veinules de calcite submillimétriques. 223.66 - 224.18</p> <p>90178: (MG)(#)(CC(CL) à DM(SiCL))vCC; Début CC CL, fin DM(Si). Enveloppes de chlorite foncées millimétriques autour de veinules de calcite submillimétriques. Traces pyrite en bordure de veinules de calcite submillimétriques. 224.18 - 225.31</p> <p>90179: (MG)(#)(CLSi?)vCC; Vert moyen à pâle (Si?) sauf pour enveloppes chlorite. Traces pyrite fine disséminée. 225.31 - 225.73</p> <p>90180: (MG) à MG#CLEPBOPY+vCC; Altération variable. Chlorite pervasive, EP concentrée avec veinules de calcite, biotite avec PY+MG. 20% pyrite fine avec MG & BO? sur = 6cm, tr. ailleurs.</p>	<p>225.31 - 225.98 MG#BO#CLEPPYvCC</p> <p>MICROGABBRO ALTERÉ</p> <p>Microgabbro altéré avec fracturation faible à moyenne. Microfracturation intense de 908.10 à 912.10' (276.79-278.01m). Foliation moyenne locale. Altération variable, surtout marquée par coloration pâle de la roche (DM, Si et/ou FP?). Chlorite, riebeckite, biotite et albite variables. Riebeckite et biotite associées à chlorite dans intervalles foncés, albite dans intervalles pâles. Zones intensément chloritisées vert foncé, particulièrement de 923.90 à 924.80' (281.61-281.88m) où il y a biotitisation moyenne associée à la magnétite où CLPO en flots semble remplacé par BOMG périphérique. Texture intrusive primaire généralement oblitérée. A partir de 940.30' (286.61m), roche métasomatique de couleur brun-bleuté très foncé avec altération intense en biotite ± amphibole bleue. Forte densité de veinules submillimétriques de calcite @ 20°AC,</p>

MINNOVA INC. DIVISION EXPLORATION

DE (m)	A (m)	TEXTURE ET STRUCTURE	ALTÉRATION	MINÉRALISATION
			<p>225.73 - 225.98</p> <p>90181: MG+#BO+CLPY++vCC; Chlorite très fine diffuse avec biotite très fine superposée formant > 15% de la roche. Pyrite fine surtout en agrégats avec chlorite, non avec biotite. CL+PY - BO? ≥ 5% PY.</p> <p>225.98 - 227.81 MG#+++BO+CLvCC</p> <p>ZONE DE DÉFORMATION FRACTURÉE ET BIOTITISÉE</p> <p>Zone de déformation caractérisée par une fracturation irrégulière très dense de biotite et ensuite de calcite. Biotite possiblement aussi en enveloppes autour de veinules de calcite. La biotite? fine semble être en stockwork de veinules = microscopiques à submillimétriques qui semblent avoir été déformées, c'est-à-dire qu'ici la fracturation semble surtout précéder ou accompagner la foliation. Foliation irrégulière à ≈ 23°AC définie surtout par biotite/calcite. Protolithe reconnaissable de 745.00-747.40' (227.08-227.81m) où la foliation disparaît; microgabbro ou microdiorite avec stockwork veinules de calcite avec biotite (RBCL) en bordure.</p> <p>L'altération est caractérisée par fort pourcentage de biotite? brune fine, localement fine à moyenne, disséminée et apparemment en micro-veinules. Cette biotite semble remplacer chlorite vert moyen pervasive mais la relation n'est pas évidente. Environ ≥ 10% veinules submillimétriques de calcite alignées surtout subparallèles à la foliation. Possiblement traces de RB avec veines de calcite; RB bien définie dans 90183, locale, tardive associée avec calcite.</p> <p>Traces de pyrite fine disséminée.</p> <p>229.64 - 230.58</p> <p>90184: = Idem à 90183; #+</p> <p>230.79 - 231.25</p> <p>90185: [idem à 90184, zone veinules calcite (HMPY). Traces pyrite concentrée avec zone de veinules de calcite (HM).</p>	<p>fracturation postérieures à 45°AC. Minéralisation variable sous forme de pyrite et localement pyrrhotite n'atteignant, en général, pas plus de 0.5%. De 923.90 à 924.80' (281.61-281.88m), pyrrhotite pourrait être une ségrégation magmatique, grains sphériques submillimétriques en concentrations locales. La roche métasomatique contient des concentrations centimétriques de plus de 20% pyrite.</p>

MINNOVA INC. DIVISION EXPLORATION

DE (m)	A (m)	TEXTURE ET STRUCTURE	ALTÉRATION	MINÉRALISATION
			<p>231.65 - 233.11</p> <p>90186: #CL(BD?)PYvCC; = 1% pyrite très fine disséminée homogène.</p> <p>233.11 - 233.78</p> <p>90187: MG#BO?CLPYvCC denses; = 1% pyrite très fine disséminée homogène.</p> <p>233.78 - 234.18</p> <p>90188: MG(#EP+(CL)vEP(HM)vCCHMPY; ≤ traces pyrite fine disséminée et avec veinules de calcite, sauf à la fin à = 1% pyrite très fine disséminée.</p> <p>234.18 - 234.91</p> <p>90189: MG#CL(PY)vEPCLVCCVEPHM; ≥ 0.5% pyrite fine à moyenne disséminée.</p> <p>234.91 - 235.88</p> <p>90190: MG=#CLPY; De 772.20-773.70 (235.37-235.83m), += à =++; en dernier (=++) il y a veinules de calcite avec HM, RB. HM rouge vif dans veinules, RB bleu clair en bordure. 17°AC. Chlorite très fine diffuse; celle-ci définit foliation. = 1% pyrite fine à très fine disséminée.</p> <p>238.69 - 239.85</p> <p>90191: MG#++(=)CL(BD?RB?)PYvCC(HM); Foliation intense locale (cm). Ilots du protolithe (microgabbro) subcentimétriques à centimétriques. 25°AC. Chlorite moyenne, possiblement BO & RB très fines. CL et EP ondulées définissent foliation faible à moyenne anastomosée, septa submillimétriques, microlithons = 1mm.</p> <p>240.30 - 241.49</p> <p>90192: MG+ à MG#+=CLCC(BORBHM)vCCHM; Foliation moyenne à intense définie par lamination minéralogique millimétrique soit CL, Si7, HM, CLR7, BO, CC etc. Protolithe visible localement. Veinules submillimétriques de calcite coupent foliation. Foliation à 45°AC. Altération hétérogène, faible à intense. Là où le protolithe est reconnaissable, il y a lessivage (couleur</p>	

MINNOVA INC. DIVISION EXPLORATION

DE (m)	A (m)	TEXTURE ET STRUCTURE	ALTÉRATION	MINÉRALISATION
		<p>245.42 - 245.85 I2D(MG)(#)</p> <p>SYENITE</p> <p>90194: Dyke de syénite constitué d'environ 15% hornblende, 75% feldspath et = 2-5% matière intercrystalline aphanitique, = 5% xénolithes de microgabbro subangulaires à arrondis millimétriques à centimétriques. Faible foliation définie par alignement du hornblende. Contact à = 13°/AC. Faible chloritisation du hornblende, veinules millimétriques de calcite avec bordures Si? (HM)± RB. Traces de pyrite très fine.</p>	<p>vert pâle), veinules submillimétriques de calcite avec enveloppes de chlorite millimétriques foncées et pas de foliation. Les intervalles plus altérés sont gris-brun foncé rougeâtre, plus forte densité de veinules de calcite et foliation localement très bien définies. Traces de pyrite fine disséminée.</p> <p>243.47 - 244.94</p> <p>90193: (MG)#(CLEPAB?)(PY)vCC(HM) localement CL+; Altération variable. Protolithe reconnaissable localement, la roche y est lessivée (vert pâle). Segments vert foncé (CL+) avec concentrations de pyrite. Traces à 0.5% pyrite fine disséminée.</p> <p>245.85 - 246.46 M4=+CLBORB(CCHM) - #+vCCVCCM</p> <p>ZONE DE DEFORMATION</p> <p>Zone de déformation à granulométrie très fine, plans de foliation définis par lamination minéralogique submillimétrique. Lames bleues (RB), rougeâtres (NMCC) et gris-brun (Si7807). Aucune veinule ne recoupe la partie extrêmement foliée du centre de l'intervalle. Dernier 1/3 de l'intervalle = non folié mais intensément fracturé. Injections I2D grenues forment localement une brèche intrusive centimétrique avec = 70% fragments centimétriques à millimétriques arrondis. Orthomylonite avec laminations minéralogiques (gran. très fine) à = 30°AC. Dyke de syénite à contact = perpendiculaire à AC, constitué d'environ 60% feldspaths flous rosés, = 15% minéraux mafiques et = 10-25% matière interstitielle fine. Phanérotique fine à moyen. Altération moyenne à forte en CL, BO, RB, moyenne à faible en CC HM. Chloritisation moyenne du microgabbro, hématitisation faible à moyenne du I2D. Très hétérogène, texture intrusive visible localement. Idem zones (HM). Chlorite moyenne CC-HM faible, poss. traces BO et RB. Syénite rouge: hématitisation moyenne pervasive, silicifiée,</p>	

MINNOVA INC. DIVISION EXPLORATION

DE (m)	A (m)	TEXTURE ET STRUCTURE	ALTÉRATION	MINÉRALISATION
		<p>246.46 - 247.68 (MG)(#)(CL), 5% I2D(HM)</p> <p>90196: Le (fragment de l'encaissant?) est fortement chloritisé, possiblement avec RB et BO et forme 10-15% de l'intervalle. La pyrite est fine, sous forme de particules subsphériques plus ou moins alignées (ségrégation magmatique ou lamines de pyrite boudinées?) et la pyrrhotite est très fine à texture fluidale.</p> <p>De 950.10 à 952.20' (289.59-290.23m), on note une brèche tectonique extrêmement magnétique avec altération moyenne en calcite, riebeckite et feldspath?. Cet intervalle contient 30% pyrrhotite brune magnétique et 5% pyrite.</p>	<p>faible. Remplacement partiel des hornblendes par chlorite-calcite, poss. BO brun foncé associée. Traces pyrite fine disséminée, dans et à l'extérieur de l'intervalle mylonitisé. Rare pyrite fine. ± 1% pyrite fine disséminée. Traces pyrite disséminée.</p> <p>254.51 - 255.91</p> <p>90197: #+CLvEPCL</p> <p>255.91 - 257.01</p> <p>90198: =#+(CL)vEPCL;</p> <p>257.31 - 257.62</p> <p>90199: M17=+++CL(CCHM);</p> <p>257.68 - 258.10</p> <p>90200: I2D(MG)HM(SiCLCC80?); Traces de pyrite fine disséminée.</p> <p>260.24 - 260.42</p> <p>90201: 20% VQZ gris-mauve à 40°AC, dans #CLRB; Altération faible dans l'éponte supérieure, soit CL et possiblement (AB). EP inférieure nettement chloritisée avec jusqu'à = 10% amphibole bleu moyen. > traces pyrite avec CL-RB de l'éponte inférieure.</p> <p>261.58 - 262.04</p> <p>90202: (MG)(#)(CLAB?RB); Altération lessivée, couleur vert moyen. Une veine de quartz de 6 cm gris-mauve à = 30°AC. Concentration de chlorite et RB définitive sur la dernière partie (=6ca) de l'échantillon.</p> <p>262.77 - 263.41</p>	

MINNOVA INC. DIVISION EXPLORATION

DE (m)	A (m)	TEXTURE ET STRUCTURE	ALTÉRATION	MINÉRALISATION
		<p>270.94 - 274.81 12J.JPX(MG)CLB0</p> <p>MELANOSYENITE, DIORITE OU LEUCOGABBRO</p> <p>Zones de dykes intermédiaires à mafiques constituées d'environ 60% minéraux mafiques, 30% feldspath blanc à localement rosé et ≤ 5% phénocristaux subcentimétriques mafiques définissant une faible texture porphyrique, puisque le reste de la roche est à granulométrie fine à moyenne, phanéritique, équi-granulaire. Contacts nets et irréguliers = 90°AC. Les injections subcentimétriques semblables de 871.00 à 889.00 sont à granulométrie identique, les feldspaths sont légèrement rosés et il y a une recristallisation de l'épaississement sur une largeur millimétrique des deux côtés. Mélanosyérite, diorite ou leucogabbro?</p> <p>Texture intrusive nette; feldspaths sont saussuritisés, minéraux mafiques remplacés par chlorite-biotite. Il y a au moins 5% biotite dans la roche. Les phénocristaux sont associés à un remplacement MG+CL suivi? de biotite. On note aussi une bordure de EP autour, par endroits. Veinules de calcite millimétriques, faible hématitisation locale, poss. avec faible RB en bordure.</p> <p>Traces de pyrite, surtout concentrée dans les veines de calcite et en bordure de celles-ci.</p>	<p>90203: MG#CLB0?RBPYVQ2; Altération variable. Intervalle CLBORB métasomaté, intervalle (AB?) lessivé avec texture intrusive, intervalle subcentimétrique RB+ en bordure de la veine de quartz centimétrique. ≤ 1% pyrite fine sur l'intervalle, = 3-4% sur le premier tiers où on note CLBORB moyennes à fortes.</p> <p>265.51 - 266.06</p> <p>90204: 13ANG#+=?CL(CCHM)PYVCC; Microgabbro altéré avec injections ± régulières de mélanosyérite à diorite phanéritiques moyennes. Chlorite vert foncé moyenne à forte, (HM) faible en veinules FK?HM millimétrique irrégulière, traces de RB et > 2-5% veinules de calcite millimétriques à subcentimétriques. ≥ 1% pyrite fine disséminée en veinules submillimétriques dans veinules de calcite et dans plans de foliation.</p> <p>269.75 - 270.11</p> <p>90205: 13A(#)(CL)(PY); > traces pyrite fine disséminée, le long de plans de foliation?</p> <p>276.79 - 288.16 CL(DN),=CL(RBDM),MG++CL+BOPO+,N15BO+RBCC</p> <p>MICROGABBRO ALTERÉ</p>	

MINNOVA INC. DIVISION EXPLORATION

DE (m)	A (m)	TEXTURE ET STRUCTURE	ALTÉRATION	MINÉRALISATION
			<p>Microgabbro altéré avec fracturation faible à moyenne. Microfracturation intense de 908.10 à 912.10' (276.79-278.01m). Foliation moyenne locale. Altération variable, surtout marquée par coloration pâle de la roche (DM, Si et/ou FP?). Chlorite, riebeckite, biotite et albite variable. Riebeckite et biotite associées à chlorite dans intervalles foncés, albite dans intervalles pâles. Zones intensément chloritisées vert foncé, particulièrement de 923.90 à 924.80' (281.61-281.88m) où il y a biotitisation moyenne associée à la magnétite où CLPO en ilots semble remplacé par BOMG périphérique. Texture intrusive primaire généralement oblitérée. A partir de 940.30' (286.61m), roche métasomatique de couleur brun-bleuté très foncé avec altération intense en biotite ± amphibole bleue. Veinules submillimétriques de calcite denses à 20°AC, fracturation recoupant ces veinules à 45°AC.</p> <p>Minéralisation variable sous forme de pyrite et localement pyrrhotite n'atteignant, en général, pas plus de 0.5%. De 923.90 à 924.80' (281.61-281.88m), pyrrhotite pourrait être une ségrégation magmatique, grains sphériques submillimétriques en concentrations locales. La roche métasomatique contient des concentrations centimétriques de plus de 20% pyrite.</p> <p>276.79 - 278.25</p> <p>90206: 13A(♯)CL(DM?)(PY)VCC; Microgabbro altéré et faiblement fracturé. Fractures en stockwork. Altération variable. Zones centimétriques à décimétriques CL à CL+ vert foncé, zones gris pâle (faible DM?). Texture intrusive = oblitérée. Traces pyrite très fine disséminée concentrée avec veinules de calcite ou encore dans zones CL à CL+.</p> <p>278.25 - 279.20</p> <p>90207: Idem.</p> <p>279.20 - 279.62</p> <p>90208: 13A(♯)=?CL(RDM?)PY; Chloritisation moyenne avec amphibole sodique (bleue) associée. Concentrations de magnétite locales. = 2% pyrite fine disséminée de 916.00 à 917.40' (279.2-279.63m).</p> <p>279.62 - 280.02</p> <p>90209: Idem au précédent.</p> <p>280.02 - 281.60</p>	

MINNOVA INC. DIVISION EXPLORATION

DE (m)	A (m)	TEXTURE ET STRUCTURE	ALTÉRATION	MINÉRALISATION
			<p>90210: Idem à 90206. 281.60 - 281.88</p> <p>90211: [3AMG++CL+80PO+; Microgabbro fortement chloritisé et minéralisé en pyrrhotite avec remplacement MG+80 tardif. Chloritisation intense; CL+PO remplacée par MG+80, puisque PO semble être envahie par 80+MG et forme des îlots. ≤ 0.5% pyrite ± pyrrhotite très fines disséminées en général + 1 bleb centimétrique constitué de PO+CL remplacé par MG+80. PO possiblement une ségrégation magmatique, grains sphériques submillimétriques. 281.88 - 282.18</p> <p>90212: [3A(#)DM?VCC; Microgabbro blanchi; dolomie, silice ou feldspath? Veinules floues millimétriques rosées aussi. Traces de pyrite fine locale. 282.40 - 283.89</p> <p>90213: [3A#+DM?AB?CL); Microgabbro blanchi et avec microfracturation très dense. Dolomie, albite ou silice?? Traces de pyrite fine locale. 283.89 - 285.29</p> <p>90214: Idem, + conc. pyrite fine locale; Concentrations pyrite sur intervalles centimétriques les plus blanchis. 285.29 - 286.60</p> <p>90215: [3A#(AB?CL)VCCPY; Microgabbro avec injections phanéritiques intermédiaires ± bien définies. Faible lessivage, faible chlorite. Traces pyrite moyenne avec veines de calcite millimétrique. 286.60 - 288.16</p> <p>90216: M1580+RBCCPVCC; Couleur brun-bleuté très foncé; altération forte en biotite ± amphibole bleue. Veinules calcite submillimétriques denses à 20°AC, fracturation postveinules à 45°AC. ≥ 0.5% pyrite fine en concentrations centimétriques sur lesquelles on note ≥ 20% sulfures.</p>	<p>288.16 - 290.23 MGY80P06, M18CCFP?RBP030PY++VCC</p> <p>ZONE DE SULFURE MASSIF A SEMI-MASSIF</p>

MINNOVA INC. DIVISION EXPLORATION

DE (m)	A (m)	TEXTURE ET STRUCTURE	ALTÉRATION	MINÉRALISATION
290.23	331.32	<p>13A(L.PX(MG)(#)BORB(CLHM)</p> <p>MELANOGABBRO PORPHYRIQUE A PYROXENE BIOTITISE</p> <p>Mélano-diorite porphyrique, équi-granulaire constituée d'environ 60%</p>		<p>Intervalle caractérisé par la présence de 35-85% de sulfures. Il s'agit surtout de pyrite fine submillimétrique sphérique avec 5-30% pyrrhotite brune très fine à texture fluidale. Les grains de pyrite sont alignés et ressemblent à des micro-boudins. La roche contient environ 10-45% matrice et inclusions mafiques intersticielles. La foliation définie par l'alignement de grains de pyrite est à 45°AC.</p> <p>La matrice du sulfure semi-massif, les fragments et les intervalles avec moins de sulfures sont intensément chloritisés. La riebeckite et la biotite semble former des faciès d'altération mineurs. L'intervalle contient une zone de brèche tectonique brun-bleu. La couleur brune est sans doute due à la pyrrhotite (fortement magnétique). On observe aussi des zones siliceuses, probablement feldspathisée.</p> <p>Minéralisation variable, surtout pyrite ± pyrrhotite semi-massif à massif. 85% de sulfures de 946.0-950.1' (288.34-289.59m), soit environ 80% pyrite et 6% pyrrhotite.</p> <p>90217: 945.4-946.0' (288.16-288.34m); #+++?CCBO?(CL)PY+vCC</p> <p>Zone de contact minéralisée textuellement hétérogène. La roche est extrêmement fracturée et semble intensément foliée, avec altération moyenne en biotite et calcite et faible en chlorite. On observe aussi des veinules de calcite millimétriques et environ 2-5% pyrite fine disséminée.</p> <p>90218: 946.00 à 950.10' (288.34-289.59m); MGPY80PO6</p> <p>Intervalle de sulfure massif constitué d'environ 80% pyrite et 6% pyrrhotite brune fortement magnétique. La matière interstitielle (fragments de l'encaissant?) est fortement chloritisée, possiblement avec RB et BO et forme 10-15% de l'intervalle. La pyrite est fine, sous forme de particules subsphériques plus ou moins alignées (ségrégation magmatique ou lamines de pyrite boudinées?) et la pyrrhotite est très fine à texture fluidale.</p> <p>90219: 950.10 à 952.20' (289.59-290.23m); M18MG+CCFPRBPO3OPY5vCC</p> <p>On note une brèche tectonique extrêmement magnétique avec altération moyenne en calcite, riebeckite et feldspath?. Cet intervalle contient 30% pyrrhotite brune magnétique et 5% pyrite.</p>

MINNOVA INC. DIVISION EXPLORATION

DE (m)	A (m)	TEXTURE ET STRUCTURE	ALTÉRATION	MINÉRALISATION
		<p>minéraux mafiques ≤ 2mm avec feldspath blanc à localement rosé interstitiel. Aussi ≤ 50% minéraux mafiques millimétriques à subcentimétriques chloritisés avec magnétite associée.</p> <p>Altération complexe. Là où la texture ignée est nette, les minéraux mafiques sont remplacés par chlorite. BO±MG semble, à son tour, remplacer la chlorite. Des intervalles centimétriques bleutés sont altérés de façon plus pervasive et on y note une perte de la texture intrusive. Ces intervalles sont caractérisés par le remplacement des minéraux mafiques par l'amphibole bleutée (riebeckite?) avec faible hématitisation et possiblement silicification des feldspaths. Relation temporelle BO-RB pas claire mais RB spatialement plus restreinte; à 1001' (305.1m) RB efface biotite.</p> <p>Traces de pyrite fine localement, surtout associée avec veinules de CC±HM.</p>	<p>290.23 - 291.21</p> <p>90220: (#)BORB(CC). Texture intrusive présente;</p> <p>292.27 - 292.58</p> <p>90221: (#)BORB(HM)vCC. (Txt intr. = absente);</p> <p>294.59 - 294.89</p> <p>90222: Idem +VQZCC cm;</p> <p>295.90 - 296.75</p> <p>90223: Idem.</p> <p>301.75 - 302.91</p> <p>90224: #RBBO(HM)vCC;</p> <p>303.86 - 304.13</p> <p>90225: #CL(RBHMSI?)vCC;</p> <p>305.35 - 308.00 M15#±RB+CL(BOHM)(PY)vCC, M15(#)CC+HMPY+</p> <p>ROCHE METASOMATIQUE (FENITE)</p> <p>Roche métasomatée au contact avec le dyke de carbonatite. De 1001.80 à 1009.60' (305.35-307.73m), la roche est intensément à extrêmement fracturée, de couleur gris-bleuté brun avec une faible teinte rouge caractérisée par une altération intense en riebeckite, moyenne en chlorite et faible en biotite et hématite. Très forte densité de veinules de calcite submillimétriques. < 0.5% pyrite.</p> <p>A partir de 1009.60' (307.73m), la roche devient une fénite de couleur rouge-brun caractérisée par une forte altération en calcite et moyenne en hématite. La texture</p>	

MINNOVA INC. DIVISION EXPLORATION

DE (m)	A (m)	TEXTURE ET STRUCTURE	ALTÉRATION	MINÉRALISATION
		308.00 - 315.44 I4P-(#)CC++(PY)	<p>intrusive du protolithe est encore vaguement reconnaissable. On note plus de 1% pyrite fine disséminée.</p> <p>305.35 - 306.54</p> <p>90226: #+RB+CL(BOHM)(PY)vCC;</p> <p>306.54 - 307.73</p> <p>90227: #++RB+CL(BO)(PY)vCC très denses. Féritisation moyenne;</p> <p>307.73 - 308.00</p> <p>90228: (#)CC+HMPY+ ultraférite ou épisyrérite; Changement de granulométrie, contact à 40°AC. Texture de la diorite encore reconnaissable. ≥ 1% pyrite fine disséminée.</p>	
		<p>CARBONATITE</p> <p>Dyke de carbonatite à contacts très nets à 30°AC. Couleur rose pâle, constitué d'environ 80-85% calcite à morphologie mal définie mais d'apparence grossière (subcentimétrique) localement, environ 10-15% minéraux mafiques divers fins souvent en agrégats prismatiques à aciculaires radiaux. Concentrations décimétriques où mafiques prédominant sur calcite. Contact supérieur féritisé, inférieur avec altération plus faible typique de l'unité. Deux zones centimétriques foliées à 75°AC entre 1059.40 et 1063.40' (322.91-324.13m). Contact à 30°AC.</p> <p>Texture floue dans les intervalles plus grossiers probablement dû à l'autométasomatisme. Une veine de quartz centimétrique à 1027.60' (313.22m) à 45°AC (HH) et (PY) en bordure.</p> <p>Tracés à 1% pyrite fine à moyenne disséminée. Concentrations locales.</p>	<p>308.00 - 309.52</p> <p>90229</p> <p>309.52 - 310.99</p> <p>90230</p> <p>310.99 - 312.48</p> <p>90231</p> <p>312.48 - 313.94</p> <p>90232; ≥ 1% pyrite.</p>	

MINNOVA INC. DIVISION EXPLORATION

DE (m)	A (m)	TEXTURE ET STRUCTURE	ALTÉRATION	MINÉRALISATION
	331.32	FIN DU TROU	<p>313.94 - 315.29</p> <p>90233</p> <p>315.44 - 316.90</p> <p>90234: MG#RB(CL)vCC; Féritisation faible à moyenne.</p> <p>318.30 - 318.76</p> <p>90235: #(RBHMSi?)VQZ à 45°AC; Veine de quartz fracturé gris.</p> <p>319.83 - 320.77</p> <p>90236: #*RBCC(HM)vCC</p> <p>322.91 - 324.12</p> <p>90237: #(RB)vCC; Foliation à 75°AC. 2 zones centimétriques foliées avec ≤ 0.5% pyrite fine disséminée.</p> <p>331.32m (1087.00'): FIN DU TROU</p>	

MIMNOVA INC. DIVISION EXPLORATION

ECHANTILLON	DE (m)	A (m)	LONGUEUR (m)	Au(OP1) ppb	Au(OP2) ppb	Au(R-1) ppb	Au(R-2) ppb	Au(MOY) ppb	Ag ppm	As(CH) ppm	Sb(CH) ppm	Mo(CH) ppm	Pb(CH) ppm	Cu(OP) ppm	Cu(CH) ppm	Cu(MOY) ppm	Zn(OP) ppm	Zn(CH) ppm	Zn(MOY) ppm
90079	20.18	20.42	0.24	tr.				tr.						141		141	5		5
90080	22.74	23.59	0.85	tr.				tr.						102		102	15		15
90082	24.48	25.30	0.82	tr.				tr.						84		84	57		57
90083	25.30	26.27	0.97	tr.				tr.						124		124	47		47
90084	26.27	26.97	0.70	tr.				tr.						90		90	31		31
90085	26.97	28.62	1.65	tr.				tr.						89		89	17		17
90086	31.46	32.37	0.91	tr.				tr.						109		109	5		5
90087	32.37	33.10	0.73	tr.				tr.						64		64	14		14
90088	33.68	34.38	0.70	tr.				tr.						172		172	15		15
90089	41.15	41.76	0.61	tr.				tr.						109		109	10		10
90090	42.40	43.01	0.61	tr.				tr.						170		170	18		18
90091	43.83	44.50	0.67	tr.				tr.						170		170	30		30
90092	45.20	45.81	0.61	tr.				tr.						176		176	27		27
90093	46.85	47.95	0.70	tr.				tr.						134		134	20		20
90094	48.25	48.43	0.18	tr.				tr.						158		158	20		20
90095	51.33	52.24	0.91	tr.				tr.						130		130	11		11
90096	52.24	52.88	0.64	tr.				tr.						132		132	25		25
90097	53.80	54.32	0.52	tr.				tr.						154		154	37		37
90098	56.85	57.58	0.73	tr.				tr.						117		117	31		31
90099	57.58	58.22	0.64	tr.				tr.						174		174	22		22
90100	59.74	61.11	1.37	tr.				tr.						153		153	17		17
90101	65.65	66.60	0.95	tr.				tr.						51		51	27		27
90102	83.45	84.37	0.92	tr.				tr.						97		97	25		25
90103	85.71	86.11	0.40	tr.				tr.						146		146	49		49
90104	89.92	90.74	0.82	tr.				tr.						119		119	35		35
90105	91.87	92.78	0.91	tr.				tr.						120		120	19		19
90106	94.24	94.79	0.55	tr.				tr.						67		67	30		30
90107	95.55	96.99	1.44	tr.				tr.						137		137	66		66
90108	101.38	102.11	0.73	tr.				tr.						106		106	50		50
90109	105.10	105.52	0.42	tr.				tr.						107		107	55		55
90110	110.00	110.67	0.67	tr.				tr.						127		127	23		23
90111	112.47	112.93	0.46	tr.				tr.						116		116	50		50
90112	112.93	113.57	0.64	tr.				tr.						176		176	40		40
90113	113.57	114.36	0.79	tr.				tr.						180		180	56		56
90114	114.36	115.46	1.10	tr.				tr.						110		110	45		45
90115	115.46	117.20	1.74	tr.				tr.						96		96	27		27
90116	118.66	120.09	1.43	tr.				tr.						124		124	57		57
90117	121.62	121.92	0.30	tr.				tr.						90		90	70		70
90118	122.53	122.77	0.24	tr.				tr.						686		686	26		26
90119	124.48	125.76	1.28	tr.				tr.						300		300	44		44
90120	126.64	126.89	0.25	tr.				tr.						90		90	60		60
90121	129.08	129.54	0.46	tr.				tr.						100		100	26		26
90122	131.49	132.71	1.22	tr.				tr.						180		180	57		57
90123	132.71	133.32	0.61	tr.				tr.						110		110	26		26
90124	133.32	134.36	1.04	tr.				tr.						100		100	20		20
90125	135.70	136.15	0.45	tr.				tr.						100		100	26		26
90126	137.16	137.56	0.40	tr.				tr.						69		69	39		39
90127	137.56	137.89	0.33	tr.				tr.						62		62	39		39
90128	137.89	139.51	1.62	tr.				tr.						124		124	40		40
90129	140.09	141.12	1.03	tr.				tr.						87		87	52		52
90130	142.74	143.80	1.06	tr.				tr.						75		75	60		60
90131	145.54	147.04	1.50	tr.				tr.						140		140	57		57

MINNOVA INC. DIVISION EXPLORATION

ECHANTILLON	DE (m)	A (m)	LONGUEUR (m)	Au(OP1) ppb	Au(OP2) ppb	Au(R-1) ppb	Au(R-2) ppb	Au(MOY) ppb	Ag ppm	As(CH) ppm	Sb(CH) ppm	Mo(CH) ppm	Pb(CH) ppm	Cu(OP) ppm	Cu(CH) ppm	Cu(MOY) ppm	Zn(OP) ppm	Zn(CH) ppm	Zn(MOY) ppm
90132	147.04	148.65	1.61	tr.				tr.						110		110	21		21
90133	148.65	150.17	1.52	tr.				tr.						62		62	50		50
90134	150.17	151.18	1.01	tr.				tr.						120		120	57		57
90135	151.18	152.58	1.40	tr.				tr.						85		85	60		60
90136	154.29	154.63	0.34	tr.				tr.						97		97	72		72
90137	154.63	156.03	1.40	tr.				tr.						210		210	62		62
90138	156.03	156.33	0.30	tr.				tr.						87		87	30		30
90139	156.33	156.85	0.52	tr.				tr.						80		80	40		40
90140	156.85	157.28	0.43	tr.				tr.						67		67	44		44
90141	157.28	158.07	0.79	tr.				tr.						280		280	74		74
90142	158.07	159.50	1.43	tr.				tr.						154		154	70		70
90143	159.50	160.05	0.55	tr.				tr.						47		47	71		71
90144	160.05	161.03	0.98	tr.				tr.						90		90	55		55
90145	161.03	161.64	0.61	tr.				tr.						130		130	46		46
90146	161.64	162.43	0.79	tr.				tr.						46		46	45		45
90147	162.43	163.59	1.16	tr.				tr.						86		86	86		86
90148	163.59	164.38	0.79	tr.				tr.						140		140	70		70
90149	164.38	165.02	0.64	tr.				tr.						350		350	50		50
90150	165.02	165.87	0.85	240				240						204		204	29		29
90151	166.45	167.00	0.55	tr.				tr.						197		197	40		40
90152	169.74	170.14	0.40	tr.				tr.						60		60	42		42
90153	170.14	170.96	0.82	tr.				tr.						69		69	60		60
90154	170.96	171.94	0.98	tr.				tr.						100		100	67		67
90155	173.13	173.74	0.61	tr.				tr.						140		140	68		68
90156	173.74	174.96	1.22	tr.				tr.						106		106	70		70
90157	174.96	176.45	1.49	tr.				tr.						72		72	110		110
90158	176.45	177.67	1.22	tr.				tr.						130		130	47		47
90159	178.80	179.44	0.64	tr.				tr.						170		170	47		47
90160	179.44	180.65	1.21	tr.				tr.						100		100	50		50
90161	180.65	181.17	0.52	tr.				tr.						59		59	45		45
90162	182.30	183.31	1.01	tr.				tr.						52		52	33		33
90163	189.74	190.59	0.85	tr.				tr.						130		130	36		36
90164	191.17	192.45	1.28	tr.				tr.						110		110	28		28
90165	192.45	193.43	0.98	tr.				tr.						160		160	48		48
90166	193.43	194.55	1.12	tr.				tr.						200		200	57		57
90167	198.24	198.85	0.61	tr.				tr.						90		90	49		49
90168	198.85	200.38	1.53	tr.				tr.						180		180	34		34
90169	200.38	202.02	1.64	tr.				tr.						276		276	60		60
90170	202.02	202.63	0.61	tr.				tr.						116		116	29		29
90171	206.04	206.50	0.46	tr.				tr.						146		146	67		67
90172	206.50	207.54	1.04	tr.				tr.						80		80	64		64
90173	207.84	208.24	0.40	tr.				tr.						77		77	44		44
90174	208.76	210.31	1.55	tr.				tr.						120		120	44		44
90175	210.31	211.44	1.13	tr.				tr.						120		120	27		27
90176	211.90	212.51	0.61	tr.				tr.						200		200	28		28
90177	212.51	214.03	1.52	tr.				tr.						150		150	32		32
90178	223.66	224.18	0.52	tr.				tr.						109		109	43		43
90179	224.18	225.31	1.13	tr.				tr.						90		90	52		52
90180	225.31	225.73	0.42	tr.				tr.						290		290	50		50
90181	225.73	225.98	0.25	tr.				tr.						196		196	86		86
90182	225.98	227.08	1.10	tr.				tr.						110		110	60		60
90183	227.08	227.81	0.73	tr.				tr.						137		137	47		47

MINNOVA INC. DIVISION EXPLORATION

ECHANTILLON	DE (m)	A (m)	LONGUEUR (m)	Au(OP1) ppb	Au(OP2) ppb	Au(R-1) ppb	Au(R-2) ppb	Au(MOY) ppb	Ag ppm	As(CH) ppm	Sb(CH) ppm	Mo(CH) ppm	Pb(CH) ppm	Cu(OP) ppm	Cu(CH) ppm	Cu(MOY) ppm	Zn(OP) ppm	Zn(CH) ppm	Zn(MOY) ppm
90184	229.64	230.58	0.94	tr.				tr.						170		170	30		39
90185	230.79	231.25	0.46	tr.				tr.						152		152	32		32
90186	231.65	233.11	1.46	tr.				tr.						130		130	72		72
90187	233.11	233.78	0.67	tr.				tr.						83		83	66		66
90188	233.78	234.18	0.40	tr.				tr.						93		93	42		42
90189	234.18	234.91	0.73	tr.				tr.						110		110	40		40
90190	234.91	235.88	0.97	tr.				tr.						200		200	47		47
90191	238.69	239.85	1.16	tr.				tr.						107		107	39		39
90192	240.30	241.49	1.19	tr.				tr.						130		130	32		32
90193	243.47	244.94	1.47	tr.				tr.						104		104	57		57
90194	245.42	245.85	0.43	tr.				tr.						116		116	49		49
90195	245.85	246.46	0.61	tr.				tr.						120		120	50		50
90196	246.46	247.68	1.22	tr.				tr.						144		144	41		41
90197	254.51	255.91	1.40	tr.				tr.						110		110	27		27
90198	255.91	257.01	1.10	tr.				tr.						130		130	19		19
90199	257.31	257.62	0.31	tr.				tr.						150		150	32		32
90200	257.62	258.10	0.48	tr.				tr.						60		60	37		37
90201	260.24	260.42	0.18	tr.				tr.						80		80	42		42
90202	261.58	262.04	0.46	tr.				tr.						87		87	58		58
90203	262.77	263.41	0.64	tr.				tr.						90		90	47		47
90204	265.51	266.06	0.55	445				445						97		97	92		92
90205	269.75	270.11	0.36	tr.				tr.						166		166	72		72
90206	276.79	278.25	1.46	tr.				tr.						60		60	53		53
90207	278.25	279.20	0.95	tr.				tr.						67		67	71		71
90208	279.20	279.62	0.42	tr.				tr.						190		190	90		90
90209	279.62	280.02	0.40	tr.				tr.						240		240	127		127
90210	280.02	281.60	1.58	tr.				tr.						96		96	49		49
90211	281.60	281.88	0.28	tr.				tr.						297		297	75		75
90212	281.88	282.18	0.30	tr.				tr.						87		87	54		54
90213	282.40	283.89	1.49	tr.				tr.						106		106	82		82
90214	283.89	285.29	1.40	tr.				tr.						127		127	64		64
90215	285.29	286.60	1.31	tr.				tr.						107		107	66		66
90216	286.60	288.16	1.56	tr.				tr.						144		144	127		127
90217	288.16	288.34	0.18	tr.				tr.						81		81	140		140
90218	288.34	289.59	1.25	tr.				tr.						649		649	286		286
90219	289.59	290.23	0.64	tr.				tr.						79		79	54		54
90220	290.23	291.21	0.98	tr.				tr.						354		354	106		106
90221	292.27	292.58	0.31	tr.				tr.						34		34	50		50
90222	294.59	294.89	0.30	tr.				tr.						37		37	27		27
90223	295.90	296.75	0.85	tr.				tr.						54		54	34		34
90224	301.75	302.91	1.16	tr.				tr.						32		32	57		57
90225	303.86	304.13	0.27	tr.				tr.						25		25	60		60
90226	305.35	306.54	1.19	tr.				tr.						50		50	62		62
90227	306.54	307.73	1.19	tr.				tr.						47		47	100		100
90228	307.73	308.00	0.27	tr.				tr.						44		44	120		120
90229	308.00	309.52	1.52	tr.				tr.						22		22	260		260
90230	309.52	310.99	1.47	tr.				tr.						26		26	130		130
90231	310.99	312.48	1.49	tr.				tr.						24		24	100		100
90232	312.48	313.94	1.46	240				240						19		19	147		147
90233	313.94	315.29	1.35	tr.				tr.						19		19	185		185
90234	315.44	316.90	1.46	tr.				tr.						40		40	112		112
90235	318.30	318.76	0.46	tr.				tr.						37		37	60		60

MINNOVA INC. DIVISION EXPLORATION

ECHANTILLON	DE (m)	A (m)	LONGUEUR (m)	Au(OP1) ppb	Au(OP2) ppb	Au(R-1) ppb	Au(R-2) ppb	Au(MOY) ppb	Ag ppm	As(CH) ppm	Sb(CH) ppm	Mo(CH) ppm	Pb(CH) ppm	Cu(OP) ppm	Cu(CH) ppm	Cu(MOY) ppm	Zn(OP) ppm	Zn(CH) ppm	Zn(MOY) ppm
90236	319.83	320.77	0.94	tr.				tr.						49		49	53		53
90237	322.91	324.12	1.21	tr.				tr.						40		40	83		83

MINNOVA INC. DIVISION EXPLORATION

COMPAGNIE : MINNOVA INC.	DIVISION EXPLORATION	PROJET : BOYVINET	SONDAGE : BV-20	IMPRIMÉ LE : 15 avril 1992
CANTON : BOYVINET	RANG :	LOT :	CLAIM : 429070-2	SNRC : 32F/9
			ZONE : 81	NO. RÉFÉRENCE :
<u>COORDONNÉES AU COLLET</u>	GRILLE #1 LIGNE : 48+00W STATION : 09+00W ÉLEVATION : 13.720	GRILLE #2 LIGNE : STATION : ÉLEVATION : 13.720	GRILLE ARPENTÉE LATITUDE : 274.320 LONGITUDE : -1463.040 ÉLEVATION : 13.720	AZIMUT : 332° 0' PLONGÉE : -45° 0' PROFONDEUR DU COLLET : 0.00 LONGUEUR : 254.81m.
GÉOLOGUE : F.SPEIDEL		REMARQUES :		DATE DU JOURNAL : 21 mars 1990
CONTRACTEUR : FORAGES BELAND				DATE D'ARPENTAGE :
				DATE DE CIMENTAGE :
				FORAGE DÉBUTÉ LE : 20 mars 1990
				TERMINÉ LE : 23 mars 1990
BUT : Tester continuité est de la zone	minéralisée BV-16			TUBAGE LAISSÉ : Oui
CIBLE :				

DONNÉES D'ORIENTATION

Longueur	Azmut	Plongée
0.00	332 0'	-45 0'
62.79	338 0'	-41 0'
121.92	*342 12'	-41 0'
189.28	347 0'	-38 0'
253.29	346 0'	-38 0'

(*) azimut estimé par le programme

MINNOVA INC. DIVISION EXPLORATION

DE (m)	A (m)	TEXTURE ET STRUCTURE	ALTÉRATION	MINÉRALISATION
0.00	26.82	HT		
26.82	174.62	<p>13A(MG)vCC</p> <p>LEUCO- A MELANO-GABBRO PHANERITIQUE</p> <p>Intrusion mafique de couleur vert moyen à vert foncé constituée de 50-80% pyroxène hypidiomorphe submillimétrique et 20-50% feldspath blanc intersticié submillimétrique.</p> <p>26.82 - 68.79 13A(MG)(CLBO)vCC</p> <p>GABBRO</p> <p>Diorite mélanocrate de couleur gris-vert localement rougeâtre. Constituée d'environ 50% hornblende? hypidiomorphe et 50% feldspath interstitiel fin à moyen (= 1mm). Texture équi-grulaire, localement porphyrique avec quelques pourcent de phénocristaux mafiques millimétriques à subcentimétriques, particulièrement après 130.20' (39.69m). Une zone de déformation de 121.00-130.20' (36.88-39.69m); l'intensité de développement de la foliation augmente progressivement pour devenir intense du centre de l'intervalle. Plusieurs zones foliées mineures. Les phénocristaux mafiques (pyroxène ou magnétite?) sont généralement magnétiques et possèdent parfois des coeurs hématisés rouge vif et des bordures chlorite-biotite. Donc du centre à la périphérie, l'altération varie de HM-MG-CL-BO.</p> <p>Altération variable. Les intervalles relativement frais possèdent une texture ignée bien définie où le feldspath est blanc (albitisé?) et les minéraux mafiques remplacés par chlorite vert moyen et biotite brun foncé. Aussi intervalles centimétriques à métriques avec hématisation variable allant à forte, diffuse et en veinules diffuses millimétriques affectant surtout le feldspath. Intervalles carbonatés où la texture intrusive est oblitérée. Veines de quartz centimétriques à métriques; veinules de calcite irrégulières millimétriques. Certaines veinules de quartz avec biotite, chlorite et riebeckite, bordures hématisées.</p> <p>Traces de pyrite fine locale avec veinules de calcite millimétriques.</p>	<p>27.80 - 28.65</p> <p>90238: # (Si?)VCCvQZ cm. Texture intrusive = oblitérée.</p> <p>28.65 - 29.50</p> <p>90239: #vHMvCC; Traces pyrite fine locale avec veinules de calcite millimétriques.</p> <p>34.78 - 35.78</p> <p>90240: # à #+ HM(CC)vCC; Plans CL = AC°, stries AC 0°.</p> <p>35.78 - 36.88</p>	

MINNOVA INC. DIVISION EXPLORATION

DE (m)	A (m)	TEXTURE ET STRUCTURE	ALTERATION	MINÉRALISATION
			<p>90241: # (Si)vCC; 36.88 - 39.68 =+Si(CC)vCC</p> <p>ZONE DE DEFORMATION</p> <p>Zone de déformation. Aplatissement graduel des minéraux mafiques pour former une foliation irrégulière millimétrique anastomosée autour de grains de feldspath devenus ellipsoïdaux millimétriques à submillimétriques. Foliation à $\approx 60^\circ$AC. Couleur gris-brun, dureté implique une certaine silicification. Intensité de développement de la foliation est variable, passant de moyenne à intense sur des intervalles submétriques de façon répétitive. Silicification moyenne assumée; biotite probablement préservée. Calcite faible diffuse, forte densité de veines de calcite millimétriques irrégulières (espacement centimétrique à subcentimétrique en général). Intervalles centimétriques à altération intense semblent indiquer que S₁₂HM succéda à la foliation puisque cette dernière est localement oblitérée? Chloritisation diffuse sur des intervalles métriques, eg 146.00 à 199.00 (faible à moyenne).</p> <p>Minéralisation rare. Traces de pyrite fine à moyenne automorphe, surtout associée aux intervalles les plus fortement altérés. Traces de pyrite où # plus intense avec (HM). Traces de pyrite disséminée dans intervalles centimétriques chloritisés (texture intrusive oblitérée).</p> <p>36.88 - 38.10</p> <p>90242: = à =+ Si(CCHM)(PY)vCC; 38.10 - 38.37</p> <p>90243: vQZ-CC AH? Présence d'anhydrite? Minéral blanc, mou, ne réagissent pas au HCl 38.37 - 39.04</p> <p>90244: =Si(CCHM)vCC; 39.04 - 39.68</p> <p>90245: (=) à =+(CCHM); 44.50 - 45.42</p> <p>90246: #CL, folié sur derniers 3cm; Traces pyrite où # plus intense, avec (HM). 45.42 - 45.75</p>	

MINNOVA INC. DIVISION EXPLORATION

DE (m)	A (m)	TEXTURE ET STRUCTURE	ALTÉRATION	MINÉRALISATION
			<p>90247: M18; VQZ; CL(PY)VCC; Traces pyrite disséminée dans intervalle centimétrique chloritisé (texture intrusive oblitérée).</p> <p>49.01 - 49.26</p> <p>90248: #CL(Si?)VQZ, texture intrusive oblitérée.</p> <p>49.56 - 49.77</p> <p>90249: VQZ gris = transparent, inclusions 12J=HM CL R8?;</p> <p>49.77 - 50.17</p> <p>90250: 25X VQZ blanc non transparent, reste inclusions et fragments 12J angulaires ± in situ.</p> <p>50.17 - 51.27</p> <p>90251: VQZ gris laiteux. A 177.00: Veinule = 1.5cm = 80°AC, QZ-BD(CL R8), bordures (HM).</p> <p>55.78 - 56.08</p> <p>90252: +=(SiCCHM)VQZCC; Foliation à 35°AC. A 186.50' (56.85m), un phénocrystal? mafique est totalement remplacé par, à partir du centre: HM rouge vif, MG, CL-B0.</p> <p>58.19 - 58.34</p> <p>90253: +=CC(HM)VCCVQZ;</p> <p>59.04 - 59.47</p> <p>90254: (SiCC)VQZ; Veines de quartz centimétriques et aussi veinules irrégulières avec inclusions angulaires centimétriques du mur (veine bréchique).</p> <p>62.61 - 63.12</p> <p>90255: (=) (CC)VQZ; Veines de quartz gris centimétriques.</p> <p>64.95 - 65.75</p> <p>90256: #+CC(CL?HM)(PY)VCCR8QZ; Traces pyrite fine à moyenne locale.</p> <p>66.20 - 66.66</p> <p>90257: (MG)#+(SiRB?)VCC; Texture intrusive très vague.</p>	

MINNOVA INC. DIVISION EXPLORATION

DE (m)	A (m)	TEXTURE ET STRUCTURE	ALTÉRATION	MINÉRALISATION
			<p>85.74 - 86.20</p> <p>90262: (MG)#+=CCRB(HM)vCC, 30% vQZCC cm.</p> <p>87.20 - 88.61 MG#+=BORBvCC</p> <p>90263: Intervalle avec #10% zones dn à cm SiEPCCDM?PY+: Minéralisation généralement absente, > 3% pyrite très très fine disséminée dans zones vert pâle.</p> <p>88.61 - 88.79</p> <p>90264: 60% vQZ blanc; Traces de pyrite fine automorphe dans veinules de quartz.</p> <p>89.37 - 89.6</p> <p>90266: 50% idem ± vQZAB;</p> <p>89.76 - 90.10</p> <p>90267: BORBCCvCC, quelques zones millimétriques à subcentimétriques de M15 etc, PY.</p> <p>94.06 - 94.91 MG#+=BORBvCC</p> <p>90268: Forte densité de vCC</p> <p>94.91 - 95.28</p> <p>90269: 50% vQZABPY++/\, 50% vQZ gris-blanc; 10-15% pyrite fine à moyenne dans intervalle bréchique superposé sur encaissant mafique. Couleur brun-beige.</p> <p>95.28 - 96.13 #+=?RB80vCC</p> <p>90270: Forte densité de vCC. Traces de pyrite locale.</p> <p>96.83 - 97.29 (MG)=+#BORBCvQZCCvCC</p> <p>90271: Intervalle intensément folié, foliation @ 30°AC. Traces de pyrite très fine disséminée</p> <p># 16 - 99.18</p> <p>90272: 25% vQZ cm avec enveloppes RB; RB efface 80.</p>	<p>88.79 - 89.37 M15SiEPCCDM?SR?PY+</p> <p>90265: Roche métasomatique, texture intrusive encore visible. Séricite? remplace minéraux mafiques, Si les FP.</p>

MINNOVA INC. DIVISION EXPLORATION

DE (m)	A (m)	TEXTURE ET STRUCTURE	ALTÉRATION	MINÉRALISATION
			<p>Traces de pyrite locale.</p> <p>101.04 - 174.62 I3ACL</p> <p>GABBRO CHLORITISE</p> <p>Gabbro équigranulaire à porphyrique fin à moyen caractérisé par une chloritisation moyenne à forte affectant toute la roche. Texture porphyrique (phénocristaux de PX ou MG?) fréquemment observée.</p> <p>A partir de 354.00' (107.9m), plusieurs injections millimétriques à centimétriques syénitiques. Généralement phanéritiques, rosés, minéralogie floue. Précèdent les veinules de calcite qui les recoupent et déplacent. A 369.20' injection = 1cm zonée: centre-est aphanitique et fortement hématisée, reste phanéritique rosé. A 371.30' (113.17m), dyke de 1.5cm à granulométrie moyenne, contact inférieur aphanitique rouge. Faible diminution de la granulométrie aux contacts. Plusieurs grains MG? remplacés par hématite rouge vif dans le gabbro chloritisé, faiblement mag en général. Riebeckite en concentrations locales au contact avec ces injections de même que superposée à celles-ci (535.70-537.50' ou 163.28-163.83m).</p> <p>102.72 - 102.99</p> <p>90273: CLCC, 50% VQ2; Traces pyrite fine à moyenne en bordure des veines de quartz.</p> <p>106.01 - 106.92 30% DH+CC+PY++</p> <p>Gabbro altéré en chlorite calcite avec 30-50% zones fortement altérées en dolomie et calcite.</p> <p>2% pyrite fine sur l'intervalle, concentrations de 8-10% pyrite avec veinules de calcite rose.</p>	<p>106.01 - 106.62</p> <p>90274: CCCL, 30% DH+CC+PY++; > 2% pyrite fine sur l'intervalle en concentrations > 8-10% avec veinules</p>

MINNOVA INC. DIVISION EXPLORATION

DE (m)	A (m)	TEXTURE ET STRUCTURE	ALTÉRATION	MINÉRALISATION
			<p>109.30 - 109.55</p> <p>90276: CL, 25% injection FPHM(PY) à ≈ 50°AC; Fracture remplie de calcite blanche déplace cette injection.</p> <p>117.93 - 118.66 VQZ/\, CC+DM?(HM), #++HNSi(SR)</p> <p>90277: Intervalle de veines bréchiques avec altération et fracturation hétérogènes. Veine de quartz bréchique avec fragments de l'encaissant "in-situ", quartz gris fragmenté par calcite blanche et orangée. Intervalle fortement carbonatisé (calcite et dolomie) et faiblement hématisé de couleur beige, intervalle extrêmement fracturé avec altération moyenne en hématite, silice et faible en séricite.</p> <p>De 386.9 à 387.5' (117.93-118.11m): 13Am(.J)PXCLCC(HMEP)</p> <p>De 387.5 à 388.4' (118.11-118.39m): 80% VQZCC; veine bréchique avec fragments de l'encaissant "in-situ". Quartz gris fragmenté par calcite blanche et orangée</p> <p>De 388.4 à 388.9' (118.39-118.54m): CC+DM?(HM) beige</p> <p>De 388.9 à 389.3' (118.54-118.66m): #++HNSi(SR)</p> <p>119.2 - 120.40 (.J)PX==#CCCLVCC</p> <p>ZONE DE DEFORMATION</p> <p>90278: Intervalle intensément folié, fracturation dense en stockwork remplie de calcite blanche recoupe la foliation. Texture porphyrique. Foliation @ 20°AC. Altération moyenne facies calcite-chlorite, forte densité de veinules de calcite. Traces de pyrite locale.</p>	<p>millimétriques de calcite rose</p> <p>106.62 - 106.92</p> <p>90275: Idem, 50% DM+7CC+PY++;</p> <p>122.29 - 131.46 Zone VQZ(PY)</p> <p>ZONE DE VEINES DE QUARTZ</p> <p>Zone de veines de quartz (40%) (40°AC) décimétriques à submétriques blanc-gris dans un gabbro mélanocrate porphyrique variablement altéré et généralement intensément folié; zone de déformation; foliation définie par alignement de minéraux mafiques allongés. Foliation de même orientation définie par laminations à l'intérieur des veines de quartz. Foliation à 20°AC-40°AC. Traces de pyrite locale.</p>

MINNOVA INC. DIVISION EXPLORATION

DE (m)	A (m)	TEXTURE ET STRUCTURE	ALTÉRATION	MINÉRALISATION
			<p>122.29 - 122.86</p> <p>90279: 60% VQZ avec laminations internes mm et agrégats CC blanche. Traces de LX et RB au contact inférieur</p> <p>122.86 - 123.69</p> <p>90280: = 20% id, 2 veines cm à dm; Traces pyrite en bordure de la veine principale.</p> <p>123.69 - 125.00</p> <p>90281: CLCC à CCABVABVQZ; Traces de pyrite fine locale. Zone d'altération polyphase complexe. Protolithe d'abord altéré en CL-CC, visible au début de l'échantillon, puis VQZ blanc bréchifié par FK-NM, VAB, vCLCC mélanocrates, CC-NM.</p> <p>125.00 - 126.52 (MG)[.JPK++#+vABvCCHM</p> <p>ZONE DE DEFORMATION</p> <p>90282: Gabbro porphyrique intensément folié de couleur vert pâle à grisâtre. Quelques pourcent de leucoxène. Foliation @ 20-30°AC. Altération en veinules superposées (forte densité), (albite, calcite-hématite) avec altération diffuse en CCEPAB donnant une teinte pâle à la roche. Traces de pyrite disséminée locale.</p> <p>126.52 - 126.67</p> <p>90283: 80% VQZ gris fracturé.</p> <p>126.67 - 127.83</p> <p>90284: VQZ blanc avec zones de CC blanche bréchifiant le QZ;</p> <p>127.83 - 128.41</p> <p>90285: VQZ gris translucide avec laminations internes cataclasées? Lamination à 20°AC.</p> <p>128.41 - 131.43 ==SIBORBVQZCC à (MG)BO(CL)VQZ</p> <p>ZONE DE DEFORMATION BIOTISEE</p> <p>Intervalle de gabbro folié avec altération moyenne en silice, biotite, riebeckite avec environ 10% veinules de</p>	

MINNOVA INC. DIVISION EXPLORATION

DE (m)	A (m)	TEXTURE ET STRUCTURE	ALTÉRATION	MINÉRALISATION
			<p>quartz-calcite irrégulières millimétriques à subcentimétriques coupant la foliation du gabbro. Foliation, silice et riebeckite disparaissent graduellement en profondeur. Foliation à 15-20°AC de 421.30-424.10' (128.41-129.27m) où son développement est intense. Localement, traces de pyrite associée avec veines de quartz.</p>	<p>128.41 - 129.27</p> <p>90286: 13A⇒SIBORBvQZCC; Foliation à 15-20°AC. < 10% veinules quartz-calcite irrégulières millimétriques à subcentimétriques coupant gabbro folié. Traces de pyrite locale associée à veinules de quartz.</p> <p>129.27 - 129.54</p> <p>90287: VQZ gris-blanc fracturé;</p> <p>129.54 - 130.61</p> <p>90288: =SIBORBvQZvCC;</p> <p>130.61 - 131.16</p> <p>90289: VQZ blanc; Foliation à 40°/AC.</p> <p>131.16 - 131.43</p> <p>90290: 13A(MG)80(CCL)vQZ; Texture intrusive bien définie, = non folié;</p>
			<p>134.51 - 134.84</p> <p>90291: #CC+EP(ABHM); Intervalle intensément fracturé et carbonatisé (calcite) avec altération moyenne en épidocte et faible en hématite et albite.</p>	
			<p>135.33 - 136.52</p> <p>90292: = 20% deux VQZ blanc fracturées. Encaissant à texture intrusive oblitérée gris-brun bleuté. Texture continue dans gabbro [.]PX (ou [.] MG?) avec chlorite diffuse moyenne. Mag faible à moyen. Encaissant CC80(RB).</p>	
			<p>138.99 - 139.26</p> <p>90293: 10% CC(HM)vCCPY;</p>	
			<p>141.64 - 141.98</p>	

MINNOVA INC. DIVISION EXPLORATION

DE (m)	A (m)	TEXTURE ET STRUCTURE	ALTÉRATION	MINÉRALISATION
			<p>90294: 40% VOZ?HM/\ rose avec fragments de l'encaissant cm irrég. Albitisation xalline; Ab blanc laiteuse 2-4mm auto à hypidiomorphe.</p> <p>145.91 - 146.58</p> <p>90295: 20% dyke 120 grossière (> 90% FP roses 5-10mm). Eponte inférieure (DMCCHM). Dyke à 45°AC.</p> <p>156.12 - 156.45</p> <p>90296: #+CLCC(HM)VCC;</p> <p>159.59 - 160.17 M187#++CC+CL(DM?HM)(PY)</p> <p>BRECHE TECTONIQUE?</p> <p>Intervalle bréchique extrêmement fracturé avec forte carbonatation (calcite), altération moyenne en chlorite et faible en dolomie? et hématite.</p> <p>Traces de pyrite très très fine dans le centre de l'intervalle.</p> <p>159.59 - 160.17</p> <p>90297: M187#++CC+CL(DM?HM)(PY); Traces de pyrite très très fine dans centre de l'intervalle.</p> <p>A 533.50' (162.61m): Texture intrusive/métasomatique complexe xénolithe? de microgabbro, zone de leucogabbro irrégulier avec augmentation de feldspath rosé. > 10% biotite millimétrique brun foncé fraîche, riebeckite associée à veinules de calcite (bordures).</p> <p>163.28 - 163.83</p> <p>90298: Injection de syénite irrégulière avec xénolithes du gabbro chloritisé. Contact supérieur fin, inférieur moyen. RB dans syénite au contact inférieur.</p> <p>168.37 - 168.86</p> <p>90299: Idem, contacts à 70°AC ± nets mais bien définis.</p> <p>172.52 - 174.62 (MG)#++CCCL(HM)VCCVQZCC</p> <p>Intervalle intensément fracturé au contact avec l'unité métasomatique suivante. Foliation moyenne, altération moyenne au faciès calcite-chlorite avec faible</p>	

MINNOVA INC. DIVISION EXPLORATION

DE (m)	A (m)	TEXTURE ET STRUCTURE	ALTERATION	MINÉRALISATION
174.62	135.	<p>M15#++/H\DH+ABSi(SR)PY++</p> <p>ROCHE METASOMATIQUE BRÉCHIQUE INTENSEMENT DOLOMITISÉE ET PYRITISÉE</p> <p>Roche métasomatique bréchique à dolomie et pyrite de couleur beige pâle. Début de l'intervalle (572.90-581.00' ou 174.62-177.09m) extrêmement fracturé mais sans déplacement de fragments. La roche y est rosée avec chlorite dans fractures qui contrôlent la fragmentation des carottes, aussi veinules quartz, veinules albite en abondance. Passage graduel sur un intervalle submétrique à la roche métasomatique fragmentaire principale. Celle-ci est constituée de fragments ± "in-situ" angulaires à subarrondis de veinules de quartz millimétriques et de microgabbro métasomatisé millimétrique à centimétrique dans une matrice DH+ABSi?PY++. Au moins une phase de fracturation postdate la formation de la brèche hydrothermale.</p> <p>A noter: Un mince intervalle de ce genre avait été intersecté en 1989 dans BV-05, ce qui donnerait une orientation ENE possible à la zone BV-16, reliant BV-16, BV-20 et BV-05.</p> <p>Première partie de l'intervalle (572.90-581.00' ou 174.62-177.09m) de couleur rougeâtre, caractérisée par calcite (HM) veines de quartz et veines albite. Le reste, de couleur beige, est marqué par une forte dolomitisation (fragments et interfragments) albite blanche interstitielle et possiblement une certaine silicification. Brèche hydrothermale??</p> <p>Intervalle rosé contient traces-0.5% pyrite fine disséminée et avec veines de quartz (albite) grise. Roche beige contient 5-15% pyrite très très fine disséminée avec quelques concentrations millimétriques. Pyritisation homogène, augmentant vers le centre de l'intervalle.</p>	<p>hématisation. Veinules de calcite et quartz-calcite de type stockwork.</p> <p>90300: 568.1-572.9' (173.16-174.62m)</p> <p>174.62 - 174.99</p> <p>90301: A(CC)VAB(mm, très dense)</p> <p>De 574.10-576.00' (174.99-175.57m): core égrené (#++).</p> <p>175.56 - 176.84</p> <p>90302: HM(CC)VABvQZ à DH(HMCC) etc. Traces pyrite, surtout avec veines de quartz.</p> <p>De 580.20-581.00' (176.85-177.09m): Core égrené.</p> <p>177.09 - 178.52</p> <p>90303: M15#++/H\DH+Si?(SR)PY+ fracturation bien définie,</p>	

MINNOVA INC. DIVISION EXPLORATION

DE (m)	A (m)	TEXTURE ET STRUCTURE	ALTÉRATION	MINÉRALISATION
185.65	254.81	I3ANG#+, #++	<p>183.73 - 184.19</p> <p>90309: 80% VQZ(AB)PY avec lamines diverses. Blanc. Contact à 65°AC irrégulier. ≥ 0.5% pyrite avec lamines AB, CB, encaissant etc.</p> <p>184.53 - 184.74</p> <p>90311: VQZ blanc avec stylolites CL7(PY);</p>	<p>dense. ≈ 10% fragments de veinules de quartz millimétriques. Fracturation dense postdate brèche. 2-3% pyrite très très fine disséminée.</p> <p>178.52 - 179.89</p> <p>90304: M15/DMAB(SR)PY++; 2-5% pyrite très très fine, disséminée et en concentrations locales.</p> <p>179.89 - 181.42</p> <p>90305: M15/DM+Si(ABSr)PY++; 5-8% pyrite très très fine disséminée.</p> <p>181.42 - 182.39</p> <p>90306: M15/W+DM+Si?(SR)PY++ VQZ atk mm denses; 5-8% pyrite disséminée très très fine.</p> <p>182.39 - 183.15</p> <p>90307: M15#++/DM+ABPY++, fragments subcentimétriques angulaires, AB blanche interfragments; 7-10% pyrite fine.</p> <p>183.15 - 183.73</p> <p>90308: M15#++/DM+ABPY+, fragmentation plus fine; 5-8% pyrite fine.</p> <p>184.19 - 184.53</p> <p>90310: M15#++(DM)PY12vAB, stockwork très dense; 10-15% pyrite fine disséminée et en agrégats locaux.</p> <p>184.74 - 185.65</p> <p>90312: #++DM(CL)PY++vAB, stockwork dense; 5-6% pyrite fine disséminée.</p>

MINNOVA INC. DIVISION EXPLORATION

DE (m)	A (m)	TEXTURE ET STRUCTURE	ALTÉRATION	MINÉRALISATION
		<p>MICROGABBRO INTENSEMENT FRACTURE</p> <p>Microgabbro de couleur vert foncé à vert pâle. Granulométrie variable probablement due à la variabilité de l'intensité d'altération. Généralement très fine à aphanitique, localement fine = phanéritique avec texture intrusive. Poches centimétriques à texture grossière où feldspath plus important que pyroxène. Fracturation submillimétrique (en stockwork) intense sur toute l'unité, formant veinules de calcite, épidote, quartz-albite etc.</p> <p>Altération variable mais surtout faciès chlorite-calcite-épidote. Albitisation? locale sur des intervalles centimétriques, EP intense, HM intense locale. Veines quartz-calcite orangé à la fin de l'unité. Couleur foncée implique possiblement biotite très fine associée avec chlorite. Plusieurs veines de quartz décimétriques à submétriques ± calcite.</p> <p>Pyrite fine à moyenne en traces avec concentrations locales.</p>	<p>185.65 - 210.56 13A#++CLvAB, M15DM+PY+vAB</p> <p>MICROGABBRO INTENSEMENT FRACTURE ET CHLORITISE ET ROCHE METASOMATIQUE</p> <p>Zone de transition entre l'unité métasomatique et le microgabbro hôte. Intervalles submétriques rougeâtres, beiges et vert foncé alternant répétitivement. Fracturation en stockwork dense sur tous les faciès, ce qui suggère qu'au moins une phase de fracturation eut lieu avant le métasomatisme.</p> <p>Altération variable. Intervalles HM veines albite très denses, DM+vAB et CL à CL+vCLvCC. Zones chlorite-calcite sont (MG) à MG. AB postdate HM. Zones métasomatiques pyriteuses encore observées au-delà de 690.80 mais deviennent rares. Veines et veinules de quartz.</p> <p>Pyrite en traces associée à veines de calcite dans faciès chlorite, 0.5-1% dans faciès HM et jusqu'à = 5-8% dans le faciès DM.</p> <p>186.20 - 187.57</p> <p>90314: #+CLCCvCC (traces pyrite avec VCC).</p> <p>187.57 - 188.73</p> <p>90315: 70% #++(HMvDM)PYvAB reste faciès CL-CC. = 1-2% pyrite fine à moyenne.</p> <p>188.73 - 190.59</p> <p>90316: = 20% #++DMPYvAB, reste CL-CC;</p>	<p>185.65 - 186.20</p> <p>90313: 70%#+DM(HM)PY+vAB, 3-4% pyrite fine disséminée.</p>

MINNOVA INC. DIVISION EXPLORATION

DE (m)	A (m)	TEXTURE ET STRUCTURE	ALTÉRATION	MINÉRALISATION
				<p>190.59 - 191.44</p> <p>90317: 80%#++DMPY+vAB, reste CL-CC; ≈ 3% pyrite fine disséminée et en agrégats millimétriques.</p> <p>191.44 - 192.66</p> <p>90318: 80%#++/HMNDMPY+vAB, reste CL-CC; ≈ 3% PY fine disséminée.</p> <p>192.66 - 194.01</p> <p>90319: H15#++DM+PY++vAB; Roche métasomatique à DM. 8-10% pyrite fine disséminée.</p>
			<p>194.01 - 194.28</p> <p>90320: 30%#++DMPY; 1% pyrite fine à moyenne.</p> <p>194.28 - 195.83</p> <p>87901: 13ANG#CL+, zones centimétriques CC+(HMCL) Intervalle contient fragments ou llots centimétriques à texture phanéritique de composition intermédiaire. Tr.-0.5% pyrite sur des intervalles centimétriques</p> <p>196.70 - 200.04</p> <p>87902: 13A(MG)#+CLEP, CC+ sur dernier intervalle décimétrique. Granulométrie fine (microgabbro), texture intrusive reconnaissable. Tr. pyrite disséminée et en veinules avec CC+</p>	
			<p>200.44 - 201.35</p> <p>90322: #+CCCLEPvCCHM; Traces pyrite fine avec vCCHM.</p> <p>201.35 - 202.91</p> <p>90323: 70%#+DNEP(HM)PY+vAB 30% CLCC; Une veine de quartz grise à 664.90' (202.66m). Traces pyrite en général, 3-5% pyrite fine à moyenne sur un total de 0.33m plus fortement DM.</p>	<p>200.04 - 200.44</p> <p>90321: 90% #++DM+PY++vAB reste CCCLvAB; 10-12% pyrite fine disséminée.</p>

MINNOVA INC. DIVISION EXPLORATION

DE (m)	A (m)	TEXTURE ET STRUCTURE	ALTÉRATION	MINÉRALISATION
			<p>202.91 - 203.24</p> <p>87903: 13ANG# + CCCLEPvCC Veinules de calcite < 2mm en stockwork très dense, enveloppes millimétriques brun-rouge foncé (HMBO?)</p> <p>203.24 - 204.34</p> <p>90324: 60%# + HMEPPYVAB, 40%# + CLCCvCC(HM); ≤ 1% pyrite fine à moyenne avec HM.</p> <p>204.34 - 204.86</p> <p>87904: Idem à 87903</p> <p>206.44 - 207.23</p> <p>90326: 50%# + (HMAB)(PY)vAB = 10% VQZCC/\ (CC bréchifié QZ) reste CLCC(HM); ≥ 0.5% pyrite fine disséminée avec zone (HMAB).</p> <p>208.30 - 209.09</p> <p>90328: # + à /\ CC(HMCLDM)(PY); 1-2% pyrite fine disséminée à la fin, = 0.5% pyrite en moyenne sur l'intervalle.</p> <p>209.09 - 209.76</p> <p>90329: VQZ blanc; Traces pyrite fine et sphalérite ou MO métallique bleuté. Pas de trait rouge noté.</p> <p>209.76 - 210.34</p> <p>90330: #VQZ(CCPY) gris, 30% inc.usions SISRABHM; Foliation à 15-25°AC.</p> <p>210.34 - 210.56</p>	<p>204.86 - 205.53</p> <p>90325: 80%# + (HMAB)PYVAR; = 2% pyrite fine disséminée.</p> <p>205.53 - 206.44</p> <p>87905: Idem à 87904 Zones centimétriques CC+HM diffuses; forte densité de veinules de calcite multi-phase</p> <p>207.69 - 208.30</p> <p>90327: # + DMPY + VQZvCCQZ; 1-3% pyrite fine disséminée.</p>

MINNOVA INC. DIVISION EXPLORATION

DE (m)	A (m)	TEXTURE ET STRUCTURE	ALTÉRATION	MINÉRALISATION
			<p>90331: #++CCAB?PYVAB Encaissant altéré; \leq 1% pyrite dans enveloppes autour veinules albite submillimétriques.</p> <p>214.49 - 215.52</p> <p>87906: 13AMG/\B0?CL(EP)VCC Texture fragmentaire floue au centre: xénolithique? Fragments arrondis microgrenus ~ 1cm Tr. Py au début de l'intervalle</p> <p>215.77 - 217.29</p> <p>87907: 12A(MG)#(BOCLEP)VCC</p> <p>220.92 - 221.80</p> <p>90334: MG#+CCCLEP(PY); \leq 0.5% pyrite très fine sur un intervalle décimétrique plus pâle.</p> <p>222.11 - 222.93</p> <p>90335: Idem sauf traces pyrite. 4 injections centimétriques de microgabbro avec bordures figées millimétriques. Contact non net. Traces pyrite surtout dans injections.</p> <p>225.37 - 225.61</p> <p>90336: MG#+CCDN?PYVCC brunâtre; 1-2% pyrite fine à moyenne.</p> <p>226.13 - 226.56</p> <p>90337: Idem, PY autour de VCC; \geq 1% pyrite fine.</p>	<p>210.56 - 211.93 #++(CL(CC), (CCABHM)PY+VABHM</p> <p>90332: Intervalle extrêmement fracturé constitué à 85% de roche au faciès CL(CC) et 15% faiblement altéré en calcite, albite et hématite avec veinules d'albite-hématite. 1-3% pyrite fine à moyenne dans trois intervalles altérés vert pâle.</p> <p>215.52 - 215.77 #++AB?+DHPY+VAB</p> <p>Intervalle extrêmement fracturé. Coloration pâle due à l'altération intense en albite?, moyenne en dolomie avec veinules d'albite. 8-10% pyrite très fine disséminée.</p>

MINNOVA INC. DIVISION EXPLORATION

DE (m)	A (m)	TEXTURE ET STRUCTURE	ALTÉRATION	MINÉRALISATION
			<p>228.51 - 229.30</p> <p>90338: (MG)#++AB(EP)vCCOZ; Traces pyrite avec veinules de calcite millimétriques à submillimétriques.</p> <p>234.30 - 234.54</p> <p>90339: 30% HM+AB; Traces pyrite très fine disséminée avec HM+AB.</p> <p>237.41 - 238.14 #++CL+vCCPY</p> <p>Intervalle extrêmement fracturé avec chloritisation intense et veinules de calcite. Jusqu'à 0.5% pyrite fine sur l'intervalle associée avec une zone carbonatée (calcite) et une veinule de calcite.</p> <p>239.02 - 239.30</p> <p>90342: (MG)#CLPYvEP; ≥ 1% pyrite fine à moyenne disséminée sur 30% central.</p> <p>239.30 - 239.54</p> <p>90343: 25% I2D? (1 injection) avec encaissant lessivé et faiblement pyritisé. Traces de pyrite très fine disséminées.</p> <p>242.01 - 242.62</p> <p>90344: (MG)#++CLEPvCC; Traces pyrite fine à moyenne disséminée.</p> <p>243.90 - 245.36 #+++BO(CCEP)(PY)vEP</p> <p>90345: Intervalle extrêmement fracturé et intensément folié à 30°AC. Intervalles centimétriques protomylonitiques. Couleur gris-brun foncé suggère biotitisation moyenne. Altération faible en</p>	<p>235.88 - 236.46 #+CCCLvCCPY+</p> <p>90340: Intervalle intensément fracturé, altéré au faciès chlorite-calcite avec plusieurs zones centimétriques lessivées autour de veinules de calcite ou veinules d'albite-quartz. Les enveloppes contiennent plusieurs pourcent de pyrite fine à moyenne ce qui fait penser à un analogue à plus petite échelle des zones métasomatiques plus haut. <1% pyrite fine sur l'intervalle, concentrée autour de veinules de calcite ou dans des enveloppes de calcite autour de veinules d'albite-quartz.</p>

MINNOVA INC. DIVISION EXPLORATION

DE (m)	A (m)	TEXTURE ET STRUCTURE	ALTÉRATION	MINÉRALISATION
			<p>calcite-épidote, veinules d'épidote. Traces de pyrite fine à moyenne disséminée, notamment dans la protomylonite.</p> <p>248.93 - 250.79 MG#++(BOEPAB?VCCHPY, +=SICCL(B07)VQZCC</p> <p>Intervalle extrêmement fracturé. Intensément folié @ 70-90°AC définie par chlorite-biotite de 816.70 à 818.90' (248.93-249.60m). Altération moyenne passe de BOEPAB à SICCL(B0) en profondeur. Veinules de CCHMPY dans l'intervalle folié, veinules de quartz et veinules de calcite dans l'intervalle peu folié. Traces à 1% de pyrite disséminée.</p> <p>90346: De 816.7 - 818.9' (248.93-249.60m): (MG)#+BOEPAB?VCCHPY 90347: De 818.9 - 822.8' (249.60-250.79m): MG#++SICCL(B07)VQZVCC; foliation définie par chlorite-biotite @ 70-90°AC.</p> <p>250.79 - 252.16 VQZ, VQZCC</p> <p>Zone de veines de quartz. De 822.80 à 825.30, veine de quartz de couleur blanc-gris fracturé avec 30% inclusions de l'encaissant. Ces inclusions sont altérées en Si(HM). De 825.30 à 827.30 (251.55-252.16m), il s'agit d'une veine de quartz gris bréchique où la texture est définie par l'emplacement forcé de calcite blanche et calcite orange vif fragmentant le quartz gris. Contacts irréguliers de la veine soit +20°AC à -20°AC. Encaissant avec altération en riebeckite.</p> <p>90348: De 822.8 - 825.3' (250.79-251.55m): VQZ blanc-gris fracturée avec 30% inclusions de Si(HM) dans 3 intervalles 90349: De 825.3 - 827.3' (251.55-252.16m): \VQZCC, < 10% encaissant</p> <p>252.16 - 252.98</p> <p>90350: #CC(RB?)VQZCC; Couleur bleutée; même veine de calcite-quartz revient avec apophyses en veinules de calcite. Non magnétique.</p> <p>252.98 - 253.59</p> <p>90351: #+CC(HMSi)VCCVAB;</p> <p>253.59 - 254.51 Si+, SivABVCC</p> <p>90352: Intervalle avec silicification forte à moyenne avec veinules d'albite et de calcite. Traces de pyrite fine en disséminations locales.</p>	

MINNOVA INC. DIVISION EXPLORATION

DE (m)	A (m)	TEXTURE ET STRUCTURE	ALTÉRATION	MINÉRALISATION
	254.81	FIN DU TROU	<p>254.51 - 254.81 #*(EP+, SiCC(NM))</p> <p>90353: Intervalle fortement altéré en épidote passant à moyenne en silice et calcite avec hématite faible.</p> <p>254.82m (836.00'): FIN DU TROU</p>	

MINNOVA INC. DIVISION EXPLORATION

ECHANTILLON	DE (m)	A (m)	LONGUEUR (m)	Au(OP1) ppb	Au(OP2) ppb	Au(R-1) ppb	Au(R-2) ppb	Au(MOY) ppb	Ag ppm	As(CH) ppm	Sb(CH) ppm	Mo(CH) ppm	Pb(CH) ppm	Cu(OP) ppm	Cu(CH) ppm	Cu(MOY) ppm	Zn(OP) ppm	Zn(CH) ppm	Zn(MOY) ppm
90081	23.59	24.48	0.89	tr.				tr.						74		74	36		36
90238	27.80	28.65	0.85	tr.				tr.						29		29	93		93
90239	28.65	29.50	0.85	tr.				tr.						176		176	30		30
90240	34.78	35.78	1.00	tr.				tr.						116		116	48		48
90241	35.72	36.88	1.10	tr.				tr.						192		192	64		64
90242	36.88	38.10	1.22	tr.				tr.						80		80	50		50
90243	38.10	38.37	0.27	tr.				tr.						50		50	40		40
90244	38.37	39.04	0.67	tr.				tr.						64		64	49		49
90245	39.04	39.68	0.64	tr.				tr.						150		150	57		57
90246	44.50	45.42	0.92	tr.				tr.						54		54	9		9
90247	45.42	45.75	0.33	tr.				tr.						40		40	3		3
90248	49.01	49.26	0.25	tr.				tr.						60		60	24		24
90249	49.56	49.77	0.21	tr.				tr.						36		36	10		10
90250	49.77	50.17	0.40	tr.				tr.						18		18	10		10
90251	50.17	51.27	1.10	tr.				tr.						14		14			
90252	55.78	56.08	0.30	tr.				tr.						53		53	15		15
90253	58.19	58.34	0.15	tr.				tr.						34		34	34		34
90254	59.04	59.47	0.43	tr.				tr.						37		37	9		9
90255	62.61	63.12	0.51	tr.				tr.						36		36	40		40
90256	64.95	65.75	0.80	tr.				tr.						55		55	75		75
90257	66.20	66.66	0.46	tr.				tr.						22		22	36		36
90258	69.68	70.01	0.33	tr.				tr.						24		24	23		23
90259	79.03	80.38	1.35	tr.				tr.						18		18	74		74
90260	80.44	81.08	0.64	tr.				tr.						21		21	50		50
90261	81.75	81.93	0.18	tr.				tr.						53		53	12		12
90262	85.74	86.20	0.46	tr.				tr.						36		36	21		21
90263	87.20	88.61	1.41	tr.				tr.						90		90	60		60
90264	88.61	88.79	0.18	tr.				tr.						40		40	57		57
90265	88.79	89.37	0.58	tr.				tr.						58		58	57		57
90266	89.37	89.76	0.39	tr.				tr.						62		62	75		75
90267	89.76	90.10	0.34	tr.				tr.						34		34	50		50
90268	94.06	94.91	0.85	tr.				tr.						104		104	70		70
90269	94.91	95.28	0.37	309				309						50		50	60		60
90270	95.28	96.13	0.85	tr.				tr.						47		47	43		43
90271	96.83	97.29	0.46	tr.				tr.						37		37	37		37
90272	98.36	99.18	0.82	tr.				tr.						36		36	59		59
90273	102.72	102.99	0.27	tr.				tr.						34		34	49		49
90274	106.01	106.62	0.61	tr.				tr.						57		57	50		50
90275	106.62	106.92	0.30	tr.				tr.						60		60	54		54
90276	109.30	109.55	0.25	tr.				tr.						27		27	50		50
90277	117.93	118.66	0.73	tr.				tr.						44		44	69		69
90278	119.12	120.40	1.28	tr.				tr.						69		69	52		52
90279	122.29	122.86	0.57	tr.				tr.						35		35	32		32
90280	122.86	123.69	0.83	tr.				tr.						57		57	54		54
90281	123.69	125.00	1.31	tr.				tr.						63		63	82		82
90282	125.00	126.49	1.49	tr.				tr.						57		57	77		77
90283	126.52	126.67	0.15	tr.				tr.						52		52	53		53
90284	126.67	127.83	1.16	tr.				tr.						19		19	21		21
90285	127.83	128.41	0.58	tr.				tr.						20		20	45		45
90286	128.41	129.27	0.86	tr.				tr.						36		36	96		96
90287	129.27	129.54	0.27	tr.				tr.						30		30	43		43
90288	129.54	130.61	1.07	tr.				tr.						36		36	57		57

MINNOVA INC. DIVISION EXPLORATION

ECHANTILLON	DE (m)	A (m)	LONGUEUR (m)	Au(OP1) ppb	Au(OP2) ppb	Au(R-1) ppb	Au(R-2) ppb	Au(MOY) ppb	Ag ppm	As(CH) ppm	Sb(CH) ppm	Mo(CH) ppm	Pb(CH) ppm	Cu(OP) ppm	Cu(CH) ppm	Cu(MOY) ppm	Zn(OP) ppm	Zn(CH) ppm	Zn(MOY) ppm
90289	130.61	131.16	0.55	tr.				tr.						21		21	33		33
90290	131.16	131.43	0.27	tr.				tr.						70		70	60		60
90291	134.51	134.84	0.33	tr.				tr.						36		36	77		77
90292	135.33	136.52	1.19	tr.				tr.						22		22	67		67
90293	138.99	139.26	0.27	tr.				tr.						190		190	45		45
90294	141.64	141.78	0.34	tr.				tr.						71		71	20		20
90295	145.91	146.58	0.67	tr.				tr.						65		65	39		39
90296	156.12	156.45	0.33	tr.				tr.						100		100	64		64
90297	159.59	160.17	0.58	tr.				tr.						80		80	63		63
90298	163.28	163.83	0.55	tr.				tr.						72		72	29		29
90299	168.37	168.86	0.49	tr.				tr.						65		65	20		20
90300	172.52	173.16	0.64	tr.				tr.						114		114	56		56
90301	174.62	174.99	0.37	tr.				tr.						256		256	92		92
90302	174.99	175.56	0.57	tr.				tr.						24		24	100		100
90303	177.09	178.52	1.43	tr.				tr.						23		23	120		120
90304	178.52	179.89	1.37	1577				1577						190		190	130		130
90305	179.89	181.42	1.53	tr.				tr.						36		36	100		100
90306	181.42	182.39	0.97	tr.				tr.						37		37	100		100
90307	182.39	183.15	0.76	377				377						40		40	107		107
90308	183.15	183.73	0.58	274				274						46		46	80		80
90309	183.73	184.19	0.46	206				206						37		37	82		82
90310	184.19	184.53	0.34	891				891						72		72	74		74
90311	184.53	184.74	0.21	343				343						54		54	40		40
90312	184.74	185.65	0.91	480				480						126		126	86		86
90313	185.65	186.20	0.55	309				309						172		172	72		72
90314	186.20	187.57	1.37	tr.				tr.						140		140	49		49
90315	187.57	188.73	1.16	446				446						83		83	81		81
90316	188.73	190.59	1.86	tr.				tr.						159		159	92		92
90317	190.59	191.44	0.85	549				549						626		626	106		106
90318	191.44	192.66	1.22	309				309						600		600	87		87
90319	192.66	194.01	1.35	1200		1300	1270	1257						130		130	92		92
90320	194.01	194.28	0.27	343				343						126		126	102		102
87901	194.28	195.83	1.55	tr.				tr.						240		240	60		60
87902	198.70	200.04	1.34	tr.				tr.						140		140	64		64
90321	200.04	200.44	0.40	686				686						67		67	87		87
90322	200.44	201.26	0.82	tr.				tr.						94		94	46		46
90323	201.26	202.91	1.65	549				549						190		190	84		84
87903	202.91	203.24	0.33	tr.				tr.						122		122	70		70
90324	203.24	204.34	1.10	tr.				tr.						180		180	59		59
87904	204.34	204.86	0.52	tr.				tr.						122		122	88		88
90325	204.86	205.53	0.67	377				377						100		100	80		80
87905	205.53	206.44	0.91	tr.				tr.						99		99	57		57
90326	206.44	207.23	0.79	tr.				tr.						107		107	64		64
90327	207.23	208.30	0.61	240				240						120		120	27		27
90328	208.30	209.09	0.79	tr.				tr.						106		106	21		21
90329	209.09	209.76	0.67	tr.				tr.						55		55	5		5
90330	209.76	210.34	0.58	206				206						42		42	12		12
90331	210.34	210.56	0.22	343				343						90		90	30		30
90332	210.56	211.93	1.37	tr.				tr.						97		97	20		20
87906	214.49	215.52	1.03	tr.				tr.						210		210	62		62
90333	215.52	215.77	0.25	446				446						97		97	34		34
87907	215.77	217.29	1.52	tr.				tr.						160		160	63		63

MIRNOVA INC. DIVISION EXPLORATION

ECHANTILLON	DE (m)	A (m)	LONGUEUR (m)	Au(OP1) ppb	Au(OP2) ppb	Au(R-1) ppb	Au(R-2) ppb	Au(MOY) ppb	Ag ppm	As(CK) ppm	Sb(CH) ppm	Mo(CH) ppm	Pb(CH) ppm	Cu(OP) ppm	Cu(CH) ppm	Cu(MOY) ppm	Zn(OP) ppm	Zn(CH) ppm	Zn(MOY) ppm
90334	220.92	221.80	0.88	tr.				tr.						140		140	32		32
90335	222.11	222.93	0.82	tr.				tr.						114		114	8		8
90336	225.37	225.61	0.24	274				274						144		144	9		9
90337	226.13	226.56	0.43	tr.				tr.						97		97	15		15
90338	228.51	229.30	0.79	tr.				tr.						171		171	22		22
90339	234.30	234.54	0.24	tr.				tr.						107		107	32		32
90340	235.88	236.46	0.58	tr.				tr.						144		144	57		57
90341	237.41	238.14	0.73	tr.				tr.						164		164	10		10
90342	239.02	239.30	0.28	tr.				tr.						316		316	12		12
90343	239.30	239.54	0.24	tr.				tr.						170		170	20		20
90344	242.01	242.62	0.61	tr.				tr.						114		114	23		23
90345	243.90	245.36	1.46	tr.				tr.						190		190	15		15
90346	248.93	249.60	0.67	tr.				tr.						136		136	5		5
90347	249.60	250.79	1.19	tr.				tr.						67		67	15		15
90348	250.79	251.55	0.76	tr.				tr.						97		97	9		9
90349	251.55	252.16	0.61	tr.				tr.						30		30	9		9
90350	252.16	252.98	0.82	tr.				tr.						46		46			
90351	252.98	253.59	0.61	tr.				tr.						60		60	10		10
90352	253.59	254.51	0.92	tr.				tr.						35		35	16		16
90353	254.51	254.81	0.30	tr.				tr.						37		37	9		9

MINNOVA INC. DIVISION EXPLORATION

COMPAGNIE : MINNOVA INC.	DIVISION EXPLORATION	PROJET : BOYVINET	SONDAGE : BV-21	IMPRIMÉ LE : 15 avril 1992
CANTON : BOYVINET	RANG : -	LOT : -	CLAIM : 383712-1	SNRC : 32g/12
			ZONE : B1	NO. RÉFÉRENCE :
<u>COORDONNÉES AU COLLET</u>	GRILLE #1 LIGNE : 28+00E STATION : 30+50M ÉLEVATION : 16.760	GRILLE #2 LIGNE : STATION : ÉLEVATION : 16.760	GRILLE ARPENTÉE LATITUDE : 929.640 LONGITUDE : 853.440 ELEVATION : 16.760	AZIMUT : 152° 0' PLONGÉE : -48° 0' PROFONDEUR DU COLLET : 0.00 LONGUEUR : 64.01m.
GÉOLOGUE : F.SPEIDEL		REMARQUES :		DATE DU JOURNAL : 24 mars 1990
CONTRACTEUR : FORAGES BELAND				DATE D'ARPENTAGE :
				DATE DE CIMENTAGE :
BUT : Tester la continuité verticale de la zone BV-09.				FORAGE DÉBUTÉ LE : 24 mars 1990
CIBLE :				TERMINÉ LE : 26 mars 1990
				TUBAGE LAISSÉ : Oui

DONNÉES D'ORIENTATION

Longueur Azimut Plongée

0.00 152 0' -48 0'

MINNOVA INC. DIVISION EXPLORATION

DE (m)	A (m)	TEXTURE ET STRUCTURE	ALTÉRATION	MINÉRALISATION
0.00	64.01	MT MORT-TERRAIN: Forage très difficile dû à l'abondance de boulders et la perte de la circulation de l'eau. Tubage brisé.		
	64.01	FIN DU TROU		

MINNOVA INC. DIVISION EXPLORATION

COMPAGNIE : MINNOVA INC. DIVISION EXPLORATION PROJET : BOYVINET SONDAGE : BV-22 IMPRIMÉ LE : 15 avril 1992
 CANTON : BOYVINET RANG : LOT : CLAIM : 383712-1 SNRC : 32G/12 ZONE : B1 NO. RÉFÉRENCE :

COORDONNÉES AU COLLET GRILLE #1 GRILLE #2 GRILLE ARPENTÉE AZIMUT : 152° 0'
 LIGNE : 28+00E LIGNE : LIGNE : LATITUDE : 975.360 PLONGÉE : -62° 0'
 STATION : 32+00W STATION : STATION : LONGITUDE : 853.440 PROFONDEUR DU COLLET : 0.00
 ÉLEVATION : 21.340 ÉLEVATION : 21.340 ÉLEVATION : 21.340 LONGUEUR : 352.35m

GÉOLOGUE : F.SPEIDEL REMARQUES : DATE DU JOURNAL : 29 mars 1990
 CONTRACTEUR : FORAGES BELAND DATE D'ARPENTAGE :
 DATE DE CIMENTAGE :
 FORAGE DÉBUTÉ LE : 27 mars 1990
 TERMINÉ LE : 04 avril 1990
 BUT : Tester continuité en profondeur de la zone minéralisée BV-09 TUBAGE LAISSÉ : Oui
 CIBLE :

DONNÉES D'ORIENTATION

Longueur	Azimuth	Plongée
0.00	152 0'	-62 0'
61.26	*154 0'	-62 0'
121.92	*155 59'	-61 0'
183.18	158 0'	-58 0'
243.84	*158 0'	-58 0'
314.25	*158 0'	-56 0'

(*) azimuth estimé par le programme

MINNOVA INC. DIVISION EXPLORATION

DE (m)	A (m)	TEXTURE ET STRUCTURE	ALTERATION	MINÉRALISATION
0.00	28.04	MT Mort-terrain à forte densité de boulders, forage difficile		
28.04	118.72	I3ANGLX++CL+CCEP(PY)AK GABBRO CHLORITISE INTENSEMENT A EXTREMEMENT DEFORME Roche intrusive mafique de couleur vert foncé. Là où la déformation et l'altération sont à leur minimum, la roche est constituée d'environ 40-50% minéraux mafiques très fins à moyens avec ~ 40% feldspath saussuritisé (vert pâle à moyen) interstitiel et environ 10% phénocristaux de magnétite moyenne hypidiomorphe à allotriomorphe. Certains intervalles sont fortement magnétiques, d'autres ne le sont que faiblement, particulièrement dans les intervalles fortement foliés et altérés où le leucoxène prédomine. Jusqu'à 10-15% leucoxène fin. Intensité de déformation intense à extrême sur la majeure partie de l'unité. La texture intrusive primaire n'est visible que sur quelques intervalles métriques. La foliation est particulièrement définie par l'alignement des grains et agrégats de leucoxène allongé et, par endroits, par les plans chlorite anastomosés. La roche est compétente dans les intervalles à foliation intense mais s'effrite parallèle à la foliation là où la déformation est extrême. Dans ces derniers intervalles la foliation est crénelée à l'échelle millimétrique et localement on note des kink bands. Foliation à 20-45°AC, très localement 60°AC. Fracturation généralement faible à absente - plans remplis de calcite, quartz-calcite surtout, échelle millimétrique, espacement submétrique. Fracturation dans les intervalles mylonitisés postdate la foliation puisque cette dernière est déplacée. Altération variable. La majeure partie de l'unité est moyennement à fortement altérée en chlorite, moyennement en calcite. Zones restreintes d'échelle métrique avec saussuritisé (EP) du plagioclase, localement faible hématisation du plagioclase. Intervalles métriques avec forte ankréitisation diffuse ou en veinules. Ces veinules sont particulièrement fréquentes (> 10% de la roche) dans les zones à déformation extrême. Graphite locale. On note traces-0.5% sulfures fins à moyens disséminés dans le gabbro (PY), avec concentrations locales dans certains intervalles plus fortement altérés (surtout AK). Aussi un intervalle décimétrique avec ≥ 30% pyrite très fine en lamines millimétriques microfaillées.	28.04 - 34.59 LX+++DNAB(Si)CL)PYVABQZ GABBRO A LEUCOXENE MYLONITISE Intervalle de gabbro non magnétique de couleur gris-vert moyen avec ~ 10-15% leucoxène fin à moyen. Granulométrie de la roche variable (fine à moyenne) mais tous les minéraux sont allongés et ± lensoïdes. Foliation crénelée et anastomosée sur les 5 premiers pieds, ensuite diminue graduellement pour devenir plus régulière, espacement toujours millimétrique. Aspect siliceux, concentration de veines et veinules de	

MINNOVA INC. DIVISION EXPLORATION

DE (m)	A (m)	TEXTURE ET STRUCTURE	ALTÉRATION	MINÉRALISATION
			<p>dolomie-albite-quartz. Aspect siliceux dû à silice ou albite? Chloritisation moyenne seulement. Traces à quelques pourcentages de pyrite fine à moyenne, particulièrement associée avec les zones de veines DM-AB-QZ.</p> <p>28.38 - 28.71</p> <p>90354: ==#CL(DMAB)VABQZVCCPY; ~ 20% VABQZ et VABQZ, ±0.5% pyrite fine associée aux fractures irrégulières tardives remplies de chlorite foncée</p> <p>28.71 - 29.35</p> <p>90355: ==#SiCLvDM; = 10% veines DM millimétriques subparallèles à (reprises par) la foliation.</p> <p>29.35 - 29.93</p> <p>90356: Idem à 90354; = 0.5% pyrite fine à moyenne et crénulations à espacement subcentimétrique bien définies mais irrégulières.</p> <p>29.93 - 30.78</p> <p>90357: ==#CL(Si)vDM; Traces de pyrite locale.</p> <p>30.91 - 32.00</p> <p>90358: Id à 90354, 2-3% pyrite fine en agrégats associés avec des zones de DMABQZ</p> <p>38.25 - 39.59</p> <p>90359: ==#CL+CC /\ CC(py); Traces pyrite fine disséminée.</p> <p>44.14 - 44.96</p> <p>90360: MG=#CL+CC(PY); Intensité de foliation diminuée, magnétite phanéritique (et réponse à l'aimant) apparaît vers 140.00 pieds. Une veinule millimétrique de calcite automorphe-fracture ouverte. Traces de pyrite avec cristaux de calcite millimétriques. Traces de pyrite fine à moyenne en concentrations locales.</p> <p>46.48 - 50.26 MG+(#)EPCL(CC)vCC</p> <p>GABBRO NON DEFORME MAGNETIQUE</p>	

MINNOVA INC. DIVISION EXPLORATION

DE (m)	A (m)	TEXTURE ET STRUCTURE	ALTÉRATION	MINÉRALISATION
			<p>Gabbro à texture intrusive bien définie. Foliation essentiellement absente, fractures remplies de calcite à espacement centimétrique. Fortement magnétique, leucoxène absent. Passage graduel aux intervalles foliés sur 1 pied. Mafiques semblent aciculaires fins, hornblende plutôt que pyroxène?</p> <p>Altération moyenne. Saussuritisation du plagioclase, chloritisation des minéraux mafiques, faible calcite diffuse.</p> <p>Traces de pyrite fine à moyenne disséminée.</p> <p>50.26 - 50.75</p> <p>90361: (MG)=CCaCC+CL+(HM)vCC rose; Traces de pyrite fine disséminée.</p> <p>52.18 - 53.64</p> <p>90362: (MG)LX=CL+CC(HM); Traces de pyrite fine disséminée.</p> <p>60.05 - 60.53</p> <p>90363: MG à MG+=CL+(HM)vCC; Foliation définie par chlorite anastomosée.</p> <p>Traces de pyrite fine disséminée.</p> <p>70.16 - 79.58 MG+(#)CL+(EPHM)vCC</p> <p>GABBRO PHANÉRIQUE MAGNÉTIQUE NON DÉFORMÉ</p> <p>Idem à l'intervalle de gabbro non folié décrit précédemment à l'exception d'une chloritisation plus forte et une faible hématitisation des plagioclases. De 261.10-191.30' (79.58-58.31m), idem mais foliation moyenne en général.</p> <p>Chlorite intense, épidote + hématite faibles. Veinules de calcite blanches et roses.</p> <p>Traces de pyrite fine à moyenne locale.</p> <p>73.43 - 73.76</p> <p>90364: MG+=#CL+vCC, = 10% MG 1-2mm.</p> <p>73.76 - 74.13</p> <p>90365: (MG)(LX)=CLCC vCC; Zones de calcite blanche (veines calcite irrégulières condensées) déplacées par fracture submillimétrique tabulaire à 30°AC.</p> <p>Traces de pyrite fine à moyenne locale.</p>	

MINNOVA INC. DIVISION EXPLORATION

DE (m)	A (m)	TEXTURE ET STRUCTURE	ALTÉRATION	MINÉRALISATION
			<p>86.38 - 86.84</p> <p>90366: (MG)(LX)=+CL+CCVCCCHMPY; Traces de pyrite sur l'intervalle, pyrite fine à moyenne concentrée dans une zone de CCMM diffuse autour d'une veinule de calcite remplissant une fracture ouverte.</p> <p>88.79 - 97.99 M1BLX+***CLAKVAK</p> <p>BRECHE TECTONIQUE - SCHISTE A ANKERITE-CHLORITE</p> <p>Roche de couleur vert moyen contrastant avec le reste de l'unité. Caractérisée par une chlorite plus pâle et la présence de > 30% bandes AK millimétriques à subcentimétriques. En fait, les bandes de AK, de chlorite et les agrégats leucoxènes beige-blanc allongés définissent une foliation chaotique. Crénulations à longueur d'onde et amplitude subcentimétrique. Aspect brèche tectonique dû à la différence de compétence: bandes AK compétentes, bandes chlorite faibles. Bandes et veines/veinules AK boudinées, fracturées, plissées, stylolitisées. Zone mixte complexe au début de l'intervalle.</p> <p>Majeure partie de l'intervalle caractérisée par une lamination compositionnelle secondaire/tectonique de CL, VAK et LX.</p> <p>Généralement traces de pyrite. Intervalle mixte au début contient une zone décimétrique avec > 30% pyrite très fine en lamines submillimétriques.</p> <p>88.79 - 91.53 M157</p> <p>ZONE MIXTE A PROTOLITHE INCERTAIN</p> <p>90367: 291.30-294.20' (88.79-89.67m); Intervalle caractérisé par sa coloration brun-beige probablement due à ≈ 15% biotite fine disséminée. Gradation texturale entre gabbro à leucoxène variablement folié à la roche biotitisée.</p> <p>Biotite forte, calcite faible. Veinule millimétrique de calcite rose recoupant veine subcentimétrique irrégulière de dolomie. Zone de veines de quartz DM décimétrique avec inclusions de l'encaissant et stylolites à la fin de l'intervalle.</p> <p>90368: 294.20-298.60' (89.67-91.01m): M17?***AK: Roche extrêmement foliée à protolithe incertain. Fragment? centimétrique aphanitique non folié (V3A?) à la fin de l'intervalle.</p> <p>Ankératisation diffuse moyenne à forte. Veine AK cristalline.</p>	

MINNOVA INC. DIVISION EXPLORATION

DE (m)	A (m)	TEXTURE ET STRUCTURE	ALTÉRATION	MINÉRALISATION
			<p>Traces de pyrite fine à moyenne locale.</p> <p>91.53 - 92.96</p> <p>90370: Début du M15 LX==CLAKVAK etc. Typique.</p> <p>96.59 - 97.99</p> <p>90371: M18LX==CLAKSRVAK/\; Altération typique avec plans jaunâtres anastomosés définissant la foliation, orientée 0-65°AC, généralement 35°AC. Veinules fracturées et boudinées millimétriques à subcentimétriques d'ankérite définissent la texture de brèche tectonique. Foliation plissée à échelle décimétrique.</p> <p>97.99 - 118.72 LX==(#).CLCCVAK</p> <p>GABBR0 A LEUCOXENE DEFORME TYPIQUE</p> <p>Retour à l'intervalle de gabbro à leucoxène de couleur vert foncé. Texture intrusive non reconnaissable. Développement de foliation variable, moyen à extrême. Angle AC généralement = 45° mais par exemple de 370.00-372.20' (112.78-113.45m), l'angle est 0, avec des foliations de crénulation à espacement centimétrique à subcentimétrique à 80°AC. Celles-ci sont des discontinuités et plans axiaux de crénulations de la foliation principale définie par alternance chlorite/leucoxènes. Foliation à son minimum à la fin de l'intervalle.</p> <p>Fracturation postdate foliation principale puisqu'elle déplace celle-ci et les veinules de AK. Relation entre ces fractures et la foliation tardive n'est pas claire. Il pourrait s'agir de la même épisode, les fractures étant développées dans les zones à plus forte concentration de veines AK (donc plus compétentes).</p> <p>Altération généralement moyenne en chlorite-calcite, localement intervalles décimétriques avec AK diffuse ou concentration de veinules de AK, donc couleur beige-vert pâle.</p> <p>Minéralisation généralement absente; concentrations de</p>	<p>91.01 - 91.47</p> <p>90369: M15#==AKSRPY==VQZAKGP; Probablement id protolithe à l'intervalle précédent. Altération moyenne en ankérite et séricite diffuse avec ~ 20% veines de quartz-ankérite-graphite avec stylolites.</p> <p>10-15% pyrite sur l'intervalle. 40% pyrite très fine sur 0.3' en lamines et veinules (remplacement?) et une bande subcentimétrique ankéritisée avec > 60% pyrite fine à moyenne.</p>

MINNOVA INC. DIVISION EXPLORATION

DE (m)	A (m)	TEXTURE ET STRUCTURE	ALTÉRATION	MINÉRALISATION
118.72	130.15	<p>M18+++GP++(DMSR)vQZCC</p> <p>BRECHE TECTONIQUE GRAPHIYIQUE</p> <p>Unité bréchique noire avec laminations millimétriques grises à noires.</p>	<p>pyrite fine en aggrégats subcentimétriques dans les intervalles de couleur pâle.</p> <p>97.99 - 98.69 ==LX+CLVDM</p> <p>87908: Intervalle montrant 5-10% LX allongé. Foliation à 35°AC. > 15% vDM millimétrique à centimétrique parallèles à AC. Veinules boudinées par endroits.</p> <p>98.69 - 99.03 === 60% VAKvAK</p> <p>90372: Intervalle extrêmement folié avec 60% de veines et veinules de carbonates de fer. Traces de pyrite en association avec septa de séricite dans veines de AK.</p> <p>99.03 - 99.91 ===LX+CLVDM</p> <p>87909: Granulométrie réduite, foliation plus pénétrative et ondulée à l'échelle centimétrique. Même altération que 87908.</p> <p>99.91 - 100.83</p> <p>90373: ===AKvAK; Traces de pyrite dans zone AK diffuse.</p> <p>100.83 - 101.25</p> <p>90374: ===15%vAK, #CL perp. à foliation.</p> <p>102.26 - 102.57</p> <p>90375: == AKSRvAK</p> <p>102.57 - 103.11 ==LX+CLVDM</p> <p>87910</p> <p>103.97 - 104.64</p> <p>90377: ==+, 10%vAK#; traces de pyrite fine disséminée.</p>	<p>103.11 - 103.91 === 25% VAKQ2PY</p> <p>90376: Intervalle extrêmement folié avec 25% veine carbonates de fer, quartz et pyrite. = 5% pyrite avec VAKQ2, ≤ 1% sur l'intervalle.</p>

MIN. OVA INC. DIVISION EXPLORATION

DE (m)	A (m)	TEXTURE ET STRUCTURE	ALTÉRATION	MINÉRALISATION
130.15	224.03	<p>Protolithe incertain, vu l'intensité de la déformation, aucun So ne peut être défini mais la présence de lamines (maintenant tectonisées) grises et noires pourrait indiquer un protolithe sédimentaire (siltstone/argilite c'est-à-dire turbidites).</p> <p>Foliation irrégulière de 0-45°AC. Contrastes de compétence entre bandes grises, noire et veinules résulte en un aspect de brèche tectonique. 2ième foliation également développée à 5° par rapport à foliation principale.</p> <p>Faible dolomitisation et séricitisation sur des intervalles décimétriques. Graphite primaire?</p> <p>M4+++DMSR(CLCC)vCC</p> <p>ZONE DE DEFORMATION LAC SHORTT</p> <p>Roche de couleur vert moyen à beige-vert avec lamination tectonique extrême submillimétrique. Granulométrie très fine à aphanitique suggère qu'on peut interpréter cette unité comme une ortho- à ultra mylonite. Déformation d'intensité homogène en général. Quelques intervalles plus grenus (protomylonite?) constitués de = 40% minéraux felsiques (PG?) remplacés par calcite et = 60% mafiques remplacés par chlorite en agrégats allongés. Proportion de veinules de calcite cisailées? Crénulation et kink bands à échelle centimétrique sont communs. Foliation définie surtout par septa SR jaunâtres submillimétriques à espacement millimétrique ou moins. Angle généralement à 20-45°AC. Contact supérieur abrupt, contact inférieur graduel, déformation hétérogène à partir de 641.00' (195.38m) moyenne à intense.</p> <p>Altération moyenne en dolomie (diffuse), séricite (diffuse et en plans submillimétriques), chlorite diffuse et veinules millimétriques à subcentimétriques de calcite. Chlorite plus importante que séricite en général à partir de 483.00' (147.22m).</p> <p>Minéralisation généralement absente. Traces de pyrite à partir de 641.00' (195.38m).</p>	<p>118.72 - 118.99</p> <p>90378: M18#++++, > 15%vCCQZ</p> <p>132.34 - 133.41</p> <p>90379: = 20% VQZDM, 10% M18GP+, 30% DM7+, une bande subcentimétrique TL aphanitique.</p> <p>138.84 - 139.17</p> <p>90380: 30% M18GP; une bande millimétrique de pyrite fine.</p> <p>178.31 - 178.61</p> <p>90381: +++SRD(CC)vCC</p> <p>201.93 - 203.33</p> <p>90382: = CCCL(SR)(PY); traces pyrite fine avec quelques</p>	

MINNOVA INC. DIVISION EXPLORATION

DE (m)	A (m)	TEXTURE ET STRUCTURE	ALTÉRATION	MINÉRALISATION
		<p>215.74 - 224.03 Zone 14N(MG)[.]HB780(CC)VCC</p> <p>ZONE DE DYKES DE LAMPROPHYRE ULTRAMAFIQUE</p> <p>Intervalle constitué surtout de dykes de lamprophyre ultramafique de couleur brun très foncé de puissance métrique à submétrique avec intervalles de l'encaissant (ZLS) particulièrement altéré en SR-DM. Dykes sont faiblement magnétiques, phanéritiques fins et semblent surtout constitués de biotite/phlogopite possiblement avec olivine serpentinisée. Calcite interstitielle < 5% ≤ 10% phénocristaux mafiques vert foncé millimétriques hypidiomorphes dans le dyke le plus frais. Dyke folié à M18 de 720.80-721.50' (219.70-219.92m); ≈ 50°AC.</p> <p>Dykes semblent être localement faiblement chloritisés; veinules de calcite blanches millimétriques à submillimétriques et calcite rose millimétriques.</p>	<p>veines de calcite millimétriques.</p> <p>208.33 - 208.97</p> <p>90383: =CCCL(SR)PY; ≈ 1% pyrite fine avec veines calcite millimétriques.</p> <p>208.97 - 209.49</p> <p>90384: =CCCL(PY); ≥ 0.5% pyrite fine à moyenne disséminée.</p> <p>210.92 - 211.71</p> <p>90385: =+DMSR(CCCL); Traces de pyrite fine disséminée et concentrée avec quelques veines de calcite.</p> <p>214.34 - 214.61</p> <p>90386: =+à=+, DMCLCC(SR); Traces pyrite fine disséminée en concentrations locales.</p> <p>216.96 - 218.82</p> <p>90388: =+SR+DMCCAB?(PY); couleur beige-vert pâle.</p> <p>218.82 - 219.64</p> <p>90389: 14NBOFP?CC(CL)VCC;</p>	<p>214.61 - 215.74</p> <p>90387: =+DMSRCC(CL)PY; Séricite plus forte qu'habituelle. Encaissant de zone 14N. ≥ 2% pyrite fine disséminée.</p>

MINNOVA INC. DIVISION EXPLORATION

DE (m)	A (m)	TEXTURE ET STRUCTURE	ALTÉRATION	MINÉRALISATION
224.03	279.35	<p>I2?m[.]FPCL(CCHM)(PY)vCC</p> <p>DIORITE? PORPHYRIQUE A FELDSPATH FRACTUREE ET CHLORITISEE</p> <p>Roche intrusive mafique variablement altérée. Là où l'altération est faible on peut reconnaître environ 10-25% phénocristaux de feldspaths rosés hypidiomorphes à xénomorphes avec chloritisation assez forte interstitielle. Mésostase très fine vert foncé. Intervalles de microgabbro très fins vert foncé. Généralement non foliée, fracturation variable mais surtout moyenne à intense. Fractures de type stockwork remplies par calcite blanche ou chlorite. Altération variable. Chloritisation moyenne à forte de la matrice, calcite faible à moyenne diffuse affectant matrice et phénocristaux, hématitisation variable (faible à intense). Veinules calcite et veinules chlorite stockwork millimétriques à espacement centimétrique à subcentimétrique. Traces-1% pyrite fine à moyenne sur tout l'intervalle, généralement disséminée.</p>	<p>224.03 - 226.65 M15DMCC (SR(CL),(#ABHMCL), #++AB?+(HM))</p> <p>Roche métasomatique fortement altérée avec différents faciès. Schiste à chlorite immédiatement au contact avec le dyke de lamprophyre inférieur, puis passage rapide à une roche beige, orangée ou rouge pâle selon le contenu en carbonate, hématite et albite. Fracturation en stockwork moyenne à extrême. Minéralisation absente; traces de pyrite fine très localisées.</p> <p>226.65 - 228.26</p> <p>90393: #+HMF?CCCL(PY)vCLvCC; Altération variable; couleur orangé (HM+FK?) rouge, vert foncé (CL+). ≥ 0.5% pyrite fine disséminée.</p> <p>228.26 - 228.87</p> <p>90394: #+HM+CL(PY)vCC; Texture porphyrique observable là où CL+ encore présente en taches centimétriques irrégulières. HM+ hétérogène superposée à CL+. < 0.5% pyrite fine sur intervalle en 2 concentrations centimétriques > 1%.</p> <p>228.87 - 230.31</p> <p>90395: #+HMCL(PY)vCC; Idem, sauf HM diminuée. ≥ 0.5% pyrite fine disséminée.</p> <p>230.43 - 231.71</p> <p>90396: [.]FP HMCLvCC; Traces pyrite disséminée locale.</p>	

MINNOVA INC. DIVISION EXPLORATION

DE (m)	A (m)	TEXTURE ET STRUCTURE	ALTÉRATION	MINÉRALISATION
			<p>231.86 - 232.62</p> <p>90397: [.]FP#HM; Traces pyrite fine disséminée.</p> <p>233.54 - 234.09</p> <p>90398: [.]FP#HMVCC; Traces pyrite fine disséminée.</p> <p>241.52 - 241.68 =>CLCC(HM)</p> <p>Zone de développement intense de la foliation à 65°AC. Couleur brun-rougeâtre due à l'altération chlorite-calcite-hématite. Veinule de calcite millimétrique déplace et pénètre cette zone de déformation</p> <p>241.68 - 242.32</p> <p>90399: #HM(CL)VCCvCL</p> <p>242.32 - 242.80</p> <p>90400: #CL(HM)</p> <p>243.32 - 244.69</p> <p>90401: [.]FP#HM(CL) à CL(HM) répétitif; Traces pyrite fine disséminée.</p> <p>244.94 - 246.49</p> <p>90402: [.]FP#CL(HM)(PY); < 0.5% sur l'intervalle, > 0.5% dernier tiers. Pyrite fine disséminée et avec veinules de calcite.</p> <p>246.49 - 247.89</p> <p>90403: [.]FP CLS1?(HM)(PY)vCC; Traces-0.5% pyrite fine disséminée.</p> <p>248.72 - 250.24</p> <p>90404: ([.]FP)#HMCC+CLVCC; Phénocristaux feldspath fous, comme pour tous les intervalles échantillonnés jusqu'ici. Traces de pyrite fine locale.</p> <p>250.24 - 251.67</p> <p>90405: [.]FP#HMCC+CL(PY)vCL; > traces pyrite fine disséminée.</p> <p>251.67 - 253.08 #HMCCCL(PY)vCLVCC</p>	

MINNOVA INC. DIVISION EXPLORATION

DE (m)	:	TEXTURE ET STRUCTURE	ALTÉRATION	MINÉRALISATION
			<p>90406: Intervalle caractérisé par une fracturation intense et une altération moyenne en hématite, calcite et chlorite. Veinules de chlorite et calcite. > traces pyrite fine disséminée.</p> <p>253.08 - 253.78</p> <p>87911: HMCL(Si) à CL(HM) Texture porphyrique floue au début de l'intervalle, reste ressemble plutôt à un microgabbro. Altération irrégulière. Traces de pyrite fine disséminée avec début de HMCL(Si)</p> <p>253.78 - 254.42</p> <p>90407: [.]FP#*CL(CCHM); Hétérogène, aspect bréchiq.ue.</p> <p>254.42 - 255.21</p> <p>87912: 12Jm[.]FP#SiCLCC(HM) Altération hétérogène, traces de pyrite fine très locale</p> <p>255.21 - 255.51 #++HM+(PY)vCCvCL</p> <p>90408: Intervalle extrêmement fracturé, avec altération intense en hématite. Veinules de calcite et veinules de chlorite semblent reliées. < 0.5% pyrite très fine disséminée.</p> <p>255.51 - 257.13 [.]FP#CLCC(HM)vCLvCC</p> <p>90409: Intervalle à texture porphyrique avec altération moyenne en chlorite et calcite. Faible hématisation. Traces pyrite fine disséminée.</p> <p>257.13 - 258.23</p> <p>90410: Idem: [.]FP typique.</p> <p>258.23 - 258.53 12Jm[.]FP#SiCLCCHM(PY)</p> <p>87913: Fragments rouges, 0.5% pyrite fine à moyenne en concentrations locales</p> <p>258.53 - 258.71 #HM+CC(OZ)(PY)</p> <p>90411: Intervalle caractérisé par une fracturation moyenne, une hématisation intense avec faible ajout de quartz hydrothermal. De 848.80 à = 905.00' (258.72-275.85m), 50% core égrené, 50% massif. ≥ 0.5% pyrite fine disséminée.</p>	

MINNOVA INC. DIVISION EXPLORATION

DE (m)	A (m)	TEXTURE ET STRUCTURE	ALTÉRATION	MINÉRALISATION
279.35	352.35	<p>12D-#Si(HM)</p> <p>SYENITE TRACHYTIQUE GRIS-BRUN A GRISE</p> <p>Syénite trachytique constituée de 70-85% feldspaths blancs à rosés en lathes submillimétriques à millimétriques hypidiomorphes en général. Quelques pourcent de feldspath 4-5mm trapu définissant localement une texture pseudo-porphyrique. Granulométrie et alignement de lathes définissent une</p>	<p>258.71 - 259.78</p> <p>87914: 12Jm[.JFP#SiCL(CCHM)</p> <p>259.78 - 261.21</p> <p>87915: 12Jm[.JFP#SiCLEP(CCHM)vCC</p> <p>261.21 - 261.64 [.JFP=#HM+CC</p> <p>90412: Intervalle montrant une texture porphyrique (feldspath). Mylonite sur = 0.1', reste foliation faible à absente: 45°AC. Altération intense en hématite et moyenne en calcite. Concentration de pyrite moyenne, < 0.5% sur l'intervalle.</p> <p>261.64 - 263.19</p> <p>87916: 12Jm[.JFP#(SiCLEPHMCC) Altération hétérogène</p> <p>271.97 - 272.95</p> <p>90413: [.JFP#HM(CCCL)</p> <p>273.22 - 273.59</p> <p>90414: [.JFP##HM(CCCL); Quelques grains pyrite moyenne.</p> <p>276.03 - 277.43</p> <p>90415: [.JFP#HMCCCL; Traces pyrite fine disséminée.</p> <p>277.43 - 278.04</p> <p>90416: [.JFP#(CCHM(CL)</p> <p>278.04 - 279.35</p> <p>90417: [.JFP#(CCCLHM); Altération faible, couleur gris-brun légèrement rosé.</p>	

MINNOVA INC. DIVISION EXPLORATION

DE (m)	A (m)	TEXTURE ET STRUCTURE	ALTÉRATION	MINÉRALISATION
		<p>texture trachytique à plus localement sériée-porphyrique. ≤ 10% minéraux mafiques très fins entourant (interstitiels) le plagioclase et 5-10% mésostase aphanitique.</p> <p>Foliation développée au contact supérieur dans une zone de mylonite. Ailleurs on note une fracturation extrême (suivant la mylonite) à moyenne (reste de la roche) irrégulière et en stockwork, probablement surtout d'origine hydrothermale mais en partie tectonique.</p> <p>Altération variable. Silicification diffuse et en veinules est caractéristique. Hématite plus importante au contact avec la diorite porphyrique. Faible hématite ± chlorite ± biotite? donne couleur foncée à la roche là où silicification est plus limitée. Plusieurs générations de veinules: vSiHM (rares), vQZ gris, vQZ-CL? gris-noir, vQZ-CC, VCC, vCL.</p> <p>Minéralisation rare à absente. Traces de pyrite fine à moyenne disséminée.</p>	<p>279.35 - 280.26 M17(##++HM+CLCC</p> <p>SYENITE ORTHOMYLONITIQUE FORTEMENT HEMATISEE</p> <p>Zone de contact extrêmement foliée, couleurs rouge vif et vert foncé. Laminations tectoniques millimétriques anastomosées, = 15-20% fragments fortement hématisés lenticulaires millimétriques. Foliation à 85°AC. Protolithe incertain mais HM+ plus caractéristique de la syénite que la diorite encaissante.</p> <p>Altération intense. Hématite du protolithe avec plans de chlorite vert foncé anastomosés. Calcite diffuse. Traces de pyrite fine disséminée.</p> <p>280.26 - 288.55 M15(##++HM+CLCC à #Si+(HM))</p> <p>SYENITE TRACHYTIQUE METASOMATISEE</p> <p>Texture trachytique primaire visible dans quelques intervalles plus faiblement altérés; même protolithe que l'intervalle suivant. Contacts progressifs. Intensité de foliation diminue pour disparaître sur un intervalle centimétrique, faisant place à une fracturation extrême irrégulière définissant des pseudo-fragments "in-situ" subcentimétriques.</p> <p>Altération surtout intense; silicification prédomine, quelques intervalles submétriques intensément hématisés. Diminue graduellement à partir de 946.70' (288.56m). Fractures plaquées chlorite vert foncé.</p> <p>Minéralisation absente en général.</p> <p>280.26 - 281.42</p> <p>90419: ##++HM+CC(SiCL); Traces pyrite très fine disséminée.</p> <p>281.42 - 282.24</p>	

MINNOVA INC. DIVISION EXPLORATION

DE (m)	A (m)	TEXTURE ET STRUCTURE	ALTÉRATION	MINÉRALISATION
		<p>282.24 - 282.76 14N(MG)BOCLECvCC</p> <p>LAMPROPHYRE ULTRAMAFIQUE</p> <p>Dyke de lamprophyre ultramafique de couleur vert foncé, granulométrie fine. Contacts à = 90°AC. Seulement faiblement magnétique et possiblement feldspaths interstitiels. Moins de calcite qu'à l'habitude. Possiblement faiblement folié.</p> <p>Chloritisation faible à moyenne, veinules de calcite millimétriques roses à blanches.</p>	<p>90420: #++Si(CLCCHM)</p> <p>282.82 - 283.13</p> <p>90421: #++HM+Si(CC)</p> <p>283.13 - 284.20</p> <p>90422: #++Si(CCHM)</p> <p>284.20 - 285.41</p> <p>90423: #+HM+Si</p> <p>285.41 - 286.91</p> <p>90424: #+Si+(HM)</p> <p>286.91 - 287.76</p> <p>90425: #+SiHMvSI</p> <p>287.76 - 288.55</p> <p>90426: #+Si(HM)</p> <p>288.55 - 352.35 12D-(MG)#(SI)</p> <p>SYENITE GRIS-BRUN TRACHYTIQUE A PSEUDO-PORPHYRIQUE</p> <p>Syenite faiblement altérée de couleur gris-brun foncé, constituée de = 85% feldspath blanc à rosé xénomorphe à idiomorphe ≤ 4 mm. Hypidiomorphe en général. Alignement de l'axe long des lathes définit texture trachytique. Par endroits phénocristaux moyens à grossiers (< 5%) contrastent avec les lathes moyens pour définir une texture pseudoporphyrrique. Minéraux mafiques entourent et sont interstitiels aux feldspath. Ces minéraux mafiques sont à granulométrie très fine, formant 10-12% de la roche. Aussi = 3-5% mésostase aphanitique. Couleur foncée due aux minéraux mafiques interstitiels ± hématite.</p>	

MINNOVA INC. DIVISION EXPLORATION

DE (m)	A (m)	TEXTURE ET STRUCTURE	ALTÉRATION	MINÉRALISATION
			<p>Texture légèrement floue suggère une faible silicification. Couleur brunâtre pourrait être due à CL+HM mais possiblement aussi biotite très fine interstitielle. Echantillon pour lame mince à 1040.50-1040.80' (317.15-317.24m). De 946.70-983.00' (288.56-299.62m), la silicification est moyenne à forte et la texture trachytique n'est définie que localement. Minéralisation rare.</p> <p>288.55 - 290.05</p> <p>90427: #Si(HM)vQZ gris</p> <p>290.05 - 291.48</p> <p>90428: #+Si(HM)</p> <p>291.48 - 292.91</p> <p>90429: #Si(HM)</p> <p>292.91 - 294.31</p> <p>90430: #Si+(HM)vQZ</p> <p>294.31 - 294.99</p> <p>90431: (#) (Si); Altération faible, une veine de quartz cisailée à ≈ 90°AC, < 6cm. Traces pyrite fine très locale.</p> <p>294.99 - 296.05</p> <p>90432: #+HM(Si)vQZ</p> <p>296.05 - 297.48</p> <p>90433: # (SiHM).</p> <p>297.48 - 299.25</p> <p>90434: # (SiHM); Traces pyrite très fine disséminée.</p> <p>299.25 - 299.62</p> <p>90435: # (=)CL(SiHM)</p> <p>299.98 - 301.39</p> <p>90436: #+(SiCCHM)</p> <p>301.39 - 302.88</p>	

MINNOVA INC. DIVISION EXPLORATION

DE (m)	A (m)	TEXTURE ET STRUCTURE	ALTÉRATION	MINÉRALISATION
			<p>90437: #Si(CCHM)vQz 302.88 - 303.58</p> <p>90438: # (SiCCHM) 303.58 - 303.76</p> <p>90439: #HM(Si) 304.25 - 304.86</p> <p>90440: # 10% veinules quartz centimétriques blanches à 10°AC (une veinule épaisse). Traces de pyrite avec chlorite et veines de quartz. 308.95 - 309.46</p> <p>90441: #+Si+(HMCC)vQZ; Silicification diffuse, en veine # à 90°AC centimétrique et # 10°AC centimétrique à subcentimétrique. Veines de quartz gris. 310.71 - 311.35</p> <p>90442: #Si(HM); Traces pyrite fine très locale. 311.35 - 312.54</p> <p>90443: #Si; Veinules en stockwork gris-brun foncé. CL-HM ou B0? 314.10 - 315.56</p> <p>90444: #Si (HM) local 319.83 - 321.38 M15#Si+</p> <p>Syénite métasomatisée et intensément fracturée. Silicification intense oblitère la texture trachytique du protolithe et efface la minéralogie mafique qui constitue moins de 2% de la roche. Couleur gris-beige orangé. 321.38 - 322.48</p> <p>90446: #+Si+ 322.78 - 324.28</p> <p>90447: #Si à Si+ (HM)vQZ gris 324.28 - 325.71</p>	

MINNOVA INC. DIVISION EXPLORATION

DE (m)	A (m)	TEXTURE ET STRUCTURE	ALTÉRATION	MINÉRALISATION
			<p>90448: #Si+(HM)VQZvSi?HM</p> <p>325.71 - 327.17 #Si(HM)VQZvSi?HM</p> <p>90449: Intervalle moyennement fracturé avec altération moyenne en silice, faible en hématite. Veine de quartz et veinules de silice-hématite.</p> <p>327.17 - 328.54 #Si+(HM)VQZvCL</p> <p>90450: Intervalle moyennement fracturé et intensément silicifié. Veinules chlorite en fractures tabulaires continues = 0°AC coupent veinules quartz gris en stockwork ± diffuses.</p> <p>328.54 - 329.85 #Si+(HM)</p> <p>90451: Intervalle moyennement fracturé avec silicification intense et faible hématisation.</p> <p>329.85 - 331.29</p> <p>87917: 120-SivQZ <5% veinules de quartz millimétriques gris-bleuté Traces de pyrite très fine disséminée</p> <p>334.88 - 335.65</p> <p>90452: #Si+(HM)vQZ; Veinules de quartz gris submillimétriques ± floues; espacement subcentimétrique. Traces pyrite fine disséminée locale.</p> <p>335.65 - 337.11 #Si+(HM)vQZ</p> <p>90453: Idem; Veinules chlorite coupent veinules quartz blanc subcentimétriques.</p> <p>337.11 - 338.15</p> <p>90454: #Si(HM)vQZvCLvCCQZ; Veinules en stockwork assez dense; Traces de pyrite.</p> <p>338.15 - 339.43</p> <p>90455: #Si(HM)vQZvCC; Veinules calcite irrégulières submillimétriques cardives, recoupent veinules quartz gris millimétriques à submillimétriques. Traces pyrite.</p> <p>339.43 - 340.83</p>	

MINNOVA INC. DIVISION EXPLORATION

DE (m)	A (m)	TEXTURE ET STRUCTURE	ALTÉRATION	MINÉRALISATION
			<p>87918: 12D(MG)-(SiHM)vQZ Faiblement altéré, 2-4% veinules de quartz millimétriques gris-bleuté</p> <p>340.83 - 342.84 #Si+(HM)</p> <p>90456: Intervalle moyennement fracturé et fortement silicifié avec faible hématisation. Fracturation en partie tectonique? Fractures stylolitiques à ≈ 35°AC subperpendiculaires à l'alignement de feldspath définissant une texture trachytique. Espacement subcentimétrique des fractures.</p> <p>≥ traces pyrite très fine disséminées.</p> <p>342.84 - 343.20</p> <p>87919: 12D(MG)-(Si) Relativement frais, faible silicification</p> <p>343.20 - 344.39 #+Si+vQZvCL</p> <p>90457: Intervalle intensément fracturé et silicifié avec veinules de quartz et veinules de chlorite. Zones de microfractures irrégulières vert pâle très denses, submillimétriques à espacement submillimétrique: proto-foliation? Zones centimétriques.</p> <p>344.39 - 345.92 #+Si+vQZ</p> <p>90458: Intervalle fortement fracturé et silicifié. Veinules multi-phase.</p> <p>345.92 - 346.59</p> <p>87920: 12D(MG)-(Si)vQZ 5-10% veinules de quartz millimétriques gris-bleuté, intervalle cm hématisé</p> <p>346.59 - 347.08</p> <p>90459: #Si+vQZ; Veinules quartz gris millimétriques à centimétriques. Traces pyrite fine disséminée.</p> <p>347.81 - 348.29</p> <p>90460: #SiVQZmm; Altération hétérogène. Surtout (Si) à Si diffuse, veines de quartz millimétriques gris moyen à foncé. Une zone centimétrique à CL?(CC) vert-blanchâtre irrégulière. Un agrégat de pyrite fine dans une veinule associée</p>	

MINNOVA INC. DIVISION EXPLORATION

DE (m)	A (m)	TEXTURE ET STRUCTURE	ALTÉRATION	MINÉRALISATION
	352.35	FIN DU TROU	<p>à zone CL(CC).</p> <p>348.29 - 349.85</p> <p>87921: 12D(MG)-[.]FPSiv02 Alternance régulière de bandes blanchâtres et grisâtres centimétriques @ 70°AC. Litage magmatique modifié par altération? Texture primaire plus nette dans bande foncée, mais calcite et magnétite sont en concentration identique.</p> <p>349.85 - 350.18 #Si+, 15% vQZDM?</p> <p>90461: Intervalle moyennement fracturé et intensément silicifié avec veinules de quartz-carbonates de fer gris-mauve (une petite veine à contacts flous).</p> <p>350.18 - 351.71</p> <p>87922: 12D(MG)-[.]FPSiv02 Traces de pyrite</p> <p>352.35m (1156'): FIN DU TROU</p>	

MINNOVA INC. DIVISION EXPLORATION

ECHANTILLON	DE (m)	A (m)	LONGUEUR (m)	Au(OP1) ppb	Au(OP2) ppb	Au(R-1) ppb	Au(R-2) ppb	Au(MOY) ppb	Ag ppm	As(CH) ppm	Sb(CH) ppm	Mo(CH) ppm	Pb(CH) ppm	Cu(OP) ppm	Cu(CH) ppm	Cu(MOY) ppm	Zn(OP) ppm	Zn(CH) ppm	Zn(MOY) ppm
90354	28.38	28.71	0.33	tr.				tr.						72		72	72		72
90355	28.71	29.35	0.64	tr.				tr.						92		92	90		90
90356	29.35	29.93	0.58	tr.				tr.						137		137	110		110
90357	29.93	30.78	0.85	tr.				tr.						72		72	146		146
90358	30.91	32.00	1.09	tr.				tr.						122		122	135		135
90359	38.25	39.59	1.34	tr.				tr.						120		120	154		154
90360	44.14	44.96	0.82	tr.				tr.						117		117	192		192
90361	50.26	50.75	0.49	tr.				tr.						180		180	143		143
90362	52.18	53.64	1.46	tr.				tr.						222		222	160		160
90363	60.05	60.53	0.48	tr.				tr.						70		70	183		183
90364	73.43	73.76	0.33	tr.				tr.						112		112	122		122
90365	73.76	74.13	0.37	tr.				tr.						130		130	80		80
90366	86.38	86.84	0.46	tr.				tr.						107		107	95		95
90367	88.79	89.67	0.88	tr.				tr.						101		101	143		143
90368	89.67	91.01	1.34	tr.				tr.						120		120	184		184
90369	91.01	91.47	0.46	tr.				tr.						454		454	132		132
90370	91.53	92.96	1.43	tr.				tr.						54		54	99		99
90371	96.59	97.99	1.40	tr.				tr.						77		77	92		92
87908	97.99	98.69	0.70	tr.				tr.						65		65	86		86
90372	98.69	99.03	0.34	377				377						46		46	90		90
90373	99.03	99.91	0.88	tr.				tr.						54		54	92		92
90374	99.91	100.83	0.92	tr.				tr.						51		51	87		87
90375	100.83	101.25	0.42	tr.				tr.						186		186	99		99
90376	102.26	102.53	0.27	tr.				tr.						81		81	71		71
87910	102.53	103.11	0.58	tr.				tr.						60		60	104		104
90376	103.11	103.91	0.80	377				377						44		44	74		74
90377	103.97	104.64	0.67	tr.				tr.						67		67	97		97
90378	118.72	118.99	0.27	tr.				tr.						62		62	117		117
90379	132.34	133.41	1.07	tr.				tr.						40		40	364		364
90380	138.84	139.17	0.33	tr.				tr.						37		37	145		145
90381	178.31	178.61	0.30	tr.				tr.						60		60	66		66
90382	201.93	203.33	1.40	tr.				tr.						51		51	67		67
90383	208.33	208.97	0.64	tr.				tr.						72		72	47		47
90384	208.97	209.49	0.52	tr.				tr.						50		50	52		52
90385	210.92	211.71	0.79	tr.				tr.						67		67	57		57
90386	214.34	214.61	0.27	tr.				tr.						83		83	78		78
90387	214.61	215.74	1.13	tr.				tr.						57		57	75		75
90388	216.96	218.82	1.86	tr.				tr.						53		53	69		69
90389	218.82	219.64	0.82	tr.				tr.						100		100	424		424
90390	224.03	224.61	0.58	tr.				tr.						72		72	44		44
90391	224.61	226.16	1.55	tr.				tr.						60		60	64		64
90392	226.16	226.65	0.49	tr.				tr.						52		52	66		66
90393	226.65	228.26	1.61	tr.				tr.						59		59	50		50
90394	228.26	228.87	0.61	tr.				tr.						170		170	47		47
90395	228.87	230.31	1.44	tr.				tr.						65		65	41		41
90396	230.43	231.71	1.28	tr.				tr.						84		84	47		47
90397	231.86	232.62	0.76	tr.				tr.						130		130	51		51
90398	233.54	234.09	0.55	tr.				tr.						69		69	44		44
90399	241.68	242.32	0.64	tr.				tr.						70		70	33		33
90400	242.32	242.80	0.48	tr.				tr.						91		91	37		37
90401	243.32	244.69	1.37	tr.				tr.						53		53	57		57
90402	244.94	246.49	1.55	tr.				tr.						41		41	47		47

MIRNOVA INC. DIVISION EXPLORATION

ECHANTILLON	DE (m)	A (m)	LONGUEUR (m)	Au(OP1) ppb	Au(OP2) ppb	Au(R-1) ppb	Au(R-2) ppb	Au(MOY) ppb	Ag ppm	As(CH) ppm	Sb(CH) ppm	Mo(CH) ppm	Pb(CH) ppm	Cu(OP) ppm	Cu(CH) ppm	Cu(MOY) ppm	Zn(OP) ppm	Zn(CH) ppm	Zn(MOY) ppm
90403	246.49	247.89	1.40	tr.				tr.						54		54	46		46
90404	248.72	250.24	1.52	tr.				tr.						76		76	66		66
90405	250.24	251.67	1.43	tr.				tr.						32		32	61		61
90406	251.67	253.08	1.41	274				274						40		40	54		54
87911	253.08	253.78	0.70	tr.				tr.						49		49	57		57
90407	253.78	254.42	0.64	tr.				tr.						48		48	64		64
87912	254.42	255.21	0.79	tr.				tr.						20		20	50		50
90408	255.21	255.51	0.30	514				514						33		33	47		47
90409	255.51	257.13	1.62	240				240						58		58	50		50
90410	257.13	258.23	1.10	tr.				tr.						43		43	46		46
87913	258.23	258.53	0.30	1714		2170	2100	1995						49		49	40		40
90411	258.53	258.71	0.18	377				377						36		36	50		50
87914	258.71	259.78	1.07	tr.				tr.						67		67	47		47
87915	259.78	261.21	1.43	tr.				tr.						42		42	47		47
90412	261.21	261.64	0.43	1029				1029						40		40	57		57
87916	261.64	263.19	1.55	tr.				tr.						50		50	67		67
90413	271.97	272.95	0.98	tr.				tr.						59		59	55		55
90414	273.22	273.59	0.37	tr.				tr.						156		156	79		79
90415	276.03	277.43	1.40	tr.				tr.						64		64	64		64
90416	277.43	278.04	0.61	tr.				tr.						46		46	53		53
90417	278.04	279.35	1.31	tr.				tr.						42		42	62		62
90418	279.35	280.26	0.91	240				240						39		39	48		48
90419	280.26	281.42	1.16	tr.				tr.						32		32	75		75
90420	281.42	282.24	0.82	tr.				tr.						36		36	74		74
90421	282.82	283.13	0.31	274				274						22		22	48		48
90422	283.13	284.20	1.07	tr.				tr.						20		20	59		59
90423	284.20	285.41	1.21	343				343						19		19	60		60
90424	285.41	286.91	1.50	tr.				tr.						22		22	54		54
90425	286.91	287.76	0.85	tr.				tr.						24		24	62		62
90426	287.76	288.55	0.79	tr.				tr.						20		20	62		62
90427	288.55	290.05	1.50	tr.				tr.						23		23	50		50
90428	290.05	291.48	1.43	tr.				tr.						25		25	60		60
90429	291.48	292.91	1.43	tr.				tr.						24		24	51		51
90430	292.91	294.31	1.40	tr.				tr.						22		22	69		69
90431	294.31	294.99	0.68	tr.				tr.						22		22	59		59
90432	294.99	296.05	1.06	tr.				tr.						31		31	84		84
90433	296.05	297.48	1.43	tr.				tr.						19		19	70		70
90434	297.48	299.25	1.77	tr.				tr.						20		20	60		60
90435	299.25	299.62	0.37	tr.				tr.						18		18	104		104
90436	299.98	301.20	1.22	tr.				tr.						30		30	69		69
90437	301.20	302.88	1.68	tr.				tr.						26		26	66		66
90438	302.88	303.58	0.70	tr.				tr.						24		24	54		54
90439	303.58	303.76	0.18	tr.				tr.						29		29	74		74
90440	304.25	304.86	0.61	tr.				tr.						24		24	60		60
90441	308.95	309.46	0.51	tr.				tr.						27		27	54		54
90442	310.71	311.35	0.64	tr.				tr.						20		20	42		42
90443	311.35	312.54	1.19	tr.				tr.						23		23	40		40
90444	314.10	315.56	1.46	tr.				tr.						22		22	53		53
90445	319.83	321.38	1.55	tr.				tr.						24		24	48		48
90446	321.38	322.48	1.10	tr.				tr.						22		22	50		50
90447	322.78	324.28	1.50	tr.				tr.						14		14	48		48
90448	324.28	325.71	1.43	tr.				tr.						20		20	48		48

MINNOVA INC. DIVISION EXPLORATION

ECHANTILLON	DE (m)	A (m)	LONGUEUR (m)	Au(OP1) ppb	Au(OP2) ppb	Au(R-1) ppb	Au(R-2) ppb	Au(MOY) ppb	Ag ppm	As(CH) ppm	Sb(CH) ppm	Mo(CH) ppm	Pb(CH) ppb	Cu(OP) ppm	Cu(CH) ppm	Cu(MOY) ppm	Zn(OP) ppm	Zn(CH) ppm	Zn(MOY) ppm
90449	325.71	327.17	1.46	274				274						27		27	63		63
90450	327.17	328.54	1.37	343				343						16		16	46		46
90451	328.54	329.85	1.31	240				240						18		18	46		46
87917	329.85	331.29	1.44	tr.				tr.						31		31	52		52
90452	334.88	335.65	0.77	tr.				tr.						19		19	39		39
90453	335.65	337.11	1.46	1749		570	400	906						21		21	42		42
90454	337.11	338.15	1.04	tr.				tr.						38		38	61		61
90455	338.15	339.43	1.28	tr.				tr.						15		15	52		52
87918	339.43	340.83	1.40	tr.				tr.						20		20	52		52
90456	340.83	342.84	2.01	240				240						20		20	63		63
87919	342.84	343.20	0.36	tr.				tr.						22		22	44		44
90457	343.20	344.29	1.19	377				377						21		21	48		48
90458	344.29	345.92	1.53	206				206						14		14	49		49
87920	345.92	346.59	0.67	tr.				tr.						19		19	53		53
90459	346.59	347.08	0.49	tr.				tr.						23		23	51		51
90460	347.08	348.29	0.48	tr.				tr.						14		14	45		45
87921	348.29	349.85	1.56	tr.				tr.						21		21	46		46
90461	349.85	350.18	0.33	549				549						101		101	46		46
87922	350.18	351.71	1.53	tr.				tr.						25		25	50		50

MINNOVA INC. DIVISION EXPLORATION

COMPAGNIE : MINNOVA INC.	DIVISION EXPLORATION	PROJET : BOYVINET	SONDAGE : BV-23	IMPRIMÉ LE : 15 avril 1992
CANTON : BOYVINET	RANG : -	LOT : -	CLAIM : 383712-1	SNRC : 32G/12
			ZONE : B1	NO. RÉFÉRENCE :

<u>COORDONNÉES AU COLLET</u>	GRILLE #1 LIGNE : 32+00E STATION : 30+50M ÉLEVATION : 21.340	GRILLE #2 LIGNE : STATION : ÉLEVATION : 21.340	GRILLE ARPENTÉE LATITUDE : 929.640 LONGITUDE : 975.360 ÉLEVATION : 21.340	AZIMUT : 152° 0' PLONGÉE : -50° 0' PROFONDEUR DU COLLET : 0.00 LONGUEUR : 385.57m.
------------------------------	---	---	--	---

GÉOLOGUE : F.SPEIDEL	REMARQUES :	DATE DU JOURNAL : 11 avril 1990
CONTRACTEUR : FORAGES BELAND		DATE D'ARPENTAGE :
		DATE DE CIMENTAGE :
BUT : Tester continuité est de la zone minéralisée BV-09		FORAGE DÉBUTÉ LE : 05 avril 1990
CIBLE :		TERMINÉ LE : 19 avril 1990
		TUBAGE LAISSÉ : Oui

DONNÉES D'ORIENTATION

Longueur	Azîmut	Plongée
0.00	152 0'	-50 0'
64.31	151 0'	-49 0'
121.92	*155 30'	-44 0'
192.33	161 0'	-44 0'
243.84	*158 35'	-43 0'
299.01	156 0'	-41 0'
384.05	165 0'	-37 0'

(*) azîmut estimé par le programme

MINNOVA INC. DIVISION EXPLORATION

DE (m)	A (m)	TEXTURE ET STRUCTURE	ALTÉRATION	MINÉRALISATION
0.00	46.94	MT Forte concentration de boulders, perte de circulation d'eau, forage difficile.		
46.94	94.37	<p>I3AMGLX+CL+</p> <p>MICROGABBRO FORTEMENT FOLIE A LEUCOXENE OU MAGNETITE</p> <p>Intrusion mafique de couleur vert foncé. Intervalles plus faiblement altérés préservent la texture intrusive et sont constitués d'environ 40% plagioclase saussuritisé (vert pâle à moyen), 50% minéraux mafiques chloritisés allongés et ≤ 10% cristaux submillimétriques de magnétite. Leucoxène remplace la magnétite dans les intervalles plus fortement foliés et altérés qui prédominent dans cette unité.</p> <p>Intervalle plus frais avec foliation moyenne de 213.10 à 244.10' (64.95-74.40m). La foliation est moyenne à extrême sur toute l'unité, il n'y a nulle part de texture intrusive fraîche. La foliation est définie par l'alignement de plans CL et de LX beige-blanc allongés. Elle est anastomosée, pénétrative et parfois crénelée avec plusieurs foliations secondaires irrégulières distribuées sur des intervalles submétriques. Foliation principale 0-45°AC. M18GP+ et M4SR+, on pourrait interpréter des textures sédimentaires reprises par la déformation: bandes de granulométrie et compositions différentes et style d'altération semblable à ce qu'on observe dans les roches sédimentaires de la zone de déformation Lesueur ou encore Opawica. Toutefois, des textures définitivement sédimentaires ne sont pas observées. La foliation est généralement intense, pénétrative avec septa submillimétrique à espacement millimétrique à submillimétrique. Foliation surtout régulière, non anastomosée, planaire avec localement microfractures la déplaçant, plis, crénelations et kinkbands d'échelle centimétrique ou moins. Foliation principale à ≈ 50-70°AC, localement à plus faible angle. Foliation définie par lamination compositionnelle et texturale, plans séricite et aussi plans leucoxène très fins (implique protolithe gabbroïque en général?).</p> <p>Altération sous forme de saussuritisations du plagioclase et chloritisation des mafiques dans les parties plus fraîches, chloritisation pénétrative moyenne à intense dans les intervalles plus fortement foliés. Zones décimétriques avec forte concentration de veinules de calcite subparallèles à la foliation, intervalles bréchiques avec forte concentration de veinules CC-DM possiblement corrélable avec le schiste à chlorite-AK bréchique de BV-22. Possiblement faible silicification locale.</p> <p>Traces de pyrite fine disséminée généralement en agrégats millimétriques.</p>	<p>48.98 - 49.74</p> <p>90462: LX+CL+vCC; ≤ 10% veinules calcite reprises par la foliation principale.</p> <p>49.83 - 50.17</p> <p>90463: LX+CL+vCC; Idem; Foliation subparallèle à AC avec plans de crénelation à ≈ 90°AC, espacement centimétrique.</p>	

MINNOVA INC. DIVISION EXPLORATION

DE (m)	A (m)	TEXTURE ET STRUCTURE	ALTÉRATION	MINÉRALISATION
			<p>53.10 - 53.77</p> <p>90464: MGLX=>CL+CC(PY); Chlorite forte, calcite diffuse moyenne ± silice? Traces pyrite disséminée.</p> <p>53.77 - 54.41</p> <p>90465: MGLX=>CL+(PY)vQZvCC; Veinules de quartz subcentimétriques irrégulières subparallèles à AC coupées par veinules de calcite submillimétriques subperpendiculaires à AC. Traces de pyrite fine à moyenne en agrégats disséminés.</p> <p>74.40 - 74.98</p> <p>90466: LX=>CL+CC(PY)vCC;</p> <p>79.34 - 80.38 ==>CL+CCvCC</p> <p>Zone de déformation avec foliation principale subparallèle à AC et foliations secondaires irrégulières et variables (foliations de crénulation) subperpendiculaires, ECC etc?</p> <p>84.83 - 86.65</p> <p>90467: MGLX=CL+CC(Si?)(PY); Traces de pyrite disséminée en agrégats.</p> <p>87.48 - 88.70</p> <p>90468: LXNG==>DMCCvDMCCQZ; Roche lessivée vert moyen à gris-vert pâle. DM-CC diffuse et veinules/zones DM-CC, aussi veinules CC-QZ-DM subcentimétriques.</p> <p>90.16 - 90.59</p> <p>90469: ==>DM?(CLCC)(PY); Couleur gris-beige: dolomie? Traces pyrite fine disséminée.</p> <p>90.59 - 90.77</p> <p>90470: #>CC+CLPY+vQZ; Calcite forte, chlorite moyenne et = 0.1' gouge chloritique. Quelques zones et "fragments", ≤ 1.5cm pyrite fine massive.</p> <p>90.77 - 91.56</p>	

MINNOVA INC. DIVISION EXPLORATION

DE (m)	A (m)	TEXTURE ET STRUCTURE	ALTÉRATION	MINÉRALISATION
94.37	177.30	<p>M4=+SR+DMCCCL(Si)vCC</p> <p>ZONE DE DEFORMATION LAC SHORT?</p> <p>Roche gris-vert pâle à gris-beige à granulométrie fine et lamination compositionnelle tectonique. Protolithe incertain, M18GP+ formant le contact supérieur. Début du M4 contient quelques % leucoxène très fin, ce qui suggère qu'il s'agit du même microgabbro que celui de l'éponte supérieure de la ZDLS mais ailleurs, particulièrement les intervalles de schiste graphitique, on pourrait interpréter un protolithe épicrolastique et/ou pyroclastique.</p> <p>Altération variable. Surtout plans de séricite, lorsque très dense donne lieu à séricitisation diffuse, carbonatation (DM et/ou CC, variable) et silicification locale. Chlorite moyenne à séricite faible. Endroits SR+, DM+. Variable à l'échelle décimétrique à submétrique.</p> <p>Traces de pyrite fine disséminée.</p> <p>94.37 - 95.43 M18=++GP++PY+VCCOZ</p> <p>BRECHE TECTONIQUE GRAPHITIQUE ET PYRITEUSE</p> <p>Brèche tectonique graphitique à structure chaotique avec fragments et bandes subcentimétriques à centimétriques de pyrite fine massive. Protolithe inconnu. Structure chaotique due à la différence de compétence entre la roche graphitique et les veines de calcite-quartz.</p> <p>Graphite intense à extrême (primaire ou secondaire?). Veines et veinules calcite-quartz déformées (plans foliation, fracturation, stylolites).</p> <p>Pyrite très fine massive en lamines millimétriques à centimétriques fragmentées et boudinées.</p>	<p>90471: M18LX++DM(CCCL); Aspect brèche tectonique définie par zones ou veinules subcentimétriques carbonatées fracturées, boudinées et fragmentées, dans "matrice" CL ± LX blanc-beige très fin/allongé. Foliation extrême, plans crénulation.</p> <p>91.56 - 92.29</p> <p>90472: LX+++CL(CC)</p> <p>93.18 - 94.06</p> <p>90496: LX++CLVDMQZCCvCC;</p>	<p>94.37 - 95.04</p> <p>90473: M18+++GP++PY++VCCOZ; 15% VCCOZ. < 10% pyrite fine massive.</p> <p>95.04 - 95.43</p> <p>90474: 50% VQZCC; ≤ 2% pyrite fine massive en lamines et</p>

MINNOVA INC. DIVISION EXPLORATION

DE (m)	A (m)	TEXTURE ET STRUCTURE	ALTÉRATION	MINÉRALISATION
		<p>101.59 - 102.41 M18=+GPPY BRECHE TECTONIQUE GRAPHITIQUE ET PYRITEUSE</p> <p>110.37 - 115.46 M18=++GP++VCCQZ ± M4=++DM+SR(GPPY)VQZCC BRECHE TECTONIQUE GRAPHITIQUE ± SCHISTE A DOLOMIE-SERICITE</p> <p>Zone de brèche tectonique graphitique avec transitions à schiste à séricite. Ici, il semble assez clair que la séricite remplace le graphite. Intervalles à graphite brillant. Foliation chaotique, plus régulière dans M4SR.</p> <p>Altération variable. GP à GP++ à GPSR à DM+SR(GP). Veines de CCQZ et veinules QZ-CC déformées.</p> <p>Fragments ± déformés de pyrite fine massive. Subcentimétriques en général.</p>	<p>100.49 - 100.80 90475: M4=++SR+VQZAK</p> <p>100.80 - 101.22 90476: M18LX=+DM+(SR)(PY); Foliation irrégulière anastomosée définie par plans SRLX submillimétriques à espacement millimétrique. DM+ à AK en lamines millimétriques fragmentées/boudinées forment > 80% de l'intervalle. Traces de pyrite fine disséminée.</p> <p>101.22 - 101.59 M18=+SRGPVQZ 90477: Passage ± graduel de M18SR à M18GP. 25% veinules de quartz subcentimétriques à centimétriques blanches irrégulières.</p> <p>106.31 - 107.08 90478: M4LX=+DM+CC(S1?SR); Zone gris-beige pâle. Noter front d'altération irrégulier et net sur derniers 15 cm, remplacement total de la roche par dolomie fine.</p> <p>110.92 - 111.13 90479: VCCQZ, stylolites GP.</p> <p>111.25 - 111.89 90480: VCCQZ avec inclusions de l'encaissant SR+ HM</p>	<p>fragments millimétriques.</p>

MINNOVA INC. DIVISION EXPLORATION

DE (m)	A (m)	TEXTURE ET STRUCTURE	ALTÉRATION	MINÉRALISATION
			<p>fortement foliés.</p> <p>112.75 - 113.11 VQZ(SR) avec vCC</p> <p>90481: Veinules calcite en stockwork au travers d'une veine de quartz.</p> <p>118.51 - 118.87 M17?++GPvCC</p> <p>90483: Plusieurs foliations chaotiques, foliation principale plissotée. Protolithe?</p> <p>123.90 - 124.18</p> <p>90484: M4==SR+CCDM(PY)vCC; Yeux de quartz ou AK secondaires gris 1mm. Traces pyrite fine disséminée.</p> <p>128.63 - 130.27</p> <p>90485: M4==DMSRGP(PY); Lames millimétriques à subcentimétriques de différents faciès. Traces de pyrite fine disséminée.</p> <p>130.27 - 131.49</p> <p>90486: M4==SR+DM;</p> <p>131.49 - 132.10</p> <p>90487: M4==SR+DMvCC;</p> <p>134.75 - 135.73</p> <p>90488: M4==SRDH(PY)vCC; Altération hétérogène, zones centimétriques mal définies. Traces pyrite fine disséminée.</p> <p>141.15 - 142.04</p> <p>90489: M4==DM(SR);</p> <p>144.14 - 144.51</p> <p>90490: M4==DM+Si(SRCC);</p>	<p>113.11 - 114.51 M4==DM+SR(GP)PY+</p> <p>90482: Fin de l'intervalle progresse vers M4GP. > 2% pyrite très fine disséminée ± fragments pyrite très fine massive subcentimétrique.</p>

MINNOVA INC. DIVISION EXPLORATION

DE (m)	A (m)	TEXTURE ET STRUCTURE	ALTÉRATION	MINÉRALISATION
			<p>151.82 - 152.67</p> <p>90491: M4LX++CL(SR)VCC; Protolithe de microgabbro à leucoxènes, comme plusieurs intervalles de # 470.00 à # 500.00' (143.26-152.40m). Veinules de calcite millimétriques, espacement subcentimétrique à millimétrique, plissoté comme foliation. Très régulier.</p> <p>153.77 - 155.11</p> <p>90492: M4++DM(SR); Plans séricite submillimétriques jaunâtres à espacement millimétrique à subcentimétrique anastomosés en détail.</p> <p>155.54 - 156.03</p> <p>90493: M4++DM(SRCLGP)PY; Foliation principale à 65°AC mais celle-ci crénule une foliation précoce à # -10°AC? = 1% pyrite moyenne dans deux intervalles centimétriques (CLGP). Pyrite disséminée.</p> <p>158.22 - 158.40</p> <p>90494: M4++DMCL(JCC); # > 50% yeux calcite lenticulaires ≤ 1mm. 1% pyrite fine à moyenne disséminée interstitielle.</p> <p>158.40 - 159.99</p> <p>90495: M4++SR+DM(GP)VCC; Foliation à # -70°AC, millimétrique à submillimétrique à espacement subcentimétrique, crénule foliation précoce séricite submillimétrique à espacement submillimétrique à 0-90°/AC. Aggrégats calcite remplacent/englobent et postdatent donc 2 foliations.</p> <p>159.99 - 160.81</p> <p>90497: M4++SR+DMVCC; Même deux foliations. Idem.</p> <p>163.92 - 165.05</p> <p>90498: M4++SR(DHCL)VCC; Foliation principale plissée échelle décimétrique, AC 0-80°.</p> <p>165.51 - 166.02</p> <p>90499: Idem.</p> <p>169.87 - 170.26</p>	

MINNOVA INC. DIVISION EXPLORATION

DE (m)	A (m)	TEXTURE ET STRUCTURE	ALTÉRATION	MINÉRALISATION
		174.19 - 177.30 14NMGLJPKOV7BOCC+*	<p>90500: M4+=CL(SRCC)vCCvQZ; Traces pyrite locale. 171.45 - 172.52</p> <p>90501: M4/M7B+=CL(SR)vQZCC; # 10% vQZCC millimétriques foliées. 173.28 - 173.77</p> <p>90502: M18+=SRCC(CL) 173.77 - 174.19</p> <p>90503: M4+=SRCLCC à CL+; Encaissant du I4M; CL augmente vers le contact, gouge CL à 70°C. Veinules de calcite rose.</p>	
		DYKE DE LAMPROPHYRE ULTRAMAFIQUE FOLIE		
		<p>Dyke de lamprophyre ultramafique avec < 5% phénocristaux mafiques (pyroxène?) hypidiomorphes millimétriques, > 15% biotite phanéritique dans une mésostase fine de BO, CC, MG, OV? Intervalles bréchiques et foliés au centre et au contact inférieur à 70°C.</p> <p>Chloritisation faible. Veinules calcite rose submillimétriques à sudcentimétriques.</p>		
177.30	227.78	12J7m[.]FPWSiCL(NMCCEP) ± 13A?	177.30 - 182.94 M15+=#HMDMSRSi	
		MELANODIORITE PORPHYRIQUE A FELDSPATH	ROCHE METASOMATIQUE FOLIEE	
		<p>Roche mafique de couleur variant de rouge à orangé, beige, vert pâle à vert foncé selon le faciès et l'intensité d'altération. Les intervalles les plus frais (eg autour de 701') sont constitués d'environ 5-7% feldspath hypidiomorphe à idiomorphe en lattes ou trapus submillimétrique à millimétrique dans une mésostase fine vert foncé constituée de plagioclase saussuritisé et minéraux mafiques chloritisés en proportions # égales, possiblement quelques % biotite foncée fine. Les phénocristaux de feldspath deviennent flous pour disparaître totalement avec l'accroissement de l'altération; certains intervalles sont possiblement à protolithe non porphyrique. Plusieurs injections et dykes de lamprophyre. Foliation généralement absente; fracturation irrégulière (hydrothermale?) variant de moyenne à intense.</p> <p>Altération hétérogène. Faciès CL(CCEP) pour le protolithe peu altéré, zones EP+, DM+HM, HM+ etc. Altération hétérogène à toutes les échelles. Veinules de chlorite vert foncé remplissant fractures, veinules de calcite blanches et roses idem. Généralement submillimétriques à millimétriques.</p>		

MINNOVA INC. DIVISION EXPLORATION

DE (n.)	A (m)	TEXTURE ET STRUCTURE	ALTÉRATION	MINÉRALISATION
			<p>Intervalle à coloration variant de beige (soit DM+) à rouge (donc HM). Protolithe non reconnaissable mais le contact inférieur est gradationnel et là le protolithe est une intrusion mafique à granulométrie fine où les phénocristaux de feldspath apparaissent dans les intervalles peu altérés. La roche est intensément foliée à $\approx 60^{\circ}\text{AC}$. La foliation est définie par une lamination tectonique compositionnelle, plans SR(\pmFC?), plans CL, plans DMH etc. Foliation pervasive, pénétrative mais non planaire, irrégulière et anastomosée. Fracturation moyenne à intense irrégulière (hydrothermale?) semble superposée à la foliation. Remplie de chlorite ou calcite. Fracturation augmente, foliation diminue vers 600.00'.</p> <p>Si+CLDM à DHSi à DMH(SRSi) à HMDNCL à (HMCL) du contact supérieur à inférieur. Probablement K-feldspath avec HM.</p> <p>Traces de pyrite fine, surtout en agrégats millimétriques et veinules submillimétriques locales.</p> <p>177.30 - 177.52</p> <p>90504: #++CC+SRCLRB; Encaissent du lamprophyre. Foliation et fracturation dues à la différence de compétence.</p> <p>177.52 - 178.43</p> <p>90505: ++#+Si+DM(CLHM)</p> <p>178.43 - 179.04</p> <p>90506: #DM+Si(HMSR)vCL; Séricite injecte et fracture roche hématisée.</p> <p>179.04 - 179.77</p> <p>90507: ++#DMHMSR(SiCL); Traces pyrite en quelques agrégats.</p> <p>179.77 - 180.11</p> <p>90508: H17?++DM+(SiHM)vCC;</p> <p>180.11 - 181.17</p> <p>90509: ++#HM(CDMCCSR); Traces pyrite fine disséminée et agrégats.</p> <p>181.17 - 182.03</p>	

MINNOVA INC. DIVISION EXPLORATION

DE (m)	A (m)	TEXTURE ET STRUCTURE	ALTÉRATION	MINÉRALISATION
			<p>90510: Idem. 182.03 - 182.45</p> <p>90511: (MG)=#CL(HMCC); Traces pyrite fine disséminée. 182.45 - 182.94</p> <p>90512: =#MSi(CLHM)vCC; 182.94 - 184.46</p> <p>90513: #CLSi(CCHM)vCC; Traces pyrite fine disséminée. 184.46 - 185.38</p> <p>90514: #(EPHMSiCL)vCC; Traces pyrite fine disséminée. 185.75 - 186.78</p> <p>90515: #CLCC(HM): Couleur rouge-vert très foncé. 186.78 - 188.12</p> <p>90516: Idem. 188.12 - 189.49</p> <p>90517: Idem. 191.11 - 191.72</p> <p>90518: =#Si(HMCL)vCC; 191.72 - 192.94</p> <p>90519: #*SiEP(HMCL)vCC; Progresse vers texture bréchique. Couleur vert pâle, rel. homogène. ≥ traces pyrite fine disséminée. 192.94 - 194.31</p> <p>90520: /H\#SiCL(HM)vCC; Brèche hydrothermale de type "in-situ" constituée de > 85% fragments millimétriques à centimétriques angulaires * aphanitiques vert rosé pâle dans une matrice aphanitique gris-mauve foncé. 194.31 - 195.74</p> <p>90521: /H\?#EP+(SiCLHM); Très hétérogène et chaotique. Epidote superposées à HM, diffuse et en veinules. EP ± SR? ≥ traces pyrite fine disséminée.</p>	

MINNOVA INC. DIVISION EXPLORATION

DE (m)	A (m)	TEXTURE ET STRUCTURE	ALTÉRATION	MINÉRALISATION
		<p>204.73 - 205.37 14NMGLJ1PXBOCCVCC</p> <p>DYKE DE LAMPROPHYRE ULTRAMAFIQUE</p> <p>Dyke de lamprophyre ultramafique avec > 30% phénocristaux trapus à prismatiques de pyroxène? vert-brun foncé, mésostase très fine de BO, CC, MG. Granulométrie variable sur échelle centimétrique à l'intérieur du dyke. Contacts à 30°AC, contact supérieur net mais irrégulier, inférieur planeire net.</p> <p>Faible chloritisation de la matrice, veinules millimétriques à submillimétriques de calcite rose.</p>	<p>195.74 - 197.18</p> <p>90522: #HMEP(SiCL); Texture porphyrique visible.</p> <p>197.18 - 198.64</p> <p>90523: Idem.</p> <p>199.64 - 200.68</p> <p>90524: /H\7#Si(CLEPHM);</p> <p>200.68 - 201.17</p> <p>90525: # AB+?EPCC(CL); Couleur vert pâle, minéralogie incertaine. Probablement CB+FP.</p> <p>202.69 - 203.45</p> <p>90526: #+SiHMEP(CL)vCC; Texture porphyrique visible. Altération hétérogène. Traces de pyrite fine locale.</p> <p>203.45 - 204.28</p> <p>90527: #+HMCL(CC)(PY)vCC denses; Altération hétérogène; jusqu'à HM+ sur intervalle décimétrique et CLCEPPYvCC sur intervalle décimétrique. < 1% pyrite très fine disséminée et en agrégats.</p> <p>204.55 - 204.73</p> <p>90529. H4=++DL+CC+(80?)vCC roses; Encaissant supérieur du lamprophyre.</p>	<p>204.28 - 204.55</p> <p>90528: #+CC+CL(HM)PYvCC; > 1-2% pyrite très fine disséminée.</p>

MINNOVA INC. DIVISION EXPLORATION

DE (m)	A (m)	TEXTURE ET STRUCTURE	ALTÉRATION	MINÉRALISATION
		<p>Traces de pyrite? au début, très fine disséminée.</p> <p>205.74 - 205.83 14NMG(.J)PXBOCCvCC DYKE DE LAMPROPHYRE ULTRAMAFIQUE Dyke de lamprophyre. Xérolithe? subcentimétrique. Encaissant inférieur id à 90530 sur 0.2'.</p> <p>207.05 - 207.11 14NMG(.J)PXBOCCvCC DYKE DE LAMPROPHYRE ULTRAMAFIQUE</p> <p>207.36 - 207.48 14NMG(.J)PXBOCCvCC DYKE DE LAMPROPHYRE ULTRAMAFIQUE</p> <p>208.21 - 208.39 14NMG(.J)PXBOCCvCC DYKE DE LAMPROPHYRE ULTRAMAFIQUE</p> <p>210.49 - 210.59 14NMG(.J)PXBOCCvCC DYKE DE LAMPROPHYRE ULTRAMAFIQUE</p> <p>211.50 - 211.59 14NMG(.J)PXBOCCvCC DYKE DE LAMPROPHYRE ULTRAMAFIQUE</p>	<p>205.37 - 205.74 90530: M4=+BO+CL+CCvCC; Foliation chaotique, calcite rose en plis discontinus. Encaissant métasomaté du lamprophyre.</p> <p>205.89 - 206.65 90531: #HM(CLCC)(PY)vCC; ≥ 0.5% pyrite très fine disséminée.</p> <p>206.65 - 207.05 (12Jm(.J)FP)?#BO+CL+CC(RB)vCC 90532: Diorite porphyrique métasomatée par fluides lamprophyriques? Mésostase riche en BO et CL, phénocristaux bleutés suggèrent remplacement des feldspaths par calcite + riebeckite? Traces de pyrite fins locale.</p> <p>209.34 - 210.49 90533: 12Jm(.J)FP=#BOCL(CC)vCC; Métatisation surtout des feldspaths, BOCLCC de la matrice.</p>	

MINNOVA INC. DIVISION EXPLORATION

DE (m)	A (m)	TEXTURE ET STRUCTURE	ALTÉRATION	MINÉRALISATION
			<p>211.59 - 211.84</p> <p>90534: 12Jm[.]JFP(=)BOCLCC(RB); RB+CC remplace [.]JFP? 0.1' pour lame mince.</p> <p>215.46 - 216.07</p> <p>90536: 12Jm[.]JFPBO+CLCC(RB)vCC; RB+CC remplace [.]JFP.</p> <p>216.07 - 216.90</p> <p>90537: /HV#HM(CL); Couleur mauve et rouge. Traces pyrite fine disséminée.</p> <p>216.90 - 218.33</p> <p>90538: Idem.</p> <p>218.33 - 219.76</p> <p>90539: #++SiHMCC(CL); Traces pyrite fine disséminée.</p> <p>219.76 - 220.74 #+CC(HM)VCC</p> <p>90540: Couleur gris-mauve.</p> <p>220.74 - 221.28</p> <p>90541: #+CC(HM);</p> <p>221.28 - 222.41</p> <p>90542: #+CC(HM)(PY); Carotte en morceaux centimétriques. > traces pyrite fine disséminée.</p> <p>222.41 - 223.33</p> <p>90543: #+CC(HM);</p> <p>223.33 - 224.73 #+CC(HM)(PY)</p> <p>90544: > traces pyrite fine disséminée.</p> <p>224.73 - 225.64</p>	<p>211.84 - 213.02</p> <p>90535: #+(CCCL à HMCL) PY+; 2-5X pyrite très fine à fine disséminée.</p>

MINNOVA INC. DIVISION EXPLORATION

DE (m)	A (m)	TEXTURE ET STRUCTURE	ALTÉRATION	MINÉRALISATION
		<p>233.26 - 233.60 14NMG(.J)PXBO(CC)</p> <p>DYKE DE LAMPROPHYRE ULTRAMAFIQUE</p> <p>Dyke de lamprophyre à phénocristaux allant à subcentimétriques. Certains de ces phénocristaux sont en fait de petits xénolithes (ultramafiques?). Contact à 45°/AC.</p>	<p>brèches hydrothermales? locales sur des intervalles décimétriques. La syénite ne s'égrène toutefois pas comme l'unité précédente.</p> <p>Altération variable caractérisée surtout par hématisation moyenne à intense, séricitisation des mafiques lorsque ces derniers sont présents. Ici la séricite ne semble pas associée à la silicification diffuse, qui est plutôt limitée aux encaissements des veines de quartz gris en fumé submétriques. Veinules de chlorite vert foncé, veinules de tourmaline noire.</p> <p>Traces à 0.5% pyrite fine disséminée.</p> <p>227.78 - 228.57 #+HM+CC(CL)VQZ</p> <p>90548: Mafiques irréguliers sont chloritisés. Traces de pyrite fine disséminée.</p> <p>228.57 - 230.03</p> <p>90549: Idem.</p> <p>230.03 - 230.89</p> <p>90550: Idem.</p> <p>230.89 - 231.40</p> <p>90551: #+HM+SRVCC; 20% HM++</p> <p>231.40 - 233.26 #+HM+(SRCC)</p> <p>90552: SR des mafiques. Traces de pyrite fine disséminée.</p> <p>233.26 - 233.60 14N(.J)XMG(BOCC)</p> <p>87923: Lamprophyre porphyrique à xénolithes mafiques. Contacts à environ 45°/AC.</p> <p>233.60 - 234.82 #+HM(CC)(PY)VCLVQZ</p> <p>90553: ≥ traces pyrite fine disséminée et en agrégats millimétriques.</p>	

MINNOVA INC. DIVISION EXPLORATION

DE (m)	A (m)	TEXTURE ET STRUCTURE	ALTÉRATION	MINÉRALISATION
			<p>234.82 - 235.92 90% une VOZ grise #+</p> <p>90554: Traces chalcopryrite fine.</p> <p>235.92 - 236.34</p> <p>90555: #*Si(HMCC)VTL;</p> <p>236.34 - 237.29 #++HM+Si(CCSR)(PY)</p> <p>90556: ≥ traces pyrite fine disséminée.</p> <p>237.29 - 237.77</p> <p>90557: /H\#++(SiHMCCCL); Traces pyrite fine disséminée.</p> <p>237.77 - 239.36</p> <p>90558: #++HMSi(SRCCCL); Traces pyrite fine disséminée.</p> <p>239.36 - 240.24 #++HM(SiCCSR)</p> <p>90559: Microveinules de CC forment microbrèche locale de puissance décimétrique.</p> <p>240.24 - 241.68 #*(HMSiCC)</p> <p>90560: Diminution graduelle de l'intensité d'altération et de fracturation, texture intrusive primaire reconnaissable. Traces pyrite fine disséminée.</p> <p>241.68 - 304.62 #Si(HMSRCLCC)(PY)</p> <p>SYENITE ROSE SILICIFIÉE</p> <p>Intrusion phénitique de couleur rosée variable à texture intrusive généralement reconnaissable, constituée d'environ 75-85% feldspath rose hypidiomorphe à xénomorphe trapu flou, millimétrique, =10% minéraux mafiques très fins submillimétriques interstitiels et < 5% mésostase aphanitique d'aspect felsique. La texture intrusive est partout floue. Foliation généralement absente, fracturation submillimétrique irrégulière (hydrothermale?) à développement moyen à localement intense.</p> <p>Altération variable. Faciès CC(CL), SiHMSR, Si+(HMSR), quelques veines de quartz submétriques. Veinules de quartz gris millimétriques en stockwork. Intervalles méromatitiques submétriques. Faciès CC(CL) faiblement altérés, sont aussi moyennement à faiblement magnétiques. Silice efface calcite diffuse.</p> <p>Généralement traces de pyrite fine disséminée. Traces de galène et chalcopryrite avec veines/veinules de quartz.</p>	

MINNOVA INC. DIVISION EXPLORATION

DE (m)	A (m)	TEXTURE ET STRUCTURE	ALTÉRATION	MINÉRALISATION
			<p>241.60 - 242.59</p> <p>90561: (MG)#+CC(HMSICL)VCC; Traces de pyrite fine disséminée.</p> <p>242.59 - 243.81</p> <p>90562: #+(SiCCHMCL); Traces pyrite fine disséminée, quelques grains pyrite avec veines de quartz millimétriques.</p> <p>243.81 - 245.33</p> <p>90563: #+CCSi(HMCL)VQZHM; VQZHM millimétriques à centimétriques, couleur blanc à rouge-mauve.</p> <p>245.33 - 246.43</p> <p>90564: #+Si(CCHMSR)VQZHM; Idem. Traces de pyrite fine disséminée.</p> <p>246.43 - 247.50</p> <p>90565: (MG)#+Si+(HMCL)VQZ(FL); Silicification diffuse et en enveloppes autour de veinules de quartz millimétriques à subcentimétriques. Traces de fluorite mauve fine avec veinules de quartz. Traces pyrite fine disséminée.</p> <p>247.50 - 248.66</p> <p>90566: (MG)#+Si+HM(CLSR);</p> <p>248.66 - 249.20</p> <p>90567: /H\#++Si+HMCC(CLSR)VQZ; Traces pyrite fine disséminée.</p> <p>249.20 - 250.30</p> <p>90568: #Si+HMSRVQZ; ≥ traces pyrite fine disséminée.</p> <p>250.30 - 251.43 #+Si+(HMSR)VQZ</p> <p>90569: Fracturation ± ouverte postdate Si. Traces pyrite fine disséminée, traces chalcopryrite avec veinules de quartz.</p> <p>251.43 - 251.92 80% VQZ(CPGL?), 1 VQZ</p> <p>90570: Quartz fracturé.</p>	

MINNOVA INC. DIVISION EXPLORATION

L/E (m)	A (m)	TEXTURE ET STRUCTURE	ALTÉRATION	MINÉRALISATION
			<p>≤ 1% CP ± PY avec VQZ gris-blanc décimétriques irrégulières. Traces GL?</p> <p>251.92 - 253.23</p> <p>90571: Une VQZ (GLCP); Contacts de la veine non définis, zones de veines de quartz définissent limites. Chlorite diffuse (hydrothermale?) avec veines de quartz. Tracts de galène et chalcopryrite.</p> <p>253.23 - 254.39</p> <p>90572: #+Si+(HMCCSRCL)VQZ; Traces pyrite disséminée, traces chalcopryrite avec veinules de quartz gris-mauve.</p> <p>254.39 - 255.00</p> <p>90573: 80% VQZ (CPSI); Traces de chalcopryrite et spécularite fines.</p> <p>255.00 - 255.85 #+Si+(HMSRCLCC)(PY)VQZ</p> <p>90574: Altération hétérogène, enveloppes autour de fractures. > traces pyrite, > 0.5% pyrite sur = 0.4' à la fin.</p> <p>255.85 - 257.25</p> <p>90575: (MG)#+SiCLCCVQZ; Syénite autour de veinules de quartz, non pervasive. Traces pyrite fine disséminée.</p> <p>257.25 - 259.02 (MG)#+SiCLCCVQZ</p> <p>90576:</p> <p>259.02 - 260.30</p> <p>90577: (MG)#+(SiHMCLCC)VQZvHM;</p> <p>260.30 - 260.91 M15#+(=)Si+HMSR(CC)(PY)VQZ</p> <p>90578: Silicification et hématisation diffuses. Séricite forme plans de foliation ondulés = à 0°AC ± bien définis. ≥ 0.5% pyrite fine disséminée.</p> <p>260.91 - 261.40 #+HM+SiSR(PY)VCC/\</p> <p>90579: > traces pyrite fine disséminée.</p> <p>261.40 - 262.01</p>	

MINNOVA INC. DIVISION EXPLORATION

DE (m)	A (m)	TEXTURE ET STRUCTURE	ALTÉRATION	MINÉRALISATION
			<p>90580: (MG)#Si+(HM)CLCC; Traces pyrite fine disséminée. 262.01 - 262.34 #+Si++(HM)PYvSi</p> <p>90581: Veinules silice beige millimétriques à submillimétriques en stockwork. ≥ 1% pyrite très fine disséminée. 262.34 - 263.80 (MG)#Si(HMSRCLCC)(PY)</p> <p>90582: ≥ 0.5% pyrite très fine à moyenne disséminée. 263.80 - 264.78</p> <p>90583: (MG)#Si(HMCLCC)vQZ; 264.78 - 265.85</p> <p>90584: (MG)#Si(HMCLCC)vQZ; 265.85 - 266.91</p> <p>90585: #+HM+SiSRvCLvQZ; Traces pyrite fine à moyenne disséminée. 266.91 - 267.86 #Si(HM)(PY)vQZ</p> <p>90586: ≥ traces pyrite fine disséminée. 267.86 - 268.83 #+SiHMSR(PY)</p> <p>90587: ≥ 0.5% pyrite fine à moyenne disséminée. 268.83 - 270.05 #SiHM(SRCLCC)(PY)vQZ</p> <p>90588: ≥ traces pyrite fine disséminée. 270.05 - 271.55 (MG)SiHM(SRCLCC)vQZ</p> <p>90589: 271.55 - 272.55 #Si+SR(HM)vQZ</p> <p>90590: Traces pyrite fine disséminée. 272.55 - 273.10</p> <p>90591: #+HM+Si+SR; 273.10 - 274.44 #Si+HMSR(CLCC)(PY)vQZ</p>	

MINNOVA INC. DIVISION EXPLORATION

DE (m)	A (m)	TEXTURE ET STRUCTURE	ALTÉRATION	MINÉRALISATION
			<p>90592: Pyrite fine disséminée et en agrégats en bordure d'une veinule de quartz centimétrique et avec zone Si⁺⁺ centimétrique.</p> <p>274.44 - 275.60 = Idem.</p> <p>90593:</p> <p>275.60 - 276.24 #HM+SiSR(CC)(PY)</p> <p>90594: ≥ 0.5% pyrite fine disséminée.</p> <p>276.24 - 277.76 #Si+(SRHMCLCC)vCL</p> <p>90595: Traces pyrite fine disséminée.</p> <p>277.76 - 279.20 #SiHM(SRCLCC)vHMvCL</p> <p>90596:</p> <p>279.20 - 280.69</p> <p>90597: Idem; Traces pyrite fine disséminée.</p> <p>280.69 - 282.15</p> <p>90598: #Si(HMSRCLCC)vCLvHM; Traces pyrite fine disséminée.</p> <p>282.15 - 282.43</p> <p>90599: #Si+HMvQZ: Veinules quartz millimétriques gris-mauve.</p> <p>282.43 - 282.64</p> <p>90600: M17#HM+CL; Ultramylonite? Granulométrie très fine à aphanitique, contacts nets mais irréguliers, foliation peu définie. Fracturation irrégulière remplie de chlorite noire donne une certaine allure fragmentaire.</p> <p>282.64 - 284.13</p> <p>90601: #(=)Si+(HM); Syénite rose pâle fortement silicifiée.</p> <p>284.13 - 285.51</p> <p>90602: Idem.</p> <p>285.51 - 286.42 #Si+(HM)vQZ</p>	

MINNOVA INC. DIVISION EXPLORATION

DE (m)	A (m)	TEXTURE ET STRUCTURE	ALTÉRATION	MINÉRALISATION
			<p>90603: Veinules de quartz gris millimétriques à espacement centimétrique à subcentimétrique formant ≈ 12% de l'intervalle.</p> <p>286.42 - 287.73 #+Si+HM(CL)vCLvQZ</p> <p>90604: Contient un intervalle subcentimétrique de orthomylonite (= < 10% fragments millimétriques à submillimétriques aphanitiques siliceux, matrice beige).</p> <p>287.73 - 289.35</p> <p>90605: (MG)[.]FPS(+HM(CLCC)); Texture trachytique visible.</p> <p>289.35 - 290.54</p> <p>90606: (MG)Si+(HMCLCC)vQZ;</p> <p>290.54 - 291.63 M17?#HM++</p> <p>90607: Roche métasomatisée à granulométrie fine à aphanitique. Foliation non évidente. Possiblement une ultramytonite?? ou simplement métasomatisme extrême?</p> <p>291.63 - 293.03</p> <p>90608: ++ HMCC(SiCL);</p> <p>293.03 - 293.31 #+HM+SR(CC)</p> <p>90609: Traces pyrite fine disséminée.</p> <p>293.31 - 294.19</p> <p>90610: Idem.</p> <p>294.19 - 296.14 [.]FP#Si+HM(CCSRCL)vQZ</p> <p>90611: Traces pyrite fine disséminée, ≥ 0.5% sur 0.4'.</p> <p>296.14 - 297.52</p> <p>90612: [.]FP#Si+(CCHNSRCL)vQZ; Traces pyrite fine locale.</p> <p>298.98 - 299.83</p> <p>90613: = SiCC(HM); Foliation définie par vague alignement des minéraux mafiques, anastomosés autour des feldspaths flous forment ≈ 90% de la roche. Foliation à ≈ 80°AC.</p> <p>300.29 - 301.02</p>	

MINNOVA INC. DIVISION EXPLORATION

DE (m)	A (m)	TEXTURE ET STRUCTURE	ALTÉRATION	MINÉRALISATION
			<p>90614: - [.]JFP=HM(CCCL);</p> <p>301.02 - 301.78 = Si(HMMC)</p> <p>90615: Mica blanc remplace mafiques.</p> <p>301.78 - 302.67</p> <p>90616: =#Si+HM(CCMCCL);</p> <p>302.67 - 304.43</p> <p>90617: = #Si(HMMCCCL); Inclut un intervalle de M17 (orthomylonite) gris-blanc à 75°AC. AB-CC7 Traces pyrite fine disséminée.</p> <p>304.62 - 338.94 (MG)-[.]JFP#CCCL(HM)VQZ</p> <p>SYENITE SERIEE-TRACHYTIQUE A TRACHYTIQUE-PORPHYRIQUE PEU ALTEREE</p> <p>Syénite sériee trachytique à trachytique-porphyrrique de couleur gris-brun foncé constituée d'environ 5-7% phénocristaux de feldspath gris-blanc à rosé 2-5mm, = 8% feldspath hypidiomorphes en bâtonnets millimétriques rosés, 10% minéraux mafiques chloritisés rougeâtres et quelques pourcent de mésostase aphanitique brun-rouge. Texture apparaissait déjà graduellement dans l'intervalle précédent. Foliation faible à absente, fracturation variable mais généralement moyenne du type stockwork, surtout remplie de veinules de quartz gris-foncé.</p> <p>Altération variable. Là où texture intrusive est nette, chlorite et calcite faible à moyenne, HM faible. Intervalles submétriques silicifiés et /ou hématisés. Forte densité veinules de quartz gris foncé.</p> <p>Traces de pyrite locale. Généralement absente.</p> <p>306.38 - 306.66</p> <p>90618: VQZ gris fracturé. Contacts nets mais irréguliers.</p> <p>309.28 - 309.89</p> <p>90619: - HM; Hématisation faible allant à intense au centre. Traces pyrite fine disséminée.</p> <p>309.89 - 310.04</p> <p>90620: 80% VQZ gris, fractures CC;</p> <p>310.41 - 312.24</p>	

MINNOVA INC. DIVISION EXPLORATION

DE (m)	A (m)	TEXTURE ET STRUCTURE	ALTÉRATION	MINÉRALISATION
			<p>90621: (MG)-[.JFP#(HM)vQZ; Altération diffuse faible; veinules de quartz gris foncé à espacement centimétrique, veinules de quartz blanc millimétriques locales. ≥ traces pyrite fine disséminée.</p> <p>312.24 - 312.82 M15# + HM + Si + vQZPY</p> <p>90622: ≤ 0.5% pyrite fine à moyenne surtout avec veinules de quartz millimétriques à subcentimétriques gris et blanc.</p> <p>312.82 - 313.82 [.JFP#Si(HM)VCLvQZ</p> <p>90623: Intervalle 1028.90-1029.10' (313.61-313.67m), une M17CC+HMCL(PY) à 70°AC. Traces pyrite fine disséminée.</p> <p>313.82 - 314.86</p> <p>90624: (MG)[.JFP-#(SiHMCL)vQZ; > 15-20% veinules de quartz gris foncé millimétriques subperpendiculaires à AC. Traces de pyrite fine disséminée.</p> <p>316.75 - 317.05</p> <p>90625: #Si+(HMCC)vQZ; Couleur gris foncé rougeâtre.</p> <p>317.05 - 318.61</p> <p>90626: (MG)-Si+vQZ gris.</p> <p>318.61 - 319.67 -Si+(HM)VCLvQZ</p> <p>90627: Hématite faible à moyenne. Traces pyrite fine disséminée.</p> <p>319.67 - 320.74</p> <p>90628: [.JFP-Si+(HMCC)(PY); Hématite faible. > 1% pyrite sur l'intervalle décimétrique avec Si+(HM).</p> <p>320.74 - 321.78</p> <p>90629: (MG)[.JFP-Si(HM)VCLvQZ; Hématite faible à moyenne.</p> <p>321.78 - 323.21</p> <p>90630: [.JFP#Si+(HM)vQZ; > 10% veinules quartz sur intervalle submétrique.</p>	

MINNOVA INC. DIVISION EXPLORATION

DE (m)	A (m)	TEXTURE ET STRUCTURE	ALTÉRATION	MINÉRALISATION
		324.40 - 324.70 90% I4N[.]PXCC+80(MG)vCC	323.21 - 324.46 90631: M15#Si+HMSRvQZ; > 10% veinules de quartz millimétriques gris.	
		ZONE DE DYKES DE LAMPROPHYRE ULTRAMAFIQUE		
		Zone de dykes de lamprophyre ultramafique porphyrique avec zones subcentimétriques foliées/mylonitisées. Subparallèles aux contacts intrusifs, soit à ≈ 50°C. Ortho-ultramylonite avec fracturation tardive type stockwork remplie de chlorite.		
		325.37 - 325.43 I4N[.]PKMGCCBO	324.70 - 324.92 M17+++#+CC+HM+(CL)PYvCC 90632: Carbonatation (calcite) intense, hématisation intense. Agrégats de calcite rose. ≥ 1% pyrite très très fine disséminée.	
		LAMPROPHYRE ULTRAMAFIQUE	324.92 - 325.37	
			90633: #Si+(HM)	
			325.43 - 326.04	
			90634: #Si+(HM);	
			326.04 - 326.53	
			90635: #Si+(HM)vQZSi; Inclusions de syénite hématisée dans veines de quartz. ≥ 5% lamelles millimétriques de spécularite avec veines de quartz.	
			326.53 - 327.57	
			90636: #Si+(HM)vQZ; Traces pyrite fine disséminée.	
			329.43 - 330.04	
			90637: #Si+vQZ; Traces pyrite fine très locale.	
			330.04 - 331.59 Si+(HM)(PY)vQZ	

MINNOVA INC. DIVISION EXPLORATION

DE (m)	A (m)	TEXTURE ET STRUCTURE	ALTÉRATION	MINÉRALISATION
			<p>90638: > traces pyrite sur l'intervalle, > 2% pyrite sur un intervalle décimétrique avec concentrations de vQ2 ou AB? bréchifié veinules de quartz. Une veinule de pyrite.</p> <p>331.59 - 332.45</p> <p>90639: #HMSivQ2; Une bande centimétrique de protomylonite gris-beige. HM-HM+. > traces pyrite fine disséminée.</p> <p>332.45 - 333.18</p> <p>90640: Idem.</p> <p>334.06 - 335.31</p> <p>87924: I2D(MG)-[.]FP#Si(HM) Altération hétérogène contrôlée par microfractures plus ou moins définies. îlots peu altérés sont présents.</p> <p>335.31 - 336.16 60% (MG)#HMSi(PY)vCL</p> <p>90641: 60% zones rougeâtres où la texture trachytique est rendue floue. > traces pyrite fine disséminée.</p> <p>336.16 - 337.32</p> <p>87925: I2D(MG)-«.[FP#(SiCC) Syénite trachytique faiblement altérée</p> <p>337.32 - 337.57</p> <p>90642: #+Si+vQ2; Texture trachytique floue; > 15% veinules de quartz gris foncé en stockwork millimétrique à subcentimétrique. Traces pyrite fine disséminée.</p> <p>337.57 - 338.94</p> <p>90643: #Si(HM)vQ2vCL; Altération moyenne. Perte graduelle de la texture trachytique, gradation vers l'unité suivante. Traces pyrite fine disséminée.</p> <p>338.94 - 359.18 #Si(HM)vQ2</p> <p>SYENITE ROSE SILICIFIÉE</p> <p>Intervalles plus faiblement altérés montrent que le protolithe est le même que pour l'unité précédente, soit une syénite trachytique à matrice gris-brun foncé.</p>	

MINNOVA INC. DIVISION EXPLORATION

DE (m)	A (m)	TEXTURE ET STRUCTURE	ALTÉRATION	MINÉRALISATION
			<p>Foliation rare à absente, assez forte, densité de fractures (hydrothermales?) irrégulières de type stockwork remplies de chlorite, quartz et albite? indiquant l'existence de plusieurs phases de fracturation.</p> <p>Altération variable. Silicification moyenne à forte diffuse prédomine, aussi localement forte concentration de veinules de quartz gris millimétriques. Hématite variable, surtout faible, diffuse mais jusqu'à intense sur des intervalles submétriques. Texture trachytique vague généralement reconnaissable sauf dans les intervalles métasomatiques submétriques.</p> <p>Généralement traces de pyrite fine disséminée. Aussi pyrite moyenne associée à veinules de quartz.</p> <p>338.94 - 339.49</p> <p>90644: (MG)#HMSivCLvB?QZ; Traces pyrite fine disséminée.</p> <p>339.49 - 340.89</p> <p>90645: (MG)#Si(HM)vCLvQZ; Traces pyrite fine disséminée.</p> <p>340.89 - 342.08</p> <p>90646: #SivCLvQZ; Traces pyrite fine disséminée, une veinule submillimétrique de pyrite fine.</p> <p>342.08 - 342.81 (MG)#Si(HM)vCLvAB</p> <p>90647: Traces de pyrite fine disséminée.</p> <p>342.81 - 343.20</p> <p>90648: #Si(HM)(PY)vQZ; ≥ 0.5% pyrite fine à moyenne avec veinules de quartz gris millimétriques à submillimétriques.</p> <p>343.20 - 343.75</p> <p>90649: (MG)SivCL(SI?);</p> <p>343.75 - 344.76</p> <p>90650: (MG)#Si(HM)vQZvQZCC;</p> <p>344.76 - 345.58</p> <p>90651: #Si(HM)vQZ;</p> <p>345.58 - 345.92</p> <p>90652: #+Si(HM)vQZ; > 15% vQZ(HM) gris foncé</p>	

MINNOVA INC. DIVISION EXPLORATION

DE (m)	A (m)	TEXTURE ET STRUCTURE	ALTÉRATION	MINÉRALISATION
			<p>millimétriques à subcentimétriques irrégulières. Traces pyrite fine disséminée.</p> <p>345.92 - 346.62</p> <p>90653: (#)Si(HM)vCL(SI?);</p> <p>346.62 - 348.23 M15#HM(SI)(PY)VS1</p> <p>90654: Quelques M17 subcentimétriques à = 75°AC; Hématite faible à moyenne, texture primaire oblitérée. Traces à 0.5% pyrite fine disséminée.</p> <p>348.23 - 349.45</p> <p>90655: (MG)(#)(SIHM)vQZ, DM;</p> <p>349.45 - 350.15</p> <p>90656: -MG(#)(SIHM); Si & HM faibles à moyennes, diffuses, irrégulières; où plus faibles la texture trachytique est bien définie.</p> <p>350.15 - 350.55</p> <p>90657: #HM(SI);</p> <p>350.55 - 352.29</p> <p>90658: #HM(SI)vQZ; Une veine de quartz enfumé centimétrique. Traces pyrite fine à moyenne disséminée.</p> <p>352.29 - 352.93</p> <p>90659: (MG)(#)Si(HM)vQZ;</p> <p>352.93 - 353.54</p> <p>90660: #+Si(HM)vQZ; > 15% veinules de quartz blanc-gris multiphase en stockwork.</p> <p>353.54 - 354.12</p> <p>90661: #(SIHM)vQZ;</p> <p>354.12 - 355.03 #+(SIHM)vQZ(PY)</p> <p>90662: > 25% veinules quartz millimétriques à subcentimétriques blanc et gris en stockwork. vQZ blanc</p>	

MINNOVA INC. DIVISION EXPLORATION

DE (m)	A (m)	TEXTURE ET STRUCTURE	ALTÉRATION	MINÉRALISATION
			<p>coupent vQZHM mauve, vQZ gris coupent vQZ blanc. Traces pyrite fine à moyenne avec veinules de quartz.</p> <p>355.03 - 356.40 #+Si(HM)vQZ</p> <p>90663: > 15% veinules quartz blanc et gris millimétriques à subcentimétriques irrégulières, type stockwork. Veinules de chlorite tardives ± ouvertes, coupent veinules de quartz. Traces pyrite fine disséminée et avec veinules de quartz.</p> <p>356.40 - 357.26</p> <p>90664: (HG)#SiHMvCL; Traces pyrite fine disséminée.</p> <p>357.26 - 358.20</p> <p>90665: #Si(HM)(PY)vQZvDM: > traces pyrite fine à moyenne en veinules submillimétriques.</p> <p>358.20 - 358.90 #HM+SivCL</p> <p>90666: Traces pyrite fine disséminée.</p> <p>358.90 - 359.18</p> <p>90667: #15#HM++(Si); Couleur rouge brique. Contacts assez nets, contact inférieur folié à = 80°AC. (Protomylonite?). Traces pyrite fine disséminée.</p> <p>359.18 - 385.57 MG-[.]FP#vQZ</p> <p>SYENITE TRACHYTIQUE-PORPHYRIQUE PEU ALTEREE</p> <p>Retour à la syénite série-trachytique, parfois porphyrique trachytique, décrite précédemment. Texture ignée nette, bien définie.</p> <p>Altération généralement faible sauf au contact supérieur où la silicification est moyenne à forte. Veinules de quartz gris millimétriques sont communes, mais < 3% de la roche. Riebeckite locale. A 1255.30' (382.62m), RB bleu vif millimétrique autour de veinules de chlorite submillimétriques coupant veinules de quartz blanc centimétriques.</p> <p>Minéralisation rare à absente sauf au contact supérieur où il y a jusqu'à > 2% pyrite fine disséminée.</p> <p>359.18 - 360.21</p>	

MINNOVA INC. DIVISION EXPLORATION

DE (m)	A (m)	TEXTURE ET STRUCTURE	ALTÉRATION	MINÉRALISATION
			<p>90668: Si(HMCL); Contact folié. Couleur gris-vert rougeâtre foncé.</p> <p>360.21 - 360.64 Si+(HM)</p> <p>90669: > traces pyrite fine disséminée.</p> <p>360.64 - 360.82 M187#++HM+DM</p> <p>90670: Syénite rouge extrêmement fracturée (tectonique/hydrothermale?) par microveinules de dolomie.</p> <p>360.82 - 361.16</p> <p>90671: 15%(Si); Zones linéaires silicifiées sans fracture nette. Traces pyrite fine disséminée.</p> <p>361.16 - 362.25 #+SiPY+vQZ</p> <p>90672: Silicification diffuse moyenne à forte, texture trachytique reconnaissable mais feldspaths flous. > 2% pyrite fine disséminée.</p> <p>362.25 - 363.23 85% SiPY+vQZ</p> <p>90673: 15% flots irréguliers plus foncés peu altérés. 85% zones avec > 2% pyrite fine disséminée.</p> <p>363.23 - 364.48 = 15% (Si) (PY)</p> <p>90674: Idem, fin de zone, pyritisation plus faible (> traces pyrite).</p> <p>364.48 - 366.13</p> <p>87926: 12D(MG)-[.] [FP#CC(SiCC)</p> <p>374.60 - 375.30</p> <p>90675: (MG)#(HM)vQZ; = 10% veinules de quartz gris millimétriques à subcentimétriques.</p> <p>376.28 - 376.73</p> <p>90676: #+(SiHM)vCL;</p> <p>376.73 - 378.07 (MG)#(Si)vQZvHM</p> <p>90677: Veinules de quartz coupent veinules HM; silicification diffuse contrôlée par veinules de quartz? > traces pyrite fine à moyenne disséminée et en</p>	

MINNOVA INC. DIVISION EXPLORATION

DE (m)	A (m)	TEXTURE ET STRUCTURE	ALTÉRATION	MINÉRALISATION
	385.57	FIN DU TROU	<p>veinules.</p> <p>378.07 - 379.48</p> <p>87927: 12D(MG)-[.]FP#CDVQZ</p> <p>381.58 - 382.46 #+SivQZ</p> <p>90678: = 10% veinules de quartz submillimétriques à centimétriques. Traces pyrite fine disséminée.</p> <p>382.46 - 383.29</p> <p>87929: 12D(MG)-[.]FPCCVQZ(CLRB) Quartz fracturé par Cl et CL remplacé par RB</p> <p>383.29 - 384.26</p> <p>90679: Idem.</p> <p>384.63 - 384.81</p> <p>90680: 85% une VQZ blanc fracturé; Veine de quartz à 35°AC.</p> <p>385.58m (1265.00'): FIN DU TROU</p>	

MINNOVA INC. DIVISION EXPLORATION

ECHANTILLON	DE (m)	A (m)	LONGUEUR (m)	Au(OP1) ppb	Au(OP2) ppb	Au(R-1) ppb	Au(R-2) ppb	Au(MOY) ppb	Ag ppm	As(CH) ppm	Sb(CH) ppm	Mo(CH) ppm	Pb(CH) ppm	Cu(OP) ppm	Cu(CH) ppm	Cu(MOY) ppm	Zn(OP) ppm	Zn(CH) ppm	Zn(MOY) ppm
90462	48.98	49.74	0.76	tr.				tr.						29		29	92		92
90463	49.83	50.17	0.34	tr.				tr.						81		81	109		109
90464	53.10	53.77	0.67	tr.				tr.						90		90	112		112
90465	53.77	54.41	0.64	tr.				tr.						92		92	100		100
90466	74.40	74.98	0.58	tr.				tr.						107		107	114		114
90467	64.83	66.65	1.82	tr.				tr.						94		94	106		106
90468	87.48	88.70	1.22	tr.				tr.						83		83	87		87
90469	90.16	90.59	0.43	tr.				tr.						133		133	124		124
90470	90.59	90.77	0.18	tr.				tr.						112		112	127		127
90471	90.77	91.56	0.79	tr.				tr.						80		80	106		106
90472	91.56	92.29	0.73	tr.				tr.						80		80	100		100
90496	93.18	94.06	0.88	tr.				tr.						87		87	110		110
90473	94.37	95.04	0.67	tr.				tr.						77		77	102		102
90474	95.04	95.43	0.39	tr.				tr.						75		75	114		114
90475	100.49	100.80	0.31	tr.				tr.						99		99	90		90
90476	100.80	101.22	0.42	tr.				tr.						40		40	84		84
90477	101.22	101.59	0.37	tr.				tr.						79		79	216		216
90478	106.31	107.08	0.77	tr.				tr.						46		46	80		80
90479	110.92	111.13	0.21	tr.				tr.						45		45	53		53
90480	111.25	111.89	0.64	tr.				tr.						30		30	100		100
90481	112.75	113.11	0.36	tr.				tr.						41		41	303		303
90482	113.11	114.51	1.40	tr.				tr.						44		44	230		230
90483	118.51	118.87	0.36	tr.				tr.						94		94	444		444
90484	123.90	124.18	0.28	tr.				tr.						79		79	87		87
90485	128.63	130.27	1.64	tr.				tr.						72		72	80		80
90486	130.27	131.49	1.22	tr.				tr.						195		195	66		66
90487	131.49	132.10	0.61	tr.				tr.						219		219	66		66
90488	134.75	135.73	0.98	tr.				tr.						223		223	77		77
90489	141.15	142.04	0.89	tr.				tr.						129		129	67		67
90490	144.14	144.51	0.37	tr.				tr.						117		117	61		61
90491	151.82	152.67	0.85	tr.				tr.						192		192	78		78
90492	153.77	155.11	1.34	tr.				tr.						54		54	47		47
90493	155.54	156.03	0.49	tr.				tr.						94		94	106		106
90494	158.22	158.40	0.18	tr.				tr.						100		100	74		74
90495	158.40	159.99	1.59	tr.				tr.						127		127	83		83
90497	159.99	160.81	0.82	tr.				tr.						107		107	96		96
90498	163.92	165.05	1.13	tr.				tr.						66		66	72		72
90499	165.51	166.02	0.51	tr.				tr.						69		69	69		69
90500	169.87	170.26	0.39	tr.				tr.						80		80	60		60
90501	171.45	172.52	1.07	tr.				tr.						44		44	71		71
90502	173.28	173.77	0.49	tr.				tr.						59		59	60		60
90503	173.77	174.19	0.42	tr.				tr.						72		72	50		50
90504	177.30	177.52	0.22	tr.				tr.						64		64	60		60
90505	177.52	178.43	0.91	tr.				tr.						89		89	131		131
90506	178.43	179.04	0.61	tr.				tr.						65		65	57		57
90507	179.04	179.77	0.73	tr.				tr.						105		105	80		80
90508	179.77	180.11	0.34	tr.				tr.						46		46	54		54
90509	180.11	181.17	1.06	tr.				tr.						64		64	72		72
90510	181.17	182.03	0.86	tr.				tr.						79		79	63		63
90511	182.03	182.45	0.42	tr.				tr.						77		77	63		63
90512	182.45	182.94	0.49	tr.				tr.						54		54	44		44
90513	182.94	184.46	1.52	tr.				tr.						63		63	45		45

MINNOVA INC. DIVISION EXPLORATION

ECHANTILLON	DE (m)	A (m)	LONGUEUR (m)	Au(OP1) ppb	Au(OP2) ppb	Au(R-1) ppb	Au(R-2) ppb	Au(MOY) ppb	Ag ppm	As(CH) ppm	Sb(CH) ppb	Mo(CH) ppm	Pb(CH) ppm	Cu(OP) ppm	Cu(CH) ppm	Cu(MOY) ppm	Zn(OP) ppm	Zn(CH) ppm	Zn(MOY) ppm
90514	184.46	185.38	0.92	tr.				tr.						70		70	60		60
90515	185.75	186.78	1.03	tr.				tr.						66		66	47		47
90516	186.78	188.12	1.34	tr.				tr.						45		45	44		44
90517	188.12	189.49	1.37	tr.				tr.						63		63	48		48
90518	191.11	191.72	0.61	tr.				tr.						74		74	46		46
90519	191.72	192.94	1.22	tr.				tr.						102		102	50		50
90520	192.94	194.31	1.37	tr.				tr.						74		72	64		64
90521	194.31	195.74	1.43	tr.				tr.						99		99	60		60
90522	195.74	197.18	1.44	tr.				tr.						70		70	61		61
90523	197.18	198.64	1.46	tr.				tr.						95		95	54		54
90524	199.64	200.68	1.04	tr.				tr.						84		84	49		49
90525	200.68	201.17	0.49	tr.				tr.						90		90	47		47
90526	202.69	203.45	0.76	tr.				tr.						83		83	57		57
90527	203.45	204.28	0.83	tr.				tr.						77		77	50		50
90528	204.28	204.55	0.27	tr.				tr.						116		116	37		37
90529	204.55	204.73	0.18	tr.				tr.						214		214	67		67
90530	205.37	205.74	0.37	tr.				tr.						45		45	94		94
90531	205.89	206.65	0.76	tr.				tr.						96		96	47		47
90532	206.65	207.05	0.40	tr.				tr.						116		116	363		363
90533	209.34	210.49	1.15	tr.				tr.						51		51	68		68
90534	211.59	211.84	0.25	tr.				tr.						49		49	66		66
90535	211.84	213.02	1.18	tr.				tr.						147		147	56		56
90536	215.46	216.07	0.61	tr.				tr.						52		52	54		54
90537	216.07	216.90	0.83	tr.				tr.						77		77	39		39
90538	216.90	218.33	1.43	tr.				tr.						65		65	67		67
90539	218.33	219.76	1.43	tr.				tr.						70		70	40		40
90540	219.76	220.74	0.98	205				205						66		66	42		42
90541	220.74	221.28	0.54	tr.				tr.						64		64	44		44
90542	221.28	222.41	1.13	tr.				tr.						83		83	42		42
90543	222.41	223.33	0.92	tr.				tr.						104		104	43		43
90544	223.33	224.73	1.40	685				685						83		83	43		43
90545	224.73	225.64	0.91	tr.				tr.						92		92	46		46
90546	225.64	226.19	0.55	tr.				tr.						106		106	56		56
90547	226.19	227.78	1.59	240				240						90		90	42		42
90548	227.78	228.57	0.79	685				685						47		47	45		45
90549	228.57	230.03	1.46	tr.				tr.						35		35	78		78
90550	230.03	230.89	0.86	tr.				tr.						41		41	62		62
90551	230.89	231.40	0.51	tr.				tr.						40		40	83		83
90552	231.40	233.26	1.86	1028		1730	1730	1496						40		40	62		62
87923	233.26	233.60	0.34	377				377						86		86	338		338
90553	233.60	234.82	1.22	4628	3429	2530	2500	2504						83		83	79		79
90554	234.82	235.92	1.10	205				205						182		182	61		61
90555	235.92	236.34	0.42	tr.				tr.						130		130	67		67
90556	236.34	237.29	0.95	1131		1230	1430	1264						104		104	84		84
90557	237.29	237.77	0.48	tr.				tr.						40		40	99		99
90558	237.77	239.36	1.59	tr.				tr.						133		133	62		62
90559	239.36	240.24	0.88	685				685						42		42	70		70
90560	240.24	241.68	1.44	514				514						40		40	61		61
90561	241.68	242.59	0.91	tr.				tr.						33		33	66		66
90562	242.59	243.81	1.22	tr.				tr.						22		22	76		76
90563	243.81	245.33	1.52	tr.				tr.						44		44	79		79
90564	245.33	246.43	1.10	tr.				tr.						100		100	99		99

MINNOVA INC. DIVISION EXPLORATION

ECHANTILLON	DE (m)	A (m)	LONGUEUR (m)	Au(OP1) ppb	Au(OP2) ppb	Au(R-1) ppb	Au(R-2) ppb	Au(MOY) ppb	Ag ppm	As(CH) ppm	Sb(CH) ppm	Mo(CH) ppm	Pb(CH) ppm	Cu(OP) ppm	Cu(CH) ppm	Cu(MOY) ppm	Zn(OP) ppm	Zn(CH) ppm	Zn(MOY) ppm
90565	246.43	247.50	1.07	tr.				tr.						83		83	70		70
90566	247.50	248.66	1.16	tr.				tr.						40		40	70		70
90567	248.66	249.20	0.54	tr.				tr.						50		50	70		70
90568	249.20	250.30	1.10	tr.				tr.						52		52	76		76
90569	250.30	251.43	1.13	754				754						140		140	80		80
90570	251.43	251.92	0.49	582				582						714		714	96		96
90571	251.92	253.23	1.31	tr.				tr.						100		100	60		60
90572	253.23	254.39	1.16	tr.				tr.						102		102	70		70
90573	254.39	255.00	0.61	tr.				tr.						74		74	56		56
90574	255.00	255.85	0.85	308				308						57		57	64		64
90575	255.85	257.25	1.40	tr.				tr.						40		40	65		65
90576	257.25	259.02	1.77	274				274						53		53	75		75
90577	259.02	260.30	1.28	tr.				tr.						25		25	86		86
90578	260.30	260.91	0.61	1131				1131						36		36	70		70
90579	260.91	261.40	0.49	1097				1097						30		30	72		72
90580	261.40	262.01	0.61	tr.				tr.						29		29	59		59
90581	262.01	262.34	0.33	7440	8914	3870	4470	6174						35		35	61		61
90582	262.34	263.80	1.46	582				582						20		20	69		69
90583	263.80	264.78	0.98	tr.				tr.						36		36	64		64
90584	264.78	265.85	1.07	tr.				tr.						37		37	67		67
90585	265.85	266.91	1.06	tr.				tr.						39		39	87		87
90586	266.91	267.86	0.95	1131		670	900	900						46		46	76		76
90587	267.86	268.83	0.97	1405		800	770	992						44		44	81		81
90588	268.83	270.05	1.22	685				685						30		30	69		69
90589	270.05	271.55	1.50	411				411						20		20	59		59
90590	271.55	272.55	1.00	685				685						29		29	70		70
90591	272.55	273.10	0.55	tr.				tr.						25		25	67		67
90592	273.10	274.44	1.34	685				685						34		34	69		69
90593	274.44	275.60	1.16	4560	2400	600	530	2023						35		35	67		67
90594	275.60	276.24	0.64	240				240						26		26	64		64
90595	276.24	277.76	1.52	tr.				tr.						290		290	72		72
90596	277.76	279.20	1.44	342				342						32		32	57		57
90597	279.20	280.69	1.49	tr.				tr.						22		22	64		64
90598	280.69	282.15	1.46	tr.				tr.						16		16	70		70
90599	282.15	282.43	0.28	tr.				tr.						30		30	83		83
90600	282.43	282.64	0.21	tr.				tr.						34		34	90		90
90601	282.64	284.13	1.49	tr.				tr.						36		36	71		71
90602	284.13	285.51	1.38	tr.				tr.						32		32	72		72
90603	285.51	286.42	0.91	308				308						26		26	67		67
90604	286.42	287.73	1.31	240				240						29		29	66		66
90605	287.73	289.35	1.62	tr.				tr.						34		34	60		60
90606	289.35	290.54	1.19	tr.				tr.						37		37	54		54
90607	290.54	291.63	1.09	411				411						33		33	45		45
90608	291.63	293.03	1.40	tr.				tr.						22		22	47		47
90609	293.03	293.31	0.28	1817				1817						31		31	50		50
90610	293.31	294.19	0.88	tr.				tr.						31		31	52		52
90611	294.19	296.14	1.95	1234		1170	1170	1191						32		32	57		57
90612	296.14	297.52	1.38	tr.				tr.						32		32	64		64
90613	298.98	299.83	0.85	tr.				tr.						32		32	57		57
90614	300.29	301.02	0.73	tr.				tr.						30		30	54		54
90615	301.02	301.78	0.76	1234				1234						37		37	49		49
90616	301.78	302.67	0.89	tr.				tr.						41		41	46		46

MINNOVA INC. DIVISION EXPLORATION

EC ANTILLON	DE (m)	A (m)	LONGUEUR (m)	Au(OP1) ppb	Au(OP2) ppb	Au(R-1) ppb	Au(R-2) ppb	Au(MOY) ppb	Ag ppm	As(CH) ppm	Sb(CH) ppm	Mo(CH) ppm	Pb(CH) ppm	Cu(OP) ppm	Cu(CH) ppm	Cu(MOY) ppm	Zn(OP) ppm	Zn(CH) ppm	Zn(MOY) ppm
90617	302.67	304.43	1.76	tr.				tr.						35		35	47		47
90618	306.38	306.66	0.28	tr.				tr.						27		27	37		37
90619	309.28	309.89	0.61	tr.				tr.						32		32	50		50
90620	309.89	310.04	0.15	tr.				tr.						37		37	40		40
90621	310.41	312.24	1.83	tr.				tr.						34		34	56		56
90622	312.24	312.82	0.58	3737	4389			4063						41		41	56		56
90623	312.82	313.82	1.00	411				411						35		35	57		57
90624	313.82	314.86	1.04	tr.				tr.						35		35	57		57
90625	316.75	317.05	0.30	tr.				tr.						42		42	57		57
90626	317.05	318.61	1.56	tr.				tr.						25		25	55		55
90627	318.61	319.67	1.06	308				308						33		33	52		52
90628	319.67	320.74	1.07	tr.				tr.						30		30	53		53
90629	320.74	321.78	1.04	tr.				tr.						30		30	47		47
90630	321.78	323.21	1.43	tr.				tr.						32		32	48		48
90631	323.21	324.46	1.25	tr.				tr.						30		30	67		67
90632	324.70	324.92	0.22	377				377						46		46	320		320
90633	324.92	325.37	0.45	tr.				tr.						40		40	104		104
90634	325.43	326.04	0.61	tr.				tr.						47		47	100		100
90635	326.04	326.53	0.49	tr.				tr.						30		30	69		69
90636	326.53	327.57	1.04	tr.				tr.						27		27	63		63
90637	329.43	330.04	0.61	tr.				tr.						27		27	63		63
90638	330.04	331.59	1.55	685				685						24		24	50		50
90639	331.59	332.45	0.86	tr.				tr.						26		26	60		60
90640	332.45	333.18	0.73	tr.				tr.						24		24	67		67
87924	334.06	335.31	1.25	tr.				tr.						33		33	60		60
90641	335.31	336.16	0.85	240				240						25		25	60		60
87925	336.16	337.32	1.16	tr.				tr.						24		24	52		52
90642	337.32	337.57	0.25	tr.				tr.						106		106	66		66
90643	337.57	338.94	1.37	tr.				tr.						44		44	61		61
90644	338.94	339.49	0.55	tr.				tr.						39		39	64		64
90645	339.49	340.89	1.40	tr.				tr.						31		31	54		54
90646	340.89	342.08	1.19	tr.				tr.						36		36	60		60
90647	342.08	342.81	0.73	514				514						34		34	77		77
90648	342.81	343.20	0.39	tr.				tr.						39		39	66		66
90649	343.20	343.75	0.55	tr.				tr.						49		49	63		63
90650	343.75	344.76	1.01	tr.				tr.						40		40	56		56
90651	344.76	345.58	0.82	tr.				tr.						48		48	64		64
90652	345.58	345.92	0.34	tr.				tr.						50		50	54		54
90653	345.92	346.62	0.70	tr.				tr.						40		40	63		63
90654	346.62	348.23	1.61	308				308						29		29	61		61
90655	348.23	349.45	1.22	tr.				tr.						41		41	56		56
90656	349.45	350.15	0.70	tr.				tr.						40		40	57		57
90657	350.15	350.55	0.40	tr.				tr.						52		52	64		64
90658	350.55	352.29	1.74	tr.				tr.						47		47	69		69
90659	352.29	352.93	0.64	tr.				tr.						32		32	65		65
90660	352.93	353.54	0.61	tr.				tr.						39		39	59		59
90661	353.54	354.12	0.58	tr.				tr.						36		36	87		87
90662	354.12	355.03	0.91	411				411						36		36	54		54
90663	355.03	356.40	1.37	548				548						40		40	69		69
90664	356.40	357.26	0.86	tr.				tr.						37		37	67		67
90665	357.26	358.20	0.94	tr.				tr.						37		37	72		72
90666	358.20	358.90	0.70	548				548						130		130	92		92

MINNOVA INC. DIVISION EXPLORATION

ECHANTILLON	DE (m)	A (m)	LONGUEUR (m)	Au(OP1) ppb	Au(OP2) ppb	Au(R-1) ppb	Au(R-2) ppb	Au(MOY) ppb	Ag ppm	As(CH) ppm	Sb(CH) ppm	Mo(CH) ppm	Pb(CH) ppm	Cu(OP) ppm	Cu(CH) ppm	Cu(MOY) ppm	Zn(OP) ppm	Zn(CH) ppm	Zn(MOY) ppm
90667	358.90	359.18	0.28	tr.				tr.						100		100	82		82
90668	359.18	360.21	1.03	tr.				tr.						70		70	100		100
90669	360.21	360.64	0.43	1680				1680						74		74	107		107
90670	360.64	360.82	0.18	411				411						69		69	84		84
90671	360.82	361.16	0.34	tr.				tr.						64		64	94		94
90672	361.16	362.25	1.09	2091		2530	2470	2364						50		50	94		94
90673	362.25	363.23	0.98	1028		1930	1730	1563						45		45	90		90
90674	363.23	364.48	1.25	582				582						44		44	87		87
87926	364.48	366.13	1.65	tr.				tr.						19		19	69		69
90675	374.60	375.30	0.70	tr.				tr.						51		51	90		90
90676	376.28	376.73	0.45	tr.				tr.						47		47	108		108
90677	376.73	378.07	1.34	205				205						52		52	97		97
87927	378.07	379.48	1.41	tr.				tr.											
87928	379.48	381.58	2.10	tr.				tr.											
90678	381.58	382.46	0.88	240				240						41		41	94		94
87929	382.46	383.29	0.83	tr.				tr.											
90679	383.29	384.26	0.97	tr.				tr.						39		39	94		94
90680	384.63	384.81	0.18	tr.				tr.						52		52	60		60

MINNOVA INC. DIVISION EXPLORATION

COMPAGNIE : MINNOVA INC.	DIVISION EXPLORATION	PROJET : BOYVINET	SONDAGE : BV-23A	IMPRIMÉ LE : 15 avril 1992
CANTON : BOYVINET	RANG : -	LOT : -	CLAIM : 383712-1	SNRC : 32G/12
			ZONE : B1	NO. RÉFÉRENCE :
<u>COORDONNÉES AU COLLET</u>	GRILLE #1 LIGNE : 32+00E STATION : 29+00N ÉLEVATION : 21.340	GRILLE #2 LIGNE : STATION : ÉLEVATION : 21.340	GRILLE ARPENTÉE LATITUDE : 883.920 LONGITUDE : 975.360 ÉLEVATION : 21.340	AZIMUT : 152° 0' PLONGÉE : -60° 0' PROFONDEUR DU COLLET : 0.00 LONGUEUR : 51.82m.
GÉOLOGUE : F.SPEIDEL		REMARQUES :		DATE DU JOURNAL : 09 avril 1990
CONTRACTEUR : FORAGES BELAND				DATE D'ARPENTAGE :
				DATE DE CIMENTAGE :
BUT : Tester la continuité est de la zone	BV-09.			FORAGE DÉBUTÉ LE : 08 avril 1990
CIBLE :				TERMINÉ LE : 08 avril 1990
				TUBAGE LAISSÉ : Oui

DONNÉES D'ORIENTATION

Longueur Azimut Plongée

0.00 152 0' -60 0'

MINNOVA INC. DIVISION EXPLORATION

DÉP (m)	A (m)	TEXTURE ET STRUCTURE	ALTÉRATION	MINÉRALISATION
0.00	51.82	<p>HT</p> <p>MORT-TERRAIN: Forage difficile dû à l'abondance de boulders et la perte de la circulation d'eau. Bris de tubage (trou abandonné).</p>		
	51.82	FIN DU TROU		

MINNOVA INC. DIVISION EXPLORATION

COMPAGNIE : MINNOVA INC.

DIVISION EXPLORATION

PROJET : BOYVINET

SONDAGE : BV-24

IMPRIMÉ LE : 15 avril 1992

CANTON : BOYVINET

RANG : -

LOT : -

CLAIM : 382745-4

SNRC : 32G/12

ZONE : B1

NO. RÉFÉRENCE :

COORDONNÉES AU COLLET

GRILLE #1

LIGNE : 24+00E
STATION : 35+00N
ÉLEVATION : 32.000

GRILLE #2

LIGNE :
STATION :
ÉLEVATION : 32.000

GRILLE ARPENTÉE

LATITUDE : 1066.800
LONGITUDE : 731.520
ÉLEVATION : 32.000

AZIMUT : 152° 0'

PLONGÉE : -48° 0'

PROFONDEUR DU COLLET : 0.00

LONGUEUR : 331.01m.

GÉOLOGUE : F.SPEIDEL

REMARQUES :

DATE DU JOURNAL : 21 avril 1990

DATE D'ARPENTAGE :

DATE DE CIMENTAGE :

FORAGE DÉBUTÉ LE : 19 avril 1990

TERMINÉ LE : 23 avril 1990

CONTRACTEUR : FORAGES BELAND

BUT : Tester continuité ouest de la
CIBLE :

zone minéralisée BV-09

TUBAGE LAISSÉ : Oui

DONNÉES D'ORIENTATION

Longueur azimut Plongée

0.00	152 0'	-48 0'
60.96	*155 27'	-48 0'
123.75	159 0'	-44 0'
182.88	*159 58'	-42 0'
245.36	161 0'	-38 0'
329.49	168 30'	-34 0'

(*) azimut estimé par le programme

MINNOVA INC. DIVISION EXPLORATION

DE (m)	A (m)	TEXTURE ET STRUCTURE	ALTÉRATION	MINÉRALISATION
0.00	28.04	MT		
28.04	133.69	<p>13AMG+LX+=CL(EPCC)(PY)vCC</p> <p>GABBRO PHANÉRITIQUE FOLIE A MAGNÉTITE OU LEUCOXÈNE</p> <p>Roche intrusive mafique de couleur vert foncé, localement vert pomme dû à la concentration d'épidote. Là où l'altération est plus faible, la roche exhibe une texture équi-granulaire phanéritique ophitique; on observe des bâtonnets de plagioclase hypidiomorphes/idiomorphes millimétriques à submillimétriques (= 40%) saussuritisés et = 50-55% minéraux mafiques millimétriques trapus allotriomorphes chloritisés. Il y a généralement 5-10% grains de magnétite allotriomorphe altérée en leucoxène dans les intervalles altérés/foliés. Granulométrie plus grossière de 322.00-345.00' (98.15-105.16m). Foliation généralement moyenne définie par lamination minéralogique (LX, PX allongés). Quelques intervalles à foliation intense (centimétriques à métriques).</p> <p>Chloritisation moyenne à forte assez constante. Epidotisation généralement faible, localement moyenne à forte sur des intervalles décimétriques. Calcite absente/faible dans les intervalles à magnétite, moyenne à faible où la magnétite est altérée en leucoxène. Quelques intervalles décimétriques avec carbonatation forte. Veines submétriques à centimétriques de quartz-calcite. Traces de biotite ou est-ce MB partiellement chloritisé.</p> <p>Pyrite fine à moyenne disséminée, traces à 0.5% dans le protolithe peu altéré. Quelques intervalles décimétriques avec 1-10% pyrite fine disséminée.</p>	<p>30.08 - 31.70 =CL+CCPYvQZ(CC)</p> <p>90682:</p> <p>31.70 - 33.71</p> <p>87930: MG+=CL+(CC) Traces de pyrite en fins agrégats</p> <p>33.89 - 35.42</p> <p>87931: MG+=CL+CC+(PY) Pyrite irrégulièrement disséminée, < 1%</p> <p>36.12 - 36.52 (MG)CL+(CC)vCCQZ/\</p>	<p>28.04 - 28.83 =CL+CCPY+vQZ</p> <p>90681:</p> <p>33.71 - 33.89 MG+=CL+CC+PY++CP++vCC</p> <p>90683: 10-12% pyrite et chalcopyrite fines irrégulièrement disséminées.</p>

MINNOVA INC. DIVISION EXPLORATION

DE (m)	A (m)	TEXTURE ET STRUCTURE	ALTÉRATION	MINÉRALISATION
			<p>90684: Fracturation limitée à quelques plans remplis de calcite. Veine de calcite/quartz où calcite fragmente le quartz.</p> <p>60.50 - 70.44 LX==+CLCCVQZCC</p> <p>GABBRO A LEUCOXENE FORTEMENT FOLIE</p> <p>Intervalle de gabbro où le leucoxène remplace la magnétite. Contacts gradationnels, intensité de développement de la foliation diminue graduellement à l'extérieur de cet intervalle. Foliation pénétrative, millimétrique à submillimétrique à espacement de même échelle. Localement crênelée à échelle centimétrique à subcentimétrique. 15-45°AC.</p> <p>Couleur vert moyen implique que la chlorite est moins intense, calcite augmente. Veines et zones de veines de quartz/calcite déformées avec inclusions chloritisées et forte densité de stylolites.</p> <p>Sulfures avec veines de quartz, ailleurs minéralisation absente.</p> <p>62.82 - 63.03 80% VQZ=#SRCC</p> <p>90685: Traces pyrite fine disséminée.</p> <p>63.49 - 64.59 Zone VQZ (CCDMPY)</p> <p>90686: = 40% inclusions encaissant; forte densité de stylolites. = 0.5% pyrite fine en concentrations locales.</p> <p>67.18 - 67.48 Zone VQZ (CCDMPY)</p> <p>90687:</p> <p>74.16 - 74.74</p> <p>90688: 30% vqzcc/\; Calcite fragmente quartz dans veine subparallèle à la foliation. Traces pyrite.</p> <p>83.97 - 90.22 LX==+CLCCVCC</p> <p>GABBRO FORTEMENT FOLIE A LEUCOXENE</p> <p>Semblable à l'intervalle folié précédent avec davantage de veines de calcite millimétriques à submillimétriques. Foliation à AC25. Chlorite-calcite moyennes. Veinules de calcite millimétriques à subcentimétriques atteignent > 80% de la</p>	

MINNOVA INC. DIVISION EXPLORATION

DE (m)	A (m)	TEXTURE ET STRUCTURE	ALTÉRATION	MINÉRALISATION
			<p>roche sur des intervalles submétriques. Traces pyrite fine à moyenne locale.</p> <p>86.72 - 87.02</p> <p>90689: > 40% vCC(QZ); Traces pyrite fine disséminée, = 5% pyrite sur l'intervalle centimétrique.</p> <p>87.81 - 88.45</p> <p>90690: = 80% vCC(QZ); Traces pyrite fine à moyenne disséminée.</p> <p>94.79 - 96.32</p> <p>87932: MG+≠CL+(LX)VQZCC; Transition entre passages magnétiques et chloriteux typiques à un intervalle avec nombreuses injections de quartz-calcite où la roche devient peu magnétique. Ces injections définissent la fracturation.</p> <p>96.65 - 98.18</p> <p>87933: MG+≠CC</p> <p>118.26 - 118.69</p> <p>90692: 80% VQZ(CC); Calcite dans microfractures irrégulières coupant VQZ. Traces pyrite.</p> <p>121.46 - 133.65 ≡≡DM+, M4≡≡CLVDM</p> <p>GABBRO? DOLOMITISE EXTREMEMENT FOLIE, SCHISTE A CHLORITE-DOLOMIE</p> <p>Intervalle intensément à extrêmement folié constitué d'intervalles métriques gris-beige à granulométrie fine, localement avec lamination tectonique pseudo-sédimentaire et d'intervalles métriques de schiste à chlorite-dolomie caractérisé par une très forte densité de veinules de dolomie parallèles à la foliation. Foliation pénétrative anastomosée en détail avec kinks subcentimétriques. Lamination tectonique compositionnelle. Foliation d'orientation relativement constante à = 30-70°AC, 70° en général sauf pour un intervalle submétrique du M4CLVDM as = fortement plissé. Core égrené de 405.50 à 406.00'</p>	<p>96.32 - 96.65 LX≠CL+CC(HM)PY12</p> <p>90691: Foliation AC15. = 12% pyrite fine disséminée. Pyrite magmatique?</p>

MINNOVA INC. DIVISION EXPLORATION

DE (m)	A (m)	TEXTURE ET STRUCTURE	ALTÉRATION	MINÉRALISATION
		<p>123.75 - 124.72 Zone 14NMG1.JPXBOCC</p> <p>ZONE DE DYKES DE LAMPROPHYRE ULTRAMAFIQUE</p> <p>Dykes de lamprophyre (406.00-406.30' ou 123.75-123.84m; 406.70-407.80' ou 123.96-124.30m; 408.20-408.90' ou 124.42-124.63m) porphyrique avec encaissant altéré et zone de quartz bréchique. Les lamprophyres sont constitués de > 40% phénocristaux ± xénocristaux mafiques vert moyen à foncé translucide relativement frais hypidiomorphes à xénomorphes subcentimétriques à submillimétriques dans une matrice constituée de biotite et calcite. Roche moyennement magnétique. Quelques grains prismatiques mafiques sont entourés d'une auréole d'hématite rouge vif. Bordures figées (granulométrie fine non porphyrique) subcentimétrique. Contacts à 80°AC rouillés.</p> <p>Altération faible. Les minéraux mafiques deviennent gris-blanc à partir de 0.15' de l'éponte. Carbonatation? de 407.80 à 408.20' (124.30-124.42m) et 408.90 à 409.20' (124.63-124.73m), veine de quartz bréchique avec stylolites et microfractures de calcite. Contacts réguliers planaires avec 14N sauf à 408.90' (124.63m) où le lamprophyre semble s'injecter dans et fragmenter le quartz sur un intervalle millimétrique, le lamprophyre succéderait donc au quartz.</p> <p>Traces à 0.5% de pyrite fine disséminée et en agrégats d'épaisseur millimétrique dans la veine de quartz.</p>	<p>(123.60-123.75m). Intervalle à granulométrie fine caractérisé par couleur gris-beige dû à une forte dolomitisation diffuse, le M4 est caractérisé par l'alternance de bandes de chlorite et bandes (veinules) DM subparallèles.</p> <p>121.46 - 122.50 90963: =DMCC; 122.50 - 123.60 90964: =++DM+;</p> <p>124.30 - 124.42 90695: VQZ/(PY)VCC; Traces à 0.5% pyrite fine. 124.63 - 124.72 90695: VQZ/(PY)VCC; Traces à 0.5% pyrite fine. 124.72 - 125.43 90696: =+SR(CCCCLDM); 128.02 - 128.63</p>	

MINNOVA INC. DIVISION EXPLORATION

DE (m)	A (m)	TEXTURE ET STRJCTURE	ALTÉRATION	MINÉRALISATION
133.69	145.69	<p>M18=++GP+VAKVQZCCVCC</p> <p>BRECHE TECTONIQUE GRAPHITIQUE</p> <p>Roche tectonisée noire à gris-vert foncé à protolithe incertain. Laminations millimétriques irrégulières assez définitives: d'origine tectonique. foliation plissotée et démembrée (fragments tectoniques). Fracturation cassante postdate la foliation et les veinules de quartz-calcite qu'elle recoupe.</p> <p>Altération variable. Roche moyennement à extrêmement graphitique avec intervalles chloritisés et/ou séricitisés décimétriques ou moins. Zones de veinules d'ankérite millimétrique foliées. Veinules de quartz-calcite millimétrique à centimétrique, microfractures de calcite. Microfractures d'hématite rouge vif sur un intervalle décimétrique.</p> <p>Concentrations de pyrite très fine en fragments ou bandes semi-massifs.</p>	<p>90697: =+DM+; > traces pyrite très très fine disséminée.</p>	<p>134.20 - 134.63</p> <p>90698: =+GP+PY+VAK; 2-3% pyrite très fine concentrée sur un intervalle centimétrique.</p> <p>138.17 - 138.56 VQZSRGP</p> <p>90699: 2-3% pyrite fine sur un intervalle centimétrique (avec GP).</p>
145.69	211.29	<p>M4=++DMSR(CLCC)VCCQZ</p> <p>ZONE DE DEFORMATION LAC SHORTT</p> <p>Roche intensément à extrêmement foliée débitée le long des plans de foliation, couleur gris-vert pâle. Granulométrie aphanitique à moyenne, moyenne où taux de déformation n'est qu'intense. Protolithe probablement intrusion mafique phanéritique équi-granulaire. Foliation pénétrative à régularité variable. Là où il y a des veinules de quartz-calcite, la foliation devient irrégulière et anastomosée. Plans séricite submillimétriques à espacement submillimétrique à microscopique, plans chlorite et veinules subparallèles. Kinks centimétriques à décimétriques. De 527.80-529.00' (160.88-161.24m), gouge. Foliation à $\approx 65^{\circ}\text{AC}$. Diminue en intensité après 615.00' (187.45m), roche compétente non débitée. Séricite diminue également.</p> <p>Altération variable. Généralement dolomitisation diffuse, moyenne à forte, séricite diffuse faible à forte, calcite faible en agrégats/veinules millimétriques et veinules quartz-calcite millimétriques à centimétriques. Intervalles graphitiques à stylolites dans VQZCC associées.</p> <p>Minéralisation généralement absente. Localement traces à 0.5% pyrite fine à moyenne disséminée.</p>	<p>145.69 - 146.21</p> <p>90700: VQZDMCL(SRHM)(PY); Microfractures de séricite et</p>	

MINNOVA INC. DIVISION EXPLORATION

DE (m)	A (m)	TEXTURE ET STRUCTURE	ALTÉRATION	MINÉRALISATION
			<p>de limonite? associées à pyrite. Traces pyrite fine en veinules.</p> <p>150.82 - 151.00</p> <p>90701: VQZCCHM(GP)(PY)/\; Traces pyrite très fine en agrégats.</p> <p>190.01 - 190.53</p> <p>90779: =+CC(SRCL)(PY); Traces pyrite fine à moyenne disséminée et en bandes millimétriques.</p> <p>201.63 - 202.69</p> <p>90702: =+CL(HMSRCC)VCC; Foliation extrême, crénulations denses. Altération moyenne, hétérogène. Traces pyrite fine disséminée.</p> <p>201.66 - 205.59 M15=+(CL+(HMSR) à HM(CL)VCC)</p> <p>ROCHE METASOMATIQUE</p> <p>Microgabbro? extrêmement folié dont la couleur passe de vert moyen à rouge à vert foncé près de l'unité de lamprophyre. Foliation irrégulière et crénulée à l'échelle subcentimétrique à centimétrique. Altération variable. Faible à moyenne en CL, SR, HM. Chlorite intense au contact supérieur avec le lamprophyre. Veinules de calcite. Traces de pyrite fine disséminée.</p> <p>202.69 - 204.06</p> <p>90703: =+HM(CLSR)VCC; HM moyenne à forte. Traces pyrite fine disséminée.</p> <p>204.06 - 204.95</p> <p>90704: =+(HMCLSR)VCC; Traces pyrite fine disséminée.</p> <p>204.95 - 205.34</p> <p>90705: #+CL(Si?)(PY); ≥ 0.5% pyrite très très fine disséminée.</p> <p>205.34 - 205.59</p> <p>90706: M4=+CL+(CC); Traces pyrite très très fine disséminée.</p>	

MINNOVA INC. DIVISION EXPLORATION

DE (m)	A (m)	TEXTURE ET STRUCTURE	ALTÉRATION	MINÉRALISATION
		<p>205.59 - 211.29 14NMG+LJPKBO+CC+vCC</p> <p>DYKE DE LAMPROPHYRE ULTRAMAFIQUE PORPHYRIQUE</p> <p>Dyke de lamprophyre typique mais beaucoup plus large que d'habitude. Peu altéré. < 5% veinules de quartz rose millimétriques à subcentimétriques. Une concentration de pyrite très fine semi-massive à 685.40' (208.91m). Bordures non nettes.</p>		
211.29	265.18	<p>12Jm[.JFPCL(Si)</p> <p>DIORITE PORPHYRIQUE A FELDSPATH</p> <p>Roche mafique de couleur vert foncé constituée de 10-20% phénocristaux de feldspaths blancs idiomorphes à hypidiomorphes généralement < 2mm mais atteignant parfois jusqu'à 4mm. Matrice très fine. Localement xénolites de leucogabbro? phanéritique et microgabbro. Phénocristaux plus fins et moins denses vers le centre de l'unité. Foliation restreinte aux deux contacts. Microfracturation faiblement à moyennement développée.</p> <p>Altération variable, généralement chloritisation moyenne et silicification faible de la matrice. Intervalles décimétriques à submétriques faiblement hématisés ou moyennement épidotisés. Fractures remplies de calcite et/ou hématite rouge. Roches métasomatiques chevauchent les deux contacts. Minéralisation généralement absente. Traces à 0.5% dans des intervalles épidotisés et dans les deux roches métasomatiques aux contacts.</p>	<p>211.29 - 218.24 M15=+DM+HMCL</p> <p>ROCHE METASOMATIQUE</p> <p>Roche fortement altérée à protolithe incertain mais dont le contact inférieur est gradationnel avec l'unité suivante. Définition de la foliation est variable, moyenne à extrême. Lamination minéralogique tectonique submillimétrique. Fracturation cassante postdate la foliation. Fractures submillimétriques chloriteuses irrégulières de type stockwork. Développement moyen à intense.</p> <p>Altération variable. Chlorite prédomine au contact avec le lamprophyre, puis HM, DM+ au centre, puis HMDM et passage graduel à l'unité suivante.</p> <p>Traces à 0.5% pyrite fine disséminée et en veinules submillimétriques discontinues.</p> <p>211.29 - 211.53</p> <p>90708: -#+++CL+(SiEP?)(PY); > traces pyrite très fine disséminée et en agrégats locaux. Début de l'échantillon très friable.</p> <p>211.53 - 211.81</p>	

MINNOVA INC. DIVISION EXPLORATION

DE (m)	A (m)	TEXTURE ET STRUCTURE	ALTÉRATION	MINÉRALISATION
			<p>90709: =#(HMDNCL)(PY); ≥ 0.5% pyrite très fine disséminée.</p> <p>211.81 - 212.60</p> <p>90710: =#(HM(DNCL)(PY); ≤ 0.5% pyrite très fine disséminée.</p> <p>212.60 - 213.51</p> <p>90711: =#DM+HM; 50% roche beige à fragments rouges irréguliers millimétriques à submillimétriques, 50% roche grise à fragments rouges identiques. Traces pyrite fine disséminée.</p> <p>213.51 - 214.18 =#DM+HM(PY)</p> <p>90712: Foliation ± bien définie, oblitérée par intensité de la dolomitisation? Deux intervalles centimétriques de M17 à = 55°AC. 10-15% fragments rouges millimétriques à submillimétriques dans matrice beige DM+. Traces à 0.5% pyrite très fine disséminée.</p> <p>214.18 - 215.13 =#HM+DM(PY)</p> <p>90713: Altération moyenne à forte en HM, couleur rouge. Intervalles centimétriques à décimétriques couleur gris-rouge. ≥ 0.5% pyrite très fine disséminée, un agrégat subcentimétrique pyrite fine.</p> <p>215.13 - 216.83 =#HM+DM+(PY)</p> <p>90714: Fragments rouges déformés (aplatis) dans matrice beige DM+. Veine de calcite centimétrique (carbonatite?). ≥ 0.5% pyrite très fine disséminée.</p> <p>216.83 - 217.90</p> <p>90715: #+=#HCLDMVCL; DM envahit roche métasomatisée rouge pour en faire une brèche hydrothermale in situ à > 40%. Fracturation multiphase, fragments eux-mêmes sont fragmentés. Traces pyrite fine disséminée.</p> <p>217.90 - 218.24 #+++CL(HMDH)VCC</p> <p>90716: Idem, couleur vert rougeâtre, dolomitisation plus faible. Traces pyrite fine disséminée.</p>	

MINNOVA INC. DIVISION EXPLORATION

DE (m)	A (m)	TEXTURE ET STRUCTURE	ALTÉRATION	MINÉRALISATION
			<p>218.24 - 219.12</p> <p>90717: #CLCC(HM)(PY); Traces à 0.5% pyrite fine disséminée.</p> <p>219.85 - 220.68</p> <p>90718: #HMCLCC(PY)vCL; Porphyrique par endroits. 0.5% pyrite fine disséminée.</p> <p>220.68 - 221.28</p> <p>90719: [.]FP#+(HMCL)vEP; Microveinules de EP.</p> <p>221.28 - 222.63</p> <p>90720: [.]FP#(HMCLCC); Zones avec HM moyenne ou EP moyenne associées à #*. Traces pyrite fine disséminée locale.</p> <p>222.63 - 223.27 M17=#+CB+HM(Si?)(PY/vCL)</p> <p>90721: Protomylonite?, foliation irrégulière anastomosée à ≈ 45°AC. Altération variable. Fragments siliceux rouges dans matrice gris-vert-beige avec veinules chlorite irrégulières. Traces pyrite fine disséminée en concentrations locales.</p> <p>223.27 - 223.75</p> <p>90722: [.]FPSiCL(CC); Silicification moyenne à forte diffuse. Feldspaths reconnaissables mais flous. Fin de la zone de transition. Traces pyrite fine disséminée.</p> <p>226.98 - 227.90</p> <p>90723: [.]FP#CL(HM)vEPCC(PY); Faible HM donne coloration rougeâtre, zones lessivées (SiEP?) centimétriques. Traces pyrite fine à moyenne avec veinules EP.</p> <p>228.17 - 228.51</p> <p>90724: [.]FP#+SiEP(HM); 70% zones vert pâle rougeâtre. Veinule calcite à bordure HM rouge vif recoupe une zone. Noter concentrations de feldspath le long d'une veine de chlorite à 749.00' (228.30m). Les cristaux de feldspath sont-ils secondaires? ou la composante mafique fut-elle préférentiellement remobilisée?</p>	

MINNOVA INC. DIVISION EXPLORATION

DE (m)	A (m)	TEXTURE ET STRUCTURE	ALTERATION	MINÉRALISATION
		<p>255.24 - 257.01 Zone I4NPXBCCMG</p> <p>ZONE D'INJECTIONS DE LAMPROPHYRE ULTRAMAFIQUE</p> <p>Zone I4NPXBCCMG = 20% injections subcentimétriques à décimétriques de lamprophyre ultramafique phanéritique = équi-granulaire.</p> <p>257.53 - 259.08 I4NPXBCCMGVCC</p>	<p>Traces pyrite avec zones lessivées.</p> <p>237.59 - 238.45</p> <p>90725: #CCCL(HM)VCCHM; Feldspath oblitéré. Granulométrie fine, couleur vert moyen rouge.</p> <p>238.45 - 239.42 #CC+CL(HM) VCCHM</p> <p>90726: Intervalles centimétriques à > 20% fragments rouges millimétriques. Traces pyrite fine disséminée.</p> <p>239.42 - 240.94</p> <p>87934: CLVCC; Chloritisation diffuse moyenne, quelques plans de fracture hématisés. 1-2% minces veinules de calcite.</p> <p>246.19 - 247.71</p> <p>87935: CLVCC</p> <p>247.71 - 248.84 #+CL(80?)VCC</p> <p>90727: Veinules de calcite millimétriques très denses, = 20% de la roche. Traces pyrite fine à moyenne.</p> <p>249.39 - 250.91</p> <p>(3)CLSi?(PYVCC(HM); A partir de 818.2, la roche devient plus pâle et les phénocristaux plus grossiers mais plus flous (dû à l'altération. Quelques veinules de calcite-hématite. L'altération est moyenne, en chlorite et silice?, ce qui explique la coloration. Toutefois, la dureté de la roche n'est pas sensiblement accrue. Traces à 0.5% pyrite très locale</p>	<p>248.84 - 249.39 M15=?#CC(HM)(PY)</p> <p>90728: 25% HMCCPY. 3-4% pyrite fine à moyenne associée à zone HM.</p>

MINNOVA INC. DIVISION EXPLORATION

DE (m)	A (m)	TEXTURE ET STRUCTURE	ALTÉRATION	MINÉRALISATION
		<p>DYKE DE LAMPROPHYRE ULTRAMAFIQUE</p> <p>Lamprophyre ultramafique brun foncé = équigranulaire. Contact supérieur 80°AC, inférieur 70°AC.</p>	<p>260.30 - 260.73</p> <p>90729: [.JFP#+SICLVCC(HM); Lessivé, couleur vert moyen.</p> <p>260.73 - 261.52 #+CC(HM)vCCvCL</p> <p>90730: Phénocristaux oblitérés, couleur gris-vert rougeâtre.</p> <p>261.52 - 265.18 M15(=+++HM++CC+CL à #HMSi(PY)vQZ)</p> <p>ROCHE METASOMATIQUE</p> <p>Roche métasomatique rouge, contact supérieur apparaît sur = 1cm, inférieur graduel à l'échelle métrique. Texture du protolithe non définie. Foliation intense à extrême (mylonite) sur la majeure partie de l'intervalle; foliation définie par lamination compositionnelle tectonique irrégulière anastomosée (laminas rouge vif et gris foncé submillimétriques). Fractures planaires déplacent les plans de foliation. Déplacement subcentimétrique. Foliation à 70°AC. Foliation diminue et fracturation augmente vers le contact avec la syénite. Brèche tectonique au centre de 90731.</p> <p>Altération variable. Hématitisation intense et calcite moyenne à intense au début, HM diminue et Si augmente vers le contact avec la syénite.</p> <p>Traces en général de la minéralisation. Traces à 0.5% pyrite fine en veinules associées aux veinules de calcite et calcite-quartz dans la dernière partie, vers le contact avec la syénite.</p> <p>261.52 - 262.19 M17=+++HM++CC+CL</p> <p>90731;</p> <p>262.19 - 262.74 M17=+#HMCCvCCHM</p> <p>90732;</p> <p>262.74 - 264.17 =+#*HM+CLAB?VCC</p> <p>90733;</p> <p>264.17 - 264.51</p>	

MINNOVA INC. DIVISION EXPLORATION

DE (m)	A (m)	TEXTURE ET STRUCTURE	ALTÉRATION	MINÉRALISATION
265.18	331.01	<p>12DHG#(HM)</p> <p>SYENITE EQUIGRANULAIRE FRACTUREE ET FAIBLEMENT ALTEREE</p> <p>Roche intrusive feldspathique à texture phanéritique équigranulaire. Les intervalles moins altérés (eg autour de 1005') consistent en = 80% feldspath submillimétrique hypidiomorphe à xénomorphe, 15% hornblende ± magnétite interstitielle submillimétrique et < 5% matrice aphanitique felsique. Feldspath rose à orangé. Quelques xénolithes phanéritiques mafiques subcentimétriques à décimétriques. Foliation généralement absente, fracturation irrégulière moyenne à forte cause le débit de la carotte.</p> <p>Altération variable. Intervalles plutôt frais avec très faible hématisation des feldspaths et Cl-CC des hornblendes, intervalles métasomatés à hématite-calcite. Veinules de quartz blanc à gris-blanc millimétriques à subcentimétriques.</p> <p>Minéralisation en traces ou absente dans les intervalles relativement frais, localement jusqu'à 0.5% pyrite fine à moyenne disséminée et associée avec veines de quartz sur des intervalles submétriques à métriques.</p>	<p>90734: =+#+HMAB?(CCCL)vCL; < 5% fragments rouges millimétriques.</p> <p>264.51 - 265.18 #+HM(CCCL)(PY)vQZ</p> <p>90735: Une veine de quartz décimétrique avec inclusion HM+; quartz extrêmement fracturé millimétrique. ≤ 10% veinules de quartz en stockwork millimétriques à subcentimétriques (blanc et gris). Traces à 0.5% pyrite fine à moyenne disséminée et dans veinules de quartz.</p> <p>265.18 - 269.60 M15HG#+HMSRCC(PY)vCL, #VCC</p> <p>SYENITE METASOMATISEE</p> <p>Roche altérée, texture identique à la partie inférieure du M15 précédent. Contact défini par la disparition de la coloration grise (mafique), l'apparition de séricite, de grains de magnétite et une texture possédant plus d'affinités avec la syénite fraîche que la diorite. Le M15 du côté diorite ne retient pas de texture ignée tandis que cette texture primaire peut être décelée côté syénite. On note = 5-10% grains mafiques magnétiques sur des intervalles centimétriques; ces grains sont entièrement remplacés par la séricite blanc-vert pâle, là où celle-ci est fortement développée. De 875.70-876.20' (266.92-267.07m), xénolithe? mafique (dioritique?) altérée en BCCLCC.</p> <p>Hématite moyenne diffuse, calcite faible à moyenne diffuse. Séricite remplace les mafiques sur > 65% de l'intervalle. Veinules chlorite, hématite et calcite submillimétriques, celles de calcite peuvent être</p>	

MINNOVA INC. DIVISION EXPLORATION

DE (m)	A (m)	TEXTURE ET STRUCTURE	ALTÉRATION	MINÉRALISATION
			<p>millimétriques. Minéralisation variable, traces à ≤ 0.5% en général. Pyrite fine en veinules et disséminée.</p> <p>265.18 - 265.82 #*HM(SRCCCL)(PY)vQZ*AB</p> <p>90736: Veinules de quartz millimétriques à subcentimétriques, ≈ 5%. Traces pyrite fine disséminée et avec veines de quartz.</p> <p>265.82 - 266.91 MG#*HMSR(CCCL)</p> <p>90737:</p> <p>266.91 - 267.07</p> <p>87937: (MG)CL+(CC); Dyke? Contacts assez nets entre roche mafotomatique rouge et roche chloriteuse. Cet intervalle montre une forte altération en chlorite et faible en calcite. Traces de pyrite</p> <p>267.07 - 269.60 (MG)#HM(SISRCC)vCC</p> <p>90738: 876.2-881.0' (267.07-268.53m): Traces pyrite fine surtout en veinules submillimétriques avec chlorite.</p> <p>90739: 881.0-884.5' (268.53-269.60m): Idem.</p> <p>269.60 - 270.02</p> <p>90740: (MG)#HMCC(CL)vQZ; Mafiques non séricitisés, texture intrusive assez bien définie. Une veine de quartz centimétrique gris-blanc, 20°AC.</p> <p>270.02 - 270.33 (MG)#HM(SRCLCC)vQZ</p> <p>90741:</p> <p>270.33 - 271.42 (MG)#HMCC(CL)</p> <p>90742:</p> <p>271.42 - 272.61 (MG)#HM(SISRCLCC)vQZ</p> <p>90743: 2 veinules de quartz gris-blanc 1-2cm. Traces pyrite fine en veinules < 1mm.</p> <p>272.61 - 273.25 #*HM, HM+(SRsRCL)vQZ</p> <p>90744:</p>	

MINNOVA INC. DIVISION EXPLORATION

DE (m)	A (m)	TEXTURE ET STRUCTURE	ALTÉRATION	MINÉRALISATION
			<p>273.25 - 273.83</p> <p>87938: #MGSiCC(HMCL); Carotte brisée en morceaux centimétriques sur la moitié de l'intervalle. Passage peu altéré de la syénite. Couleur rose due à l'altération plus faible en hématite et plus forte en silice. Calcite diffuse.</p> <p>Traces de pyrite</p> <p>273.83 - 274.41</p> <p>90745: #Si(HMCLSR)vQZ; > traces pyrite fine disséminée.</p> <p>280.08 - 281.45</p> <p>90746: (MG)#+(SiHMCL)vCL; Couleur gris-mauve.</p> <p>281.45 - 282.06 #*HMSi(SRCC)(PY)vQZvCC</p> <p>90747: 0.5-1% pyrite fine à grossière avec veinules de quartz et veinules de calcite.</p> <p>282.06 - 283.65</p> <p>90748: #*(HMCCCL); Mafiques non SR; couleur gris-mauve. Traces pyrite fine locale.</p> <p>287.85 - 288.65</p> <p>90749: #*Si(HM)vQZvCC; Silicification diffuse moyenne à intense, veinules de quartz gris millimétriques à subcentimétriques, microveinules calcite recourent tout. Traces pyrite.</p> <p>290.72 - 291.60</p> <p>90750: #HM+(SiSR)vQZ; Séricitisation partielle de minéraux mafiques. Hématite moyenne allant à intense à la fin.</p> <p>Quelques veinules pyrite sur dernier quartz.</p> <p>291.60 - 292.33</p> <p>90751: #HM+(SiSR)vQZ; Idem, altération plus homogène, silicification intense centimétrique.</p> <p>Traces pyrite fine disséminée.</p> <p>292.33 - 293.16</p> <p>90752: #HM+(SiSR)vQZPY; 5-10% veinules de quartz gris-blanc très irrégulières.</p>	

MINNOVA INC. DIVISION EXPLORATION

DE (m)	A (m)	TEXTURE ET STRUCTURE	ALTÉRATION	MINÉRALISATION
			<p>= 0.5% pyrite fine à moyenne avec veinules de quartz irrégulières millimétriques à centimétriques.</p> <p>294.07 - 294.80</p> <p>90753: #+Si(HM)VCL; Couleur gris-rose.</p> <p>294.80 - 295.14 #HM+VQZVQZ(PY)</p> <p>90754: = 30% une veine de quartz gris tectonisée à 85°AC, probablement id génération que VQZPY. Traces de pyrite moyenne avec veinules quartz gris millimétriques.</p> <p>295.14 - 295.47</p> <p>90755: #+Si+(SR)VCL;</p> <p>296.97 - 309.49 M15#+HMRSivDM</p> <p>SYENITE METASOMATISEE</p> <p>Roche intrusive syénitique dont la texture phanéritique équi-granulaire est encore visible quoique mal définie due à l'intensité d'altération. Le centre de l'intervalle inclut une injection décimétrique de carbonatite. Foliation non définie; fracturation (hydrothermale) très irrégulière du type stockwork varie de intense à extrême en général.</p> <p>Altération variable. Hématitisation moyenne à intense omniprésente, minéraux mafiques généralement, mais pas toujours, remplacés par séricite, silicification variable faible à extrême. Forte concentration de veinules submillimétriques dolomie. Traces de biotite? fine en bordure de l'injection de carbonatite.</p> <p>Minéralisation variable. Traces à plus de 1% pyrite. Concentrations de pyrite sur des intervalles submétriques de part et d'autres de l'injection de carbonatite.</p> <p>296.97 - 297.48</p> <p>90756: #+HM à HM+Si(SRCC)VCLVSR; Séricitisation partielle des HM. Traces pyrite fine disséminée.</p> <p>297.48 - 297.97</p> <p>90757: #+Si+(SR(BO?))VSR; Fractures tabulaires submillimétriques à = 75°AC, espacement subcentimétrique. AB ou SR? blanc légèrement verdâtre. Dolomie.</p> <p>297.97 - 299.47 #+Si+(SR(BO?))VSRVQZ</p>	

MINNOVA INC. DIVISION EXPLORATION

DE (m)	A (m)	TEXTURE ET STRUCTURE	ALTÉRATION	MINÉRALISATION
		<p>299.47 - 299.71 14P##+CC+(PY)</p> <p>INJECTION DE CARBONATITE</p> <p>90759: Roche blanche extrêmement fracturée et partiellement recristallisée. Fractures submillimétriques de couleur vitreuse irrégulière à espacement millimétrique, principales à ≈ 75°AC. Contact inférieur net mais très irrégulier, contact supérieur gradationnel avec plusieurs injections 14P centimétriques à subcentimétriques et encaissant altéré. Contient = 1% minéraux mafiques submillimétriques bleutés. > traces pyrite en agrégats millimétriques à subcentimétriques.</p>	<p>90758:</p> <p>299.71 - 300.05 #+QZ+CCPYvQZGL</p> <p>90760: Zone hybride avec silice grise, calcite, hématite faible. Une veine de quartz centimétrique blanche. > 1% moyenne concentrée avec zone de calcite blanche (14P?). > 1% GL dans veinules de quartz centimétriques.</p> <p>300.05 - 301.17 #+SiHMSR(PY)</p> <p>90761: Homogène; silice intense au début de l'intervalle. ≥ 0.5% pyrite fine disséminée et en veinules submillimétriques.</p> <p>301.17 - 302.42 #+(SiHMSRCL)vQZ</p> <p>90762: Séricitisation partielle du hornblende. Traces pyrite fine disséminée.</p> <p>302.42 - 303.89</p> <p>90763: #(HMSiCL)vQZ; Séricitisation locale. Traces pyrite.</p> <p>303.89 - 304.62</p> <p>90764: #(HMSiCLSR);</p> <p>304.62 - 305.20 #HM(SRSi)</p> <p>90765: ≥ traces pyrite fine à moyenne disséminée.</p> <p>305.20 - 306.66</p> <p>87939: #MGCCSi(HMCL)</p>	

MINNOVA INC. DIVISION EXPLORATION

DE (m)	A (m)	TEXTURE ET STRUCTURE	ALTÉRATION	MINÉRALISATION
			<p>306.66 - 308.00 #+SiSR(HM)</p> <p>90766: Traces pyrite fine disséminée.</p> <p>308.00 - 308.98 #+HM+(SiSR)(PY)</p> <p>90767: > traces pyrite fine disséminée.</p> <p>308.98 - 309.52 #+HM+(SiSR)(PY), 30% VQZ</p> <p>90768: Veines irrégulières de quartz gris irrégulières avec inclusions vagues millimétriques. Traces pyrite dans encaissant et veines de quartz</p> <p>309.52 - 311.05</p> <p>87940: #MGSi(CCHMCL)VQZVCL Traces de pyrite</p> <p>318.94 - 319.86</p> <p>90769: (MG)#(CCHM)VQZ; < 5% veinules de quartz blanc-gris millimétriques à centimétriques.</p> <p>320.77 - 321.59</p> <p>90771: (MG)#(CCHM)VQZ; Fracturation et HM deviennent intenses vers la fin. Traces pyrite fine à moyenne.</p> <p>321.59 - 322.23</p> <p>90772: M15#HM+(SiCC); Traces pyrite fine disséminée.</p> <p>322.23 - 323.15</p> <p>90773: #+Si+(HMCC)VQZ; = 20% veinules de quartz gris foncé millimétriques à centimétriques.</p> <p>323.15 - 324.28</p> <p>90774: #+CC(SiHMCC)VQZ; ≤ 5% veinules de quartz millimétriques à centimétriques.</p> <p>324.28 - 324.92 #+CC(HM)VQZ</p> <p>90775: > 15% veinules de quartz millimétriques stockwork gris foncé.</p> <p>324.92 - 325.25</p>	

MINNOVA INC. DIVISION EXPLORATION

DE (m)	A (m)	TEXTURE ET STRUCTURE	ALTÉRATION	MINÉRALISATION
331.01	FIN DU TROU		<p>90776: 80% une VQZ; Veine de quartz gris enfumé fracturée, contacts à 45°AC.</p> <p>325.43 - 325.89</p> <p>90777: #CC(HM);</p> <p>330.25 - 330.80</p> <p>90778: #++Si+PYvCL?; Silicification intense diffuse, texture ignée retrouvée. Très faible hématisation (couleur rose pâle). = 1% pyrite automorphe fine à moyenne (cubes rectangulaires) dans les microfractures CL?</p> <p>331.02m (1086'): FIN DU TROU</p>	

MINNOVA INC. DIVISION EXPLORATION

ECHANTILLON	DE (m)	A (m)	LONGUEUR (m)	Au(OP1) ppb	Au(OP2) ppb	Au(R-1) ppb	Au(R-2) ppb	Au(MOY) ppb	Ag ppm	As(CH) ppm	Sb(CH) ppm	Mo(CH) ppm	Pb(CH) ppm	Cu(OP) ppm	Cu(CH) ppm	Cu(MOY) ppm	Zn(OP) ppm	Zn(CH) ppm	Zn(MOY) ppm
90681	28.04	28.83	0.79	tr.				tr.						299		299	97		97
90682	30.08	31.70	1.62	tr.				tr.						115		115	126		126
87930	31.70	33.71	2.01	tr.				tr.						135		135	100		100
90683	33.71	33.89	0.18	377				377						5980		5980	153		153
87931	33.89	35.42	1.53	tr.				tr.						150		150	105		105
90684	36.12	36.52	0.40	tr.				tr.						360		360	140		140
90685	62.82	63.03	0.21	tr.				tr.						70		70	327		327
90686	63.49	64.59	1.10	tr.				tr.						127		127	186		186
90687	67.18	67.48	0.30	tr.				tr.						50		50	154		154
90688	74.16	74.74	0.58	tr.				tr.						70		70	106		106
90689	86.72	87.02	0.30	tr.				tr.						43		43	114		114
90690	87.81	88.45	0.64	tr.				tr.						44		44	79		79
87932	94.77	96.32	1.53	tr.				tr.						72		72	120		120
90691	96.32	96.65	0.33	720				720						81		81	96		96
87933	96.65	98.18	1.53	tr.				tr.						79		79	116		116
90692	118.26	118.69	0.43	tr.				tr.						57		57	80		80
90693	121.46	122.50	1.04	tr.				tr.						132		132	130		130
90694	122.50	123.60	1.10	tr.				tr.						112		112	150		150
90695	124.30	124.42	0.12	tr.				tr.						74		74	120		120
90696	124.72	125.43	0.71	tr.				tr.						50		50	116		116
90697	128.02	128.63	0.61	tr.				tr.						85		85	114		114
90698	134.20	134.63	0.43	tr.				tr.						90		90	112		112
90699	138.17	138.56	0.39	tr.				tr.						63		63	166		166
90700	145.69	146.21	0.52	tr.				tr.						49		49	110		110
90701	150.82	151.00	0.18	tr.				tr.						66		66	90		90
90779	190.01	190.53	0.52	tr.				tr.											
90702	201.63	202.69	1.06	tr.				tr.						85		85	83		83
90703	202.69	204.06	1.37	tr.				tr.						87		87	62		62
90704	204.06	204.95	0.89	tr.				tr.						51		51	70		70
90705	204.95	205.34	0.39	tr.				tr.						60		60	80		80
90706	205.34	205.59	0.25	tr.				tr.						32		32	80		80
90708	211.29	211.53	0.24	tr.				tr.						64		64	70		70
90709	211.53	211.81	0.28	tr.				tr.						37		37	59		59
90710	211.81	212.60	0.79	tr.				tr.						50		50	64		64
90711	212.60	213.51	0.91	tr.				tr.						67		67	92		92
90712	213.51	214.18	0.67	548				548						57		57	102		102
90713	214.18	215.13	0.95	1817		2830	2800	2482						79		79	72		72
90714	215.13	216.83	1.70	617				617						77		77	74		74
90715	216.83	217.90	1.07	tr.				tr.						60		60	74		74
90716	217.90	218.24	0.34	1440				1440						75		75	71		71
90717	218.24	219.12	0.88	tr.				tr.						66		66	87		87
90718	219.85	220.68	0.83	tr.				tr.						92		92	79		79
90719	220.68	221.28	0.60	tr.				tr.						82		82	77		77
90720	221.28	222.63	1.35	tr.				tr.						67		67	69		69
90721	222.63	223.27	0.64	1200				1200						74		74	70		70
90722	223.27	223.75	0.48	tr.				tr.						55		55	86		86
90723	226.98	227.90	0.92	tr.				tr.						137		137	60		60
90724	228.17	228.51	0.34	tr.				tr.						170		170	46		46
90725	237.59	238.45	0.86	tr.				tr.						54		54	66		66
90726	238.45	239.42	0.97	651				651						64		64	79		79
87934	39.42	240.94	1.52	tr.				tr.						46		46	48		48
87935	246.19	247.71	1.52	tr.				tr.						51		51	47		47

MINNOVA INC. DIVISION EXPLORATION

ECHANTILLON	DE (m)	A (m)	LONGUEUR (m)	Au(OP1) ppb	Au(OP2) ppb	Au(R-1) ppb	Au(R-2) ppb	Au(MOY) ppb	Ag ppm	As(CH) ppm	Sb(CH) ppm	Mo(CH) ppm	Pb(CH) ppm	Cu(OP) ppm	Cu(CH) ppm	Cu(MOY) ppm	Zn(OP) ppm	Zn(CH) ppm	Zn(MOY) ppm
90727	247.71	248.84	1.13	1028		730	670	809						52		52	85		85
90728	248.84	249.39	0.55	2468				2468						102		102	70		70
87936	249.39	250.91	1.52	tr.				tr.						345		345	61		61
90729	260.30	260.73	0.43	tr.				tr.						56		56	57		57
90730	260.73	261.52	0.79	377				377						51		51	70		70
90731	261.52	262.19	0.67	994		1600	1530	1375						69		69	82		82
90732	262.19	262.74	0.55	582				582						60		60	80		80
90733	262.74	264.17	1.43	308				308						95		95	85		85
90734	264.17	264.51	0.34	tr.				tr.						100		100	90		90
90735	264.51	265.18	0.67	1268				1268						62		62	74		74
90736	265.18	265.82	0.64	1371				1371						67		67	150		150
90737	265.82	266.91	1.09	240				240						70		70	163		163
87937	266.91	267.07	0.16	tr.				tr.											
90738	267.07	268.53	1.46	754				754											
90739	268.53	269.60	1.07	514				514											
90740	269.60	270.02	0.42	tr.				tr.											
90741	270.02	270.33	0.31	514				514											
90742	270.33	271.42	1.09	tr.				tr.											
90743	271.42	272.61	1.19	720				720											
90744	272.61	273.25	0.64	548				548											
87938	273.25	273.83	0.58	tr.				tr.						41		41	75		75
90745	273.83	274.41	0.58	tr.				tr.											
90746	280.08	281.45	1.37	tr.				tr.											
90747	281.45	282.06	0.61	822				822											
90748	282.06	283.65	1.59	tr.				tr.											
90749	287.85	288.65	0.80	tr.				tr.											
90750	290.72	291.60	0.88	tr.				tr.											
90751	291.60	292.33	0.73	tr.				tr.											
90752	292.33	293.16	0.83	tr.				tr.											
90753	294.07	294.80	0.73	tr.				tr.											
90754	294.80	295.14	0.34	1577				1577											
90755	295.14	295.47	0.33	tr.				tr.											
90756	296.97	297.48	0.51	tr.				tr.											
90757	297.48	297.97	0.49	tr.				tr.											
90758	297.97	299.47	1.50	480				480											
90759	299.47	299.71	0.24	240				240	6.5					33		33	67		67
90760	299.71	300.05	0.34	891				891											
90761	300.05	301.17	1.12	1234		670	800	901											
90762	301.17	302.42	1.25	857				857											
90763	302.42	303.89	1.47	tr.				tr.											
90764	303.89	304.62	0.73	tr.				tr.											
90765	304.62	305.20	0.58	342				342											
87939	305.20	306.66	1.46	tr.				tr.						47		47	85		85
90766	306.66	308.00	1.34	2742		2170	1770	2227											115
90767	308.00	308.98	0.98	1234		1100	1300	1211											
90768	308.98	309.52	0.54	1474				1474											
87940	309.52	311.05	1.53	tr.				tr.						50		50	92		92
90769	318.94	319.86	0.92	tr.				tr.											
90771	320.77	321.59	0.82	tr.				tr.											
90772	321.59	322.23	0.64	tr.				tr.											
90773	322.23	323.15	0.92	tr.				tr.											
90774	323.15	324.28	1.13	tr.				tr.											

MINNOVA INC. DIVISION EXPLORATION

ECHANTILLON	DE (m)	A (m)	LONGUEUR (m)	Au(OP1) ppb	Au(OP2) ppb	Au(R-1) ppb	Au(R-2) ppb	Au(MOY) ppb	Ag ppm	As(CH) ppm	Sb(CH) ppm	Mo(CH) ppm	Pb(CH) ppm	Cu(OP) ppm	Cu(CH) ppm	Cu(MOY) ppm	Zn(OP) ppm	Zn(CH) ppm	Zn(MOY) ppm	
90775	324.28	324.92	0.64	240				240												
90776	324.92	325.25	0.33	tr.				tr.												
90777	325.43	325.89	0.46	tr.				tr.												
90778	330.25	330.80	0.55	tr.				tr.												

MINNOVA INC. DIVISION EXPLORATION

COMPAGNIE : MINNOVA INC.	DIVISION EXPLOIATION	PROJET : BOYVINET	SONDAGE : BV-25	IMPRIMÉ LE : 15 avril 1992
CANTON : BOYVINET	RANG : -	LOT : -	CLAIM : 382745-4	SNRC : 326/12
			ZONE : 81	NO. RÉFÉRENCE :
<u>COORDONNÉES AU COLLET</u>	GRILLE #1 LIGNE : 24+00E STATION : 28+00N ÉLEVATION : 13.720	GRILLE #2 LIGNE : STATION : ÉLEVATION : 13.720	GRILLE ARPENTÉE LATITUDE : 853.440 LONGITUDE : 731.520 ÉLEVATION : 13.720	AZIMUT : 152° 0' PLONGÉE : -50° 0' PROFONDEUR DU COLLET : 0.00 LONGUEUR : 385.27m.
GÉOLOGUE : F.SPEIDEL		REMARQUES :		DATE DU JOURNAL : 25 avril 1990
CONTRACTEUR : FORAGES BELAND				DATE D'ARPENTAGE :
				DATE DE CIMENTAGE :
BUT : Tester diorite porphyrique et syénite à l'ouest de la zone BV-09.				FORAGE DÉBUTÉ LE : 23 avril 1990
CIBLE :				TERMINÉ LE : 04 mai 1990
				TUBAGE LAISSÉ : Oui

DONNÉES D'ORIENTATION

Longueur	Azimut	Plongée
0.00	152 0'	-50 0'
52.12	158 0'	-50 0'
121.92	*161 4'	-47 0'
188.98	164 0'	-48 0'
243.84	*166 55'	-48 0'
302.06	170 0'	-48 0'
366.98	171 0'	-49 0'

(*) azimut estimé par le programme

MINNOVA INC. DIVISION EXPLORATION

DE (m)	A (m)	TEXTURE ET STRUCTURE	ALTÉRATION	MINÉRALISATION
0.00	21.95	NT		
21.95	151.27	<p>12Jm(.JFP#S1CL(EP)vCC</p> <p>MELANODIORITE PORPHYRIQUE A FELDSPATH FORTEMENT FRACTUREE ET SILICIFIEE</p> <p>Roche intrusive mafique dont la couleur varie de beige à vert très pâle à gris-mauve à rouge vif selon les faciès d'altération. Là où la texture primaire n'est pas oblitérée on observe généralement 10%, localement jusqu'à 30%, feldspath vert très pâle millimétrique à submillimétrique généralement allotriomorphe mais parfois hypidiomorphe à idiomorphe dans une matrice chloriteuse et siliceuse fine à aphanitique. Les grains de feldspath sont presque toujours flous.</p> <p>Foliation rare à absente, fracturation variable mais généralement au moins moyen : Irrégulière, multiphase, hydrothermale?</p> <p>Altération hétérogène et variable. Protolithe est presque toujours moyennement silicifié et chloritisé (altération diffuse), certains intervalles submétriques à métriques sont de couleur vert très pâle (Si+EP?) à orange pâle (Si+EP(HM)?) allant à gris-mauve (CLHM) et rouge vif (HM++). Veinules de calcite millimétriques à submillimétriques irrégulières et tardives.</p> <p>Minéralisation variable. Généralement traces ou absente, jusqu'à 1% sur des intervalles submillimétriques associés à l'altération rouge en particulier.</p>	<p>30.33 - 31.12</p> <p>90780: #*Si+(EPHM)vCC; Altération en silice intense mais texture porphyrique encore visible. Couleur vert pâle rosé.</p> <p>31.12 - 31.42</p> <p>90781: (MG)#Si+GL(HM); Phénocristaux FP ≤ 2mm; roche couleur gris-mauve foncé. Traces pyrite fine disséminée.</p> <p>31.42 - 32.55</p> <p>90782: #*Si+HM(EPCL); Altération très hétérogène, fracturation polyphase très dense donne aspect de brèche hydrothermale. Couleur vert pâle orangé. Traces pyrite fine disséminée.</p> <p>32.55 - 33.19</p> <p>90783: #*Si+HM(EPCL); Idem mais une peu plus de chlorite.</p> <p>33.19 - 41.51 CL+(BORB?)vCC</p> <p>DIORITE PORPHYRIQUE INTENSEMENT CHLORITISEE</p>	

MINNOVA INC. DIVISION EXPLORATION

DE (m)	A (m)	TEXTURE ET STRUCTURE	ALTÉRATION	MINÉRALISATION
		<p>46.27 - 47.67 Zone [4HMC+...]PXBOCCVCC</p> <p>ZONE DE DYKES DE LAMPROPHYRE</p> <p>Deux injections (151.80-151.90' et 156.30 à 156.40', soit 46.27-46.30m et 47.64-47.67m) et un dyke de 152.10-155.10' (46.36-47.28m). Contacts nets planaires à 40°AC. Texture hétérogène,</p>	<p>Roche mafique caractérisée par 10-15% grains feldspath en lattes ≤ 1mm hypidiomorphes à idiomorphes. Cristallisation et granulométrie plus fines distinctes. La matrice est vert foncé avec des grains brun foncé-noir (BO?) très fins et des cristaux flous bleu-vert moyen (RB?).</p> <p>Chloritisation moyenne à intense de la matrice, traces de biotite? fine et cristaux de riebeckite? Silicification faible distincte. Microfractures irrégulières remplies de calcite.</p> <p>41.51 - 42.55</p> <p>90784: #Si+(HMCL); Couleur vert pâle rosé. Traces pyrite fine ou moyenne à grossière locale.</p> <p>42.55 - 43.16</p> <p>90785: #SiCL; Couleur vert moyen irrégulière.</p> <p>43.16 - 44.01</p> <p>90786: (MG)#++CLSi(PY)vCC; Couleur gris-mauve. Traces à 0.5% pyrite très très fine disséminée à vert pâle.</p> <p>44.01 - 45.11</p> <p>90787: #++Si++(EPCC); Couleur vert pâle. Traces pyrite très fine disséminée et en veinules/fractures submillimétriques.</p> <p>45.11 - 45.90</p> <p>90788: #++Si(CL)(PY)vCC; Couleur vert moyen. Altération moyenne, texture porphyrique partiellement oblitérée. = 0.5% pyrite fine disséminée et en fractures.</p> <p>45.90 - 46.27</p> <p>90789: #Si+CLPYvCC; Couleur vert moyen à foncé. Veinules de calcite = 2-5%. = 1% pyrite fine disséminée.</p>	

MINNOVA INC. DIVISION EXPLORATION

DE (m)	A (m)	TEXTURE ET STRUCTURE	ALTÉRATION	MINÉRALISATION
		granulométrie variable.	<p>47.27 - 47.64</p> <p>90790: #*Si+(PY)vCL; Texture microporphyrrique. Couleur vert pâle. Traces à 0.5% pyrite fine disséminée.</p> <p>47.67 - 48.07</p> <p>90791: Idem.</p> <p>48.07 - 49.41</p> <p>90792: Idem.</p> <p>49.41 - 50.14</p> <p>90793: #*Si+(HM)vCLvCC; Couleur gris-orangé à rouge. Traces pyrite fine à moyenne disséminée.</p> <p>50.14 - 51.02</p> <p>90794: #*Si+vCC; Couleur gris-mauve, HM plus faible à absente. Traces pyrite fine en agrégats millimétriques.</p> <p>51.02 - 51.51</p> <p>90795: #*CL+(Si)vCC; Vert foncé à noir.</p> <p>51.51 - 51.94</p> <p>90796: #*CL+(EP)vCC; Vert foncé. Traces pyrite fine disséminée.</p> <p>51.94 - 52.97</p> <p>90797: #++Si+(HMEP)vCC; Gris-mauve à beige rosé à rouge-mauve. Traces pyrite fine disséminée.</p> <p>52.97 - 54.16</p> <p>90798: #*Si(HMCL)vCC; Gris-mauve à gris-vert. Traces à 0.5% pyrite concentrée en 3 agrégats/veinules irrégulières de largeur millimétrique sur un intervalle décimétrique.</p> <p>54.30 - 57.21</p> <p>90799: #*SiCLHM(EP); Altération très hétérogène.</p>	

MINNOVA INC. DIVISION EXPLORATION

DE (m)	A (m)	TEXTURE ET STRUCTURE	ALTÉRATION	MINÉRALISATION
			<p>57.21 - 57.79</p> <p>90800: #SIAB?CL; Texture porphyrique habituelle réapparaît.</p> <p>57.79 - 59.19</p> <p>90801: [.]FP#SiCL; Couleur vert foncé. Traces pyrite fine en concentrations locales.</p> <p>59.19 - 60.56</p> <p>90802: [.]FP#SiCL; Couleur vert foncé.</p> <p>60.56 - 61.90</p> <p>90803: #++SiCC(PY)vCBHMvCCPY; Phénocristaux très fins. Couleur gris-mauve. Veinules submillimétriques très denses. ≤ 0.5% pyrite très fine avec veinules calcite submillimétriques plissotées tardives (coupent vCBHM).</p> <p>61.90 - 63.34</p> <p>90804: #++SiCC(HM)PYvCBHMvCLvPYCC; Couleur gris-mauve à rouge. = 1% pyrite très fine disséminée et avec veinules de calcite.</p> <p>63.34 - 66.57 M15#HM+(PY)vCBHM</p> <p>Roche métasomatique intensément fracturée et altérée en HM. Centre de l'intervalle est aphanitique, rouge brique vif (hématite maximale) et bien minéralisé. Texture porphyrique généralement oblitérée. Altération variable. Début avec hématite irrégulière en agrégats, centre avec hématite homogène extrême, fin avec > 25-35% vCBHM. Altération hétérogène, ilots chloriteux. Traces à 2% pyrite fine disséminée et en agrégats millimétriques.</p>	<p>63.34 - 64.19</p> <p>90805: #HM à HM+CC(CL)PYvCC; 1-2% pyrite fine disséminée.</p> <p>64.19 - 65.53</p> <p>90806: M15#FK++HM++PY; 1-2% pyrite fine disséminée.</p>

MINNOVA INC. DIVISION EXPLORATION

DE (m)	A (m)	TEXTURE ET STRUCTURE	ALTÉRATION	MINÉRALISATION
				65.53 - 66.57
			66.57 - 67.60	90807: #++HM+vCBHM; Hématisation moyenne mais hétérogène, en agrégats ou fragments = 30% vCBHM. Traces pyrite.
			90808: #++HMvCBHM; Idem, diminution de veinules vCBHM. Traces pyrite.	
			67.60 - 73.24 (MG)#+CCvCBHMvCC	
			90809: 221.8-226.2' (67.61-68.95m); Texture porphyrique encore visible (FP très flou). Carotte fragmentée. Couleur/altération gris-mauve orangé. Traces pyrite fine en veinules boudinées?	
			90810: 226.2-230.7' (68.95-70.32m); Idem.	
			90811: 230.7-235.8' (70.32-71.87m); Idem.	
			90812: 235.8-240.3' (71.87-73.24m); Idem., roche moins fragmentée, texture porphyrique mieux définie.	
			73.24 - 77.39 #+HMvCBHMvCC	
			90813: 240.3-243.1' (73.24-74.10m); HM en partie hétérogène diffuse, en partie enveloppes de veinules comme précédemment.	
			90814: 243.1-245.4' (74.10-74.80m); Idem.	
			90815: 245.4-247.7' (74.80-75.50m); Idem., > traces de pyrite fine disséminée	
			90816: 247.7-253.9' (75.50-77.39m); Idem., 50% de l'intervalle est égrené, fragments 1-2cm.	
			77.39 - 77.57 #CL+SiCCvCC	
			90817: Traces pyrite locale.	
			77.57 - 79.83	
			87941: 12Jm[.JFP(MG)#CL+(Si)vCC; Chlorite forte et silice moyenne variable donnant teinte vert foncé à vert pâle. Texture porphyrique toujours visible. Minéralisation absente.	
			79.83 - 80.89	

MINNOVA INC. DIVISION EXPLORATION

DE (m)	A (m)	TEXTURE ET STRUCTURE	ALTÉRATION	MINÉRALISATION
			<p>90818: #SiCLCC(HM)(PY)vCC; > traces pyrite fine en veinules submillimétriques.</p> <p>80.89 - 82.05 #++HM+CC(PY)vCL</p> <p>90819: Densité de fracturation donne une texture bréchique locale. Traces pyrite fine locale.</p> <p>82.05 - 82.36 #+CL(HM)vCC</p> <p>90820: Gris-mauve forcé.</p> <p>82.36 - 83.82</p> <p>87942: #+CL+SivCC; Texture intrusive porphyrique ± oblitérée. Minéralisation absente.</p> <p>88.39 - 89.61</p> <p>87943: #+SiCCCLvCC; La moitié de l'intervalle est composé de "fragments" de 1-3cm. Silice et chlorite diffuses moyennes avec calcite variable, très faible hématite. Minéralisation absente.</p> <p>89.61 - 90.13 #SiCC(PY)vHM</p> <p>90821: ≥ traces pyrite fine disséminée et avec veinules HM ≤ 1mm.</p> <p>91.99 - 92.60</p> <p>90823: #+SiCLEP(DH)vCC; Altération hétérogène. Forte densité de microfractures de calcite. Traces pyrite fine disséminée.</p>	<p>90.13 - 91.99 M15#+DH+(HM)PY+</p> <p>90822: Protolithe non reconnaissable. Quelques intervalles centimétriques moins altérés montrent que la coloration gris-beige de la roche est due au chevauchement des enveloppes d'altération autour des veinules puisque par endroits on note faciès CL-CC où ce chevauchement n'a pas eu lieu. Texture porphyrique réapparaît. Protolithe silicifié? extrêmement fracturé; forte densité de veinules donnent allure de brèche hydrothermale à la roche. 3-5% pyrite très fine disséminée et en veinules.</p>

MINNOVA INC. DIVISION EXPLORATION

DE (m)	A (m)	TEXTURE ET STRUCTURE	ALTÉRATION	MINÉRALISATION
			<p>92.60 - 94.15</p> <p>90824: [.]FP#SiCL(HMCCB0?);</p> <p>94.15 - 95.52</p> <p>90825: [.]FP#SiCL(HMCCB0?) + 15% zones cm EP+; Teinte brunâtre, poss. '80)?. Traces pyrite fine très locale.</p> <p>95.52 - 96.68</p> <p>90826: [.]FP#CL(BQ?HMEP)VCLVCP; Feldspath légèrement HM, aussi HM faible diffuse. Altération hétérogène. Traces pyrite fine.</p> <p>102.41 - 103.88</p> <p>90827: [.]FP#SiCLVCC; Couleur vert foncé brunâtre. Phénocristaux feldspath très flous. Forte densité veinules calcite, submillimétriques sur le premier cinquième. Traces pyrite fine en quelques agrégats subcentimétriques à millimétriques.</p> <p>103.88 - 105.25</p> <p>90828: [.]FP#CLSi(HM)VCLVCC; Altération hétérogène. Couleur vert foncé, vert pâle (EP) et gris-vert brunâtre (SiCLHM). Traces pyrite fine disséminée et avec veinules de chlorite.</p> <p>105.25 - 106.74</p> <p>90829: [.]FP#CLSi(HM)VCLVCC; > traces pyrite sur = 0.3m au début.</p> <p>108.94 - 110.55</p> <p>90830: [.]FP#CLSi(HM)VCLVCC;</p> <p>110.55 - 111.19</p> <p>90831: [.]FP#Si+(EPCLHM)VEPCCHM; Foliation mylonitique très irrégulière à = 10°AC. Lamination tectonique, granulométrie aphanitique sur un intervalle 1-2cm. Altération hétérogène. Veinules de calcite et veinules EP superposées à HM et à la foliation. Traces pyrite fine disséminée et en veinules.</p>	
		113.02 - 113.05		

MINNOVA INC. DIVISION EXPLORATION

DE (m)	A (m)	TEXTURE ET STRUCTURE	ALTÉRATION	MINÉRALISATION
		I4P=CC+; Injection tabulaire de carbonatite rose à 45°AC.	<p>114.54 - 115.00</p> <p>90832: [.]FP#Si(HMCL)vCCvCL; Noter veinules de calcite partiellement dissolues. Traces pyrite fine avec veinules chlorite et veinules calcite.</p> <p>117.20 - 127.04 M15#-CC(HM)</p> <p>ROCHE METASOMATIQUE</p> <p>Intrusion mafique métasomatisée où la texture porphyrique est oblitérée sur une bonne partie (≥ 60%) de l'intervalle. Fracturation irrégulière moyenne à extrême; irrégulière, remplie surtout de chlorite ou calcite. A la limite la distinction entre fracturation et foliation anastomosée (voir 90839) n'est pas claire.</p> <p>Altération variable. Surtout caractérisée par hématitisation et carbonatation (calcite) avec veinules de calcite et veines de chlorite. Traces de pyrite fine disséminée.</p> <p>117.20 - 117.90</p> <p>90833: #CLHNVEP; Hématite faible à moyenne. Couleur vert foncé rougeâtre. Texture microporphyrique?</p> <p>117.90 - 118.35</p> <p>90834: #CLHNVEP;</p> <p>118.35 - 118.99</p> <p>90835: (#)CLSi(HM)vCC; Traces pyrite fine disséminée.</p> <p>118.99 - 119.79 #++, /H\MCC(PY)vCvCC, I4P</p> <p>90836: Injection I4P? d'un cm au centre de l'intervalle. Brèche hydrothermale au centre avec fragments rouges dans matrice de calcite. Veinules de chlorite coupent et déplacent injection I4P. ≤ 0.5% pyrite fine disséminée.</p> <p>119.79 - 121.36</p> <p>90837: [.]FP#-CLCCS(HM)(PY)vCLvCC; Texture porphyrique très floue, altération moyenne. ≥ 0.5% pyrite fine disséminée et avec veinules de chlorite (bleuée?).</p>	

MINNOVA INC. DIVISION EXPLORATION

DE (m)	A (m)	TEXTURE ET STRUCTURE	ALTÉRATION	MINÉRALISATION
		<p>133.01 - 133.41 12F7VCEP</p> <p>Zone de manzonite? hétérogène; = 10% feldspath rosé, 40% feldspath blanc, 30-40% minéraux mafiques interstitiels, feldspath blanc souvent en lattes. Xenolithes millimétriques de microgabbro, zones diffuses plus mafiques. Contacts non définis. Assimilation de l'encroûtement par un dyke de 12F?</p>	<p>121.34 - 122.38</p> <p>90838: [.]JFP#*HMCCVCC; Foliation? = plans chlorite irréguliers et lamination compositionelle. Feldspath très diffus mais reconnaissable. Transition vers échantillon fortement carbonaté suivant.</p> <p>122.38 - 122.93</p> <p>90839: #*7CC+vCL; Plans chlorite (fractures ou foliation?) irréguliers, microlithons millimétriques discontinus rosés. Foliation? à 80°C. Altération de couleur roseâtre.</p> <p>122.93 - 123.14</p> <p>90840: #HM(CC)vCC;</p> <p>123.14 - 123.75</p> <p>90841: #*(HMCC)vCL; Fin de l'intervalle = M18 et/ou M17.</p> <p>123.75 - 125.27</p> <p>90842: (MG)[.]JFP#(HMCCCL); Feldspath très flou. Altération de couleur gris-rouge. Traces de pyrite fine disséminée.</p> <p>125.27 - 126.31</p> <p>90843: (MG)[.]JFP#HM(CCCL); Distribution de l'hématite forme pseudo-fragments distincts des grains de feldspath.</p> <p>126.31 - 127.04</p> <p>90844: (MG)[.]JFP#(HMCCCL); Même texture.</p> <p>133.56 - 133.78</p> <p>90845: (#)Si(CCHM)(PY); Texture porphyrique absente, granulométrie fine.</p>	

MINNOVA INC. DIVISION EXPLORATION

DE (m)	A (m)	TEXTURE ET STRUCTURE	ALTÉRATION	MINÉRALISATION
			<p>> traces pyrite fine disséminée.</p> <p>134.63 - 134.93</p> <p>90846: 80% #+(SiCL)PYvCC; Granulométrie fine. ≤ 1% pyrite fine disséminée.</p> <p>139.66 - 140.30</p> <p>90847: [..JFP#]SiCC(CLHM); Texture porphyrique floue. Traces pyrite fine disséminée.</p> <p>140.30 - 141.09</p> <p>90848: Idem + 40% I2D7SivCL;</p> <p>141.09 - 142.40</p> <p>90849: [..JFP#]Si+CLvCC; Couleur vert pâle.</p> <p>142.40 - 143.68</p> <p>90850: 60% I2D(Si), 40% I2J[..JFPCL;</p> <p>143.68 - 144.87</p> <p>90851: I27CL+CC;</p> <p>144.87 - 145.18</p> <p>90852: I27CLCC(HM); Traces pyrite fine disséminée.</p> <p>145.18 - 146.27</p> <p>90853: [..JFP#]SiCL(HM)vCCvQZ; Fractures déplacent veinules de quartz subcentimétriques. ≥ traces pyrite fine en concentrations centimétriques à millimétriques locales.</p> <p>146.27 - 146.61</p> <p>90854: Idem.</p> <p>146.61 - 151.27 M15#*HMCCvQZvCC</p> <p>ROCHE METASOMATIQUE</p> <p>Intrusion métasomatisée dont le protolithe est au moins en partie le porphyre à feldspath, sa texture étant encore visible localement. Contact supérieur net et irrégulier, inférieur gradationnel. Foliation absente, fracturation irrégulière en stockwork de chlorite et surtout de calcite</p>	

MINNOVA INC. DIVISION EXPLORATION

DE (m)	A (m)	TEXTURE ET STRUCTURE	ALTÉRATION	MINÉRALISATION
151.27	385.27	<p>I2D(MG)#</p> <p>SYENITE FRACTUREE</p> <p>Roche intrusive phanéritique à granulométrie moyenne. Le début de l'intervalle a une texture équi-granulaire tandis que la fin, une texture trachytique et/ou porphyrique. La fracturation est généralement moyenne mais d'aspect variable.</p> <p>Altération variable en hématite, silice, et calcite avec passage de séricite et dolomie.</p> <p>Minéralisation généralement faible de trace à 1% de pyrite très finement disséminée, surtout dans les zones altérées.</p>	<p>tardive. Contact supérieur mylonitisé sur intervalle centimétrique. Foliation à 70°AC. Protomylonite.</p> <p>Altération variable. CLCC, Si+HM, CLEP etc.</p> <p>Minéralisation variable. Traces à 0.5% pyrite, pyritisation maximale dans intervalles silicifiés et hématisés.</p> <p>146.61 - 147.68</p> <p>90855: M15#HMSi(RB?)vCL; Lames rouge vif et grisâtres 1-2mm mal définies.</p> <p>Traces pyrite fine à moyenne.</p> <p>147.68 - 148.86</p> <p>90856: Idem; Lames mieux définies. Origine???</p> <p>148.86 - 150.02</p> <p>90857: (MG)[.JFP#*CC(HMSiCL)vCC; Traces pyrite fine au contact inférieur de la mylonite.</p> <p>150.02 - 150.33</p> <p>90858: [.JFP#*HMCCVCC; Traces pyrite fine disséminée.</p> <p>150.33 - 150.66</p> <p>90859: [.JFP#CL*Si(HM)VCC; Traces pyrite disséminée et une veinule de quartz subcentimétrique avec pyrite et silice.</p> <p>150.66 - 151.27</p> <p>90860: M15#Si+HMPYvQZ; Enveloppes HM+ ≤ 1mm autour de veinule de quartz millimétrique.</p> <p>≤ 1% pyrite fine disséminée.</p>	

MINNOVA INC. DIVISION EXPLORATION

DE (m)	A (m)	TEXTURE ET STRUCTURE	ALTÉRATION	MINÉRALISATION
		<p>151.27 - 216.93 I2D(MG)#HM CCSi(PY)vCL</p> <p>SYENITE EQUIGRANULAIRE</p> <p>Roche intrusive phanéritique à granulométrie moyenne de couleur rose à gris rosé à rouge. Intervalles plus frais constitués d'environ 80% feldspath rosé très flou millimétrique avec = 15-20% minéraux mafiques chloritisés interstitiels, un peu plus fins. Présence et proportion de matrice aphanitique ne peuvent être évaluées dû à la nature floue des feldspaths. Foliation absente, fracturation irrégulière varie de moyenne à intense, allure de brèche in-situ hydrothermale sur quelques intervalles centimétriques.</p> <p>Intervalles relativement frais sont faiblement à moyennement altérés en hématite (affecte le feldspath) et calcite (semble diffuse). Intervalles silicifiés et séricitisés et aussi avec hématisation pervasive intense. Veinules de chlorite dans fractures.</p> <p>Traces pyrite fine disséminée, tant dans faciès faiblement avec fortement altéré. Traces de pyrite en veinules irrégulières submillimétriques à l'intérieur de veines de quartz centimétriques.</p>	<p>151.27 - 156.42 I2D(MG)(HMCCCL); I3A(MG)CL+vCC</p> <p>ZONE DE TRANSITION SYENITE/GABBRO</p> <p>Zone mixte constituée d'environ 30% syénite équigranulaire faiblement altérée identique à l'unité principale et 70% gabbro phanéritique relativement frais, microgabbro? fortement chloritisé et porphyre à feldspath chloritisé. Contacts nets. Intervalles, décimétriques à submétriques.</p> <p>Surtout chloritisation des intervalles mafiques, faible chloritisation/carbonatation des mafiques et faible hématisation des feldspaths de la syénite.</p> <p>151.27 - 151.85 #*SICLHMvCC</p> <p>90861: Traces de pyrite.</p> <p>151.85 - 152.40</p> <p>87944: I3AMGCLvCC; Nombreuses veinules fines de calcite irrégulière et discontinue. Traces de pyrite fine.</p> <p>154.63 - 156.42</p> <p>90862: Typique.</p> <p>161.91 - 163.80</p> <p>90863: (MG)#(CCHMSi)vCL; Altération faible à moyenne.</p>	

MINNOVA INC. DIVISION EXPLORATION

DE (m)	A (m)	TEXTURE ET STRUCTURE	ALTÉRATION	MINÉRALISATION
			<p>Traces pyrite fine disséminée.</p> <p>163.80 - 164.71</p> <p>90864: (MG)#(CCHMSi)vCL; ≥ traces pyrite fine disséminée.</p> <p>167.27 - 167.82</p> <p>90865: (MG)#HMCC(SRCLSi)vCL; Traces pyrite fine disséminée.</p> <p>167.82 - 170.66 M15#+HMSi(SRCC)vCLvCCvQZ</p> <p>Syénite métasomatisée de couleur rouge moyen. Texture intrusive encore reconnaissable mais presque oblitérée. Foliation absente, fracturation en stockwork polyphase. Altération variable. Intervalle caractérisé par HM, Si diffuse avec séricitisation des minéraux mafiques à ≈ ≥ 60%.</p> <p>Traces pyrite fine disséminée.</p> <p>167.82 - 169.44</p> <p>90866: Typique.</p> <p>169.44 - 169.71</p> <p>90867: ≈ 60% VQZ gris & VQZ blanc; Traces pyrite fine disséminée et en veinules submillimétriques dans veines de quartz.</p> <p>169.71 - 170.66</p> <p>90868: MG#+Si+HM(SRCC)(PY/VCL); Fracturation un peu plus intense. > traces pyrite fine disséminée.</p> <p>170.66 - 171.33</p> <p>90869: #SiCC(HM)VQZCC; Veines de calcite-quartz ou I4P injecté dans veines de quartz? Traces pyrite fine disséminée avec I2D et veinules de calcite-quartz.</p> <p>171.33 - 171.94</p> <p>90870: MG#+CC+CL(PY)vCC; CL + MG? diffuse fine donne couleur vert-rouge à la roche, texture primaire = oblitérée. Forte densité de veinules de calcite irrégulières. ≥ traces pyrite fine disséminée.</p>	

MINNOVA INC. DIVISION EXPLORATION

DE (m)	A (m)	TEXTURE ET STRUCTURE	ALTÉRATION	MINÉRALISATION
			<p>171.94 - 172.36</p> <p>90871: Typique.</p> <p>172.36 - 172.49</p> <p>90872: 80% 14P=; 14P rose folié bréchifié quartz enfumé. Traces de pyrite.</p> <p>172.49 - 173.43</p> <p>90873: Typique.</p> <p>173.43 - 174.10</p> <p>90874: Idem.</p> <p>174.10 - 181.20 N15#*HM+SR(CC)(PY)vCLvOZ</p> <p>SYENITE METASOMATISEE ROUGE</p> <p>Roche intensément altérée et fracturée dont le protolithe syénitique peut encore être deviné par la distribution de séricite. Fracturation très irrégulière remplie surtout de chlorite donne aspect brèche hydrothermale in-situ sur des intervalles décimétriques. Altération intense, caractérisée par faciès hématite-séricite. Silicification semble faible ou absente. Chlorite vert foncé rempli fractures, aussi veinules de quartz gris millimétriques et veinules de calcite submillimétriques. Traces pyrite fine en général.</p> <p>174.10 - 175.69</p> <p>90875: (MG)#*HMSi(CLSRCC); Séricitisation partielle, silicification moyenne. Traces pyrite fine disséminée et avec veinules de chlorite.</p> <p>175.69 - 177.15</p> <p>90876: #*HM+SR(SiCL)vOZTL; Hématite-séricite augmente. Veine de quartz avec tourmaline aphanitique fracturant celle-ci. Traces pyrite fine disséminée.</p> <p>177.15 - 178.98 #*+HM+SR(CL)vOZvCL, /H\</p> <p>90877: 581.2-586.0' (177.15-178.61m); Zones bréchiques à matrice CL. Noter fragments = in-situ à veinules de quartz</p>	

MINNOVA INC. DIVISION EXPLORATION

DE (m)	A (m)	TEXTURE ET STRUCTURE	ALTÉRATION	MINÉRALISATION
		<p>178.98 - 179.07 13?#CC+</p> <p>Roche intrusive (dyke ou xénolithe?) à granulométrie phanéritique fine constituée d'environ 80% phénocristaux hypidiomorphes verts : translucides dans une matrice blanche aphanitique riche en calcite. Protolithe inconnu. Forte fracturation. Calcite primaire ou secondaire? Veinules calcite submillimétriques discontinues.</p>	<p>implique bréchification postdate HM et veinules de quartz. Traces de pyrite fine disséminée.</p> <p>90878: 586.0-587.2' (178.61-178.98m); Idem, 30% /H\</p> <p>179.07 - 179.98</p> <p>90879: #+HMSi(CCSR?)vCL; HM diminue, Si augmente. Traces pyrite fine disséminée.</p> <p>179.98 - 181.14 #++HM(Si)vCLvQZ</p> <p>90880: Une veinule de quartz centimétrique à 45°AC; quartz blanc. Inclusions rouges. Traces pyrite fine disséminée.</p> <p>181.14 - 181.90</p> <p>90881: #+Si(HM)vCLvQZ; Couleur gris-rose. = 10% quartz et veinules de quartz. Traces pyrite fine disséminée.</p> <p>184.71 - 185.23</p> <p>90882: (MG)#Si(CCHM)vQZ; ≥ 5% veinules quartz gris millimétriques.</p> <p>185.23 - 186.08</p> <p>90883: #+SiHM(SR)vQZ; ≥ 5% veinules quartz gris à gris-mauve à gris-blanc millimétriques à centimétriques.</p> <p>186.08 - 187.24</p> <p>90884: #+Si(SRCLCCHM)vQZ; Altération hétérogène, contient = 30% zones centimétriques Si+SR. Traces pyrite fine disséminée, surtout avec zones Si+ centimétriques.</p> <p>187.76 - 188.34</p> <p>90885: Typique, 20% vQZ; = 20% veinules de quartz blanc</p>	

MINNOVA INC. DIVISION EXPLORATION

DE (m)	A (m)	TEXTURE ET STRUCTURE	ALTÉRATION	MINÉRALISATION
			<p>centimétriques. Traces chalcopyrite dans veinules de quartz.</p> <p>188.61 - 189.46</p> <p>90886: Idem, 5-10% vQZ mm blanc; Traces pyrite fine disséminée et en fractures submillimétriques dans 120.</p> <p>193.58 - 194.22</p> <p>90887: (HG)#+Si+(CCSR)vQZ; > 25% quartz blanc millimétrique à centimétrique.</p> <p>203.09 - 203.48</p> <p>90888: 50% #+CC(HMSi)(PY); > traces pyrite fine disséminée avec altération sur intervalle décimétrique.</p> <p>206.93 - 207.14</p> <p>90889: (HG)#+vQZ; = 40% veinules de quartz gris bleuté millimétriques en stockwork.</p> <p>210.56 - 216.93 M15#+SiHM(SRCL)vQZ</p> <p>ROCHE METASOMATIQUE</p> <p>Syérite métasomatisée. Début de l'intervalle à protolithe équi-granulaire, fin est trachytique. Zone de contact altérée? Fracturation à l'échelle millimétrique x bien définie.</p> <p>Altération rouge moyenne. Hématite-silice et séricitisation des minéraux mafiques. Traces à 0.5% pyrite fine disséminée.</p> <p>210.56 - 210.80</p> <p>90890: (HG)#+Si(HM)CCSR(PY)vQZ; Altération moyenne. Texture ignée du protolithe peut être inférée. Couleur gris-rouge. > traces pyrite très fine disséminée.</p> <p>210.80 - 212.32 (HG)#++(HM)Si(SRCC)vQZ</p> <p>90891: Veinules de quartz gris. Couleur rouge moyen grisâtre (HM) à HM. ≥ traces pyrite fine disséminée.</p> <p>212.32 - 213.09</p> <p>90892: (HG)#+HM(SiSRCC)vQZ; Idem, hématitisation accrue. Contact inférieur très net.</p>	

MINNOVA INC. DIVISION EXPLORATION

DE (m)	A (m)	TEXTURE ET STRUCTURE	ALTÉRATION	MINÉRALISATION
		<p>216.93 - 385.27 120 (MG) += [JFP#(HMCC)vQZ</p> <p>SYENITE TRACHYTIQUE ET/OU PORPHYRIQUE</p> <p>Roche intrusive phanéritique à granulométrie moyenne. Intervalles plus faiblement altérés possèdent la texture trachytique porphyrique typique avec phénocristaux de feldspath grisâtres, plus rarement rosés, dans une matrice fine gris-rouge foncé très peu magnétique après 791.5' (241.25m) et altération en silice augmente comparativement à celle en calcite qui disparaît presque totalement. Fracturation variable. Plusieurs intervalles semblent intensément fracturés mais ces fractures sont très irrégulières et discontinues à l'échelle des phénocristaux.</p> <p>Altération variable. Faible hématite + calcite, feldspath : flou dans les intervalles peu altérés. Zones métasomatiques métriques.</p> <p>Traces à 1% pyrite, surtout fine disséminée dans les zones métasomatiques.</p>	<p>213.09 - 214.61</p> <p>90893: (MG)#+Si(HM) à HM(SRCCCL); Altération faible à moyenne, hétérogène par intervalles = centimétriques. Traces pyrite fine locale.</p> <p>214.61 - 215.19 (MG)#+Si(HM), HM(SRCCCL)(PY)</p> <p>90894: Traces à 0.5% pyrite fine disséminée et en veinules millimétriques discontinues.</p> <p>215.19 - 215.98</p> <p>90895: (MG)#+Si(HMSRCC)vQZ; Includ une zone centimétrique mylonitisée à grains fins rose pâle à 45°AC à 707.00' (215.50m).</p> <p>215.98 - 216.90</p> <p>90896: (MG)#+Si(HMSRCLCC); Transition vers la subunité suivante, texture trachytique reconnaissable à la fin. Altération hétérogène.</p> <p>218.72 - 220.19</p> <p>90897: #+Si+(HMCC)vQZ et HM+CC(Si)vCL; Altération hétérogène à l'échelle décimétrique. Texture trachytique presque effacée.</p> <p>220.19 - 221.44</p> <p>90898: #+Si(HMSR)vCL; Texture trachytique presque effacée;</p>	

MINNOVA INC. DIVISION EXPLORATION

DE (m)	A (m)	TEXTURE ET STRUCTURE	ALTÉRATION	MINÉRALISATION
			<p>Traces pyrite fine locale.</p> <p>221.44 - 222.78</p> <p>90899: #+HM(SiCLSR); Texture trachytique mieux définie. Traces pyrite fine disséminée.</p> <p>222.78 - 224.00</p> <p>90900: Idem.</p> <p>225.25 - 225.83</p> <p>90901: (MG)(#)Si+VQ2; 60% Si+, une zone centimétrique (Si). Texture trachytique bien définie dans cette dernière zone, presque oblitérée ailleurs.</p> <p>233.90 - 241.25 M15#Si+HM(SR)(PY)</p> <p>SYENITE METASOMATISEE</p> <p>Roche intrusive phanéritique à granulométrie moyenne, texture trachytique typique peut généralement être inférée. Fracturation à échelle millimétrique, cristaux semblent fragmenté dans les intervalles les plus altérés/fragmentés. Altération variable. Silicification diffuse moyenne à intense, localement extrême, prédomine, avec hématitisation faible à moyenne diffusé. Fractures remplies de matière vert-blanc pâle (SR ± FP). Intervalle blanc-beige (AB ± DN?).</p> <p>Minéralisation variable mais généralement présente de trace à 0.5% fine disséminée.</p> <p>233.90 - 235.06</p> <p>90902: #+Si+(HM)(PY); Couleur rouge moyen. ≤ 1% pyrite très très fine disséminée.</p> <p>235.06 - 236.74</p> <p>90903: #++HM(SiSR?AB?)PY; Couleur rouge moyen à foncé. ≥ 1% pyrite très très fine.</p> <p>236.74 - 237.47</p> <p>90904: #Si+AB+?DN?(HM)(PY); Couleur blanc beige, texture originale oblitérée. ≥ 0.5% pyrite très très fine.</p> <p>237.47 - 237.99</p> <p>90905: #++HM(SiSR?AD?)PY;</p>	

MINNOVA INC. DIVISION EXPLORATION

DE (m)	A (m)	TEXTURE ET STRUCTURE	ALTÉRATION	MINÉRALISATION
			<p>237.99 - 238.45</p> <p>90906: (#+HM+Si à Si+HM)(PY); ≥ 0.5% pyrite très fine disséminée.</p> <p>238.45 - 239.09</p> <p>90907: #+Si+(HM)(PY); > traces pyrite fine disséminée.</p> <p>239.09 - 240.30</p> <p>90908: #(Si à Si+(HM))vQZ; Altération variable. Texture trachytique localement bien définie. Traces pyrite fine très locale.</p> <p>240.30 - 241.25 #+Si+(HM)(PY)vQZ</p> <p>90909: Fracturation moins fine. Silicification diffuse et en veinules millimétriques. Une veine de quartz centimétrique avec veinules de quartz-pyrite en bordure. ≥ 0.5% pyrite fine disséminée et en veinules discontinues.</p> <p>241.25 - 247.50 #Si(HM)</p> <p>Fin graduelle des passages métasomatiques. La texture trachytique est visible par endroits. Fracturation localement forte de veinules de quartz et de calcite à plus petite échelle. Altération variable en silice et hématite. Traces de pyrite.</p> <p>241.25 - 242.32</p> <p>90911: (#)Si(HM);</p> <p>242.32 - 243.47</p> <p>90912: #Si(HM);</p> <p>243.47 - 244.45</p> <p>90913: (#)(SiHM); Traces de pyrite fine.</p> <p>244.45 - 245.27</p> <p>90914: (#)(SiHMCC);</p> <p>245.27 - 245.85 #(SiHMCC), vQZ/\CCGL</p> <p>90915: Galène? dans veine de quartz bréchique</p>	

MINNOVA INC. DIVISION EXPLORATION

DE (m)	A (m)	TEXTURE ET STRUCTURE	ALTÉRATION	MINÉRALISATION
			<p>245.85 - 246.43</p> <p>90916: (#)(SiHMCC); Traces de pyrite fine.</p> <p>246.43 - 247.50</p> <p>90917: #Si(HM);</p> <p>247.50 - 270.97 (#)Si</p> <p>Syérite relativement fraîche grise localement à teinte beige roseâtre. Texture trachytique nette ou moins altérée, fracturation faible.</p> <p>Altération en silice de faible à moyenne masquant parfois la texture. Localement hématite faible.</p> <p>Pyrite en traces, très localement jusqu'à 2% (rare).</p> <p>247.50 - 248.05</p> <p>90918: (#)Si; Trace de pyrite fine de 812.00 à 840.00' (247.50-256.04m).</p> <p>248.05 - 248.63</p> <p>90919: VQZ/\CC; Galène? 1-2mm dans veine de quartz.</p> <p>248.63 - 249.63</p> <p>90920: #SiVQZAB?CC;</p> <p>249.63 - 250.55</p> <p>90921: (#)Si;</p> <p>250.55 - 251.46</p> <p>90922: (#)Si;</p> <p>251.46 - 252.37</p> <p>90923: (#)Si;</p> <p>252.37 - 253.29</p> <p>90924: (#)Si;</p> <p>253.29 - 254.20</p> <p>90925: #Si(HM); Hématite faible à très faible localement.</p> <p>254.20 - 255.12</p>	

MINNOVA INC. DIVISION EXPLORATION

DE (m)	A (m)	TEXTURE ET STRUCTURE	ALTÉRATION	MINÉRALISATION
			<p>90926: (#)Si(HM); Hématite très faible. 255.12 - 256.03</p> <p>90927: #Si(HM); Hématite locale faible à moyenne. 256.03 - 256.95</p> <p>90928: (#)Si(HM)(PY); Pyrite fine > trace. 256.95 - 257.77</p> <p>90929: #Si(PY); Pyrite jusqu'à 2% très locale. 257.77 - 262.04 (Si)?</p> <p>Syénite très fraîche à texture trachytique nette localement porphyrique. Quelques xénolithes mafiques. Fracturation très faible. Silice faible?</p> <p>85951: 845.7-851.5' (257.77-259.54m); 120-(SiCC)vQZ; Syénite grise constituée d'environ 70% FP en lattes mm variablement alignées, localement avec quelques % FP trapu millimétrique. Environ 10% minéraux mafiques xénomorphes fins mm à submm et 20% matrice aphanitique grise. Faible altération en Si? et CC diffuses dans la matrice. vQZ millimétriques à espacement décimétrique.</p> <p>85952: 851.5-855.0' (259.54-260.61m); 120[.1FP(-)](SiCCHM); Idem., jusqu'à 3% FP trapu définissant une texture porphyrique. Texture trachytique plus vague. Les phénocristaux de feldspath ne montrent qu'une zonation double, il ne s'agit donc pas nécessairement de plagioclase. Faible altération diffuse en SiCCHM.</p> <p>856.00' (260.91m): Retour à la syénite à texture variable beige à grise. Altération en silice moyenne.</p> <p>85953: 855.0-859.7' (260.61-262.04m); Idem. à 85952, silicification plus forte, veinules en stockwork difus, veinules de CL dans fractures irrégulières mieux définies. 262.04 - 264.75 (#)(SiHMSR)(PY)</p> <p>90930: 859.7-863.0' (262.04-263.05m); Silice moyenne, séricitisation des mafiques à faible. Hématite faible à très faible. Pyrite fine inférieure à 0.5%.</p>	

MINNOVA INC. DIVISION EXPLORATION

DE (m')	A (m)	TEXTURE ET STRUCTURE	ALTÉRATION	MINÉRALISATION
			<p>90931: 863.0-866.0' (263.05-263.96m); Idem.</p> <p>90932: 866.0-868.6' (263.96-264.75m); Similaire, avec quelques veines de quartz < 2cm. Pyrite fine steignant 1% localement</p> <p>264.75 - 265.21</p> <p>90933: #*(Si)(PY);</p> <p>265.21 - 266.12</p> <p>90934: (#)Si+(HM)VQZ; Traces pyrite.</p> <p>266.12 - 266.76</p> <p>90935: VQZ/\CC; Veine de quartz bréchifiée par injection de calcite. Galène?</p> <p>266.76 - 267.34</p> <p>90936: (#)Si(HM)(SR)VQZ; Traces de pyrite.</p> <p>270.97 - 290.11 (#)HM(Si)(SR)</p> <p>Syérite rouge à texture trachytique toujours visible avec par contre mafique (pyroxène?) plus grosses et jusqu'à automorphe. Fracturation faible à très faible due à rares veinules de quartz et/ou calcite. Altération en hématite surtout, généralement moyenne, localement forte séricitisation des mafiques par endroits. Pyrite de trace à absente.</p> <p>270.97 - 271.88</p> <p>90937: (#)(HMSi);</p> <p>271.88 - 272.80</p> <p>90938:</p> <p>272.80 - 273.71</p> <p>90939:</p> <p>273.71 - 274.62</p> <p>90941:</p> <p>275.54 - 276.45</p>	

MINNOVA INC. DIVISION EXPLORATION

DE (m)	A (m)	TEXTURE ET STRUCTURE	ALTÉRATION	MINÉRALISATION
			<p>90942: 276.45 - 277.37</p> <p>90943: 277.37 - 278.28</p> <p>90944: 278.28 - 279.20</p> <p>90945: 279.20 - 280.17 (#)HM(SIFL)(PY)</p> <p>90946: Traces de fluorite. Traces de pyrite très fine. 280.17 - 281.03 #HMSR(SI)(PY)VOZ</p> <p>90947: Pyrite jusqu'à 1%, très fine. 281.03 - 281.94 #+HM(SiSR)(PY)</p> <p>90948: Augmentation de la fracturation avec localement aspect bréchique. Altération irrégulière en hématite et silice. Séricitisation faible des mafiques. Pyrite fine < 0.5%. 281.94 - 282.85</p> <p>90949: #Si(HM)/VOZ(CCTL); A partir de 925.00' diminution graduelle de l'hématite mais toujours moyenne. 282.85 - 283.46</p> <p>90950: (#)HM(Si); Séricite très faible à faible. 283.46 - 284.38</p> <p>90951: (#)HM(Si)(SR); 284.38 - 285.29</p> <p>90952: (#)HM(Si)(SR); 285.29 - 286.21</p> <p>90953: (#)HM(Si)(SR);</p>	

MINNOVA INC. DIVISION EXPLORATION

DE (m)	A (m)	TEXTURE ET STRUCTURE	ALTÉRATION	MINÉRALISATION
			<p>286.21 - 287.12</p> <p>90954: (#)HM(Si)(SR);</p> <p>287.12 - 288.04</p> <p>90955: (#)HM(Si)(SR);</p> <p>288.04 - 288.95</p> <p>90956: (#)HM(Si)(SR);</p> <p>288.95 - 290.11</p> <p>90957: #(HMSiSR);</p> <p>300.99 - 301.90</p> <p>90958: #SiO2(CC)(Si); 10% de veines de quartz < 3cm; Silice moyenne diffuse et calcite surtout associée aux veines de quartz. Spécularite en bordure de veines de quartz.</p> <p>301.90 - 302.67</p> <p>90959: #Si(SR);</p> <p>311.81 - 318.03 #HMCBSi</p> <p>Intervalle de syénite beige à rougeâtre, variable perte locale de texture trachytique. Quelques veines de quartz. Présence de microfracturation. Altération variable en hématite-carbonate (dolomie et calcite). Traces de pyrite (rares).</p> <p>311.81 - 312.82</p> <p>90960: #+DM(HM);</p> <p>312.82 - 313.64</p> <p>90961: #Si(HMSR)PY; Pyrite 1% à 2% localement très fine.</p> <p>313.64 - 314.55</p> <p>90962: #Si(HM)(SR)</p> <p>314.55 - 315.47</p> <p>90963: Idem ± calcite; Hématite localement forte.</p>	

MINNOVA INC. DIVISION EXPLORATION

DE (m)	A (m)	TEXTURE ET STRUCTURE	ALTÉRATION	MINÉRALISATION
			<p>315.47 - 316.38</p> <p>90964: (#)HM(Si)(SR)</p> <p>316.38 - 317.30</p> <p>90965: (#)(SiHMSR);</p> <p>317.30 - 318.03</p> <p>90966: (#)(SiHMSR);</p> <p>323.48 - 324.00</p> <p>90967: HM+(CC); Altération hématite forte donnant une teinte rouge à la roche mais texture toujours visible, calcite surtout des mafiques.</p> <p>332.08 - 336.80 #+si</p> <p>Roche beige dont la texture est généralement oblitérée légèrement par l'altération. Fracturation de moyenne à forte due aux veines de quartz (millimétriques à centimétriques) veinules de chlorite et parfois semblent être veines/veinules tourmaline? La roche semble être bréchique par endroits. De 2 à 8% veines de quartz. Altération: surtout en silice de forte à moyenne.</p> <p>332.08 - 333.15</p> <p>90968: #+Si+VQZ;</p> <p>333.15 - 334.06</p> <p>90969: #+SiVQZ;</p> <p>334.06 - 334.98</p> <p>90970: #+SiVQZ;</p> <p>338.08 - 343.94 M15#+SiHM(SR)</p> <p>SYENITE METASOMATIQUE</p> <p>De couleur rouge à rougeâtre dont la texture intrusive est difficilement reconnaissable. La fracturation est forte sur l'ensemble surtout par microfracture remplie de séricite ± calcite localement. Généralement hématite et silice diffuse moyenne. Séricitisation partielle des mafiques en plus des microfractures.</p>	

MINNOVA INC. DIVISION EXPLORATION

DE (m)	A (m)	TEXTURE ET STRUCTURE	ALTÉRATION	MINÉRALISATION
			<p>Pyrite très rare.</p> <p>338.08 - 338.94</p> <p>90971: #+SiHM;</p> <p>338.94 - 339.67</p> <p>90972: #+SiHM(SR);</p> <p>339.67 - 340.49 #HM+Si(SR)</p> <p>90973</p> <p>340.49 - 341.38 #+HMSi(SR)</p> <p>90974</p> <p>341.38 - 342.29</p> <p>90975: Idem.</p> <p>342.29 - 343.20</p> <p>90976: #+SiHM(SR);</p> <p>343.20 - 343.94</p> <p>90977: #+Si(HMSR);</p> <p>343.94 - 344.73</p> <p>90978: (#)(HMSi); A partir de 343.40' (343.94m) alternance métrique de passage à altération faible en silice à faible en hématite avec 2-3% de veinules de quartz généralement < 2cm avec fréquemment spécularite.</p> <p>348.69 - 349.30</p> <p>90979: (#)(SiHM)VQZPY; Trace de pyrite en bordure des 4-5 veinules de quartz < 1cm.</p> <p>350.49 - 351.25</p> <p>90980: VQZ; 70% de veines de quartz avec traces de pyrite et spécularite.</p> <p>358.14 - 359.97</p> <p>87945: 120#Si(DMCC)VQZ; Traces de pyrite très fine.</p>	

MINNOVA INC. DIVISION EXPLORATION

DE (m)	A (m)	TEXTURE ET STRUCTURE	ALTÉRATION	MINÉRALISATION
			<p>359.97 - 363.02 M15#*Si+DM?VQZ</p> <p>SYENITE METASOMATIQUE</p> <p>Beige roseâtre dont la texture intrusive est généralement oblitérée. Environ 2% de veines de quartz de 2 cm parfois démembrées. Microfracturation forte par silice??</p> <p>Altération diffuse en silice et dolomie donnant la teinte beige. Probablement très faible quantité d'hématite.</p> <p>Pyrite très fine jusqu'à 1% par endroits.</p> <p>359.97 - 360.88</p> <p>90981: M15#*Si+DM?(PY)VQZ;</p> <p>360.88 - 361.80</p> <p>90982: M15#*Si+DM?(PY)VQZ;</p> <p>361.80 - 363.02</p> <p>90983: M15#*Si(DH?)(PY)VQZ;</p> <p>363.02 - 363.38</p> <p>87946: #*Si(HMDM)VQZ; Texture intrusive encore visible. Nombreuses veines centimétriques irrégulières.</p> <p>Silice en veines et diffuse, hématite entre faible et moyenne et probablement dolomie.</p> <p>363.38 - 363.75</p> <p>90984: VQZ(TL)?; Tourmaline? en bordure.</p> <p>366.80 - 385.27 (#)HMSi(SR)</p> <p>Syénite rose à rouge toujours à texture trachytique et/ou porphyrique. Quelques minces veinules de quartz et/ou calcite/chlorite.</p> <p>Fracturation faible à très faible définie par ces minces veines et microfractures.</p> <p>Silice et hématite diffuses assez constantes.</p> <p>Séricitisation partielle des mafiques. Calcite très faible à faible localement.</p> <p>Pyrite variable.</p> <p>366.80 - 367.59</p> <p>90985: (#)HMSiSR(PY); Pyrite très fine légèrement sup. à traces.</p>	

MINNOVA INC. DIVISION EXPLORATION

DE (m)	A (m)	TEXTURE ET STRUCTURE	ALTÉRATION	MINÉRALISATION
			367.59 - 368.50 (#)HMSi(SR)(PY) 90986: Pyrite très fine légèrement sup. à traces. 368.50 - 369.42 90987: (#)SiHM(SR); Traces de pyrite très fine. 369.42 - 370.33 90988: (#)SiHM(SR); Idem. 370.33 - 371.25 90989: (#)SiHM(SR); Idem. 371.25 - 372.16 90990: (#)SiHM(SR); Idem. 372.16 - 373.08 90991: (#)SiHM(SR); Idem. 373.08 - 374.11 90992: (#)SiHM(SR)VCC; Idem. 374.11 - 374.63 90993: #+SiVCCVCL; 374.63 - 375.51 90994: (#)SiHM(SR); Traces de pyrite. 375.51 - 376.43 90995: #SiHM(SR); Traces pyrite. 376.43 - 377.34 90996: #HMSi(SR); 377.34 - 378.26 90997: #HMSi; 378.26 - 378.71 90998: (#)HMSi(SR);	

MINNOVA INC. DIVISION EXPLORATION

DE (m)	A (m)	TEXTURE ET STRUCTURE	ALTÉRATION	MINÉRALISATION
385.27	FIN DU TROU		<p>378.71 - 379.60</p> <p>90999: H15#*Si(HMSR)?; Traces pyrite très fine.</p> <p>379.60 - 380.39 #HMSi(SR)(PY)</p> <p>91000: Traces à 0.5% pyrite très fine.</p> <p>380.39 - 381.00</p> <p>91001: #HMSi(SR)(PY); Idem.</p> <p>381.00 - 381.91</p> <p>91002: #HMSi(SR)(PY); Idem.</p> <p>381.91 - 382.52</p> <p>91003: #HMSi(SR)(PY); 0.5 à 1% pyrite très fine.</p> <p>382.52 - 383.44</p> <p>91004: (#)HMSi(SR); Traces pyrite très fine.</p> <p>383.44 - 384.35</p> <p>91005: #HMSi(SR)PY; Traces à 0.5%.</p> <p>384.35 - 385.27</p> <p>91006: Idem.</p> <p>385.27m (1264.00'): FIN DU TROU Trou originalement planifié pour 1400' (426.73m), mais les foreurs brisèrent leur "shell" à 1264' (385.27m). La "shell" demeura donc dans le fond du trou.</p>	

MINNOVA INC. DIVISION EXPLORATION

ECHANTILLON	DE (m)	A (m)	LONGUEUR (m)	Au(OP1) ppb	Au(OP2) ppb	Au(R-1) ppb	Au(R-2) ppb	Au(MOY) ppb	Ag ppm	As(CH) ppm	Sb(CH) ppm	Mo(CH) ppm	Pb(CH) ppm	Cu(OP) ppm	Cu(CH) ppm	Cu(MOY) ppm	Zn(OP) ppm	Zn(CH) ppm	Zn(MOY) ppm
90780	30.33	31.12	0.79	tr.				tr.						100		100	45		45
90781	31.12	31.42	0.30	tr.				tr.						95		95	60		60
90782	31.42	32.55	1.13	tr.				tr.						84		84	45		45
90783	32.55	33.19	0.64	tr.				tr.						120		120	55		55
90784	41.51	42.55	1.04	tr.				tr.						90		90	40		40
90785	42.55	43.16	0.61	tr.				tr.						87		87	59		59
90786	43.16	44.01	0.85	tr.				tr.						115		115	57		57
90787	44.01	45.11	1.10	tr.				tr.						65		65	49		49
90788	45.11	45.90	0.79	tr.				tr.						76		76	56		56
90789	45.90	46.27	0.37	tr.				tr.						126		126	56		56
90790	47.27	47.64	0.37	tr.				tr.						100		100	68		68
90791	47.67	48.07	0.40	tr.				tr.						80		80	76		76
90792	48.07	49.41	1.34	tr.				tr.						95		95	71		71
90793	49.41	50.14	0.73	tr.				tr.						96		96	50		50
90794	50.14	51.02	0.88	tr.				tr.						79		79	60		60
90795	51.02	51.51	0.49	tr.				tr.						89		89	70		70
90796	51.51	51.94	0.43	tr.				tr.						165		165	110		110
90797	51.94	52.97	1.03	tr.				tr.						67		67	62		62
90798	52.97	54.16	1.19	tr.				tr.						60		60	91		91
90910	54.86	56.30	1.44	tr.				tr.						100		100	75		75
90799	56.30	57.21	0.91	tr.				tr.						110		110	79		79
90800	57.21	57.79	0.58	tr.				tr.						138		138	76		76
90801	57.79	59.19	1.40	tr.				tr.						78		78	79		79
90802	59.19	60.56	1.37	tr.				tr.						57		57	77		77
90803	60.56	61.90	1.34	tr.				tr.						67		67	60		60
90804	61.90	63.34	1.44	tr.				tr.						63		63	68		68
90805	63.34	64.19	0.85	445				445						66		66	100		100
90806	64.19	65.53	1.34	2948		2270	2000	2406						47		47	94		94
90807	65.53	66.57	1.04	445				445						64		64	94		94
90808	66.57	67.60	1.03	tr.				tr.						84		84	90		90
90809	67.60	68.95	1.35	tr.				tr.						62		62	61		61
90810	68.95	70.32	1.37	411				411						63		63	61		61
90811	70.32	71.87	1.55	754				754						59		59	84		84
90812	71.87	73.24	1.37	548				548						77		77	67		67
90813	73.24	74.10	0.86	tr.				tr.						57		57	60		60
90814	74.10	74.80	0.70	tr.				tr.						60		60	59		59
90815	74.80	75.50	0.70	tr.				tr.						65		65	47		47
90816	75.50	77.39	1.89	651				651						64		64	61		61
90817	77.39	77.57	0.18	205				205						117		117	62		62
87941	77.57	79.83	2.26	tr.				tr.						80		80	43		43
90818	79.83	80.89	1.06	tr.				tr.						60		60	45		45
90819	80.89	82.05	1.16	1748		2130	2030	1969						53		53	47		47
90820	82.05	82.36	0.31	240				240						76		76	60		60
87942	82.36	83.82	1.46	tr.				tr.						264		264	46		46
87943	88.39	89.61	1.22	tr.				tr.						60		60	43		43
90821	89.61	90.13	0.52	5862				5862						52		52	50		50
90822	90.13	91.99	1.86	1782		1700	1770	1751						49		49	54		54
90823	91.99	92.60	0.61	tr.				tr.						64		64	50		50
90824	92.60	94.15	1.55	tr.				tr.						50		50	50		50
90825	94.15	95.52	1.37	tr.				tr.						76		76	44		44
90826	95.52	96.68	1.16	tr.				tr.						49		49	45		45
90827	102.41	103.88	1.47	tr.				tr.						47		47	52		52

MINNOVA INC. DIVISION EXPLORATION

ECHANTILLON	DE (m)	A (m)	LONGUEUR (m)	Au(OP1) ppb	Au(OP2) ppb	Au(R-1) ppb	Au(R-2) ppb	Au(MOY) ppb	Ag ppm	As(CH) ppm	Sb(CH) ppm	Mo(CH) ppm	Pb(CH) ppm	Cu(OP) ppm	Cu(CH) ppm	Cu(MOY) ppm	Zn(OP) ppm	Zn(CH) ppm	Zn(MOY) ppm
90828	103.88	105.25	1.37	tr.				tr.						72		72	51		51
90829	105.25	106.74	1.49	tr.				tr.						47		47	49		49
90830	108.94	110.55	1.61	tr.				tr.						58		58	37		37
90831	110.55	111.19	0.64	tr.				tr.						54		54	40		40
90832	114.54	115.00	0.46	tr.				tr.						46		46	41		41
90833	117.20	117.90	0.70	tr.				tr.						43		43	42		42
90834	117.90	118.35	0.45	tr.				tr.						40		40	40		40
90835	118.35	118.99	0.64	tr.				tr.						166		166	57		57
90836	118.99	119.79	0.80	274				274						60		60	62		62
90837	119.79	121.34	1.55	tr.				tr.						40		40	52		52
90838	121.34	122.32	0.98	tr.				tr.						38		38	52		52
90839	122.32	122.93	0.61	tr.				tr.						29		29	70		70
90840	122.93	123.14	0.21	tr.				tr.						38		38	43		43
90841	123.14	123.75	0.61	tr.				tr.						31		31	54		54
90842	123.75	125.27	1.52	tr.				tr.						75		75	65		65
90843	125.27	126.31	1.04	tr.				tr.						67		67	55		55
90844	126.31	127.04	0.73	tr.				tr.						50		50	65		65
90845	133.56	133.78	0.22	tr.				tr.						92		92	54		54
90846	134.63	134.93	0.30	tr.				tr.						367		367	72		72
90847	139.66	140.30	0.64	tr.				tr.						51		51	56		56
90848	140.30	141.09	0.79	tr.				tr.						104		104	50		50
90849	141.09	142.40	1.31	tr.				tr.						130		130	51		51
90850	142.40	143.68	1.28	tr.				tr.						80		80	60		60
90851	143.68	144.87	1.19	tr.				tr.						105		105	65		65
90852	144.87	145.18	0.31	tr.				tr.						45		45	42		42
90853	145.18	146.27	1.09	tr.				tr.						139		139	49		49
90854	146.27	146.61	0.34	tr.				tr.						78		78	57		57
90855	146.61	147.68	1.07	tr.				tr.						26		26	53		53
90856	147.68	148.86	1.18	tr.				tr.						19		19	50		50
90857	148.86	150.02	1.16	tr.				tr.						94		94	80		80
90858	150.02	150.33	0.31	tr.				tr.						48		48	51		51
90859	150.33	150.66	0.33	tr.				tr.						47		47	67		67
90860	150.66	151.27	0.61	tr.				tr.						79		79	50		50
90861	151.27	151.85	0.58	274				274						180		180	54		54
87944	151.85	152.40	0.55	tr.				tr.						60		60	45		45
90862	154.63	156.42	1.79	tr.				tr.						190		190	77		77
90863	161.91	163.80	1.89	tr.				tr.						38		38	56		56
90864	163.80	164.71	0.91	tr.				tr.						25		25	54		54
90865	167.27	167.82	0.55	tr.				tr.						38		38	56		56
90866	167.82	169.44	1.62	240				240						59		59	77		77
90867	169.44	169.71	0.27	tr.				tr.						80		80	50		50
90868	169.71	170.66	0.95	tr.				tr.						48		48	60		60
90869	170.66	171.33	0.67	tr.				tr.						283		283	57		57
90870	171.33	171.94	0.61	tr.				tr.						241		241	66		66
90871	171.94	172.36	0.42	tr.				tr.						57		57	59		59
90872	172.36	172.49	0.13	tr.				tr.	5.1					139		139	47		47
90873	172.49	173.43	0.94	tr.				tr.						141		141	73		73
90874	173.43	174.10	0.67	tr.				tr.						87		87	60		60
90875	174.10	175.69	1.59	tr.				tr.						76		76	54		54
90876	175.69	177.15	1.46	tr.				tr.						64		64	64		64
90877	177.15	178.61	1.46	274				274						100		100	69		69
90878	178.61	178.98	0.37	274				274						146		146	91		91

MINNOVA INC. DIVISION EXPLORATION

ÉCHANTILLON	DE (m)	A (m)	LONGUEUR (m)	Au(OP1) ppb	Au(OP2) ppb	Au(R-1) ppb	Au(R-2) ppb	Au(MOY) ppb	Ag ppm	As(CH) ppm	Sb(CH) ppm	Mo(CH) ppm	Pb(CH) ppm	Cu(OP) ppm	Cu(CH) ppm	Cu(MOY) ppm	Zn(OP) ppm	Zn(CH) ppm	Zn(MOY) ppm
90879	179.07	179.98	0.91	tr.				tr.						39		39	93		93
90880	179.98	181.14	1.16	445				445						29		29	65		65
90881	181.14	181.90	0.76	tr.				tr.						66		66	49		49
90882	184.71	185.23	0.52	tr.				tr.						42		42	55		55
90883	185.23	186.08	0.85	tr.				tr.						43		43	68		68
90884	186.08	187.24	1.16	tr.				tr.						40		40	56		56
90885	187.76	188.34	0.58	tr.				tr.						110		110	51		51
90886	188.61	189.46	0.85	tr.				tr.						71		71	49		49
90887	193.58	194.22	0.64	tr.				tr.						30		30	56		56
90888	203.09	203.48	0.39	tr.				tr.						12		12	60		60
90889	206.93	207.14	0.21	tr.				tr.						16		16	44		44
90890	210.56	210.80	0.24	tr.				tr.						44		44	79		79
90891	210.80	212.32	1.52	274				274						47		47	84		84
90892	212.32	213.09	0.77	tr.				tr.						40		40	80		80
90893	213.09	214.61	1.52	tr.				tr.						56		56	85		85
90894	214.61	215.19	0.58	617				617						37		37	103		103
90895	215.19	215.98	0.79	tr.				tr.						42		42	100		100
90896	215.98	216.90	0.92	tr.				tr.						43		43	83		83
90897	218.72	220.19	1.47	tr.				tr.						41		41	120		120
90898	220.19	221.44	1.25	tr.				tr.						35		35	100		100
90899	221.44	222.78	1.34	tr.				tr.						42		42	85		85
90900	222.78	224.00	1.22	tr.				tr.						38		38	76		76
90901	225.25	225.83	0.58	tr.				tr.						37		37	100		100
90902	233.90	235.06	1.16	tr.				tr.						48		48	74		74
90903	235.06	236.74	1.68	788				788						60		60	91		91
90904	236.74	237.47	0.73	tr.				tr.						43		43	100		100
90905	237.47	237.99	0.52	342				342						46		46	105		105
90906	237.99	238.45	0.46	822				822						46		46	90		90
90907	238.45	239.09	0.64	tr.				tr.						42		42	93		93
90908	239.09	240.30	1.21	tr.				tr.						33		33	90		90
90909	240.30	240.85	0.55	1988				1988						166		166	93		93
90911	241.25	242.32	1.07	tr.				tr.						32		32	115		115
90912	242.32	243.47	1.15	tr.				tr.						54		54	160		160
90913	243.47	244.45	0.98	tr.				tr.						33		33	145		145
90914	244.45	245.27	0.82	tr.				tr.						189		189	150		150
90915	245.27	245.85	0.58	445				445						40		40	132		132
90916	245.85	246.43	0.58	tr.				tr.						37		37	157		157
90917	246.43	247.50	1.07	tr.				tr.						36		36	105		105
90918	247.50	248.05	0.55	tr.				tr.						30		30	373		373
90919	248.05	248.63	0.58	tr.				tr.						40		40	71		71
90920	248.63	249.63	1.00	tr.				tr.						23		23	77		77
90921	249.63	250.55	0.92	tr.				tr.						28		28	56		56
90922	250.55	251.46	0.91	240				240						70		70	75		75
90923	251.46	252.37	0.91	tr.				tr.						42		42	104		104
90924	252.37	253.29	0.92	240				240						28		28	85		85
90925	253.29	254.20	0.91	994				994						25		25	57		57
90926	254.20	255.12	0.92	857				857						24		24	58		58
90927	255.12	256.03	0.91	tr.				tr.						27		27	77		77
90928	256.03	256.95	0.92	tr.				tr.						30		30	75		75
90929	256.95	257.77	0.82	tr.				tr.						31		31	80		80
85951	257.77	259.54	1.77	tr.				tr.						31		31	51		51
85952	259.54	260.60	1.06	tr.				tr.						29		29	60		60

MINNOVA INC. DIVISION EXPLORATION

ECHANTILLON	DE (m)	A (m)	LONGUEUR (m)	Au(OP1) ppb	Au(OP2) ppb	Au(R-1) ppb	Au(R-2) ppb	Au(MOY) ppb	Ag ppm	As(CH) ppm	Sb(CH) ppm	Mo(CH) ppm	Pb(CH) ppm	Cu(OP) ppm	Cu(CH) ppm	Cu(MOY) ppm	Zn(OP) ppm	Zn(CH) ppm	Zn(MOY) ppm
85953	260.60	262.04	1.44	tr.				tr.						27		27	43		43
90930	262.04	263.04	1.00	240				240						32		32	59		59
90931	263.04	263.96	0.92	342				342						26		26	68		68
90932	263.96	264.75	0.79	754				754						31		31	75		75
90933	264.75	265.21	0.46	tr.				tr.						101		101	79		79
90934	265.21	266.12	0.91	tr.				tr.						30		30	41		41
90935	266.12	266.76	0.64	tr.				tr.						27		27	29		29
90936	266.76	267.34	0.58	tr.				tr.						31		31	50		50
90937	270.97	271.88	0.91	tr.				tr.						25		25	47		47
90938	271.88	272.80	0.92	tr.				tr.						141		141	90		90
90939	272.80	273.71	0.91	tr.				tr.						22		22	62		62
90940	273.71	274.62	0.91	tr.				tr.						27		27	69		69
90941	274.62	275.54	0.92	377				377						30		30	49		49
90942	275.54	276.45	0.91	tr.				tr.						30		30	45		45
90943	276.45	277.37	0.92	tr.				tr.						24		24	41		41
90944	277.37	278.28	0.91	tr.				tr.						29		29	45		45
90945	278.28	279.20	0.92	tr.				tr.						31		31	46		46
90946	279.20	280.17	0.97	1200		270	330	600						26		26	62		62
90947	280.17	281.03	0.86	342				342						30		30	50		50
90948	281.03	281.94	0.91	274				274						29		29	65		65
90949	281.94	282.85	0.91	tr.				tr.						28		28	46		46
90950	282.85	283.46	0.61	tr.				tr.						25		25	50		50
90951	283.46	284.38	0.92	tr.				tr.						23		23	44		44
90952	284.33	285.29	0.91	tr.				tr.						21		21	58		58
90953	285.29	286.21	0.92	tr.				tr.						40		40	80		80
90954	286.21	287.12	0.91	tr.				tr.						47		47	81		81
90955	287.12	288.04	0.92	tr.				tr.						35		35	89		89
90956	288.04	288.95	0.91	tr.				tr.						36		36	95		95
90957	288.95	290.11	1.16	tr.				tr.						39		39	128		128
90958	300.99	301.90	0.91	tr.				tr.						32		32	112		112
90959	301.90	302.67	0.77	tr.				tr.						23		23	71		71
90960	311.81	312.82	1.01	tr.				tr.						33		33	78		78
90961	312.82	313.64	0.82	tr.				tr.						36		36	68		68
90962	313.64	314.55	0.91	tr.				tr.						32		32	77		77
90963	314.55	315.47	0.92	tr.				tr.						32		32	84		84
90964	315.47	316.38	0.91	tr.				tr.						29		29	123		123
90965	316.38	317.30	0.92	tr.				tr.						23		23	80		80
90966	317.30	318.03	0.73	tr.				tr.						21		21	85		85
90967	323.48	324.00	0.52	tr.				tr.						27		27	91		91
90968	332.08	333.15	1.07	tr.				tr.						31		31	97		97
90969	333.15	334.06	0.91	tr.				tr.						19		19	73		73
90970	334.06	334.98	0.92	tr.				tr.						17		17	71		71
90971	338.08	338.94	0.86	tr.				tr.						23		23	83		83
90972	338.94	339.67	0.73	tr.				tr.						27		27	78		78
90973	339.67	340.49	0.82	754				754						61		61	72		72
90974	340.49	341.38	0.89	377				377						39		39	68		68
90975	341.38	342.29	0.91	tr.				tr.						31		31	72		72
90976	342.29	343.20	0.91	tr.				tr.						33		33	62		62
90977	343.20	343.94	0.74	tr.				tr.						31		31	60		60
90978	343.94	344.73	0.79	tr.				tr.						26		26	56		56
90979	348.69	349.30	0.61	tr.				tr.						32		32	59		59
90980	350.49	351.25	0.76	tr.				tr.						28		28	52		52

MINNOVA INC. DIVISION EXPLORATION

ECHANTILLON	DE (m)	A (m)	LONGUEUR (m)	Au(OP1) ppb	Au(OP2) ppb	Au(R-1) ppb	Au(R-2) ppb	Au(MOY) ppb	Ag ppm	As(CH) ppm	Sb(CH) ppm	Mo(CH) ppm	Pb(CH) ppm	Cu(OP) ppm	Cu(CH) ppm	Cu(MOY) ppm	Zn(OP) ppm	Zn(CH) ppm	Zn(MOY) ppm
87945	358.14	359.97	1.83	tr.				tr.						31		31	25		25
90981	359.97	360.88	0.91	342				342						30		30	74		74
90982	360.88	361.80	0.92	411				411						42		42	73		73
90983	361.80	363.02	1.22	1234		400	400	678						38		38	90		90
87946	363.02	363.38	0.36	240				240						56		56	50		50
90984	363.38	363.75	0.37	tr.				tr.						32		32	83		83
90985	366.80	367.59	0.79	tr.				tr.						33		33	73		73
90986	367.59	368.50	0.91	891				891						53		53	113		113
90987	368.50	369.42	0.92	tr.				tr.						52		52	67		67
90988	369.42	370.33	0.91	tr.				tr.						110		110	78		78
90989	370.33	371.25	0.92	tr.				tr.						50		50	59		59
90990	371.25	372.16	0.91	tr.				tr.						37		37	55		55
90991	372.16	373.08	0.92	tr.				tr.						38		38	113		113
90992	373.08	374.11	1.03	tr.				tr.						39		39	80		80
90993	374.11	374.83	0.52	tr.				tr.						50		50	70		70
90994	374.83	375.51	0.88	tr.				tr.						32		32	67		67
90995	375.51	376.43	0.92	tr.				tr.						43		43	64		64
90996	376.43	377.34	0.91	tr.				tr.						75		75	53		53
90997	377.34	378.26	0.92	tr.				tr.						57		57	52		52
90998	378.26	378.71	0.45	tr.				tr.						55		55	51		51
90999	378.71	379.60	0.89	tr.				tr.						37		37	69		69
91000	379.60	380.39	0.79	1542				1542						42		42	56		56
91001	380.39	381.00	0.61	tr.				tr.						53		53	62		62
91002	381.00	381.91	0.91	tr.				tr.						29		29	63		63
91003	381.91	382.52	0.61	tr.				tr.						37		37	68		68
91004	382.52	383.44	0.92	tr.				tr.						30		30	51		51
91005	383.44	384.35	0.91	tr.				tr.						30		30	58		58
91006	384.35	385.27	0.92	tr.				tr.						50		50	67		67

MINNOVA INC. DIVISION EXPLORATION

COMPAGNIE : MINNOVA INC.	DIVISION EXPLORATION	PROJET : BOYVINET	SONDAGE : BV-26	IMPRIMÉ LE : 15 avril 1992
CANTON : GAND	RANG : -	LOT : -	CLAIM : 382749-2	SNRC : 326/12
			ZONE : B1	NO. RÉFÉRENCES :
<u>COORDONNÉES AU COLLET</u>	GRILLE #1 LIGNE : 24+00E STATION : 20+00N ÉLEVATION : 8.530	GRILLE #2 LIGNE : STATION : ÉLEVATION : 8.530	GRILLE ARPENTÉE LATITUDE : 609.600 LONGITUDE : 731.520 ÉLEVATION : 8.530	AZIMUT : 152° 0' PLONGÉE : -45° 0' PROFONDEUR DU COLLET : 0.00 LONGUEUR : 385.88m.
GEOLOGUE : PAUL GIRARD		REMARQUES :		DATE DU JOURNAL : 06 mai 1990
CONTRACTEUR : FORAGE BELAND				DATE D'ARPENTAGE : DATE DE CIMENTAGE : FORAGE DÉBUTÉ LE : 04 mai 1990 TERMINÉ LE : 10 mai 1990
BUT : Tester partie nord de la syénite Opawica & anomalies géophysiques, géochimiques				TUBAGE LAISSÉ : Oui
CIBLE :				

DONNÉES D'ORIENTATION

Longueur Azimut Plongée

0.00	152 0'	-45 0'
72.54	152 0'	-44 0'
121.92	*149 19'	-44 0'
183.18	146 0'	-44 0'
243.84	*149 59'	-44 0'
305.10	154 0'	-44 0'
384.35	159 0'	-47 0'

(*) azimut estimé par le programme

MINNOVA INC. DIVISION EXPLORATION

DE (m)	A (m)	TEXTURE ET STRUCTURE	ALTÉRATION	MINÉRALISATION
0.00	31.70	MT MORT-TERRAIN		
31.70	385.88	12D-(#) SYENITE TRACHYTIQUE <p>Syénite généralement trachytique localement porphyrique vers la fin du trou. La teinte varie de rouge à grise selon l'altération. La syénite est faiblement magnétique en profondeur.</p> <p>La fracturation est habituellement faible dans les passages peu altérés. Cette fracturation est surtout définie par des veinules de chlorite et/ou calcite et plus rarement quartz.</p> <p>Altération variable en hématite, silice, calcite et chlorite. Les mafiques sont souvent chloritisés et/ou séricitisés.</p> <p>Pyrite absente à trace dans les passages peu altérés.</p> <p>31.70 - 139.29 12D-(#)HM(CL)(SI)(CC)</p> <p>SYENITE TRACHYTIQUE HEMATISEE</p> <p>Rouge à rose à granulométrie moyenne. La texture trachytique est définie par l'alignement des cristaux de feldspath là où l'altération est peu prononcée. Après l'intervalle métasomatique, la syénite est trachytique et faiblement porphyrique, grise. La fracturation est généralement faible définie par veinules de chlorite et/ou calcite et plus rarement quartz.</p> <p>L'altération en hématite varie de faible à moyenne avec localement forte. Les mafiques du début de l'intervalle sont plus chloritisés. La calcite est diffuse et certain passages où la calcite est davantage restreinte au mafique. Sérécite locale. L'ensemble semble silicifié. Après l'intervalle métasomatisé, la silice est sous forme diffuse dans la matrice.</p>	<p>31.70 - 35.23 /HM(CC)VCL(CC)</p> <p>BRECHE DE CHLORITE</p> <p>Injection de chlorite avec faible quantité de calcite bréchifiant la syénite dont les fragments «in-situ» sont généralement inférieur à 2cm.</p> <p>La syénite est moyennement hématisée avec calcite faible. Injection de chlorite et un peu de calcite.</p> <p>Absence de minéralisation.</p> <p>31.70 - 32.61</p> <p>91007: Type.</p>	

MINNOVA INC. DIVISION EXPLORATION

DE (m)	A (m)	TEXTURE ET STRUCTURE	ALTÉRATION	MINÉRALISATION
			<p>32.61 - 33.83</p> <p>91008: Type.</p> <p>33.83 - 35.23</p> <p>91009: Type.</p> <p>35.23 - 37.25 #HMSiCC</p> <p>91010: 115.6-119.0' (35.24-36.27m)</p> <p>91011: 119.8-122.2' (36.27-37.25m)</p> <p>38.77 - 38.80</p> <p>91012: #Si(CCCL)vQZ Texture oblitérée par altération. Silicification diffuse (parfois veines?) entre moyenne et forte, calcite diffuse, faible chloritisation des mafiques. Minéralisation absente.</p> <p>40.78 - 41.54</p> <p>91013: #+HM(CCCLSi?) Passage légèrement plus hématisé que le reste de l'intervalle.</p> <p>50.57 - 50.90</p> <p>91014: #HM(CCCLSi?) Idem.</p> <p>58.52 - 68.34 #+HM(DMCC)</p> <p>Texture intrusive oblitéré par l'altération rouge mât.</p> <p>La fracturation est forte, définie par de minces veinules de calcite et/ou chlorite et/ou quartz. Altération en hématite moyenne diffuse avec dolomie. Calcite faible diffuse. Localement pyrite finement disséminée.</p> <p>58.52 - 59.41</p> <p>91015: #+HM(DMCC)(Si?)vQZ</p> <p>59.41 - 60.35</p> <p>91016: #+HM(DMCC)</p> <p>60.35 - 61.26</p>	

MINNOVA INC. DIVISION EXPLORATION

DE (m)	A (m)	TEXTURE ET STRUCTURE	ALTERATION	MINÉRALISATION
			<p>91017: #HM(DMCC) 61.26 - 62.03</p> <p>91018: #+HM(DMCC) 62.03 - 62.61</p> <p>91019: #HM(DMCC) 62.61 - 63.40</p> <p>91020: #(HMOM) 63.40 - 64.16</p> <p>91021: #(HMCC) 64.16 - 64.92</p> <p>91022: #HM(DM7CC)(PY) Pyrite irrégulièrement disséminée + quelques agrégats, légèrement supérieur à traces. 64.92 - 65.84 (#)HM(DMCC)</p> <p>91023 65.84 - 66.29</p> <p>91024: #(HMCC) 66.29 - 67.36</p> <p>91025: #(HMCCSR?) 67.36 - 68.34</p> <p>91026: #+SiCB? Fracturation définie par minces veinules de calcite et carbonate (CB). Roche beige sur la majeure partie de l'intervalle dû à CB de fer ou oxydation des mafiques. 68.34 - 73.15 (#)(Si)(CC)</p> <p>Syénite relativement fraîche. Altération faible silicification et calcite. Pyrite très localement.</p> <p>68.34 - 69.10</p>	

MINNOVA INC. DIVISION EXPLORATION

DE (m)	A (m)	TEXTURE ET STRUCTURE	ALTÉRATION	MINÉRALISATION
			<p>91027: (#)(SiCC)(PY) Traces à 0,5% pyrite.</p> <p>73.15 - 77.66 #HMCC(SI)(CL)</p> <p>Syénite rouge à grise rose où la texture intrusive est légèrement à moyennement oblitérée par l'altération. Quelques xénolith mafiques vers 300' (91.44m). La fracturation est de faible à moyenne par veinules calcite et/ou chlorite et/ou quartz irrégulières et discontinués. Hématite moyenne diffuse, calcite diffuse en veinules et partie des mafiques. Passage silicifié. Mafique légèrement chloritisé. Minéralisation généralement absente.</p> <p>73.15 - 74.98</p> <p>91028: #HMSi(CC)(CL)</p> <p>74.98 - 76.35</p> <p>91029: #HMCC(Si?)(CL)</p> <p>76.35 - 77.66</p> <p>91030: Idem.</p> <p>77.66 - 103.94 #HM,(HM)(SiCCCL)</p> <p>Intervalle où la syénite de couleur généralement rose à grise rose est moins hématisée mais où la texture est oblitérée sur la majeure partie. Hématite variant de moyenne à faible, minéraux mafiques sont carbonatisés et chloritisés. Faible calcite diffuse. Minéralisation en traces localement.</p> <p>80.65 - 81.50</p> <p>91031: #HM(CCSiCL)</p> <p>Traces de pyrite fine.</p> <p>83.64 - 84.34</p> <p>91032: /\SiCL</p> <p>Brèche composée de veine de chlorite et/ou calcite et quartz très dense. Silice et chlorite formant brèche.</p> <p>84.34 - 85.65</p> <p>91033: #HM(SiCCCL)</p>	

MINNOVA INC. DIVISION EXPLORATION

DE (m)	A (m)	TEXTURE ET STRUCTURE	ALTÉRATION	MINÉRALISATION
			<p>88.76 - 90.83</p> <p>91034: 291.2-294.0' (88.76-89.61m): #HMSi(CC)PY Pyrite fine de traces à 0,5%.</p> <p>91035: 294.0-298.0' (89.61-90.83m): Idem.</p> <p>90.83 - 91.81 #HMSi(CC)</p> <p>91036</p> <p>94.34 - 94.88</p> <p>91037: #+HMSi(CC) Traces de pyrite fine.</p> <p>97.54 - 97.84</p> <p>^/CL+CC; Brèche chloriteuse. Roche vert moyen très molle avec fragments de syénite <1cm subangulaires à subarrondis. Réagit fortement à HCl. Chlorite/calcite forme la matrice.</p> <p>102.11 - 103.94</p> <p>87947: (MG)#HMCC(Si)vCC L'altération laisse voir la texture intrusive. Minéralisation en traces ou absente.</p> <p>103.94 - 114.36 M15#+HMSi(DM)(CC)</p> <p>SYENITE METASOMATIQUE</p> <p>Rouge à gris rosâtre. La texture intrusive est oblitérée sur la majeure partie de l'intervalle. Microfracturation forte définie par veinules blanchâtres.</p> <p>Altération variable en silice et hématite variant de faible à moyen (fort). Dolomie vers la fin de l'intervalle. Calcite diffuse, en veinules et affectant les minéraux mafiques qui semblent aussi chloritisés.</p> <p>Pyrite jusqu'à 2%, très fine. Généralement en traces.</p> <p>103.94 - 105.00</p> <p>91038: #+HMCC(SiCC)vCCCL Traces de pyrite fine.</p> <p>105.00 - 106.07</p>	

MINNOVA INC. DIVISION EXPLORATION

DE (m)	A (m)	TEXTURE ET STRUCTURE	ALTÉRATION	MINÉRALISATION
			<p>91039: #HM(SiCC)vCCCL Traces de pyrite fine.</p> <p>106.07 - 107.53</p> <p>91040: #HM+Si(CC)vCCCL</p> <p>107.53 - 108.51</p> <p>91041: #+Si(HM)(SR?)vCL Texture intrusive trachytique quelque peu visible, roche rose-rouge. Silice diffuse avec hématite faible et séricite? des mafiques. Traces de pyrite locale.</p> <p>108.51 - 109.42</p> <p>91042: #+(HMSiSR?)vPY Idem., moins fracturé. Jusqu'à 2% de pyrite très fine disséminée.</p> <p>109.42 - 110.19</p> <p>91043: #+Si(HMCC)(SR?) Traces de pyrite.</p> <p>110.19 - 111.07</p> <p>91044: #+Si(HMCCSR) Traces de pyrite.</p> <p>111.07 - 112.53</p> <p>91045: #+HM(SiDMCC) Traces de pyrite.</p> <p>112.53 - 113.39</p> <p>91046: #+SiDM(HM)vCL Teinte beige dû à la dolomie. Traces de pyrite.</p> <p>113.39 - 114.36</p> <p>91047: #+SiDM(HM)vQZvCLCC Environ 2-3% de veines de quartz irrégulières et discontinuées < 1cm très mince veinules chlorite et/ou calcite. Silice et dolomie diffuse moyenne.</p> <p>114.36 - 124.45 #Si(HMDM)</p>	

MINNOVA INC. DIVISION EXPLORATION

DE (m)	A (m)	TEXTURE ET STRUCTURE	ALTÉRATION	MINÉRALISATION
			<p>Intervalle où la texture intrusive, parfois trachytique est assez nette</p> <p>La fracturation est d'intensité faible à moyenne, définie par veinules de chlorite et veinules de quartz. Beaucoup moins de microfracturation. L'altération moyenne diffuse en silice et silice-dolomie oblitère la texture intrusive par endroits.</p> <p>121.22 - 122.83</p> <p>91048: (#)Si(DM)</p> <p>122.83 - 124.45</p> <p>91049: #Si(DM):QZ</p> <p>124.45 - 139.42 #Si(DHM)(SR)</p> <p>Transition graduelle d'une zone beige-rouge à rouge jusqu'à une syénite métasomatique.</p> <p>L'altération passe graduellement de silice-dolomie à silice-hématite (séricite?). La séricite remplace les minéraux mafiques sur la majeure partie de l'intervalle.</p> <p>Traces de pyrite très fine sur l'ensemble.</p> <p>124.45 - 125.27</p> <p>91050: #Si(DHM)(SR?)</p> <p>125.27 - 126.19</p> <p>91051: Idem.</p> <p>126.19 - 127.10</p> <p>91052: Idem.</p> <p>127.10 - 128.02</p> <p>91053: Idem.</p> <p>128.02 - 129.08</p> <p>91054: Idem.</p> <p>129.08 - 129.81</p> <p>91055: #Si(HMDM)</p> <p>129.81 - 130.76</p>	

MINNOVA INC. DIVISION EXPLORATION

DE (m)	A (m)	TEXTURE ET STRUCTURE	ALTÉRATION	MINÉRALISATION
			<p>91056: #SiFP(DHNM)VQZ Aspect bréchique par injection de quartz et feldspath? Distinction difficile entre veines et/ou altération de feldspath et silice. Traces de pyrite.</p> <p>130.76 - 131.37</p> <p>91057: ^/CL(CC); La moitié de l'intervalle comprend une brèche hydrothermale (injection de chlorite/calcite) avec fragments centimétriques de syénite. Altération en chlorite et calcite pour injection. Syénite hématisée et silicifiée. Traces de pyrite dans syénite.</p> <p>131.37 - 132.28</p> <p>91059: #HM(SiDM) Traces de pyrite sur l'ensemble.</p> <p>132.28 - 133.20</p> <p>91059: #HM(SiDM)VQ2 Veines de quartz irrégulières de 1.5m beige pâle.</p> <p>133.20 - 134.11</p> <p>91060: #HM(SiDM)</p> <p>134.11 - 135.45</p> <p>91061: Idem.</p> <p>135.45 - 136.95</p> <p>91062: (#)HMSi; Texture intrusive assez nette. Altération en silice-hématite faible diffuse. Traces de pyrite.</p> <p>136.95 - 138.07</p> <p>91063: (#)HM(SiDM)</p> <p>138.07 - 139.42</p> <p>91064: (#)HM(SiDM?)</p> <p>139.42 - 148.47 M15(#)HM+(Si)(CC)(SR?)(PY)</p> <p>SYENITE METASOMATIQUE</p>	

MINNOVA INC. DIVISION EXPLORATION

DE (m)	A (m)	TEXTURE ET STRUCTURE	ALTÉRATION	MINÉRALISATION
			<p>Rouge à rouge brique ou la texture intrusive est fortement oblitérée par l'altération. Moins de 1% de fine veinules de calcite.</p> <p>La fracturation est faible à absente.</p> <p>Altération en hématite forte diffuse ainsi que silice faible (probablement), minéraux mafiques altérés par un minéral blanchâtre (calcite et séricite?). Faible calcite diffuse. Altération très homogène.</p> <p>Pyrite très finement disséminée, <1% sur l'ensemble.</p> <p>139.42 - 140.51</p> <p>91065: Type.</p> <p>140.51 - 141.43</p> <p>91066: Type.</p> <p>141.43 - 142.34</p> <p>91067: Type.</p> <p>142.34 - 143.26</p> <p>91068: Type.</p> <p>143.26 - 144.17</p> <p>91069: (PY) Pyrite jusqu'à 2% très fine.</p> <p>144.17 - 145.08</p> <p>91070: Type.</p> <p>145.08 - 146.00</p> <p>91071: Type.</p> <p>146.00 - 147.22</p> <p>91072: Type.</p> <p>147.22 - 148.47</p> <p>91073: Type.</p> <p>148.47 - 178.92 M15#HMDMSi(CLSR)</p>	

MINNOVA INC. DIVISION EXPLORATION

DE (m)	A (m)	TEXTURE ET STRUCTURE	ALTÉRATION	MINÉRALISATION
			<p>METASOMATITE</p> <p>Roche métasomatique dont le protolite (probablement syénite) n'est plus reconnaissable. Les teintes de la roche varient de beige, à beige rougeâtre, à rouge. Environ 1% de veines de quartz irrégulières et discontinues <2cm généralement. La fracturation (microfractures) varie de faible à forte. Ces microfractures sont remplies par un minéral blanc (FP?)</p> <p>Altération hétérogène à l'échelle métrique. Intensité d'altération moyenne en hématite, dolomie et silice diffuse. La chlorite et séricite sont toujours présentes comme altération des mafiques là où ces mafiques sont visibles.</p> <p>Traces à 0,5% de pyrite finement disséminées. Généralement traces.</p> <p>148.47 - 149.44</p> <p>91074: #Si(DHMM) Matrice très siliceuse mais texture intrusive assez bien préservée. Silice moyenne à forte. Faible hématitisation des feldspaths. Dolomie très faible diffuse. Traces de pyrite.</p> <p>149.44 - 150.39</p> <p>91075: vQZ(#)vCLCC Veines de quartz faiblement fracturées par minces veinules de calcite et chlorite.</p> <p>150.39 - 151.49</p> <p>91076: #+SiDHMM Traces de pyrite fine disséminée.</p> <p>151.49 - 152.40</p> <p>91077: #+SiDHMM 0,5% de pyrite fine disséminée et en très minces veinules.</p> <p>152.40 - 153.31</p> <p>91078: #+SiFP?(DHMM)vQZ Altération en feldspath en «simili-veine» Traces de pyrite disséminée.</p> <p>153.31 - 154.05</p>	

MINNOVA INC. DIVISION EXPLORATION

DE (m)	A (m)	TEXTURE ET STRUCTURE	ALTÉRATION	MINÉRALISATION
			<p>91079: #SiHM(DH) Traces de pyrite finement disséminée.</p> <p>154.05 - 154.38</p> <p>91080: #HM+Si Traces de pyrite finement disséminée.</p> <p>154.38 - 155.14</p> <p>91081: #+Si(DMHM)vCCCL Traces de pyrite finement disséminée.</p> <p>155.14 - 155.84</p> <p>91082: #+Si(DMHM)vCCCL Traces de pyrite finement disséminée.</p> <p>155.84 - 156.30</p> <p>91083: #HM+Si(PM?) Traces de pyrite finement disséminée.</p> <p>156.30 - 157.06</p> <p>91084: #+SiDM(HM)vQZvCCCL Les veines de calcite/chlorite recoupent celles de quartz. Traces de pyrite finement disséminée.</p> <p>157.06 - 157.61</p> <p>91085: #HMSi(DH?) Traces de pyrite finement disséminée.</p> <p>157.61 - 158.50</p> <p>91086: #+SiDM(HM) Traces de pyrite finement disséminée.</p> <p>158.50 - 159.41</p> <p>91087: #+SiDM(HM)</p> <p>159.41 - 160.32</p> <p>91088: #+SiDM(HM)</p> <p>160.32 - 161.39</p> <p>91089: #+SiDM(HM)</p>	

MINNOVA INC. DIVISION EXPLORATION

DE (m)	A (m)	TEXTURE ET STRUCTURE	ALTÉRATION	MINÉRALISATION
			<p>161.39 - 162.25</p> <p>91090: #HMSi(DM)</p> <p>162.25 - 163.22</p> <p>91091: #+SiDMHM(FC)(PY) Fuchsite en traces sur l'ensemble mais premier mètre très concentré. 0,5-1% pyrite très finement disséminée.</p> <p>163.22 - 164.35</p> <p>91092: #+SiDMHM(FC)(PY) Nombreuses injections de quartz et/ou feldspath représentent = 15%. Traces de pyrite.</p> <p>164.35 - 165.20</p> <p>91093: #+SiDMHM(PY) Pyrite finement disséminée > tr</p> <p>165.20 - 166.42</p> <p>91094: #+SiDM(HM)(PY) Pyrite finement disséminée > tr.</p> <p>166.42 - 170.99</p> <p>#HMSiDM; Roche métasomatique rouge mat de teinte homogène. Les premiers mètres sont fortement fracturés par veines irrégulières et discontinues de chlorite avec très peu de calcite.</p> <p>Altération diffuse, d'intensité moyenne, homogène sur l'ensemble. Faciès hématite, silice et dolomie où l'hématite domine.</p> <p>Traces de pyrite fine sur l'ensemble.</p> <p>91095: 546.00-549.50' (166.42-167.49m); #+HMSiDMvCL 91096: 549.50-553.00' (167.49-168.56m); Idem. 91097: 553.00-556.00' (168.56-169.47m); #HMSiDM 91098: 556.00-559.00' (169.47-170.39m); Idem. 91099: 559.00-561.00' (170.39-170.99m); Idem.</p> <p>170.99 - 172.06</p> <p>91100: #+DMSiHM L'altération en dolomie semble dominante. Traces de pyrite.</p>	

MINNOVA INC. DIVISION EXPLORATION

DE (m)	A (m)	TEXTURE ET STRUCTURE	ALTÉRATION	MINÉRALISATION
			<p>172.06 - 173.37</p> <p>91101: #+DMSiHM</p> <p>173.37 - 174.35</p> <p>91102: #HMSi(DM)(PY) Pyrite trace à 0,5% (irrégulière) très finement disséminée.</p> <p>174.35 - 175.11</p> <p>91103: #+HMSiDM(PY)</p> <p>175.11 - 175.90</p> <p>91104: #+HMSi(DM?) Traces de pyrite fine.</p> <p>175.90 - 177.30</p> <p>91105: #++DM(FP?)(SiHM) Protomylonite matrice beige orange contenant «fragments syénitique» de quelque millimètre. Matrice beige orangé dû à carbonate de fer ou feldspath. Traces de pyrite fine.</p> <p>177.30 - 178.22</p> <p>91106: #DM+(SiHM)vCLCC Traces de pyrite fine.</p> <p>178.22 - 178.95</p> <p>91107: #HM+Si Contact net à 20°/AC. entre zone carbonatée et zone hématisée. Traces de pyrite fine.</p> <p>178.92 - 190.80 M15#Si(HMDH)(CLSR)</p> <p>METASOMATITE</p> <p>Toujours intervalle métasomatique sauf que maintenant la teinte est beige grisâtre rosé. Seulement quelques courts passages montrent une faible texture intrusive. moins de 1% de veine de quartz <1cm.</p> <p>La fracturation (microfracturation) varie de moyenne à forte. Remplissage de microfractures par FP?(AB?).</p>	

MINNOVA INC. DIVISION EXPLORATION

DE (m)	A (m)	TEXTURE ET STRUCTURE	ALTÉRATION	MINÉRALISATION
			<p>L'altération dominante est la silice moyenne et hématite et dolomie en généralement faible. Le niveau d'altération de l'hématite se situe entre moyen et faible. Toujours chloritisation et séricitisation des minéraux mafiques là où ces derniers sont encore visibles.</p> <p>Traces de pyrite sur l'ensemble de l'intervalle.</p> <p>178.95 - 179.98</p> <p>91108: #+SiHM(DM) Diminution graduelle de l'hématite jusqu'à environ 5% ou elle devient faible. Traces de pyrite.</p> <p>179.98 - 180.75</p> <p>91109: Idem.</p> <p>180.75 - 181.66</p> <p>91110: Idem.</p> <p>181.66 - 182.58</p> <p>91111: #+Si(HMDM) Traces de pyrite.</p> <p>182.58 - 183.49</p> <p>91112: Idem.</p> <p>183.49 - 184.40</p> <p>91113: Idem.</p> <p>184.40 - 185.01</p> <p>91114: Idem.</p> <p>185.01 - 186.14</p> <p>91115: #+SiHM(DM) Traces de pyrite.</p> <p>186.14 - 186.84</p> <p>91116: #Si(HMDM)vQZ Nombreuses fine veinules siliceux fracturant la roche. Traces de pyrite.</p>	

MINNOVA INC. DIVISION EXPLORATION

DE (m)	A (m)	TEXTURE ET STRUCTURE	ALTÉRATION	MINÉRALISATION
			<p>186.84 - 187.76</p> <p>91117: Idem.</p> <p>187.76 - 188.67</p> <p>91118: Idem.</p> <p>188.67 - 189.28</p> <p>91119: Idem.</p> <p>189.28 - 190.04</p> <p>91120: Idem Traces de pyrite finement disséminée.</p> <p>190.04 - 190.80</p> <p>91121: #+Si+(DMHM) Veines de quartz centimétriques ou altération? en silice. Traces de pyrite finement disséminée.</p> <p>190.80 - 220.22 H15#+SiDH(NM)(CLSR)</p> <p>METASOMATITE</p> <p>Intervalle de roche métasomatique de teinte homogène beige rosé toujours à texture oblitérée. Moins de 1% de veines de quartz <1cm et veinules quartz/chlorite? discontinues et irrégulières.</p> <p>Microfracturation forte, fractures remplies par un minéral beige (AB?)</p> <p>Altération en silice et dolomie moyenne diffuse et hématite entre faible et moyenne, chloritisation et séricitisation des minéraux mafiques où encore visibles.</p> <p>Pyrite d'absente à traces très finement disséminée.</p> <p>190.80 - 192.02</p> <p>91122: Type.</p> <p>192.02 - 193.24</p> <p>91123: Type.</p> <p>193.24 - 194.46</p>	

MINNOVA INC. DIVISION EXPLORATION

DE (m)	A (m)	TEXTURE ET STRUCTURE	ALTÉRATION	MINÉRALISATION
			91124: Type. 194.46 - 195.68 91125: Type. 195.68 - 196.90 91126: Type. 196.90 - 198.12 91127: Type. 198.12 - 199.34 91128: Type. 199.34 - 200.56 91129: Type. 200.56 - 201.78 91130: Type. 201.78 - 203.00 91131: Type. 203.00 - 204.22 91132: Type. 204.22 - 205.44 91133: Type. 205.44 - 206.65 91134: Type. 206.65 - 207.87 91135: Type. 207.87 - 209.09 91136: Type. 209.09 - 210.31	

MINNOVA INC. DIVISION EXPLORATION

DE (m)	A (m)	TEXTURE ET STRUCTURE	ALTÉRATION	MINÉRALISATION
			<p>91137: Type. 210.31 - 211.53</p> <p>91138: Type. 211.53 - 212.75</p> <p>91139: Type. 212.75 - 213.97</p> <p>91140: Type 213.97 - 215.19</p> <p>91141: Type. 215.19 - 216.41</p> <p>91142: Type. 216.41 - 217.63</p> <p>91143: Type. 217.63 - 218.85</p> <p>91144: Type. 218.85 - 220.07</p> <p>91145: Type. 220.22 - 235.58 M15#HMSIDM(CLSR)</p> <p>METASOMATITE</p> <p>Zone de teinte variable de rouge à gris. Texture intrusive toujours oblitérée. Faible % de veinules de quartz et/ou chlorite et calcite. Microfracturation toujours forte remplie de matériel blanchâtre (AB?)</p> <p>Altération variable en hématite, silice et carbonates de fer (dolomie?) chlorite et séricite dans les intervalles les plus hématisés. Les mafiques sont presque toujours blanchis (SR).</p> <p>Pyrite de trace à 2%, pourcentage très difficile à évaluer vue la nature très fine de la pyrite. Augmente en profondeur.</p>	

MINNOVA INC. DIVISION EXPLORATION

DE (m)	A (m)	TEXTURE ET STRUCTURE	ALTÉRATION	MINÉRALISATION
			220.22 - 220.80 91146: #HMSi(DM)(PY) Traces à 1% de pyrite très fine localement. 220.80 - 221.68 91147: #Si(HMDM)(PY) Traces 0,5% 221.68 - 222.56 91148: Idem. 222.56 - 223.81 91149: #HMSi(DM)(PY) Traces à 0,5% pyrite fine. 223.81 - 224.82 91150: #SiDM(HM)(PY) 0,5% pyrite fine. 224.82 - 225.83 91151: idem. 225.83 - 227.08 91152: #HMSi(DM)(PY)vCL Traces à 1% très fine pyrite. 227.08 - 228.30 91153: #SiHM(DM)(PY)vCL Trace 0,5% 228.30 - 228.54 91154: #HM+SiPY 1% pyrite très fine. 228.54 - 229.18 91155: #SiDMHM(PY) Mafique complètement «blanchis» SR? AB? 0,5% pyrite très fine. 229.18 - 229.97	

MINNOVA INC. DIVISION EXPLORATION

DE (')	A (m)	TEXTURE ET STRUCTURE	ALTÉRATION	MINÉRALISATION
			<p>91156: #HMSi(DH)(PY) Minéraux mafiques complètement «blanchis»? SR?AB? 0,5% pyrite.</p> <p>229.97 - 230.67</p> <p>91157: #HMSi(DH)(PY) Idem.</p> <p>230.67 - 232.04</p> <p>91158: #HMSi(DH)(SR) Mafique partiellement blanchis (SR?)</p> <p>232.04 - 232.50</p> <p>91159: #Si+(DH)(CL)?(PY) Teinte verdâtre pâle dû à chlorite? Traces à 0,5% pyrite très fine.</p> <p>232.50 - 233.48</p> <p>91160: #HMSiDH(PY) Traces à 0,5% pyrite très fine.</p> <p>233.48 - 234.57</p> <p>91161: Idem.</p> <p>234.57 - 235.58</p> <p>91162: Idem à 91159.</p> <p>235.58 - 248.26 M15#MCSi(HMDMCLSR)(PY)</p> <p>MÉTASOMATITE</p> <p>Teinte beige rose là où la texture ophitique est (faiblement) visible lorsque les mafiques sont moins altérés. En général faiblement magnétique sur l'ensemble (mais discontinu).</p> <p>Silice moyenne diffuse de même qu'hématite et dolomie faible, séricite et chloritisation variable des minéraux mafiques (localement complètement oblitérés.)</p> <p>Pyrite très fine légèrement supérieure à traces pour l'ensemble de l'intervalle.</p> <p>235.58 - 236.52</p>	

MINNOVA INC. DIVISION EXPLORATION

DE (m)	A (m)	TEXTURE ET STRUCTURE	ALTÉRATION	MINÉRALISATION
			<p>91163: Type. 236.52 - 237.74</p> <p>91164: (MG) 237.74 - 238.96</p> <p>91165: (MG) 238.96 - 239.88</p> <p>91166: (MG) 239.88 - 240.94</p> <p>91167: (MG) 240.94 - 242.62</p> <p>91168: (MG) #HM+Si(PY)VCL Pyrite légèrement supérieur à traces. 242.62 - 243.84</p> <p>91169: (MG) 243.84 - 245.06</p> <p>91170: Type. 245.06 - 246.28</p> <p>91171: Type. 246.28 - 246.52</p> <p>91172: #HM+SiPY De 2 à 3 % de pyrite très fine. 246.52 - 247.10</p> <p>91173: Type. 247.10 - 248.26</p> <p>91174: (MG) PY Pyrite 1-2% très fine. 248.26 - 253.81 #SiHM(DMCLSR) faiblement magnétique à partir de 825.30' (251.55m)</p>	

MINNOVA INC. DIVISION EXPLORATION

DE (m)	A (m)	TEXTURE ET STRUCTURE	ALTÉRATION	MINÉRALISATION
			<p>Altération en silice et séricite change graduellement pour hématite, silice et chlorite.</p> <p>Traces à 1% de pyrite fine localement.</p> <p>248.26 - 249.33</p> <p>91175: #Si(DM)?FLvCC</p> <p>249.33 - 250.48</p> <p>91176: #(MG)Si(DMHM)(PY)VOZ</p> <p>250.48 - 251.76 #(MG)SiDMAB?(HM)PY</p> <p>91177: 0.5 à 2% pyrite fine localement</p> <p>251.76 - 252.74</p> <p>91178: Idem</p> <p>252.74 - 253.81</p> <p>91179: #(MG)HMSi(DM?)VCL Traces de pyrite fine.</p> <p>253.81 - 274.75 M15#(MG)HM+Si(SRCLCC)PY</p> <p>MÉTASOMATITE</p> <p>Roche métasomatique rouge brique à rouge mât ou l'on reconnaît encore les mafiques (altérés ou non). Quelques passages à texture intrusive moins oblitérée. Roche faiblement magnétique sur l'ensemble de l'intervalle en général.</p> <p>Altération en hématite (et dolomie?) fortes et moyennes, silice faible à moyenne. Les mafiques varient de complètement séricitisés à partiellement remplacés par chlorite et séricite. Calcite diffuse et en veinules, localement altérant les mafiques.</p> <p>Pyrite de traces à 3-4% très finement disséminée.</p> <p>253.81 - 254.81</p> <p>91180: PY</p> <p>254.81 - 255.42</p>	

MINNOVA INC. DIVISION EXPLORATION

DE (m)	A (m)	TEXTURE ET STRUCTURE	ALTÉRATION	MINÉRALISATION
			<p>91181: (PY) 255.42 - 256.34</p> <p>91182: Traces. 256.34 - 257.86</p> <p>91183: #HM(SiDM) Altération abilitère moins la texture intrusive. Traces de pyrite. 257.86 - 259.08 #SiHM(DM)PY</p> <p>91184 259.08 - 260.60</p> <p>91185: PY</p> <p>261.00 - 262.13</p> <p>91187: Oxydation des mafiques? Traces. 262.13 - 262.74</p> <p>91188: #Si(HMDM)PY 262.74 - 263.96</p> <p>91189: #HMSi(DM)PY 263.96 - 264.84</p> <p>91190: #HM(Si) Traces de pyrite. 264.84 - 265.66</p> <p>91191: (#)Si(HMCC)(CLSR) Texture intrusive assez nette due à un altération plus faible, quelques minces veinules chlorite/calcite. Fracturation faible. Altération en silice entre faible et moyen, hématite faible, chloritisation et séricitisation faible des mafiques. Calcite faible diffuse. Traces de pyrite très finement disséminée.</p>	<p>260.60 - 261.00 #Si+(HMDM)PY+</p> <p>91186</p>

MINNOVA INC. DIVISION EXPLORATION

DE (m)	A (m)	TEXTURE ET STRUCTURE	ALTÉRATION	MINÉRALISATION
			<p>265.66 - 267.00</p> <p>91192: #SiMCC(DM?)(CLSR)</p> <p>267.00 - 268.22</p> <p>91193: #HM+Si(CCHM)(CLSR)PY Altération en calcite, séricite et chlorite des minéraux mafiques jusqu'à remplacement complet. Pyrite très finement disséminée, jusqu'à 2% localement.</p> <p>268.22 - 269.44</p> <p>91194: #HM+SiCC(CLSR)(PY)</p> <p>269.44 - 270.66</p> <p>91195: Idem.</p> <p>270.66 - 271.88</p> <p>91196: Idem.</p> <p>271.88 - 273.10</p> <p>91197: Idem.</p> <p>273.10 - 273.89</p> <p>91198: Idem.</p> <p>273.89 - 274.81</p> <p>91199: Idem, PY. Pyrite jusqu'à 2% très fine.</p> <p>274.75 - 324.79 #15#Si(HMDCLSR)(PY)</p> <p>METASOMATITE</p> <p>Diminution graduelle de la teinte rouge. Augmentation des passages à texture intrusive assez nette mais diminution des passages magnétiques. (Magnétisme plus discontinu).</p> <p>La fracturation est définie généralement par des microfractures remplies par un minéral blanchâtre et plus localement, par des veinules irrégulières et discontinues de chlorite et/ou calcite et/ou quartz.</p>	

MINNOVA INC. DIVISION EXPLORATION

DE (m)	A (m)	TEXTURE ET STRUCTURE	ALTÉRATION	MINÉRALISATION
			<p>Diminution graduelle de l'altération en hématite de moyen à faible et augmentation de silice (faible à moyenne). Dolomie de faible à absente, chloritisation et séricitisation variable des mafiques.</p> <p>Minéralisation variable, traces à 1% sulphures.</p> <p>274.81 - 276.15</p> <p>91200: #Si(HM)DM(PY) Altération variable des mafiques en CL,SR Pyrite finement disséminée, de traces à 1%.</p> <p>276.15 - 277.06</p> <p>91201: #SiHM(DM)PY Pyrite jusqu'à 2% localement.</p> <p>277.06 - 278.07</p> <p>91202: Idem.</p> <p>278.07 - 278.68</p> <p>91203: /\HMSi(DM)PYvCLCC Roche bréchifiée par minces veinules de chlorite/calcite irrégulières laissant «fragments» de syénite centimétriques in-situ. Altération en hématite et silice moyenne et dolomie faible. Chlorite et calcite en veinules. Pyrite 1% très fine.</p> <p>278.68 - 279.44</p> <p>91204: #(MG)HM+(SiDM)(PY) Traces à 1% pyrite.</p> <p>279.44 - 280.20</p> <p>91205: #SiDM(HM)(PY) Traces à 1% pyrite.</p> <p>280.20 - 280.60</p> <p>91206: #HMSi(DM)vQZvCL</p> <p>280.60 - 281.33</p> <p>91207: #HMSi(DM)PY 0,5-2% de pyrite très finement disséminée irrégulièrement.</p>	

MINNOVA INC. DIVISION EXPLORATION

DE (m)	A (m)	TEXTURE ET STRUCTURE	ALTÉRATION	MINÉRALISATION
			<p>281.33 - 281.88</p> <p>91208: #(MG)Si(HMDM)(PY)vCL Traces à 0,5%.</p> <p>281.88 - 283.01</p> <p>91209: #HMSi(DM?)PY 1-2% pyrite très fine.</p> <p>283.01 - 283.89</p> <p>91210: #(MG)SiHMDMPY 1-2% pyrite fine.</p> <p>283.89 - 284.74 #SiHMDMPY</p> <p>91211: 1% pyrite.</p> <p>284.74 - 286.97 #Si(HMDM)(PY)</p> <p>91212: 934.2-938.3' (284.75-286.00m); #Si(HMDM)(PY) 0,5% pyrite.</p> <p>91213: 938.3-941.5' (286.00-286.97m); Idem.</p> <p>286.97 - 292.61 #(MG)(SiHMDM)(PY)vCLCC</p> <p>Passage ou l'altération est moins forte, laisse voir la texture intrusive (non trachytique). Environ 20% de mafique. Moyenne magnétique. La microfracturation est assez faible, remplacée par fracturation de minces veinules de chlorite et/ou calcite irrégulières et discontinués. Quelques veines <1cm de quartz.</p> <p>Altération faible en silice, hématite et dolomie diffuse. Les mafiques sont peu altérés en silicite/chlorite ou chlorite seulement.</p> <p>Traces de pyrite à 1%.</p> <p>91214: 941.50-944.00' (286.97-287.73m); #MG(HMSiDM) 91215: 944.00-946.90' (287.73-288.62m); #(MG)SiDM(HM)PY 1% de pyrite en moyenne. 91216: 946.90-949.70' (288.62-289.47m); #MG(HMSiDM)(PY) traces à 0,5%. 91217: 949.70-952.70' (289.47-290.39m); #(MG)(HMSiDM) > traces PY. 91218: 952.70-955.70' (290.39-291.30m); #(MG)HM(SiDM) traces de pyrite.</p>	

MINNOVA INC. DIVISION EXPLORATION

DE (m)	A (m)	TEXTURE ET STRUCTURE	ALTÉRATION	MINÉRALISATION
			<p>91219: 955.70-960.00' (291.30-292.61m); #(MG)(SiHMDM?) traces de pyrite.</p> <p>292.61 - 293.83</p> <p>91220: #SiHMDM(PY)vCLCCvQZ Pyrite 0,5-1% très fine.</p> <p>293.83 - 300.23 HMSi(DM)(PY)vCLCC</p> <p>Zone ou la texture intrusive est complètement oblitérée par l'altération. Bordé de chaque côté par brèche.</p> <p>Microfracturation définie par veinules chlorite et calcite.</p> <p>Hématite de moyenne à forte, diluée moyenne et silice faible à moyenne. Les mafiques sont complètement lessivés.</p> <p>Pyrite fine en traces jusqu'à 1% locale.</p> <p>91221: 964.00-965.50 /v7CL+(HM)PY Brèche ou altération forte en chlorite (pas vraiment fragmenté). Veinules d'albite. Chlorite forte, hématite très faible. Pyrite 1%</p> <p>91222: 965.60-967.40 #HMSi(DM)PYvCLCCvAB, CL+SR?EP?vABPY Brèche chloriteuse locale. 1-2% de pyrite fine.</p> <p>91223: 967.40-969.70 #HM+(SiDM)(PY)vCLVAB 0,5% pyrite</p> <p>91224: 969.70-971.70 #+SiDM(HM)(PY)vCLCC Traces à 0,5% pyrite très fine.</p> <p>91225: 971.70-976.00 #HM+Si(DM)(PY)vCLCC</p> <p>91226: 976.00-979.00 Idem, sans pyrite.</p> <p>91227: 979.00-982.00 #HM+Si(DM)(PY)vCCCLVAB 0,5% pyrite.</p> <p>91228: 982.00-985.70 /vCCHMSRCLPY Brèche ou injection de calcite grise?? Texture fluidale. Altération en hématite, le reste injection? 1% de pyrite très irrégulièrement dispersée.</p> <p>300.44 - 313.70 #+Si(HMDM)(PY)vCLCCvZ(AB)</p>	

MINNOVA INC. DIVISION EXPLORATION

DE (m)	A (m)	TEXTURE ET STRUCTURE	ALTÉRATION	MINÉRALISATION
			<p>Fracturation généralement forte, définie par forte densité de minces veinules irrégulières et discontinues de chlorite et/ou calcite et/ou quartz (et/ou albite, plus rare) + microfracturation. Altération typique. Traces à 0,5% pyrite sur l'ensemble de l'intervalle fracturé.</p> <p>91229: 985.70-990.00' (300.45-301.76m); #SiHM(DH)(PY) 91230: 990.00-994.00' (301.76-302.97m); Idem 91231: 994.00-998.00' (302.97-304.19m); #Si(HMDH)(PY) 91232: 998.00-1002.00' (304.19-305.41m); Idem 91233: 1002.00-1006.00' (305.41-306.63m); Idem 91234: 1006.00-1010.80' (306.63-308.10m); Idem 91235: 1010.80-1013.30' (308.10-308.86m); #HMSi(DH?) traces de pyrite 91236: 1013.00-1017.00' (308.86-309.99m); #Si(HMDH)(PY) 91237: 1017.00-1019.50' (309.99-310.75m); Idem +VQZAB 91238: 1019.50-1022.20' (310.75-311.57m); Idem 91239: 1022.20-1024.00' (311.57-312.12m); #Si(DH) hématite très faible. Min. traces. 91240: 1024.00-1029.20' (312.12-313.70m); #Si(HMDH)(PY) traces à 1%</p> <p>313.70 - 315.44</p> <p>91241: (#)Si(HMDH)(PY) 0,5%-1% pyrite fine.</p> <p>315.44 - 315.86</p> <p>91242: (#)Si(DH)(PY) Hématite très faible.</p> <p>315.86 - 316.93</p> <p>91243: #Si(HMDH)(PY)</p> <p>316.93 - 318.21</p> <p>91244: #(HG)Si(HMDH) Diminution de l'abondance de veinules de chlorite/quartz/calcite définissant la fracturation. Roche localement faiblement magnétique. Traces de pyrite.</p> <p>318.21 - 319.43</p> <p>91245: Idem.</p>	

MINNOVA INC. DIVISION EXPLORATION

DE (m)	A (m)	TEXTURE ET STRUCTURE	ALTÉRATION	MINÉRALISATION
		<p>328.54 - 385.88 12D-(#)(MG)(SiCCCL) SYENITE TRACHYTIQUE</p>	<p>319.43 - 320.65 91246: Idem. 320.65 - 321.87 91247: Idem. 321.87 - 323.09 91248: Idem. 323.09 - 323.70 91249: Idem. 323.70 - 324.79 91250: Idem +(PY) 0,5% de pyrite fine disséminée + minces veinules. 324.79 - 328.54 #(MG)Si(DM)vCLCC Transition graduelle à une syénite grise peu altérée. Fracturation moyenne définie par minces veinules irrégulières de chlorite ± calcite. Silice et dolomie diffuse moyenne. Hématite très faible. Traces de pyrite. 324.79 - 326.14 91251: #(MG)Si(DM)vCLCCVQZ 326.14 - 327.36 91252: #(MG)SiDMVCLCC 328.54 - 328.57</p>	
		<p>Retour à une syénite fraîche grise à matrice très fine siliceuse avec feldspath à texture trachytique, parfois porphyrique.</p> <p>Silice diffuse et calcite faible, hématite de très faible à absente, chlorite diffuse dans la matrice.</p> <p>Traces de pyrite en général.</p>		

MINNOVA INC. DIVISION EXPLORATION

DE (m)	A (m)	TEXTURE ET STRUCTURE	ALTÉRATION	MINÉRALISATION
		<p>364.72 - 366.06 (14N)?vCCHM</p> <p>LAMPROPHYRE?</p> <p>91259: Dyke ultramafique? à contacts (30-70°AC) assez nets, rougeâtre très foncé, faiblement magnétique, assez facilement rayable, nombreuses veinules de calcite et hématite. Traces de pyrite.</p> <p>385.88m (1266.00') FIN DU TROU</p>	<p>91253: #(MG)SiCC 330.25 - 331.71</p> <p>91254: #(MG)Si(DM)vQ2; Intervalle à texture oblitérée par altération avec minces veinules de quartz à espacement décimétrique. Traces de pyrite.</p> <p>350.79 - 351.62</p> <p>91255: #(MG)Si+; Texture primaire oblitérée par altération. Silice diffuse forte.</p> <p>351.62 - 352.75</p> <p>91256: #(MG)Si(HM) 352.75 - 353.51</p> <p>87948: (MG)#Si(CC)vSi; hématite très faible. Minéralisation absente.</p> <p>353.51 - 354.48</p> <p>91257: #(MG)Si(HM)(DM?) 354.48 - 355.52</p> <p>91258: #(MG)Si(HMDM); Avec veines de dolomie, calcite et hématite de 2cm. Blanchi par altération. Traces de pyrite.</p>	
385.88		FIN DU TROU		

MINNOVA INC. DIVISION EXPLORATION

ECHANTILLON	DE (m)	A (m)	LONGUEUR (m)	Au(OP1) ppb	Au(OP2) ppb	Au(R-1) ppb	Au(R-2) ppb	Au(MOY) ppb	Ag ppm	As(CH) ppm	Sb(CH) ppm	Mo(CH) ppm	Pb(CH) ppm	Cu(OP) ppm	Cu(CH) ppm	Cu(MOY) ppm	Zn(OP) ppm	Zn(CH) ppm	Zn(MOY) ppm
91007	31.70	32.61	0.91	tr.				tr.						140		140	66		66
91008	32.61	33.83	1.22	tr.				tr.						43		43	81		81
91009	33.83	35.23	1.40	tr.				tr.						46		46	94		94
91010	35.23	36.27	1.04	377				377						37		37	140		140
91011	36.27	37.25	0.98	tr.				tr.						70		70	72		72
91012	37.25	38.80	1.55	tr.				tr.						49		49	118		118
91013	40.78	41.54	0.76	tr.				tr.						59		59	76		76
91014	50.57	50.90	0.33	tr.				tr.						28		28	47		47
91015	58.52	59.41	0.89	tr.				tr.						32		32	40		40
91016	59.41	60.35	0.94	tr.				tr.						29		29	46		46
91017	60.35	61.26	0.91	tr.				tr.						51		51	68		68
91018	61.26	62.03	0.77	tr.				tr.						18		18	54		54
91019	62.03	62.61	0.58	tr.				tr.						29		29	86		86
91020	62.61	63.40	0.79	tr.				tr.						26		26	56		56
91021	63.40	64.16	0.76	tr.				tr.						29		29	69		69
91022	64.16	64.92	0.76	tr.				tr.						21		21	70		70
91023	64.92	65.84	0.92	309				309						24		24	46		46
91024	65.84	66.29	0.45	tr.				tr.						23		23	47		47
91025	66.29	67.36	1.07	tr.				tr.						26		26	50		50
91026	67.36	68.34	0.98	tr.				tr.						23		23	43		43
91027	68.34	69.10	0.76	tr.				tr.						22		22	54		54
91028	73.15	74.98	1.83	tr.				tr.						36		36	77		77
91029	74.98	76.35	1.37	tr.				tr.						19		19	56		56
91030	76.35	77.66	1.31	tr.				tr.						23		23	49		49
91031	80.65	81.50	0.85	tr.				tr.						21		21	46		46
91032	82.72	84.34	1.62	tr.				tr.						18		18	69		69
91033	84.34	85.65	1.31	tr.				tr.						21		21	45		45
91034	88.76	89.61	0.85	tr.				tr.						20		20	37		37
91035	89.61	90.83	1.22	651				651						60		60	68		68
91036	90.83	91.81	0.98	tr.				tr.						75		75	47		47
91037	92.51	94.88	2.37	tr.				tr.						26		26	48		48
87947	102.11	103.94	1.83	tr.				tr.						45		45	46		46
91038	103.94	105.00	1.06	377				377						74		74	55		55
91039	105.00	106.07	1.07	274				274						48		48	61		61
91040	106.07	107.53	1.46	tr.				tr.						28		28	68		68
91041	107.53	108.51	0.98	1269		500	430	733						24		24	80		80
91042	108.51	109.42	0.91	240				240						25		25	88		88
91043	109.42	110.19	0.77	411				411						27		27	93		93
91044	110.19	111.07	0.88	309				309						21		21	58		58
91045	111.07	112.53	1.46	446				446						28		28	47		47
91046	112.53	113.39	0.86	tr.				tr.						40		40	49		49
91047	113.39	114.36	0.97	tr.				tr.						40		40	44		44
91048	121.22	122.83	1.61	tr.				tr.						26		26	77		77
91049	122.83	124.45	1.62	tr.				tr.						50		50	73		73
91050	124.45	125.27	0.82	tr.				tr.						45		45	67		67
91051	125.27	126.19	0.92	tr.				tr.						40		40	60		60
91052	126.19	127.10	0.91	823				823						26		26	55		55
91053	127.10	128.02	0.92	1166				1166						34		34	57		57
91054	128.02	129.08	1.06	240				240						30		30	37		37
91055	129.08	129.81	0.73	274				274						39		39	90		90
91056	129.81	130.76	0.95	617				617						32		32	80		80
91057	130.76	131.37	0.61	343				343						27		27	70		70

MINNOVA INC. DIVISION EXPLORATION

ECHANTILLON	DE (m)	A (m)	LONGUEUR (m)	Au(OP1) ppb	Au(OP2) ppb	Au(R-1) ppb	Au(R-2) ppb	Au(MOY) ppb	Ag ppm	As(CH) ppm	Sb(CH) ppm	Mo(CH) ppm	Pb(CH) ppm	Cu(OP) ppm	Cu(CH) ppm	Cu(MOY) ppm	Zn(OP) ppm	Zn(CH) ppm	Zn(MOY) ppm
91058	131.37	132.28	0.91	377				377						41		41	78		78
91059	132.28	133.20	0.92	343				343						28		28	43		43
91060	133.20	134.11	0.91	tr.				tr.						28		28	50		50
91061	134.11	135.45	1.34	514				514						24		24	36		36
91062	135.45	136.95	1.50	274				274						31		31	63		63
91063	136.95	138.07	1.12	343				343						25		25	39		39
91064	138.07	139.42	1.35	240				240						43		43	96		96
91065	139.42	140.51	1.09	240				240						45		45	61		61
91066	140.51	141.43	0.92	309				309						60		60	77		77
91067	141.43	142.34	0.91	309				309						44		44	49		49
91068	142.34	143.26	0.92	377				377						29		29	56		56
91069	143.26	144.17	0.91	377		370	330	359						37		37	52		52
91070	144.17	145.08	0.91	tr.				tr.						30		30	43		43
91071	145.08	146.00	0.92	tr.				tr.						126		126	107		107
91072	146.00	147.22	1.22	tr.				tr.						31		31	71		71
91073	147.22	148.47	1.25	tr.				tr.						30		30	51		51
91074	148.47	149.44	0.97	tr.				tr.						23		23	41		41
91075	149.44	150.39	0.95	tr.				tr.						30		30	27		27
91076	150.39	151.49	1.10	tr.				tr.						40		40	41		41
91077	151.49	152.40	0.91	tr.				tr.						23		23	50		50
91078	152.40	153.31	0.91	tr.				tr.						28		28	52		52
91079	153.31	154.05	0.74	tr.				tr.						32		32	37		37
91080	154.05	154.38	0.33	tr.				tr.						41		41	34		34
91081	154.38	155.14	0.76	tr.				tr.						43		43	70		70
91082	155.14	155.84	0.70	343				343						37		37	46		46
91083	155.84	156.30	0.46	tr.				tr.						47		47	54		54
91084	156.30	157.06	0.76	tr.				tr.						28		28	46		46
91085	157.06	157.61	0.55	tr.				tr.						27		27	47		47
91086	157.61	158.50	0.89	tr.				tr.						27		27	45		45
91087	158.50	159.41	0.91	343				343						26		26	49		49
91088	159.41	160.32	0.91	tr.				tr.						27		27	42		42
91089	160.32	161.39	1.07	tr.				tr.						35		35	45		45
91090	161.39	162.25	0.86	309				309						45		45	53		53
91091	162.25	163.22	0.97	377				377						30		30	88		88
91092	163.22	164.35	1.13	tr.				tr.						436		436	103		103
91093	164.35	165.20	0.85	240				240						28		28	54		54
91094	165.20	166.42	1.22	411				411						30		30	65		65
91095	166.42	167.49	1.07	446				446						29		29	77		77
91096	167.49	168.55	1.06	206				206						34		34	60		60
91097	168.55	169.47	0.92	tr.				tr.						29		29	59		59
91098	169.47	170.38	0.91	tr.				tr.						28		28	48		48
91099	170.38	170.99	0.61	tr.				tr.						23		23	50		50
91100	170.99	172.06	1.07	tr.				tr.						25		25	49		49
91101	172.06	173.37	1.31	tr.				tr.						30		30	71		71
91102	173.37	174.35	0.98	1097		470	500	689						24		24	54		54
91103	174.35	174.96	0.61	tr.				tr.						26		26	54		54
91104	175.11	175.90	0.79	377				377						27		27	56		56
91105	175.90	177.30	1.40	tr.				tr.						29		29	57		57
91106	177.30	178.22	0.92	tr.				tr.						38		38	47		47
91107	178.22	178.95	0.73	309				309						51		51	53		53
91108	178.95	179.98	1.03	tr.				tr.						40		40	60		60
91109	179.98	180.75	0.77	240				240						39		39	54		54

MINNOVA INC. DIVISION EXPLORATION

ECHANTILLON	DE (m)	A (m)	LONGUEUR (m)	Au(OP1) ppb	Au(OP2) ppb	Au(R-1) ppb	Au(R-2) ppb	Au(MOY) ppb	Ag ppm	As(CH) ppm	Sb(CH) ppm	Mo(CH) ppm	Pb(CH) ppm	Cu(OP) ppm	Cu(CH) ppm	Cu(MOY) ppm	Zn(OP) ppm	Zn(CH) ppm	Zn(MOY) ppm
91110	180.75	181.66	0.91	tr.				tr.						40		40	64		64
91111	181.66	182.58	0.92	tr.				tr.						22		22	64		64
91112	182.58	183.49	0.91	tr.				tr.						40		40	72		72
91113	183.49	184.40	0.91	tr.				tr.						33		33	69		69
91114	184.40	185.01	0.61	tr.				tr.						44		44	67		67
91115	185.01	186.14	1.13	tr.				tr.						37		37	54		54
91116	186.14	186.84	0.70	tr.				tr.						25		25	56		56
91117	186.84	187.76	0.92	tr.				tr.						27		27	57		57
91118	187.76	188.67	0.91	tr.				tr.						27		27	70		70
91119	188.67	189.28	0.61	tr.				tr.						26		26	76		76
91120	189.28	190.04	0.76	206				206						35		35	70		70
91121	190.04	190.80	0.76	tr.				tr.						37		37	46		46
91122	190.80	192.02	1.22	tr.				tr.						26		26	60		60
91123	192.02	193.24	1.22	tr.				tr.						36		36	64		64
91124	193.24	194.46	1.22	tr.				tr.						26		26	57		57
91125	194.46	195.68	1.22	tr.				tr.						25		25	63		63
91126	195.68	196.90	1.22	tr.				tr.						204		204	92		92
91127	196.90	198.12	1.22	tr.				tr.						190		190	76		76
91128	198.12	199.34	1.22	1200		tr.	tr.	400						26		26	87		87
91129	199.34	200.56	1.22	tr.				tr.						21		21	67		67
91130	200.56	201.78	1.22	tr.				tr.						25		25	56		56
91131	201.78	203.00	1.22	tr.				tr.						20		20	60		60
91132	203.00	204.22	1.22	tr.				tr.						19		19	72		72
91133	204.22	205.44	1.22	tr.				tr.						24		24	76		76
91134	205.44	206.65	1.21	tr.				tr.						17		17	86		86
91135	206.65	207.87	1.22	tr.				tr.						20		20	67		67
91136	207.87	209.09	1.22	tr.				tr.						21		21	79		79
91137	209.09	210.31	1.22	tr.				tr.						22		22	75		75
91138	210.31	211.53	1.22	tr.				tr.						35		35	62		62
91139	211.53	212.75	1.22	343				343						34		34	69		69
91140	212.75	213.97	1.22	tr.				tr.						25		25	70		70
91141	213.97	215.19	1.22	tr.				tr.						26		26	84		84
91142	215.19	216.41	1.22	tr.				tr.						27		27	92		92
91143	216.41	217.63	1.22	tr.				tr.						24		24	57		57
91144	217.63	218.85	1.22	tr.				tr.						21		21	57		57
91145	218.85	220.22	1.37	tr.				tr.						24		24	55		55
91146	220.22	220.80	0.58	789				789						25		25	56		56
91147	220.80	221.68	0.88	tr.				tr.						20		20	47		47
91148	221.68	222.56	0.88	tr.				tr.						19		19	46		46
91149	222.56	223.81	1.25	tr.				tr.						20		20	51		51
91150	223.81	224.82	1.01	tr.				tr.						24		24	52		52
91151	224.82	225.83	1.01	tr.				tr.						17		17	54		54
91152	225.83	227.08	1.25	tr.				tr.						22		22	50		50
91153	227.08	228.30	1.22	tr.				tr.						18		18	47		47
91154	228.30	228.54	0.24	240				240						26		26	30		30
91155	228.54	229.18	0.64	446				446						24		24	41		41
91156	229.18	229.97	0.79	tr.				tr.						22		22	40		40
91157	229.97	230.67	0.70	tr.				tr.						24		24	56		56
91158	230.67	232.04	1.37	tr.				tr.						17		17	46		46
91159	232.04	232.50	0.46	tr.				tr.						22		22	44		44
91160	232.50	233.48	0.98	343				343						21		21	47		47
91161	233.48	234.57	1.09	tr.				tr.						22		22	45		45

MINNOVA INC. DIVISION EXPLORATION

ECHANTILLON	DE (m)	A (m)	LONGUEUR (m)	Au(OP1) ppb	Au(OP2) ppb	Au(R-1) ppb	Au(R-2) ppb	Au(MOY) ppb	Ag ppm	As(CH) ppm	Sb(CH) ppm	Mo(CH) ppm	Pb(CH) ppm	Cu(OP) ppm	Cu(CH) ppm	Cu(MOY) ppm	Zn(OP) ppm	Zn(CH) ppm	Zn(MOY) ppm
91162	234.57	235.58	1.01	240				240						20		20	40		40
91163	235.58	236.52	0.94	tr.				tr.						24		24	46		46
91164	236.52	237.74	1.22	411				411						22		22	55		55
91165	237.74	238.96	1.22	240				240						20		20	54		54
91166	238.96	239.88	0.92	309				309						25		25	47		47
91167	239.88	240.94	1.06	tr.				tr.						20		20	48		48
91168	240.94	242.62	1.68	240				240						24		24	63		63
91169	242.62	243.84	1.22	tr.				tr.						25		25	41		41
91170	243.84	245.06	1.22	tr.				tr.						29		29	49		49
91171	245.06	246.28	1.22	tr.				tr.						22		22	97		97
91172	246.28	246.52	0.24	343				343						19		19	64		64
91173	246.52	247.10	0.58	tr.				tr.						19		19	79		79
91174	247.10	248.26	1.16	tr.				tr.						24		24	54		54
91175	248.26	249.33	1.07	tr.				tr.						70		70	60		60
91176	249.33	250.48	1.15	tr.				tr.						54		54	45		45
91177	250.48	251.76	1.28	1954		1030	1070	1751						45		45	51		51
91178	251.76	252.74	0.98	tr.				tr.						42		42	43		43
91179	252.74	253.81	1.07	686				686						49		49	49		49
91180	253.81	254.81	1.00	tr.				tr.						40		40	47		47
91181	254.81	255.42	0.61	tr.				tr.						37		37	40		40
91182	255.42	256.34	0.92	tr.				tr.						40		40	56		56
91183	256.34	257.86	1.52	tr.				tr.						39		39	59		59
91184	257.86	259.08	1.22	1543		500	530	858						42		42	64		64
91185	259.08	260.60	1.52	tr.				tr.						42		42	60		60
91186	260.60	261.00	0.40	446				446						47		47	41		41
91187	261.00	262.13	1.13	tr.				tr.						45		45	32		32
91188	262.13	262.74	0.61	583				583						47		47	39		39
91189	262.74	263.96	1.22	tr.				tr.						41		41	29		29
91190	263.96	264.84	0.88	tr.				tr.						37		37	36		36
91191	264.84	265.66	0.82	tr.				tr.						50		50	37		37
91192	265.66	267.00	1.34	tr.				tr.						41		41	62		62
91193	267.00	268.22	1.22	tr.				tr.						37		37	37		37
91194	268.22	269.44	1.22	tr.				tr.						50		50	36		36
91195	269.44	270.66	1.22	tr.				tr.						47		47	37		37
91196	270.66	271.88	1.22	tr.				tr.						36		36	43		43
91197	271.88	273.10	1.22	240				240						35		35	41		41
91198	273.10	273.89	0.79	tr.				tr.						39		39	41		41
91199	273.89	274.81	0.92	686				686						39		39	37		37
91200	274.81	276.15	1.34	tr.				tr.						36		36	37		37
91201	276.15	277.06	0.91	583				583						37		37	40		40
91202	277.06	278.07	1.01	tr.				tr.						43		43	50		50
91203	278.07	278.68	0.61	720				720						41		41	99		99
91204	278.68	279.44	0.76	tr.				tr.						33		33	43		43
91205	279.44	280.20	0.76	tr.				tr.						43		43	47		47
91206	280.20	280.60	0.40	tr.				tr.						37		37	53		53
91207	280.60	281.33	0.73	309				309						42		42	47		47
91208	281.33	281.88	0.55	tr.				tr.						56		56	52		52
91209	281.88	283.01	1.13	tr.				tr.						42		42	40		40
91210	283.01	283.89	0.88	857				857						42		42	52		52
91211	283.89	284.74	0.85	2229		1070	1170	1490						59		59	60		60
91212	284.74	285.99	1.25	549				549						60		60	52		52
91213	285.99	286.97	0.98	1200		830	870	967						37		37	50		50

MINNOVA INC. DIVISION EXPLORATION

ECHANTILLON	DE (m)	A (m)	LONGUEUR (m)	Au(OP1) ppb	Au(OP2) ppb	Au(R-1) ppb	Au(R-2) ppb	Au(MOY) ppb	Ag ppm	As(CH) ppm	Sb(CH) ppm	Mo(CH) ppm	Pb(CH) ppm	Cu(OP) ppm	Cu(CH) ppm	Cu(MOY) ppm	Zn(OP) ppm	Zn(CH) ppm	Zn(MOY) ppm
91214	286.97	287.73	0.76	tr.				tr.						36		36	44		44
91215	287.73	288.62	0.89	343				343						27		27	54		54
91216	288.62	289.47	0.85	tr.				tr.						31		31	40		40
91217	289.47	290.38	0.91	tr.				tr.						31		31	57		57
91218	290.38	291.30	0.92	tr.				tr.						24		24	40		40
91219	291.30	292.61	1.31	tr.				tr.						107		107	37		37
91220	292.61	293.83	1.22	340				340						72		72	54		54
91221	293.83	294.28	0.45	tr.				tr.						116		116	112		112
91222	294.28	294.86	0.58	tr.				tr.						34		34	72		72
91223	294.86	295.56	0.70	tr.				tr.						47		47	59		59
91224	295.56	296.17	0.61	tr.				tr.						47		47	54		54
91225	296.17	297.48	1.31	tr.				tr.						37		37	50		50
91226	297.48	298.40	0.92	tr.				tr.						38		38	53		53
91227	298.40	299.31	0.91	tr.				tr.						45		45	52		52
91228	299.31	300.44	1.13	tr.				tr.						45		45	84		84
91229	300.44	301.75	1.31	tr.				tr.						34		34	56		56
91230	301.75	302.97	1.22	tr.				tr.						57		57	60		60
91231	302.97	304.19	1.22	tr.				tr.						30		30	59		59
91232	304.19	305.41	1.22	tr.				tr.						30		30	67		67
91233	305.41	306.63	1.22	tr.				tr.						31		31	60		60
91234	306.63	308.09	1.46	tr.				tr.						34		34	66		66
91235	308.09	308.85	0.76	tr.				tr.						33		33	76		76
91236	308.85	309.98	1.13	tr.				tr.						35		35	69		69
91237	309.98	310.74	0.76	tr.				tr.						250		250	70		70
91238	310.74	311.57	0.83	tr.				tr.						33		33	52		52
91239	311.57	312.12	0.55	tr.				tr.						40		40	60		60
91240	312.12	313.70	1.58	tr.				tr.						24		24	57		57
91241	313.70	315.44	1.74	tr.				tr.						26		26	57		57
91242	315.44	315.86	0.42	tr.				tr.						34		34	54		54
91243	315.86	316.93	1.07	tr.				tr.						24		24	57		57
91244	316.93	318.21	1.28	tr.				tr.						29		29	46		46
91245	318.21	319.43	1.2	tr.				tr.						37		37	49		49
91246	319.43	320.65	1.22	tr.				tr.						24		24	102		102
91247	320.65	321.87	1.22	tr.				tr.						32		32	60		60
91248	321.87	323.09	1.22	tr.				tr.						32		32	49		49
91249	323.09	323.70	0.61	tr.				tr.						41		41	52		52
91250	323.70	324.79	1.09	tr.				tr.						35		35	56		56
91251	324.79	326.14	1.35	tr.				tr.						42		42	47		47
91252	326.14	327.36	1.22	tr.				tr.						35		35	47		47
91253	327.36	328.54	1.18	tr.				tr.						40		40	49		49
91254	330.25	331.71	1.46	tr.				tr.						37		37	41		41
91255	350.79	351.62	0.83	tr.				tr.						36		36	46		46
91256	351.62	352.75	1.13	tr.				tr.						50		50	49		49
87948	352.75	353.51	0.76	tr.				tr.						39		39	37		37
91257	353.51	354.48	0.97	515				515						49		49	51		51
91258	354.48	355.52	1.04	tr.				tr.						34		34	57		57
91259	364.72	366.06	1.34	tr.				tr.						77		77	112		112

MINNOVA INC. DIVISION EXPLORATION

COMPAGNIE : MINNOVA INC.

DIVISION EXPLORATION

PROJET : BOYVINET

SONDAGE : BV-27

IMPRIMÉ LE : 15 avril 1992

CANTON : BOYVINET

RANG : -

LOT : -

CLAIM : 382749-2

SNRC : 326/12

ZONE : B1

NO. RÉFÉRENCE :

COORDONNÉES AU COLLET

GRILLE #1

LIGNE : 28+00E
STATION : 13+00N
ÉLEVATION : -1.520

GRILLE #2

LIGNE :
STATION :
ÉLEVATION : -1.520

GRILLE ARPENTÉE

LATITUDE : 396.240
LONGITUDE : 853.440
ÉLEVATION : -1.520

AZIMUT : 140° 0'

PLONGÉE : -45° 0'

PROFONDEUR DU COLLET : 0.00

LONGUEUR : 432.82m.

GÉOLOGUE : P.GIRARD

REMARQUES :

DATE DU JOURNAL : 15 mai 1990

DATE D'ARPENTAGE :

DATE DE CIMENTAGE :

FORAGE DÉBUTÉ LE : 10 mai 1990

TERMINÉ LE : 19 mai 1990

CONTRACTEUR : FORAGES BELAND

BUT : Tester la continuité N de la zone BV-10.
CIBLE :

TUBAGE LAISSÉ : Oui

DONNÉES D'ORIENTATION

Longueur Azimut Plongée

0.00	140	0'	-45	0'
64.31	137	0'	-45	0'
121.92	*136	2'	-45	0'
183.18	135	0'	-45	0'
243.84	*138	11'	-45	0'
292.91	*140	46'	-45	0'
365.76	*144	35'	-45	0'
431.29	148	0'	-45	0'

(*) azimut estimé par le programme

MINNOVA INC. DIVISION EXPLORATION

DE (m)	A (m)	TEXTURE ET STRUCTURE	ALTÉRATION	MINÉRALISATION
0.00	8.23	<p>MT MORT TERRAIN</p>		
8.23	432.82	<p>12D(MG)-(#)(SiHCCCL) SYENITE</p> <p>Syénite rose pâle à grise passant graduellement de faiblement trachytique (feldspath hypidiomorphe à automorphe aligné) à équi-granulaire (feldspath xénomorphe). En moyenne 15% de minéraux mafiques. Feldspath moyennement grenu. Quelques xénolites mafiques centimétriques, généralement arrondis, à phénocristaux noirs magnétique (13A?). La quantité de veines/veinules de quartz-blanche à grisâtre augmente en profondeur jusqu'à 2-3%. Le magnétisme augmente jusqu'à moyen en profondeur.</p> <p>La fracturation est faible, définie par les veines de quartz grise ou veinules chlorite/calcite.</p> <p>Altération sous forme de silice, hématite et calcite variable diffuse mais généralement faible. Chloritisation et séricitisation des mafiques augmente en profondeur.</p> <p>Minéralisation généralement absente à trace.</p> <p>458.00: Retour à la syénite relativement fraîche.</p> <p>8.23 - 52.15 M15(MG)#+HMSiCCvCL(CC) METASOMATITE HEMATISEE</p> <p>Roche rouge à gris rosé faiblement magnétique dont aucune texture intrusive n'est visible. Toutefois, les minéraux mafiques sont encore visibles et sont de 2-4mm, allongés, (=10%). Environ 1% de veines de quartz <2cm irrégulièrement orientées.</p> <p>La fracturation est généralement bien définie par fines veinules irrégulières et discontinues de chlorite avec un peu de calcite. Ces veinules forment généralement un réseau assez dense jusqu'à donner un aspect bréchique par endroits.</p> <p>Altération variable en hématite, silice et calcite diffus. Passages dolomitisés. L'altération des mafiques, en chlorite/séricite, varie beaucoup.</p> <p>Minéralisation généralement traces de pyrite fine.</p>	<p>8.23 - 29.26 (CLSR) Mafiques altérés en chlorite/séricite jusqu'à les</p>	

MINNOVA INC. DIVISION EXPLORATION

DE (m)	A (m)	TEXTURE ET STRUCTURE	ALTÉRATION	MINÉRALISATION
			<p>«blanchir» complètement Traces à 0,5% de pyrite fine.</p> <p>8.23 - 9.60</p> <p>091260: #HM+(Si)DMCC(PY)vCLCC</p> <p>9.60 - 10.09</p> <p>091261: #*SiHMCCDMvCCCLvQZ Traces.</p> <p>10.09 - 10.91</p> <p>091262: #*DHHSiCCvCCCL Oxydation des mafiques. Traces.</p> <p>10.91 - 12.31</p> <p>091263: (MG)#*HM*DM(Si)(PY)vCCCL Pyrite légèrement supérieur à trace.</p> <p>12.31 - 13.20</p> <p>091264: (MG)#HM(Si)vCCCL Pyrite en traces.</p> <p>13.20 - 14.33</p> <p>091265: (#)HM+CC Pyrite en traces.</p> <p>14.33 - 25.02</p> <p>091266: 47.0-51.0; (MG)#*HMSi(DMCC) Altération très semblable jusqu'à 82.10, hématite entre faible et moyen, silice diffuse moyenne d'après la dureté, calcite variable de faible à moyen et probablement dolomie. Trace de pyrite fine.</p> <p>091267: 51.00-55.00' (15.54-16.76m); type. 091268: 55.00-59.00' (16.76-17.98m); type. 091269: 59.00-63.00' (17.98-19.20m); type. 091270: 63.00-67.00' (19.20-20.42m); type. 091271: 67.00-71.00' (20.42-21.64m); type. 091272: 71.00-75.00' (21.64-22.86m); type. 091273: 75.00-78.50' (22.86-23.93m); type. 091274: 78.50-82.10' (23.93-25.02m); type.</p>	
		25.02 - 25.45 MGCL+HM		

MINNOVA INC. DIVISION EXPLORATION

DE (m)	A (m)	TEXTURE ET STRUCTURE	ALTÉRATION	MINÉRALISATION
		<p>91275: Dyke ou altération à contacts nets à 70°C. Magnétique, facilement rayable, rouge, gris foncé. Minéraux mafiques bien définis, de 2-3mm. Chlorite moyenne à forte diffuse hématite faible à moyen.</p>	<p>25.45 - 29.26</p> <p>(MG)#*Si(HM)vCLCC Veinules d'albite? Traces de pyrite.</p> <p>91276: 83.5-87.6' (25.45-26.70m) 91277: 87.6-91.7' (26.70-27.95m) 91278: 91.7-96.0' (27.95-29.26m)</p> <p>29.26 - 35.87 #*HMCC(Si)vCLCC</p> <p>Altération en hématite et calcite moyenne diffuse tandis que l'altération en silice est faible. A 107.00, veine de 1 cm de calcite avec fluorite. Traces de pyrite fine.</p> <p>91279: 96.0-100.0' (29.26-30.48m) 91280: 100.0-104.0' (30.48-31.70m) 91281: 104.0-108.0' (31.70-32.92m) 91282: 108.0-112.0' (32.92-34.14m) 91283: 112.0-114.8' (34.14-34.99m) 91284: 114.8-117.7' (34.99-35.88m)</p> <p>35.87 - 39.32 #*CC(HM)vCLCC</p> <p>Teinte rose, roche fortement fracturée. Fracturation définie par veinules de chlorite-calcite irrégulières et discontinues formant localement une brèche. Altération surtout en calcite diffuse avec hématite faible.</p> <p>91285: 117.7-120.5' (35.88-36.73m) 91286: 120.5-123.5' (36.73-37.64m) 91287: 123.5-126.0' (37.64-38.41m); /A? 91288: 126.0-129.0' (38.41-39.32m)</p> <p>39.32 - 40.78</p> <p>091289: #*HM*CCSi vCLCC</p> <p>40.78 - 46.73</p> <p>(MG)#*HMSiCCvCLCC</p>	

MINNOVA INC. DIVISION EXPLORATION

DE (m)	A (m)	TEXTURE ET STRUCTURE	ALTÉRATION	MINÉRALISATION
			<p>91290: 133.8-138.0' (40.78-42.06m) 91291: 138.0-142.0' (42.06-43.28m) 91292: 142.0-146.0' (43.28-44.50m) 91293: 146.0-150.0' (44.50-45.72m) 91294: 150.0-153.3' (45.72-46.73m)</p> <p>46.73 - 47.85</p> <p>091295: (MG)#+SiCC(HM)vCLCC</p> <p>47.85 - 49.23</p> <p>091296: Idem;</p> <p>49.23 - 50.29</p> <p>091297: (MG)#+HMCCSiVCLCC</p> <p>50.29 - 51.45</p> <p>091298: Idem;</p> <p>51.45 - 52.15</p> <p>091299: (MG)#+HM+CCSiVCLCC</p> <p>52.15 - 106.74 M15(MG)#+CC(HMSiDM)</p> <p>METASOMATITE CARBONATÉE</p> <p>Diminution des passages rouge pour devenir rose, toujours faiblement magnétique.</p> <p>La fracturation est toujours bien définie par une forte densité de minces veinules de chlorite/(calcite).</p> <p>Toujours en restant métasomatique, il semble que les altérations en hématite, silice, dolomie et calcite soient moins intenses, soit faible en général.</p> <p>Minéralisation absente à trace.</p> <p>52.15 - 53.34</p> <p>91300: Type</p> <p>53.34 - 54.56</p> <p>1301: Type</p> <p>54.56 - 55.78</p>	

MINNOVA INC. DIVISION EXPLORATION

DE (m)	A (m)	TEXTURE ET STRUCTURE	ALTÉRATION	MINÉRALISATION
			<p>91302: Type 55.78 - 56.57</p> <p>91303: Type 56.57 - 57.39</p> <p>091304: #+HMSi(DM)vSiCL Veines/veinules irrégulières grise foncé (chlorite + silice?). Hématite et silice moyenne diffuse. Traces de pyrite fine. 57.39 - 58.25</p> <p>091305: (MG)#+CC(HMSiDM)vCLCC 58.25 - 59.10</p> <p>091306: (MG)#+CC(HM(SiDM)vCLCC 59.10 - 60.35</p> <p>091307: (MG)#HM+CC(SiDM)(PY)vCLCC Traces à 0,5% très localement. 60.35 - 61.36</p> <p>091308: Idem. 61.36 - 62.54</p> <p>091309: (MG)#+HMCC(SiDM)vCLCC 62.54 - 63.70</p> <p>091310: Type. 63.70 - 64.31</p> <p>091311: (#)CC(HMSiDM?) Texture intrusive trachytique partiellement visible, peu fracturée. Faible altération. 64.31 - 65.23</p> <p>091312: Idem; Perte graduelle de la texture intrusive. 65.23 - 66.45</p>	

MINNOVA INC. DIVISION EXPLORATION

DE (m)	A (m)	TEXTURE ET STRUCTURE	ALTÉRATION	MINÉRALISATION
			091313: Type. 66.45 - 67.67 091314: Type. 67.67 - 68.88 091315: Type. 68.88 - 69.31 091316: Type. 69.31 - 70.81 091317: (#)MCC(SiDM)vCLCC 70.81 - 71.93 091318: Type. 71.93 - 73.15 091319: Type + vOZ. 73.15 - 74.37 091320: Type. 74.37 - 75.59 091321: Type. 75.59 - 76.26 091322: Type. 76.26 - 77.11 091323: #HM+Si(CC)vCL(CC) Traces pyrite très fine. 77.11 - 78.06 091324: Idem; 78.06 - 79.22 091325: #*CCSiHM(DM)vCLSi 79.22 - 80.10	

MINNOVA INC. DIVISION EXPLORATION

DE (m)	A (m)	TEXTURE ET STRUCTURE	ALTÉRATION	MINÉRALISATION
			<p>091326: #+HM+Si(CCDM)vCLSi Traces de pyrite fine.</p> <p>80.10 - 82.24 #+HMSi(CCDM)vCLSi</p> <p>91327: 262.8-267.0' (80.10-81.38m) 91328: 267.0-269.8' (81.38-82.24m)</p> <p>82.24 - 83.12 (MG)#+CCSi(HMDM)vCLSi</p> <p>091329</p> <p>83.12 - 86.87 M15(MG)#+CCSi vCLSi</p> <p>Roche toujours métasomatique mais ici grise rose très pâle. Les veinules semble être constituées de chlorite et silice car ne réagissent pas à HCl et sont non rayables.</p> <p>Calcite et silice diffuse moyenne tandis que l'hématite est très faible à absente.</p> <p>091330: 272.70-276.00' (82.91-84.13m) 091331: 276.00-279.30' (84.13-85.13m) 091332: 279.30-282.60' (85.13-86.14m) 091333: 282.60-285.00' (86.14-86.87m); (PY) pyrite jusqu'à 1% locale.</p> <p>86.87 - 88.09</p> <p>091334: (MG)#HM+CCSi vCL</p> <p>88.09 - 89.00</p> <p>091335: (MG)#HMCCSi vCL</p> <p>89.00 - 90.01</p> <p>091336: Idem;</p> <p>90.01 - 91.14</p> <p>091337: (MG)#+CC(SiHMDM?)vCLCC</p> <p>91.14 - 92.35</p> <p>091338: Type.</p> <p>92.35 - 93.45</p> <p>091339: (PY)</p>	

MINNOVA INC. DIVISION EXPLORATION

DE (m)	A (m)	TEXTURE ET STRUCTURE	ALTERATION	MINÉRALISATION
			<p>Traces à 0,5% de pyrite fine.</p> <p>93.45 - 94.49</p> <p>091340: (PY) 1% de pyrite très fine en moyenne.</p> <p>94.49 - 95.16</p> <p>091341: (MG)#HMCC(SiDM?)vCLCC</p> <p>95.16 - 95.71</p> <p>091342: Type + (PY) 0,5% en moyenne.</p> <p>95.71 - 97.17</p> <p>091343: Type.</p> <p>97.17 - 98.60</p> <p>091344: Type.</p> <p>98.60 - 99.46</p> <p>091345: Type + vQZ</p> <p>99.46 - 100.58</p> <p>091346: #Si(HM)vCLCC</p> <p>100.58 - 101.99</p> <p>091347: Idem;</p> <p>101.99 - 103.02</p> <p>091348: (MG)#HMSi(CC)</p> <p>103.02 - 104.06</p> <p>091349: Idem;</p> <p>104.06 - 104.76</p> <p>091350: Idem;</p> <p>104.76 - 105.77</p> <p>091351: (MG)#SiCCDM(HM)vCLCC Oxydation jaunâtre?</p>	

MINNOVA INC. DIVISION EXPLORATION

DE (m)	A (m)	TEXTURE ET STRUCTURE	ALTÉRATION	MINÉRALISATION
			<p>105.77 - 106.74</p> <p>091352: Idem.</p> <p>106.74 - 139.60 M15#Si(CCHMDM)</p> <p>SYENITE METASOMATIQUE</p> <p>Transition lente de la roche métasomatique à une syénite assez fraîche. Les passages à texture intrusive augmentent en longueur et en fréquence.</p> <p>Fracturation moyenne définie par veinules de chlorite (calcite)</p> <p>Altération variable en moyenne, silice moyen diffuse, calcite et hématite faible. Dolomie (ankérite?) d'absente à moyenne.</p> <p>Minéralisation absente à traces de pyrite.</p>	<p>112.53 - 112.99 #Si+(HM)PY+</p> <p>091353: Veine de quartz de 2 cm recoupé par calcite/hématite. 2-3% de pyrite très finement disséminée.</p> <p>112.99 - 113.60 #Si(HM)PYvCLCC</p> <p>091354: 2% de pyrite en moyenne.</p>
			<p>115.37 - 116.53 (MG)#HMSi(PY)DMvQZvCC</p> <p>091355: Pyrite > traces.</p> <p>116.53 - 117.65</p> <p>091356: Idem;</p> <p>122.22 - 123.63</p> <p>091357: (MG)#SiHMPYvQZ 1-2% de pyrite fine disséminée.</p> <p>134.97 - 135.27</p> <p>091358: (MG)#Si(HMCC)(PY)vCLCC Pyrite > traces.</p> <p>136.46 - 137.89</p>	

MINNOVA INC. DIVISION EXPLORATION

DE (m)	A (m)	TEXTURE ET STRUCTURE	ALTÉRATION	MINÉRALISATION
		158.53 - 159.38 14N(CCBO)?	<p>091359: Idem. 143.90 - 144.26</p> <p>091361: #SiCC(HM)PYVQZ 3% veines de quartz de 2-3mm à 1cm. Pyrite traces à 0,5% très locale.</p> <p>146.12 - 147.71</p> <p>091362: #+Si(HM)PYVCLCC Pyrite très fine de 0,5% à légèrement supérieur à 1%.</p>	
		<p>DYKE DE LAMPROPHYRE</p> <p>Dyke noir-gris foncé finement grenu, non magnétique, rayable, à phénocristaux de biotite?? 5%.</p> <p>Calcite faible, légère teinte rouge montrant très faible quantité d'hématite.</p>	<p>162.46 - 163.37</p> <p>061363: #(MG)(SiCC); témoin</p> <p>178.13 - 178.92</p> <p>091364: (MG)#CC(HMSi)(PY)vCLCC 0,5-1% de pyrite fine.</p>	
		<p>212.81 - 213.18 14?(PY)vCC</p> <p>DYKE MAFIQUE</p> <p>Dyke mafique à ultramafique difficilement rayable, très faiblement magnétique. Très finement grenu. 2% de fine veinules de calcite. Contact supérieur net à 65°/AC. tandis que le contact inférieur ± évident.</p> <p>Pyrite légèrement supérieur à trace.</p>	<p>A partir de 601' (183.19m) la syénite devient surtout équi-granulaire à feldspath xénomorphe à hypidiomorphe.</p>	

MINNOVA INC. DIVISION EXPLORATION

DE (m)	A (m)	TEXTURE ET STRUCTURE	ALTÉRATION	MINÉRALISATION
		<p>213.51 - 213.60 I47MG+</p> <p>Dyke ou xénolith submétrique, fortement magnétique, presque aphanitique, noir.</p> <p>215.43 - 215.83 I47(MG)HMCLVCC</p> <p>Dyke similaire à celui débutant à 698.20' (212.81m) sauf que le début est rougeâtre et la fin verdâtre tacheté verdâtre pâle au centre.</p> <p>Hématite au début et chlorite à la fin.</p>	<p>234.70 - 235.92</p> <p>091365: (MG)(#)(Si)(CC)MCL Pyrite fine légèrement supérieur à trace.</p> <p>266.40 - 266.79</p> <p>091366: (MG)#SiCC(HM)vCLCC Pyrite fine légèrement supérieur à trace.</p> <p>275.48 - 275.84 (MG)#+SiCC(HM)vCLCC</p> <p>091371: Traces de pyrite.</p> <p>277.83 - 279.20 #SiCC(HM)PYvCLCC</p> <p>091367: Texture oblitéré par altération beige rougeâtre. Calcite diffuse moyenne, silice moyenne, coloration beige due? à hématite faible. Pyrite 1-2% très fine.</p> <p>279.20 - 280.45</p> <p>091368: (MG)#CC(SiHM)(PY)vCLCC Traces à 0,5% de pyrite fine locale.</p> <p>293.19 - 293.52 (MG)#CC(CL)vCLCC</p> <p>091369: Traces de pyrite fine.</p> <p>294.44 - 294.83</p> <p>091370: (MG)#CC(CL)vCLCC</p> <p>311.20 - 340.16 M15#SiHM(DMCLSR)</p> <p>METASOMATIQUE</p> <p>Probablement syénite dont la texture est oblitérée par</p>	

MINNOVA INC. DIVISION EXPLORATION

DE (m)	A (m)	TEXTURE ET STRUCTURE	ALTÉRATION	MINÉRALISATION
			<p>L'altération. Couleur rouge beigâtre, homogène sauf pour les minéraux mafiques qui varient de partiellement à complètement altérés. Non magnétique à très faiblement magnétique. Quelques veines/veinules de quartz ou chlorite/calcite.</p> <p>Fracturation, moyenne en général, définie par microfractures blanchâtre et veinules chlorite et/ou calcite.</p> <p>Altération en silice et hématite moyenne diffuse et dolomie? donnant teinte beigâtre. Chloritisation et séricitisation des mafiques partielle à complète. L'hématite diminue en profondeur.</p> <p>Traces de pyrite sur l'intervalle.</p> <p>311.20 - 312.42 091372: Type.</p> <p>312.42 - 313.64 091373: Type.</p> <p>313.64 - 314.86 091374: Type.</p> <p>314.86 - 316.08 091375: Type.</p> <p>316.08 - 317.30 091376: Type.</p> <p>317.30 - 318.52 091377: Type.</p> <p>318.52 - 319.74 091378: #Si(NMDM?)(CLSR)</p> <p>319.74 - 320.95 091379: Idem.</p> <p>320.95 - 322.17 091380: Idem.</p>	

MINNOVA INC. DIVISION EXPLORATION

DE (m)	A (m)	TEXTURE ET STRUCTURE	ALTÉRATION	MINÉRALISATION
			<p>322.17 - 323.39</p> <p>091381: Idem;</p> <p>323.39 - 324.61</p> <p>091382: Idem.</p> <p>324.61 - 325.83</p> <p>091383: Idem.</p> <p>325.83 - 327.05</p> <p>091384: Idem.</p> <p>327.05 - 328.27</p> <p>091385: Idem.</p> <p>328.27 - 329.70</p> <p>091386: Idem.</p> <p>329.70 - 331.01</p> <p>091387: #+Si(CCHMDH)?vCCCL</p> <p>331.01 - 332.23</p> <p>091388: #Si(CCHM)vCCCL(PY) Pyrite de traces à 0,5% disséminée et en fine veinules.</p> <p>332.23 - 332.84</p> <p>091389: (MG)(#)(SiCC) Texture intrusive légèrement oblitérée. Silice et calcite faible diffuse.</p> <p>332.84 - 333.45</p> <p>091390: (MG)(#)HM(SiCC)</p> <p>333.45 - 335.07</p> <p>091391: (MG)#SiCCMvCCCL</p> <p>335.07 - 336.07</p> <p>091392: Idem.</p>	

MINNOVA INC. DIVISION EXPLORATION

DE (m)	A (m)	TEXTURE ET STRUCTURE	ALTÉRATION	MINÉRALISATION
			<p>336.07 - 337.17</p> <p>091393: (PY) Traces à 0,5% pyrite très fine.</p> <p>337.17 - 338.33</p> <p>091394: (MH)#Si(CC) Texture intrusive reconnaissable.</p> <p>338.33 - 339.55</p> <p>091395: (MG)#Si(CC)(HM)</p> <p>339.55 - 340.16</p> <p>091396: (MG)(#)(Si(C)HM)</p> <p>349.09 - 370.03 M15(MG)#HMSi(DMCLSR)VC! *1</p> <p>SYENITE METASOMATIQUE</p> <p>Variant de rouge à beige rougeâtre, texture intrusive est moyennement à fortement oblitérée. Faiblement magnétique. Les mafiques varient de partiellement altérés à complètement (blanchis). Quelques veines/veinules de quartz.</p> <p>La fracturation est moyenne définie par microfracturation et surtout veinules irrégulières et discontinues de matériel grisâtre (chlorite/silice?)</p> <p>Altération variable en hématite et silice diffuse. L'hématite est prédominante au début de l'intervalle tandis que la silice est prédominante vers la fin. La teinte beige locale semble? due à la dolomie. Les mafiques sont altérés variablement en chlorite et séricite. Altération faible diffuse en calcite au début de l'intervalle.</p> <p>Traces à 2% pyrite dans la partie plus silicifiée. La pyrite est de granulométrie fine à moyenne.</p> <p>349.09 - 350.22</p> <p>091397: (MG)#Si(HMCCDM?)VCLCC</p> <p>350.22 - 351.13</p> <p>091398: (MG)#Si(HM(CC))VCLCC</p> <p>351.13 - 352.04</p>	

MINNOVA INC. DIVISION EXPLORATION

DE (m)	A (m)	TEXTURE ET STRUCTURE	ALTÉRATION	MINÉRALISATION
			<p>091399: Idem. 352.04 - 353.08</p> <p>091400: (MG)#HMSi(CC)(DM?)vCLCC 353.08 - 354.12</p> <p>091401: Idem. 354.12 - 355.21</p> <p>091402: Idem. 355.21 - 356.31</p> <p>091403: (LQ)#SiHM(DM?) 356.31 - 357.23</p> <p>091404: (MG)#SiHM(DM?)\vCLCC 357.23 - 358.44</p> <p>091405: (MG)#Si(HMDM)(PY)vSi 0,5% pyrite finement disséminée. 358.44 - 359.88</p> <p>091406: Idem. 359.88 - 360.88</p> <p>091407: (MG)#(SiHMDM)(PY) Texture intrusive en alternance de 3-4' avec M15. Altération variable en hématite silice et dolomie. Traces à 1%. 360.88 - 362.10</p> <p>091408: #+Si+(HMDM)(PY)vSi(CL) Pyrite 0,5-1% jusqu'à 2mm. 362.10 - 364.60 #+Si+(HMDM)PYvSi(CL) Pyrite 1-2% fine à 2mm.</p> <p>91409: 1188.0-1192.0' (362.11-363.33m) 91410: 1192.0-1196.2' (363.33-364.61m)</p>	
		364.60 - 364.78 14NMGCLBOCCVCC		

MINNOVA INC. DIVISION EXPLORATION

DE (m)	A (m)	TEXTURE ET STRUCTURE	ALTÉRATION	MINÉRALISATION
		Dyke de lamprophyre chloriteux vert foncé contenant 20% de biotite 1-2mm hypidionorphe avec injection de calcite à chaque bordure. 45°/AC.	<p>366.52 - 367.59</p> <p>091411: (MG)#+Si(HMDM)PYVQZ(CC) Pyrite 1-2% de fine à 3mm.</p> <p>367.59 - 368.81</p> <p>091412: Idem.</p> <p>368.81 - 370.03</p> <p>091413: Idem.</p> <p>370.03 - 370.64</p> <p>091414: (MG)#(Si) Traces à 0,5% pyrite fine.</p> <p>372.22 - 374.29</p> <p>091415: (MG)#Si(DHMM) Traces de pyrite.</p> <p>375.45 - 377.22 M15(MG)#+Si(HM)(PY) Syénite métasomatique similaire à auparavant. Silice diffuse moyenne avec hématite faible et possiblement dolomie. Traces à 1% de pyrite.</p> <p>091416: 1231.80-1234.70' (375.21-376.34m) 091417: 1234.70-1237.60' (376.34-377.23m)</p> <p>379.14 - 381.91</p> <p>Idem 0,5-1% pyrite.</p> <p>091418: 1243.90-1248.50' (379.15-380.55m) 091419: 1248.50-1253.00' (380.55-381.92m)</p> <p>384.54 - 385.27</p> <p>091420: MG#(SiHMCC)PY+vSiVCC Pyrite 1-3%.</p> <p>389.35 - 390.45</p>	

MINNOVA INC. DIVISION EXPLORATION

DE (m)	A (m)	TEXTURE ET STRUCTURE	ALTÉRATION	MINÉRALISATION
		<p>409.59 - 410.14 14NMG+CCCLB0?</p> <p>Dyke de lamprophyre fortement magnétique vert foncé avec de nombreuses «tache» de calcite de 0,5cm et moins et biotite de 1 à 3mm. 60°/AC.</p>	<p>091421: (MG)#+Si(HMDM)(PY)vSiVCC Traces à 0,5% de pyrite.</p> <p>390.45 - 391.67</p> <p>091422: Idem.</p> <p>391.67 - 392.89</p> <p>091423: Idem.</p> <p>401.18 - 402.52</p> <p>091424: M15(MG)#+SiHM(DMCC)vCLCCvSi(PY) Pyrite légèrement supérieur à traces.</p> <p>403.31 - 404.07</p> <p>091425: M15#Si(HMCCDM?)(PY)vCLCC Pyrite légèrement supérieur à traces.</p> <p>404.38 - 405.44</p> <p>091456: M15(MG)#HMSi(CC)(PY)vCCCL Pyrite légèrement supérieur à traces.</p> <p>427.18 - 428.15</p> <p>091427: M15(MG)#SiCC(HM)vCCCLvSi Traces de pyrite.</p> <p>428.55 - 430.07</p> <p>091428: M15(MG)#SiHM(CC)vCLCC Traces de pyrite.</p> <p>432.82m (1420.00'): FIN DU TROU.</p>	

MINNOVA INC. DIVISION EXPLORATION

DE (m)	A (m)	TEXTURE ET STRUCTURE	ALTÉRATION	MINÉRALISATION
432.82	FIN DU TROU			

MINNOVA INC. DIVISION EXPLORATION

ECHANTILLON	DE (m)	A (m)	LONGUEUR (m)	Au(OP1) ppb	Au(OP2) ppb	Au(R-1) ppb	Au(R-2) ppb	Au(MOY) ppb	Ag ppm	As(CH) ppm	Sb(CH) ppm	Mo(CH) ppm	Pb(CH) ppm	Cu(OP) ppm	Cu(CH) ppm	Cu(MOY) ppm	Zn(OP) ppm	Zn(CH) ppm	Zn(MOY) ppm
91260	8.23	9.60	1.37	tr.				tr.						70		70	54		54
91261	9.60	10.09	0.49	tr.				tr.						57		57	66		66
91262	10.09	10.91	0.82	tr.				tr.						37		37	60		60
91263	10.91	12.31	1.40	tr.				tr.						36		36	72		72
91264	12.31	13.20	0.89	tr.				tr.						36		36	70		70
91265	13.20	14.33	1.13	tr.				tr.						37		37	72		72
91266	14.33	15.54	1.21	tr.				tr.						44		44	57		57
91267	15.54	16.76	1.22	tr.				tr.						54		54	66		66
91268	16.76	17.98	1.22	tr.				tr.						24		24	60		60
91269	17.98	19.20	1.22	tr.				tr.						41		41	70		70
91270	19.20	20.42	1.22	tr.				tr.						35		35	76		76
91271	20.42	21.64	1.22	tr.				tr.						36		36	75		75
91272	21.64	22.86	1.22	tr.				tr.						27		27	63		63
91273	22.86	23.93	1.07	tr.				tr.						26		26	62		62
91274	23.93	25.02	1.09	tr.				tr.						27		27	72		72
91275	25.02	25.45	0.43	tr.				tr.						66		66	96		96
91276	25.45	26.70	1.25	tr.				tr.						27		27	65		65
91277	26.70	27.95	1.25	tr.				tr.						34		34	60		60
91278	27.95	29.26	1.31	343				343						35		35	69		69
91279	29.26	30.48	1.22	tr.				tr.						29		29	117		117
91280	30.48	31.70	1.22	tr.				tr.						37		37	67		67
91281	31.70	32.92	1.22	tr.				tr.						24		24	60		60
91282	32.92	34.14	1.22	tr.				tr.						26		26	65		65
91283	34.14	34.99	0.85	tr.				tr.						22		22	72		72
91284	34.99	35.87	0.88	tr.				tr.						26		26	80		80
91285	35.87	36.73	0.86	tr.				tr.						34		34	120		120
91286	36.73	37.64	0.91	tr.				tr.						33		33	60		60
91287	37.64	38.40	0.76	tr.				tr.						30		30	72		72
91288	38.40	39.32	0.92	tr.				tr.						30		30	62		62
91289	39.32	40.78	1.46	tr.				tr.						21		21	67		67
91290	40.78	42.06	1.28	tr.				tr.						30		30	53		53
91291	42.06	43.28	1.22	tr.				tr.						26		26	66		66
91292	43.28	44.50	1.22	tr.				tr.						22		22	72		72
91293	44.50	45.72	1.22	tr.				tr.						27		27	63		63
91294	45.72	46.73	1.01	tr.				tr.						20		20	64		64
91295	46.73	47.85	1.12	tr.				tr.						53		53	67		67
91296	47.85	49.23	1.38	tr.				tr.						24		24	60		60
91297	49.23	50.29	1.06	tr.				tr.						29		29	57		57
91298	50.29	51.45	1.16	tr.				tr.						37		37	64		64
91299	51.45	52.15	0.70	tr.				tr.						22		22	66		66
91300	52.15	53.34	1.19	tr.				tr.						20		20	64		64
91301	53.34	54.56	1.22	tr.				tr.						20		20	77		77
91302	54.56	55.78	1.22	tr.				tr.						20		20	56		56
91303	55.78	56.57	0.79	tr.				tr.						45		45	44		44
91304	56.57	57.39	0.82	tr.				tr.						16		16	66		66
91305	57.39	58.25	0.86	tr.				tr.						20		20	66		66
91306	58.25	59.10	0.85	tr.				tr.						26		26	74		74
91307	59.10	60.35	1.25	tr.				tr.						20		20	65		65
91308	60.35	61.36	1.01	tr.				tr.						22		22	70		70
91309	61.36	62.54	1.18	tr.				tr.						17		17	75		75
91310	62.54	63.70	1.16	tr.				tr.						20		20	74		74
91311	63.70	64.31	0.61	tr.				tr.						20		20	65		65

MINNOVA INC. DIVISION EXPLORATION

ECHANTILLON	DE (m)	A (m)	LONGUEUR (m)	Au(OP1) ppb	Au(OP2) ppb	Au(R-1) ppb	Au(R-2) ppb	Au(MOY) ppb	Ag ppm	As(CH) ppm	Sb(CH) ppm	Mo(CH) ppm	Pb(CH) ppm	Cu(OP) ppm	Cu(CH) ppm	Cu(MOY) ppm	Zn(OP) ppm	Zn(CH) ppm	Zn(MOY) ppm
91312	64.31	65.23	0.92	tr.				tr.						20		20	63		63
91313	65.23	66.45	1.22	446				446						20		20	66		66
91314	66.45	67.67	1.22	206				206						24		24	59		59
91315	67.67	68.88	1.21	tr.				tr.						14		14	57		57
91316	68.88	69.31	0.43	tr.				tr.						17		17	87		87
91317	69.31	70.81	1.50	tr.				tr.						14		14	78		78
91318	70.81	71.93	1.12	tr.				tr.						20		20	82		82
91319	71.93	73.15	1.22	tr.				tr.						20		20	51		51
91320	73.15	74.37	1.22	tr.				tr.						22		22	65		65
91321	74.37	75.59	1.22	tr.				tr.						20		20	50		50
91322	75.59	76.26	0.67	tr.				tr.						316		316	57		57
91323	76.26	77.11	0.85	tr.				tr.						30		30	86		86
91324	77.11	78.06	0.95	tr.				tr.						17		17	95		95
91325	78.06	79.22	1.16	tr.				tr.						20		20	92		92
91326	79.22	80.10	0.88	tr.				tr.						14		14	75		75
91327	80.10	81.38	1.28	274				274						22		22	72		72
91328	81.38	82.24	0.86	583				583						16		16	54		54
91329	82.24	83.12	0.88	411				411						20		20	66		66
91330	83.12	84.12	1.00	1131		120	120	457						16		16	60		60
91331	84.12	85.13	1.01	274				274						20		20	71		71
91332	85.13	86.14	1.01	tr.				tr.						20		25	62		62
91333	86.14	86.87	0.73	tr.				tr.						22		22	67		67
91334	86.87	88.09	1.22	tr.				tr.						20		20	64		64
91335	88.09	89.00	0.91	tr.				tr.						16		16	57		57
91336	89.00	90.01	1.01	tr.				tr.						20		20	68		68
91337	90.01	91.14	1.13	tr.				tr.						22		22	65		65
91338	91.14	92.35	1.21	tr.				tr.						24		24	67		67
91339	92.35	93.45	1.10	tr.				tr.						20		20	66		66
91340	93.45	94.49	1.04	tr.				tr.						22		22	49		49
91341	94.49	95.16	0.67	tr.				tr.						18		18	43		43
91342	95.16	95.71	0.55	tr.				tr.						17		17	53		53
91343	95.71	97.17	1.46	tr.				tr.						20		20	57		57
91344	97.17	98.60	1.43	tr.				tr.						10		10	61		61
91345	98.60	99.46	0.86	tr.				tr.						14		14	46		46
91346	99.46	100.58	1.12	tr.				tr.						20		20	49		49
91347	100.58	101.99	1.41	tr.				tr.						19		19	47		47
91348	101.99	103.02	1.03	240				240						14		14	68		68
91349	103.02	103.94	0.92	tr.				tr.						20		20	51		51
91350	103.94	104.76	0.82	tr.				tr.						6		6	40		40
91351	104.76	105.77	1.01	tr.				tr.						10		10	50		50
91352	105.77	106.74	0.97	tr.				tr.						10		10	42		42
87949	111.25	112.53	1.28	tr.				tr.						34		34	44		44
91353	112.53	112.99	0.46	480				480						16		16	43		43
91354	112.99	113.60	0.61	240				240						20		20	52		52
91355	115.37	116.53	1.16	789				789						50		50	49		49
91356	116.53	117.65	1.12	tr.				tr.						20		20	46		46
91357	122.22	123.63	1.41	tr.				tr.						16		16	40		40
91358	134.97	135.27	0.30	tr.				tr.						18		18	104		104
91359	136.46	137.89	1.43	tr.				tr.						9		9	70		70
91360	143.96	144.26	0.36	240				240						20		20	72		72
91361	146.12	147.71	1.59	274				274						26		26	78		78
91362	162.46	163.37	0.91	tr.				tr.						20		20	56		56

MINNOVA INC. DIVISION EXPLORATION

ECHANTILLON	DE (m)	A (m)	LONGUEUR (m)	Au(OP1) ppb	Au(OP2) ppb	Au(R-1) ppb	Au(R-2) ppb	Au(MOY) ppb	Ag ppm	As(CH) ppm	Sb(CH) ppm	Mo(CH) ppm	Pb(CH) ppm	Cu(OP) ppm	Cu(CH) ppm	Cu(MOY) ppm	Zn(OP) ppm	Zn(CH) ppm	Zn(MOY) ppm
91363	178.13	178.92	0.79	tr.				tr.						16		16	54		54
91364	212.81	213.18	0.37	tr.				tr.						54		54	100		100
91365	234.70	235.92	1.22	tr.				tr.						22		22	62		62
91366	266.40	266.79	0.39	tr.				tr.						28		28	53		53
87950	274.32	275.48	1.16	tr.				tr.						36		36	49		49
91371	275.48	275.84	0.36	377				377						27		27	36		36
87951	275.84	276.76	0.92	tr.				tr.						44		44	52		52
87952	276.76	277.83	1.07	tr.				tr.						29		29	46		46
91367	277.83	279.20	1.37	2229		1870	1730	1943						22		22	40		40
91368	279.20	280.45	1.25	tr.				tr.						20		20	49		49
91369	293.19	293.52	0.33	377				377						20		20	76		76
87953	293.52	294.44	0.92	tr.				tr.						32		32	52		52
91370	294.44	294.83	0.39	tr.				tr.						22		22	60		60
91372	311.20	312.42	1.22	tr.				tr.						30		30	46		46
91373	312.42	313.64	1.22	tr.				tr.						290		290	62		62
91374	313.64	314.86	1.22	tr.				tr.						53		53	57		57
91375	314.86	316.08	1.22	tr.				tr.						57		57	60		60
91376	316.08	317.30	1.22	tr.				tr.						50		50	54		54
91377	317.30	318.52	1.22	tr.				tr.						60		60	54		54
91378	318.52	319.74	1.22	tr.				tr.						53		53	49		49
91379	319.74	320.95	1.21	tr.				tr.						62		62	51		51
91380	320.95	322.17	1.22	tr.				tr.						397		397	69		69
91381	322.17	323.39	1.22	tr.				tr.						51		51	51		51
91382	323.39	324.61	1.22	274				274						52		52	46		46
91383	324.61	325.83	1.22	tr.				tr.						36		36	53		53
91384	325.83	327.05	1.22	tr.				tr.						40		40	53		53
91385	327.05	328.27	1.22	tr.				tr.						42		42	57		57
91386	328.27	329.70	1.43	tr.				tr.						39		39	51		51
91387	329.70	331.01	1.31	tr.				tr.						47		47	36		36
91388	331.01	332.23	1.22	tr.				tr.						39		39	37		37
91389	332.23	332.84	0.61	tr.				tr.						63		63	39		39
91390	332.84	333.45	0.61	tr.				tr.						50		50	35		35
91391	333.45	335.07	1.62	tr.				tr.						39		39	32		32
91392	335.07	336.07	1.00	tr.				tr.						42		42	32		32
91393	336.07	337.17	1.10	tr.				tr.						40		40	45		45
91394	337.17	338.33	1.16	tr.				tr.						50		50	50		50
91395	338.33	339.55	1.22	tr.				tr.						32		32	46		46
91396	339.55	340.16	0.61	tr.				tr.						40		40	49		49
91397	349.09	350.22	1.13	tr.				tr.						42		42	47		47
91398	350.22	351.13	0.91	tr.				tr.						56		56	47		47
91399	351.13	352.04	0.91	tr.				tr.						45		45	40		40
91400	352.04	353.08	1.04	tr.				tr.						49		49	39		39
91401	353.08	354.12	1.04	tr.				tr.						49		49	46		46
91402	354.12	355.21	1.09	tr.				tr.						43		43	45		45
91403	355.21	356.31	1.10	tr.				tr.						37		37	45		45
91404	356.31	357.23	0.92	tr.				tr.						37		37	52		52
91405	357.23	358.44	1.21	tr.				tr.						45		45	50		50
91406	358.44	359.88	1.44	tr.				tr.						30		30	44		44
91407	359.88	360.88	1.00	tr.				tr.						32		32	44		44
91408	360.88	362.10	1.22	tr.				tr.						30		30	42		42
91409	362.10	363.32	1.22	377				377						30		30	49		49
91410	363.32	364.60	1.28	240				240						37		37	46		46

MINNOVA INC. DIVISION EXPLORATION

ECHANTILLON	DE (m)	A (m)	LONGUEUR (m)	Au(OP1) ppb	Au(OP2) ppb	Au(R-1) ppb	Au(R-2) ppb	Au(MOY) ppb	Ag ppm	As(CH) ppm	Sb(CH) ppm	Mo(CH) ppm	Pb(CH) ppm	Cu(OP) ppm	Cu(CH) ppm	Cu(MOY) ppm	Zn(OP) ppm	Zn(CH) ppm	Zn(MOY) ppm
91411	366.52	367.59	1.07	tr.				tr.						19		19	43		43
91412	367.59	368.81	1.22	tr.				tr.						43		43	42		42
91413	368.81	370.03	1.22	274				274						24		24	34		34
91414	370.03	370.64	0.61	tr.				tr.						38		38	39		39
91415	372.22	372.71	0.49	tr.				tr.						40		40	67		67
87954	374.29	375.45	1.16	tr.				tr.						39		39	59		59
91416	375.45	376.34	0.89	514				514						31		31	59		59
91417	376.34	377.22	0.88	tr.				tr.						46		46	45		45
91418	379.14	380.54	1.40	tr.				tr.						40		40	54		54
91419	380.54	381.91	1.37	tr.				tr.						27		27	60		60
91420	384.54	385.27	0.73	206				206						32		32	43		43
91421	389.35	390.45	1.10	tr.				tr.						71		71	47		47
91422	390.45	391.67	1.22	tr.				tr.						37		37	51		51
91423	391.67	392.89	1.22	tr.				tr.						43		43	41		41
91424	401.18	402.52	1.34	tr.				tr.						45		45	42		42
91425	403.31	404.07	0.76	tr.				tr.						46		46	42		42
91426	404.38	405.44	1.06	tr.				tr.						47		47	40		40
91427	427.18	428.15	0.97	tr.				tr.						56		56	59		59
91428	428.55	430.07	1.52	tr.				tr.						57		57	59		59

MINNOVA INC. DIVISION EXPLORATION

COMPAGNIE : MINNOVA INC.	DIVISION EXPLORATION	PROJET : BOYVINET	SONDAGE : BV-28	IMPRIMÉ LE : 15 avril 1992
CANTON : GAND	RANG : -	LOT : -	CLAIM : 382742-3	SNRC : 32G/12
			ZONE : B1	NO. RÉFÉRENCE :
<u>COORDONNÉES AU COLLET</u>	GRILLE #1 LIGNE : 8+50E STATION : 14+50S ÉLEVATION : 15.240	GRILLE #2 LIGNE : STATION : ÉLEVATION : 15.240	GRILLE ARPENTÉE LATITUDE : -441.960 LONGITUDE : 259.080 ÉLEVATION : 15.240	AZIMUT : 152° 0' PLONGÉE : -45° 0' PROFONDEUR DU COLLET : 0.00 LONGUEUR : 199.95m.
GÉOLOGUE : PAUL GIRARD		REMARQUES :		DATE DU JOURNAL : 21 mai 1990
CONTRACTEUR : FORAGE BELAND				DATE D'ARPENTAGE :
				DATE DE CIMENTAGE :
BUT : Tester la discontinuité magnétique netteEM dans la syénite.				FORAGE DÉBUTÉ LE : 19 mai 1990
CIBLE :				TERMINÉ LE : 22 mai 1990
				TUBAGE LAISSÉ : OUI
<u>DONNÉES D'ORIENTATION</u>				
<u>Longueur</u>	<u>Azimut</u>	<u>Plongée</u>		
0.00	152 0'	-45 0'		
64.31	150 0'	-46 0'		
121.92	*153 26'	-46 0'		
198.42	158 0'	-46 0'		
(*) azimut estimé par le programme				

MINNOVA INC. DIVISION EXPLORATION

DE (m)	A (m)	TEXTURE ET STRUCTURE	ALTÉRATION	MINÉRALISATION
0.00	9.14	MT		
		MORT TERRAIN		
9.14	199.95	I2DMG-(CLCCSiVSi)		
		SYENITE TRACHYTIQUE		
		<p>Contenant = 80% de feldspath blanc 2-4mm en moyenne, automorphe grossièrement aligné. Matrice fine grise siliceuse?. De faiblement à moyennement magnétique, veines ou altération grise de silice avec probablement chlorite et un peu de calcite, veines de puissance inférieure à 1cm. Quelques fines veinules de calcite. Quelques xénolites de 1 à 2cm en moyenne probablement de microgabbro.</p> <p>La fracturation est généralement faible, définie par veines de silice.</p> <p>Altération sous forme de calcite faible diffuse. La matrice est probablement aussi faiblement altérée en silice et chlorite mais difficile à déterminer.</p> <p>Minéralisation généralement absente.</p>	<p>9.54 - 10.97</p> <p>91429: (MG)#CCSiPYvCCvCL Pyrite 1-2% finement disséminée.</p> <p>19.11 - 20.88</p> <p>85954: I2D(MG)#(HMCLM); Syénite équi-granulaire avec 15-20% minéraux mafiques interstitiels millimétriques xénomorphes. L'intervalle est caractérisé par l'oxidation des minéraux mafiques en un agrégat brun orangé limonitique.</p> <p>Traces de pyrite fine à moyenne locale</p> <p>20.88 - 22.95 M15#*HMAKSi(CC)vSiCL</p> <p>Passage métasomatique de teinte variable de rouille à rougeâtre. Fracturation forte par minces veinules grisâtre de silice+? chlorite irrégulières et discontinues et quelques veinules de calcite.</p> <p>Alt. Variable en hématite au teinte (rouille) et silice, calcite diffuse faible.</p> <p>Min. Pyrite de trace à 1% variable.</p> <p>91430: 68.50-75.30'(20.88-22.95m)</p> <p>22.95 - 24.11</p> <p>85957: I2D(MG)#(Si)(CCHMSR); Même protolithe, 60% zones de veinules de quartz millimétriques et enveloppes Si avec texture intrusive oblitérée. Séricitisation partielle à</p>	

MINNOVA INC. DIVISION EXPLORATION

DE (m)	A (m)	TEXTURE ET STRUCTURE	ALTERATION	MINÉRALISATION
			<p>totale des minéraux mafiques sur des intervalles centimétriques plus fortement silicifiés.</p> <p>25.39 - 26.12</p> <p>91431: (MG)#Si(HMCC)vCLvOZ Traces de pyrite.</p> <p>27.43 - 28.65</p> <p>85955: (MG)#CC(Si)vQZvCLCC</p> <p>28.65 - 29.17 (MG)Si(CC)</p> <p>91432: Traces de pyrite.</p> <p>29.17 - 30.48</p> <p>85956: (MG)#CC(Si)vQZvCLCC</p> <p>44.99 - 47.18</p> <p>85958: 12D(MG)#-(SiCC); syénite grise à texture trachytique bien définie. Feldspath rosé à vert pâle souvent zoné. Zonation double seulement (coeur/bordure). Fracturation irrégulière d'intensité moyenne, plans de chlorite et de calcite submillimétriques. Coloration définie par minéraux mafiques très fins, altérés, dans la matrice (texture "crowded porphyry")</p> <p>47.18 - 53.19 M15#*SiCCPYvCL</p> <p>METASOMATITE Métasomatite avec seulement quelques lots de syénite fraîche. Grise fortement fracturé par veinules/veines de chlorite surtout, allant jusqu'à brèche hydrothermal chloriteuse in-situ. Alt. Silice moyenne diffuse et calcite diffuse de faible à moyenne. Hématite localement très faible. Min. Pyrite de 0,5 à 2% de fine à grossière (jusqu'à 4mm)</p> <p>47.18 - 48.16</p> <p>91433: #SiCC(PY)vCL</p> <p>48.16 - 49.10</p> <p>91434: #SiCCPYvCL</p> <p>49.10 - 49.99</p> <p>91435: #*SiCCPYvCL</p>	

MINNOVA INC. DIVISION EXPLORATION

DE (m)	A (m)	TEXTURE ET STRUCTURE	ALTÉRATION	MINÉRALISATION
			<p>49.99 - 50.90</p> <p>91436: /\?Si(CC)PYvCL</p> <p>50.90 - 52.12</p> <p>91437: #+Si(CC)(PY)vCL 0,5% de pyrite.</p> <p>52.12 - 53.19</p> <p>91439: (#)SiCC</p> <p>114.60 - 116.13</p> <p>91439: MG(#)(CL)(CC)vSi typique.</p> <p>161.85 - 163.37</p> <p>(MG)(#)(SiCC)vSi A partir de 411.00' (125.27m) la syénite devient intermédiaire entre trachytique et équi-granulaire. Légère augmentation des veines de silice jusqu'à 2-3% on y retrouve aussi des genres de bandes centimétriques légèrement altérées (probablement silice) régulièrement espacé de quelques cm à ~60°A.C parallèle aux veines/veinules de silice à teinte légèrement rosé. Altération en silice et calcite faible chlorite ± présente.</p> <p>91440</p> <p>199.95m (656.00') FIN DU TROU. N.B.: Collet théorique selon la grille PN 122: 21+50W, 26+80N</p>	
199.95		FIN DU TROU		

MINNOVA INC. DIVISION EXPLORATION

ECHANTILLON	DE (m)	A (m)	LONGUEUR (m)	Au(OP1) ppb	Au(OP2) ppb	Au(R-1) ppb	Au(R-2) ppb	Au(MOY) ppb	Ag ppm	As(CH) ppm	Sb(CH) ppm	Mo(CH) ppm	Pb(CH) ppm	Cu(OP) ppm	Cu(CH) ppm	Cu(MOY) ppm	Zn(OP) ppm	Zn(CH) ppm	Zn(MOY) ppm
91429	9.54	10.97	1.43	tr.				tr.						27		27	36		36
85954	19.11	20.88	1.77	tr.				tr.						27		27	59		59
91430	20.88	22.95	2.07	240				240						37		37	37		37
85957	22.95	24.11	1.16	tr.				tr.						30		30	63		63
91431	25.39	26.12	0.73	tr.				tr.						34		34	44		44
85955	27.43	28.65	1.22	tr.				tr.						122		122	34		34
91432	28.65	29.17	0.52	651				651						25		25	43		43
85956	29.17	30.48	1.31	tr.				tr.						34		34	46		46
85958	44.99	47.18	2.19	tr.				tr.						29		29	46		46
91433	47.18	48.16	0.98	274				274						46		46	57		57
91434	48.16	49.10	0.94	720				720						26		26	40		40
91435	49.10	49.99	0.89	7200	7173	3450	3370	6236						29		29	41		41
91436	49.99	50.90	0.91	1954		1700	1630	1761						33		33	69		69
91437	50.90	52.12	1.22	343				343						26		26	70		70
91438	52.12	53.19	1.07	tr.				tr.						60		60	53		53
91439	114.63	116.13	1.53	tr.				tr.						34		34	25		25
91440	161.85	163.37	1.52	tr.				tr.						142		142	26		26

MINNOVA INC. DIVISION EXPLORATION

COMPAGNIE : MINNOVA INC. DIVISION EXPLORATION PROJET : BOYVINET SONDAGE : BV-29 IMPRIMÉ LE : 15 avril 1992
 CANTON : GAND RANG : - LOT : - CLATH : 382742-5 SNRC : 32G/12 ZONE : B1 NO. RÉFÉRENCE :

COORDONNÉES AU COLLET GRILLE #1 GRILLE #2 GRILLE ARPENTÉE AZIMUT : 110° 0'
 LIGNE : 0+00E LIGNE : LATITUDE : -350.520 PLONGÉE : -45° 0'
 STATION : 11+50S STATION : LONGITUDE : 0.000 PROFONDEUR DU COLLET : 0.00
 ÉLEVATION : 22.860 ÉLEVATION : 22.860 ÉLEVATION : 22.860 LONGUEUR : 395.02m.

GÉOLOGUE : PAUL GIRARD REMARQUES : DATE DU JOURNAL : 22 mai 1990
 CONTRACTEUR : FORAGE BELAND DATE D'ARPENTAGE :
 DATE DE CIMENTAGE :
 FORAGE DÉBUTÉ LE : 22 mai 1990
 TERMINÉ LE : 30 mai 1990
 BUT : Tester extension SSW de la zone de fracturation E dans la syénite (zone BV-10) TUBAGE LAISSÉ : Oui
 CIBLE :

DONNÉES D'ORIENTATION

Longueur	Azimuth	Plongée
0.00	110 0'	-45 0'
64.31	108 0'	-45 0'
121.92	*110 12'	-45 0'
195.38	113 0'	-45 0'
243.84	*113 53'	-45 0'
305.10	115 0'	-45 0'
393.50	120 0'	-45 0'

(*) azimuth estimé par le programme

MINNOVA INC. DIVISION EXPLORATION

DE (m)	A (m)	TEXTURE ET STRUCTURE	ALTÉRATION	MINÉRALISATION
0.00	6.10	MT MORT-TERRAIN		
6.10	395.02	<p>I2D(MG)(-)#(SiCC)(CL)vS:(CL)vCC(CL)</p> <p>SYENITE TRACHYTIQUE</p> <p>Relativement fraîche, grise, composée d'environ 10-20% de mafiques hypidiomorphes à automorphes de 1-3mm et d'environ 80% de feldspath aussi hypidiomorphe à automorphe de 2-5mm variablement aligné donnant texture trachytique ou intermédiaire entre trachytique et équi-granulaire. Proportion variable de matrice siliceuse. La syénite passe de grisâtre à rose en profondeur. Le magnétisme varie de faible à moyen en profondeur.</p> <p>La fracturation est variable de faible à moyenne définie surtout par veinules millimétriques de silice grisâtre (chlorite) pour plus profondément devenir calcite chlorite.</p> <p>L'altération est généralement faible, en silice et calcite diffuse. L'hématite augmente en profondeur tout en restant faible. Chloritisation variable des mafiques avec localement possiblement riebeckite et biotitisation. L'altération en silice semble provenir de veines/veinules diffuse au début du trou.</p> <p>Minéralisation habituellement absente dans les passages peu altérés.</p>	<p>10.52 - 11.28</p> <p>91441: (MG)#*Si(CC)vSi</p> <p>12.95 - 13.87</p> <p>91442: Idem;</p> <p>19.51 - 20.42</p> <p>91443: #*SiCC(CL)vSiVCC Texture intrusive assez oblitérée par altération et fracturation forte. Altération surtout en silice et calcite avec très faible hématitisation, chloritisation des mafiques. Traces de pyrite à 1% sur 6 cm.</p> <p>36.06 - 37.25</p> <p>91444: #*Si+vSiVCC</p> <p>43.28 - 44.26</p> <p>91445: #(Si)(PY)vCL Surtout silice faible avec très faible calcite et</p>	

MINNOVA IN 7. DIVISION EXPLORATION

DE (m)	A (m)	TEXTURE ET STRUCTURE	ALTÉRATION	MINÉRALISATION
			<p>hématite. Traces à 0,5% pyrite très fine.</p> <p>44.26 - 45.23</p> <p>91446: Idem.</p> <p>47.88 - 48.52</p> <p>91447: #Si(CC)(PY)vCL Pyrite 0,5-1% fine.</p> <p>77.72 - 78.55</p> <p>91448: #SiHMvSi Texture légèrement oblitérée par altération très localement magnétique. Silice en veinules et diffuse, hématite entre faible et moyen.</p> <p>81.59 - 82.27</p> <p>91449: #+HM++(Si?) Augmentation graduelle de l'altération en hématite. Contient un intervalle métrique de roche rouge-brun foncé à texture fragmentaire rayable.</p> <p>82.27 - 83.67</p> <p>91450: (MG)#+/(?)Si(HMCC)vCL(CC) Forte densité de veinules de chlorite ± calcite fragmentant la roche rose (2-4cm).</p> <p>88.85 - 89.15</p> <p>91451: #++Si(HM)vCL Fracturation extrême donnant aspect bréchique par veines/veinules de chlorite de 1-3mm irrégulières avec très peu de calcite. Syénite altérée en silice moyenne et hématite faible avec chlorite dans veinules.</p> <p>108.75 - 109.30</p> <p>91452: #+SiHMvCL</p> <p>118.45 - 120.70</p> <p>#+Si+vSi Fracturation forte à partir de veinules/veines de</p>	

MINNOVA INC. DIVISION EXPLORATION

DE (m)	A (m)	TEXTURE ET STRUCTURE	ALTÉRATION	MINÉRALISATION
			<p>silice grise bleuté. Altération diffuse a partir des veinules de silices.</p> <p>91453: 388.60-392.40' (118.45-119.60m) 91454: 392.40-396.00' (119.60-120.70m)</p> <p>143.26 - 149.53 (MG)#Si(HM)(CL)vCLvQZ</p> <p>Syénite beige rosâtre à rougeâtre à texture intrusive localement assez oblitérée par altération. (Diminution de granulométrie). La fracturation est entre moyenne et forte par veinules/veines de chlorite et/ou quartz. Altération surtout en silice diffuse moyenne et hématite faible. Localement calcite. Chloritisation des mafiques. Généralement traces pyrite sur l'ensemble.</p> <p>143.26 - 144.60</p> <p>91455: (MG)#Si(HMCC)vCL</p> <p>144.60 - 145.15</p> <p>91456: (MG)#(Si)(HM)vCL</p> <p>145.15 - 146.61</p> <p>91457: (MG)#Si(HM)vCLvQZ</p> <p>146.61 - 148.13</p> <p>91458: Idem.</p> <p>148.13 - 148.83</p> <p>91459: Idem.</p> <p>148.83 - 149.53</p> <p>91460: (MG)#Si(HMCC)vQZCC Texture intrusive oblitérée en grande partie.</p> <p>151.94 - 164.10 (MG)(#)SiHM</p> <p>SYENITE SILICIFIE ET HEMATISEE</p> <p>De teinte rouge à grisâtre (variation graduelle) dont la texture intrusive est oblitérée variablement. Généralement faiblement à très faiblement magnétique.</p> <p>La fracturation est faible, définie par veinules/veines de chlorite et/ou quartz.</p>	

MINNOVA INC. DIVISION EXPLORATION

DE (m)	A (m)	TEXTURE ET STRUCTURE	ALTÉRATION	MINÉRALISATION
			<p>Altération en silice et hématite variable diffuse généralement moyenne, calcite généralement très faible, chloritisations des mafiques.</p> <p>Minéralisation généralement absente.</p> <p>151.94 - 152.64</p> <p>91461: (#)Si(Cc) Début de l'intervalle bleuté dû à l'altération en silice + riebeckite?.</p> <p>152.64 - 153.56</p> <p>91462: (MG)(#)Si Silice entre moyenne et faible, hématite très faible.</p> <p>153.56 - 154.78</p> <p>91463: Idem.</p> <p>154.78 - 155.42</p> <p>91464: (MG)(#)Si(HM)</p> <p>155.42 - 155.84</p> <p>91465: (MG)(#)SiHM</p> <p>155.84 - 157.28</p> <p>91466: (MG)(#)Si(HM)</p> <p>157.28 - 158.65</p> <p>91467: Idem.</p> <p>158.65 - 160.02</p> <p>91468: Idem.</p> <p>160.02 - 160.90</p> <p>91469: Idem. A partir de 525' (160.02m) texture assez oblitérée.</p> <p>160.90 - 161.27</p> <p>91470: (#)Si+vCc Texture fortement oblitérée.</p>	

MINNOVA INC. DIVISION EXPLORATION

DE (m)	A (m)	TEXTURE ET STRUCTURE	ALTÉRATION	MINÉRALISATION
			<p>161.27 - 161.85</p> <p>91471: Idem à 91469</p> <p>161.85 - 162.46</p> <p>91472: Idem.</p> <p>162.46 - 163.98</p> <p>91473: Idem.</p> <p>164.10 - 174.38 (MG)#Si(CC)vCLCCvSi (CL)</p> <p>Syénite gris-rose pâle à texture intrusive : oblitérée faiblement magnétique.</p> <p>Fracturation moyenne définie par veinules irrégulières de chlorite/calcite et veinules de silice (chlorite) (plus rare).</p> <p>Altération surtout en silice diffuse de faible à moyenne, calcite généralement faible et hématite très faible.</p> <p>Minéralisation généralement absente.</p> <p>164.10 - 164.47</p> <p>91474: (MG)(#)Si(CC) Texture assez oblitérée.</p> <p>173.77 - 174.38</p> <p>91475: (MG)#+Si(CC)vCLCCvSi</p> <p>175.93 - 176.33</p> <p>91476: (MG)#(SiCC)PYvCLCCvSi 0,5 à 1% de pyrite fine.</p> <p>182.51 - 183.95</p> <p>85959: 120(MG)(#)(CCHM); Syénite : osée équi-granulaire avec ~ 10% minéraux mafiques xénomorphes interstitiels, texture intrusive quelque peu floue dû à la carbonatation.</p> <p>183.95 - 187.76 (MG)(#)Si(CC)</p> <p>Syénite silicifié de teinte beige à grise à texture assez oblitérée faiblement magnétique et faiblement</p>	

MINNOVA INC. DIVISION EXPLORATION

DE (m)	A (m)	TEXTURE ET STRUCTURE	ALTÉRATION	MINÉRALISATION
			<p>fracturée. Silice moyenne diffuse et calcite faible en veinules et diffuse. Traces à 0,5% de pyrite.</p> <p>183.95 - 184.71</p> <p>91477: (MG)#Si(CC)(PY)</p> <p>184.71 - 186.23</p> <p>91478: Type.</p> <p>186.23 - 187.76</p> <p>91479: Type.</p> <p>187.76 - 210.10 M15#*Si(HMCL)(PY)vCLCC</p> <p>SYENITE METASOMATIQUE</p> <p>De couleur beige rosâtre à rouge dont la texture intrusive est en majeure partie oblitérée. Localement très faiblement magnétique.</p> <p>La fracturation varie de moyenne à forte jusqu'à très localement bréchique par veines/veinules de chlorite et calcite plus rare. Quelques veines de quartz.</p> <p>Altération en silice diffuse entre moyenne et forte et hématite variant de faible à forte (loc). Calcite en veinules surtout chlorite en veinules et altération des mafiques.</p> <p>Pyrite de 0,5 à 2% disséminée et associée aux veinules de chlorite.</p> <p>187.76 - 189.28</p> <p>91480: (MG)#Si(HM)PYvCLCC 0,5%</p> <p>189.28 - 190.80</p> <p>91481: Idem.</p> <p>190.80 - 192.18</p> <p>91482: Idem.</p> <p>192.18 - 193.06</p>	

MINNOVA INC. DIVISION EXPLORATION

DE (m)	A (m)	TEXTURE ET STRUCTURE	ALTÉRATION	MINÉRALISATION
			<p>91483 (MG)#SiHMPYvCLCC Pyrite de 0,5-2%.</p> <p>193.06 - 193.49</p> <p>91484: (#)Si+(PY) 0,5% pyrite.</p> <p>193.67 - 194.74</p> <p>91486: #SiHMPYvCLCC</p> <p>194.74 - 195.71</p> <p>91487: #Si(HM)PY Pyrite 1-2%</p> <p>195.71 - 196.17</p> <p>91488: (MG)#Si(HM)(PY)vCLSiCC 0,5% pyrite en moyenne.</p> <p>196.17 - 196.87</p> <p>91489: #++Si(HM)(PY)vCLSiCC Fracturation très forte, définie par forte densité de veinules de chlorite, silice et un peu de calcite.</p> <p>196.87 - 197.42</p> <p>91490: #HM+Si(PY)vCLSi(CC) 0,5 à 1% de pyrite.</p> <p>197.42 - 198.73</p> <p>91491: #SiHM(PY)vCLCCvQZ 0,5% en moyenne.</p> <p>198.73 - 200.10</p> <p>91492: #+HM+Si(PY)vCL(CC) 0,5% en moyenne.</p> <p>200.10 - 200.92</p> <p>91493: (MG)#Si(HM)(PY)vCL(CC)vQZ</p>	<p>193.49 - 193.67 #++Si+(HM)PY+vCL</p> <p>91485: 3% de pyrite associée au veinules de chlorite et diffuse.</p>

MINNOVA INC. DIVISION EXPLORATION

DE (m)	A (m)	TEXTURE ET STRUCTURE	ALTÉRATION	MINÉRALISATION
			<p>Pyrite supérieur à traces.</p> <p>200.92 - 202.69</p> <p>91494: (MG)#Si(PY)vCLCCvOZ Hématite très faible. Traces à 1% pyrite.</p> <p>202.69 - 204.19</p> <p>91495: MG#Si(HM)(PY)vCLCC</p> <p>204.19 - 205.44</p> <p>91496: (MG)#Si(HMCC)(PY)vCLCC A partir de 669.90' (204.19m) augmentation des passages où la texture intrusive est visible. Altération presque inclusivement sous forme de silice Pyrite de traces à 0,5%.</p> <p>205.44 - 206.20</p> <p>91497: (MG)(#)(Si) Silice entre faible et moyenne laissant voir la texture intrusive.</p> <p>206.20 - 207.17</p> <p>91498: Idem à 91497</p> <p>207.17 - 207.84</p> <p>91499: Idem à 91498</p> <p>207.84 - 209.09</p> <p>91500: (MG)#(SiHM)vCCCL Alternance de bandes centimétriques frais et altéré.</p> <p>209.09 - 210.10</p> <p>91501: (MG)#(SiHM)vCCCL</p> <p>210.10 - 236.86 12D(MG-#)(Si), (MG)#*SiHMvCLCC</p> <p>SYENITE TRACHYTIQUE, SYENITE ALTEREE</p> <p>Mélange métrique à décimétrique de syénite à texture et</p>	

MINNOVA INC. DIVISION EXPLORATION

DE (m)	A (m)	TEXTURE ET STRUCTURE	ALTÉRATION	MINÉRALISATION
			<p>altération variable, passant graduellement d'une syénite faiblement trachytique grise composée de 80% de feldspath de 2-4mm automorphe à hypidiomorphe, de 10-15% de mafiques plus fins intersticiels et de matrice fine siliceuse, à une syénite altérée.</p> <p>La fracturation est généralement forte, surtout dans les passages altérés. Cette fracturation est définie par veinules de chlorite calcite et veines/veinules de quartz.</p> <p>Passage frais seulement altéré en silice tandis que le reste altéré en silice et hématite variable.</p> <p>210.10 - 213.15 (MG)#Si(HM)(PY)vCLCCvQZ</p> <p>Zone d'altération et de texture variable à l'échelle centimétrique.</p> <p>Altération variable en silice et hématite. Minéralisation légèrement supérieure à traces.</p> <p>91502: 689.30-692.70' (210.10-211.14m) 91503: 692.70-696.00' (211.14-212.14m) 91504: 696.00-699.20' (212.14-213.12m)</p> <p>213.15 - 214.27</p> <p>91505: 12D(MG)(=)(SiCC)vCLCCvQZ Traces de pyrite.</p> <p>214.27 - 215.37</p> <p>91506: Idem.</p> <p>215.37 - 215.77</p> <p>91507: (MG)#SiVQZvCLCC</p> <p>215.77 - 217.23</p> <p>91508: (MG)#Si(HM)vCCCLvQZAB Traces pyrite.</p> <p>217.23 - 219.43</p> <p>85960: 12D(MG)-(CC)vQZ; Syénite trachytique à matrice grise. Texture variablement floue. Concentrations de veinules de quartz millimétriques locales.</p> <p>219.43 - 220.68 (MG)#Si(HMCC)vCCCLvQZAB</p> <p>91509: Altération très irrégulière à l'échelle de ≈ 10cm.</p>	

MINNOVA INC. DIVISION EXPLORATION

DE (m)	A (m)	TEXTURE ET STRUCTURE	ALTÉRATION	MINÉRALISATION
			<p>Traces de pyrite.</p> <p>220.68 - 221.89</p> <p>91510: Idem.</p> <p>221.89 - 223.11</p> <p>91511: Idem.</p> <p>223.11 - 224.33</p> <p>91512: Idem.</p> <p>224.33 - 225.55</p> <p>91513: Idem.</p> <p>225.55 - 226.44</p> <p>91514: Idem.</p> <p>226.44 - 227.69</p> <p>91515: M15(MG)#Si+HMPYvCCvQZ Pyrite 0,5-1% très fine.</p> <p>227.69 - 229.03</p> <p>91516: Idem.</p> <p>229.03 - 229.76</p> <p>91517: (MG)#Si(HM)(PY)vCCCL Traces à 0,5% pyrite fine.</p> <p>229.76 - 230.43</p> <p>91518: MG#Si(HM)PYvCCCL Pyrite de 1 à 2% fine disséminée et en veinules.</p> <p>230.43 - 231.65</p> <p>91519: MG(#)#Si(HM)(PY) Traces à 1% de pyrite fine.</p> <p>231.65 - 232.62</p> <p>91520: (MG)#Si(HM)(PY)vCLCC Traces à 1% de pyrite fine et veinules.</p> <p>232.62 - 233.23</p>	

MINNOVA INC. DIVISION EXPLORATION

DE (m)	A (m)	TEXTURE ET STRUCTURE	ALTÉRATION	MINÉRALISATION
		236.86 - 268.38 I2D(MG)(-)(#)(SiCC)vQZvCCCL	91521: (MG)(#)SiHM(PY)vCCQZCL Pyrite 0,5% en moyenne.	
		SYENITE ROSE TRACHYTIQUE A EQUIGRANULAIRE	233.23 - 234.45	
		Retour à la syénite rose grenue du début du trou, intermédiaire entre trachytique et équigranulaire. Légèrement magnétique.	91522: (MG)#Si+(HM)(PY)vCCQZCL Traces à 0,5%	
		Altération faible en silice et calcite hématite très faible.	235.92 - 236.65	
		Minéralisation généralement absente.	91523: (MG)(#)SiHM Traces de pyrite.	
			240.00 - 241.16	
			91524: (MG)#*(HMCC)vQZ(5X)vCLCC	
			251.76 - 253.20	
			85961: I2D(MG)(Si)vQZ; Syénite rose pâle équigranulaire, avec <10% minéraux mafiques millimétriques xénomorphes interstitiels par rapport aux lattes de feldspath rosé et 15% matrice felsique les entourant. L'intervalle contient 30% zones carbonatisées à silice, chlorite et séricite là où la texture intrusive est effacée. Localement, des zones décimétriques montrent une limonitisation des minéraux mafiques.	
			253.20 - 254.08 MG(#)(SiCC)	
			91525: Traces de pyrite fine.	
			254.08 - 256.00	
			85962: Idem. à 85961	
		268.38 - 340.22 I2D(MG)(-)(#)		
		SYENITE TRACHYTIQUE GRISE		

MINNOVA INC. DIVISION EXPLORATION

DE (m)	A (m)	TEXTURE ET STRUCTURE	ALTÉRATION	MINÉRALISATION
		<p>Syénite grise grenue composée d'environ 85% de feldspath hypidiomorphe de 2-4mm ± aligné formant une texture trachytique avec environ 10% de minéraux mafiques généralement xénomorphe interstitiels, et d'un % variable de matrice siliceuse.</p> <p>La fracturation est généralement faibl. définie par minces veinules de calcite et/ou chlorite et parfois silice. On retrouve souvent des bandes centimétriques de composition légèrement différente à angle constant mais variable sur plusieurs mètres représentant possiblement un litage magnétique?</p> <p>Altération seulement silice très faible donnant aspect gris siliceux à la matrice et rendant parfois les feldspaths fous. L'hématite localement donne une teinte rosé au feldspath. Calcite très faible diffuse.</p> <p>Minéralisation généralement absente.</p> <p>340.22 - 341.65 (2MG(-)(#)(Si)</p> <p>SYENITE FAIBLEMENT TRACHYTIQUE</p> <p>Rose très pâle similaire à la syénite du début du trou, à texture intermédiaire entre trachytique et équi-granulaire. Minéraux mafiques hypidiomorphes. Les contacts sont assez net (trémie? 1cm?) à ≈ 50°.</p>	<p>286.82 - 287.33</p> <p>91526: #+SiRB(CC)vSiCC Riebeckite donnant teinte bleutée assez net.</p> <p>296.81 - 297.36</p> <p>91527: (MG)(#)(Si)vSi; Couleur bleutée</p> <p>305.10 - 305.41</p> <p>91528: (MG)(#)(Si)vCLEP</p> <p>312.69 - 313.55</p> <p>91529: (MG)(#)(Si)vSiVCC; veinules de silice bleutée</p> <p>326.75 - 327.32</p> <p>91530: (MG)(#)(Si)(HM)vSi Similaire à syénite de début de trou par altération.</p> <p>334.21 - 334.58</p> <p>91531: Idem.</p>	

MINNOVA INC. DIVISION EXPLORATION

DE (m)	A (m)	TEXTURE ET STRUCTURE	ALTÉRATION	MINÉRALISATION
		<p>Silice faible diffuse et veinules et hématite très faible.</p> <p>341.65 - 395.02 12DMG(-)(Si)</p> <p>SYENITE TRACHYTIQUE</p> <p>Retour à la syénite rose du début du trou de trachytique à intermédiaire entre trachytique et équi-granulaire. De couleur rose très pâle. Plus magnétique.</p> <p>Surtout silice diffuse rendant les feldspaths flous par endroit hématite et calcite généralement très faibles.</p> <p>Généralement absente.</p>	<p>343.91 - 345.03</p> <p>91532: (MG)(#)(Si)(PY) Traces à 0,5% pyrite fine.</p> <p>345.03 - 346.37</p> <p>91533: Idem.</p> <p>359.05 - 360.58</p> <p>91534: (MG)#Si(CC)PYvCLCC Pyrite 0,5-2% locale.</p> <p>365.58 - 366.52</p> <p>91535: (MG)#Si(CC)(PY)vSi(CL) 0,5% de pyrite.</p> <p>366.52 - 367.10</p> <p>91536: (MG)#Si(CC)PYvSiCLCC Pyrite fine de 1-2%.</p> <p>367.10 - 368.47</p> <p>91537: (MG)#Si(CC)PYvSiCLCC 0,5-2% pyrite très fine.</p> <p>368.47 - 369.42</p> <p>91538: (MG)#(Si)(CC)PYvSiCLCC Traces à 2% pyrite très fine.</p> <p>381.24 - 382.68</p>	

MINNOVA INC. DIVISION EXPLORATION

DE (m)	A (m)	TEXTURE ET STRUCTURE	ALTÉRATION	MINÉRALISATION
			<p>85963: 12D(MG); Syénite "équigranulaire constituée d'environ > 60% lattes de FP (en partie plagioclase à zonation multiple), . 15% hornblende partiellement chloritisée (± biotite?), ~ 15% matrice felsique aphanitique, 3-5% épidote fine trapue. Relativement peu altéré. Dépressions submillimétriques limonitiques. Echantillon prélevé pour lame mince.</p> <p>384.20 - 386.49</p> <p>Idem. à 85963. Quelques xénolites de microgabbro.</p> <p>85964: 1260.5-1266.0' (384.21-385.88m) 85964: 1266.0-1268.0' (385.88-386.49m)</p> <p>386.49 - 386.79 12D, 12D#Si+CCPY</p> <p>91540: Syénite fraîche + 7.5cm fortement altéré. Silice forte mauve locale + calcite. 2% de pyrite en veinules sur 3%.</p> <p>386.79 - 388.32</p> <p>85966: Idem à 85965, avec un intervalle décimétrique moyennement altéré en CC</p> <p>391.52 - 392.92</p> <p>85967: Idem. à 85965</p> <p>392.92 - 393.19</p> <p>91541: #+si+(HM)PYvCLCC Pyrite 2% fine.</p> <p>393.19 - 393.71</p> <p>85968: 12D(MG)#CCvCLCC</p> <p>393.71 - 395.02</p> <p>91542: M15(MG)#+Si+(HMCC)vCLCC traces de pyrite.</p>	<p>382.68 - 384.20 (MG)#+Si+CCPY+vSiCLCC</p> <p>91539: 1-3% de pyrite de fine à 1mm locale.</p>

MINNOVA INC. DIVISION EXPLORATION

DE (m)	A (m)	TEXTURE ET STRUCTURE	ALTÉRATION	MINÉRALISATION
395.02	FIN DU TROU		395.03m (1296.00'): FIN DU TROU. N.B.: Collet théorique selon grille PN 122: L30W, 27+50M	

MINNOVA INC. DIVISION EXPLORATION

ECHANTILLON	DE (m)	A (m)	LONGUEUR (m)	Au(OP1) ppb	Au(OP2) ppb	Au(R-1) ppb	Au(R-2) ppb	Au(MOY) ppb	Ag ppm	As(CH) ppm	Sb(CH) ppm	Mo(CH) ppm	Pb(CH) ppm	Cu(OP) ppm	Cu(CH) ppm	Cu(MOY) ppm	Zn(OP) ppm	Zn(CH) ppm	Zn(MOY) ppm
91441	10.52	11.28	0.76	tr.				tr.						32		32	27		27
91442	12.95	13.87	0.92	tr.				tr.						26		26	30		30
91443	19.51	20.42	0.91	tr.				tr.						23		23	42		42
91444	36.06	37.25	1.19	tr.				tr.						16		16	34		34
91445	43.28	44.26	0.98	tr.				tr.						17		17	53		53
91446	44.26	45.23	0.97	tr.				tr.						21		21	49		49
91447	47.88	48.52	0.64	tr.				tr.						12		12	42		42
91448	77.72	78.55	0.83	tr.				tr.						16		16	26		26
91449	81.59	82.27	0.68	tr.				tr.						18		18	67		67
91450	82.27	83.67	1.40	tr.				tr.						27		27	39		39
91451	88.85	89.15	0.30	tr.				tr.						24		24	82		82
91452	108.75	109.30	0.55	tr.				tr.						24		24	49		49
91453	118.45	119.60	1.15	tr.				tr.						18		18	36		36
91454	119.60	120.70	1.10	tr.				tr.						15		15	30		30
91455	143.26	144.60	1.34	tr.				tr.						12		12	52		52
91456	144.60	145.15	0.55	tr.				tr.						18		18	49		49
91457	145.15	146.61	1.46	tr.				tr.						12		12	40		40
91458	146.61	148.13	1.52	206				206						18		18	34		34
91459	148.13	148.83	0.70	tr.				tr.						22		22	36		36
91460	148.83	149.53	0.70	tr.				tr.						19		19	57		57
91461	151.94	152.64	0.70	tr.				tr.						20		20	54		54
91462	152.64	153.56	0.92	tr.				tr.						14		14	45		45
91463	153.56	154.78	1.22	tr.				tr.						22		22	54		54
91464	154.78	155.42	0.64	tr.				tr.						19		19	46		46
91465	155.42	155.84	0.42	tr.				tr.						14		14	60		60
91466	155.84	157.28	1.44	tr.				tr.						14		14	51		51
91467	157.28	158.65	1.37	tr.				tr.						8		8	46		46
91468	158.65	160.02	1.37	tr.				tr.						10		10	43		43
91469	160.02	160.90	0.88	tr.				tr.						10		10	37		37
91470	160.90	161.27	0.37	tr.				tr.						18		18	40		40
91471	161.27	161.85	0.58	tr.				tr.						20		20	40		40
91472	161.85	162.46	0.61	tr.				tr.						17		17	45		45
91473	162.46	163.98	1.52	tr.				tr.						20		20	52		52
91474	164.10	164.47	0.37	tr.				tr.						29		29	48		48
91475	173.77	174.38	0.61	tr.				tr.						37		37	19		19
91476	175.90	176.33	0.43	tr.				tr.						87		87	32		32
85959	182.51	183.95	1.44	tr.				tr.						27		27	61		61
91477	183.95	184.71	0.76	651				651						29		29	35		35
91478	184.71	186.23	1.52	240				240						21		21	41		41
91479	186.23	187.76	1.53	617				617						31		31	30		30
91480	187.76	189.28	1.52	583				583						31		31	37		37
91481	189.28	190.80	1.52	tr.				tr.						27		27	34		34
91482	190.80	192.18	1.38	tr.				tr.						24		24	36		36
91483	192.18	193.06	0.88	1440				1440						29		29	37		37
91484	193.06	193.49	0.43	377				377						27		27	47		47
91485	193.49	193.67	0.18	6274	6357			6343						26		26	49		49
91486	193.67	194.74	1.07	926				926						24		24	37		37
91487	194.74	195.71	0.97	857				857						21		21	35		35
91488	195.71	196.17	0.46	tr.				tr.						32		32	42		42
91489	196.17	196.87	0.70	617				617						40		40	53		53
91490	196.87	197.42	0.55	1577		1230	1270	1359						40		40	47		47
91491	197.42	198.73	1.31	823				823						32		32	29		29

MINNOVA INC. DIVISION EXPLORATION

ECHANTILLON	DE (m)	A (m)	LONGUEUR (m)	Au(OP1) ppb	Au(OP2) ppb	Au(R-1) ppb	Au(R-2) ppb	Au(MOY) ppb	Ag ppm	As(CH) ppm	Sb(CH) ppm	Mo(CH) ppm	Pb(CH) ppm	Cu(OP) ppm	Cu(CH) ppm	Cu(MOY) ppm	Zn(OP) ppm	Zn(CH) ppm	Zn(MOY) ppm
91492	198.73	200.10	1.37	206				206						24		24	42		42
91493	200.10	200.92	0.82	1097				1097						27		27	32		32
91494	200.92	202.69	1.77	446				446						27		27	28		28
91495	202.69	204.19	1.50	240				240						27		27	47		47
91496	204.19	205.44	1.25	411				411						28		28	57		57
91497	205.44	206.20	0.76	tr.				tr.						34		34	57		57
91498	206.20	207.17	0.97	686				686						30		30	54		54
91499	207.17	207.84	0.67	tr.				tr.						29		29	67		67
91500	207.84	209.09	1.25	tr.				tr.						25		25	62		62
91501	209.09	210.10	1.01	tr.				tr.						25		25	49		49
91502	210.10	211.13	1.03	343				343						21		21	59		59
91503	211.13	212.14	1.01	651				651						24		24	70		70
91504	212.14	213.21	1.07	240				240						26		26	57		57
91505	213.21	214.27	1.06	tr.				tr.						20		20	79		79
91506	214.27	215.37	1.10	tr.				tr.						22		22	74		74
91507	215.37	215.77	0.40	tr.				tr.						29		29	53		53
91508	215.77	217.23	1.46	tr.				tr.						24		24	29		29
85960	217.23	219.43	2.20	tr.				tr.						27		27	67		67
91509	219.43	220.68	1.25	1234		330	270	611						24		24	44		44
91510	220.68	221.89	1.21	tr.				tr.						20		20	35		35
91511	221.89	223.11	1.22	tr.				tr.						27		27	41		41
91512	223.11	224.33	1.22	514				514						25		25	50		50
91513	224.33	225.55	1.22	tr.				tr.						22		22	49		49
91514	225.55	226.44	0.89	tr.				tr.						30		30	57		57
91515	226.44	227.69	1.25	309				309						21		21	27		27
91516	227.69	229.03	1.34	tr.				tr.						30		30	35		35
91517	229.03	229.76	0.73	tr.				tr.						20		20	54		54
91518	229.76	230.43	0.67	tr.				tr.						27		27	55		55
91519	230.43	231.65	1.22	tr.				tr.						26		26	44		44
91520	231.65	232.62	0.97	240				240						27		27	65		65
91521	232.62	233.23	0.61	tr.				tr.						30		30	40		40
91522	233.23	234.45	1.22	tr.				tr.						29		29	35		35
91523	235.92	236.65	0.73	tr.				tr.						22		22	49		49
91524	240.00	241.16	1.16	tr.				tr.						25		25	62		62
85961	251.76	253.20	1.44	tr.				tr.						27		27	52		52
91525	253.20	254.08	0.88	137				137						25		25	79		79
85962	254.08	256.00	1.92	tr.				tr.						27		27	44		44
91526	286.82	287.33	0.51	tr.				tr.						20		20	49		49
91527	296.81	297.36	0.55	tr.				tr.						26		26	37		37
91528	305.10	305.41	0.31	tr.				tr.						23		23	27		27
91529	312.69	313.55	0.86	tr.				tr.						30		30	17		17
91530	326.75	327.32	0.57	tr.				tr.						290		290	21		21
91531	334.21	334.58	0.37	tr.				tr.						45		45	30		30
91532	344.21	345.03	0.82	tr.				tr.						24		24	53		53
91533	345.03	346.37	1.34	tr.				tr.						20		20	57		57
91534	359.05	360.73	1.68	tr.				tr.						22		22	54		54
91535	365.58	366.52	0.94	tr.				tr.						24		24	52		52
91536	366.52	367.10	0.58	309				309						30		30	54		54
91537	367.10	368.47	1.37	tr.				tr.						32		32	51		51
91538	368.47	369.42	0.95	tr.				tr.						15		15	44		44
85963	381.24	382.66	1.44	tr.				tr.						22		22	53		53
91539	382.68	384.20	1.52	1063		900	870	944						27		27	44		44

MINNOVA INC. DIVISION EXPLORATION

ECHANTILLON	DE (m)	A (m)	LONGUEUR (m)	Au(OP1) ppb	Au(OP2) ppb	Au(R-1) ppb	Au(R-2) ppb	Au(MOY) ppb	Ag ppm	As(CH) ppm	Sb(CH) ppm	Mo(CH) ppm	Pb(CH) ppm	Cu(OP) ppm	Cu(CH) ppm	Cu(MOY) ppm	Zn(OP) ppm	Zn(CH) ppm	Zn(MOY) ppm
85964	384.20	385.88	1.68	tr.				tr.						20		20	60		60
85965	385.88	386.49	0.61	tr.				tr.						20		20	66		66
91540	386.49	386.79	0.30	1131				1131						22		22	144		144
85966	386.79	388.32	1.53	tr.				tr.						21		21	52		52
85967	391.52	392.92	1.40	tr.				tr.						229		229	72		72
91541	392.92	393.19	0.27	240				240						22		22	54		54
85968	393.19	393.71	0.52	tr.				tr.						30		30	78		78
91542	393.71	395.02	1.31	tr.				tr.						19		19	53		53

MINNOVA INC. DIVISION EXPLORATION

COMPAGNIE : MINNOVA INC.	DIVISION EXPLORATION	PROJET : BOYVINET	SONDAGE : BV-30	IMPRIMÉ LE : 15 avril 1992
CANTON : GAND	RANG : -	LOT : -	CLAIM : 382742-4	SNRC : 32G/12
			ZONE : B1*	NO. RÉFÉRENCE :

<u>COORDONNÉES AU COLLET</u>	GRILLE #1	GRILLE #2	GRILLE ARPENTÉE	AZIMUT : 286° 0'
	LIGNE : 27+80E	LIGNE :	LATITUDE : -381.000	PLONGÉE : -45° 0'
	STATION : 12+50S	STATION :	LONGITUDE : 847.340	PROFONDEUR DU COLLET : 0.00
	ÉLEVATION : 0.000	ÉLEVATION : 0.000	ÉLEVATION : 0.000	LONGUEUR : 554.74m.

GÉOLOGUE : PAUL GIRARD	REMARQUES :	DATE DU JOURNAL : 13 juillet 1990
CONTRACTEUR : FORAGE BELAND		DATE D'ARPENTAGE :
BUT : Tester la continuité nord-est de la zone BV-10.		DATE DE CIMENTAGE :
CIBLE :		FORAGE DÉBUTÉ LE : 04 juillet 1990
		TERMINÉ LE : 15 juillet 1990
		TUBAGE LAISSÉ : Oui

DONNÉES D'ORIENTATION

Longueur Azimut Plongée

61.26	289	0'	-43	0'
121.92	*292	7'	-38	0'
178.31	295	0'	-38	0'
243.84	*298	6'	-38	0'
305.10	301	0'	-35	0'
365.76	*304	32'	-33	0'
425.20	308	0'	-31	0'
487.68	*310	26'	-29	0'
553.21	313	0'	-26	0'

(*) azimut estimé par le programme

MINNOVA INC. DIVISION EXPLORATION

DE (m)	A (m)	TEXTURE ET STRUCTURE	ALTÉRATION	MINÉRALISATION
0.00	4.27	MT MORT-TERRAIN		
4.27	126.55	<p>12JLJFP(#[SiAB]7vABSivCC</p> <p>DIORITE PORPHYRIQUE A FELDSPATH</p> <p>De teinte vert-beige pâle à vert pâle contenant de 10-30% de phénocristaux de feldspath blanc hypidiomorphe de 1-4mm souvent flou dû à l'altération. Matrice très fine de composition intermédiaire. Dykes syénitiques submétriques dès le début du forage.</p> <p>Fracturation faible à moyenne définie par veinules de calcite et veinules de silice ou albite. Foliation locale moyenne, parfois intense, définie par alignement minéralogique: feldspath flou allongé formant localement des bandes leucocrates, localement plans chlorite submillimétriques flous.</p> <p>Altération gris-beige pâle, vert pâle dû à silice + localement épidote ou albite?? Chloritisation forte? sur intervalle métrique rendant la diorite similaire à un microgabbro. Aussi localement chlorite faible donnent teinte verte ± foncée avec phénocristaux encore assez distincts. Epidote localement sur intervalle métrique à subdécimétrique.</p> <p>Minéralisation généralement absente.</p> <p>5.18 - 7.62 12D</p> <p>Dyke de syénite composé d'environ 80-85% de feldspath rosé (très pâle) hypidiomorphe de 1-5mm et de 20% de minéraux mafiques hypidiomorphes à xénomorphes de 1-3mm. Les contacts sont flous (surtout le supérieur sur quelques pieds) dû à l'altération. L'altération est faible à absente.</p> <p>8.69 - 8.72</p> <p>VEP; Veine d'épidote à contacts nets avec au centre veinule d'hématite parallèle aux contacts. Angle A.C.: 45°.</p> <p>15.09 - 15.21 12DSiHM</p> <p>Dyke rose foncé, rougeâtre, moyennement grenu mais assez oblit⁴ré par l'altération, composé de moins de 2% de mafiques, d'environ 30% de feldspath xénomorphe, de 2-3mm de 40% de feldspath fin très flou et le reste de silice secondaire interstitielle. Angle A.C.: 5 à 25°. Altération moyenne en silice et hématite.</p>	<p>5.18 - 7.07 CC(CL)</p> <p>Texture ± floue due à une altération diffuse en calcite moyenne et les mafiques semblent plus chloritisés.</p>	

MINNOVA INC. DIVISION EXPLORATION

DE (m)	A (m)	TEXTURE ET STRUCTURE	ALTÉRATION	MINÉRALISATION
		<p>16.12 - 16.73 I2D(CLHM); Dyke de syénite similaire à la partie fraîche du dyke débutant à 17.00'(5.18m). Les minéraux mafiques semblent légèrement chloritisés et la teinte rose des feldspaths est plus nette.</p> <p>17.31 - 17.34 I2DSiHM; Idem à 49.50'(15.09m).</p> <p>17.40 - 17.43 I2DSiHM; Idem à 49.50'(15.09m).</p>	<p>25.21 - 26.03 107141: =AB-AB+; Une injection feldspath-quartz centimétrique irrégulière. Foliation moyenne à intense sur un intervalle centimétrique central. Foliation à 45°AC. Lessivage moyen à intense de la matrice, de coloration vert pâle; albitisation diffuse? Roche très dure, compétente.</p> <p>28.86 - 29.17 107142: 50% VQZ(HMCC); Veine de quartz fracturée avec hématite et calcite dans les fractures, enveloppes carbonatisées.</p> <p>34.56 - 35.33 107143: 60% M15#CC+(HMCL)vCC; Intervalle gris-mauve avec teinte beige, métasomatisme sous forme d'enveloppes autour de fractures en stockwork.</p> <p>39.75 - 49.68 I2Jm7MG+CL+(CCHM)PYvCC MELANODIORITE MAGNETIQUE CHLORITISÉE Roche intrusive mafique de couleur vert foncé à granulométrie variable. Texture équi-grulaire fine à très fine en général, intervalles faiblement altérés démontrent une texture de microdiorite à microgabbro. Contacts graduels. Probablement faciès équi-grulaire fin de la diorite avec altération plus forte superposée. Altération au moins moyenne en général. Chloritisation diffuse avec mag intense (primaire?), hématite terreuse avec veinules de calcite. Contacts d'altération graduels sur ≈ 1cm. Altération oblitère texture intrusive sauf pour</p>	

MINNOVA INC. DIVISION EXPLORATION

DE (m)	A (m)	TEXTURE ET STRUCTURE	ALTÉRATION	MINÉRALISATION
			<p>quelques îlots irréguliers centimétriques à décimétriques.</p> <p>≥ 1% pyrite (sPD?) fine disséminée, surtout dans les intervalles plus fortement altérés en chlorite-calcite où la texture intrusive est oblitérée.</p> <p>39.75 - 40.87</p> <p>107144: MG(CL)(PY)vFPEP; Chloritisation des mafiques, texture intrusive = préservée, sauf très localement. ≤ 1% pyrite très fine disséminée.</p> <p>40.87 - 41.88</p> <p>107145: MG+(CL) à CL(PY); Chloritisation des mafiques, perte graduelle de la texture intrusive. ≤ 1% pyrite très fine disséminée et fine à moyenne en veinules millimétriques discontinues.</p> <p>41.88 - 43.13</p> <p>107146: MG+CL(CC)(PY)vCC; Chloritisation des mafiques et diffuse, traces d'hématite rouge terreux, texture oblitérée à = 60%. > 5% veinules de calcite submillimétriques en stockwork. ≤ 0.5% pyrite fine disséminée.</p> <p>43.13 - 43.65</p> <p>107147: MG+(CL)(PY); Faible chloritisation des mafiques, texture microdiorite préservée. Traces à 0.5% pyrite fine disséminée.</p> <p>43.65 - 44.81</p> <p>107148: MG+CL+CCPYvFPCCW; Chlorite et calcite diffuses, intervalle décimétrique de vFP? rose fracturé, microfractures de calcite. > 1% pyrite fine disséminée, dans tout l'intervalle incluant la veine bréchique.</p> <p>44.81 - 45.26</p> <p>107149: Idem sans vFPCC;</p> <p>45.26 - 45.51</p> <p>107150: VFPOZ#VCLVCC-12J; Veine de feldspath-quartz fracturée par calcite</p>	

MINNOVA INC. DIVISION EXPLORATION

DE (m)	A (m)	TEXTURE ET STRUCTURE	ALTÉRATION	MINÉRALISATION
			<p>progressant vers leucodiorite. Progression suggère que veine de feldspath-quartz d'origine magmatique. Veinules de chlorite millimétriques ± LX progressant vers minéraux mafiques flous dans I2J.</p> <p>45.51 - 47.05</p> <p>107151: MG#CCCL(HM)(PY)vCC; Texture intrusive oblitérée. ± traces pyrite fine disséminée.</p> <p>47.06 - 47.73</p> <p>107152: MG#EP(CL)(PY)vCL; Texture intrusive préservée, épidotisation du feldspath. ± 0.5% pyrite fine disséminée et avec veinules de chlorite submillimétriques.</p> <p>47.73 - 49.68</p> <p>107153: MG#MG#(CL)(PY)vCC; Texture intrusive préservée. Traces à 0.5% pyrite fine disséminée.</p> <p>49.99 - 50.60</p> <p>107154: (MG) à MG#CCCLABvFPQZvCC; Intervalle à texture et altération très hétérogènes sur intervalles centimétriques; veinules de feldspath-quartz à bordures chlorite, zone albite, zone CL+CC(HM), vQZCC, zone #+CC etc. Traces de pyrite fine disséminée.</p> <p>50.60 - 52.09</p> <p>107155: (MG)#(CLCC)vCC; Texture intrusive très floue. Quelques poches de feldspath-quartz-chlorite.</p> <p>52.09 - 53.58</p> <p>107156: (MG)#+CC(CLHM)vCC; Teinte gris-brun rosé, texture intrusive très floue.</p> <p>53.58 - 54.25</p> <p>107157: Idem. Ilots à texture intrusive.</p> <p>62.18 - 63.19</p>	

MINNOVA INC. DIVISION EXPLORATION

DE (m)	A (m)	TEXTURE ET STRUCTURE	ALTÉRATION	MINÉRALISATION
		<p>72.94 - 73.91 70X 118</p> <p>DYKES GRANITIQUES</p> <p>Roche intrusive felsique constituée d'environ 30-40% feldspath hypidiomorphe millimétrique blanc à rosé, 40% quartz millimétrique (?) gris translucide et = 15% hornblende? chloritisé interstitiel submillimétrique. Contacts nets irréguliers. Non magnétique. Roche non foliée ni fracturée.</p> <p>Altération faible à absente, sauf aux contacts où le granite et l'encaissant semblent être silicifiés.</p> <p>Minéralisation absente.</p>	<p>107158: M15?#++CC(HM)(PY)vCC; Couleur gris-rosé; roche carbonatée avec calcite diffuse et = ≥ 15% microveinules de calcite. Traces de pyrite fine disséminée.</p> <p>65.20 - 66.02</p> <p>107159: (MG)(CL)vCC à MG+CL+CCvCC; Altération croissante et perte graduelle de la texture intrusive. Traces de pyrite fine disséminée et en agrégats millimétriques.</p> <p>66.57 - 66.90</p> <p>107160: #++CCvCCvCL; Roche fortement carbonatée avec calcite diffuse et en veinules de type stockwork. Veinules de chlorite moins abondantes. Texture intrusive vague.</p> <p>68.03 - 69.65</p> <p>107161: Iden.</p> <p>71.14 - 72.48</p> <p>107162: 30% #AB+(EP)vCC; Zones fortement altérées de couleur vert pâle brunâtre.</p> <p>74.86 - 75.53</p> <p>107163: #+SiEPvCC; Roche très dure, possiblement AB avec silice. Veinules de calcite submillimétriques < 5%.</p> <p>77.54 - 78.15</p> <p>107164: #+Si(AB?)vCC;</p>	

MINNOVA INC. DIVISION EXPLORATION

DE (m)	A (m)	TEXTURE ET STRUCTURE	ALTÉRATION	MINÉRALISATION
			<p>78.15 - 78.85</p> <p>107165: Idem.</p> <p>79.80 - 80.50</p> <p>107166: (MG)#+(CC)Si?vCC; Gris-mauve avec ilots à texture intrusive préservée avec altération en épidote.</p> <p>86.62 - 87.57</p> <p>107167: 60%ABEPvCC;</p> <p>87.57 - 103.81 1?2JM[.]FP=EPAB(CL)vCC</p> <p>MELANODIORITE FINE FOLIEE</p> <p>Même protolithe que les intervalles précédents mais à texture porphyrique moins bien définie, tendant vers l'équigranulaire. Contacts très graduels.</p> <p>Foliation distincte, roche demeure compétente. Feuillet de chlorite millimétriques en longueur, submillimétriques en épaisseur, morphologie anastomosée, cristaux de feldspath allongés définissant une foliation moyenne à localement intense irrégulière à 40°AC.</p> <p>Altération variable. Albite et épidote communes. Localement les enveloppes d'altération irrégulières se rejoignent de façon à laisser des ilots subcentimétriques arrondis de diorite fine peu altérée.</p> <p>Minéralisation généralement absente.</p> <p>88.67 - 89.12</p> <p>107168: 50% AB+; Texture pseudo-gloméroporphyrrique définie par 50-60% ilots subcentimétriques peu altérés dans une "pseudomatrice" beige albitisée. En fait, la matrice et les "glomérôphénocristaux" sont tous deux le même protolithe.</p> <p>89.12 - 90.16</p> <p>107169: #EP(AB)vCLvCCQZHM; Epidote diffuse précoce avec superposition de veinules de chlorite et veinules de calcite-quartz gris-mauve en stockwork.</p>	

MINNOVA INC. DIVISION EXPLORATION

DE (m)	A (m)	TEXTURE ET STRUCTURE	ALTÉRATION	MINÉRALISATION
			<p>93.27 - 94.34</p> <p>107170: (MG)#= à +=ABEP; Albite et épidote effacent et sont superposés sur la foliation.</p> <p>97.14 - 97.66 (MG)=++, M17</p> <p>107171: (MG)=++ à M17; Orthomylonite au centre, roche recristallisée pour donner une texture très fine. Foliation irrégulière mais bien définie, roche compétente. Angle AC à 40°.</p> <p>103.72 - 104.27</p> <p>107172: MG=EP(HM); Zone de contact de la zone de déformation. Altération hétérogène et irrégulière en distribution et en intensité.</p> <p>104.27 - 104.70</p> <p>107173: / \ VQZFPEP à I18; Veine bréchique constituée de 3-5% quartz gris-blanc, 35% feldspath rouge et 15% feldspath blanc, tous deux perthitiques ou graphiques et 10-20% épidote tardive. Un agrégat de pyrite fine avec épidote.</p> <p>107.05 - 108.11</p> <p>107175: (MG)#=CL(BO?)VCCVFP(QZ); Texture porphyrique toujours visible. Coloration foncée suggère présence de biotite très fine.</p> <p>109.09 - 109.51</p> <p>107176: (MG)#CL(BO?)VQZ?; Texture intrusive presque oblitérée. Coloration vert moyen avec teinte bleutée causée par veinules de quartz? millimétriques très vagues. Traces de biotite? submillimétrique.</p> <p>111.16 - 111.47</p>	<p>104.79 - 105.64</p> <p>107174: 30% EP-EP+; Epidote pénétrative, soit M15EP+ au centre des zones centimétriques à décimétriques épidotisées.</p>

MINNOVA INC. DIVISION EXPLORATION

DE (m)	A (m)	TEXTURE ET STRUCTURE	ALTÉRATION	MINÉRALISATION
126.55	554.74	<p>12D(CL) SYENITE</p> <p>Relativement fraîche, très peu magnétique, composée d'environ 85% de feldspath de 3-4mm généralement automorphe, blanc à rosâtre. 15% de minéraux mafiques de 2-3 mm, hypidiomorphes à xénomorphes interstitiels. Comprend xénolites centimétriques et dyke de puissance décimétrique de microgabbro chloriteux. De 763.00'(232.57m) à 1683.00'(512.98m), la syénite prend une teinte rosâtre, très pâle et le feldspath devient plus flou. Le pourcentage de minéraux mafiques diminue à 10% environ. A partir de 1264.10, la syénite devient faiblement magnétique.</p> <p>Très peu de foliation et de fracturation.</p> <p>Roche assez fraîche. Chloritisation faible des mafiques, et hématitisation faible à très faible des feldspaths. Contient de nombreux passages métriques à décamétriques où l'altération variable en silice, chlorite et hématite oblitère complètement la texture de la syénite.</p> <p>Minéralisation généralement absente.</p> <p>127.38 - 127.50</p> <p>13ACL; Dyke de microgabbro ou gros xénolites. Contact net sans bordure de trempe. Finement grenu, ≈ 1mm mais composition difficilement évaluable.</p>	<p>107177: /H\ FPVCLCC; Brèche à fragments feldspathiques rosés centimétriques "in-situ" avec < 15% matrice et fractures chlorite-calcite.</p> <p>113.14 - 114.48</p> <p>107178: #+CC(AB)VCC; Couleur gris-mauve dû à la carbonatation. Texture bréchique "in situ" locale. Traces pyrite très fine localement.</p> <p>116.49 - 117.26</p> <p>107179: (#)HM+CLVCC; Moyennement magnétique sur intervalle moins hématisé. Hématite forte, avec centre de l'échantillon hématite faible, chlorite moyenne. Traces de pyrite très fine.</p> <p>122.96 - 123.20</p> <p>107180: (MG)#+VQZAB(CCHN)(PY); Injection de quartz ou altération? avec albite très faible calcite et hématite. 0.5% de pyrite très fine.</p>	

MINNOVA INC. DIVISION EXPLORATION

DE (m)	A (m)	TEXTURE ET STRUCTURE	ALTÉRATION	MINÉRALISATION
		<p>Faible à moyenne chloritisation.</p> <p>136.61 - 136.82 13A(CL); Dyke de microgabbro. Chlorite entre faible et moyenne.</p> <p>139.90 - 140.06 13ACL(CC)(PY)</p> <p>107181: Dyke de microgabbro similaire sauf altération plus forte. Chlorite moyenne (± facilement rayable vert foncé) et calcite faible. Pyrite = 1%.</p> <p>145.27 - 146.09 107183: 13A?CC+HM(CL) Dyke possiblement de microgabbro, difficile à reconnaître vue l'altération. Finement grenu, non magnétique. Le centre de l'échantillon est chloriteux, tandis que le reste est rose-mauve du à l'altération forte en calcite et moyenne en hématite. Minéralisation absente.</p> <p>150.17 - 150.48 12D1? syénite leucocrate. < 3% de minéraux mafiques, ou lessivage des mafiques remplacé par matériel aphanitique beige rosâtre. = 60% de feldspath automorphe de 3-4mm. Contacts nets. Pas clair si aspect felsique est primaire ou du à une altération en silice-hématite.</p> <p>150.57 - 150.85</p>	<p>132.95 - 133.05 V02HM; Veine de quartz rouge ou dyke silicifié, hématisé difficile à déterminer. Bordure avec feldspath xénomorphe < 1cm. Contact à 30°AC.</p> <p>139.26 - 142.49 (S1) Texture ± floue due à silicification faible et très faible calcite.</p> <p>142.22 - 142.37 107182: VCB(PY?) Veine de carbonate beigâtre très poreuse, facilement rayable. Contact net: 35°AC. Réagit fortement à l'acide. Pyrite très fine??</p>	

MINNOVA INC. DIVISION EXPLORATION

DE (m)	A (m)	TEXTURE ET STRUCTURE	ALTÉRATION	MINÉRALISATION
		<p>I3A1(MGCL); Dyke de gabbro fin (1-2mm). Composé d'environ 50% de feldspath hypidiomorphe et 50% de minéraux mafiques hypidiomorphes à xénomorphes. Proportion difficilement évaluable car texture assez floue. Faiblement à très faiblement magnétique. Chlorite faible diffuse.</p>		
		<p>154.53 - 154.56</p>		
		<p>I3A(MG)CL(Si); Dyke de microgabbro similaire sauf + altéré. Texture oblitérée. Chlorite moyenne et silice faible vue la dureté.</p>		
		<p>160.26 - 160.48</p>		
		<p>I2D1; Dyke de syénite leucocrate idem à 492.70.</p>		
			<p>160.48 - 163.92</p>	
			<p>(#)(Si); Augmentation graduelle de l'altération en calcite diffuse à partir de fractures à calcite-chlorite.</p>	
			<p>85969: 532.8-537.8; I2D(I2F)(CC); Monzonite/syénite à grains grossiers et I.C. d'environ 30. Environ 35% feldspath blanc, souvent zoné, et 35% feldspath rougeâtre hématisé.</p>	
			<p>30% d'altération: grise en calcite. Faible hématisation associée à des fractures. Minéralisation absente</p>	
		<p>163.92 - 172.70 I2D#Si(HMCC)</p>		
		<p>Syénite rouge beige à texture partiellement oblitérée par l'altération. Fracturation variant de faible à forte. Altération surtout en silice (avec carbonate de fer?), hématite faible pour teinte rouge. Calcite généralement faible associée à veinules. Séricitisation des mafiques au début de l'intervalle. Minéralisation de traces à légèrement supérieure à traces sur l'ensemble.</p>		
			<p>163.92 - 166.30 M15#Si(CCHMSR)</p>	
			<p>107184: 537.8-541.0 Texture intrusive presque complètement oblitérée. La silicification semble prédominer.</p>	
			<p>107185: 541.0-545.6: Idem.</p>	
			<p>166.30 - 166.79</p>	
			<p>107186: I2D(#)(SiCC); Texture intrusive intacte.</p>	

MINNOVA INC. DIVISION EXPLORATION

DE (m)	A (m)	TEXTURE ET STRUCTURE	ALTÉRATION	MINÉRALISATION
			<p>Altération faible.</p> <p>166.79 - 167.30</p> <p>107187: I2D(#)(SiHMCC); Texture assez nette. Faible altération en silice, hématite et calcite (locale).</p> <p>167.30 - 168.19</p> <p>107188: M15#*SiHM(CCSR)(PY)vCLCC; Texture complètement oblitérée. Fracturation forte définie par veinules de chlorite/calcite. Silice et hématite moyennes diffuses. Calcite faible + veinules de carbonate de fer? Pyrite légèrement supérieure à traces.</p> <p>168.19 - 169.47</p> <p>107189: I2D(#)(SiHMCC); Texture encore visible. Séricite très faible.</p> <p>169.47 - 170.99</p> <p>107190: Idem; Hématite de faible à très faible. Chlorite plus forte affectant les mafiques.</p> <p>170.99 - 172.70</p> <p>107191: I2D(#)(CCCL(HMSi)); Surtout calcite diffuse et chloritisation des mafiques.</p>	
		<p>174.13 - 174.16</p> <p>I3ACL; Dyke à microgabbro à texture assez oblitérée. Contact à 60°AC. Chlorite moyenne.</p>		
		<p>177.18 - 177.21</p> <p>I3AI(CL); Dyke de leucogabbro composé de 60% de mafique et 40% de feldspath. Minéraux hypidiomorphes de 1-2mm en moyenne. Contact à 85°AC. Chlorite faible?</p>		
		<p>179.31 - 179.34</p> <p>VQ2HM; Veine de quartz ou dyke felsique hématisé? Idem à 436.20' (132.96m). Contact à 20°AC.</p>		

MINNOVA INC. DIVISION EXPLORATION

DE (m)	A (m)	TEXTURE ET STRUCTURE	ALTERATION	MINÉRALISATION
		<p>181.84 - 181.87</p> <p>I2D1; Idem à 492.70' (150.18m). Contact à 20°AC.</p> <p>191.41 - 191.54</p> <p>I2D1(SR); Dyke de syénite très similaire à l'unité principale sauf environ 7% de minéraux mafiques. Alignement de feldspath le long des contacts. Contact à 20°.</p> <p>Minéraux mafiques partiellement séricitisés.</p>	<p>196.90 - 198.12</p> <p>107192: I2D: type;</p> <p>208.97 - 214.24 M15(MG)#SiCL(CC)(HM)</p> <p>SYENITE METASOMATISEE</p> <p>Le protolithe est visible seulement aux extrémités de la zone. Le reste, feldspath, très flou à complètement masqué, gris verdâtre-rougeâtre.</p> <p>Fracturation définie surtout par veinules de chlorite ± calcite.</p> <p>Altération silice-chlorite diffuse et en veinules. Chloritisation des minéraux mafiques, hématitisation du feldspath et localement hématite diffuse.</p> <p>Traces de pyrite à légèrement supérieure.</p> <p>208.97 - 209.98</p> <p>107193: I2D(#)(SiCL)(CCHM);</p> <p>Texture intrusive assez nette très faiblement magnétique.</p> <p>Altération entre faible et moyenne pour silice et chlorite et faible pour calcite et hématite (très faible). Minéralisation en traces.</p> <p>209.98 - 211.32</p> <p>107194: I2D(M15)(MG)#SiCL(CCHM);</p> <p>211.32 - 212.14</p> <p>107195: M15(MG)#SiCLCC(HN)(PY)vCL(SR);</p> <p>Forte densité de veinules de chlorite en stockwork. Séricitisation.</p> <p>1% de pyrite très fine.</p>	

MINNOVA INC. DIVISION EXPLORATION

DE (m)	A (m)	TEXTURE ET STRUCTURE	ALTERATION	MINÉRALISATION
			<p>212.14 - 213.48</p> <p>107196: Idem #; Idem mais moins fracturé.</p> <p>213.48 - 214.24</p> <p>107197: 12D(#)(SiCLCC); Retour graduel à la syénite relativement fraîche très faiblement magnétique.</p> <p>216.16 - 220.89 M15(MG)#</p> <p>METASOMATITE Roche de texture et de teinte très variables, variant de grenue vert pâle à beige bréchique à vert forcé. Altération variable en albite, chlorite et calcite. Traces de pyrite très fine.</p> <p>216.16 - 216.56</p> <p>107198: 12D(#)(CLCC); Texture encore assez nette.</p> <p>216.56 - 216.87</p> <p>107199: M15(MG)#CLSICC(PY)vCCvCL; Fracturation moyenne définie par veinules irrégulières et discontinues de chlorite et veinules de calcite. Teinte verte mais aspect siliceux. Traces à 0.5% de pyrite.</p> <p>216.87 - 218.18</p> <p>107200: M15(MG)#AB+(EP)vCCCL; Feldspath grenu encore visibles. Altération vert pâle due à albite ± épidote. Traces de pyrite.</p> <p>218.18 - 219.61</p> <p>107201: M15(MG)# ABCLvCC; Mélange graduel (= 1') de passage chloriteux et albite. Traces de pyrite.</p> <p>219.61 - 220.10</p> <p>107202: M15#*/\S1AB7(HMCLSR)vCC; Fracturation forte définie par chlorite en stockwork. Altération silice + albite? avec faible hématite donnant teinte beige? Chlorite surtout en veinules. Séricite faible.</p>	

MINNOVA INC. DIVISION EXPLORATION

DE (m)	A (m)	TEXTURE ET STRUCTURE	ALTÉRATION	MINÉRALISATION
		<p>228.90 - 229.00</p> <p>I3A1; Dyke de leucogabbro phanéritique $\leq 2\text{mm}$ dont la texture est floue due à silicification. Composition difficilement évaluable.</p> <p>229.03 - 229.70</p> <p>VQZ; Veine de quartz = 1cm \pm parallèle à A.C. avec fine bordure hématisée et calcite.</p>	<p>Pyrite très fine?</p> <p>220.10 - 220.89</p> <p>107203: 12D(M15)(#)(SiCLCCSR)vCLCC; Retour graduel à la syénite relativement fraîche. Altération faible diffuse en silice, chlorite et calcite faibles diffuses avec très faible hématite. Séricite faible.</p> <p>236.83 - 237.80</p> <p>107204: (Si); Texture légèrement floue due à silicification? Traces de pyrite.</p> <p>238.38 - 239.30</p> <p>107205: #(Si)vCLCC; Très faiblement magnétique, fracturation moyenne par fines veinules assez denses de chlorite/calcite. Texture \pm floue due à la silicification. Traces de pyrite.</p> <p>251.49 - 252.28</p> <p>107206: (MG)#(SiCLCCNM)vCLCC; Texture assez floue, veinules de chlorite avec ou sans calcite. Semble faiblement altérée en silice, chlorite, calcite et hématite (faible à très faible).</p> <p>254.26 - 255.18</p> <p>107207: 12D(MG)#(MCLSi?)vCLCC; Transition lente vers zone métasomatique, texture floue. Fracturation par minces veinules de chlorite \pm calcite. Hématite entre faible et moyenne. Chloritisation des mafiques, + légère séricitisation. Silice?</p>	

MINNOVA INC. DIVISION EXPLORATION

DE (m)	A (m)	TEXTURE ET STRUCTURE	ALTÉRATION	MINÉRALISATION
			<p>255.18 - 324.34 M15(#)(HM+),HMSi</p> <p>METASOMATITE</p> <p>Rouge brique à rouge beige (à partir de 967.70' ou 294.96m) dont la texture primaire est presque complètement oblitérée. On peut encore observer = 10% de minéraux mafique altérés de 2-4mm.</p> <p>Fracturation de faible à moyenne définie par veinules irrégulières de chlorite ± calcite ± séricite.</p> <p>Hématite généralement forte avec chloritisation et séricitisation (presque totale des mafiques par endroits) et carbonatation des mafiques. A partir de 967.70' (294.96m), la roche devient rouge beige due à silice + hématite. Carbonate de fer (dolomie au début de l'intervalle).</p> <p>Minéralisation généralement absente à traces.</p> <p>255.18 - 256.34</p> <p>107208: M15(#)(HMCB?(SR)vCLvCC; Teinte rouge beige, veinules de chlorite + calcite et de minces veinules de calcite. Hématite + carbonate de fer? diffuse. Séricitisation presque totale des mafiques.</p> <p>256.34 - 257.56</p> <p>107209: M15(#)(HMCB?(SR)vCLvCC; Idem avec diminution de la séricitisation.</p> <p>257.56 - 258.44</p> <p>107210: Idem.</p> <p>258.44 - 259.38</p> <p>107211: M15(#)(HM+(CLCCSR)(CB)?; Quelques minces veinules de silice-chlorite. Hématite forte. Les mafiques semblent altérées en chlorite, calcite et séricite. Faible dolomie diffuse?</p> <p>259.38 - 260.09</p>	

MINNOVA INC. DIVISION EXPLORATION

DE (m)	A (m)	TEXTURE ET STRUCTURE	ALTÉRATION	MINÉRALISATION
			<p>107212: Idem; 260.09 - 260.63</p> <p>107213: M15#HM+CB?(CLSRCC); 260.63 - 261.88</p> <p>107214: M15#HM+CCVCLCC; Minéraux mafiques flous. 261.88 - 262.98</p> <p>107215: M15#HMSi(CC)vCLCC; Forte densité de veinules de chlorite/calcite. Silicification diffuse? 262.98 - 264.17</p> <p>107216: 12DHMa(HM)(CLCC); Texture intrusive visible mais floue, très faiblement magnétique. Hématite de moyenne à faible. Altération des mafiques en chlorite-calcite. 264.17 - 265.12</p> <p>107217: 12D(MG)(HM)(CLCC); Texture intrusive assez nette même si floue due à altération? Faiblement à très faiblement magnétique. Hématite faible. Chloritisation et calcite des mafiques. 265.12 - 266.24</p> <p>107218: Idem; 266.24 - 266.79</p> <p>107219: 12D(M15)(#)HM(CLCC)vCLCC; Retour graduel à la roche métasomatique. Veinules de chlorite/calcite. Hématite moyenne, chlorite. 266.79 - 268.53</p> <p>107220: M15(#)#HM+(CLCC)vCLCC; Texture oblitérée, couleur rouge brique, veinules de chlorite et/ou calcite. Hématite diffuse forte et chlorite/calcite des</p>	

MINNOVA INC. DIVISION EXPLORATION

DE (m)	A (m)	TEXTURE ET STRUCTURE	ALTÉRATION	MINÉRALISATION
			<p>mafiques.</p> <p>268.53 - 270.05</p> <p>107221: Idem;</p> <p>270.05 - 271.58</p> <p>107222: Idem;</p> <p>271.58 - 273.10</p> <p>107223: Idem; Traces de pyrite.</p> <p>273.10 - 274.62</p> <p>107224: Idem;</p> <p>274.62 - 276.30</p> <p>107225: 12D(M15)(#)HM(CLCC)vCCCL; Altération moins forte laisse voir texture intrusive très floue. Altération moyenne en hématite. Minéraux mafiques toujours altérés en chlorite-calcite.</p> <p>276.30 - 276.91</p> <p>107226: M15(#)HM+(CLCC);</p> <p>276.91 - 278.13</p> <p>107227: Idem.</p> <p>278.13 - 279.20</p> <p>107228: M15(=)HM+(SRCLCC)vCLCC; Fracturation plus faible définie par veinules de chlorite/calcite. Altération similaire sauf séricitisation presque complète des mafiques.</p> <p>279.20 - 280.72</p> <p>107229: Idem;</p> <p>280.72 - 282.24</p> <p>107230: Idem;</p>	

MINNOVA INC. DIVISION EXPLORATION

DE (m)	A (m)	TEXTURE ET STRUCTURE	ALTÉRATION	MINÉRALISATION
			<p>282.24 - 283.77</p> <p>107231: Idem;</p> <p>283.77 - 285.29</p> <p>107232: Idem;</p> <p>285.29 - 286.82</p> <p>107233: Idem; Faible diminution de la teinte rouge brique mais hématite toujours forte.</p> <p>286.82 - 288.34</p> <p>107234: Idem;</p> <p>288.34 - 289.86</p> <p>107235: Idem;</p> <p>289.86 - 291.39</p> <p>107236: Idem;</p> <p>291.39 - 292.91</p> <p>107237: Idem; Pyrite légèrement supérieure à traces sur quelques pouces.</p> <p>292.91 - 294.44</p> <p>107238: Idem; Pyrite légèrement supérieure à traces sur quelques centimètres.</p> <p>294.44 - 294.92</p> <p>107239: M15(#)+HM+(CLCC)vCLCC; Fin de l'altération des mafiques en séricite.</p> <p>294.92 - 295.38</p> <p>107240: M15#+HMSi(SRCLCC)vCLCCvQZ; Nombreuses veinules de chlorite/calcite assez denses et de remplissage de fractures par quartz allant jusqu'à 1cm. Diminution de l'altération en hématite avec ajout de silicification. Traces de pyrite.</p>	

MINNOVA INC. DIVISION EXPLORATION

DE (m)	A (m)	TEXTURE ET STRUCTURE	ALTÉRATION	MINÉRALISATION
			<p>295.38 - 296.30</p> <p>107241: I2D(M15)(#)HM(Si)(CLCCSRVCCCL);</p> <p>296.30 - 297.48</p> <p>107242: M15(#)Si(HM)(CLSRCC); Texture grenue ± visible mais très floue. L'altération prédominante est la silice.</p> <p>297.48 - 298.92</p> <p>107243: Idem;</p> <p>298.92 - 300.08</p> <p>107244: M15(#)SiHM(CLSRCC)VCCCL;</p> <p>300.08 - 300.35</p> <p>107245: I2D(#)Si(HM)(CLSRCC); Texture intrusive assez visible. Altération diffuse en silice moyenne et hématite faible.</p> <p>300.35 - 301.05</p> <p>107246: M15#SiHM(SRCLCC)VCLCC;</p> <p>301.05 - 302.06</p> <p>107247: I2D(#)(SiHM)(CLCC); Texture intrusive assez bien définie même si feldspaths très flous. Fracturation faible à très faible définie par très minces veinules de chlorite/calcite. Altération en silice et hématite diffuses avec chloritisation et carbonatation des mafiques.</p> <p>302.06 - 303.58</p> <p>107248: Idem;</p> <p>303.58 - 305.10</p> <p>107249: Idem;</p> <p>305.10 - 305.68</p> <p>107250: Idem;</p>	

MINNOVA INC. DIVISION EXPLORATION

DE (m)	A (m)	TEXTURE ET STRUCTURE	ALTÉRATION	MINÉRALISATION
			<p>305.68 - 306.63</p> <p>107251: I2D(♯)HM(SiCLCC); Texture intrusive ± visible. Hématite moyenne avec silice faible. Séricite absente.</p> <p>306.63 - 307.36</p> <p>107252: Idem;</p> <p>307.36 - 307.97</p> <p>107253: M15#HM(Si)(CLSRCC)vCLCC; Texture intrusive complètement oblitérée. Fracturation définie par veinules de chlorite/calcite. Séricitisation partielle des mafiques.</p> <p>307.97 - 309.68</p> <p>107254: M15#HMSi(CLCC)vCLCC; Hématite moyenne et silice entre moyenne et faible.</p> <p>309.68 - 311.32</p> <p>107255: Idem;</p> <p>311.32 - 311.78</p> <p>107256: M15#HMSi(CCCLSR?)vCLCC; La majeure partie des mafiques est complètement blanchie: calcite ± séricite?</p> <p>311.78 - 312.72</p> <p>107257: I2D(♯)(SiHM)(CLCC); Texture intrusive très floue. Altération en silice et hématite entre faible et moyenne.</p> <p>312.72 - 313.64</p> <p>107258: Idem;</p> <p>313.64 - 314.95</p> <p>107259: Idem;</p> <p>314.95 - 315.77</p> <p>107260: M15#HMSi(CLCC)vCLCC;</p>	

MINNOVA INC. DIVISION EXPLORATION

DE (m)	A (m)	TEXTURE ET STRUCTURE	ALTÉRATION	MINÉRALISATION
			<p>315.77 - 317.30</p> <p>107261: M15#HM+Si(CCL) vCLCC;</p> <p>317.30 - 318.61 M15#HMSiAB?(CCL) vCCVQZCL</p> <p>107262: Tache d'albite? centimétrique.</p> <p>318.61 - 319.86</p> <p>107263: M15#HMSi(CCL) vCCVQZAB;</p> <p>319.86 - 320.34</p> <p>107264: M15#HMSi(CCL) vQZCC; Veines ou taches très irrégulières de quartz/calcite, remplissage de fractures.</p> <p>320.34 - 321.87</p> <p>107265: M15#HMSi(CCL) vCLCC;</p> <p>321.87 - 323.09</p> <p>107266: Idem;</p> <p>323.09 - 323.91</p> <p>107267: Idem;</p> <p>323.91 - 324.34</p> <p>107268: 12D(M15)(MG)(#)HMSi(CCL); Retour graduel à une syénite plus fraîche. Texture ± visible. Hématite de moyenne à faible, silice moyenne. Chloritisation et carbonatation des mafiques.</p> <p>324.34 - 325.83</p> <p>(SiHM); Texture floue sur quelques passages. Silicification et hématite faibles diffuses en plus de très faible carbonatation et chloritisation des mafiques.</p> <p>326.99 - 327.66</p> <p>(HMSi); Similaire sauf hématite semble dominer la silicification.</p>	
		335.07 - 335.71		

MINNOVA INC. DIVISION EXPLORATION

DE (m)	A (m)	TEXTURE ET STRUCTURE	ALTÉRATION	MINÉRALISATION
		<p>12D1?; Dyke idem à 492.70'(150.18m). Contact à 70-65°AC.</p>	<p>339.49 - 340.25</p> <p>107269: 12D#SiAB?(CLCC); Texture ± visible, microfracturation présente. Teinte beigeâtre pâle due à silice-albite? Chlorite et calcite en très fines fractures. Hématite très faible.</p> <p>340.25 - 341.22</p> <p>107270: M15#*Si+(CLCC); Texture oblitérée sur la majeure partie, forte densité de microfractures. Altération similaire à l'intervalle précédent mais plus intense.</p> <p>342.60 - 350.55 M15#Si(HMCLCCSR)</p> <p>METASOMATITE</p> <p>Rouge à beige à texture complètement oblitérée. La fracturation est généralement entre moyenne et forte, définie par minces veinules de chlorite/calcite, parfois silice, et microfractures.</p> <p>La silice varie de moyenne à forte et l'hématite de faible à forte. Altération des mafiques variable en chlorite, calcite et séricite.</p> <p>Minéralisation absente.</p> <p>342.60 - 344.30</p> <p>107271: M15#*SiHM(SR)vCL(CC); Minéraux mafiques séricitisés.</p> <p>344.30 - 346.16</p> <p>107272: 12D(M15)#Si(HM)(CLCCSR) vCLCC;</p> <p>346.16 - 347.78</p> <p>107273: M15#*HM+(Si)(SRCLCC)vCLCC;</p> <p>347.78 - 349.00</p> <p>107274: Idem;</p>	

MINNOVA INC. DIVISION EXPLORATION

DE (m)	A (m)	TEXTURE ET STRUCTURE	ALTÉRATION	MINÉRALISATION
		361.07 - 361.13	<p>349.00 - 349.39</p> <p>107275: M15#SiHM(SRCLCC);</p> <p>349.39 - 350.55</p> <p>107276: M15#Si&Si+(HMSRCLCC)vCLCC;</p> <p>350.55 - 355.31</p> <p>(SiHM); Texture ± floue. Silicification faible et hématite entre faible et très faible.</p> <p>359.18 - 360.88 (SiHM)</p> <p>Idem sauf hématite légèrement plus faible.</p>	
		<p>1/V3ANG#; Xénolith de microgabbro ou basalte fortement magnétique dont le coeur est de composition similaire à la syénite. Fracturé. Couronne réactionnelle de feldspath très net, radiale.</p>		
		364.36 - 364.42	<p>365.94 - 366.61</p> <p>107277: 12D(♯)Si(HM)(CLCCSR); Texture assez oblitérée. Silice moyenne et hématite faible. Traces de pyrite.</p> <p>366.61 - 366.74</p> <p>107278: M15#+SiHM(CLCCSR)vCLCC; Nombreuses fractures et microfractures de chlorite/calcite. Traces de pyrite.</p> <p>366.74 - 368.02</p> <p>107279: 12D(♯)(SiHMLCCSR); Texture assez oblitérée. Silice entre faible et moyenne et hématite faible.</p> <p>368.02 - 368.41</p> <p>107280: 12D(M15)(♯)SiHM(CLCCSR);</p>	
		<p>13A(MG); Xénolite de microgabbro faiblement magnétique. Couronne de réaction de feldspath très bien définie.</p>		

MINNOVA INC. DIVISION EXPLORATION

DE (m)	A (m)	TEXTURE ET STRUCTURE	ALÉRATION	MINÉRALISATION
			<p>Texture assez floue. Silice et hématite moyennes.</p> <p>368.41 - 369.54</p> <p>107281: 12D(#)(Si)(HM)(CLCC); Texture assez floue. Silice entre faible et moyenne et hématite faible.</p> <p>371.49 - 372.47</p> <p>107282: 12D(MG)(#)(SiHMCLCC); Texture encore assez nette. Altération faible en silice et hématite.</p> <p>372.47 - 374.02</p> <p>107283: 12D(M15)#Si(HM)(CCCL); Texture floue. Silice moyenne et hématite faible. Traces de pyrite.</p> <p>375.76 - 376.12</p> <p>107284: 12D(M15)#Si(HMCCCL)VOZ; Veine de quartz = 0.7cm. Angle A.C.: 10°. Traces de pyrite.</p> <p>377.28 - 378.29</p> <p>107285: 12D(#)(SiHM)(CLCC); Texture s'oblitérée, floue. Silice entre faible et moyenne. Hématite faible.</p> <p>378.29 - 384.57 M15#SiHM</p> <p>SYENITE METASOMATISEE</p> <p>Rouge gris mat à texture presque complètement oblitérée.</p> <p>Fracturation moyenne définie par microfracture et un peu par veinules chlorite/calcite.</p> <p>Silice et hématite généralement moyennes. Les mafiques sont surtout altérées en chlorite/calcite et très faiblement en séricite.</p> <p>Minéralisation absente à traces de pyrite.</p> <p>378.29 - 379.78</p>	

MINNOVA INC. DIVISION EXPLORATION

DE (m)	A (m)	TEXTURE ET STRUCTURE	ALTÉRATION	MINÉRALISATION
			<p>107286: Type; 379.78 - 381.30</p> <p>107287: Type; 381.30 - 382.83</p> <p>107288: Type; 382.83 - 383.62</p> <p>107289: Type; 383.62 - 384.57</p> <p>107290: 120(M15)(#)Si(HMCCCL); La texture intrusive primaire recommence à être visible. Silice entre faible et moyenne et hématite faible. 387.55 - 388.62</p> <p>107291: 120(MG)(#)Si(HMCLCC); Texture assez nette. Silice entre faible et moyenne. Hématite faible. 388.62 - 389.02</p> <p>107292: 120(M15)(#)SiHM(CLCC); Texture presque complètement oblitérée. Silice très faible. 389.02 - 389.78</p> <p>107293: 120(MG)(#)SiHM(CLCC); Texture assez nette. Silice et hématite faibles à très floues. 389.78 - 390.24</p> <p>107294: 120(M15)#Si+HM(CLCCSR); 390.24 - 391.36</p> <p>107295: 120(MG)(#)SiHM(CLCC); Texture floue. Silice et hématite entre moyennes et faibles. Séricite très faible.</p>	

MINNOVA INC. DIVISION EXPLORATION

DE (m)	A (m)	TEXTURE ET STRUCTURE	ALTÉRATION	MINÉRALISATION
			<p>Traces de pyrite.</p> <p>391.36 - 392.28</p> <p>107296: 12D(MG)(#)Si+(CC); Silice entre forte et moyenne. Hématite et séricite très faibles. Traces de pyrite.</p> <p>392.28 - 395.69</p> <p>(SiCLCC); Texture relativement floue due à silice entre faible et très faible + chloritisation et carbonatation (calcite) des mafiques.</p> <p>395.69 - 395.97</p> <p>107297: 12D(#)(HM)(SiCLCC); Feldspath et minéraux mafiques très flous, teinte beige. Résultat d'analyse perdu</p> <p>414.22 - 415.75</p> <p>85970: 12F; Monzodiorite à grains moyens (2-3mm) et I.C. d'environ 25. Feldspath blanc en général, souvent zoné; 15% de feldspath rougeâtre. Faible foliation locale Minéralisation absente</p> <p>415.75 - 416.81 (#)(SiCLCC)(PY)</p> <p>107298: Silicification faible diffuse à partir des fractures. Traces à 0.5% de pyrite fine.</p> <p>416.81 - 417.88</p> <p>107299: 12D(#)(SiCLCC); Idem. Traces de pyrite.</p> <p>421.69 - 422.45</p> <p>107300: 12D#(SiCCCL?)vSi; Veinules de silice grisâtres forment 3% du volume total de la roche. Silice diffuse faible donnant teinte mauâtre pâle.</p>	

MINNOVA INC. DIVISION EXPLORATION

DE (m)	A (m)	TEXTURE ET STRUCTURE	ALTÉRATION	MINÉRALISATION
			<p>423.43 - 424.86</p> <p>107301: 12D#(SiCCCL?); Surtout microfractures Teinte mauve, silice diffuse faible.</p> <p>426.99 - 427.60</p> <p>107302: 12D(M15)#+Si+; Fracturation assez dense avec altération diffuse. Silicification forte à partir de fractures. Séricite très faible.</p> <p>440.92 - 441.23</p> <p>107303: 12D#SiVSi; Silicification moyenne à partir de veinules de silice.</p> <p>442.33 - 442.60</p> <p>107304: Idem.</p> <p>453.42 - 455.49 12D?(MG)(#)Si?</p> <p>Dyke ou syénite altérée? composé d'environ 30-40% de feldspath hypidio à xénomorphe de $\leq 1\text{mm}$ à 5mm blanc flou généralement dans matrice très fine grisâtre siliceuse. Contact supérieur est graduel, sur 2-3 pieds tandis que le contact inférieur est net. Possiblement altération en silice. Traces de pyrite.</p> <p>453.42 - 454.46</p> <p>107305: Type;</p> <p>454.46 - 455.49</p> <p>107306: Type;</p> <p>457.66 - 459.03</p> <p>107307: 12D?(MG)(#)Si; Similaire à 1487.60' (453.43m) sauf % plus élevé de feldspath, localement jusqu'à 60%, laissant plus penser à une altération de la syénite. Silice moyenne?</p> <p>459.03 - 460.46</p> <p>107308: Idem;</p>	

MINNOVA INC. DIVISION EXPLORATION

DE (m)	A (m)	TEXTURE ET STRUCTURE	ALTÉRATION	MINÉRALISATION
			<p>461.74 - 471.98 #(SiH)(CLCC)</p> <p>Texture assez floue. Fracturation généralement moyenne définie par microfractures et veinules de chlorite/calcite. Silice entre faible et moyenne et probablement hématite entre très faible et faible vue teinte mauvâtre. Traces de pyrite.</p> <p>461.74 - 463.27</p> <p>107309: I2D(MG)(#)(SiCLCC);</p> <p>463.27 - 464.97</p> <p>107310: I2D#(SiH)(CLCC); Traces de pyrite.</p> <p>464.97 - 465.28 #*(SiH)(CLCC)PYvCLCC</p> <p>107311: Pyrite de 1-3%?</p> <p>465.28 - 466.65</p> <p>107312: Type; Traces de pyrite.</p> <p>466.65 - 468.17</p> <p>107313: Type;</p> <p>468.17 - 469.70</p> <p>107314: Type;</p> <p>469.70 - 471.22</p> <p>107315: Type;</p> <p>471.22 - 471.98</p> <p>107316: Type;</p> <p>471.98 - 479.45 M15#*(SiH)(CLCCSR)(PY)vSi</p> <p>SYENITE METASOMATISEE</p> <p>Rouge beige à texture intrusive phanéritique très floue localement complètement oblitérée.</p> <p>Fracturation forte définie par nombreuses veinules de très fines à 6-7mm souvent de type stockwork ou assez rectilignes.</p>	

MINNOVA INC. DIVISION EXPLORATION

DE (m)	A (m)	TEXTURE ET STRUCTURE	ALTÉRATION	MINÉRALISATION
		<p>479.45 - 512.98 (S1HM)</p> <p>Texture générale : floue rosâtre. Probablement hématite et silice faibles à très faibles.</p>	<p>Altération en silice et hématite entre moyenne et forte. Les mafiques sont encore altérées variablement en chlorite, calcite et séricite.</p> <p>0.5 à 1% de pyrite fine sur l'ensemble.</p> <p>471.98 - 473.48</p> <p>107317: Type; 0.5% de pyrite.</p> <p>473.48 - 473.75</p> <p>107318: PY; 2% de pyrite.</p> <p>473.75 - 474.27</p> <p>107319: Type; 0.5-1% de pyrite.</p> <p>474.27 - 474.51</p> <p>107320: 25%vO2; = 25% de veinules/veines de quartz millimétriques à 1.5cm ± perpendiculaires à A.C.</p> <p>474.51 - 475.79</p> <p>107322: Type;</p> <p>475.79 - 477.32</p> <p>107323: Type;</p> <p>477.32 - 478.84</p> <p>107324: M15#*Si(HMCLCCSR)(PY)vSi; Hématite entre faible et moyenne.</p> <p>478.84 - 479.45</p> <p>107325: Type;</p> <p>479.45 - 487.59 (MG)(#)(HMSICC)</p>	

MINNOVA INC. DIVISION EXPLORATION

DE (m)	A (m)	TEXTURE ET STRUCTURE	ALTÉRATION	MINÉRALISATION
			<p>Texture ± nette rosâtre. Hématite faible et silice de faible à absente. Minéralisation absente.</p> <p>479.45 - 481.22</p> <p>107326: 12D(M15)#SiHMà(SiHMCLCSR)(PY)vSi; Texture intrusive localement nette. Silice et hématite variant de faible à moyenne. Pyrite de traces à 0.5%.</p> <p>481.22 - 481.89</p> <p>107327: 12D(MG)(#)(HMSiCL);</p> <p>481.89 - 483.41</p> <p>85972: 12D(CCHM); Syénite à grains moyens, I.C. ~15. Faible altération en calcite. faible hématite affectant le feldspath. Minéralisation absente.</p> <p>485.70 - 486.19</p> <p>107328: 12D(M15)#SiHM(CLCC); Texture assez oblitérée, couleur rouge. Altération diffuse d'intensité moyenne en silice et hématite. Traces de pyrite.</p> <p>486.19 - 487.59</p> <p>107329: 12D(M15)(#)(SiHMCL); Texture intrusive assez nette. Silice et hématite diffuses et faibles.</p> <p>487.59 - 497.56 M15#HMSi(SR)</p> <p>SYENITE METASOMATISEE</p> <p>Rouge brique à rose beige à texture généralement complètement oblitérée. Fracturation moyenne définie par veinules très minces irrégulières et discontinues de silice.</p> <p>Hématite variant de faible à forte et silice de faible à moyenne.</p> <p>Minéralisation en traces.</p> <p>487.59 - 488.90</p>	

MINNOVA INC. DIVISION EXPLORATION

DE (m)	A (m)	TEXTURE ET STRUCTURE	ALTÉRATION	MINÉRALISATION
			<p>107330: M15(#)(Si)(HMCLCCSR)(PY)vCLCC; Traces à 10% de pyrite sur quelques centimètres. 488.90 - 489.51</p> <p>107331: M15#(Si)(HM)(CLCCSR)vCLCC; Traces de pyrite. 489.51 - 490.36</p> <p>107332: M15#(HM)(Si)(SR)(PY)vSi; Surtout veinules de silice grisâtre. Hématite entre forte et moyenne et silice moyenne. Trace à 1% de pyrite sur quelques cm. 490.36 - 490.55</p> <p>107333: M15#(Si)(HMSR)(PY); 0.5% de pyrite en moyenne. 490.55 - 491.06</p> <p>107334: M15#(HM)(Si)(SR); Traces de pyrite. 491.06 - 492.56</p> <p>107335: M15#(Si)(HMSR)(PY)vCLCCSi?; Pyrite légèrement supérieure à traces. 492.56 - 493.44</p> <p>107336: M15#(Si)(HMSR)(PY)vSi; Veine de quartz de # 1cm avec contact nets; quartz blanc et quartz grisâtre, 15°AC. Silice entre moyenne et forte. Traces à 0.5% de pyrite. 493.44 - 494.39</p> <p>107337: 120(MG)(#)(HM); Syénite assez fraîche. Traces de pyrite. 494.39 - 495.15</p> <p>107338: Idem; 495.15 - 496.40</p> <p>107339: M15#(Si)(HM)(CLCCSR)(PY); Silice moyenne, hématite entre faible et moyenne.</p>	

MINNOVA INC. DIVISION EXPLORATION

DE (m)	A (m)	TEXTURE ET STRUCTURE	ALTÉRATION	MINÉRALISATION
			<p>Traces à 0.5% de pyrite.</p> <p>496.40 - 497.56</p> <p>107340: Idem;</p> <p>499.78 - 499.96</p> <p>107341: M15(#)(Si)+(HMSiCCSR)(PY)VQZ; Pyrite légèrement supérieure à traces.</p> <p>501.27 - 501.70</p> <p>107342: Idem;</p> <p>505.91 - 506.76</p> <p>107343: 12D(MG)(#)(SiHMLCC); Texture assez floue. Silice légèrement supérieure faible. Hématite faible. Traces de pyrite.</p> <p>506.94 - 509.56 M15(#)(Si)(HM)vQZ</p> <p>Syénite métasomatique rose dont la texture primaire est ± visible. Fracturation faible définie par minces veinules de chlorite/calcite (faible %) et veines de 2^m de quartz ± calcite de 1666.30-1666.5' (507.89-507.96m) et 1671.40 à 1671.50' (509.45-509.48m) + quelques autres moins importantes.</p> <p>506.94 - 508.22</p> <p>107343: Type;</p> <p>508.22 - 509.56</p> <p>107344: Type;</p> <p>509.56 - 511.09</p> <p>85971: 12H(+); Diorite/monzodiorite à grains moyens et l.c. de 25. Feldspath très souvent zoné, < 15% avec teinte rosée. Résultat d'analyse semble avoir été perdu</p> <p>511.61 - 511.91</p> <p>107346: 12D(#)(Si)(CLRSI)vQZ; Texture floue, couleur rose pâle. Silice moyenne diffuse avec quelques veinules de quartz</p>	

MINNOVA INC. DIVISION EXPLORATION

DE (m)	A (m)	TEXTURE ET STRUCTURE	ALTÉRATION	MINÉRALISATION
			<p>et hématite très faible. Traces de spécularite (SI)?</p> <p>515.48 - 516.12</p> <p>107347: 12D(HMCL)VQZ; 50% de syénite et 50% de quartz formé par une veine > 2cm. Hématite faible de la syénite. Traces de spécularite dans veine de quartz.</p> <p>519.44 - 519.65</p> <p>107348: 12D(CL)VQZSi; Hématite très faible. 1% de spécularite.</p> <p>522.12 - 522.49</p> <p>107349: 12D#SiHMVCLCC; Silice moyenne et hématite variant de faible à moyenne. Traces de pyrite.</p> <p>525.41 - 525.84</p> <p>107350: 12D(MG)(#)Si(HMCLCC); Texture floue rosâtre. Silice entre faible et moyenne et hématite faible ± homogène. Résultat d'analyse semble avoir été perdu</p> <p>529.93 - 530.35</p> <p>107351: 12D(#)(SiHMCLCC); Texture légèrement floue rosâtre. Silice et hématite faibles diffuses. Traces de pyrite.</p> <p>530.35 - 531.42</p> <p>107352: 12D#Si(HMCLCC)(PY)VQZVQZ; Fracturation définie par minces veinules irrégulières de quartz + veines de quartz centimétriques d'orientation variable. Silice moyenne et hématite entre faible et moyenne. Traces à 0.5% de pyrite.</p> <p>531.42 - 532.73</p> <p>107353: 12D#Si(HMCLCC)(PY)VQZ; Similaire sans veine centimétrique. Silice moyenne et hématite faible.</p>	

MINNOVA INC. DIVISION EXPLORATION

DE (m)	A (m)	TEXTURE ET STRUCTURE	ALTÉRATION	MINÉRALISATION
554.74	FIN DU TROU		<p>Pyrite légèrement supérieure à traces.</p> <p>532.73 - 532.97</p> <p>107354: I2D#*siHM(CLCC)(PY)vCLCC; 1% de pyrite.</p> <p>532.97 - 533.31</p> <p>107355: I2D(MG)(#)(CLCC); Syénite relativement fraîche. Chlorite et calcite des mafiques avec très faible silice et hématite diffuse.</p> <p>539.80 - 540.29</p> <p>107356: I2D(#)(Si)VQZ; Veine de quartz centimétrique de teinte hétérogène ± parallèle à AC finissant en de fines ramifications. Silicification faible de la syénite.</p> <p>554.74m (1820.00'): FIN DU TROU Collet théorique dans la grille B1: 27+90E, 12+30S</p>	

MINNOVA INC. DIVISION EXPLORATION

ECHANTILLON	DE (m)	A (m)	LONGUEUR (m)	Au(OP1) ppb	Au(OP2) ppb	Au(R-1) ppb	Au(R-2) ppb	Au(MOY) ppb	Ag ppm	As(CH) ppm	Sb(CH) ppm	Mo(CH) ppm	Pb(CH) ppm	Cu(OP) ppm	Cu(CH) ppm	Cu(MOY) ppm	Zn(OP) ppm	Zn(CH) ppm	Zn(MOY) ppm
107141	25.21	26.03	0.82	tr.				tr.						57		57	36		36
107142	28.86	29.17	0.31	tr.				tr.						32		32	34		34
107143	34.56	35.33	0.77	tr.				tr.						49		49	42		42
107144	39.75	40.87	1.12	tr.				tr.						87		87	51		51
107145	40.87	41.88	1.01	tr.				tr.						114		114	49		49
107146	41.88	43.13	1.25	tr.				tr.						124		124	50		50
107147	43.13	43.65	0.52	tr.				tr.						119		119	53		53
107148	43.65	44.81	1.16	tr.				tr.						102		102	57		57
107149	44.81	45.26	0.45	tr.				tr.						94		94	84		84
107150	45.26	45.51	0.25	tr.				tr.						70		70	52		52
107151	45.51	47.06	1.55	tr.				tr.						64		64	77		77
107152	47.06	47.73	0.67	tr.				tr.						112		112	57		57
107153	47.73	49.68	1.95	tr.				tr.						112		112	62		62
107154	49.99	50.60	0.61	tr.				tr.						116		116	39		39
107155	50.60	52.09	1.49	tr.				tr.						57		57	40		40
107156	52.09	53.58	1.49	tr.				tr.						57		57	34		34
107157	53.58	54.25	0.67	tr.				tr.						54		54	44		44
107158	62.18	63.19	1.01	tr.				tr.						50		50	35		35
107159	65.20	66.02	0.82	tr.				tr.						78		78	63		63
107160	66.57	66.90	0.33	tr.				tr.						25		25	54		54
107161	68.03	69.65	1.62	tr.				tr.						27		27	45		45
107162	71.14	72.48	1.34	tr.				tr.						100		100	40		40
107163	74.86	75.53	0.67	tr.				tr.						92		92	39		39
107164	77.54	78.15	0.61	tr.				tr.						60		60	42		42
107165	78.15	78.85	0.70	tr.				tr.						87		87	54		54
107166	79.80	80.50	0.70	tr.				tr.						65		65	50		50
107167	86.62	87.57	0.95	tr.				tr.						72		72	37		37
107168	88.67	89.12	0.45	tr.				tr.						84		84	33		33
107169	89.12	90.16	1.04	tr.				tr.						90		90	34		34
107170	93.27	94.34	1.07	tr.				tr.						67		67	54		54
107171	97.14	97.66	0.52	tr.				tr.						79		79	63		63
107172	103.72	104.27	0.55	tr.				tr.						110		110	67		67
107173	104.27	104.70	0.43	tr.				tr.						37		37	44		44
107174	104.79	105.64	0.85	tr.				tr.						89		89	49		49
107175	107.05	108.11	1.06	tr.				tr.						54		54	48		48
107176	109.09	109.51	0.42	tr.				tr.						62		62	37		37
107177	111.16	111.47	0.31	tr.				tr.						47		47	74		74
107178	113.14	114.48	1.34	tr.				tr.						62		62	70		70
107179	116.49	117.26	0.77	tr.				tr.						60		60	87		87
107180	122.96	123.20	0.24	tr.				tr.						130		130	54		54
107181	139.90	140.06	0.16	tr.				tr.						174		174	140		140
107182	142.07	142.37	0.30	tr.				tr.						40		40	575		575
107183	145.27	146.09	0.82	tr.				tr.						77		77	100		100
85969	162.40	163.92	1.52	tr.				tr.						47		47	52		52
107184	163.92	164.90	0.98	240				240						56		56	94		94
107185	164.90	166.30	1.40	446				446						40		40	83		83
107186	166.30	166.79	0.49	tr.				tr.						29		29	62		62
107187	166.79	167.15	0.36	tr.				tr.						37		37	64		64
107188	167.15	168.19	1.04	tr.				tr.						34		34	70		70
107189	168.19	169.47	1.28	tr.				tr.						30		30	76		76
107190	169.47	170.99	1.52	tr.				tr.						32		32	87		87
107191	170.99	172.70	1.71	tr.				tr.						32		32	85		85

MINNOVA INC. DIVISION EXPLORATION

ECHANTILLON	DE (m)	A (m)	LONGUEUR (m)	Au(OP1) ppb	Au(OP2) ppb	Au(R-1) ppb	Au(R-2) ppb	Au(MOY) ppb	Ag ppm	As(CH) ppm	Sb(CH) ppm	Mo(CH) ppm	Pb(CH) ppm	Cu(OP) ppm	Cu(CH) ppm	Cu(MOY) ppm	Zn(OP) ppm	Zn(CH) ppm	Zn(MOY) ppm
107192	196.90	198.12	1.22	tr.				tr.						27		27	62		62
107193	208.97	209.98	1.01	tr.				tr.						25		25	78		78
107194	209.98	211.32	1.34	tr.				tr.						26		26	82		82
107195	211.32	212.14	0.82	tr.				tr.						23		23	54		54
107196	212.14	213.48	1.34	tr.				tr.						27		27	60		60
107197	213.48	214.24	0.76	tr.				tr.						17		17	39		39
107198	216.16	216.56	0.40	tr.				tr.						235		235	31		31
107199	216.56	216.87	0.31	tr.				tr.						92		92	43		43
107200	216.87	218.18	1.31	tr.				tr.						43		43	39		39
107201	218.18	219.61	1.43	tr.				tr.						50		50	49		49
107202	219.61	220.10	0.49	tr.				tr.						20		20	52		52
107203	220.10	220.89	0.79	tr.				tr.						16		16	60		60
107204	236.83	237.80	0.97	tr.				tr.						26		26	45		45
107205	238.38	239.30	0.92	tr.				tr.						11		11	48		48
107206	251.49	252.28	0.79	tr.				tr.						17		17	47		47
107207	254.26	255.18	0.92	tr.				tr.						17		17	50		50
107208	255.18	256.34	1.16	411				411						27		27	62		62
107209	256.34	257.56	1.22	tr.				tr.						22		22	51		51
107210	257.56	258.44	0.88	tr.				tr.						30		30	55		55
107211	258.44	259.38	0.94	tr.				tr.						29		29	52		52
107212	259.38	260.09	0.71	tr.				tr.						30		30	53		53
107213	260.09	260.63	0.54	tr.				tr.						37		37	49		49
107214	260.63	261.88	1.25	tr.				tr.						100		100	50		50
107215	261.88	262.98	1.10	tr.				tr.						27		27	55		55
107216	262.98	264.17	1.19	tr.				tr.						30		30	69		69
107217	264.17	265.12	0.95	tr.				tr.						23		23	70		70
107218	265.12	266.24	1.12	tr.				tr.						24		24	64		64
107219	266.24	266.79	0.55	tr.				tr.						21		21	80		80
107220	266.79	268.53	1.74	tr.				tr.						19		19	72		72
107221	268.53	270.05	1.52	tr.				tr.						19		19	84		84
107222	270.05	271.58	1.53	tr.				tr.						20		20	72		72
107223	271.58	273.10	1.52	tr.				tr.						19		19	62		62
107224	273.10	274.62	1.52	tr.				tr.						10		10	64		64
107225	274.62	276.30	1.68	tr.				tr.						20		20	72		72
107226	276.30	276.91	0.61	tr.				tr.						22		22	84		84
107227	276.91	278.13	1.22	tr.				tr.						22		22	61		61
107228	278.13	279.20	1.07	tr.				tr.						22		22	64		64
107229	279.20	280.72	1.52	tr.				tr.						25		25	80		80
107230	280.72	282.24	1.52	tr.				tr.						27		27	84		84
107231	282.24	283.77	1.53	309				309						16		16	87		87
107232	283.77	285.29	1.52	tr.				tr.						27		27	87		87
107233	285.29	286.82	1.53	tr.				tr.						30		30	87		87
107234	286.82	288.34	1.52	1886				1886						27		27	82		82
107235	288.34	289.86	1.52	tr.				tr.						23		23	85		85
107236	289.86	291.39	1.53	tr.				tr.						24		24	52		52
107237	291.39	292.91	1.52	tr.				tr.						22		22	67		67
107238	292.91	294.44	1.53	tr.				tr.						16		16	62		62
107239	294.44	294.92	0.48	tr.				tr.						18		18	71		71
107240	294.92	295.38	0.46	tr.				tr.						20		20	67		67
107241	295.38	296.30	0.92	tr.				tr.						24		24	66		66
107242	296.30	297.48	1.18	tr.				tr.						57		57	64		64
107243	297.48	298.92	1.44	tr.				tr.						37		37	65		65

MINNOVA INC. DIVISION EXPLORATION

ECHANTILLON	DE (m)	A (m)	LONGUEUR (m)	Au(OP1) ppb	Au(OP2) ppb	Au(R-1) ppb	Au(R-2) ppb	Au(MOY) ppb	Ag ppm	As(CH) ppm	Sb(CH) ppm	Mo(CH) ppm	Pb(CH) ppm	Cu(OP) ppm	Cu(CH) ppm	Cu(MOY) ppm	Zn(OP) ppm	Zn(CH) ppm	Zn(MOY) ppm
107244	298.92	300.08	1.16	tr.				tr.						33		33	17		17
107245	300.08	300.35	0.27	tr.				tr.						42		42	66		66
107246	300.35	301.05	0.70	tr.				tr.						30		30	59		59
107247	301.05	302.06	1.01	tr.				tr.						21		21	61		61
107248	302.06	303.58	1.52	tr.				tr.						20		20	72		72
107249	303.58	305.10	1.52	tr.				tr.						19		19	70		70
107250	305.10	305.68	0.58	tr.				tr.						35		35	90		90
107251	305.68	306.63	0.95	tr.				tr.						22		22	70		70
107252	306.63	307.36	0.73	tr.				tr.						14		14	70		70
107253	307.36	307.97	0.61	tr.				tr.						14		14	78		78
107254	307.97	309.68	1.71	tr.				tr.						18		18	57		57
107255	309.68	311.32	1.64	tr.				tr.						16		16	64		64
107256	311.32	311.78	0.46	tr.				tr.						16		16	57		57
107257	311.78	312.72	0.94	tr.				tr.						20		20	59		59
107258	312.72	313.64	0.92	tr.				tr.						16		16	59		59
107259	313.64	314.95	1.31	tr.				tr.						20		20	56		56
107260	314.95	315.77	0.82	tr.				tr.						19		19	65		65
107261	315.77	317.30	1.53	tr.				tr.						24		24	57		57
107262	317.30	318.61	1.31	583				583						30		30	60		60
107263	318.61	319.86	1.25	tr.				tr.						17		17	67		67
107264	319.86	320.34	0.48	tr.				tr.						28		28	62		62
107265	320.34	321.87	1.53	tr.				tr.						42		42	62		62
107266	321.87	323.09	1.22	tr.				tr.						22		22	66		66
107267	323.09	323.91	0.82	tr.				tr.						17		17	63		63
107268	323.91	324.34	0.43	tr.				tr.						16		16	59		59
107269	339.49	340.25	0.76	tr.				tr.						22		22	46		46
107270	340.25	341.22	0.97	tr.				tr.						14		14	54		54
107271	342.60	344.30	1.70	tr.				tr.						16		16	53		53
107272	344.30	346.16	1.86	tr.				tr.						20		20	63		63
107273	346.16	347.78	1.62	tr.				tr.						22		22	54		54
107274	347.78	349.00	1.22	tr.				tr.						16		16	47		47
107275	349.00	349.39	0.39	tr.				tr.						14		14	47		47
107276	349.39	350.55	1.16	tr.				tr.						10		10	46		46
107277	365.94	366.61	0.67	tr.				tr.						22		22	61		61
107278	366.61	366.74	0.13	tr.				tr.						37		37	59		59
107279	366.74	368.02	1.28	tr.				tr.						16		16	66		66
107280	368.02	368.41	0.39	tr.				tr.						24		24	62		62
107281	368.41	369.54	1.13	tr.				tr.						18		18	60		60
107282	371.49	372.47	0.98	tr.				tr.						14		14	57		57
107283	372.47	374.02	1.55	tr.				tr.						16		16	66		66
107284	375.76	376.12	0.36	tr.				tr.						16		16	62		62
107285	377.28	378.29	1.01	tr.				tr.						18		18	67		67
107286	378.29	379.78	1.49	377				377						22		22	46		46
107287	379.78	381.30	1.52	tr.				tr.						16		16	40		40
107288	381.30	382.83	1.53	tr.				tr.						26		26	43		43
107289	382.83	383.62	0.79	tr.				tr.						26		26	50		50
107290	383.62	384.57	0.95	tr.				tr.						454		454	54		54
107291	387.55	388.62	1.07	tr.				tr.						37		37	60		60
107292	388.62	389.02	0.40	tr.				tr.						24		24	72		72
107293	389.02	389.78	0.76	tr.				tr.						22		22	64		64
107294	389.78	390.24	0.46	tr.				tr.						22		22	45		45
107295	390.24	391.36	1.12	tr.				tr.						21		21	57		57

MINNOVA INC. DIVISION EXPLORATION

ECHANTILLON	DE (m)	A (m)	LONGUEUR (m)	Au(OP1) ppb	Au(OP2) ppb	Au(R-1) ppb	Au(R-2) ppb	Au(MOY) ppb	Ag ppm	As(CH) ppm	Sb(CH) ppm	Mo(CH) ppm	Pb(CH) ppm	Cu(OP) ppm	Cu(CH) ppm	Cu(MOY) ppm	Zn(OP) ppm	Zn(CH) ppm	Zn(MOY) ppm
107296	391.36	392.28	0.92	tr.				tr.						26		26	59		59
107297	395.69	395.97	0.28																
85970	414.22	415.75	1.53	tr.				tr.						22		22	45		45
107298	415.75	416.81	1.06	411				411						19		19	83		83
107299	416.81	417.88	1.07	tr.				tr.						20		20	72		72
107300	421.69	422.45	0.76	tr.				tr.						19		19	72		72
107301	423.43	424.86	1.43	tr.				tr.						16		16	90		90
107302	426.99	427.60	0.61	tr.				tr.						20		20	50		50
107303	440.92	441.23	0.31	tr.				tr.						21		21	53		53
107304	442.33	442.60	0.27	tr.				tr.						23		23	32		32
107305	453.42	454.46	1.04	tr.				tr.						26		26	97		97
107306	454.46	455.49	1.03	tr.				tr.						22		22	64		64
107307	457.66	459.03	1.37	tr.				tr.						57		57	40		40
107308	459.03	460.46	1.43	tr.				tr.						40		40	46		46
107309	461.74	463.27	1.53	tr.				tr.						30		30	54		54
107310	463.27	464.97	1.70	tr.				tr.						32		32	73		73
107311	464.97	465.28	0.31	274				274						37		37	67		67
107312	465.28	466.65	1.37	tr.				tr.						36		36	68		68
107313	466.65	468.17	1.52	tr.				tr.						40		40	67		67
107314	468.17	469.70	1.53	tr.				tr.						40		40	54		54
107315	469.70	471.22	1.52	tr.				tr.						41		41	50		50
107316	471.22	471.98	0.76	tr.				tr.						37		37	57		57
107317	471.98	473.48	1.50	tr.				tr.						30		30	67		67
107318	473.48	473.75	0.27	tr.				tr.						34		34	55		55
107319	473.75	474.27	0.52	tr.				tr.						29		29	50		50
107320	474.27	474.51	0.24	240				240						32		32	53		53
107322	474.51	475.79	1.28	tr.				tr.						37		37	53		53
107323	475.79	477.32	1.53	377				377						32		32	75		75
107324	477.32	478.84	1.52	tr.				tr.						34		34	57		57
107325	478.84	479.45	0.61	446				446						37		37	52		52
107326	479.45	481.22	1.77	309				309						40		40	60		60
107327	481.22	481.89	0.67	343				343						30		30	57		57
85972	481.89	483.41	1.52	tr.				tr.						64		64	60		60
107328	485.70	486.19	0.49	tr.				tr.						26		26	51		51
107329	486.19	487.59	1.40	tr.				tr.						35		35	42		42
107330	487.59	488.90	1.31	tr.				tr.						30		30	57		57
107331	488.90	489.51	0.61	tr.				tr.						33		33	52		52
107332	489.51	490.36	0.85	tr.				tr.						49		49	87		87
107333	490.36	490.55	0.19	411				411						27		27	72		72
107334	490.55	491.06	0.51	514				514						31		31	70		70
107335	491.06	492.56	1.50	tr.				tr.						24		24	91		91
107336	492.56	493.44	0.88	tr.				tr.						37		37	62		62
107337	493.44	494.39	0.95	tr.				tr.						21		21	60		60
107338	494.39	495.15	0.76	tr.				tr.						47		47	59		59
107339	495.15	496.40	1.25	tr.				tr.						30		30	64		64
107340	496.40	497.56	1.16	tr.				tr.						30		30	64		64
107341	499.78	499.96	0.18	tr.				tr.						37		37	116		116
107342	501.27	501.70	0.43	tr.				tr.						34		34	80		80
107343	505.91	506.76	0.85	tr.				tr.						27		27	33		33
107344	506.94	508.22	1.28	343				343						57		57	51		51
107345	508.22	509.56	1.34	377				377						42		42	60		60
85971	509.56	511.09	1.53																

MINNOVA INC. DIVISION EXPLORATION

ECHANTILLON	DE (m)	A (m)	LONGUEUR (m)	Au(OP1) ppb	Au(OP2) ppb	Au(R-1) ppb	Au(R-2) ppb	Au(MOY) ppb	Ag ppm	As(CH) ppm	Sb(CH) ppm	Mo(CH) ppm	Pb(CH) ppm	Cu(OP) ppm	Cu(CH) ppm	Cu(MOY) ppm	Zn(OP) ppm	Zn(CH) ppm	Zn(MOY) ppm
107346	511.61	511.91	0.30	tr.				tr.						46		46	62		62
107347	515.48	516.12	0.64	tr.				tr.						36		36	32		32
107348	519.44	519.65	0.21	tr.				tr.						30		30	37		37
107349	522.12	522.49	0.37	tr.				tr.						31		31	49		49
107350	525.41	525.84	0.43																
107351	529.93	530.35	0.42	tr.				tr.						29		29	54		54
107352	530.35	531.42	1.07	tr.				tr.						29		29	41		41
107353	531.42	532.73	1.31	tr.				tr.						32		32	47		47
107354	532.73	532.97	0.24	tr.				tr.						49		49	46		46
107355	532.97	533.31	0.34	tr.				tr.						30		30	54		54
107356	539.80	540.29	0.49	tr.				tr.						29		29	40		40

MINNOVA INC. DIVISION EXPLORATION

COMPAGNIE : MINNOVA INC. DIVISION EXPLORATION PROJET : BOYVINET SONDAGE : BV-31 IMPRIMÉ LE : 16 avril 1992
 CANTON : LESUEUR RANG : - LOT : - CLAIM : 383714-1 SNRC : 32F/9 ZONE : B1* NO. RÉFÉRENCE :

COORDONNÉES AU COLLET GRILLE #1 GRILLE #2 GRILLE ARPENTÉE AZIMUT : 287° 0'
 LIGNE : 37+20W LIGNE : LATITUDE : -777.240 PLONGÉE : -45° 0'
 STATION : 25+50S STATION : LONGITUDE : -1133.860 PROFONDEUR DU COLLET : 0.00
 ÉLEVATION : 0.000 ÉLEVATION : 0.000 ÉLEVATION : 0.000 LONGUEUR : 279.20m.

GÉOLOGUE : PAUL GIRARD REMARQUES : DATE DU JOURNAL : 17 juillet 1990
 CONTRACTEUR : FORAGE BELAND DATE D'ARPENTAGE :
 DATE DE CIMENTAGE :
 FORAGE DÉBUTÉ LE : 15 juillet 1990
 TERMINÉ LE : 24 juillet 1990
 BUT : Tester continuité sud zone fracturation ouest (BV-04) et zone anormale en PAF TUBAGE LAISSÉ : oui
 CIBLE :

DONNÉES D'ORIENTATION

Longueur	Azimut	Plongée
61.26	286 0'	-43 0'
121.92	*289 49'	-43 0'
188.37	294 0'	-40 0'
243.84	*299 9'	-40 0'
274.62	302 0'	-40 0'

(*) azimut estimé par le programme

MINNOVA INC. DIVISION EXPLORATION

DE (m)	A (m)	TEXTURE ET STRUCTURE	ALTÉRATION	MINÉRALISATION
0.00	36.58	NT MORT-TERRAIN		
36.58	279.20	13A?/\=CL GABBRO BRECHIQUE HETEROGENE		
		<p>Roche hétérogène d'allure bréchique de couleur vert moyen à vert foncé constituée de zones centimétriques à métriques à granulométrie moyenne composée de feldspath blanc hypidiomorphe de 2-4mm à % très variable dans une matrice de minéraux mafiques généralement non distinguables. La roche comprend un % difficilement évaluable de fragments centimétriques polygéniques. Ces fragments de composition felsique à gabbroïque sont souvent altérés, parfois à contacts assez nets parfois plutôt flous. Parfois seule la différence de composition sur quelques centimètres suggère la présence de fragments, ce qui explique la difficulté à évaluer le % de fragments. De 605.50 à 653.00' (184.56 à 199.04m), magnétisme très variable de faible à moyen. La présence de fragments, associés à la texture intrusive de la matrice suggèrent une brèche intrusive? reprise par l'altération et cisailée.</p> <p>La majeure partie de l'unité est au moins moyennement foliée. La foliation est définie par l'allongement (souvent 5:1) des fragments, l'alignement des cristaux de feldspath et les plans de chlorite. Très faible densité de minces veinules à calcite.</p> <p>L'altération prédominante est la chlorite avec localement la biotite.</p> <p>La minéralisation est généralement absente.</p>	<p>38.92 - 41.45 =+CL+</p> <p>ZONE DE DEFORMATION</p> <p>Roche verte très finement grenue (texture primaire oblitérée par altération?) à contacts ± nets. Foliation forte définie par plan de chlorite?</p> <p>Chlorite forte avec épidote locale.</p> <p>Traces de pyrite, parfois en fines veinules.</p> <p>38.92 - 40.23</p> <p>107357: Type;</p> <p>40.23 - 41.45</p> <p>107358: Type;</p> <p>41.45 - 44.35</p>	

MINNOVA INC. DIVISION EXPLORATION

DE (m)	A (m)	TEXTURE ET STRUCTURE	ALTÉRATION	MINÉRALISATION
			<p>CLEP; Altération très hétérogène en chlorite et épidote, parfois cette altération reflète la foliation, parfois altération plutôt sous forme de "taches".</p> <p>44.35 - 46.85 =>CL+</p> <p>ZONE DE DEFORMATION</p> <p>Idem à 127.70, forte altération en chlorite forte. Traces de pyrite.</p> <p>107359: 145.5-149.0 107360: 149.0-153.7</p> <p>52.73 - 53.64</p> <p>107361: 13A?/\=CL;</p> <p>Echantillon assez typique du début de l'unité à fragments ± flous à matrice felsique fine et phénocristaux mafiques de = 4mm. Fragment allongé 5:1, foliation entre moyenne et forte. Chloritisation moyenne de la matrice entre les fragments. Minéralisation absente.</p> <p>71.63 - 72.21</p> <p>107362: 13A/\=CL(ABEP?)vCC; Altération diffuse jusqu'à 1cm en bordure des veinules de calcite. Altération en albite-épidote? Minéralisation absente.</p> <p>75.20 - 78.03</p> <p>FP? Injection ± diffuse de feldspath ou fragment ± assimilé.</p> <p>76.38 - 76.66 13A/\=CL(CP)vQZCP</p> <p>107363: Veinules de quartz de 7mm avec chalcopryrite disséminée légèrement supérieure à traces.</p> <p>76.81 - 77.42</p> <p>107364: (PY); Traces à 0.5% de pyrite dans leucogabbro? et microgabbro (lequel est le fragment??).</p> <p>78.03 - 85.47 CL(BOFP)?(PY)</p> <p>GABBRO CHLORITISE ET BIOTISE</p>	

MINNOVA INC. DIVISION EXPLORATION

DE (m)	A (m)	TEXTURE ET STRUCTURE	ALTÉRATION	MINÉRALISATION
		<p>85.47 - 91.90 13? (.JBOCL+)</p> <p>DYKE MAFIQUE PORPHYRIQUE A BIOTITE</p> <p>Dyke? ou zone de forte altération? mafique noir à gris mauvâtre composé surtout d'environ 20% chlorite fine et de phénocristaux de biotite jusqu'à 5mm. Quelques passages montrent des feldspaths ≤ 1mm.</p> <p>Chlorite généralement forte avec épidote là où les cristaux de feldspath sont visibles (saussuritisation).</p>	<p>La roche contient un minimum de 2-5% de biotite fine avec de nombreux fragments feldspaths très irréguliers ou injection de feldspath. La foliation semble absente.</p> <p>Chlorite au moins moyenne avec biotite faible? injection diffuse de feldspath ou fragment ± assimilé.</p> <p>Pyrite légèrement supérieure à traces, irrégulièrement dispersées.</p> <p>78.03 - 79.55</p> <p>107365: Type;</p> <p>79.55 - 81.08</p> <p>107366: Type;</p> <p>81.08 - 82.60</p> <p>107367: Type;</p> <p>82.60 - 84.12</p> <p>107368: Type;</p> <p>84.12 - 84.89</p> <p>107369: Type;</p> <p>84.89 - 85.47</p> <p>107370: 13-14?CL(BO);</p> <p>Roche homogène finement grenue (1mm), vert moyen, faiblement magnétique avec ≈ 5% biotite fine et ≈ 10% de feldspath hypidiomorphe, le reste constitué de minéraux mafiques? Contact nets (dyke?). Pas de foliation ou fracturation.</p> <p>Chlorite au moins moyenne et biotite faible.</p> <p>Minéralisation absente à traces surtout en bordures.</p>	

MINNOVA INC. DIVISION EXPLORATION

DE (m)	A (m)	TEXTURE ET STRUCTURE	ALTÉRATION	MINÉRALISATION
		<p>Localement pyrite 1% visible sur quelques cm, le reste traces.</p>	<p>85.47 - 86.26</p> <p>107371: Type; Traces de pyrite.</p> <p>86.26 - 87.26</p> <p>107372: 13A[.1BOCL+(ABEP); Altération faible ≤ 1cm en albite épidote? le long de quelques fractures. Traces de pyrite.</p> <p>87.26 - 87.72</p> <p>107373: (CC); Calcite interstitielle fine gris pâle +?. Traces de pyrite.</p> <p>87.72 - 88.51</p> <p>107374: (ABEP); Environ 15% d'albite, épidote? interstitielle. Pyrite ≤ 0.5% surtout associée à FPQZEP.</p> <p>88.51 - 88.70</p> <p>107375: ABEP(PY); Idem sauf 10-40% d'albite-épidote interstitielle. Pyrite ≤ 1%.</p> <p>88.70 - 89.61</p> <p>107376: Type; Traces de pyrite.</p> <p>89.61 - 90.71</p> <p>107377: Type;</p> <p>90.71 - 91.01</p> <p>107378: 30% d'albite? ± calcite interstitielle. Traces de pyrite.</p> <p>91.01 - 91.71</p> <p>107379: Type;</p> <p>91.71 - 91.90 ==+CL++CC+</p>	

MINNOVA INC. DIVISION EXPLORATION

DE (m)	A (r)	TEXTURE ET STRUCTURE	ALTÉRATION	MINÉRALISATION
			<p>107380: Faille chloriteuse extrêmement molle, bordure supérieure de calcite sur 2.5cm et inférieure sur 1.2cm. Altération extrême en chlorite avec calcite forte. Bordure de calcite.</p> <p>91.90 - 96.93 13?CLEP(BO)CC</p> <p>GABBRO CHLORITISE ET EPIDOTISE</p> <p>Roche assez homogène variant de vert foncé à vert moyen phanéritique fine ≤ 1mm en général.</p> <p>Chlorite entre moyenne et forte, épidote, calcite variables. Biotite généralement fine ≈ 1-2mm forme 5-10% de la roche.</p> <p>Minéralisation absente.</p> <p>91.90 - 92.17</p> <p>107381: CLCC(BO); Chlorite et calcite moyennes et biotite plus faible.</p> <p>92.17 - 93.15</p> <p>107382: CL(BO); Chlorite au moins moyenne et biotite 5%?</p> <p>93.15 - 93.27</p> <p>107383: CLEPCC; Chlorite, épidote et calcite moyennes hétérogènes.</p> <p>93.27 - 93.42</p> <p>107384: CLEP/ACC; Injection de calcite bréchifiant la roche. Altération en chlorite et épidote (vert jaune).</p> <p>93.42 - 94.37</p> <p>107385: (=)CLEP(CC); Foliation faible définie par alignement minéral grossier (plan de chlorite + alignement des feldspaths épidotisés). Altération sous forme de chlorite moyenne en plans + épidotisation (saussuritisation) avec calcite en plans? Biotite??</p> <p>94.37 - 95.40</p>	

MINNOVA INC. DIVISION EXPLORATION

DE (m)	A (m)	TEXTURE ET STRUCTURE	ALTÉRATION	MINÉRALISATION
		106.25 - 106.65	<p>107386: CL(80); Chlorite entre moyenne et faible et entre 5-10% de biotite fine. Traces de pyrite.</p> <p>95.40 - 96.32</p> <p>107387: CL(80);</p> <p>96.32 - 96.93</p> <p>107388: CL(80); Contacts avec unité bréchique nets à 45° avec bordure de trempe (diminution de granulométrie).</p>	
		<p>12JL1FP? (#)(SiHMAB); Dyke de diorite porphyrique (ou altération?), beigeâtre composé d'environ 25% de phénocristaux hypidiomorphes dont la taille varie de submillimétrique (phénocristaux flous dans la matrice), à 4mm dans matrice fine beige-grisâtre.</p> <p>Silice et hématite faibles diffuses avec altération < 1cm en albite? le long de fractures.</p> <p>Minéralisation absente.</p>	106.25 - 106.65	
		107.14 - 107.17	107389:	
		Dyke idem au précédent	112.07 - 112.38	
			<p>107390: (#)CC(PY)vCCVQZ; Altération vert pâle (calcite?) diffuse à partir de veinules de calcite et veine de quartz 1cm. Pyrite légèrement supérieure à traces.</p>	
			116.28 - 116.43	
			<p>107391: #*CLVQZCCEP; Injection forte irrégulière de quartz-épidote-calcite. Plutôt injection qu'altération. Traces de pyrite.</p>	
			116.83 - 118.26	

MINNOVA INC. DIVISION EXPLORATION

DE (m)	A (m)	TEXTURE ET STRUCTURE	ALTÉRATION	MINÉRALISATION
			<p>107392: #CCAB?VCC; Altération gris vert? diffuse à partir des veinules de calcite. L'altération varie de mince en bordure à très diffuse sur 3-4cm (albite + calcite). Minéralisation absente.</p> <p>118.26 - 119.79</p> <p>107393: Idem.</p> <p>131.31 - 131.55</p> <p>107394: AB(EP); Altération très hétérogène vert pâle en "taches", feldspath plus grossier. Minéralisation absente.</p> <p>134.02 - 134.36 ==+CL+CC+</p> <p>107395: Foliation extrême anastomosée définie par septa de chlorite et microlithons de calcite. Veinule de quartz-calcite-hématite démembrée. Angle A.C.: = 0°. Forte altération en chlorite et calcite. Pyrite très fine??</p> <p>136.52 - 137.37</p> <p>107396: #CLSI(CC)VCC; Texture floue grisâtre à gris-vert. Microfracture de calcite. Foliation? Silice semble diffuse + calcite ± diffuse et très fines veinules discontinues. Chlorite toujours au moins moyenne. Traces de pyrite.</p> <p>137.37 - 138.23</p> <p>107397: #>CL+vCCVQZ; Roche vert moyen finement grenue ou altérée? recoupée par de nombreuses veinules de calcite à ≈ 45°AC (tendance générale) et de minces veinules de quartz grisâtre ± parallèles à A.C. Ces veinules de quartz s'arrêtent aux veinules de calcite (déplacement?). L'altération prédominante semble être la chlorite assez forte puisque roche molle (facilement rayable) malgré teinte assez pâle. Localement albite. Traces de pyrite.</p> <p>138.23 - 138.78</p> <p>107398: #CLSR(CBCC)vCC;</p>	

MINNOVA INC. DIVISION EXPLORATION

DE (m)	A (m)	TEXTURE ET STRUCTURE	ALTÉRATION	MINÉRALISATION
			<p>Texture très hétérogène, teinte vert-jaunâtre, foliation ± évidente parallèle à A.C. définie par septa chlorite, séricite? et microlithons de calcite. Altération beigeâtre en carbonate de fer le long de fractures remplies de calcite. Chlorite et séricite en plans selon foliation. Calcite entre moyenne et faible. Traces de pyrite.</p> <p>138.78 - 139.78</p> <p>107399: #CLCCvCC, séricite?; Teinte vert moyen, foliation pas évidente, anastomosée. Chlorite forte (roche molle) et calcite moyenne. Traces de pyrite.</p> <p>139.78 - 140.21</p> <p>107400: =#CL+CB?(PY)vCC; Teinte vert beige avec foliation assez bien définie parallèle à A.C. par plan discontinu de chlorite. Chlorite forte avec carbonate de fer (teinte beigeâtre). Jusqu'à 1% de pyrite fine.</p> <p>140.21 - 142.04</p> <p>107401: (=)CL+; Foliation mal définie ± parallèle à A.C. Ensuite retour graduel sur environ 10' à roche d'aspect plutôt fragmentaire que foliée. foliation à environ 45°AC. Altération surtout en chlorite entre forte et moyenne. Minéralisation absente.</p> <p>154.93 - 155.08 CL+SI(CC)(PYCP)VQ2CC</p> <p>107402: Veine de 2 cm hétérogène composée de cristaux xénomorphes de quartz dans matrice de calcite recoupée parallèlement par chlorite. Chloritisation du gabbro plus silicification diffuse et calcite à partir de la veine. ± 1% de pyrite + chalcopryrite surtout associées à l'altération siliceuse.</p> <p>155.08 - 156.06</p> <p>107403: =#CL+(SI)(PY)vCC; Texture plus floue, grisâtre. Chlorite forte et possible silice faible diffuse. Pyrite de traces à 0.5%.</p> <p>159.75 - 161.85 vQZ</p>	

MINNOVA INC. DIVISION EXPLORATION

DE (m)	A (m)	TEXTURE ET STRUCTURE	ALTÉRATION	MINÉRALISATION
			<p>1 à 5% vQZ; Veinules de quartz laiteux < 3mm ± parallèle à environ 60°.</p> <p>107404: 529.6-531.0; 5% vQZ jusqu'à 5mm</p> <p>161.85 - 171.60 / \=>CLvCCVQZ</p> <p>Passage très hétérogène, forte densité de fragments feldspathiques allongés.</p> <p>Foliation définie par allongement des fragments et des minéraux et par les plans de chlorite. Cisaillement contient environ 1% de veine/veinules irrégulières de quartz et veinules de calcite. Angle A.C. = 50°.</p> <p>Altération surtout en chlorite définissant des plans.</p> <p>Minéralisation absente.</p> <p>166.42 - 167.94</p> <p>107405: Type;</p> <p>171.60 - 177.33 CL(ABSi)?(EP)</p> <p>Texture floue vert pâle à vert moyen due à l'altération. Foliation semble oblitérée par endroits par l'altération.</p> <p>Altération variable en albite ou silice avec généralement faible épidoite. Chlorite de moyenne à forte ou couleur vert foncé.</p> <p>Minéralisation généralement absente.</p> <p>172.88 - 173.13</p> <p>107406: =[SiAB]?(Ep)(PY)vQZ; Très fines veinules de quartz irrégulières et discontinues. Altération gris vert pâle, silice ou albite avec faible épidoite. Pyrite très fine %??</p> <p>176.17 - 177.33</p> <p>107407: =[SiAB]?(EP)vCC; Veinules irrégulières de calcite. Altération vert très pâle en albite ou silice entre moyenne et forte et épidoite faible. Superposés à</p>	

MINNOVA INC. DIVISION EXPLORATION

DE (m)	A (m)	TEXTURE ET STRUCTURE	ALTÉRATION	MINÉRALISATION
		208.33 - 208.48 14NMG+(#)BO(CC)vCC LAMPROPHYRE	<p>L'altération en chlorite; seuls quelques ilots vert foncé. Minéralisation absente.</p> <p>177.33 - 183.12 #(=)CL(SIAB?EP)vCC</p> <p>Foliation mal définie sur la majeure partie de l'intervalle. Altération hétérogène vert pâle; albite ou silice avec faible épidote avec 3-4% de fines veinules de calcite. Minéralisation absente.</p> <p>183.12 - 184.56</p> <p>107408: #(=)SR(CL)(PY)vCC(CL); Texture primaire fortement oblitérée, teinte vert pâle, roche fracturée par de nombreuses fines veinules de calcite. Séricite fine diffuse car plans non ou peu visibles donnant la teinte vert pâle. Faible calcite diffuse. Traces à 0.5% de pyrite très fine.</p> <p>194.46 - 195.25</p> <p>107409: #=CLsivCC; Aspect siliceux, roche non rayable, chlorite présente. Traces de pyrite.</p> <p>204.52 - 205.22</p> <p>107410: #(=)CL(SRCC)(PY); Teinte variant de vert pâle à vert foncé hétérogène, selon l'altération diffuse et contrôlée par des fractures. Roche très finement grenue. Foliation mal définie, oblitérée par fracturation définie par nombreuses veinules de calcite irrégulières et discontinues. Chlorite et séricite variables, hétérogènes, la séricite suivant parfois la fracturation. 5% pyrite sur 2", associé à fracturation. Traces sulfures sur le reste de l'intervalle.</p> <p>205.22 - 206.25</p> <p>107411: =+?#+SR?(CC); La foliation semble masquée par la fracturation forte, puisque où moins fracturée foliation très bien définie. Altération vert pâle due à séricite?, calcite variant de faible à moyenne. Traces de pyrite.</p>	

MINNOVA INC. DIVISION EXPLORATION

DE (m)	A (m)	TEXTURE ET STRUCTURE	ALTÉRATION	MINÉRALISATION
		<p>Noir, composé d'environ 20% de biotite hypidiomorphe < 3mm dans matrice fine non distinguable, rayable, réagit moyennement au HCl, minces fractures remplies de calcite.</p>	<p>212.14 - 212.63 107412: #CL(DM)?VCC; Teinte vert gris moyen rayable avec 2% de veinules de calcite ± chlorite. Foliation oblitérée. Dolomie? faible, chlorite moyenne. Traces de pyrite. 212.63 - 213.15 M150M/VABQZCCPY 107413: Brèche hydrothermale à fragments mal définis, centimétriques? beiges dans injection de quartz/albite/calcite. Fragments dolomités (beige). 1-2% de pyrite très fine. 213.15 - 213.73 107414: #DM(CL)VCC; Teinte beige verdâtre. Probablement dolomie superposée à la chlorite. Traces de pyrite. 217.32 - 217.81 107415: #+DM(CC)(PY)VCCVQZ#PY; Teinte hétérogène beige à beige verdâtre avec nombreuses veinules irrégulières de calcite. Contact inférieur défini par veine de quartz fracturée par carbonate + pyrite. Altération en dolomie dominant teinte beige, calcite variable et chlorite ou épidote locale. Environ 0.5% de pyrite fine disséminée ou associée aux veinules de calcite.</p>	
		<p>222.81 - 234.70 137/V=CL(ABEP),12J[.]FP GABBRO BRECHIQUE ET DIORITE PORPHYRIQUE</p>		
		<p>Mélange de gabbro? pseudo bréchiq. typique et de dykes intermédiaires gris rosâtre composé d'environ 20% de phénocristaux de feldspath blanc hypidiomorphe de 2-4mm, d'environ 5-10% de minéraux mafiques chloritisés, de</p>		

MINNOVA INC. DIVISION EXPLORATION

DE (m)	A (m)	TEXTURE ET STRUCTURE	ALTÉRATION	MINÉRALISATION
		<p>< 1mm-2mm et le reste matrice grise, localement rosâtre, d'aspect siliceux. Les contacts semblent ± suivre la foliation. Environ 10-15% de diorite.</p> <p>La foliation semble absente dans la diorite, mais est notée dans le gabbro.</p> <p>Silice? faible ds la diorite avec localement hématite tandis que le gabbro? contient des passages très albitisés ± épidote.</p> <p>Minéralisation absente.</p> <p>241.95 - 252.68 137CL,12J=</p> <p>GABBRO MASSIF ET DIORITE FOLIEE</p> <p>Mélange très irrégulier du gabbro peu bréchiq, surtout chloriteux, et de dykes dioritiques. Ces dykes sont constitués surtout de feldspath hypidiomorphe? très flou et d'environ 10% de minéraux mafiques ± aligné définissant foliation. Semble être injecté de matériel siliceux noir parallèle à la foliation. Si à 30°.</p>	<p>226.37 - 226.65</p> <p>107416: 13A/\=#CL(ABEP); Le passage ou l'altération est la plus forte en albite (± épidote) suit la fracturation. Minéralisation absente.</p> <p>238.14 - 238.41</p> <p>107417: ABCC Altération bizarre tachetée (< 5mm), albite, calcite. Minéralisation absente.</p> <p>248.72 - 251.16 (ABEP)</p> <p>Teinte vert pomme pâle irrégulière due à l'altération en albite-épidote. Minéralisation absente.</p> <p>249.45 - 249.72</p> <p>107418: AB+EP; Texture primaire fortement oblitérée. Minéralisation absente.</p> <p>252.86 - 253.23</p> <p>107419: (#)Si(CLCCHM)PY; Aspect siliceux, altération irrégulière selon la fracturation.</p>	

MINNOVA INC. DIVISION EXPLORATION

DE (m)	A (m)	TEXTURE ET STRUCTURE	ALTÉRATION	MINÉRALISATION
		<p>259.17 - 266.58 137/\#=#CL(ABEP),12J[.]FPHM</p> <p>GABBR0 BRECHIQUE, DIORIT PORPHYRIQUE HEMATISEE</p> <p>Environ 12% de diorite porphyrique rouge intercalée à la roche (gabbro?) pseudo fragmentaire hétérogène (dykes de 1" à 7"). La diorite, de couleur rouge rose foncé ± floue est composée d'environ 15% de phénocristaux de feldspath blanc à rose hypidiomorphe jusqu'à 5mm, de 5-10% de minéraux mafiques hypidiomorphes 1-2mm ± flous dans une matrice rose foncé rouge finement grenue ≤ 1mm à composition indéterminée. Le gabbro fragmentaire est similaire à celui vu auparavant sauf avec altération très hétérogène en albite ± épidote.</p> <p>La diorite est hématisée entre moyenne et faible et possiblement silice vue la texture ± floue. Le gabbro? fragmentaire est chloritisé et altérée en albite ± épidote de façon très hétérogène en taches ou selon la fracturation.</p> <p>Minéralisation absente.</p>	<p>Jusqu'à 2% de pyrite très fine concentrée le long des fractures.</p> <p>256.15 - 256.52</p> <p>107420: #CLDMVCC; Altération en dolomie le long des veinules de calcite. Pyrite très fine, 0.5%?</p> <p>266.58 - 279.20 =#CL(ABEP)</p> <p>Altération encore très hétérogène donnant aspect fragmentaire plus prononcé. Chlorite moyenne à forte et albite très variable parfois seule parfois avec épidote. Passage d'environ 1" à albite au moins moyenne. Minéralisation généralement absente.</p> <p>271.85 - 272.34</p> <p>107422: CL+(Si)VQZ; Environ 10% de veines = 1cm de quartz fracturé avec très minces veinules de calcite. Le gabbro semble fortement chloritisé mais ± rayable et aspect siliceux. Traces de pyrite + chalcopyrite?</p>	<p>256.52 - 256.89 #CL+CCPY++VQZ</p> <p>107421: Veine de quartz irrégulière. Vert ± foncé, chlorite forte (facilement rayable) et calcite moyenne. > 5% de pyrite fine.</p>

MINNOVA INC. DIVISION EXPLORATION

DE (m)	A (m)	TEXTURE ET STRUCTURE	ALTÉRATION	MINÉRALISATION
279.20	FIN DU TROU		<p>275.26 - 275.63</p> <p>107423: #(=)CLABPYvABEPCC; Veinules ≤ 4mm en moyenne très irrégulières d'albite, épidote et calcite. Chlorite diffuse, albite ± diffuse. 0.5% de pyrite en moyenne irrégulièrement dispersée.</p> <p>279.20m (916.00'): FIN DU TROU</p>	

MINNOVA INC. DIVISION EXPLORATION

ECHANTILLON	DE (m)	A (m)	LONGUEUR (m)	Au(OP1) ppb	Au(OP2) ppb	Au(R-1) ppb	Au(R-2) ppb	Au(MOY) ppb	Ag ppm	As(CH) ppm	Sb(CH) ppm	Mo(CH) ppm	Pb(CH) ppm	Cu(OP) ppm	Cu(CH) ppm	Cu(MOY) ppm	Zn(OP) ppm	Zn(CH) ppm	Zn(MOY) ppm
107357	38.92	40.23	1.31	tr.				tr.						90		90	29		29
107358	40.23	41.45	1.22	tr.				tr.						106		106	29		29
107359	44.35	45.42	1.07	tr.				tr.						112		112	31		31
107360	45.42	46.85	1.43	tr.				tr.						137		137	29		29
107361	52.73	53.64	0.91	tr.				tr.						80		80	23		23
107362	71.63	72.21	0.58	tr.				tr.						98		98	31		31
107363	76.38	76.66	0.28	tr.				tr.						906		906	26		26
107364	76.81	77.42	0.61	tr.				tr.						83		83	39		39
107365	78.03	79.55	1.52	tr.				tr.						97		97	32		32
107366	79.55	81.08	1.53	tr.				tr.						78		78	42		42
107367	81.08	82.60	1.52	tr.				tr.						72		72	33		33
107368	82.60	84.12	1.52	tr.				tr.						84		84	31		31
107369	84.12	84.89	0.77	tr.				tr.						104		104	37		37
107370	84.89	85.47	0.58	tr.				tr.						100		100	35		35
107371	85.47	86.26	0.79	tr.				tr.						76		76	26		26
107372	86.26	87.26	1.00	tr.				tr.						72		72	23		23
107373	87.26	87.72	0.46	tr.				tr.						104		104	22		22
107374	87.72	88.51	0.79	tr.				tr.						129		129	31		31
107375	88.51	88.70	0.19	tr.				tr.						216		216	32		32
107376	88.70	89.61	0.91	tr.				tr.						77		77	37		37
107377	89.61	90.71	1.10	tr.				tr.						69		69	27		27
107378	90.71	91.01	0.30	tr.				tr.						57		57	35		35
107379	91.01	91.71	0.70	tr.				tr.						70		70	49		49
107380	91.71	91.90	0.19	tr.				tr.						66		66	41		41
107381	91.90	92.17	0.27	tr.				tr.						80		80	64		64
107382	92.17	93.15	0.98	tr.				tr.						64		64	109		109
107383	93.15	93.27	0.12	tr.				tr.						42		42	76		76
107384	93.27	93.42	0.15	tr.				tr.						37		37	61		61
107385	93.42	94.37	0.95	tr.				tr.						57		57	54		54
107386	94.37	95.40	1.03	tr.				tr.						50		50	33		33
107387	95.40	96.32	0.92	tr.				tr.						66		66	41		41
107388	96.32	96.93	0.61	tr.				tr.						66		66	43		43
107389	106.25	106.65	0.40	tr.				tr.						77		77	44		44
107390	112.07	112.38	0.31	tr.				tr.						240		240	44		44
107391	112.07	112.38	0.31	tr.				tr.						44		44	50		50
107392	116.28	116.43	0.15	tr.				tr.						43		43	44		44
107393	116.83	118.26	1.43	tr.				tr.						51		51	52		52
107394	118.26	119.79	1.53	tr.				tr.						33		33	35		35
107395	131.31	131.55	0.24	tr.				tr.						49		49	46		46
107396	134.02	134.36	0.34	tr.				tr.						76		76	35		35
107397	136.52	137.37	0.85	tr.				tr.						45		45	55		55
107398	137.37	138.23	0.86	tr.				tr.						45		45	50		50
107399	138.23	138.78	0.55	tr.				tr.						45		45	50		50
107400	138.78	139.78	1.00	tr.				tr.						70		70	54		54
107401	139.78	140.21	0.43	tr.				tr.						112		112	68		68
107402	140.21	142.04	1.83	tr.				tr.						57		57	51		51
107403	154.93	155.08	0.15	tr.				tr.						1300		1300	42		42
107404	155.08	156.06	0.98	tr.				tr.						80		80	49		49
107405	161.42	161.85	0.43	tr.				tr.						106		106	50		50
107406	166.42	167.94	1.52	tr.				tr.						66		66	39		39
107407	172.88	173.13	0.25	tr.				tr.						92		92	39		39
107408	176.17	177.33	1.16	tr.				tr.						70		70	44		44
107409	183.12	184.56	1.44	tr.				tr.						57		57	39		39

MINNOVA INC. DIVISION EXPLORATION

ECHANTILLON	DE (m)	A (m)	LONGUEUR (m)	Au(OP1) ppb	Au(OP2) ppb	Au(R-1) ppb	Au(R-2) ppb	Au(MOY) ppb	Ag ppm	As(CH) ppm	Sb(CH) ppm	Mo(CH) ppm	Pb(CH) ppm	Cu(OP) ppm	Cu(CH) ppm	Cu(MOY) ppm	Zn(OP) ppm	Zn(CH) ppm	Zn(MOY) ppm
107409	194.71	195.25	0.54	tr.				tr.						70		70	59		59
107410	204.52	205.22	0.70	tr.				tr.						50		50	54		54
107411	205.22	206.26	1.04	tr.				tr.						39		39	51		51
107412	212.14	212.63	0.49	tr.				tr.						42		42	60		60
107413	212.63	213.15	0.52	tr.				tr.						40		40	57		57
107414	213.15	213.76	0.61	tr.				tr.						50		50	29		29
107415	217.32	217.81	0.49	tr.				tr.						172		172	31		31
107416	226.37	226.65	0.28	tr.				tr.						60		60	27		27
107417	238.14	238.41	0.27	tr.				tr.						60		60	39		39
107418	249.45	249.72	0.27	tr.				tr.						94		94	32		32
107419	252.86	253.23	0.37	tr.				tr.						106		106	41		41
107420	256.15	256.52	0.37	tr.				tr.						130		130	32		32
107421	256.52	256.89	0.37	tr.				tr.						527		527	36		36
107422	271.85	272.34	0.49	tr.				tr.						227		227	22		22
107423	275.26	275.63	0.37	tr.				tr.						79		79	25		25

MINNOVA INC. DIVISION EXPLORATION

COMPAGNIE : MINNOVA INC. DIVISION EXPLORATION PROJET : BOYVINET SONDAGE : BV-32 IMPRIMÉ LE : 16 avril 1992
 CANTON : LESUEUR RANG : - LOT : - CLAIM : 383714-2 SNRC : 32F/9 ZONE : B1* NO. RÉFÉRENCE :

COORDONNÉES AU COLLET GRILLE #1 GRILLE #2 GRILLE ARPENTÉE AZIMUT : 360° 0'
 LIGNE : 34+00M LIGNE : LIGNE : LATITUDE : -670.570 PLONGÉE : -45° 0'
 STATION : 22+00S STATION : STATION : LONGITUDE : -1036.320 PROFONDEUR DU COLLET : 0.00
 ÉLEVATION : 22.860 ÉLEVATION : 22.860 ÉLEVATION : 22.860 LONGUEUR : 181.66m.

GÉOLOGUE : PAUL GIRARD REMARQUES : DATE DU JOURNAL : 26 juillet 1990
 CONTRACTEUR : FORAGE BELAND DATE D'ARPENTAGE :
 DATE DE CIMENTAGE :
 FORAGE DÉBUTÉ LE : 24 juillet 1990
 TERMINÉ LE : 27 juillet 1990
 BUT : Tester discontinuité Mag EW en continuité avec intersection BV-04. TUBAGE LAISSÉ : Oui
 CIBLE :

DONNÉES D'ORIENTATION

Longueur	Azimuth	Plongée
64.31	360 0'	-46 0'
121.92 *	2 59'	-46 0'
180.14	6 0'	-47 0'

(*) azimuth estimé par le programme

MINNOVA INC. DIVISION EXPLORATION

DE (m)	A (m)	TEXTURE ET STRUCTURE	ALTÉRATION	MINÉRALISATION
0.00	3.05	MT		
3.05	181.66	<p>MORT-TERRAIN</p> <p>(120m,120)(#)(CL)</p> <p>SYENITE</p> <p>Variant de mélanocrate ± floue au début jusqu'à environ 221.70'(67.57m) à mésocrate de teinte rose à grise. Composée de 85 à 70% de feldspath hypidiomorphe à automorphe de 2-4mm localement flou et de 15-30% de minéraux mafiques hypidiomorphe à xénomorphe surtout interstitiels de 1-3mm. Faible magnétisme irrégulier sauf à partir d'environ 440'(134.11m) où les passages faiblement magnétiques sont plus fréquents et plus longs. Très peu de xénolites centimétriques mafiques.</p> <p>Les minéraux mafiques semblent chloritisés variablement. La première partie de la syénite qui est plus mélanocrate a une texture plus floue qui résulte probablement d'une silicification faible. L'hématite varie d'absente à extrême mais est généralement faible.</p> <p>Minéralisation généralement absente.</p>	<p>3.05 - 14.02 12D(M15)#+DM(SISR)VQZ</p> <p>SYENITE METASOMATISÉE</p> <p>Beige à orange à feldspath très flou, texture primaire généralement fortement oblitérée.</p> <p>Roche fortement fracturée, fracturation définie par veines et veinules de quartz blanc variant de millimétriques à 4cm (% variable) et plus rarement, très minces veinules de calcite ainsi que microfractures beigeâtres.</p> <p>Altération surtout en dolomie ou ankérite, donnant teinte beige à orangé (ou oxydation) et silice (aspect siliceux) ou souvent veinules ± diffuses. Séricitisation des mafiques?</p> <p>Minéralisation absente.</p> <p>3.05 - 4.88</p> <p>107424: #+DM+(Si)VQZ;</p> <p>Teinte orangé prononcée, dolomie ou ankérite ou oxydation forte + silice ± diffuse autour de veinules de quartz irrégulières formant 3% de la roche.</p> <p>Minéralisation absente.</p> <p>4.88 - 6.28</p>	

MINNOVA INC. DIVISION EXPLORATION

DE (m)	A (m)	TEXTURE ET STRUCTURE	ALTÉRATION	MINÉRALISATION
			<p>107425: Idem + VQZ; 6.28 - 6.92</p> <p>107426: #+Si(DMSR)VQZ; Texture primaire ± oblitérée. Roche surtout silicifiée à partir d'au moins 5% de veinules de quartz ≤ 1cm irrégulières. Dolomie locale + séricitisation locale des minéraux mafiques. Minéralisation absente. 6.92 - 8.23</p> <p>107427: #+DM(Si)VQZVQZ; Texture localement variable. Dolomie ou ankérite entre moyenne et forte, faible silice. Minéralisation absente. 8.23 - 8.50</p> <p>107428: 80%VQZ; 8.50 - 9.85</p> <p>107429: #CLSi(DM); Dolomie surtout restreinte en bordure de la fracturation. Le reste très flou gris foncé vert, non rayable (chlorite + silice?). 9.85 - 10.97</p> <p>107430: #+DM+(S;HM)VQZ; Environ 10% de veines de quartz = 1cm irrégulières. Teinte beige oblitérant la texture avec localement hématite (rouge). Pyrite en amas sur 1". 10.97 - 12.19</p> <p>107431: #+DM+(Si)?; Dolomie forte (teinte beige prononcé). 12.19 - 12.50</p> <p>107432: (#)CL(SiCC); Teinte gris vert, peu fracturée. Chlorite moyenne et silice faible. Calcite en fines veinules et faiblement disséminée. Minéralisation absente.</p>	

MINNOVA INC. DIVISION EXPLORATION

DE (m)	A (m)	TEXTURE ET STRUCTURE	ALTÉRATION	MINÉRALISATION
		<p>14.02 - 25.27 12Dm(♯)(CL)</p> <p>SYENITE MAFIQUE</p> <p>Roche gris-rose à rose composée de 80-85% de feldspath hypidiomorphe à automorphe flou généralement rosé de 2-4mm et de 15 à 20% de minéraux mafiques hypidiomorphes à xénomorphes surtout interstitiels.</p> <p>Chloritisation partielle des mafiques. Hématite variant de très faible à moyenne localement. Silice probablement présente donnant l'aspect flou.</p> <p>Minéralisation absente.</p>	<p>12.50 - 13.29</p> <p>107433: #CL(SiCCDM)VCCCL; Nombreuses minces veinules de chlorite/calcite bordées de dolomie. Minéralisation absente.</p> <p>13.29 - 14.02</p> <p>107434: #DM(HM); Microfracturation forte, teinte beige rougeâtre. Quelques minces veinules de quartz et très minces veinules de calcite/chlorite. Dolomie entre moyenne et forte et hématite entre faible et moyenne. Minéralisation absente.</p> <p>19.51 - 25.27 (CLCCSi?HM)</p> <p>SYENITE FAIBLEMENT ALTEREE</p> <p>Texture assez floue due à une altération en chlorite entre moyenne et faible et calcite faible ± diffuse. Possiblement faible silice. Teinte rouge plus prononcée.</p> <p>21.31 - 22.19</p> <p>107435: #HM(Si?)VCLCCVQZ; Texture floue, rouge avec nombreuses veinules irrégulières de chlorite/calcite et quelques veinules ≤ 1cm de quartz. Altération surtout sous forme d'hématite diffuse. Traces de pyrite.</p> <p>23.74 - 25.27</p> <p>85973: 12DHMCC(PY)</p>	

MINNOVA INC. DIVISION EXPLORATION

DE (m)	A (m)	TEXTURE ET STRUCTURE	ALTÉRATION	MINÉRALISATION
			<p>Syénite, phanéritique moyen, I.C. ~ 10 Altération moyenne en calcite et hématite. Traces de pyrite fine.</p> <p>25.27 - 38.16 I2D(M15)#HM(Si)vCLCC</p> <p>SYENITE METASOMATISEE</p> <p>Rouge à rouge beige dont la texture est généralement fortement oblitérée.</p> <p>La fracturation est assez bien définie par microfractures remplies de chlorite/calcite avec veines/veinules de quartz irrégulier.</p> <p>Altération en hématite variant de faible à forte et silice de faible à moyenne (très localement forte).</p> <p>Traces à légèrement supérieure de pyrite fine.</p> <p>25.27 - 26.12</p> <p>107436: I2D(M15)#HM(Si)vCLCCvQ2; Syénite à texture très floue rouge avec nombreuses microfracturations de chlorite/calcite et quelques veines/veinules de quartz ≤ 2cm. Hématite moyenne avec silice faible diffuse. Traces de pyrite jusqu'à 6mm.</p> <p>26.12 - 26.67</p> <p>107437: I2D(M15)#*SiHM(PY)vCLCC; Teinte légèrement moins rouge à aspect plus siliceux. Fracturation mieux développée. Silice et hématite moyennes. Séricite très faible. Pyrite supérieure à traces.</p> <p>26.67 - 27.92</p> <p>107438: M15#*Si(HM)(CC)vQ2; Teinte beige hétérogène, roche fortement fracturée par microfractures et veinules ≤ 1cm ± diffuses de quartz. Silice varie de moyenne à forte et hématite entre faible et moyenne. Calcite faible diffuse. Traces de pyrite.</p> <p>27.92 - 29.57</p> <p>107439: M15#SiHMvQ2vCL; Texture oblitérée rouge beige à aspect siliceux. Microfractures et veinules de chlorite minces et quelques veinules < 4mm de quartz. Rares veinules de feldspath.</p>	

MINNOVA INC. DIVISION EXPLORATION

JE (m)	A (m)	TEXTURE ET STRUCTURE	ALTÉRATION	MINÉRALISATION
			<p>Silice et hématite moyennes diffuses. Séricite locale. Traces de pyrite.</p> <p>29.57 - 30.14</p> <p>107440: M15#*HM+SivCL; Teinte rouge et rouge-beige hétérogène fortement fracturée par microfractures et veinules de chlorite ± calcite. Hématite variant de forte à moyenne et silice moyenne. Séricite locale. Traces de pyrite.</p> <p>30.14 - 30.42</p> <p>107441: VQZ?(HMSR); Veine de quartz (ou altération) rose avec séricite = 2mm. Hématite faible et séricite faible (ou silice extrême?). Minéralisation absente.</p> <p>30.42 - 31.73</p> <p>107442: M15#*HMSivCLCC; Texture primaire fortement oblitérée, couleur rouge-beige avec fracturation forte définie par microfracture et veinules de chlorite/calcite. Hématite et silice moyennes diffuses hétérogènes. Traces de pyrite.</p> <p>31.73 - 33.01</p> <p>107443: M15#CLSiHM(PY)VQZCL; Teinte très hétérogène variant de vert gris à beige à rouge. Altération hétérogène et variable en chlorite, silice et hématite. Pyrite supérieure à traces.</p> <p>33.01 - 34.29</p> <p>107444: Idem;</p> <p>34.29 - 35.43</p> <p>107445: M15#*HMSi(CLCC)(PY)VCLCC; Nombreuses veinules irrégulières et discontinues de chlorite/calcite. Altération hétérogène en hématite, silice avec chlorite, calcite ± diffuse faible. Traces à 0.5% de pyrite très fine.</p>	

MINNOVA INC. DIVISION EXPLORATION

DE (m)	A (m)	TEXTURE ET STRUCTURE	ALTÉRATION	MINÉRALISATION
			<p>35.48 - 36.27</p> <p>107446: M15(≠)HM+Si++vCC; Veine de quartz/hématite ou altération extrême? ressemble plutôt à une altération car la on aperçoit des secteurs textuellement identiques peu altérés de composition syénitique. Un contact peu altéré/altéré semble recouper des grains de feldspath communs aux deux faciès. Altération extrême en silice et hématite. Traces de pyrite.</p> <p>36.27 - 38.16</p> <p>107447: 120(M15)HM(SiCLCC)vCCvCLCC; Texture plus visible. Nombreuses veinules de calcite et de chlorite/calcite. Hématisation affecte surtout le feldspath, mais hématisation diffuse également présente. Altération en chlorite/calcite des minéraux mafiques est observée lorsque ces minéraux sont définis. Traces de pyrite.</p> <p>38.16 - 47.34 (#)(SiHMCLCC)</p> <p>SYENITE FAIBLEMENT ALTERÉE</p> <p>Passage d'altération variable en silice, hématite, chlorite, calcite variant de faible à absente.</p> <p>Minéralisation absente.</p> <p>38.16 - 39.68</p> <p>85974: 120HMCCvQ2 Syénite, phanéritique moyen, I.C. -15. Roche non foliée. Altération moyenne en calcite et hématite. 2% de veinules de quartz gris. Quelques veinules de chlorite. Minéralisation absente</p> <p>62.03 - 63.31</p> <p>107448: (=)(#)CL(DCHM); Foliation faible définie grossièrement par plans de chlorite et alignement de feldspath surtout au centre de l'intervalle. Chloritisation entre faible et moyenne. Calcite et hématite de faibles à très faibles. Minéralisation absente.</p> <p>63.31 - 63.89</p>	

MINNOVA INC. DIVISION EXPLORATION

A (m)	TEXTURE ET STRUCTURE	ALTÉRATION	MINÉRALISATION
		<p>107449: #(CLCCHM); Texture assez floue. Chlorite, calcite et hématite faibles. Minéralisation absente.</p> <p>63.89 - 64.56</p> <p>107450: #+(CLCCHM); Fracturation forte définie par nombreuses veinules irrégulières de chlorite/calcite et quelques veinules de quartz/hématite. Altération faible en chlorite, calcite et hématite.</p> <p>64.56 - 65.87</p> <p>107451: #(CLCCHM)VQZ; Veine de quartz ≥ 1cm assez irrégulière parallèle à A.C. avec syénite assez floue, similaire à auparavant. Minéralisation absente.</p> <p>67.21 - 67.57 (CLCC)?</p> <p>Texture floue gris verdâtre. Chlorite et calcite faibles donnant aspect flou?</p> <p>91.41 - 92.93</p> <p>85975: 12F(CC) Monzonite à grains moyens, I.C. ~10. Texture porphyrique, constituée d'environ 65% phénocristaux de feldspath blanc souvent zoné (plagioclase) et de feldspath rougeâtre (potassique), de 35% de matrice à grains fins avec 50% de minéraux felsiques et 50% de minéraux mafiques. Roche massive, non foliée. Faible altération en calcite localement. Minéralisation absente</p> <p>92.93 - 93.67</p> <p>107452: #(SiCLCC); Texture assez floue, couleur gris verdâtre. Silice, chlorite et calcite faibles ± selon microfracturation. Minéralisation absente.</p> <p>93.67 - 95.40</p> <p>85976: 12D(CC) Monzonite (syénite?) à grains moyens, I.C. ~15. Texture</p>	

MINNOVA INC. DIVISION EXPLORATION

DE (m)	A (m)	TEXTURE ET STRUCTURE	ALTÉRATION	MINÉRALISATION
			<p>porphyrique, 30% de matrice à grains fins. Texture fluidale localement. Roche massive, non foliée. Hématisation moyenne localement. Microveinules de calcite. Minéralisation absente</p> <p>95.40 - 95.65</p> <p>107453: #(Si)VQ2; Veine de quartz de 7mm, texture ± floue, couleur gris rose. Altération surtout en silice.</p> <p>96.23 - 97.17</p> <p>107454: #SiHM(CL); texture très hétérogène oblitérée et non, variant de rouge à gris verdâtre. Silice et hématite ± diffuses tandis que chlorite plus selon fracturation. Minéralisation absente.</p> <p>97.17 - 97.84</p> <p>107455: #Si(CL); texture floue, couleur gris verdâtre avec faible teinte rose mauve. Nombreuses microfractures chloriteuses ± calcite. Silice diffuse tandis que chlorite surtout restreinte à la microfracturation ± calcite. Hématite très faible.</p> <p>99.82 - 122.53 (HM)</p> <p>SYENITE ROSE</p> <p>Teinte rose de feldspath plus prononcé que la syénite en général. A partir de 402.0' (122.53m), hématisation de faible à très faible.</p> <p>110.19 - 111.10</p> <p>107456: (#)(CLCCHM); texture ± floue, couleur gris verdâtre. Altération surtout des mafiques en chlorite, calcite rendant la texture en général floue, hématite faible à très faible. Minéralisation absente.</p> <p>111.10 - 112.17</p> <p>107457: Idem;</p>	

MINNOVA INC. DIVISION EXPLORATION

DE (m)	A (m)	TEXTURE ET STRUCTURE	ALTÉRATION	MINÉRALISATION
		<p>122.62 - 134.11 Zone xénolitique</p> <p>INTERVALLE XENOLITIQUE</p> <p>Passage où les xénolithes mafiques (microgabbro ou basalte) sont plus abondants, soit à intervalles décimétriques.</p>	<p>112.17 - 113.29</p> <p>107458: (#)HM+vEP; Feldspath encore visible dans roche rouge. Quelques minces veinules d'épidote. Altération forte en hématite en contact assez net avec syénite faiblement hématisée. Le contact irrégulier parallèle à A.C. Plutôt injection qu'altération. Minéralisation absente.</p> <p>118.11 - 122.62</p> <p>vEP; Rares veinules d'épidote ≤ 2mm formant moins de 1% de la roche.</p> <p>124.08 - 124.72</p> <p>107459: (Si); Aspect flou grisâtre due à l'altération entre faible et moyenne en silice.</p> <p>125.97 - 126.34</p> <p>107460: 5%VOZHM; Environ 5% de la roche est composée d'une veine ≈ 1cm de quartz rouge devenant anastomosée. Minéralisation absente.</p> <p>137.22 - 137.89</p> <p>107461: (#)HM(CL); Hématite au moins moyenne, diffuse ou contrôlée par la fracturation. Chloritisation des mafiques. Minéralisation absente.</p> <p>138.90 - 139.39</p> <p>107462: #HM*(CL)vCL; Texture complètement oblitérée, couleur rouge brique au centre de l'intervalle. Fracturation assez dense, chloriteuse. Hématite variant de moyenne à forte. Minéralisation absente.</p>	

MINNOVA INC. DIVISION EXPLORATION

A (m)	TEXTURE ET STRUCTURE	ALTÉRATION	MINÉRALISATION
		<p>139.39 - 139.75</p> <p>85977: I2D/12F Syénite/monzonite phanéritique moyen, I.C. 15. Feldspath souvent zonés. Roche massive, non foliée. Hématite moyenne localement. Microveinules de calcite. Minéralisation absente</p> <p>139.75 - 139.90 I2D(HM)MG++PYCP</p> <p>107463: Xénolite de 5cm, dyke ou altération noire extrêmement magnétique. Mince veine de pyrite et/ou chalcopryrite dans xénolites.</p> <p>139.90 - 141.43</p> <p>85978: Monzonite, phanéritique moyen, I.C. 15. Feldspath blanc souvent zoné (plagioclase) et feldspath rougeâtre (potassique) en proportions semblables. Roche massive, non foliée. Faible hématite au début de l'échantillon.</p> <p>142.95 - 143.47</p> <p>107464: (#;Si(HM); Texture floue beigeâtre. Silice diffuse moyenne, hématite faible. Minéralisation absente.</p> <p>143.93 - 144.63</p> <p>107465: #Si(HMCL)vCL; Texture très floue rose à gris vert. Microfracturation et fracturation chloriteuses. Silice moyenne et hématite et chlorite faibles. Minéralisation absente.</p> <p>144.63 - 145.45</p> <p>107466: #Si(CCHMCL); Texture très floue, couleur gris rose avec microfracturation chloriteuse. Altération surtout en silice avec calcite faible et hématite de faible à très faible. Minéralisation absente.</p> <p>145.45 - 146.88</p> <p>107467: #Si(CCHMCL)vQZ; Idem avec quelques veines/veinules de quartz localement</p>	

MINNOVA INC. DIVISION EXPLORATION

DE (m)	A (m)	TEXTURE ET STRUCTURE	ALTÉRATION	MINÉRALISATION
			<p>± diffus. Traces de pyrite.</p> <p>146.88 - 147.83</p> <p>107468: (SiHMCL); Texture relativement nette, couleur beige rose, très peu fracturée. Silice et hématite faibles. Chlorite partielles des mafiques. Minéralisation absente.</p> <p>147.83 - 148.77</p> <p>107469: Idem.</p> <p>148.77 - 149.60</p> <p>107470: (#)(SiCC)vCL; Texture ± floue. Fines veines de chlorite discontinues. Calcite et silice faibles, chloritisation des mafiques. Hématite très faible. Minéralisation absente.</p> <p>150.72 - 152.43</p> <p>107471: (#)(SiCLCCHM); Texture assez floue, couleur gris rosâtre. Silice, chlorite, calcite et hématite faibles. Minéralisation absente.</p> <p>153.31 - 154.50</p> <p>107472: Idem.</p> <p>154.50 - 155.69</p> <p>107473: (#)SiCL?; Texture fortement oblitérée, couleur grise. Seuls quelques îlots montrent encore une texture intrusive primaire. Altération surtout en silice? chlorite? Minéralisation absente.</p> <p>165.45 - 165.63</p> <p>vEP; Environ 1% de fines veinules d'épidote.</p> <p>175.84 - 176.63</p>	

MINNOVA INC. DIVISION EXPLORATION

DE (m)	A (m)	TEXTURE ET STRUCTURE	ALTÉRATION	MINÉRALISATION
		179.53 - 179.65 13ACL(CC)(PY)vCC	<p>VQZ; Veine de quartz = 1cm ± parallèle à A.C. dans syénite rose pâle relativement fraîche.</p> <p>178.61 - 178.73</p> <p>107474: (#)(Si); Texture ± floue à aspect siliceux, couleur gris rosâtre. Altération surtout en silice faible avec hématite et calcite très faibles. Traces de pyrite.</p> <p>178.95 - 179.53</p> <p>107475: (#)HMà(HMCL)vEP; Texture ± floue, couleur rose-rouge avec quelques minces veinules d'épidote. Hématite de faible à moyenne. Chloritisation des mafiques. Très faible calcite. Silice? Minéralisation absente.</p>	
		<p>107476: 13ACL(CC)(PY)vCC Dyke ou xénolithe de gabbro gris foncé. Texture phanéritique très floue, facilement rayable. Fracturation continue de syénite à gabbro. Contact net mais irrégulier. Veinule de calcite mauvâtre. Chlorite au moins moyenne et calcite faible ± diffuse. Pyrite supérieure à traces.</p>	<p>179.65 - 180.29</p> <p>107477: Texture ± floue, couleur rose gris. Certains feldspaths légèrement épidotisés, d'autres légèrement hématisés. Silice diffuse faible à très faible. Minéralisation absente.</p>	
		<p>180.29 - 181.66 12J7(13A)(MG)CL(PY)/12Dm7(PY)</p> <p>107478: Zone de xénolites jusqu'à métriques, de diorite ou microgabbro? Assimilation au contact avec la syénite. La syénite a une texture très floue plus mafique? La diorite ou le microgabbro est gris vert moyen, rayable, finement grenu, à 1-2mm, composé grossièrement de 30% de feldspath blanc ± flou et de 70% de minéraux mafiques xénomorphes massifs. Quelques veinules de calcite.</p> <p>Altération surtout en chlorite au moins moyenne, affecte la diorite ou microgabbro.</p>		

MINNOVA INC. DIVISION EXPLORATION

DE (m)	A (m)	TEXTURE ET STRUCTURE	ALTÉRATION	MINÉRALISATION
		<p>Pyrite de traces à 2% surtout au début de l'échantillon dans les 2 lithologies.</p> <p>181.66m (596.00'): FIN DU TROU</p>		
181.66	FIN DU TROU			

MINNOVA INC. DIVISION EXPLORATION

ECHANTILLON	DE (m)	A (m)	LONGUEUR (m)	Au(OP1) ppb	Au(OP2) ppb	Au(R-1) ppb	Au(R-2) ppb	Au(MOY) ppb	Ag ppm	As(CH) ppm	Sb(CH) ppm	Mo(CH) ppm	Pb(CH) ppm	Cu(OP) ppm	Cu(CH) ppm	Cu(MOY) ppm	Zn(OP) ppm	Zn(CH) ppm	Zn(MOY) ppm
107424	3.05	4.88	1.83	tr.				tr.						46		46	42		42
107425	4.88	6.28	1.40	tr.				tr.						64		64	45		45
107426	6.28	6.92	0.64	tr.				tr.						330		330	49		49
107427	6.92	8.23	1.31	tr.				tr.						45		45	42		42
107428	8.23	8.50	0.27	tr.				tr.						60		60	27		27
107429	8.50	9.85	1.35	tr.				tr.						50		50	39		39
107430	9.85	10.97	1.12	tr.				tr.						60		60	40		40
107431	10.97	12.19	1.22	tr.				tr.						56		56	47		47
107432	12.19	12.50	0.31	tr.				tr.						49		49	33		33
107433	12.50	13.29	0.79	tr.				tr.						47		47	40		40
107434	13.29	14.02	0.73	tr.				tr.						45		45	43		43
107435	21.31	22.19	0.88	tr.				tr.						40		40	35		35
85973	23.74	25.27	1.53	tr.				tr.						54		54	48		48
107436	25.27	26.12	0.85	377				377						42		42	23		23
107437	26.12	26.67	0.55	891				891						35		35	34		34
107438	26.67	27.92	1.25	480				480						43		43	46		46
107439	27.92	29.57	1.65	754		1470	1270	1165						37		37	45		45
107440	29.57	30.14	0.57	480		670	800	650						37		37	47		47
107441	30.14	30.42	0.28	8709	11361	5400	10025	41						41		41	31		31
107442	30.42	31.73	1.31	2160		1200	1530	39						39		39	45		45
107443	31.73	33.01	1.28	857		150	429	47						47		47	46		46
107444	33.01	34.29	1.28	569			280	429						43		43	39		39
107445	34.29	35.48	1.19	tr.				tr.						44		44	31		31
107446	35.48	36.27	0.79	tr.				tr.						50		50	25		25
107447	36.27	38.16	1.89	274				274						42		42	27		27
85974	38.16	39.68	1.52	411				411						46		46	44		44
107448	62.03	63.31	1.28	tr.				tr.						47		47	54		54
107449	63.31	63.89	0.58	tr.				tr.						27		27	29		29
107450	63.89	64.56	0.67	tr.				tr.						23		23	27		27
107451	64.56	65.87	1.31	tr.				tr.						25		25	22		22
85975	91.41	92.93	1.52	tr.				tr.						46		46	30		30
107452	92.93	93.67	0.74	274				274						27		27	36		36
85976	93.67	95.40	1.73	tr.				tr.						40		40	45		45
107453	95.40	95.65	0.25	tr.				tr.						26		26	30		30
107454	96.23	97.17	0.94	tr.				tr.						29		29	45		45
107455	97.17	97.84	0.67	tr.				tr.						21		21	29		29
107456	110.19	111.10	0.91	tr.				tr.						22		22	32		32
107457	111.10	112.17	1.07	tr.				tr.						24		24	17		17
107458	112.17	113.29	1.12	tr.				tr.						39		39	21		21
107459	124.08	124.72	0.64	tr.				tr.						35		35	12		12
107460	125.97	126.34	0.37	tr.				tr.						36		36	15		15
107461	137.22	137.89	0.67	tr.				tr.						57		57	32		32
107462	138.90	139.39	0.49	tr.				tr.						37		37	29		29
85977	139.39	139.75	0.36	tr.				tr.						77		77	57		57
107463	139.75	139.90	0.15	240				240						3230		3230	49		49
85978	139.90	141.43	1.53	tr.				tr.						50		50	40		40
107464	142.95	143.47	0.52	tr.				tr.						56		56	20		20
107465	143.93	144.63	0.70	tr.				tr.						37		37	40		40
107466	144.63	145.45	0.82	tr.				tr.						30		30	21		21
107467	145.45	146.88	1.43	274				274						26		26	24		24
107468	146.88	147.83	0.95	tr.				tr.						35		35	12		12
107469	147.83	148.77	0.94	tr.				tr.						33		33	12		12

MINNOVA INC. DIVISION EXPLORATION

ECHANTILLON	DE (m)	A (m)	LONGUEUR (m)	Au(OP1) ppb	Au(OP2) ppb	Au(R-1) ppb	Au(R-2) ppb	Au(MOY) ppb	Ag ppm	As(CH) ppm	Sb(CH) ppm	Mo(CH) ppm	Pb(CH) ppm	Cu(OP) ppm	Cu(CH) ppm	Cu(MOY) ppm	Zn(OP) ppm	Zn(CH) ppm	Zn(MOY) ppm
1074.70	148.77	149.60	0.83	tr.				tr.						75		75	34		34
1074.71	150.72	152.43	1.71	tr.				tr.						27		27	36		36
1074.72	153.31	154.50	1.19	tr.				tr.						27		27	27		27
1074.73	154.50	155.69	1.19	tr.				tr.						46		46	29		29
1074.74	178.61	178.73	0.12	tr.				tr.						42		42	42		42
1074.75	178.95	179.53	0.58	tr.				tr.						35		35	27		27
1074.76	179.53	179.65	0.12	tr.				tr.						44		44	34		34
1074.77	179.65	180.29	0.64	tr.				tr.						36		36	49		49
1074.78	180.29	181.66	1.37	tr.				tr.						55		55	81		81

MINNOVA INC. DIVISION EXPLORATION

COMPAGNIE : MINNOVA INC.	DIVISION EXPLORATION	PROJET : BOYVINET	SONDAGE : BV-33	IMPRIMÉ LE : 16 avril 1992
CANTON : GAND	RANG : -	LOT : -	CLAIM : 382746-3	SNRC : 320/12
			ZONE : B1	NO. RÉFÉRENCE :
<u>COORDONNÉES AU COLLET</u>	GRILLE #1 LIGNE : 44+00E STATION : 24+00N ÉLEVATION : 6.100	GRILLE #2 LIGNE : STATION : ÉLEVATION : 6.100	GRILLE ARPENTÉE LATITUDE : 731.520 LONGITUDE : 1341.120 ÉLEVATION : 6.100	AZIMUT : 140° 0' PLONGÉE : -60° 0' PROFONDEUR DU COLLET : 0.00 LONGUEUR : 590.09m.
GÉOLOGUE : P. GIRARD		REMARQUES :		DATE DU JOURNAL : 10 août 1990
CONTRACTEUR : FORAGE BELAND				DATE D'ARPENTAGE :
				DATE DE CIMENTAGE :
BUT : Tester l'intersection de la zone de fracturation est avec ka ZDLS et la syénite.				FORAGE DÉBUTÉ LE : 28 juillet 1990
CIBLE :				TERMINÉ LE : 09 août 1990
				TUBAGE LATSSÉ : Oui

DONNÉES D'ORIENTATION

Longueur Azimut Plongée

0.00	140 0'	-60 0'
61.26	143 0'	-62 0'
121.92	*144 59'	-62 0'
183.18	147 0'	-62 0'
243.84	*147 30'	-62 0'
305.10	148 0'	-63 0'
365.76	*151 31'	-63 0'
460.55	157 0'	-65 0'
487.68	*159 23'	-70 0'
585.52	168 0'	-65 0'

(*) azimut estimé par le programme

MINNOVA INC. DIVISION EXPLORATION

DE (m)	A (m)	TEXTURE ET STRUCTURE	ALTÉRATION	MINÉRALISATION
0.00	12.19	MT MORT-TERRAIN		
12.19	164.93	<p>13A(♯)(CL)(BO)?</p> <p>GABBRO MESOCRATE</p> <p>Gabbro vert moyen en général à aspect ± frais (variant de pâle à foncé), non magnétique, composé de 35%-45% de feldspath et le reste de minéraux mafiques généralement altérés. Les minéraux sont moyennement grenus; 2-3mm xénomorphes, localement hypidiomorphes et très rarement automorphes.</p> <p>La fracturation est généralement faible à très faible définie surtout par veines/veinules de calcite irrégulières et discontinues. La foliation est présente localement jusqu'à forte définie par plan chloriteux et plus rarement.</p> <p>Altération en chlorite au moins faible sur l'ensemble avec de nombreux passages variant de moyens à forts. Ces passages sont généralement foliés. On retrouve aussi localement épidote et calcite. Biotite omniprésente en faible % généralement très fine donnant teinte brunâtre pâle et localement ~ 1mm. Une partie du feldspath semble secondaire soit à partir d'injections ± duffuses.</p> <p>Minéralisation généralement absente.</p>	<p>12.19 - 12.95</p> <p>107479: #CC(CL)vQZ Texture fortement oblitérée par altération et injection % 1cm de quartz très irrégulière. Calcite diffuse avec localement aspect plus similaire à injection qu'à altération. Minéralisation absente.</p> <p>12.95 - 17.07</p> <p>(CCEPCL) Sausuritisation + calcite des mafiques en plus de la chloritisation.</p> <p>17.07 - 18.07</p> <p>107480: =*#CL+CC(LX)vQZ Zone à foliation bien développée gris foncé, bleuté? à texture intrusive complètement oblitérée. Foliation définie par septa de chlorite, microlithon de calcite, veinules? de quartz parallèles à la foliation fortement fracturées par la calcite. Altération forte en chlorite et calcite. Teinte bleutée due à ? minéraux jaunâtre allongés selon foliation? Leucoxène. Pyrite - 1% sur 2" (5.1cm).</p>	

MINNOVA INC. DIVISION EXPLORATION

DE (m)	A (m)	TEXTURE ET STRUCTURE	ALTÉRATION	MINÉRALISATION
			<p>18.07 - 18.71</p> <p>107481: =(#)CLCC(EP)?vCC Foliation assez bien définie par feldspath allongé aligné ainsi que par plan de chlorite. Altération moyenne en chlorite et calcite. Saussuritisation? Minéralisation absente.</p> <p>18.71 - 21.58</p> <p>CL(CC)vCC Texture ± floue vert moyen avec 2% de veinules de calcite très irrégulières et discontinues ≤ 1cm. Derniers .61m faiblement foliés. Altération moyenne en chlorite et faible en calcite ± diffuse. Minéralisation absente.</p> <p>26.55 - 27.40</p> <p>107482: (#)CL+vCC Texture presque complètement oblitérée vert foncé. Nombreuses fines veinules de calcite irrégulières dont une de 5,1cm massive. Altération forte en chlorite. Traces de pyrite.</p> <p>27.40 - 28.96</p> <p>(CLEP); Saussuritisation assez forte. 107483: 95.00 - 95.00(28.35 - 28.96m); =(CLCCEP)vCC Trois veinules de calcite ≤ 1cm. Foliation moyenne définie par plan de chlorite et alignement de feldspath verdâtre. Minéralisation absente.</p>	
		<p>29.93 - 30.05 vcc(14P)?</p> <p>VEINE DE CALCITE CARBONATITIQUE</p> <p>107484: Veine de calcite (carbonatitique?) très fine irrégulière avec nombreux fragments d'encaissant.</p>	<p>30.05 - 31.24</p> <p>107485: (#)CL(CCEP)vCC Texture assez floue vert moyen avec ~ 5% de cristaux mafiques ~ 3mm. Quelques veinules ≤ 1cm irrégulières. Foliation faible sur les quatre premiers pouces (10.2cm).</p>	

MINNOVA INC. DIVISION EXPLORATION

DE (m)	A (m)	TEXTURE ET STRUCTURE	ALTÉRATION	MINÉRALISATION
		<p>34.99 - 35.08 vcc(I4P)</p> <p>INJECTION DE CALCITE CARBONATITIQUE</p>	<p>Altération moyenne en chlorite et faible en calcite et épidote. Minéralisation absente.</p> <p>34.56 - 34.87</p> <p>107486: (#)(CC)+?vcc Texture très floue vert pâle, rayable. Altération faible à très faible en calcite. Teinte pâle due à ?. Minéralisation absente.</p> <p>34.87 - 34.99</p> <p>CL(CC) Foliation moyenne définie par alignement du feldspath allongé.</p> <p>35.08 - 35.27</p> <p>LX Cristaux beigâtres? ~ 5% leucoxène.</p> <p>38.50 - 39.01</p> <p>107487: #CLvcc(QZ) Texture très floue avec ~ 10% d'injections de calcite fine et/ou de quartz.</p> <p>41.30 - 42.67</p> <p>107488: #CLCC vcc Foliation assez bien définie similaire. Septa chlorite, microlithe, calcite avec injection irrégulière de calcite fine ≤ 1cm ~ 3%. Altération moyenne en chlorite et calcite. Minéralisation absente.</p> <p>44.14 - 44.44</p> <p>107489: #CLSivQZ Altération diffuse en silice à partir de fines veinules de quartz.</p> <p>47.09 - 47.40</p> <p>107490: #Si(CL)vcc Altération en silice? ± diffuse et moyenne-faible en</p>	

MINNOVA INC. DIVISION EXPLORATION

DE (m)	A (m)	TEXTURE ET STRUCTURE	ALTÉRATION	MINÉRALISATION
			<p>chlorite.</p> <p>49.01 - 49.68</p> <p>107491: =FP(RB) ± flou Texture d'altération? de feldspath grossier (pegmatite?) environ 35% de feldspath 5-8mm vert très pâle hypidiomorphe dans mafique fin moyen. Feldspath imprégné + riebeckite surtout en bordure. Minéralisation absente.</p> <p>49.68 - 50.38</p> <p>107492: #AB?CLVCC Texture floue vert moyen avec veinules de calcite et veines de quartz de 1"(2.55cm). Altération en albite? ± diffuse surtout au début et ensuite chlorite.</p> <p>50.38 - 50.54</p> <p>107493: #Si(CL)vCL Minces veinules de chlorite. Altération siliceuse? non rayable beige-vert. Minéralisation absente.</p> <p>51.79 - 51.88</p> <p>107494: FP(CL) Injection ± diffuse de feldspath sur ~ 1" (2.55cm).</p> <p>54.92 - 55.60</p> <p>FP Imprégnation de feldspath jusqu'à 70% hypidiomorphe à xenomorphe 2mm en moyenne ± diffus diminuant lentement à partir de 182.60'(55.60m).</p> <p>55.60 - 58.52</p> <p>(RB?); Environ 3-5% de cristaux de 3-4mm noir bleuté mou; Riebeckite. 181.00' - 181.50'(55.17-55.32m) Lame mince. 190.80' - 191.10'(58.16-58.25m) Lame mince.</p> <p>59.74 - 63.46</p> <p>(FPEP) Environ 5% de tache ± diffuse ± 1cm de feldspath aphanitique (albite) et ± epidote.</p>	

MINNOVA INC. DIVISION EXPLORATION

DE (m)	A (m)	TEXTURE ET STRUCTURE	ALTÉRATION	MINÉRALISATION
		<p>70.56 - 70.62</p> <p>FP(RB) Dyke pegmatitique composé de 50% de feldspath vert pâle grossier jusqu'à 7-8mm généralement automorphe, d'environ 20% de minéraux mafiques automorphes mais de forme variable allongés à trapus et le reste de minéraux grisâtres grossiers altérés ou fins interstitiels? Altération faible en riébeckite. Traces de pyrite.</p>	<p>73.06 - 73.76</p> <p>107495: (=)CLSR?(CC)vCC Foliation mal définie par plans de chlorite et séricite? vert moyen à texture oblitérée avec nombreuses injections de calcite flou, irrégulières ≤ 1cm. Altération moyenne en chlorite et séricite? faible en calcite sauf où injections ± diffuses floues. Minéralisation absente.</p> <p>75.74 - 81.75</p> <p>1% vQZ Environ 1% de veine de quartz ~ 1cm net, dont une de 2" (5,1cm) d'albite + quartz.</p> <p>83.79 - 83.91</p> <p>107496: (#)(CL)(FP)?vQZ(PY) Teinte entre vert pâle et vert moyen comme la majeure partie de l'intervalle où une partie de feldspath semble secondaire. Altération faible en chlorite + FP? Pyrite en petits amas associée à veinules de quartz ± calcite.</p> <p>87.36 - 87.97</p> <p>107497: SR Texture assez oblitérée de teinte vert pâle rayable? Teinte vert pâle due à altération en séricite? Minéralisation absente.</p> <p>87.97 - 94.85 =CLSR(CC)(LX), 15% vCC(14P)(PY)</p> <p>ZONE FOLIEE A INJECTIONS DE CALCITE</p> <p>Zone à foliation variant de moyenne à forte définie par plans de chlorite et séricite ± anastomosée. Environ 15% d'injections de calcite blanc grisâtre très pâle</p>	

MINNOVA INC. DIVISION EXPLORATION

DE (m)	A (m)	TEXTURE ET STRUCTURE	ALTÉRATION	MINÉRALISATION
			<p>irrégulières et discontinues variant \leq 1cm à 1 1/2' (45,9cm). Altération moyenne à forte de la chlorite et séricite des feldspaths. Faible diffuse en calcite. 3% de leucoxène. Pyrite de traces à 0.5% associée aux injections de calcite.</p> <p>87.97 - 88.76</p> <p>107498: (=)CL(CC)vCC Minéralisation absente.</p> <p>88.76 - 89.25</p> <p>107499: vCC(14P)?(PY) Pyrite légèrement supérieure à traces.</p> <p>89.25 - 90.22</p> <p>107602: Type</p> <p>90.22 - 91.74</p> <p>107603: Type</p> <p>91.74 - 92.66</p> <p>107604: =(CL)+? vCC Foliation entre faible et moyenne définie par alignement du feldspath sauf à la fin de l'échantillon où mieux définie par plan de chlorite-séricite. Altération faible en chlorite + séricite + leucoxène. Minéralisation absente.</p> <p>92.66 - 92.84</p> <p>107605: vCC(14P) Pyrite en traces seulement.</p> <p>92.84 - 94.15</p> <p>107606: Type mais, ==</p> <p>94.15 - 94.85</p> <p>107607: Type</p>	<p>94.85 - 95.04 M15CC+CP15PY++</p>

MINNOVA INC. DIVISION EXPLORATION

DE (m)	A (m)	TEXTURE ET STRUCTURE	ALTÉRATION	MINÉRALISATION
			<p>95.04 - 96.32</p> <p>107609: CL(CC) Texture floue gris verdâtre. Altération moyenne en chlorite et faible en calcite. Minéralisation absente.</p> <p>96.32 - 108.20 (CLEP)vQZ</p> <p>Chlorite entre faible et moyenne et plus d'épidotisation partielle de feldspath. Moins de 1% de veines/veinules de quartz ~ 1cm.</p> <p>101.65 - 103.08</p> <p>107610: (=)#CL+vCC Vert foncé avec foliation mal définie floue. Injection de calcite très irrégulière à taille très variable allant jusqu'à 2-3cm. Altération assez forte en chlorite pour oblitérer la texture. Minéralisation absente.</p> <p>103.08 - 104.52</p> <p>107611: Idem.</p> <p>108.20 - 117.65 #CL+(LX)5%vCC</p> <p>MICROGABBRO? CHLORITISE</p> <p>Intervalle finement grenu vert moyen à vert foncé, possiblement basalte ou gabbro à texture oblitérée, contact graduel. Environ 5% d'injections irrégulières de calcite généralement ≤ 1cm. Fracturation surtout définie par injections de calcite avec foliation variable locale. Altération forte en chlorite avec traces à 7-8% de leucoxène généralement ~ 3mm allongé. Biotite toujours omniprésente fine à 2mm localement. Minéralisation absente.</p> <p>108.20 - 109.36</p> <p>107612: #CLvCC Texture grenue ± visible. Altération entre moyenne et forte en chlorite, faible</p>	<p>107608: Texture fortement altérée. Altération forte en calcite. Environ 20% de pyrite fine et chalcopyrite.</p>

MINNOVA INC. DIVISION EXPLORATION

DE (m)	A (m)	TEXTURE ET STRUCTURE	ALTÉRATION	MINÉRALISATION
			<p>en épidote. Peu de leucoxène. Minéralisation absente.</p> <p>109.36 - 110.46</p> <p>107613: #(=)+SR?(LX)10%vCC Foliation entre moyenne et faible définie par plan grossier de chlorite et alignement de leucogène. Altération forte en chlorite et possiblement séricite, avec faible % de leucoxène. Minéralisation absente.</p> <p>110.46 - 110.76</p> <p>107614: (#)=CL+LXvCC Environé 10% de leucoxène beige en bandes définissant foliation. Veinules minces de calcite plus minces et moins fréquentes. Altération forte en chlorite et leucoxène? ~ 10%. Minéralisation absente.</p> <p>110.79 - 111.31</p> <p>107615: (#)CL+(LX)(CC)vCC Calcite en minces veinules plus rares. Altération entre forte et moyenne en chlorite. ~ 5% de leucoxène plus grossier ou amas de 6-7mm. Calcite ± diffuse. Minéralisation absente.</p> <p>111.31 - 112.78</p> <p>107616: (#)CL+(LX)vCC Texture complètement oblitérée variant de vert foncé à foncé moyen avec ~ 3% de veinules de calcite irrégulières. Altération forte en chlorite, et environ 2-5% de leucoxène. Minéralisation absente.</p> <p>112.78 - 113.69</p> <p>107617: Idem + (EP) Idem avec épidotisation faible. Minéralisation absente.</p> <p>113.69 - 114.60</p> <p>107618: Idem à 107616.</p> <p>114.60 - 116.13</p>	

MINNOVA INC. DIVISION EXPLORATION

DE (m)	A (m)	TEXTURE ET STRUCTURE	ALTÉRATION	MINÉRALISATION
			<p>107619: Idem.</p> <p>116.13 - 117.65</p> <p>107620: Idem.</p> <p>117.65 - 123.08 =*#CL+LX 10% vCC</p> <p>ZONE DE DEFORMATION CHLORITISEE</p> <p>Zone de déformation vert foncé à foliation forte définie par plan de chlorite et alignement des leucoxènes. ~ 10% d'injections de calcite irrégulières habituellement. Altération forte en chlorite et environ 10% de leucoxène. Minéralisation absente.</p> <p>117.65 - 119.18</p> <p>107621:</p> <p>119.18 - 120.70</p> <p>107622:</p> <p>120.70 - 122.22</p> <p>107623:</p> <p>122.22 - 123.08</p> <p>107624:</p> <p>123.08 - 127.41 =(#)CL+CCLXSR?vQZ(CC)</p> <p>ZONE CHLORITISEE FOLIEE</p> <p>Zone moyennement foliée à orientation très variable vert foncé moyen, dont la foliation est définie par plan de chlorite-séricite? et alignement très bien définie des leucoxènes. Moins de 1% de veinules ≤ 1cm de quartz-calcite. Altération entre forte et moyenne en chlorite. Calcite ± diffuse, séricite probable vue la teinte plus claire. Environ 10% de leucoxène. Minéralisation absente.</p> <p>123.08 - 123.75</p> <p>107625:</p>	

MINNOVA INC. DIVISION EXPLORATION

DE (m)	A (m)	TEXTURE ET STRUCTURE	ALTÉRATION	MINÉRALISATION
			<p>123.75 - 125.27</p> <p>107626:</p> <p>125.27 - 126.80</p> <p>107627:</p> <p>126.80 - 127.41</p> <p>107628:</p> <p>127.41 - 131.12 (#)CL+CCLX</p> <p>MICROGABBRO? CHLORITISE A LEUCOXENE</p> <p>Passage encore à texture oblitérée vert moyen foncé pouvant être un gabbro ou basalte grenu. ~ 1% d'injections de calcite irrégulières minces.</p> <p>Altération forte en chlorite avec calcite diffuse moyenne et 7% de leucoxène beige ± en amas (ou xénomorphe) jusqu'à 7-8mm.</p> <p>Minéralisation absente.</p> <p>127.41 - 128.32</p> <p>107629: (PY)</p> <p>Pyrite 10% sur 1"(2.55cm) associée à une veine de calcite.</p> <p>128.32 - 129.84</p> <p>107630:</p> <p>129.84 - 131.12</p> <p>107631:</p> <p>131.12 - 133.93</p> <p>⇒(#)CL+CCLXvCC</p> <p>Idem sauf foliation bien définie par septa de chlorite et microlithon de calcite ainsi que leucoxène allongé selon foliation. Foliation plissotée de faible amplitude et longueur d'onde. % très variable d'injections de calcite généralement parallèles à la foliation. Sn ~ 40°.</p> <p>Altération forte en chlorite et moyenne en calcite ± diffuse et ~ 10% de leucoxène beige allongé.</p> <p>Traces pyrite.</p> <p>430.20 - 432.80</p> <p>107632: Type</p> <p>1% d'injections de calcite.</p>	

MINNOVA INC. DIVISION EXPLORATION

DE (m)	A (m)	TEXTURE ET STRUCTURE	ALTÉRATION	MINÉRALISATION
			<p>Minéralisation idem. Traces de pyrite. 432.80 - 435.70 107633: Type + 30% vCC Séricite? Traces pyrite. 435.70 - 439.40 107634: Type + 2% vCC</p> <p>133.87 - 148.59 (#)CL(EP)</p> <p>GABBRO MOYENNEMENT CHLORITISE</p> <p>Gabbro à texture ± floue vert moyen. Très peu de veinule de calcite. Altération moyenne en chlorite et faible en épidote ± diffuse. Très peu de leucoxène. Minéralisation absente.</p> <p>142.55 - 142.68</p> <p>107635: #EP+(CL) Altération surtout épidote avec nombreuses fractures très minces aléatoires remplies de chlorite. Albite? Minéralisation absente.</p> <p>146.40 - 146.61</p> <p>107636: #EPCL Altération similaire sauf moyenne en épidote et chlorite avec possiblement albite? Minéralisation absente?</p> <p>147.92 - 148.04</p> <p>107637: vQ2(#CL) Veine de quartz ± irrégulière.</p> <p>148.59 - 164.93 (#)CL+LXvCC</p> <p>GABBRO FORTEMENT CHLORITISE</p> <p>Gabbro à texture complètement oblitérée par l'altération vert foncé. Foliation de très faible à absente. Fracturation définie par environ 1-2% d'injections de calcite de microfractures à 1-2cm très irrégulières. Altération forte en chlorite diffuse avec de 3-7% de leucoxène beige xénomorphe. Minéralisation généralement absente avec 2% localement.</p> <p>148.99 - 152.40</p>	

MINNOVA INC. DIVISION EXPLORATION

DE (m)	A (m)	TEXTURE ET STRUCTURE	ALTÉRATION	MINÉRALISATION
164.93	175.11	<p>14MHGCCBovCC/M4=++CL++</p> <p>ZONE DE DEFORMATION LAC SHORTT?</p> <p>Zone mixte de lamprophyre et de gouge chloriteuse de faille par passages de plusieurs pieds. Environ 50% de chaque. Le lamprophyre est généralement fin - 1mm gris-brunâtre avec calcite interstitielle et probablement biotite vue la teinte. Environ 10% de minéraux mafiques légèrement plus grossiers - 2mm. Moyennement magnétique et recoupé de \leq 1% à 2-3% de veinules de calcite assez irrégulières. La gouge est vert moyen à foncé fortement foliée, extrêmement molle, composée essentiellement de chlorite. Minéralisation absente.</p>	<p>#CL(EP)vCC Altération de moyenne à forte en chlorite et faible en épidoite? avec ~ 3-4% de veinules de calcite. Très faible % de leucoxène.</p> <p>152.40 - 153.07</p> <p>107638: PY, 10% vCC 10% d'injections de calcite très irrégulières. 0.5-2% de pyrite de fine à amas de 5-6mm.</p> <p>153.80 - 154.14</p> <p>107638: (PY) - 0.5% de pyrite.</p>	<p>162.61 - 162.70</p> <p>107640: PY - 5% de pyrite fine en amas - 1cm ou veinules.</p> <p>163.80 - 164.01 M15#++HM+PY+vCC</p> <p>107641: Fracturation forte par nombreuses injections irrégulières de calcite bréchifiant presque la roche métasomatique rouge-beige. Altération en hématite et carbonate de fer??? Pyrite fine de 3-5% disséminée.</p> <p>164.01 - 164.93 M15#++HM+PYvCCvCL</p> <p>107642: Fracturation forte par nombreuses injections de calcite irrégulières ainsi que chlorite. Altération forte en hématite? 1-2% de pyrite fine disséminée ou associée à la calcite.</p>

MINNOVA INC. DIVISION EXPLORATION

DE (m)	A (m)	TEXTURE ET STRUCTURE	ALTÉRATION	MINÉRALISATION
175.11	319.16	<p>12J(LJFP(#))</p> <p>DIORITE PORPHYRIQUE A FELDSPATH</p> <p>Diorite porphyrique à phénocristaux de feldspath texture porphyrique, généralement floue à complètement oblitérée. Les passages les plus frais montrent une diorite composée d'environ 25% en moyenne de phénocristaux de feldspath habituellement de 3-5mm, semblent être automorphes mais flous. La matrice est gris-vert foncé très fine à aspect siliceux. Les passages plus altérés, voire métasomatiques, ont généralement une texture très hétérogène dont la teinte varie de vert pomme à rouge. La fracturation varie de faible à forte définie par fines veinules irrégulières de calcite parfois par des veinules de chlorite et/ou albite, hématite, quartz.</p> <p>Altération très variable en albite, chlorite, calcite, épidote, hématite et silice. L'altération varie de diffuse à contrôlée par la fracturation.</p> <p>Minéralisation de absente à traces de pyrite avec jusqu'à 1-2% très localement.</p>	<p>164.93 - 166.45</p> <p>B5979: /H\CCL/J4NCC 50% de brèche chloritisée et 50% de lamprophyre à grains fins lamprophyre noir, riche en calcite. Lamprophyre localement bréchifié avec matrice de calcite-épidote. Minéralisation absente.</p> <p>171.60 - 172.00</p> <p>107643: M15+++CL++</p> <p>175.11 - 180.14 12J#AB(CL(CC)(HM))</p> <p>DIORITE ALTEREE FRACTUREE</p> <p>Texture primaire oblitérée, roche de teinte hétérogène gris verdâtre pâle à vert ± foncé. La fracturation au moins moyenne par microfracturation remplie de calcite et minces veinules de chlorite, hématite.</p> <p>Altération au moins moyenne en albite diffuse irrégulière, variant de faible à faible moyen avec chlorite de même que faible en calcite ± diffuse et faible en moyenne en hématite mais très variable.</p> <p>Traces de pyrite sur l'ensemble.</p> <p>175.11 - 175.56</p> <p>107644: Type</p>	

MINNOVA INC. DIVISION EXPLORATION

DE (m)	A (m)	TEXTURE ET STRUCTURE	ALTÉRATION	MINÉRALISATION
			<p>175.56 - 177.09</p> <p>107645: Type</p> <p>177.09 - 178.61 Type</p> <p>107646:</p> <p>178.61 - 180.14</p> <p>107647: Type</p> <p>180.14 - 190.10 I2J[.]FP(M15)#*AB+(EP)vCLCC</p> <p>DIORITE PORPHYRIQUE METASOMATISEE</p> <p>Diorite porphyrique métasomatique à texture complètement oblitérée (sauf quelques îlots) vert pâle pomme. Fracturation forte par nombreuses fines fractures irrégulières et discontinues remplies de chlorite-calcite, parfois quartz.</p> <p>Altération en albite forte avec faible épidote donnant teinte verte, hématite locale faible surtout associée à la fracturation.</p> <p>Minéralisation absente à traces de pyrite.</p> <p>180.14 - 181.66</p> <p>107648: Type</p> <p>181.66 - 183.18</p> <p>107649: Type</p> <p>183.18 - 185.01</p> <p>107650: Type</p> <p>185.01 - 185.93</p> <p>107651: #*AB(HM)(EP)vCCCL</p> <p>Altération plutôt moyenne en albite et variant de moyenne à faible avec hématite. Faible à très faible en épidote.</p> <p>Minéralisation absente.</p> <p>185.93 - 186.45</p> <p>107652: #*AB?HMvCCCL</p> <p>Altération en albite?? avec hématite au moins moyenne. Traces pyrite.</p>	

MINNOVA INC. DIVISION EXPLORATION

DE (m)	A (m)	TEXTURE ET STRUCTURE	ALTÉRATION	MINÉRALISATION
			<p>186.45 - 187.76</p> <p>107653: #+AB(HM)(EP)vCCCL</p> <p>187.76 - 188.67</p> <p>107654: Idem.</p> <p>188.67 - 189.10</p> <p>107655: #AB+EPvCLCC Relativement peu fracturée par fines veinules de chlorite (calcite). Teinte vert pomme homogène par albite et épidote. Minéralisation absente.</p> <p>189.10 - 190.10</p> <p>107656: #AB(EP)vCCCL Texture intrusive visible localement. Altération variant de faible à moyenne-forte avec albite et faible à absente avec épidote. Minéralisation absente.</p> <p>190.10 - 208.88 I2J[.JFP#+AB(EP)(CL)</p> <p>DIORITE INTENSEMENT FRACTURÉE</p> <p>Texture très hétérogène due à fracturation et altération. Teinte vert pomme similaire à unité d'altération précédente surtout en "tache" ou associée à la fracturation variant de forte à moyenne définie par forte densité de minces veinules de divers minéraux soient, chlorite, calcite, albite, hématite et quartz. Altération hétérogène en albite et épidote avec passage + chloriteux. Hématite locale. Minéralisation absente. Traces pyrite.</p> <p>190.10 - 190.80</p> <p>107657: Type</p> <p>190.80 - 191.75</p> <p>107658: Type</p> <p>191.75 - 192.21</p> <p>107659: M15#SiAB(HMEP)vCC Texture intrusive complètement oblitérée. Teinte vert pomme passant graduellement à rougeâtre siliceuse avec</p>	

MINNOVA INC. DIVISION EXPLORATION

DE (m)	A (m)	TEXTURE ET STRUCTURE	ALTÉRATION	MINÉRALISATION
			<p>nombreuses fines veinules de calcite. Altération d'albite-silice-épidote à silice-hématite. Traces de pyrite.</p> <p>192.21 - 193.85</p> <p>107660: Type</p> <p>193.85 - 194.77</p> <p>107661: Type</p> <p>194.77 - 195.77</p> <p>107662: Type</p> <p>195.77 - 196.44</p> <p>107663: M15#+SiHMvCCvQZ Similaire à la dernière partie de 107659 soit teinte rougeâtre siliceuse, texture porphyrique complètement oblitérée. Nombreuses fractures très fines remplies de calcite avec quelques veinules de quartz. Altération moyenne avec hématite et silice. Traces de pyrite.</p> <p>196.44 - 197.51</p> <p>107664: Type</p> <p>197.51 - 198.42</p> <p>107665: Type</p> <p>198.42 - 199.95</p> <p>107666: Type</p> <p>199.95 - 201.47</p> <p>107667: Type</p> <p>201.47 - 203.00</p> <p>107668: Type</p> <p>203.00 - 204.22</p> <p>107669: #AB+(EP)(CC)/Si(CL)(CC) Mélange de passages vert foncé siliceux et de passages albitisés similaires. Minéralisation absente.</p>	

MINNOVA INC. DIVISION EXPLORATION

DE (m)	A (m)	TEXTURE ET STRUCTURE	ALTÉRATION	MINÉRALISATION
			<p>204.22 - 205.44</p> <p>107670: Idem</p> <p>205.44 - 206.65</p> <p>107671: (MG)#AB+(CC)/CL(HM)(Si)? Texture porphyrique visible localement. Mélange de passages albitisés et de passages à chlorite-hématite ± silice. Minéralisation absente à traces.</p> <p>206.65 - 207.87</p> <p>107672: Idem</p> <p>207.87 - 208.88</p> <p>107673: Idem</p> <p>208.88 - 239.57 12D?(M15))#+(MG)HM(CLCC)(Si?)/AB(EP)</p> <p>SYENITE METASOMATISEE Surtout syénite métasomatisée rougeâtre à rouge à texture presque complètement oblitérée avec quelques passages de quelques pieds de syénite albitisée. Transition graduelle. La fracturation similaire à auparavant se situe entre moyenne et forte. Les minéraux mafiques de la syénite hématisée sont généralement chloritisés et calcitisés ou encore visibles. La syénite hématisée est localement silicifiée. La syénite albitisée est similaire en altération aux unités d'altération précédentes. Minéralisation de absente à traces de pyrite.</p> <p>208.88 - 209.95 (#)MG+CLSi?(PY)vQZ</p> <p>107674: Teinte grisâtre bleuté ± rayable à texture oblitérée. Altération en silice + chlorite? Pyrite supérieure à traces disséminée et en veinules.</p> <p>209.95 - 211.23 M15(MG)#+/H\HM+Si(CC)vQZvCC</p> <p>107675: Fracturation forte (brèche hydrothermale) par nombreuses veines/veinules de quartz jusqu'à 1 1/2cm mais généralement inférieure à quelques millimètres (de 5-10% de veinules de quartz) avec très fines veinules de calcite. Texture bréchique due à fragments centimétriques siliceux dans matrice hématique.</p>	

MINNOVA INC. DIVISION EXPLORATION

DE (m)	A (m)	TEXTURE ET STRUCTURE	ALTÉRATION	MINÉRALISATION
			<p>Teintes rouges hétérogènes dues à l'altération en hématite forte et silice variable à partir des veinules/veines parfois diffuses. Faible calcite diffuse. Traces de pyrite.</p> <p>211.23 - 211.65 M15(MG)#*HM+Si(CC)vQZ</p> <p>107676: Similaire sauf texture bréchique moins évidente et jusqu'à 70% de veines de quartz. Altération idem. Traces de pyrite.</p> <p>211.65 - 211.99</p> <p>107677: M15/H\?HM+Si?vCC/[I3A-14N]?MGCLCC Matrice similaire rouge avec ~ 75-80% de xénolithes? jusqu'à 6"(15.30cm) de long mafique vert foncé magnétique chloriteux et calcitique finement grenu ~ 1mm (gabbro, lamprophyre?). Matrice altérée en hématite surtout et silice et nombreuses veinules très fines de calcite. Roche mafique, chlorite + calcite. Traces de pyrite dans les deux lithologies.</p> <p>211.99 - 212.99</p> <p>107678: M15(MG)#*HM+Si(CC)vCC Rouge presque brique avec nombreux fragments ≤ 1cm très fins mafiques magnétiques. Fracturation forte par microfracturation calcitique. Altération forte en hématite et moyenne en silice et calcite diffuse ou veinules? Traces de pyrite.</p> <p>212.99 - 213.88</p> <p>107679: M15#*AB+(EP)(HM)vCCCL Teinte vert pomme, fortement fracturée, définie surtout par minces veinules irrégulières et discontinues de chlorite-calcite avec altération en bordure. Altération forte en albite et faible diffuse en épidote, faible en hématite surtout associée à la fracturation. Minéralisation absente.</p> <p>213.88 - 215.65</p> <p>107680: M15#*AB(EP)HMvCLCC Idem sauf teinte variant du vert au rouge sur une échelle centimétrique.</p>	

MINNOVA INC. DIVISION EXPLORATION

DE (m)	A (m)	TEXTURE ET STRUCTURE	ALTÉRATION	MINÉRALISATION
		<p>220.07 - 220.22 14N/H\MGCC+80?</p> <p>LAMPROPHYRE ULTRAMAFIQUE</p> <p>107685: Dyke de lamprophyre bréchique brunâtre (biotite fine) composé de 30-35% de fragments arrondis à angulaires de <1cm à granulométrie fins (basalte)? chloriteux. Matrice calcitique. Minéralisation absente.</p>	<p>Altération très hétérogène en albite et hématite. Traces de pyrite.</p> <p>215.65 - 216.26</p> <p>107681: M15#HM+(CC)vCC Teinte rouge brique avec xénolithes? mafiques ≤ 1cm. Très fine fracturation remplie de calcite. Altération diffuse forte en hématite avec calcite des minéraux mafiques. Traces de pyrite.</p> <p>216.26 - 217.84</p> <p>107682: M15#*HMAB(EP)(CC)vCLCC Teinte variant de vert pomme moyen à rougeâtre. Fracturation forte par nombreuses veinules de chlorite ± calcite. Altération surtout albite ± épidote et/ou hématite moyenne avec faible calcite diffuse (des mafiques surtout). Traces de pyrite.</p> <p>217.84 - 219.43</p> <p>107683: M15AB+(EP)(HM)vCLCC Teinte surtout vert pomme localement rougeâtre avec fracturation variant de moyenne à forte toujours avec veinules de chlorite + calcite. Altération surtout en albite ± épidote et faible avec hématite localement. Minéralisation absente.</p> <p>219.43 - 220.07</p> <p>107684: M15#HM(Si)(ABEP)(CL)vCLCC Teinte variant de vert pâle (± pomme) à rougeâtre. Quelques veinules ≤ 1cm de quartz très irrégulières. Fracturation forte idem à auparavant. Albite faible en moyenne hématite jusqu'à moyenne (avec silice) et chlorite très variable. Minéralisation absente.</p>	

MINNOVA INC. DIVISION EXPLORATION

DE (m)	A (m)	TEXTURE ET STRUCTURE	ALTÉRATION	MINÉRALISATION
		<p>224.88 - 225.03 14N(MG)CC+(BD)?</p> <p>DYKE DE LAMPROPHYRE</p> <p>107691: Dyke de lamprophyre finement grenu à 1-2mm composé de minéraux noirs (biotite?) presque ronds de 1-2mm dans matrice calcitique. Moyennement magnétique. Altération en chlorite??</p>	<p>220.22 - 221.28 M15#HMCCvQZvCLCC</p> <p>107686: Teinte rougeâtre avec nombreuses fine veinules de chlorite-calcite. Deux veines de quartz supérieures à 1cm. Altération moyenne et diffuse en hématite et calcite. Minéralisation absente.</p> <p>221.28 - 221.83</p> <p>107687: M15#HMCCvCLCC Idem sans veine de quartz.</p> <p>221.83 - 222.81</p> <p>107688: Idem</p> <p>222.81 - 224.03</p> <p>107689: M15(MG)#*AB(EP)CLCC(PY) Altération hétérogène à l'échelle centimétrique entre albite-épidote et chlorite-calcite. Hématite faible au début. Traces de pyrite de 2% localement.</p> <p>224.03 - 224.88 M15#HMCCvCLCC</p> <p>107690:</p> <p>225.03 - 226.16</p> <p>107692: M15#*Si(HM)vCLCCvQZ Une veine de quartz bordée de chlorite ~ 1cm ± parallèle à A.C. teinte rouge à rose pâle. Nombreuses veinules de chlorite-calcite. Altération variant de moyenne à faible en hématite, moyenne en silice. Traces de pyrite.</p> <p>226.16 - 227.66</p>	

MINNOVA INC. DIVISION EXPLORATION

DE (m)	A (m)	TEXTURE ET STRUCTURE	ALTÉRATION	MINÉRALISATION
			<p>107693: M15#*HMSi(CC)vOZ Altération similaire sauf moyenne en hématite. Traces de pyrite.</p> <p>227.66 - 228.60</p> <p>107694: M15?(MG)#*CLCCAB(HMEP) Mélange très hétérogène selon fracturation de chlorite, calcite, albite, hématite et épidote, faible à très faible.</p> <p>Traces de pyrite.</p> <p>228.60 - 229.61</p> <p>107695: Idem</p> <p>229.61 - 230.49</p> <p>107696: M15#*AB+(HMEP)vCLCC Nombreuses veinules jusqu'à 3-4mm de chlorite-calcite. Altération forte en albite diffuse et faible hétérogène avec hématite et épidote. Traces de pyrite.</p> <p>230.49 - 231.95</p> <p>107697: M15#*AB+HMSi?(EP)vCLCC Fortement fracturée selon altération hétérogène et veinules de chlorite-calcite. Altération très hétérogène en albite, hématite + silice? Epidote faible à absente. Traces de pyrite.</p> <p>231.95 - 233.08</p> <p>107698: M15#*CLHCC(PY)vCC Fracturation forte par minces veinules de calcite et altération hétérogène. Mélange hétérogène d'altération ou injection en chlorite et hématite avec calcite dans passage chloriteux et hématique. 1% de pyrite très fine.</p> <p>233.08 - 234.21</p> <p>107699: M15#*AB+HM(CC)vCLCC Altération similaire avec passage d'albite forte et chlorite surtout restreinte à veinules. Altération faible à absente en calcite. Traces de pyrite.</p>	
		234.21 - 235.21 M15#HMLCC/14N?CL+CC		

MINNOVA INC. DIVISION EXPLORATION

DE (m)	A (m)	TEXTURE ET STRUCTURE	ALTÉRATION	MINÉRALISATION
		<p>107700: Mélange de passages d'environ 6"(15.3cm) lamprophyre? Très chloriteux et calcitique (très mou) et de roche métasomatique. Altération forte en chlorite et calcite. Minéralisation absente.</p>	<p>235.21 - 237.87 M15#*HM+(CC)(PY)vCC(CL)</p> <p>Teinte ± hétérogène rouge brunâtre avec nombreuses microfractures remplies de calcite avec ou sans chlorite. Teinte brunâtre due à hématite moyenne à extrême avec calcite diffuse mais surtout en microfractures. Pyrite très fine de traces à 1%.</p> <p>107701: 771.70' - 774.10' (235.22-235.95m): M15#*HM(CC)(PY)vCC(CL) 107702: 774.10' - 777.40' (235.95-236.95m): M15#*HM+(CC)(PY)vCC(CL) 107703: 777.40' - 780.40' (236.95-237.87m): M15#*HM+(CCPY)vCCCL</p> <p>237.87 - 239.57</p> <p>107704: M15#*HMCCvCCCL Idem à 107701. Altération entre moyenne et forte en hématite et moyenne en calcite diffuse. Traces en pyrite.</p> <p>239.57 - 302.21 I2J[.]FP(♯)Si(CL)vCC/#HMvCC</p> <p>DIORITE PORPHYRIQUE A FELDSPATH</p> <p>Diorite porphyrique à feldspath intercalée de nombreux passages métriques de roche rouge à texture généralement oblitérée. La diorite est composée d'environ 25% en moyenne de phénocristaux de feldspath habituellement de 3-5mm très rarement nets, mais semble et automorphes même si flous à très flous. La matrice est gris-vert foncé très fine à aspect siliceux. En générale non magnétique. La fracturation varie de faible à moyenne surtout par fines veinules irrégulières de calcite. Dans la roche hématitique la fracturation est souvent plus forte sous forme de microfractures. La silice semble être l'altération principale rendant la texture porphyrique généralement très floue. La teinte verdâtre provient d'une faible chloritisation. Hématite de faible à absente avec passages de diorite rouge sont au moins moyennement hématisés. De 955.7'(291.30m) à 987.4'(300.96m) la chloritisation augmente jusqu'à moyenne. Cette chloritisation, associée à la silicification, masque presque totalement la texture porphyrique.</p>	

MINNOVA INC. DIVISION EXPLORATION

DE (m)	A (m)	TEXTURE ET STRUCTURE	ALTÉRATION	MINÉRALISATION
			<p>239.57 - 241.10 I2J[.]FP/CC(HM)</p> <p>58980: Diorite à phénocristaux de plagioclase (15%). Texture floue. Forte Altération en calcite. 10% de forte altération en hématite. Minéralisation absente.</p> <p>241.10 - 242.01 M15#HM+CC</p> <p>107705: Texture complètement albitérée, coloration rouge avec forte microfracturation très fine remplie de calcite. Altération en hématite forte avec calcite remplissant microfracturation. Traces de pyrite.</p> <p>242.01 - 245.15 M15#++/H\?[CCDM]?</p> <p>107706: Fracturation extrême similaire à brèche hydrothermale par injection de carbonate laissant fragments in situ angulaires ≤ 1cm. Passage sytonitique de 2 à 3cm brunâtre au début de l'intervalle. Altération idem sauf calcite et/ou dolomie. Traces de pyrite.</p> <p>245.15 - 246.28 M15#*HM+CC</p> <p>107709: Altération idem à 107705 sauf calcite moyenne plus locale. Traces de pyrite.</p> <p>246.28 - 247.31</p> <p>107710: M15#*HM+CC Altération idem. Traces de pyrite.</p> <p>247.31 - 252.65 I2J[.]FP#(CLCCHM)(Si)?VCC</p> <p>Diorite porphyrique à phénocristaux très flous dû à une altération faible à moyenne en chlorite et faible en calcite-hématite. Possiblement silice. Minéralisation absente.</p> <p>85981: 823.9'-828.9'(251.13-252.65m): I2J[.]FP/CC(HM) Diorite à phénocristaux de plagioclase (15%). Texture</p>	

MINNOVA INC. DIVISION EXPLORATION

DE (m)	A (m)	TEXTURE ET STRUCTURE	ALTÉRATION	MINÉRALISATION
			<p>floue. Forte altération en calcite. Hématitisation faible. Minéralisation faible.</p> <p>252.65 - 253.32 12J[.]FP#CC(CLHM)(PY)vCC</p> <p>107711: Altération moyenne en calcite et faible en chlorite-hématite. Traces à 1% de pyrite très fine.</p> <p>253.32 - 255.27 M15#HM+CCPY</p> <p>Altération forte en hématite diffuse et entre moyenne et faible en calcite diffuse. Traces de pyrite au début, 0.5-2% de 834.0' - 837.5'(254.21-255.27m)</p> <p>255.27 - 256.79</p> <p>85982: 12J[.]FP/(CCHM) Diorite à phénocristaux de plagioclase. Phanérotique fin, de couleur gris moyen et contenant ~ 15% de phénocristaux (2-6mm). Calcitisation partielle faible hématitisation. Minéralisation absente.</p> <p>257.31 - 258.84</p> <p>85983: 12J[.]FP/CC(HM)(PY) Diorite à phénocristaux de plagioclase (~ 15%, 2-6mm). Matrice grise et à grains fins. Forte altération en calcite. Hématitisation locale. Traces de pyrite associée à l'hématitisation.</p> <p>258.84 - 261.24 12J[.]FP(M15)#HM(CC)vCCvQ2</p> <p>107714: Texture très oblitérée mais phénocristaux encore visibles. Teinte rouge avec nombreuses veinules de calcite et chlorite et veinules très irrégulières de quartz. Altération entre moyenne et forte surtout en hématite et faible en calcite diffuse. Veinules de quartz jusqu'à 853.0'(260.00m) Minéralisation absente.</p> <p>261.24 - 262.43</p> <p>107716: 12J[.]FP(##)Si(CLHM)(PY)vCC Texture porphyrique floue dans matrice vert gris rougeâtre siliceuse. Altération moyenne en silice avec chlorite faible</p>	

MINNOVA INC. DIVISION EXPLORATION

DE (m)	A (m)	TEXTURE ET STRUCTURE	ALTÉRATION	MINÉRALISATION
			<p>diffuse et hématite irrégulière et faible à très faible. Traces à 0.5% de pyrite.</p> <p>262.68 - 263.96</p> <p>107717: Idem</p> <p>263.96 - 265.48</p> <p>107718: Idem</p> <p>265.48 - 267.00</p> <p>107719: Idem</p> <p>267.00 - 268.53</p> <p>107720: Idem</p> <p>268.53 - 270.05</p> <p>107721: Idem</p> <p>270.05 - 271.06</p> <p>107722: Idem</p> <p>271.06 - 271.73</p> <p>107723: 12J(.JFP(#)SiCC(CLHM)(PY)vCC Altération similaire sauf passages centimétriques à calcite au moins moyens. Pyrite légèrement supérieure à traces.</p> <p>271.73 - 272.98</p> <p>107724: 12J(.JFP(M15)#Si7HMCC(PY)vCLCC Teinte beige rose assez homogène avec nombreuses veinules irrégulières et discontinues de chlorite ± calcite. Altération moyenne en calcite et hématite, possiblement silice. 0.5% de pyrite très fine.</p> <p>272.98 - 274.02</p> <p>107725: 12J(.JFP(#)Si(CLHM)vCC Altération similaire à 107716. Traces de pyrite.</p> <p>274.02 - 275.72 12J(.JFP(#)Si(HMCL)vCC</p>	

MINNOVA INC. DIVISION EXPLORATION

DE (m)	A (m)	TEXTURE ET STRUCTURE	ALTÉRATION	MINÉRALISATION
			<p>Altération moyenne en silice, faible à moyenne en hématite et chlorite. Minéralisation peu abondante, tr.- 0.5% à partir de 903.5'</p> <p>107726: 899.0' - 903.5' (274.02-275.39m) 107727: 903.5' - 904.6' (275.39-275.73m)</p> <p>275.72 - 276.15</p> <p>107728: 12J(.J)FPCL+(CC)CC Texture très floue vert foncé. Altération avec passages variant de chlorite moyenne à forte et calcite faible à moyenne. Minéralisation absente.</p> <p>276.15 - 278.53 12J(.J)FP#SiCL(CCHM)(PY)vCC</p> <p>107729: 906.0-911.0' (276.15-277.68m) Altération similaire à 107716 sauf plus chloriteux. Traces à 0.5% de pyrite disséminée et fines veinules.</p> <p>85984: 911.0'-912.3'(277.68-278.07m): 12J(.J)FP Diorite à phénocristaux de plagioclase (3-7mm, ~ 15%). Matrice grise et à grains fins. Faible altération en calcite. Minéralisation absente.</p> <p>107730: Idem.</p> <p>279.35 - 280.87 12J(.J)FP/(CCHM)</p> <p>85985: Diorite à phénocristaux de plagioclase (~ 25%, 3-10mm). 1% de veinules de quartz. Faible altération en calcite, localement. Hématitisation très locale. Minéralisation absente.</p>	
		<p>280.87 - 281.21 13A(#)CL(CC)vQZ</p> <p>107731: Déformation Dyke de microgabbro, zone d'altération de la diorite, mais contacts très nets. Vert foncé rayable, très finement grenu. Une veine de quartz 5mm très nette et régulière. Altération moyenne en chlorite diffuse et de faible à très faible avec calcite diffuse.</p>	<p>281.21 - 282.21</p> <p>107732: M15#Si(HMCL)vQZ Texture oblitérée, roche de teinte beige rougeâtre pâle</p>	

MINNOVA INC. DIVISION EXPLORATION

DE (m)	A (m)	TEXTURE ET STRUCTURE	ALTÉRATION	MINÉRALISATION
			<p>avec de nombreuses veinules de ?? quartz? millimétriques avec mince bordure d'altération brunâtre. Altération moyenne en silice, faible en hématite surtout en bordure de fractures. Faible en chlorite. Minéralisation absente.</p> <p>282.21 - 283.25</p> <p>107733: M15(#)(CLHM)vCC Texture porphyrique oblitérée, de teinte gris verdâtre rougeâtre de façon hétérogène, aspect siliceux non rayable. Fracturation entre faible et moyenne par nombreuses fines veinules aléatoires de calcite. Altération moyenne en silice, chlorite faible et hématite très variable faible à moyenne. Minéralisation de absente à traces de pyrite.</p> <p>283.25 - 283.52 M15#+HM+PYvCC</p> <p>107734: Texture toujours oblitérée rouge brique à contacts assez nets. Fracturation forte par très fines veinules de calcite avec chlorite? Altération forte en hématite. 1-2% de pyrite très fine.</p> <p>283.52 - 285.29 M15(#)(CLHM)vCC</p> <p>107735: Idem à 107733.</p> <p>285.29 - 286.82</p> <p>107736: Idem</p> <p>286.82 - 288.04</p> <p>107737: Idem</p> <p>288.04 - 288.58 M15(#)(CLHM)vCC</p> <p>107738: Idem Traces de pyrite.</p> <p>288.58 - 289.29 M15#+HM+PYvCC</p> <p>107739: Idem à 107734.</p> <p>289.29 - 290.78</p> <p>107740: [2.[.]FP(M15)#SiCLvCC Texture intrusive très floue. Teinte vert moyen, non</p>	

MINNOVA INC. DIVISION EXPLORATION

DE (m)	A (m)	TEXTURE ET STRUCTURE	ALTÉRATION	MINÉRALISATION
			<p>rayable, nombreuses fines veinules de calcite.</p> <p>290.78 - 291.30</p> <p>107741: M15#Si(HM)HMCLVCCCL Texture porphyrique oblitérée variant de vert foncé à rouge. Altération en hématite surtout en bordure centimétrique des veinules de calcite-chlorite. Minéralisation absente.</p> <p>295.35 - 296.88</p> <p>85986: 12J Roche intrusive ou volcanique à grains fins de couleur gris moyen. Quelques cristaux ~ 1mm de feldspath par endroits. Diorite. Très faible hématitisation. Minéralisation absente.</p> <p>296.88 - 297.30 12J[.JFP(M15)(#)SiCL(PY)vCC</p> <p>107742: 0.5% de pyrite.</p> <p>297.30 - 297.73</p> <p>85987: 12J(HM) Roche intrusive ou volcanique à grains fins, de couleur gris moyen. Diorite aphyrique ou andésite. Faible hématitisation.</p> <p>297.73 - 298.25 12J[.JFP(M15)(#)SiCL(HM)(LX)vCC</p> <p>107743: 0.5% de pyrite.</p> <p>298.25 - 299.77</p> <p>85988: 12J[.JFP/(CC) Roche intrusive ou volcanique à grains fins, de couleur gris moyen, porphyrique à phénocristaux de plagioclase (<15%, ~1mm). Diorite. Calcitisation moyenne.</p> <p>299.77 - 300.96</p> <p>85989: 12J/CC(HM) Roche intrusive ou volcanique à grains fins, de couleur gris moyen et rougeâtre et aphyrique. Diorite. Faible hématitisation. Altération moyenne en calcite. Quelques veinules de calcite.</p>	

MINNOVA INC. DIVISION EXPLORATION

DE (m)	A (m)	TEXTURE ET STRUCTURE	ALTÉRATION	MINÉRALISATION
			<p>Traces ~ 1% de pyrite en association avec les veinules de calcite.</p> <p>300.96 - 302.21 M15#HM*(CC)vCLCC</p> <p>Teinte rouge à rouge brique à très fine fracturation assez dense de micro-veinules de chlorite-calcite. Altération forte en hématite diffuse et faible avec calcite ± diffuse. Traces de pyrite.</p> <p>302.21 - 319.16 I2J[.]FP#Si(CLHM)vCC</p> <p>DIORITE PORPHYRIQUE ALTEREE</p> <p>Diorite porphyrique à texture très floue similaire à celle débutant à 786.00'(239.58m) sauf teinte rosâtre plus homogène et fracturation plus forte par de 2-5% de très fines veinules irrégulières et discontinues, localement anastomosées, de calcite. Quelques veinules/veines de quartz. Altération moyenne en silice diffuse, faible en chlorite diffuse et faible. Hématite surtout du feldspath, parfois ± diffuse. Pyrite absente à traces localement.</p> <p>302.21 - 303.73</p> <p>85990: I2J[.]FP/CCHM Diorite porphyrique à phénocristaux de plagioclase (~ 20x3-10mm). Matrice à grains fins de couleur gris moyen. Hématitisation et calcitisation moyenne. Minéralisation absente.</p> <p>303.73 - 305.14</p> <p>85991: I2J[.]FP/(CCHM) Idem. Faible hématitisation et calcitisation. Minéralisation absente.</p> <p>305.14 - 305.26 I2J[.]FP(M15)#SiHMPYvCC</p> <p>107745: ~ 1% de pyrite disséminée.</p> <p>305.26 - 306.78</p> <p>85992: I2J[.]FP/HM(CC) Diorite porphyrique à phénocristaux de plagioclase (2-9mm, 15%). Matrice à grains fins de couleur gris moyen. Hématitisation partielle variant de faible à forte.</p>	

MINNOVA INC. DIVISION EXPLORATION

DE (m)	A (m)	TEXTURE ET STRUCTURE	ALTÉRATION	MINÉRALISATION
319.16	336.50	<p>12D#HM(Si)?(CLCC)vCCvQZ</p> <p>SYENITE ROSE A ROUGE</p> <p>Syénite généralement à contact peu évident, graduel sur quelques pieds, de couleur rouge à rose, dont la texture est souvent oblitérée par l'altération. Les passages ± frais montrent une composition d'environ 75-85% de feldspath rose hypidiomorphe de 2-4mm et le reste de minéraux mafiques plutôt interstitiels de 2-3mm xénomorphes. Par contre, les passages altérés montrent du feldspath rouge très flou, hypidiomorphes dans les mêmes pourcentages. La fracturation varie de faible à forte surtout par veinules de calcite ± chlorite > quelques veinules de quartz.</p> <p>Hématite variant de faible à forte, semblant être associée à la silicification. Les mafiques sont chloritisés et calcitisés et localement séricitisés.</p>	<p>Calcitisation très locale. Minéralisation absente.</p> <p>315.07 - 315.77</p> <p>107716: 12?(M15)#+HMSi?(PY)vCLCC Roche rouge à texture floue, mais semble contenir au moins 80% de feldspath et le reste de minéraux mafiques altérés. Phanéritique moyen 2-4mm environ. Fracturation forte par nombreuses veinules de chlorite-calcite très fines. Altération entre moyenne et forte surtout en hématite et possiblement silice. Traces de pyrite à légèrement supérieure.</p> <p>315.77 - 316.41</p> <p>107747: 12J[.JFP#Si(CLHM)vCC Diorite porphyrique siliceuse assez typique. Altération typique. Traces de pyrite.</p> <p>316.41 - 319.16 12J[.JFP#Si(CLHM)vCC</p> <p>107748: 1038.1-1039.8' (316.42-316.93m); Diorite porphyrique à texture assez floue rougeâtre. Altération moyenne en silice et entre faible et moyenne en hématite. Traces de pyrite.</p> <p>107749: 1039.8-1043.0' (316.93-317.91m); Idem., sauf quelques veinules de quartz jusqu'à 5mm. Jusqu'à 1% pyrite très fine.</p> <p>107750: 1043.0-1047.1' (317.91-319.16m); Idem., sans veinules de quartz et localement fortement hématisé.</p>	

MINNOVA INC. DIVISION EXPLORATION

DE (m)	A (m)	TEXTURE ET STRUCTURE	ALTÉRATION	MINÉRALISATION
		Minéralisation très variable.	<p>319.16 - 321.96 12D(MG)#HM(Si)?(CLCC)vCCvQZ</p> <p>107751: 1047.10-1051.00' (319.16-320.34m) Typiquement syénite rouge à texture assez oblitérée. Quelques veinules jusqu'à 6mm de quartz. Altération au moins moyenne en hématite avec silice? Chloritisation et calcitisation des mafiques. Traces de pyrite.</p> <p>107752: 1051.00-1056.30' (320.34-321.96m); Idem.</p> <p>321.96 - 323.64 12D(MG)(#)(SiHM)</p> <p>107753: Texture intrusive encore assez nette, rose beigeâtre, très peu de veinule. Altération entre faible et moyenne en hématite et silice. Traces de pyrite.</p> <p>323.64 - 327.96 12D(MG)#HM+(Si?CL)(PY)</p> <p>107754: 1061.80-1065.3' (323.64-324.71m) Texture intrusive ± visible. Altération entre moyenne et forte en hématite. Mafiques surtout chloritisés. Traces à 0.5% de pyrite.</p> <p>107755: 1065.3-1071.0' (324.71-326.44m); 12D#HM+(Si)(CLSR)(PY)vCLCCvQZ Texture intrusive presque complètement oblitérée. Toutefois, minéraux mafiques encore visibles. Roche très faiblement magnétique. Fracturation moyenne définie par veinules de chlorite-calcite et plus localement, de quartz. Jusqu'à 1% de pyrite</p> <p>107756: 1071.0-1076.0 (326.44-327.97m); Idem., sans pyrite</p> <p>327.96 - 329.06</p> <p>107757: Idem.</p> <p>329.06 - 335.62 12D(MG)(#)HM(SiCLCC)</p> <p>107758: 1079.60-1082.0' (329.07-335.62m); 12D(MG)(#)HM(SiCLCC) Texture ± floue rouge moyen. Peu de veinule de calcite-chlorite. Altération moyenne en hématite, possiblement silice,</p>	

MINNOVA INC. DIVISION EXPLORATION

DE (m)	A (m)	TEXTURE ET STRUCTURE	ALTÉRATION	MINÉRALISATION
336.50	360.88	<p>12J(.JFP#)(SiCLHM)vCC</p> <p>Diorite porphyrique similaire à celle débutant à 991.50'(302.21m) sauf à aspect moins siliceux même si toujours très floue, irrégulièrement magnétique, de non magnétique à faiblement.</p> <p>Altération entre faible et moyenne en silice, au moins faible en chlorite. Faible hématite diffuse et surtout du feldspath. Généralement traces.</p>	<p>avec chloritisation et calcitisation des mafiques. Traces de pyrite.</p> <p>107759: 1082.00-1086.00' (335.62-331.02m); Idem.</p> <p>107760: 1086.00-1091.00' (331.02-332.54m); Idem.</p> <p>107761: 1091.00-1095.40' (332.54-333.88m); Idem.</p> <p>107762: 1095.40-1096.00' (333.88-334.06m); Idem. (PY) 1% pyrite fine</p> <p>107763: 1096.00-1101.10' (334.06-335.62m); Idem. à 107761 Traces de pyrite</p> <p>335.62 - 336.04 12D(#)(HM)(Si)?(CLCC)</p> <p>107764:</p> <p>336.04 - 336.50</p> <p>107765: Idem à 107761</p> <p>338.57 - 350.00 12J(.JFP(MG)#HMCL(Si)?(PY)vCC</p> <p>DIORITE ALTEREE ET FRACTUREE</p> <p>Altération en hématite et chlorite ± hétérogène. Traces à 0.5% de pyrite très fine. 1-2% PY en veinules associées à la calcite de 1137.8' - 1138.4'(346.81-346.99m).</p> <p>338.57 - 338.91</p> <p>107766: 12J(.JFP(MG)#HM(CLSi)?(PY)vCC Altération hétérogène en hématite et chlorite Trace à 0.5% de pyrite très fine</p> <p>342.78 - 344.30</p> <p>85993: 12J(.JFPCC)(HM) Diorite à phénocristaux de plagioclase (20%, 3-10mm) 75% de l'intervalle est fracturé irrégulièrement</p>	

MINNOVA INC. DIVISION EXPLORATION

DE (m)	A (m)	TEXTURE ET STRUCTURE	ALTÉRATION	MINÉRALISATION
			<p>Forte calcitisation, hématitisation moyenne Minéralisation absente</p> <p>344.30 - 345.64</p> <p>107767: Idem. Forte hématitisation locale Traces de pyrite</p> <p>345.64 - 346.83</p> <p>107768: Idem.</p> <p>346.83 - 346.98</p> <p>107769: Idem. 1-2% pyrite en veinules associée à calcite</p> <p>346.98 - 347.44</p> <p>85994: 12J[.]FPCC+HM Diorite à phénocristaux de plagioclase (15%, 3-6mm) Forte calcitisation, hématitisation moyenne Minéralisation absente</p> <p>347.44 - 347.84</p> <p>107770: Idem.</p> <p>347.84 - 349.06 12J[.]FP/CC(HM)</p> <p>85995: Diorite à phénocristaux de plagioclase (~ 15%, 3-6mm). Matrice à grains fins de couleur gris moyen. Calcitisation moyenne, hématitisation faible. Quelques veinules de quartz-calcite. Minéralisation absente.</p> <p>349.06 - 349.97</p> <p>85996: 12J[.]FP/CC+HM Diorite porphyrique. Texture floue, localement. Calcitisation et hématitisation moyenne. Minéralisation absente.</p> <p>349.97 - 350.09 12J[.]FP(MG)#HMCC(CL)(PY)VCC</p> <p>107771: 0.5-1% de pyrite fine.</p> <p>350.09 - 351.62 12J[.]FP/CC(HM)</p>	

MINNOVA INC. DIVISION EXPLORATION

DE (m)	A (m)	TEXTURE ET STRUCTURE	ALTÉRATION	MINÉRALISATION
			<p>85997: Diorite porphyrique, à phénocristaux de plagioclase. Calcitisation moyenne, faible hématitisation. Roche massive non foliée. Minéralisation absente.</p> <p>354.18 - 355.34</p> <p>107772: I2J(.JFP#HM(SI)?VCCQZ Fracturation forte jusqu'à formation d'une brèche hydrothermale, par injections denses de calcil-quartz, fragmentant la roche en fragments angulaires de taille atteignant 1cm. Altération surtout en hématite. Traces de pyrite.</p> <p>355.34 - 355.37 VGY</p> <p>Veine de gypse translucide contenant enclave centimétrique de roche encaissante.</p>	
		<p>357.04 - 357.13</p> <p>M15(I2D?;#HM+VCC Dyke de roche rouge à texture intrusive grenue fortement oblitérée mais mafiques très flous encore visibles de 2-3mm xénomorphes. Altération forte surtout en hématite.</p>		
360.88	396.06	<p>I2D(MG)(HM)</p> <p>SYENITE EQUIGRANULAIRE Rose pâle moyennement grenue, 2-4mm contenant ~85% de feldspath hypidiomorphe et 15% de minéraux mafiques légèrement moins grenus, variant d'automorphes à xénomorphes interstitiels. Faiblement magnétique. Très peu fracturé. Altération variant de faible (voire localement très faible) à forte en hématite où la texture intrusive est oblitérée. Minéralisation absente à traces.</p>	<p>360.88 - 373.62 I2D(M15)(#)HM(CLCC)</p> <p>SYENITE METASOMATISEE Rouge à rouge brique à texture floue où surtout les minéraux mafiques sont distinguables. Faible fracturation par veinules de chlorite ± calcite. Altération variant de moyenne à forte en hématite. Chloritisation et calcitisation des minéraux mafiques. Traces de pyrite.</p> <p>360.88 - 363.78 M15(#HM+(CLCC)</p>	

MINNOVA INC. DIVISION EXPLORATION

DE (m)	A (m)	TEXTURE ET STRUCTURE	ALTERATION	MINÉRALISATION
		<p>373.53 - 378.50 I2D(MG)(#)(HM)/13AMG(#)CL</p> <p>SYENITE KENOLITIQUE?</p> <p>Mélange de syénite rose similaire à unité principale légèrement fracturée et de xénolithes ou dykes de gabbro variant de ~ 1' (30.6cm) à 2" (5.1cm). Le gabbro varie de microgrenu altéré à moyennement grenu 2-4mm composé de 40% de feldspath blanc verdâtre hypidiomorphe à xénomorphe et 60% de mafique xénomorphe. Le gabbro varie de très faiblement magnétique</p>	<p>363.78 - 364.54</p> <p>107776: Type</p> <p>364.54 - 366.06</p> <p>107777: Type</p> <p>366.06 - 367.59</p> <p>107778: vqZ Une veine de 3" (7.65cm) de quartz noir (+ tourmaline?).</p> <p>367.59 - 369.11</p> <p>107779: Type</p> <p>369.11 - 370.64</p> <p>107780: Type</p> <p>370.64 - 372.01</p> <p>107781: #</p> <p>372.01 - 372.53</p> <p>107782: I2D#(CLCCSi?) 10% vqZ Texture intrusive ± oblitérée vert pâle avec ~ 10% de veinules de quartz irrégulières < 1cm ± diffuses. Altération faible en chlorite, calcite et silice diffuses? Traces de pyrite.</p> <p>372.53 - 373.62</p> <p>107783: I2D(#)(HMCCSi?)vqZVCC Altération entre faible et moyenne en hématite et calcite, possiblement silice. Minéraux mafiques chloritisés?? Minéralisation absente.</p>	

MINNOVA INC. DIVISION EXPLORATION

DE (m)	A (m)	TEXTURE ET STRUCTURE	ALTÉRATION	MINÉRALISATION
		<p>lorsque altéré à moyennement magnétique dans les intervalles plus frais. La syénite est de faiblement à très faiblement hématisée. Le gabbro est chloritisé de moyennement à fortement. Traces de pyrite dans la syénite.</p> <p>387.19 - 388.56</p> <p>12D(MG)(#)(HM)/13AMG(#)(CL) Idem à 1225.50' (373.54m).</p>	<p>381.37 - 381.91</p> <p>107784: 12D#HMvCC Quelques veinules de calcite fine. Hématitisation moyenne surtout selon fractures maintenant ± visible. Chloritisation et calcitisation des mafiques.</p> <p>383.50 - 384.35</p> <p>107785: 12D#HM+(Si)(CLCC) Texture assez oblitérée rouge presque brique. Altération forte en hématite avec silice au début de l'échantillon. Chlorite et calcite des mafiques. Traces de pyrite.</p> <p>389.05 - 389.23</p> <p>107786: Idem à 107784.</p> <p>394.87 - 396.06</p> <p>107787: 12D#+(SiHM)(CCCL)vCCCLvQZ Altération entre faible et moyenne en silice et hématite avec chloritisation et calcitisation des minéraux mafiques. Minéralisation absente.</p>	
396.06	590.09	<p>12J(.1)FP(MG)(#)CC(SiCLHM)vCC</p> <p>DIORITE PORPHYRIQUE</p> <p>Composée d'environ 15-20% de phénocristaux de feldspath hypidiomorphe à automorphe jusqu'à 5mm dans une matrice vert foncé fine ≤ 1mm, de composition difficilement déterminable. Environ 1-2% de veinules fines de calcite ± régulières. Quelques zones centimétriques-décimétriques (≤ 15cm) moyennement cisailées (A.C. "35")</p> <p>Altération faible possiblement en silice et chlorite sur la majeure partie. ~ 40% de passages décimétriques-métriques altérés en calcite; altération faible à intense. Hématitisation locale, faible, rarement jusqu'à forte (~ 10%).</p> <p>Minéralisation absente.</p>		

MINNOVA INC. DIVISION EXPLORATION

DE (m)	A (m)	TEXTURE ET STRUCTURE	ALTÉRATION	MINÉRALISATION
			<p>396.06 - 396.67 12J?(MG)#CL(CC)(HM)vCC</p> <p>107788: Texture assez oblitérée de teinte verte. Altération entre moyenne et forte en chlorite, faible en calcite et faible hétérogène en hématite. Traces de pyrite.</p> <p>396.67 - 397.49</p> <p>107789: M15#++HM+vCCLVQZ Texture complètement oblitérée à teinte rouge brique avec fracturation forte surtout microfracturation remplie de calcite-chlorite. Altération forte en hématite. Traces à 0.5% de pyrite.</p> <p>397.49 - 397.82</p> <p>107790: M15#++HM+CC(PY)40vCC Environ 40% d'injections de calcite rose très irrégulières allant jusqu'à 2cm. Altération forte en hématite texture du protolithe reconnaissable. Traces à 0.5% de pyrite.</p> <p>397.82 - 399.04 12J[.]FP#+(CLCCHM)</p> <p>107791: Texture prophyrique floue gris rosâtre.</p> <p>399.04 - 399.29</p> <p>107792: 12J[.]FP/HVCC+HM Brèche à calcite rose (~ 20% cc) Hématitisation moyenne.</p> <p>399.29 - 399.84 12J[.]FPCC+HM</p> <p>107793: Texture floue et oblitérée. Couleur gris et rouge pâle. Hématitisation faible à forte, 5% de veinules de calcite, forte altération en calcite.</p> <p>399.84 - 401.36</p> <p>107794: 12J[.]FP50vCC+ - 50% passages durs (≤ 20cm) altérés à texture floue et de couleur gris. - 50% d'altération forte en calcite.</p>	

MINNOVA INC. DIVISION EXPLORATION

DE (m)	A (m)	TEXTURE ET STRUCTURE	ALTÉRATION	MINÉRALISATION
			<p>401.39 - 403.19</p> <p>107795: 12J(.J)FPCC+(HM) Texture floue jusqu'à oblitérée, couleur gris et gris rosé. Altération forte en calcite, faible hématitisation.</p> <p>406.88 - 408.40</p> <p>85998: 12J(.J)FP/(CC) Diorite à phénocristaux de plagioclase (~ 20%, 2-7mm). Matrice à grains fins de couleur gris moyen. Faible calcitisation locale. Plusieurs veinules de calcite. Minéralisation absente.</p> <p>408.40 - 409.04 12J(.J)FPCC(HM)</p> <p>107796: Texture floue, masquée par l'altération. Altération moyenne en calcite et en hématite.</p> <p>409.04 - 410.78</p> <p>85999: 12J(.J)FP Idem. Minéralisation absente.</p> <p>410.78 - 411.11 12J(.J)FPCC</p> <p>107797: Texture floue, masquée par l'altération. Altération moyenne en calcite.</p> <p>414.19 - 415.41</p> <p>107798: 12J(.J)FP 50% SiCC(HM) 5% vqz</p> <p>414.47 - 420.23 si, 25% CC(HM), 3% vqz</p> <p>ZONE PARTIELLEMENT SILICIFIÉE</p> <p>- 25% de passages centimétriques durs silicifiés, - 25% de passages altérés en calcite faiblement à moyennement hématitisés. - 3% veinules et veines centimétriques (< 5cm) de quartz. Texture variant de nette à très floue. Minéralisation absente.</p> <p>415.41 - 416.94</p>	

MINNOVA INC. DIVISION EXPLORATION

DE (m)	A (m)	TEXTURE ET STRUCTURE	ALTÉRATION	MINÉRALISATION
		430.16 - 431.23 10% I1FPQZHM(PY)	<p>107799: 12J[.]JFP 50% SICC(HM) 416.94 - 418.46</p> <p>107800: 12J[.]JFP 5% vQZ 418.46 - 420.23</p> <p>107801: 12J[.]JFP 30% CCHM 3% vQZ 421.45 - 422.91</p> <p>86000: 12J[.]JFP Idem. Quelques veinules sub-millimétriques de calcite-épidote et d'hématite. Minéralisation absente.</p> <p>422.91 - 423.34 12J[.]JFPCC+HM Texture oblitérée par l'altération. Forte altération en calcite, hématitisation moyenne.</p> <p>423.34 - 424.86</p> <p>91601: 12J[.]JFP/5%vCCEP Idem 5% de veinules et veines cm de calcite-épidote.</p> <p>430.16 - 431.23</p> <p>107803: 12J[.]JFP 10% v I1FPQZHM 433.79 - 435.38</p> <p>107804: 12J[.]JFP 75% CC+ 10% HM 3% vQZ Texture floue jusqu'à oblitérée, couleur grise, rouge vif localement. Veine de 5cm de quartz blanc laiteux, recoupée par des bandes d'altération rouges en hématite. Forte altération en calcite. Hématitisation faible jusqu'à forte localement.</p>	
		<p>~ 10% de veinules et veines centimétriques de roche intrusive felsique rose, à grains fins et à grains moyens, forées de feldspath et de quartz. Ces veines recoupent la foliation dans l'unité principale. Hématitisation moyenne affectant les veines. veinules d'épidote recoupent les veines de I1. Traces de pyrite fine disséminée.</p>		

MINNOVA INC. DIVISION EXPLORATION

DE (m)	A (m)	TEXTURE ET STRUCTURE	ALTÉRATION	MINÉRALISATION
		<p>438.30 - 440.50 12FMCC</p> <p>MONZONITE PEU ALTEREE</p> <p>Monzonite phanéritique moyen formé de feldspath rose et feldspath blanc souvent zonés en proportions égales et ~ 25% de minéraux mafiques (amphibole surtout et un peu de biotite fine). ~ 5% de xénolithes de roche mafique aphyrique et de diorite à phénocristaux de feldspath. Hématitisation variant de faible à moyen. Altération en calcite faible à moyenne associée à l'hématitisation. Quelques veinules de calcite. Minéralisation absente.</p>	<p>455.31 - 456.32</p> <p>107805: 12J[.]FP(=)CC+ 3% vQZ Texture floue. Une veine de 10cm de quartz gris. Diorite faiblement foliée. Altération intense en calcite.</p> <p>461.22 - 461.53</p> <p>107806: 25% v(11-2J)HM Une veine de 8cm de roche intrusive formée à 75% de feldspath et de quartz à texture granophyrique et à 25% de diorite à grains moyens. ~ 50% d'hématitisation moyenne de la veine.</p> <p>467.05 - 467.35</p> <p>107807: 33% v(11-Q2)HM(PY) Veine de 10cm comportant ~ 50% de quartz gris au coeur et ~ 50% d'un assemblage granophyrique à quartz-feldspath (11FQ2) formant les bordures. La présence de veinules de quartz dans 11FQ2 indique que le quartz s'est mis en place après 11FQ2. Faible hématitisation de l'assemblage à feldspath-quartz. Traces de pyrite dans le quartz.</p> <p>481.58 - 482.29</p> <p>91602: 12J[.]FP#(CLS1SR)vCCCL Texture floue, oblitérée par l'altération très faiblement magnétique. Fracturation forte, localement presque bréchique. Veinules calcite chlorite + 1 veines = 1cm d'albite, épidote et faible hématite. Possiblement altération en chlorite, silice (vue la dureté) et séricite teinte locale blanchâtre. Minéralisation absente.</p> <p>482.29 - 483.63 12J[.]FPCC+PY</p>	

MINNOVA INC. DIVISION EXPLORATION

DE (m)	A (m)	TEXTURE ET STRUCTURE	ALTÉRATION	MINÉRALISATION
			<p>Texture floue, brouillée par l'altération. Altération moyenne à forte en calcite. - 1% de pyrite fine disséminée et sous forme de veinules.</p> <p>483.63 - 484.63</p> <p>91403: 12J[.]JFP#(CLSISR)vCC Similaire à 1580.0'(481.59m) sauf moins fracturé malgré nombreuses fines veinules de calcite ± parallèle avec très faible hématite. Chlorite de faible à moyen, possiblement silice, et séricite très localement. Minéralisation absente.</p> <p>486.64 - 486.83</p> <p>107809: 12J[.]JFPEP++ Texture oblitérée dans l'ensemble, vestiges de phénocristaux localement. Epidotisation forte à extrême.</p> <p>493.41 - 495.03</p> <p>107810: 12J[.]JFP 8%vQZHM+CC+(PY) - 8% veines centimétriques (≤ 5cm) de quartz gris pâle et foncé. - 20% d'altération forte en hématite-calcite associée aux veines de quartz. Traces de pyrite fine associée aux veines de quart.</p> <p>494.45 - 509.75 CCHM(PY)</p> <p>ZONE D'ALTERATION EN CALCITE-HEMATITE</p> <p>Zone d'altération moyenne en calcite et calcite-hématite. Texture floue jusqu'à oblitérée. Quelques veinules de quartz localement. Couleur gris pâle et rouge pâle. Traces de pyrite fine localement.</p> <p>495.97 - 497.49</p> <p>107818: 12J[.]JFP/CC</p> <p>497.49 - 499.02 12J[.]JFP/CCHM5% vQZ/(PY)</p> <p>107819:</p>	<p>494.45 - 495.97 12J[.]JFP/CC/2% vQZ</p> <p>107817:</p>

MINNOVA INC. DIVISION EXPLORATION

DE (m)	A (m)	TEXTURE ET STRUCTURE	ALTÉRATION	MINÉRALISATION
			<p>499.02 - 499.38</p> <p>107811: 12J(.JFP 10% vQZAB 50% CB(PY) - 10% de veinules de quartz-albite. - 50% d'altération moyenne en carbonates de fer de couleur beige. Traces de pyrite fine associée aux veinules.</p> <p>500.54 - 502.07</p> <p>107821: 12J(.JFP/CCHM</p> <p>502.07 - 503.59 12J(.JFP/CCHM</p> <p>107822:</p> <p>503.96 - 504.81 12J(.JFPCC+HM(PY)</p> <p>107812: Texture floue jusqu'à oblitérée par l'altération. De rares veinules de quartz. Forte altération en calcite, hématitisation moyenne sur ~ 20cm. Traces de pyrite associée à l'hématitisation.</p> <p>504.81 - 505.11</p> <p>91605: 12J(.JFP#)(MG)(CLSI)vEPv? Quelques veinules d'épidote avec veinules mafiques non rayable?? Silice chlorite faible. Minéralisation absente.</p> <p>505.11 - 506.64</p> <p>107824: 12J(.JFP/CC(HM)</p> <p>506.64 - 508.16</p> <p>107825: 12J(.JFP/CC</p> <p>508.16 - 509.75</p>	<p>499.02 - 500.54 12J(.JFP/CCHM</p> <p>107820:</p> <p>503.59 - 505.11</p> <p>107823: 12J(.JFP/CCHM+</p>

MINNOVA INC. DIVISION EXPLORATION

DE (m)	A (m)	TEXTURE ET STRUCTURE	ALTÉRATION	MINÉRALISATION
			<p>107826: 12J[.]JFP/CC 514.84 - 516.30</p> <p>107813: 12J[.]JFPCC(PY) 30% de passages altérés à texture floue. De rares veinules de quartz. 30% de passages centimétriques durs moyennement altérés en calcite. Traces de pyrite fine localement.</p> <p>518.16 - 519.29</p> <p>91606: 12J[.]JFP(#)(CLSi) Fracturation faible définie par rare veinule fine de calcite surtout. Altération faible en chlorite et silice. Epidote? Minéralisation absente.</p> <p>519.29 - 519.68 12J[.]JFPCB++CC+(PY)</p> <p>107814: Un passage altéré sur 15cm avec texture oblitérée et 2% de veinules de calcite et de quartz. 15cm de forte altération beige en carbonates de fer et calcite. Traces de pyrite fine associée à l'altération beige.</p> <p>519.68 - 521.15</p> <p>91607: 12J[.]JFP(#)(CLSi) Légèrement plus fracturé à la fin de l'échantillon Idem. Minéralisation absente.</p> <p>521.15 - 521.54</p> <p>107815: 12[.]JFPH+CCPY Texture floue. Hématitisation moyenne à forte, altération en calcite moyenne. 1% de pyrite fine disséminée.</p> <p>523.04 - 524.04</p> <p>107816: 12[.]JFPCC+(PY) Texture floue jusqu'à oblitérée. Une veine de quartz gris ~ 8cm. Foliation faible, locale. Altération en calcite moyenne à forte. Traces de pyrite.</p> <p>524.04 - 524.93</p>	

MINNOVA INC. DIVISION EXPLORATION

DE (m)	A (m)	TEXTURE ET STRUCTURE	ALTÉRATION	MINÉRALISATION
			<p>91608: 12J[.]FP(=)(CLSI) Typique avec veinules irrégulières vert foncé non rayable?? Idem. 548.64 - 550.47</p> <p>91609: 12J[.]FP(=)(CL)(ABEP)VCCVEP Teinte vert moyen avec quelques "taches" albite épidoite?? Fracturation faible définie par veinules peu dense de calcite et veinules et épidoite +? Chlorite diffuse faible et épidoite + albite locale. Minéralisation absente. 550.47 - 550.90 12J[.]FP(=)CC(CB)(PY) Texture oblitérée. Faible foliation. Forte altération en calcite, faible en carbonates de fer. Couleur gris à gris-beige. Traces de pyrite fine. 550.90 - 551.69 12J[.]FP(=)(CLSR)</p> <p>91610: Veinules de calcite plus dense qu'habituellement Chlorite et séricite faibles. Minéralisation absente. 553.79 - 555.32</p> <p>107828: 12J[.]FP(=)/3% EP++ Texture généralement conservée. Faible foliation. Quelques veinules d'épidote et 3% d'épidotisation très forte. De rares veinules d'hématite recoupées par les veinules d'épidote. 560.74 - 561.20</p> <p>107829: 12J[.]FP/CC/15% VQZHMCC PY Texture floue due à l'altération. Veine de quartz-hématite-calcite de 5cm. Altération moyenne en calcite. 1% de pyrite fine associée à la veine. 568.39 - 569.21 12J[.]FP/CCNMPY</p> <p>107830: Texture floue jusqu'à oblitérée. Altération moyenne en calcite et hématite. Veine de</p>	

MINNOVA INC. DIVISION EXPLORATION

DE (m)	A (m)	TEXTURE ET STRUCTURE	ALTÉRATION	MINÉRALISATION
		<p>586.86 - 588.29 12FHM</p> <p>MONZONITE HEMATISEE</p> <p>Injection de monzonite à grains moyens et I.C. ~ 40. Feldspath rose et feldspath zoné en proportion semblable. ~ 2% de xénolithes mafiques à grains fins. Roche non déformée. Plusieurs microfractures et veinules avec hématitisation associée. Minéralisation absente.</p> <p>1936.00: FIN DU TROU.</p> <p>590.09 FIN DU TROU</p>	<p>quartz-calcite de 5cm. 1% de pyrite fine associée à la veine.</p> <p>581.04 - 581.41</p> <p>107831: 12D-11HM Veine comportant ~ 15cm de syénite à grains moyens et I.C. ~ 15 et 21cm de matériel felsique à grains fins partiellement altéré rouge. Une veinule d'épidote recoupe la veine. ~ 85% d'hématitisation moyenne.</p> <p>583.60 - 583.94</p> <p>107832: 12J[:FP/EP+PY Texture oblitérée, reliques de phénocristaux localement reconnaissables. Epidotisation très intense. 1% de pyrite fine, sous forme d'amas.</p>	

MINNOVA INC. DIVISION EXPLORATION

ECHANTILLON	DE (m)	A (m)	LONGUEUR (m)	Au(OP1) ppb	Au(OP2) ppb	Au(R-1) ppb	Au(R-2) ppb	Au(MOY) ppb	Ag ppm	As(CH) ppm	Sb(CH) ppm	Mo(CH) ppm	Pb(CH) ppm	Cu(OP) ppm	Cu(CH) ppm	Cu(MOY) ppm	Zn(OP) ppm	Zn(CH) ppm	Zn(MOY) ppm
107479	12.19	12.95	0.76	tr.				tr.						18		18	37		37
107480	17.07	18.07	1.00	tr.				tr.						84		84	44		44
107481	18.07	18.71	0.64	tr.				tr.						72		72	47		47
107482	26.55	27.40	0.85	tr.				tr.						60		60	76		76
107483	28.35	28.96	0.61	tr.				tr.						37		37	55		55
107484	29.93	30.05	0.12	tr.				tr.	4.1					63		63	2190		2190
107485	30.05	31.24	1.19	tr.				tr.						25		25	89		89
107486	34.56	34.87	0.31	tr.				tr.						37		37	43		43
107487	38.50	39.01	0.51	tr.				tr.						20		20	40		40
107488	41.30	42.67	1.37	tr.				tr.						40		40	64		64
107489	44.14	44.44	0.30	tr.				tr.						50		50	47		47
107490	47.09	47.40	0.31	tr.				tr.						21		21	40		40
107491	49.01	49.68	0.67	tr.				tr.						24		24	30		30
107492	49.68	50.38	0.70	tr.				tr.						17		17	25		25
107493	50.38	50.54	0.16	tr.				tr.						59		59	30		30
107494	51.69	51.88	0.19	tr.				tr.						75		75	35		35
107495	73.06	73.76	0.70	tr.				tr.						53		53	34		34
107496	83.79	83.97	0.18	tr.				tr.						115		115	35		35
107497	87.36	87.97	0.61	tr.				tr.						134		134	39		39
107498	87.97	88.76	0.79	tr.				tr.						137		137	37		37
107499	88.76	89.25	0.49	tr.				tr.						54		54	35		35
107602	89.25	90.22	0.97	tr.				tr.						132		132	32		32
107603	90.22	91.74	1.52	tr.				tr.						90		90	30		30
107604	91.74	92.66	0.92	tr.				tr.						116		116	70		70
107605	92.66	92.84	0.18	tr.				tr.						104		104	31		31
107606	92.84	94.15	1.31	tr.				tr.						122		122	40		40
107607	94.15	94.85	0.70	tr.				tr.						256		256	60		60
107608	94.85	95.04	0.19	tr.				tr.						13660		13660	41		41
107609	95.04	96.32	1.28	tr.				tr.						292		292	36		36
107610	101.65	103.08	1.43	tr.				tr.						132		132	36		36
107611	103.08	104.52	1.44	tr.				tr.						47		47	40		40
107612	108.20	109.36	1.16	tr.				tr.						86		86	37		37
107613	109.36	110.46	1.10	tr.				tr.						39		39	29		29
107614	110.46	110.76	0.30	tr.				tr.						60		60	70		70
107615	110.79	111.31	0.52	tr.				tr.						74		74	48		48
107616	111.31	112.78	1.47	tr.				tr.						80		80	55		55
107617	112.78	113.69	0.91	tr.				tr.						57		57	52		52
107618	113.69	114.60	0.91	tr.				tr.						59		59	57		57
107619	114.60	116.13	1.53	tr.				tr.						82		82	62		62
107620	116.13	117.65	1.52	tr.				tr.						151		151	57		57
107621	117.65	119.18	1.53	tr.				tr.						84		84	37		37
107622	119.18	120.70	1.52	tr.				tr.						122		122	49		49
107623	120.70	122.22	1.52	tr.				tr.						83		83	56		56
107624	122.22	123.08	0.86	tr.				tr.						122		122	89		89
107625	123.08	123.75	0.67	tr.				tr.						97		97	67		67
107626	123.75	125.27	1.52	tr.				tr.						110		110	95		95
107627	125.27	126.80	1.53	tr.				tr.						79		79	48		48
107628	126.80	127.41	0.61	tr.				tr.						82		82	66		66
107629	127.41	128.32	0.91	tr.				tr.						172		172	53		53
107630	128.32	129.84	1.52	tr.				tr.						190		190	47		47
107631	129.84	131.12	1.28	tr.				tr.						134		134	78		78
107632	131.12	131.92	0.80	tr.				tr.						53		53	72		72

MINNOVA INC. DIVISION EXPLORATION

ECHANTILLON	DE (m)	A (m)	LONGUEUR (m)	Au(OP1) ppb	Au(OP2) ppb	Au(R-1) ppb	Au(R-2) ppb	Au(MOY) ppb	Ag ppm	As(CH) ppm	Sb(CH) ppm	Mo(CH) ppm	Pb(CH) ppm	Cu(OP) ppm	Cu(CH) ppm	Cu(MOY) ppm	Zn(OP) ppm	Zn(CH) ppm	Zn(MOY) ppm
107633	131.92	132.80	0.88	tr.				tr.						60		60	335		336
107634	132.80	133.93	1.13	tr.				tr.						90		90	1120		1120
107635	142.55	142.68	0.13	tr.				tr.						82		82	185		185
107636	146.40	146.61	0.21	tr.				tr.						52		52	74		74
107637	147.92	148.04	0.12	tr.				tr.						64		64	52		52
107638	152.40	153.16	0.76	tr.				tr.						44		44	57		57
107639	153.80	154.14	0.34	tr.				tr.						34		34	79		79
107640	162.61	162.70	0.09	tr.				tr.						84		84	77		77
107641	163.80	164.01	0.21	tr.				tr.						30		30	47		47
107642	164.01	164.93	0.92	377				377						435		435	40		40
85979	164.93	166.45	1.52	tr.				tr.						90		90	140		140
107643	171.60	172.00	0.40	tr.				tr.						25		25	93		93
107644	175.11	175.56	0.45	tr.				tr.						78		78	62		62
107645	175.56	177.09	1.53	tr.				tr.						209		209	74		74
107646	177.09	178.61	1.52	2023		1200	1200	1474						110		110	44		44
107647	178.61	180.14	1.53	tr.				tr.						65		65	56		56
107648	180.14	181.66	1.52	tr.				tr.						88		88	42		42
107649	181.66	183.18	1.52	tr.				tr.						86		86	36		36
107650	183.18	185.01	1.83	tr.				tr.						100		100	30		30
107651	185.01	185.93	0.92	tr.				tr.						72		72	47		47
107652	185.93	186.45	0.52	tr.				tr.						60		60	85		85
107653	186.45	187.76	1.31	tr.				tr.						92		92	66		66
107654	187.76	188.67	0.91	tr.				tr.						110		110	30		30
107655	188.67	189.10	0.43	tr.				tr.						120		120	44		44
107656	189.10	190.10	1.00	tr.				tr.						84		84	30		30
107657	190.10	190.80	0.70	tr.				tr.						100		100	55		55
107658	190.80	191.75	0.95	tr.				tr.						97		97	41		41
107659	191.75	192.21	0.46	tr.				tr.						83		83	44		44
107660	192.21	193.85	1.64	tr.				tr.						92		92	39		39
107661	193.85	194.77	0.92	tr.				tr.						95		95	35		35
107662	194.77	195.77	1.00	tr.				tr.						92		92	40		40
107663	195.77	196.44	0.67	tr.				tr.						132		132	41		41
107664	196.44	197.51	1.07	tr.				tr.						128		128	35		35
107665	197.51	198.42	0.91	tr.				tr.						85		85	45		45
107666	198.42	199.95	1.53	tr.				tr.						118		118	48		48
107667	199.95	201.47	1.52	tr.				tr.						103		103	37		37
107668	201.47	203.00	1.53	tr.				tr.						89		89	27		27
107669	203.00	204.22	1.22	tr.				tr.						83		83	38		38
107670	204.22	205.44	1.22	tr.				tr.						84		84	37		37
107671	205.44	206.65	1.21	tr.				tr.						122		122	39		39
107672	206.65	207.87	1.22	tr.				tr.						110		110	36		36
107673	207.87	208.88	1.01	tr.				tr.						82		82	42		42
107674	208.88	209.95	1.07	754				754						79		79	44		44
107675	209.95	211.23	1.28	411				411						65		65	36		36
107676	211.23	211.65	0.42	343				343						48		48	42		42
107677	211.65	211.99	0.34	tr.				tr.						154		154	84		84
107678	211.99	212.99	1.00	tr.				tr.						71		71	95		95
107679	212.99	213.88	0.89	tr.				tr.						83		83	76		76
107680	213.88	215.65	1.77	tr.				tr.						90		90	62		62
107681	215.65	216.26	0.61	tr.				tr.						54		54	56		56
107682	216.26	217.84	1.58	tr.				tr.						60		60	53		53
107683	217.84	219.43	1.59	tr.				tr.						63		63	54		54

MINNOVA INC. DIVISION EXPLORATION

ECHANTILLON	DE (m)	A (m)	LONGUEUR (m)	Au(OP1) ppb	Au(OP2) ppb	Au(R-1) ppb	Au(R-2) ppb	Au(MOY) ppb	Ag ppm	As(CH) ppm	Sb(CH) ppm	Mo(CH) ppm	Pb(CH) ppm	Cu(OP) ppm	Cu(CH) ppm	Cu(MOY) ppm	Zn(OP) ppm	Zn(CH) ppm	Zn(MOY) ppm
107684	219.43	220.07	0.64	tr.				tr.						198		198	42		42
107685	220.07	220.22	0.15	tr.				tr.						180		180	200		200
107686	220.22	221.28	1.06	240				240						70		70	56		56
107687	221.28	221.83	0.55	tr.				tr.						137		137	53		53
107688	221.83	222.81	0.98	tr.				tr.						83		83	60		60
107689	222.81	224.03	1.22	tr.				tr.						70		70	42		42
107690	224.03	224.88	0.85	754				754						67		67	51		51
107691	224.88	225.03	0.15	tr.				tr.						77		77	141		141
107692	225.03	226.16	1.13	tr.				tr.						44		44	57		57
107693	226.16	227.66	1.50	tr.				tr.						46		46	40		40
107694	227.66	228.60	0.94	tr.				tr.						43		43	41		41
107695	228.60	229.61	1.01	tr.				tr.						56		56	43		43
107696	229.61	230.49	0.88	tr.				tr.						72		72	37		37
107697	230.49	231.95	1.46	tr.				tr.						102		102	39		39
107698	231.95	233.08	1.13	tr.				tr.						210		210	63		63
107699	233.08	234.21	1.13	tr.				tr.						47		47	49		49
107700	234.21	235.21	1.00	tr.				tr.						196		196	84		84
107701	235.21	235.95	0.74	891				891						70		70	45		45
107702	235.95	236.95	1.00	2640		6800	6730	5390						57		57	41		41
107703	236.95	237.87	0.92	1920		2270	2530	2243						74		74	40		40
107704	237.87	239.57	1.70	tr.				tr.						47		47	36		36
85980	239.57	241.10	1.53	309				309						110		110	56		56
107705	241.10	242.01	0.91	411		530	570	504						76		76	72		72
107706	242.01	242.62	0.61	651				651						57		57	80		80
107707	242.62	244.14	1.52	617				617						54		54	84		84
107708	244.14	245.15	1.01	549				549						47		47	67		67
107709	245.15	246.28	1.13	343				343						52		52	76		76
107710	246.28	247.31	1.03	tr.				tr.						43		43	59		59
85981	251.12	252.65	1.53	tr.				tr.						100		100	40		40
107711	252.65	253.32	0.67	2331		1070	930	1444						47		47	50		50
107712	253.32	254.20	0.88	2640		1900	1770	2103						40		40	37		37
107713	254.20	255.27	1.07	891		1270	1130	1097						46		46	40		40
85982	255.27	256.79	1.52	tr.				tr.						77		77	57		57
85983	257.31	258.84	1.53	tr.				tr.						62		62	79		79
107714	258.84	259.99	1.15	206				206						50		50	35		35
107715	259.99	261.24	1.25	549				549						84		84	50		50
107716	261.24	262.43	1.19	tr.				tr.						54		54	75		75
107717	262.43	263.96	1.28	tr.				tr.						74		74	48		48
107718	263.96	265.48	1.52	tr.				tr.						69		69	41		41
107719	265.48	267.00	1.52	tr.				tr.						45		45	44		44
107720	267.00	268.53	1.53	tr.				tr.						59		59	49		49
107721	268.53	270.05	1.52	206				206						60		60	43		43
107722	270.05	271.06	1.01	tr.				tr.						49		49	51		51
107723	271.06	271.73	0.67	tr.				tr.						50		50	47		47
107724	271.73	272.98	1.25	tr.				tr.						50		50	44		44
107725	272.98	274.02	1.04	tr.				tr.						60		60	44		44
107726	274.02	275.39	1.37	2194		630	800	1208						70		70	61		61
107727	275.39	275.72	0.33	1234		1100	1030	1121						66		66	91		91
107728	275.72	276.15	0.43	tr.				tr.						62		62	124		124
107729	276.15	277.67	1.52	480				480						65		65	46		46
85984	277.67	278.07	0.40	tr.				tr.						66		66	86		86
107730	278.07	278.53	0.46	tr.				tr.						72		72	96		96

MINNOVA INC. DIVISION EXPLORATION

ECHANTILLON	DE (m)	A (m)	LONGUEUR (m)	Au(OP1) ppb	Au(OP2) ppb	Au(R-1) ppb	Au(R-2) ppb	Au(MOY) ppb	Ag ppm	As(CH) ppm	Sb(CH) ppm	Mo(CH) ppm	Pb(CH) ppm	Cu(OP) ppm	Cu(CH) ppm	Cu(MOY) ppm	Zn(OP) ppm	Zn(CH) ppm	Zn(MOY) ppm
85985	279.35	280.87	1.52	754				754						67		67	67		67
107731	280.87	281.21	0.34	240				240						85		85	63		63
107732	281.21	282.21	1.00	tr.				tr.						100		100	47		47
107733	282.21	283.25	1.04	tr.				tr.						104		104	40		40
107734	283.25	283.52	0.27	6411	6343	6700	6770	6449						90		90	50		50
107735	283.52	285.29	1.77	549				549						92		92	72		72
107736	285.29	286.82	1.53	tr.				tr.						77		77	74		74
107737	286.82	288.04	1.22	tr.				tr.						67		67	87		87
107738	288.04	288.58	0.54	309				309						87		87	87		87
107739	288.58	289.29	0.71	1166		830	900	965						66		66	40		40
107740	289.29	290.78	1.49	tr.				tr.						70		70	50		50
107741	290.78	291.30	0.52	tr.				tr.						198		198	46		46
85986	295.35	296.88	1.53	tr.				tr.						77		77	66		66
107742	296.88	297.30	0.42	651				651						122		122	60		60
85987	297.30	297.73	0.43	tr.				tr.						76		76	53		53
107743	297.73	298.25	0.52	411				411						144		144	67		67
85988	298.25	299.77	1.52	tr.				tr.						57		57	64		64
85989	299.77	300.96	1.19	tr.				tr.						87		87	59		59
107744	300.96	302.21	1.25	857		870	830	852						140		140	78		78
85990	302.21	303.73	1.52	tr.				tr.						94		94	59		59
85991	303.73	305.14	1.41	tr.				tr.						139		139	66		66
107745	305.14	305.26	0.12	686				686						137		137	82		82
85992	305.26	306.78	1.52	tr.				tr.						122		122	62		62
107746	315.07	315.77	0.70	tr.				tr.						52		52	62		62
107747	315.77	316.41	0.64	tr.				tr.						127		127	47		47
107748	316.41	316.93	0.52	tr.				tr.						94		94	35		35
107749	316.93	317.91	0.98	1406		1370	1430	1402						110		110	47		47
107750	317.91	319.16	1.25	583				583						130		130	58		58
107751	319.16	320.34	1.18	240				240						92		92	67		67
107752	320.34	321.96	1.62	411				411						54		54	90		90
107753	321.96	323.64	1.68	tr.				tr.						50		50	56		56
107754	323.64	324.70	1.06	994				994						36		36	63		63
107755	324.70	326.44	1.74	1200		1170	1370	1247						74		74	66		66
107756	326.44	327.96	1.52	514				514						42		42	67		67
107757	327.96	329.06	1.10	tr.				tr.						42		42	90		90
107758	329.06	329.79	0.73	tr.				tr.						40		40	90		90
107759	329.79	331.01	1.22	tr.				tr.						44		44	83		83
107760	331.01	332.54	1.53	1954		1270	1270	1498						49		49	64		64
107761	332.54	333.88	1.34	tr.				tr.						45		45	64		64
107762	333.88	334.06	0.18	3668	3977			3823						50		50	60		60
107763	334.06	335.62	1.56	480				480						49		49	64		64
107764	335.62	336.04	0.42	309				309						50		50	66		66
107765	336.04	336.50	0.46	tr.				tr.						60		60	77		77
107766	338.57	338.91	0.34	tr.				tr.						90		90	70		70
85993	342.78	344.30	1.52	tr.				tr.						86		86	56		56
107767	344.30	345.64	1.34	1166		270	230	555						47		47	36		36
107768	345.64	346.83	1.19	720				720						54		54	37		37
107769	346.83	346.98	0.15	5554	5451			5503						70		70	42		42
85994	346.98	347.44	0.46	tr.				tr.						90		90	45		45
107770	347.44	347.84	0.40	206				206						72		72	32		32
85995	347.84	349.06	1.22	891				891						100		100	62		62
85996	349.06	349.97	0.91	tr.				tr.						72		72	42		42

MINNOVA INC. DIVISION EXPLORATION

ECHANTILLON	DE (m)	A (m)	LONGUEUR (m)	Au(OP1) ppb	Au(OP2) ppb	Au(R-1) ppb	Au(R-2) ppb	Au(MOY) ppb	Ag ppm	As(CH) ppm	Sb(CH) ppm	Mo(CH) ppm	Pb(CH) ppm	Cu(OP) ppm	Cu(CH) ppm	Cu(MOY) ppm	Zn(OP) ppm	Zn(CH) ppm	Zn(MOY) ppm
107771	349.97	350.09	0.12	343				343						167		167	40		40
85997	350.09	351.62	1.53	274				274						72		72	79		79
107772	354.18	355.34	1.16	tr.				tr.						60		60	47		47
107773	360.88	361.49	0.61	tr.				tr.						27		27	40		40
107774	361.20	363.02	1.82	tr.				tr.						74		24	39		39
107775	363.02	363.78	0.76	411				411						27		27	42		42
107776	363.78	364.54	0.76	tr.				tr.						29		29	50		50
107777	364.54	366.06	1.52	tr.				tr.						36		36	52		52
107778	366.06	367.59	1.53	tr.				tr.						36		36	57		57
107779	367.59	369.11	1.52	tr.				tr.						30		30	57		57
107780	369.11	370.64	1.53	240				240						32		32	54		54
107781	370.64	372.01	1.37	tr.				tr.						22		22	52		52
107782	372.01	372.53	0.52	tr.				tr.						30		30	40		40
107783	372.53	373.62	1.09	tr.				tr.						34		34	48		48
107784	381.37	381.91	0.54	tr.				tr.						37		37	66		66
107785	383.50	384.35	0.85	tr.				tr.						33		33	89		89
107786	389.05	389.23	0.18	tr.				tr.						36		36	69		69
107787	394.87	396.06	1.19	tr.				tr.						72		72	77		77
107788	396.06	396.67	0.61	240				240						84		84	124		124
107789	396.67	397.49	0.82	tr.				tr.						60		60	64		64
107790	397.49	397.82	0.33	tr.				tr.						53		53	99		99
107791	397.82	399.04	1.22	411				411						54		54	77		77
107792	399.04	399.29	0.25	tr.				tr.						51		51	57		57
107793	399.29	399.84	0.55	206				206						47		47	60		60
107794	399.84	401.36	1.52	tr.				tr.						64		64	79		79
107795	402.31	403.19	0.88	tr.				tr.						62		62	79		79
85998	406.88	408.40	1.52	tr.				tr.						77		77	50		50
107796	408.40	409.04	0.64	617				617						110		110	96		96
85999	409.04	410.78	1.74	tr.				tr.						77		77	57		57
107797	410.78	411.11	0.33	tr.				tr.						69		69	56		56
107798	414.19	415.41	1.22	tr.				tr.						74		74	50		50
107799	415.41	416.94	1.53	tr.				tr.						63		63	76		76
107800	416.94	418.46	1.52	tr.				tr.						41		41	51		51
107801	418.46	420.23	1.77	-2				-2						50		50	62		62
86000	421.45	422.91	1.46	tr.				tr.						76		76	50		50
107802	422.91	423.34	0.43	309				309						48		48	63		63
91601	423.34	424.86	1.52	tr.				tr.						70		70	47		47
107803	430.16	431.23	1.07	tr.				tr.						100		100	34		34
107804	433.79	435.38	1.59	tr.				tr.						95		95	46		46
107805	455.31	456.32	1.01	tr.				tr.						97		97	34		34
107806	461.22	461.53	0.31	tr.				tr.						60		60	37		37
107807	467.05	467.35	0.30	tr.				tr.						59		59	44		44
91602	481.58	482.29	0.71	tr.				tr.						79		79	69		69
107808	482.29	483.63	1.34	1749				1749						75		75	54		54
91603	483.63	484.63	1.00	tr.				tr.						54		54	60		60
107809	486.64	486.83	0.19	tr.				tr.						73		73	33		33
107810	493.41	495.03	1.62	tr.				tr.						77		77	51		51
107817	495.03	495.97	0.94	411				411						86		86	52		52
107818	495.97	497.49	1.52	tr.				tr.						80		80	37		37
107819	497.49	499.02	1.53	1029		700	770	833						67		67	49		49
107811	499.02	499.38	0.36	tr.				tr.						80		80	54		54
107820	499.38	500.54	1.16	411				411						59		59	53		53

MINNOVA INC. DIVISION EXPLORATION

ECHANTILLON	DE (m)	A (m)	LONGUEUR (m)	Au(OP1) ppb	Au(OP2) ppb	Au(R-1) ppb	Au(R-2) ppb	Au(MOY) ppb	Ag ppm	As(CH) ppm	Sb(CH) ppm	Mo(CH) ppm	Pb(CH) ppm	Cu(OP) ppm	Cu(CH) ppm	Cu(MOY) ppm	Zn(OP) ppm	Zn(CH) ppm	Zn(MOY) ppm
107821	500.54	502.07	1.53	tr.				tr.						59		59	60		60
107822	502.07	503.59	1.52	343				343						59		59	50		50
107823	503.59	503.96	0.37	tr.				tr.						58		58	45		45
107817	507.96	504.81	0.85	583				583						65		65	56		56
91605	504.81	505.11	0.30	tr.				tr.						96		96	70		70
107824	505.11	506.64	1.53	tr.				tr.						35		35	37		37
107825	506.64	508.16	1.52	tr.				tr.						30		30	37		37
107826	508.16	509.75	1.59	tr.				tr.						32		32	36		36
107813	514.84	516.30	1.46	tr.				tr.						76		76	50		50
91606	518.16	519.29	1.13	tr.				tr.						72		72	60		60
107814	519.29	519.68	0.39	377				377						54		54	59		59
91607	519.68	521.15	1.47	tr.				tr.						61		61	57		57
107815	521.15	521.54	0.39	tr.				tr.						120		120	49		49
107816	523.04	524.04	1.00	tr.				tr.						136		136	245		245
91608	524.04	524.93	0.89	tr.				tr.						367		367	80		80
91609	548.64	550.47	1.83	tr.				tr.						81		81	50		50
107827	550.47	550.90	0.43	754				754						65		65	40		40
91610	550.90	551.69	0.79	309				309						84		84	37		37
107828	553.79	555.32	1.53	tr.				tr.						74		74	29		29
107829	560.74	561.20	0.46	tr.				tr.						80		80	45		45
107830	568.39	569.21	0.82	206				206						87		87	41		41
107831	581.04	581.41	0.37	tr.				tr.						330		330	37		37
107832	583.60	583.94	0.34	tr.				tr.						60		60	29		29

MINNOVA INC. DIVISION EXPLORATION

COMPAGNIE : MINNOVA INC. DIVISION EXPLORATION PROJET : BOYVINET SONDAGE : BV-34 IMPRIMÉ LE : 16 avril 1992
 CANTON : GAND RANG : - LOT : - CLAIM : 382745-4 SNRC : 32G/12 ZONE : B1 NO. RÉFÉRENCE :

COORDONNÉES AU COLLET GRILLE #1 GRILLE #2 GRILLE ARPENTÉE AZIMUT : 152° 0'
 LIGNE : 24+00E LIGNE : LATITUDE : 1082.040 PLONGÉE : -60° 0'
 STATION : 35+50N STATION : LONGITUDE : 731.520 PROFONDEUR DU COLLET : 0.00
 ÉLEVATION : 30.480 ÉLEVATION : 30.480 ÉLEVATION : 30.480 LONGUEUR : 367.59m

GÉOLOGUE : HAROLD BRISSON REMARQUES : DATE DU JOURNAL : 16 août 1990
 CONTRACTEUR : FORAGE BELAND DATE D'ARPENTAGE :
 DATE DE CIMENTAGE :
 BUT : Sonder le contact entre la syénite Opawica et la ZDLS en profondeur. FORAGE DÉBUTÉ LE : 12 août 1990
 CIBLE : TERMINÉ LE : 15 août 1990
 TUBAGE LAISSÉ : Oui

DONNÉES D'ORIENTATION

Longueur Azimut Plongée

0.00 152 0' -60 0'
 61.26 156 0' -59 0'
 121.92 *156 58' -57 0'
 186.23 158 0' -56 0'
 243.84 *161 59' -55 0'
 302.06 166 0' -50 0'
 366.06 167 0' -49 0'

(*) azimut estimé par le programme

MINNOVA INC. DIVISION EXPLORATION

DE (m)	A (m)	TEXTURE ET STRUCTURE	ALTÉRATION	MINÉRALISATION
0.00	16.15	MT		
16.15	19.69	MORT-TERRAIN I3A1(VQZVCC) LEUCOGABBRO Leucogabbro I.C. = 35. Phanéritique moyen. Formé = 65% de plagioclases trapus et blanc verdâtre et = 35% de minéraux mafiques trapus et vert foncé. Texture homogranulaire hypidiomorphe. Peu ou pas déformée, non-foliée. De rares veinules de quartz et de calcite. Minéralisation absente.		
19.69	149.78	I3AMG(VCC) GABBRO MAGNETIQUE Gabbro magnétique. Phanéritique moyen jusqu'à grossier. Formé de lattes de plagioclase vert pâle et de minéraux mafiques prismatiques en proportion semblable. = 7% de magnétite. Texture hypidiomorphe à grains moyens. Texture ophitique à grains moyens-grossiers observée entre 388-406 pieds (118.26-123.75m). Déformation très variable: passages massifs et passages où la roche est très schistosée (A.C. 50°). Altération variable associée aux zones déformées: passages à calcite-(leucoxène), calcite-chlorite-(leucoxène)-(séricite), calcite-carbonates de fer-chlorite-séricite-leucoxène. Quelques veinules et veines centimétriques de calcite dans les passages peu déformés. Plusieurs veinules et veines centimétriques de calcite, plus localement calcite-carbonates de fer et quartz-calcite carbonates de fer, dans les zones déformées. Trace de pyrite sous forme d'amas.	19.69 - 19.84 107833: M4CL/VQZ/(PY) Zone de déformation au contact des deux types de gabbro. Texture primaire oblitérée. Schiste à chlorite-calcite et veine (= 15 millimètres) de quartz. Trace de pyrite. 22.56 - 28.01 =CC+CL+LX(PY)(VCC) GABBRO A CALCITE-CHLORITE-LEUCOXENE	

MINNOVA INC. DIVISION EXPLORATION

DE (m)	A (m)	TEXTURE ET STRUCTURE	ALTÉRATION	MINÉRALISATION
			<p>Déformation faible à moyenne. Altération variable: 20% passages décimétriques-millimétriques à calcite-leucoxène avec calcitisation moyenne; 20% passages décimétriques-millimétriques à chlorite-leucoxène avec chloritisation très forte et 60% passages décimétriques-millimétriques avec forte altération en calcite-chlorite-leucoxène. Quelques veinules de calcite. Magnétite complètement remplacée par le leucoxène.</p> <p>Trace de pyrite fine et moyenne.</p> <p>28.01 - 42.12 =>CL+CC+CBLX(PY)VCCQZCB</p> <p>GABBRO INTENSEMENT DEFORME</p> <p>Déformation très intense; schistosité très bien développée et généralement très régulière. Altération avec prédominance de chlorite et de calcite; ferrocabonation moyenne; * 7% de leucoxène (en remplacement de la magnétite). La zone se caractérise aussi par la présence = 5% de veinules et veines centimétriques de calcite-quartz-carbonates de fer qui sont ± déformées et boudinées sub-parallèlement à la foliation. Entre 122.6 et 123.0' (37.37-37.49m): lamprophyre noir magnétique, formé = 25% de phénocristaux mafiques (= 1-2 millimètres, olivine) et d'une matrice mafique à grains fins, calcitique et magnétique. Lamprophyre non-déformé, mis en place parallèlement à la foliation.</p> <p>Trace de pyrite fine localement, sous forme de trainées parallèles à la foliation; très localement = 1%.</p> <p>28.01 - 29.54</p> <p>107834: =>CL+CC+CBLX/5%VCC(CBQZ)</p> <p>29.54 - 31.06</p> <p>107835: =>CL+CC+CBLX/10%VCCQZCB/(PY)</p> <p>31.06 - 32.58</p> <p>107836: =>CL+CC+CBLX/5%VCCQZCB/(PY)</p> <p>32.58 - 34.11</p> <p>107837: =>CL+CC+CBLX/7%VCCQZCB/(PY)</p> <p>34.11 - 35.63</p> <p>107838: =>CL+CC+CBLX/3%VCCQZCB</p>	

MINNOVA INC. DIVISION EXPLORATION

DE (m)	A (m)	TEXTURE ET STRUCTURE	ALTERATION	MINÉRALISATION
		37.37 - 37.49 14NMGCC(.10V LAMPROPHYRE ULTRAMAFIQUE	<p>35.63 - 37.16</p> <p>107839: =CL+CC+CBXL/15%VCCQZCB</p> <p>37.16 - 38.68</p> <p>107840: =CL+CC+CBXL/6%VCCQZCB/12cm:4NMGCC(.10V</p> <p>38.68 - 40.20</p> <p>107841: =CL+CC+CBXL/5%VCCQZCB</p> <p>40.20 - 41.73</p> <p>107842: =CL+CC+CBXL/5%VCC</p> <p>41.73 - 42.12</p> <p>107843: =CL+CC+CBXL/5%VCCQZCB/PY</p> <p>42.12 - 47.88 =CL+CC(PY)VCCQZ</p> <p>GABBRO CHLORITISE</p> <p>Déformation moyenne à faible. Forte chloritisation; calcitisation variant de faible à moyenne. Texture primaire oblitérée par l'altération et la déformation. = 2% de veinules et veines centimétriques de calcite-quartz).</p> <p>Trace de pyrite fine disséminée; 1% très localement sous forme d'amas.</p> <p>42.12 - 43.65</p> <p>107844: =CL+CC/3%VCC(QZ)/(PY)</p> <p>43.65 - 45.17</p> <p>107845: (=)CL+CC/1%VCC/(PY)</p> <p>45.17 - 46.70</p> <p>107846: (=)CL+CC/2%VCC/(PY)</p> <p>46.70 - 47.88</p>	

MINNOVA INC. DIVISION EXPLORATION

DE (m)	A (m)	TEXTURE ET STRUCTURE	ALTÉRATION	MINÉRALISATION
			<p>107847: =CL+CC/5%VCC/PY</p> <p>56.94 - 65.23 (=)CL+CCVCCVQZ(CPPY)</p> <p>GABBRO CHLORITISE</p> <p>Texture primaire floue jusqu'à oblitérée par l'altération et la réformation. Déformation faible jusqu'à moyenne. Chloritisation moyenne jusqu'à forte. Calcitisation moyenne. 2% de veines centimétriques de calcite, 2% de veines centimétriques de quartz.</p> <p>Trace -1% de pyrite (≤ 2 millimètres) disséminée. Trace de chalcopryrite associée aux veines de quartz.</p> <p>56.94 - 57.82</p> <p>107848: (=)CC7%VQZ(CP)</p> <p>57.82 - 59.34</p> <p>107849: (=)CL+CC(PY)</p> <p>65.23 - 70.01 =CL+CC+LXVCC(PY)</p> <p>GABBRO CHLORITISE ET CARBONATISE</p> <p>Déformation moyenne; schistosité bien développée. Altération avec prédominance de chlorite et de calcite. = 7% de leucoxène étiré. 2% de veinules de calcite. Trace de séricité localement.</p> <p>Tr. -1% de pyrite (≤ 2 millimètres) disséminée.</p> <p>67.36 - 68.88</p> <p>107850: =CL+CC+LX(SR)(PY)</p> <p>70.01 - 74.22 =+CLCC+(SR)LXPYVQZCC</p> <p>GABBRO FORTEMENT DEFORME ET CARBONATISE</p> <p>Déformation forte; schistosité très bien développée et très fine (A.C.35°). Chloritisation moyenne, calcitisation forte et faible séricitisation. = 7% de leucoxène fin disséminé. = 5% de veinules et veines centimétriques de quartz-calcite bréchique et subparallèles à la foliation.</p> <p>= 1% de pyrite fine sous forme de bandes et lentilles parallèles à la foliation; localement jusqu'à 10%.</p>	

MINNOVA INC. DIVISION EXPLORATION

DE (m)	A (m)	TEXTURE ET STRUCTURE	ALTÉRATION	MINÉRALISATION
		<p>77.21 - 77.39 14NHGCC[.JOV LAMPROPHYRE ULTRAMAFIQUE</p>	<p>70.01 - 71.54 107851: =+CLCC+(SR)LX/5%VQZCC/(PY) 71.54 - 73.06 107852: =+CLCC+(SR)LX(PY) 74.22 - 81.35 =CL+CCLX(PY)VCC GABBRO CHLORITISE Déformation moyenne jusqu'à faible. Forte chloritisation; calcitisation moyenne. = 7% de leucoxène plus ou moins étiré. 5% de veinules et veines centimétriques de calcite. Entre 253.3-253.9' (77.21-77.39m): lamprophyre noir, non-déformé et recoupant la schistosité, formé de = 25% phénocristaux (1-3 millimètres) mafiques (olivine) et d'une matrice mafique à grains fins, magnétique et calcitique. (14NHGCC[.JOV) Trace de pyrite disséminée. 1% localement sous forme d'amas. 74.22 - 75.74 107854: =CL+CCLX/2%VCC/(PY) 81.35 - 104.52 (=)EP(CLCC)LX(PY)VCC GABBRO EPIDOTISE Déformation faible jusqu'à moyenne localement. Texture gabbroïque floue. Epidotisation moyenne, chloritisation et calcitisation faible. = 15% de passages décimétriques-millimétriques avec déformation moyenne, chloritisation forte et calcitisation moyenne. 5-7% de leucoxène. = 5% de veinules ± déformées de calcite. Entre 281.3-281.4' (85.74-85.77m): 14NHGCC lamprophyre; texture porphyrique. Entre 283.6-283.9'(86.44-86.53m): veine non déformée de quartz blanc laiteux qui recoupe la foliation. Trace de pyrite fine disséminée.</p>	<p>73.06 - 74.22 107853: =+CLCC+(SR)LX/25%VQZCC/PY++</p>

MINNOVA INC. DIVISION EXPLORATION

DE (m)	A (m)	TEXTURE ET STRUCTURE	ALTÉRATION	MINÉRALISATION
85.74	85.77	14NMGCC[.] LAMPROPHYRE ULTRAMAFIQUE	<p>104.52 - 125.36 (=)(CC)(PY) GABBRO FAIBLEMENT ALTERE ET DEFORME</p> <p>Déformation faible ou absente, parfois d'intensité moyenne. Texture ophitique observée entre 388 et 406 pieds. Calcitisation généralement faible, intensité jusqu'à moyenne dans les passages déformés. Chloritisation faible associée aux zones déformées. Roche magnétique: magnétite non-altérée en leucoxène. 1% de veinules de calcite.</p> <p>Trace de pyrite fine disséminée.</p> <p>125.36 - 136.89 (=)CCCLPYVCC GABBRO MOYENNEMENT CHLORITISE ET CARBONATISE</p> <p>Déformation faible, plus localement moyenne jusqu'à intense. Calcitisation moyenne. Chloritisation moyenne; localement faible, intense dans les zones les plus déformées. Roche magnétique lorsque peu ou moyennement altérée; non-magnétique dans les passages plus altérés. Leucoxène pas développé. = 5% de veines centimétriques déformés de calcite; jusqu'à 20% localement.</p> <p>≤ 2% de pyrite (≤ 2 millimètres) disséminée dans la roche altérée et sous forme de lentilles dans les veines de calcite.</p> <p>125.36 - 126.89 107855: (=)CLCC/10%VCC/(PY) 126.89 - 128.41 107856: (=)CLCC/5%VCC/(PY) 128.41 - 129.94 107857: (=)CC(CL)/1%VCC 129.94 - 131.46 107858: (=)CC(CL)/2%VCC 131.46 - 132.98</p>	

MINNOVA INC. DIVISION EXPLORATION

DE (m)	A (m)	TEXTURE ET STRUCTURE	ALTÉRATION	MINÉRALISATION
149.78	267.77	<p>M4CBSRCL, M4GPCBSR, 14N</p> <p>ZONE DE DEFORMATION LAC SHORTT</p> <p>Unité à protolithe incertain constitué en majeure partie de schiste à séricite-carbonate et de schiste graphitique, avec quelques intervalles décimétriques à métriques de lamprophyre ultramafique, tel que décrit ci-bas.</p> <p>Déformation intense à extrême sur tout l'intervalle; rubanement millimétrique et submillimétrique défini par l'alternance de bandes de séricite-chlorite et carbonates de fer-calcite. La foliation est localement irrégulièrement plissotée. Le schiste à séricite-carbonate est bréchifié dans le schiste graphitique formant la partie centrale de l'unité.</p> <p>Altération moyenne en chlorite, calcite, carbonates de fer et séricite au début de l'unité; la séricite et les carbonates de fer prédominent vers la fin. Le schiste graphitique est caractérisé par la calcite, séricite et les carbonates de fer en plus du graphite. Des veines de quartz, massives ou bréchiques, sont également présentes.</p> <p>Minéralisation peu abondante. Pyrite en traces, très localement jusqu'à 2%. Pyrite locale associée avec veines de quartz dans le schiste graphitique.</p>	<p>107859: =CLCC/20%VCC/PY 132.98 - 134.51</p> <p>107860: =CLCC/10%VCC/(PY) 134.51 - 136.03</p> <p>107861: (=)CC(CL)/1%VCC/(PY) 136.03 - 136.89</p> <p>107862: (=)CC(CL/1%VCC/(PY) 136.89 - 149.78 MG(CC)VPEVQZCC</p> <p>GABBR0 MAGNETIQUE PEU DEFORME</p> <p>Gabbro magnétique peu ou pas déformé. Calcitisation faible jusqu'à moyenne. 2% de veinules d'épidote. Quelques veines centimétriques de quartz-calcite, totalisant * 2% de la zone.</p> <p>149.78 - 159.72 M4CLCCBSR(GP)(PY)</p> <p>ZONE DE DEFORMATION LAC SHORTT</p> <p>Schiste à chlorite-calcite-carbonates de fer-séricite.</p>	

MINNOVA INC. DIVISION EXPLORATION

DE (m)	A (m)	TEXTURE ET STRUCTURE	ALTÉRATION	MINÉRALISATION
		<p>150.69 - 151.64 14NMGCC(.J)OV/PY</p> <p>LAMPROPHYRE ULTRAMAFIQUE</p> <p>107864: Lamprophyre gris foncé, formé = 1% de phénocristaux (<2 millimètres) mafiques (olivine) et d'une matrice mafique à grains fins-aphanitique, calcitique et magnétique. Un passage de 30 centimètres de roche encaissante.</p> <p>Roche massive, non déformée. Dyke recoupe la foliation du schiste. Cataclase sur = 2 centimètres dans le passage de roche encaissante.</p> <p>= 2 centimètres d'un amas de pyrite fine dans le passage de roche encaissante.</p>	<p>Rubanement millimétrique et < millimétrique définie par des bandes de chlorite-séricite et des bandes de calcite-carbonates de fer. Bandes de couleur vert moyen et bandes de couleur crème. Schistosité régulière dans l'ensemble (A.C. = 55°), localement plissée de façon irrégulière et en chevrons (kinksbands).</p> <p>Déformation varie de moyenne à extrême du début vers la fin de l'unité. Quelques passages graphitiques décimétriques avec veines centimétriques- décimétriques et bréchifiées de calcite-carbonates de fer.</p> <p>Pyrite généralement absente. Trace à 2% de pyrite associé aux veines de CC-CB associée à un dyke de l'amprophyre. Pyrite très fine sous forme d'amas et de lentilles parallèles à la foliation.</p> <p>149.78 - 150.69</p> <p>107863: M4CLCCCB(SR)PY</p> <p>151.64 - 152.70</p> <p>107865: M4\GP10%VCCQZ/PY Passage de schiste bréchifié et graphitique. = 10% de veinules et veines centimétriques de calcite-quartz. 2% de pyrite fine en amas.</p> <p>159.72 - 193.09 M4GPCC, M4CCSR/\GP, M4SRCCCBGP</p> <p>SCHISTE F: BRÈCHE GRAPHITIQUE</p> <p>Sch. le à graphite-calcite, brèche graphitique de schiste à calcite-séricite et schiste à</p>	

MINNOVA INC. DIVISION EXPLORATION

DE (m)	A (m)	TEXTURE ET STRUCTURE	ALTÉRATION	MINÉRALISATION
			<p>séricite-calcite-carbonates de fer-graphite. L'unité comporte trois zones à dominance de:</p> <p>1) schiste à graphite-calcite entre 524.0-539.0' (159.72-164.29m)</p> <p>2) brèche graphitique de schiste à calcite-séricite entre 539.0-586.0' (164.29-178.61m) 3) schiste à séricite-calcite-carbonates de fer-graphite entre 586.0-633.5' (178.61-193.09m). Le développement de graphite et des brèches à GP semble donc postérieur au développement d'un schiste à séricite-calcite-carbonates de fer que l'on retrouve à plus grande échelle.</p> <p>Schistosité très bien développée et relativement régulière dans M4GPCC (A.C.: 50°). Schistosité reprise et plissée très irrégulièrement dans M4CCSR/\GP. Schistosité très bien développée et généralement régulière dans M4SRCCCBGP (A.C.: 55°). Quelques veines centimétriques-décimétriques (≤ 30 centimètres) de quartz blanc et noir, bréchique ou massive contenant des fragments graphitiques ou de schiste à séricite.</p> <p>Généralement absente. Localement = 1% de pyrite fine sous forme d'amas, associée aux veines de quartz.</p> <p>163.83 - 164.23</p> <p>107866: M4GPCC/50%VQZ/PY Schiste à graphite-calcite sur ≈ 20 centimètres. Veine de quartz sur ≈ 20 centimètres, contenant des fragments graphitiques. 1% de pyrite fine sous forme d'amas lenticulaires dans M4GPCC.</p> <p>169.47 - 170.20</p> <p>107867: 40% M4GPCC, 60%VQZ/PY Schiste à graphite-calcite sur ≈ 30 centimètres. Veine de quartz sur ≈ 45 centimètres, contenant des fragments graphitiques. 1% de pyrite fine sous forme d'amas lenticulaires dans M4GPCC.</p> <p>185.32 - 185.41</p> <p>107868: VQZCCGPPY Veine noire (graphitique) de silice-calcite aphanitique. 1% de pyrite fine disséminée.</p>	

MINNOVA INC. DIVISION EXPLORATION

DE (m)	A (m)	TEXTURE ET STRUCTURE	ALTÉRATION	MINÉRALISATION
			<p>189.86 - 191.69</p> <p>107869: M4SRCCCB/VPVQZ/(PY) Schiste à séricite-calcite-carbonates de fer localement bréchique avec matrice de graphite et injectée de veines centimétriques de quartz. Schistosité très irrégulière. Quartz bréchique recoupant des passages graphitiques. ≤1% de pyrite fine sous forme d'amas lenticulaires.</p> <p>193.09 - 265.63 M4SRCLC8CC</p> <p>SCHISTE A SERICITE-CHLORITE-CARBONATES</p> <p>Schiste à séricite-chlorite-carbonates de fer-calcite. Vert pâle, relativement homogène et à grains fins (<1 millimètre).</p> <p>Foliation extrême (A.C. = 55°), submillimétrique, très régulière, localement plissée en chevron (kinks). Débit en lamelles. = 5% de veinules et veines centimétriques de calcite-carbonates de fer et calcite-quartz subparallèles à la foliation et ± bréchifiées.</p> <p>Quelques veines centimétriques-décimétriques et bréchiques de quartz-calcite. De rares passages millimétriques de brèche à graphite.</p> <p>Minéralisation généralement absente, localement trace à 1% de pyrite (≤2 millimètres).</p> <p>202.39 - 203.00</p> <p>107870: 60% VQZ(CC) Deux veines bréchiques de quartz-(calcite) totalisant 60% de l'intervalle.</p> <p>218.15 - 218.33</p> <p>107871: VQZCC/AGP Veine bréchique de quartz-calcite et brèche à graphite en bordure.</p> <p>220.34 - 221.04</p> <p>107872: 20% VQZCC = 20% de veines centimétriques et bréchiques de quartz-calcite.</p>	

MINNOVA INC. DIVISION EXPLORATION

DE (M)	A (m)	TEXTURE ET STRUCTURE	ALTÉRATION	MINÉRALISATION
		265.63 - 267.77 14NB0CCNG(.10V)(PO)	<p>232.78 - 233.17</p> <p>107873: M4SRCLC8CC(GP)/5XV0ZCC/PY 5% de veines de quartz-calcite, 10% de bandes graphitiques. 1% de pyrite associé au graphite.</p> <p>242.62 - 243.84</p> <p>107874: M4SRCLC8CC(PY) 1% de pyrite localement.</p> <p>263.04 - 265.63 (/HMEP)CC</p> <p>Schiste localement bréchifié; faible hématitisation et épidotisation. Calcitisation moyenne. Minéralisation absente.</p> <p>107875: 863.0-868.0; M4SRCLCC(/HM) 107876: 868.0-871.5; M4SRCLCC(/HMEP)</p>	
267.77	301.45	<p>12JLJFP, 50%CCHM</p> <p>DIORITE PORPHYRIQUE</p> <p>Diorite porphyrique à phénocristaux de plagioclase. 10 à 35% de phénocristaux de plagioclase (2 à 7 millimètres). Matrice à grains fins-aphanitique de couleur gris foncé verdâtre. Phénocristaux trapus, localement sous forme de lattes ± orientées préférentiellement (texture trachytique).</p> <p>Roche non-schistosee; = 25% de l'intervalle est fracturé centimétrique irrégulièrement. = 50% de l'intervalle est altéré en calcite et calcite-hématite, et présente une texture floue ou oblitérée. Quelques veinules et veines centimétriques de quartz blanc. De rares veinules d'épidote</p>		

MINNOVA INC. DIVISION EXPLORATION

DE (m)	A (m)	TEXTURE ET STRUCTURE	ALTÉRATION	MINÉRALISATION
301.45	346.62	<p>et de calcite.</p> <p>Minéralisation absente.</p> <p>M15FPHM(SRCCCB)(PY)VQZ</p> <p>ROCHE METASOMATIQUE HEMATISEE</p> <p>Roche métasomatique à grains moyens et de couleur rouge vif, formée d'environ 85% de feldspath hématitisés et = 14% d'amas irréguliers de séricite-calcite-carbonates de fer et texture équi-granulaire. = 1% de minéraux mafiques. Protolithe: roche intrusive semblable à l'unité suivante (monzonite ou syénite).</p> <p>Roche massive, non-foliée, très localement mylonitique. = 10% de veines centimétriques-millimétriques (< 1,3 millimètre) de quartz gris pâle comportant un peu de calcite et parfois de l'albite.</p> <p>≤ 1% de pyrite fine disséminée dans M15. = 1% de pyrite fine sous forme d'amas associé aux veines de quartz.</p>	<p>267.77 - 269.29 12JCCHM</p> <p>107877: Texture porphyrique oblitérée. Calcite hématite moyenne.</p> <p>269.29 - 270.05</p> <p>91612: 12J[.]Fp#CL(CC)VCCCHM Teinte vert moyen avec nombreuses fines veinules de calcite ± hématite variablement diffuse. Chlorite diffuse moyenne avec calcite faible surtout à partir des veinules. Minéralisation absente.</p> <p>273.10 - 274.62</p> <p>107878: 12J[.]JFPCCHM Texture porphyrique conservée. Calcite et hématite moyenne.</p> <p>299.92 - 301.45</p> <p>107879: 12J[.]JFP/CCHM(PY) Texture porphyrique floue. Calcite-hématite moyenne. 1% de veinules de quartz. Tr. -1% de pyrite fine disséminée.</p> <p>301.45 - 302.91</p> <p>107880: (VQZ, M15)PY Veine de quartz blanc et gris pâle contenant = 10% de</p>	

MINNOVA INC. DIVISION EXPLORATION

DE (m)	A (m)	TEXTURE ET STRUCTURE	ALTÉRATION	MINÉRALISATION
			<p>fragments de M15. = 20% centimètres de M15 mylonitique à matrice carbonatée beige et gris foncé, au début de l'intervalle. = 1% de pyrite fine dans la veine et associée au M15 mylonitique.</p> <p>302.91 - 304.43</p> <p>107881: M15FPHM(SRCCCB)(PY)</p> <p>304.43 - 305.96</p> <p>107882: M15FPHM(SRCCCB)(PY)VQZ 5% de veines centimétriques de quartz gris. M15 un peu déformé et carbonaté en bordure d'une veine.</p> <p>305.96 - 307.48</p> <p>107883: M15FPHM(SRCCCB)(PY)</p> <p>307.48 - 309.01</p> <p>107884: 20% VQZAB/PY Veine blanche et gris pâle de quartz-albite, aphanitique, sur 30 centimètres.</p> <p>309.01 - 310.53</p> <p>107885: M15FPHM(SRCCCB)(PY)</p> <p>310.53 - 312.05</p> <p>107886: M15FPHM(SRCCCB)10%VQZ/PY Veine de quartz blanc et grisâtre sur 15 centimètres. 1% de pyrite disséminée et sous forme d'amas.</p> <p>312.05 - 313.58</p> <p>107887: M15FPHM(SRCCCB)(PY)</p> <p>313.58 - 315.10</p> <p>107888: M15FPHM(SRCCCB)(=)PY 5 centimètres de M15 mylonitique avec matrice calcitique de couleur grise. 1% de pyrite disséminée.</p> <p>315.10 - 316.63</p>	

MINNOVA INC. DIVISION EXPLORATION

DE (m)	A (m)	TEXTURE ET STRUCTURE	ALTÉRATION	MINÉRALISATION
			<p>107889: M15FPHM(SRCCCB)PY 1% de pyrite disséminée.</p> <p>316.63 - 318.15</p> <p>107890: M15FPHMCC(SRCCB)(PY) 50% de M15 moyennement altéré en calcite et de couleur grise.</p> <p>318.15 - 319.67</p> <p>107891: M15FPHM(SRCCCB)(PY)20%VQZ Veine de quartz gris de 30 centimètres.</p> <p>319.67 - 321.20</p> <p>107892: M15FPHM(SRCCCB)(PY)5%VCC 5% de veines centimétriques de calcite rose.</p> <p>321.20 - 322.72</p> <p>107893: M15FPHM(SRCCCB)PY</p> <p>322.72 - 324.25</p> <p>107894: M15FPHM(SRCCCB)(PY)</p> <p>324.25 - 325.77</p> <p>107895: M15FPHM(SRCCCB)(PY)</p> <p>325.77 - 327.29</p> <p>107896: M15FPHM(SRCCCB)/10%VQZ/PY 10% de veines de quartz gris.</p> <p>327.29 - 328.82</p> <p>107897: M15FPHM(SRCCCB)</p> <p>328.82 - 330.34</p> <p>107898: M15FPHM(SRCCCB)(PY)</p> <p>330.34 - 331.87</p> <p>107899: M15FPHM(SRCCCB)(PY)</p> <p>331.87 - 333.39</p> <p>107900: 50VQZ/(PY)</p>	

MINNOVA INC. DIVISION EXPLORATION

DE (m)	A (m)	TEXTURE ET STRUCTURE	ALTÉRATION	MINÉRALISATION
		<p>335.62 - 337.41 14NB0CCMG[.10V(PD)</p> <p>LAMPROPHYRE ULTRAMAFIQUE</p> <p>107903: Lamprophyre, noir, formé = 25% de phénocristaux (≤2 millimètres) d'olivine et d'une matrice mafique à grains fins avec biotite, calcite et magnétite. Bordures figées = 5 millimètres.</p> <p>Roche massive, non déformée, non-foliée. Quelques veinules de calcite blanche.</p> <p>≤ 1% de pyrrhotite fine.</p>	<p>50% de veines de quartz blanc grisâtre.</p> <p>333.39 - 334.55</p> <p>107901: M15FPHMCC(SRCB) Calcitisation moyenne.</p> <p>334.55 - 335.62</p> <p>107902: M15FPCC Forte calcitisation et lessivage de l'hématite conférant une couleur gris foncé à la roche. Altération associée au dyke de lamprophyre.</p> <p>337.41 - 338.94</p> <p>107904: M15FPHMCC(SRCB)5XVQZ 50% d'altération moyenne en calcite, associée au lamprophyre. 5% de veines de quartz gris.</p> <p>338.94 - 340.46</p> <p>107905: M15FPHM(CCCBSR)/5XVQZ 5% de veines de quartz gris.</p> <p>340.46 - 341.99</p> <p>107906: M15FPHM(CCCBSR)</p> <p>341.99 - 343.78</p> <p>107907: M15FPHMCC(CBSR) 25 centimètres d'altération moyenne en calcite associée au lamprophyre.</p>	
		<p>343.78 - 343.94 14NB0CCMG[.10V</p> <p>LAMPROPHYRE ULTRAMAFIQUE</p>		

MINNOVA INC. DIVISION EXPLORATION

DE (m)	A (m)	TEXTURE ET STRUCTURE	ALTÉRATION	MINÉRALISATION
346.62	367.59	<p>107908: Lamprophyre idem à 1101.1-1107. (335.62-337.42)</p> <p>12F[.]FPCC(HM)</p> <p>MONZONITE PORPHYRIQUE</p> <p>= 70% de phénocristaux blancs souvent zonés et de phénocristaux rougeâtre (feldspath potassique ou hématitisation du plagioclase). La matrice est à grains fins de couleur gris rougeâtre: 50% de minéraux felsiques et = 50% minéraux mafiques. Texture trachytique localement. Couleur gris foncé rougeâtre.</p> <p>Roche massive, non déformée, non-foliée. Altération moyenne en calcite avec faible hématitisation. = 33% de passages altérés moyennement en calcite et fortement en hématite avec une couleur rouge vif (±M15FPHM idem à l'unité précédente). = 5% de veinules et veines centimétriques-décimétriques de quartz gris.</p> <p>Minéralisation absente. <1% de pyrite localement.</p>	<p>343.94 - 345.46</p> <p>107909: M15FPHM(SRCCCB)/5XVQZ/PY</p> <p>345.46 - 346.62</p> <p>107910: M15FPHM(SRCCCB)</p> <p>346.62 - 348.14</p> <p>107911: 12F[.]FP/CC(HM)</p> <p>348.14 - 349.67</p> <p>107912: 12F[.]FP/CC(HM)</p> <p>349.67 - 351.19</p> <p>107913: 12F[.]FP/CCHM</p> <p>351.19 - 352.71</p> <p>107914: 12F[.]FP/CCHM</p> <p>352.71 - 354.24</p> <p>107915: 12F[.]FP/CC(HM)</p> <p>354.24 - 355.76</p> <p>107916: 12F[.]FP/CCHM Texture floue; couleur rouge vif.</p>	

MINNOVA INC. DIVISION EXPLORATION

DE (m)	A (m)	TEXTURE ET STRUCTURE	ALTERATION	MINÉRALISATION
367.59	FIN DU TROU		<p>Hématitisation généralisée.</p> <p>355.76 - 357.29</p> <p>107917: 15%M15FPHM/10%VQZ/75%I2F Une veine de 15 centimètres de quartz gris. 25 centimètres de M15FPHM.</p> <p>357.29 - 358.81</p> <p>107918: 12[.]JFP/CC(HM)</p> <p>358.81 - 360.33</p> <p>107919: 12[.]JFP/CCHM</p> <p>360.33 - 361.86</p> <p>107920: 12[.]JFP/CCHM</p> <p>361.86 - 363.38 25% M15FPHM</p> <p>107921: 25%M15FPHM/75%I2 25% de roches métasomatiques à feldspath-hématite, de couleur rouge vif.</p> <p>363.38 - 364.91</p> <p>107922: 12%M15FPHM Texture floue. Altération plus forte en HM qui brouille la texture.</p> <p>364.91 - 366.43</p> <p>107923: 12[.]JFP/CCHM+/15%VQZ 15% de veines de quartz gris.</p> <p>366.43 - 367.59</p> <p>107924: 12[.]JFP/CCHM+ Texture floue.</p> <p>367.59m (1205'): FIN DU TROU.</p>	

MINNOVA INC. DIVISION EXPLORATION

ECHANTILLON	DE (m)	A (m)	LONGUEUR (m)	Au(OP1) ppb	Au(OP2) ppb	Au(R-1) ppb	Au(R-2) ppb	Au(MOY) ppb	Ag ppm	As(CH) ppm	Sb(CH) ppm	Mo(CH) ppm	Pb(CH) ppm	Cu(OP) ppm	Cu(CH) ppm	Cu(MOY) ppm	Zn(OP) ppm	Zn(CH) ppm	Zn(MOY) ppm
107833	19.69	19.84	0.15	tr.				tr.						87		87	49		49
107834	28.01	29.54	1.53	tr.				tr.						70		70	46		46
107835	29.54	31.06	1.52	tr.				tr.						120		120	52		52
107836	31.06	32.58	1.52	tr.				tr.						140		140	61		61
107837	32.58	34.11	1.53	tr.				tr.						90		90	59		59
107838	34.11	35.63	1.52	tr.				tr.						110		110	69		69
107839	35.63	37.16	1.53	tr.				tr.						190		190	77		77
107840	37.16	38.68	1.52	tr.				tr.						112		112	69		69
107841	38.68	40.20	1.52	tr.				tr.						118		118	70		70
107842	40.20	41.73	1.53	tr.				tr.						90		90	80		80
107843	41.73	42.12	0.39	tr.				tr.						170		170	77		77
107844	42.12	43.65	1.53	tr.				tr.						190		190	84		84
107845	43.65	45.17	1.52	tr.				tr.						110		110	49		49
107846	45.17	46.70	1.53	tr.				tr.						80		80	44		44
107847	46.70	47.88	1.18	tr.				tr.						140		140	60		60
107848	56.94	57.82	0.88	tr.				tr.						112		112	52		52
107849	57.82	59.34	1.52	tr.				tr.						160		160	72		72
107850	67.36	68.88	1.52	tr.				tr.						90		90	210		210
107851	70.01	71.54	1.53	tr.				tr.						80		80	197		197
107852	71.54	73.06	1.52	tr.				tr.						105		105	875		875
107853	73.06	74.22	1.16	tr.				tr.						240		240	447		447
107854	74.22	75.74	1.52	tr.				tr.						90		90	156		156
107855	125.36	126.89	1.53	tr.				tr.						40		40	76		76
107856	126.89	128.41	1.52	tr.				tr.						65		65	65		65
107857	128.41	129.94	1.53	tr.				tr.						30		30	74		74
107858	129.94	131.46	1.52	tr.				tr.						40		40	70		70
107859	131.46	132.98	1.52	tr.				tr.						77		77	100		100
107860	132.98	134.51	1.53	tr.				tr.						107		107	121		121
107861	134.51	136.03	1.52	tr.				tr.						119		119	117		117
107862	136.03	136.89	0.86	tr.				tr.						126		126	117		117
107863	149.78	150.69	0.91	tr.				tr.						259		259	103		103
107864	150.69	151.64	0.95	tr.				tr.						204		204	421		421
107865	151.64	152.70	1.06	tr.				tr.						173		173	317		317
107866	163.83	164.23	0.40	tr.				tr.						63		63	130		130
107867	169.47	170.20	0.73	tr.				tr.						51		51	166		166
107868	185.32	185.41	0.09	tr.				tr.						139		139	184		184
107869	189.86	191.69	1.83	tr.				tr.						75		75	112		112
107870	202.39	203.00	0.61	tr.				tr.						130		130	49		49
107871	218.15	218.33	0.18	tr.				tr.						37		37	80		80
107872	220.34	221.04	0.70	tr.				tr.						129		129	74		74
107873	232.78	233.17	0.39	tr.				tr.						127		127	109		109
107874	232.62	243.84	1.22	tr.				tr.						51		51	37		37
107875	263.04	264.57	1.53	tr.				tr.						97		97	42		42
107876	264.57	265.63	1.06	tr.				tr.						86		86	49		49
91611	266.70	267.77	1.07	tr.				tr.						92		92	270		270
107877	267.77	269.29	1.52	514				517						64		64	60		60
91612	269.29	270.05	0.76	343				343						61		6157	270	57	270
107878	273.10	274.62	1.52	tr.				tr.						60		60	54		54
107879	299.92	301.45	1.53	tr.				tr.						68		68	50		50
107880	301.45	302.91	1.46	1406		1430	1570	1469						40		40	48		48
107881	302.91	304.43	1.52	1783		1300	1330	1471						72		72	70		70
107882	304.43	305.96	1.53	343				343						114		114	60		60

MINNOVA INC. DIVISION EXPLORATION

ECHANTILLON	DE (m)	A (m)	LONGUEUR (m)	Au(OP1) ppb	Au(OP2) ppb	Au(R-1) ppb	Au(R-2) ppb	Au(MOY) ppb	Ag ppm	As(CH) ppm	Sb(CH) ppm	Mo(CH) ppm	Pb(CH) ppm	Cu(OP) ppm	Cu(CH) ppm	Cu(MOY) ppm	Zn(OP) ppm	Zn(CH) ppm	Zn(MOY) ppm
107883	305.96	307.48	1.52	686				686						130		130	61		61
107884	307.48	309.01	1.53	tr.				tr.						100		100	57		57
107885	309.01	310.53	1.52	tr.				tr.						70		70	56		56
107886	310.53	312.05	1.52	tr.				tr.						65		65	49		49
107887	312.05	313.58	1.53	206				206						100		100	54		54
107888	313.58	315.10	1.52	tr.				tr.						85		85	51		51
107889	315.10	316.63	1.53	tr.				tr.						54		54	51		51
107890	316.63	318.15	1.52	tr.				tr.						170		170	57		57
107891	318.15	319.67	1.52	tr.				tr.						116		116	97		97
107892	319.67	321.20	1.53	309				309						56		56	66		66
107893	321.20	322.72	1.52	274				274						33		33	56		56
107894	322.72	324.25	1.53	tr.				tr.						37		37	56		56
107895	324.25	325.77	1.52	tr.				tr.						45		45	50		50
107896	325.77	327.29	1.52	686				686						59		59	57		57
107897	327.29	328.82	1.53	tr.				tr.						54		54	47		47
107898	328.82	330.34	1.52	tr.				tr.						40		40	50		50
107899	330.34	331.87	1.53	240				240						40		40	47		47
107900	331.87	333.39	1.52	tr.				tr.						112		112	33		33
107901	333.39	334.55	1.16	tr.				tr.						42		42	46		46
107902	334.55	335.62	1.07	tr.				tr.						52		52	284		284
107903	335.62	337.41	1.79	tr.				tr.						109		109	117		117
107904	337.41	338.94	1.53	411				411						67		67	210		210
107905	338.94	340.46	1.52	tr.				tr.						93		93	50		50
107906	340.46	341.99	1.53	274				274						49		49	44		44
107907	341.99	343.78	1.79	tr.				tr.						54		54	41		41
107908	343.78	343.94	0.16	tr.				tr.						287		287	136		136
107909	343.94	345.46	1.52	240				240						47		47	81		81
107910	345.46	346.62	1.16	309				309						45		45	67		67
107911	346.62	348.14	1.52	tr.				tr.						35		35	47		47
107912	348.14	349.67	1.53	tr.				tr.						39		39	48		48
107913	349.67	351.19	1.52	tr.				tr.						60		60	50		50
107914	351.19	352.71	1.52	tr.				tr.						53		53	54		54
107915	352.71	354.24	1.53	tr.				tr.						45		45	37		37
107916	354.24	355.76	1.52	tr.				tr.						54		54	47		47
107917	355.76	357.29	1.53	tr.				tr.						46		46	45		45
107918	357.29	358.81	1.52	tr.				tr.						84		84	49		49
107919	358.81	360.33	1.52	tr.				tr.						37		37	45		45
107920	360.33	361.86	1.53	tr.				tr.						36		36	43		43
107921	361.86	363.38	1.52	343				343						41		41	43		43
107922	363.38	364.91	1.53	tr.				tr.						37		37	31		31
107923	364.91	366.43	1.52	tr.				tr.						44		44	41		41
107924	366.43	367.59	1.16	tr.				tr.						40		40	37		37

MINNOVA INC. DIVISION EXPLORATION

COMPAGNIE : MINNOVA INC.	DIVISION EXPLORATION	PROJET : BOYVINET	SONDAGE : BV-35	IMPRIMÉ LE : 16 avril 1992
CANTON : LMC BOVINET	RANG : -	LOT : -	CLAIM : 429070-1	SNRC : 32F/9
			ZONE : B1	NO. RÉFÉRENCE :
<u>COORDONNÉES AU COLLET</u>	GRILLE #1 LIGNE : 44+00M STATION : 13+50M ÉLEVATION : 15.240	GRILLE #2 LIGNE : STATION : ÉLEVATION : 15.240	GRILLE ARPENTÉE LATITUDE : 411.480 LONGITUDE : -1341.130 ÉLEVATION : 15.240	AZIMUT : 295° 0' PLONGÉE : -45° 0' PROFONDEUR DU COLLET : 0.00 LONGUEUR : 253.90m.
GÉOLOGUE : HAROLD BRISSON		REMARQUES :		DATE DU JOURNAL : 19 août 1990
CONTRACTEUR : FORAGE BELAND				DATE D'ARPENTAGE :
				DATE DE CIMENTAGE :
BUT : Vérifier l'extension MNE possible de la zone minéralisée BV-16				FORAGE DÉBUTÉ LE : 17 août 1990
CIBLE :				TERMINÉ LE : 19 août 1990
				TUBAGE LAISSÉ : Oui

DONNÉES D'ORIENTATION

Longueur	Azimut	Plongée
0.00	295 0'	-45 0'
58.22	302 0'	-46 0'
91.44	*300 56'	-45 0'
183.18	298 0'	-46 0'
253.90	298 0'	-46 0'

(*) azimut estimé par le programme

MINNOVA INC. DIVISION EXPLORATION

DE (m)	A (m)	TEXTURE ET STRUCTURE	ALTÉRATION	MINÉRALISATION
0.00	52.43	MT MORT-TERRAIN		
52.43	253.90	13A(MG)BO(RB)vCC GABBRO BIOTITISE Gabbro faiblement magnétique, biotitisé. Vert foncé, phanéritique moyen (1-3 millimètres) avec ≈ 25% de passages millimétriques phanéritiques fins (≈ 1 millimètre). Texture hypidiomorphe. Formé ≈ 55% de minéraux mafiques (amphibole, chlorite et biotite) et ≈ 45% de plagioclases blancs (albite: 5 à 10% de biotite fine et moyenne visible surtout dans les passages plus grenus. Cette biotite suggère, un métamorphisme de plus haute température, fort probablement relié au pluton de syénite situé à l'est. De rares passages centimétriques-décimétriques très magnétiques et à grains fins < 0.5 millimètres. Quelques enclaves de roches mafiques à grains fins. Généralement non-foliée, faible foliation développée localement (AC.: 60°). ≈ 2% de veinules et veines centimétriques-décimétriques de calcite. Localement ≈ 10% de minéraux mafiques de couleur bleu pâle (amphibole sodique: riebeckite?). Quelques passages décimétriques faiblement altérés en calcite. De rares veinules de calcite-hématite. De rares veines et zone bréchique avec syénite. Quelques veinules et veines décimétriques de quartz gris. Minéralisation généralement absente. ≈ 2% de pyrite fine associée aux passages très magnétiques et phanéritiques fins.	58.28 - 59.28 107925: 20% I2D 20% d'injections "syénitiques" avec roche encaissante bréchique. Syénite à grains moyens et I.C. 15. Hématitisation faible à moyenne de la syénite. 65.47 - 66.60 107926: 13AMG++PY Passage très magnétique, phanéritique fin et de couleur vert foncé et noirâtre. 2% de pyrite fine. 69.80 - 70.62 107927: 13A(MG)CC/5XVCCQ2 Texture floue. 5% de veinules et veines centimétriques de calcite et calcite-quartz. Roche moyennement altérée en calcite. 76.05 - 76.72	

MINNOVA INC. DIVISION EXPLORATION

DE (m)	A (m)	TEXTURE ET STRUCTURE	ALTÉRATION	MINÉRALISATION
		<p>203.30 - 207.72 12F7m</p> <p>MONZONITE?</p> <p>Passage phanéritique grossier formé ≈ 45% de feldspath et ≈ 55% de minéraux mafiques. Texture hypidiomorphe. Feldspath blanc et ± rosé (hématitisé). ≈ 15% de biotite. Faiblement magnétique. Quelques enclaves de roches mafiques à grains fins. Les contacts graduels avec la roche encaissante suggèrent une variante granulométrique de la même roche. Toutefois, il pourrait s'agir de dykes monzonitiques avec des contacts diffus, comme peut le suggérer la nature plus grenue de cette roche et la</p>	<p>107928: 13A(MG)CC+/5%VCCMH Roche fortement calcitique; 5% de veinules de calcite-hématite.</p> <p>104.55 - 105.19</p> <p>107929: VQZ(CC)/(PY) Veine de quartz gris contenant ≈ 15% de calcite. Contact avec la roche encaissante A.C.: 20%. Hématitisation de roche encaissante sur ≈ 1 centimètre. Trace de pyrite fine au contact avec la roche encaissante.</p> <p>136.06 - 136.37</p> <p>107930: 60%VCC(QZ)/(PY) Veine de calcite ± quartz, foliée, de couleur blanche et rose et à grains fins. ≈ 40% de roches encaissantes. ≈ 1% de pyrite disséminée dans la roche encaissante.</p> <p>151.46 - 151.79</p> <p>107931: VCC(HM) Veine de calcite blanche contenant ≈ 10% calcite hématitique rouge. 10% de fragments bréchiques de roches encaissantes.</p> <p>166.27 - 167.18</p> <p>107932: VCC(PY) Forte altération en calcite associée à une veinule de calcite hématite recoupant la roche à faible angle. Trace de pyrite fine dans la veinule de calcite.</p> <p>178.31 - 189.28</p> <p>(=)(VAB) Roche faiblement foliée (A.C.: 45°) avec microveinules d'albite parallèles à la foliation.</p>	

MINNOVA INC. DIVISION EXPLORATION

DE (m)	A (m)	TEXTURE ET STRUCTURE	ALTÉRATION	MINÉRALISATION
		<p>présence de feldspaths rosés. Faible hématitisation des feldspaths. Minéralisation absente.</p>	<p>207.72 - 208.09</p> <p>107933: /\CCQZ,CCCBPY Brèche avec 5% de calcite-quartz. Forte altération beige en calcite et carbonates de fer. 2% de pyrite très fine disséminée dans la roche altérée.</p> <p>215.62 - 216.35</p> <p>107934: 25%VQZ Deux veines centimétriques de quartz gris totalisant 25% de l'intervalle. = 5% de calcite associée au quartz.</p> <p>217.51 - 217.84</p> <p>107935: 50%VQZ Zone avec 50% de quartz gris, avec = 5% de calcite.</p> <p>218.79 - 224.18 CC(HM)(PY)</p> <p>GABBRO CALCITISE ET HAMATISE</p> <p>CC25%(HM)(PY) Altération moyenne en calcite. = 25% de passages centimétriques-décimétriques avec faible hématitisation rouge-bourguigne reliée à des fractures et microveinules. = 3% de veinules de calcite et de veinules et veines centimétriques de quartz (calcite).</p> <p>Pyrite généralement absente; localement jusqu'à 1% (très fine) associée à l'hématitisation.</p> <p>218.79 - 220.31</p> <p>107936: CC25%(HM)(PY)</p> <p>220.31 - 221.83</p> <p>107937: CC20%(HM)/5%VQZ</p> <p>221.83 - 223.36</p> <p>107938: CC20%(HM)</p> <p>223.36 - 224.18</p>	

MINNOVA INC. DIVISION EXPLORATION

DE (m)	A (m)	TEXTURE ET STRUCTURE	ALTÉRATION	MINÉRALISATION
			<p>107939: CC50%(HM)</p> <p>224.18 - 225.55 CBHM(PY)/\CLCC</p> <p>107940: CBHM(PY)DCLCC Altération rouge pâle en carbonates de fer-hématite d'intensité moyenne. 2% de veinules de quartz-albite recourent la roche altérée. Cet assemblage altéré et injecté de veinules est bréchifié et montre ≈ 1% de fractures comblées de chlorite-calcite. Tr -1% de pyrite fine disséminée.</p> <p>225.55 - 233.60 M15CB++(SiAB)++(FC)(VQZ)PY</p> <p>ROCHE METASOMATIQUE BEIGE</p> <p>≈ 90% de roche métasomatique beige, localement brunâtre, très carbonatée et d'aspect siliceuse (silice et/ou albite). On peut reconnaître des vestiges de la texture primaire de la roche encaissante, ce qui indique qu'il s'agit d'un remplacement par des fluides hydrothermaux. ≈ 10% de passages centimétriques-décimétriques et reliques de gabbro légèrement magnétique. Les zones de transition entre la roche "fraîche" et la roche métasomatique suggèrent que l'altération s'est effectuée le long de fractures d'orientations quelconques. Tr. -1% de micas verts (fuchsite) ≤ 5% de veinules de quartz qui forment des stockworks localement.</p> <p>Roche généralement massive non-foliée, non-rubannée. Faible foliation très locale (A.C.: 60°).</p> <p>Tr. -2% de pyrite très fine disséminée. Les principales zones minéralisées sont associées à des veinules de quartz en stockwork.</p> <p>225.55 - 227.08</p> <p>107941: M15CB++(Si-AB)++(FC)(PY)</p> <p>227.08 - 228.60</p> <p>107942: M15CB++(Si-AB)++(FC)(VQZ)PY</p> <p>228.60 - 230.12</p> <p>107943: 80%M15CB++(Si-AB)++(FC)</p> <p>230.12 - 231.13</p>	

MINNOVA INC. DIVISION EXPLORATION

DE (m)	A (m)	TEXTURE ET STRUCTURE	ALTÉRATION	MINÉRALISATION
			<p>107944: 33%M15CB++[Si-AB]++(FC)(PY) 231.13 - 232.65</p> <p>107945: M15CB++[Si-AB]++(FC)(VQZ)PY 232.65 - 233.60</p> <p>107946: M15CB++[Si-AB]++(FC)(VQZ)PY 233.60 - 243.17 15% CB+(SiAB)+(HM)(PY)</p> <p>ZONE DE TRANSITION</p> <p>= 15% d'altération beige et beige rougeâtre, carbonatée, d'aspect siliceux (silice et/ou albite) et faiblement hématitique. Epidotisation locale.</p> <p>Tr. -1% de pyrite fine associée à l'altération.</p> <p>233.60 - 235.12</p> <p>107947: 20%CB+[Si-AB]+(HM)(PY) 235.12 - 236.65</p> <p>107948: 40%CB+[Si-AB]+(HM) 236.65 - 238.17</p> <p>107949: 13A(HG) 238.17 - 239.69</p> <p>107950: 10%CB+[Si-AB]+(HM)5%EP+ 239.69 - 241.22</p> <p>107951: 5%CB+[Si-AB]+(HM) 241.22 - 242.74</p> <p>107952: 30%CB+[Si-AB]+(HM)(PY) 242.74 - 243.17</p> <p>107953: 5%CB+[Si-AB]+(HM) 248.14 - 249.05</p> <p>107954: VQZCC Veine centimétrique de quartz-calcite à faible A.C.</p>	

MINNOVA INC. DIVISION EXPLORATION

DE (m)	A (m)	TEXTURE ET STRUCTURE	ALTÉRATION	MINÉRALISATION
253.90	FIN DU TROU		<p>Quartz gris rosé et calcite blanche et grisâtre.</p> <p>253.90m (833.0'): FIN DU TROU.</p>	

MINNOVA INC. DIVISION EXPLORATION

ECHANTILLON	DE (m)	A (m)	LONGUEUR (m)	Au(OP1) ppb	Au(OP2) ppb	Au(R-1) ppb	Au(R-2) ppb	Au(MOY) ppb	Ag ppm	As(CH) ppm	Sb(CH) ppm	Mo(CH) ppm	Pb(CH) ppm	Cu(OP) ppm	Cu(CH) ppm	Cu(MOY) ppm	Zn(OP) ppm	Zn(CH) ppm	Zn(MOY) ppm
107925	58.28	59.28	1.00	tr.				tr.						54		54	27		27
107926	65.47	66.60	1.13	tr.				tr.						343		343	51		51
107927	69.80	70.62	0.82	tr.				tr.						53		53	60		60
107928	76.05	76.72	0.67	tr.				tr.						66		66	63		63
107929	104.55	105.19	0.64	tr.				tr.						46		46	27		27
107930	136.06	136.37	0.31	tr.				tr.						47		47	40		40
107931	151.46	151.79	0.33	tr.				tr.						53		53	30		30
107932	166.27	167.18	0.91	tr.				tr.						141		141	53		53
107933	207.72	208.09	0.37	tr.				tr.						66		66	50		50
107934	215.62	216.35	0.73	tr.				tr.						53		53	39		39
107935	217.51	217.84	0.33	tr.				tr.						39		39	34		34
107936	218.79	220.31	1.52	tr.				tr.						50		50	65		65
107937	220.31	221.83	1.52	tr.				tr.						44		44	51		51
107938	221.83	223.36	1.53	tr.				tr.						44		44	46		46
107939	223.36	224.18	0.82	tr.				tr.						77		77	67		67
107940	224.18	225.55	1.37	tr.				tr.						160		160	126		126
107941	225.55	227.08	1.53	411				411						54		54	99		99
107942	227.08	228.60	1.52	tr.				tr.						72		72	85		85
107943	228.60	230.12	1.52	tr.				tr.						100		100	72		72
107944	230.12	231.13	1.01	tr.				tr.						82		82	71		71
107945	231.13	232.65	1.52	tr.				tr.						57		57	76		76
107946	232.65	233.60	0.95	tr.				tr.						172		172	84		84
107947	233.60	235.12	1.52	tr.				tr.						80		80	61		61
107948	235.12	236.65	1.53	tr.				tr.						60		60	67		67
107949	236.65	238.17	1.52	tr.				tr.						70		70	57		57
107950	238.17	239.69	1.52	tr.				tr.						256		256	61		61
107951	239.69	241.22	1.53	tr.				tr.						87		87	67		67
107952	241.22	242.74	1.52	tr.				tr.						56		56	75		75
107953	242.74	243.17	0.43	tr.				tr.						84		84	55		55
107954	248.14	249.05	0.91	tr.				tr.						131		131	50		50